

LABORATORY HANDBOOK OF

CHROMATOGRAPHIC
AND ALLIED METHODS

Chief Editor: O. MIKES

Czechoslovak Academy of Sciences, Prague

Contributors:

M. Heitmánek, R. Komers, M. Krejčí, B. Meloun, O. Mikeš,
O. Motl, J. Novák, L. Novotný, Z. Prochazka, Z. Prusík,
K. Šebesta, J. Stamberg, V. Tomášek, J. Turková

Translator: Z. PROCHAZKA

Czechoslovak Academy of Sciences, Prague

Editor: R. A. CHALMERS

University of Aberdeen

Editor:

ELLIS HORWOOD LIMITED PUBLISHER

Chichester
Halsted Press: a division of

John Wiley & Sons
Chichester · New York · Brisbane · Toronto

III

Редактор
O. МИКЕШ

в 2-х частях

Перевод с английского
канд. техн. наук

A. Ю. КОШЕВНИКА,

канд. техн. наук.
E. Л. СТЫСКИНА

под редакцией и с послесловием
доктора хим. наук, профессора
B. Г. БЕРЕЗКИНА

Глава 7. Аффинная хроматография

Я. ТУРКОВА

Институт органической химии и биохимии,
Чехословацкая Академия наук, Прага

Авторы: Я. Туркова, Б. Мелоун, О. Могл, Л. Новотный,
Р. Комерс, М. Крейчи, З. Прохазка, З. Прусиk, О. Микеш
Л.12 Лабораторное руководство по хроматографическим и
смежным методам: Пер. с англ./Под ред. О. Микеша.—
М.: Мир, 1982.— Ч. II. 381 с., ил.

Книга написана чехословакими специалистами, оригинальные исследованиями которых широко известны во всем мире. Это своего рода краткая энциклопедия хроматографии. В ней рассматриваются все применяемые в настоящее время методы анализа многокомпонентных смесей.
В русском издании книги выходит в двух частях.
Во второй части рассматриваются аффинная, тонкослойная и газовая хроматография, различные противоточными и электротитрационными методами, для научных и инженерно-технических работников — химиков, биохимиков, медиков, биологов, фармацевтов.

Л 1805000000—048—84—82, ч. I

7.1. ВВЕДЕНИЕ

Одновременно с разработкой нерастворимых макролористых полимерных носителей происходило быстрое развитие аффинной хроматографии (называемой также биоаффинной или биоспецифической). Аффинная хроматография представляет собой особый метод, предназначенный для выделения биологически активных соединений. Метод основан на исключительном биологическом свойстве присоединять специфически и обратимо другие вещества, для которых Рейнер и Уэлл [78] ввели название «аффинанты» или «аффинные лиганды». В настоящее время наиболее распространенным способом получения нерастворимых аффинных сорбентов является их присоединение к носителю путем образования ковалентных связей. Если раствор, содержащий биологически активное соединение, которое следует выделить, фильтруют через колонку, заполненную нерастворимым носителем, связанным с аффинным лигандом, то все соединения, не обладающие сродством к данному аффинному лиганду, беспрепятственно проходят через колонку, тогда как соединения, обладающие таким сродством, удерживаются в колонке, причем прочность их удерживания зависит от степени их сродства и конкретных экспериментальных условий. Специфически сорбированные соединения можно затем элюировать, применив либо растворимый аффинный лиганд, либо изменив состав растворителя с тем, чтобы вызвать диссоциацию специфического комплекса, как это показано на рис. 7.1 и 7.2. На обоих рисунках показано разделение методом аффинной хроматографии экстракта поджелудочной железы на колонке, заполненной агарозой со связанным ингибитором, проведенное Поратом и Сундбергером [75]. В щелочной среде химотрипсин и трипсин специфически сорбируются на колонке, а затем вымываются последовательно растворами специфических ингибиторов (рис. 7.1) или буферными растворами с градиентом pH (рис. 7.2).

Редакция литературы по химии

© 1979 Otakar Mikes/Ellis Horwood
© Перевод на русский язык, «Мир»,
1982

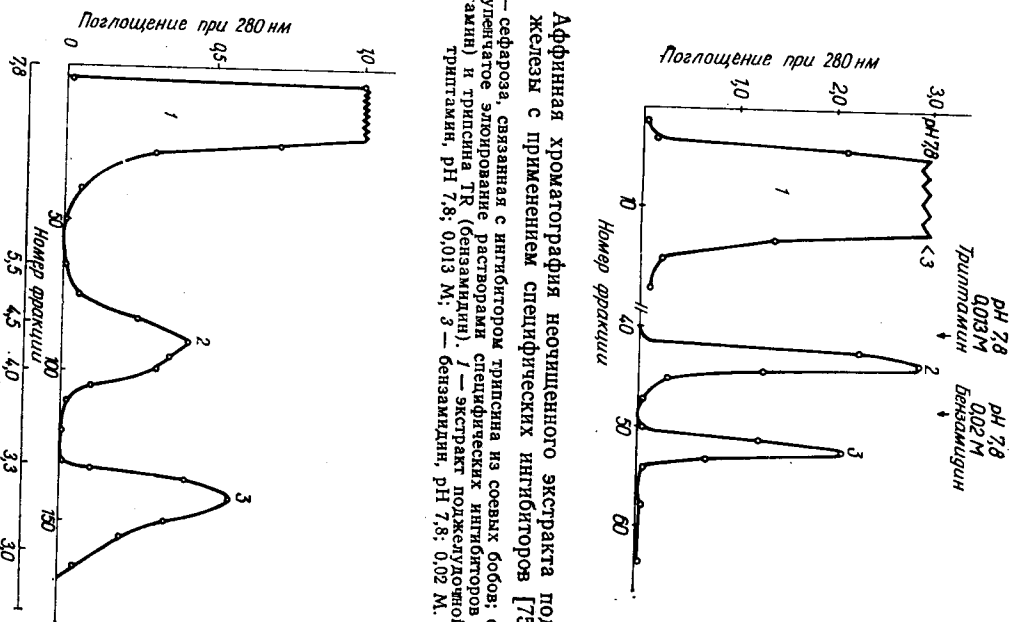


Рис. 7.1. Аффинная хроматография неочищенного экстракта поджелудочной железы с применением специфических ингибиторов [75].
Носитель — сефароза, связанная с ингибитором трипептида из соевых бобов; объем колонки 30 мл; ступенчатое элюирование растворами специфических ингибиторов химотрипсина и триптина TR (бензамидин). 1 — экстракт поджелудочной железы; 2 — триптиптамин, pH 7.8, 0.013 М; 3 — бензамидин, pH 7.8, 0.02 М.

Рис. 7.2. Аффинная хроматография неочищенного экстракта поджелудочной железы при градиенте pH [75]. Условия разделения указаны в подпись к рис. 7.1. Обозначения те же, что и на рис. 7.1.

Принцип аффинной хроматографии известен уже более 20 лет*. В 1951 г. Кемпбелл и сотр. [7] использовали для выделения антител целлюлозу с ковалентно связанным антигеном, а в 1953 г. Лерман [53] применил этот принцип для выделения ферментов. В последующие годы тем не менее аффинная хроматография использовалась лишь изредка, по-видимому, из-за отсутствия пригодных носителей. Важную роль в развитии аффинной хроматографии сыграла разработка Аксеном, Поратом и Эрнеком [4, 76] метода связывания аффинных лигандов с агарозой, активированный бромидианом. Как впоследствии показали Куатреказас и Энфинсен [15, 16], агароза относится к числу носителей, особенно удобных для аффинной хроматографии. Именно на агарозе в 1968 г. Куатреказас, Уилчек и Энфинсен [18] успешно разделили нуклеазу, химотрипсин и карбоксипептидазу. Эта работа сейчас хорошо известна, так как ее авторы первыми ввели термин «аффинная хроматография». Данные этого исследования способствовали быстрому развитию аффинной хроматографии, и после 1970 г. работы, посвященные этому виду хроматографии, публикуются уже регулярно. Аффинная хроматография применяется для выделения ферментов, при этом аффинными лигандами служат их ингибиторы, субстраты или кофакторы. Ковалентно связанные ферменты применяются для выделения их ингибиторов. Для выделения антител в качестве аффинных лигандов используются антигены, а для выделения антигенов — антитела. С помощью подходящих аффинных лигандов удается выделить нуклеиновые кислоты, транспортные и репрессорные белки, гормоны и их рецепторы, а также ряд других соединений. В этой главе мы приведем лишь несколько таких примеров. Более подробную информацию о применении аффинной хроматографии можно найти в обзорных статьях [26, 89].

Условия проведения аффинной хроматографии зависят от природы соединения, которое нужно выделить. Однако существует ряд общих требований, касающихся свойств нерастворимого носителя, выбора типа аффинного лиганда, его связывания с носителем, условий адсорбции и элюирования.

7.1. ВЫБОР НЕРАСТВОРИМОГО НОСИТЕЛЯ

Важным условием успешного проведения аффинной хроматографии является выбор подходящего нерастворимого носителя для получения сорбента. В обзорной статье Куатреказаса и

* Сорбционная иммобилизация аффинанта была впервые применена советским ученым В. А. Энгельгардтом [Biochim. Z., 148, 463 (1924)], исследовавшим специфические взаимодействия антиген — антигено. Он назвал этот прием «методом фиксированного партнера».

Энфинсена [16] описываются свойства, которыми должен обладать идеальный носитель. Прежде всего он должен как можно меньше взаимодействовать с выделяемыми соединениями, так как необходимо исключить неспецифическую сорбцию. Этому требованию более всего отвечают выпускаемые рядом фирм нейтральные полимеры, например сефароза или биогель. С практикой гидродинамическими свойствами (малым сопротивлением потоку жидкости) и сохраняя эти свойства после присоединения аффинного лиганда. Для связывания аффинного лиганда необходимо наличие в носителе достаточного числа химических групп, которые можно активировать или модифицировать в условиях, не влияющих на структуру носителя или на связанный аффинный лиганд. Носитель должен оставаться прочным и химически устойчивым в процессе присоединения аффинных лигандов, а также при изменении pH, ионной силы и температуры и в присутствии денатурирующих агентов типа мочевины или гуанидинхлорида, которые могут оказаться необходимыми для адсорбции или элюирования выделяемого соединения. Прочность и химическая устойчивость особенно важны при повторном использовании этих специфических адсорбентов. Носители должны иметь пористую структуру, обеспечивающую свободную диффузию в поры даже крупных макромолекул. Частицы носителя должны быть сферическими, однородными по размеру и прочными. Важным условием для выделения соединений с большой молекулярной массой является высокая степень пористости носителя. Например, Стирс и сотр. [84] выделили β -галактозидазу из *Escherichia coli* методом аффинной хроматографии, применяв в качестве лиганда-ингибитора *l*-аминофенил- β -D-тиогалактолипранозид, связанный углеводородной боковой цепью с сефарозой или с поликариламидным гелем, биогелем 300. Сорбент на основе сефарозы обладал превосходными свойствами, в то время как на биогеле β -галактозидаза не сорбировалась, хотя с 1 мл геля было связано практически в тех же условиях 20 мкмоль ингибитора. Этим примером авторы показали, что, если с носителем связывается достаточно количество лиганда, это еще не означает, что полученный сорбент окажется достаточно специфичным и эффективным. Авторы предполагают, что в биогеле преобладающая доля молекул лигандов находится внутри частиц геля и поэтому недоступна для больших молекул активного тетрамера β -галактозидазы (мол. масса $5,4 \cdot 10^5$) [11]. В тоже время авторы работы [14] с успехом применили биогель в качестве носителя для выделения нуклеазы из стафилококков (мол. масса $1,7 \cdot 10^4$). Высокая пористость перастроимого носителя также обязательна для выделения соединений, обладающих относительно слабым сродством к связанныму аффинному ли-

ганду (коэффициента диссоциации $\geq 10^{-5}$). Концентрация аффинного лиганда, связанного с носителем и легко доступного для выделяемого соединения, должна быть очень высокой; только при этом условии соединение может задержаться в колонке.

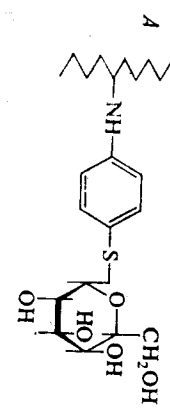
7.1.2. ВЫБОР И СВЯЗЫВАНИЕ АФФИННОГО ЛИГАНДА

Правильный выбор подходящего аффинного лиганда и условий его связывания, дающих максимальную емкость, так же важны, как и выбор носителя.

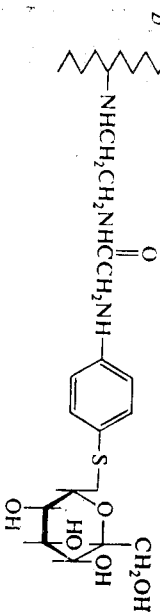
В качестве аффинных лигандов можно использовать любые соединения, прочно и обратимо связывающиеся с выделяемым веществом. Химическое строение аффинных лигандов может быть самым различным. Поскольку в настоящее время метод аффинной хроматографии применяется главным образом для выделения ферментов и их ингибиторов [89], мы рассмотрим примеры, взятые из этой области. Как уже упоминалось, при выделении фермента аффинными лигандами могут служить его ингибитор, аналогичный субстрату, а также адсорбент, кофактор и в отдельных случаях даже субстрат. Это справедливо и для фермента, требующего для реакции два субстрата, но способного достаточно сильно связываться только с одним из них. Субстрат также можно использовать для адсорбции фермента в таких условиях, когда фермент связывается, но сам не способен катализировать реакцию (например, в отсутствие ионов металлов, необходимых для реакции), а также когда константа Михаэлиса зависит от pH или температуры. Аффинный адсорбент для выделения белков обычно трудно получить из аффинного лиганда, если константа диссоциации его комплекса с белком превышает $(0,5-1,0) \cdot 10^{-3}$ [16]. Однако Стирс и сотр. [84] показали, что очень эффективный адсорбент для β -галактозидазы можно получить даже из такого относительно слабого ингибитора, как *l*-аминофенил- β -D-тиогалактолипранозид ($K_i \approx 5 \cdot 10^{-3}$). Этого удается достигнуть, повышая концентрацию нерастворимого аффинного лиганда и увеличивая расстояние между аффинным лигандром и матрицей носителя, что приводит к максимальной доступности аффинного лиганда для белка в растворе*.

* О'Кара и сотр. [71a] позднее показали, что увеличение сорбционной активности обусловлено главным образом природой группировок, которой β -D-галактозидаза присоединена к носителю, а именно гидрофобными взаимодействиями. Адсорбент B (см. рис. 7.3) сохраняет сильное сродство к β -галактозидазе даже после замещения β -тиогалактозида неспецифическим α -глюкозидом или N-фенилглицином. Однако он теряет активность при замене присоединяющей группировки на полярную или гидрофильную. В аналогичных случаях, когда в связывающую способность адсорбента вносит вклад неспецифическая сорбция, авторы [71a] вводят термин «сродство к данному соединению».

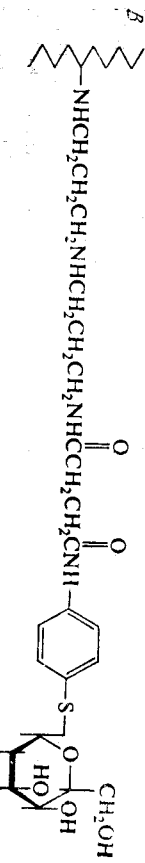
На рис. 7.3 показаны способы связывания [14] вышеупомянутого ингибитора. *A* представляет собой адсорбент с ингибитором, непосредственно связанным с поверхностью матрицы, в *B* ингибитор удален от матрицы на расстояние около 10 Å, а в *B* ингибитор находится в 20 Å от матрицы. В то время как сорбент *A*



Agarosa



Agarosa



Agarosa

Рис. 7.3. Специфические адсорбенты для аффинной хроматографии бактериальной β -галактозидазы, полученные присоединением *n*-аминофенил- β -D-тиогалактопиранозида на различных расстояниях от поверхности твердого носителя [14].

A — адсорбент с ингибитором, связанным непосредственно с поверхностью матрицы; *B* — адсорбент с ингибитором, удаленным от поверхности матрицы примерно на 10 Å; *C* — адсорбент с ингибитором, удаленным от поверхности матрицы на 20 Å. β -Галактозидаза адсорбируется сорбентом *B*, проявляющим к ней очень сильное сродство, слабо сорбуется *B* и совсем не сорбируется *A*.

бент *B* обладает очень сильным сродством к β -галактозидазе, сорбент *B* связывается с ней очень слабо, а сорбент *A* не связывается вообще. Увеличение расстояния между ингибитором и матрицей носителя приводит к тому, что этот носитель, даже смешанный с немодифицированной агарозой (т. е. при существенно более низкой концентрации аффинного лиганда), хорошо сохраняет свою способность к связыванию. Фермент можно элюировать из колонки с агарозой, содержащей небольшое количество аффинного лиганда, даже буферными растворами, со-

держащими субстрат, в то время как на колонках с высокой концентрацией ингибитора фермент связывается такочно, что такие растворы его не вымывают. В этом случае β -галактозидаза сохраняет свою ферментативную активность и в связанном состоянии, на что указывает расщепление субстрата в процессе его прохождения через колонку. Более высокая концентрация связанного аффинного лиганда не обязательно приводит к улучшению адсорбционных свойств. Так, Аксен и Эрнбек [3], присоединяя химотрипсин к различным производным агарозы и сефадекса, показали, что отношение активности связанного и свободного фермента уменьшается с увеличением концентрации химотрипсина, связанного с носителем. Однако Кальдерон и сотр. [48] показали, что проблема состоит не только в экономичности использования связанного аффинного лиганда. Они обнаружили, что увеличение концентрации связанного ингибитора, $[N(\epsilon\text{-аминокапронил})\text{-}n\text{-аминофенил}]$ триметиламмонийбромида, выше 0,16 мкмоль на 1 мл носителя приводит к уменьшению специфичности сорбции асптилхолинэстеразы. Этот эффект может быть обусловлен неспецифическим связыванием с адсорбентом, вызванным ионообменными свойствами последнего. Способность к ионному обмену проявляется у сорбента в результате увеличения содержания аммонийных групп. Чтобы уменьшить неспецифическую сорбцию, авторы увеличили ионную силу раствора при связывании фермента. Однако этот метод оказался непригодным, так как наблюдалось значительное уменьшение сродства фермента к ингибитору.

Если в качестве аффинного лиганда используется кофактор, согласно данным Лоу и Лина [57], очень важно, чтобы нативная конформация кофактора сохранялась даже после его связывания. Это справедливо также в том случае, если аффинным лигандом является биологически активный белок. Он должен быть присоединен к носителю минимально возможным циклом связей, так как при этом увеличивается вероятность сохранения нативной третичной структуры белка. В качестве примера приведем работу Куатреказаса по выделению инсулина [14] на колонке с сефарозой с присоединенными при pH 6,5 или 9,5 антителами к свиному инсулину. Как будет показано ниже, белок связывается с активированным бромиланом сефарозой посредством непротонированных аминогрупп. Снижение pH уменьшает число связавшихся групп. Различия в величинах pH в процессе присоединения приводят к тому, что первое производное (pH 6,5) характеризуется почти 80%-ной теоретически возможной емкостью по инсулину, в то время как второго производного (pH 9,5) эта емкость равна только 7%. Поскольку общее сдержание белка одинаково в обоих случаях, второе производное должно содержать иммуноглобулин, который не способен

эффективно связывать антиген. Даже при низких pH можно получить адсорбент, который содержит большое количество активного белка, связанного с сефарозой, если увеличить количество бромциана во время активации и количество белка в процессе связывания [14].

Для успешного проведения аффинной хроматографии необходимо не только связывание аффинного лиганда, но и полное удаление всего аффинного лиганда, нековалентно связанного с носителем. Поэтому соединения следует тщательно промывать, контролируя результаты промывки. Сорбированные ароматические соединения можно успешно удалить с помощью органических растворителей, а для удаления белков полезна промывка денатурирующими агентами, если они не влияют на носитель и на связывающую способность аффинного лиганда. Необходимо быть уверенным в том, что измеряемая биологическая активность специфического адсорбента действительно обусловлена только ковалентно связанным аффинным лигандом. С этой целью определяют изменение концентрации нерастворимого производного после инкубирования в различных буферных растворах или после других подходящих обработок сорбента.

Количество связанного лиганда определяется в зависимости от его природы с помощью методов, основанных, как правило, на освобождении аффинного лиганда в результате щелочного или кислотного гидролиза. Анализируя пептиды, удобнее всего определять количество аминокислот после кислотного гидролиза [3]. При использовании радиоактивного лиганда целесообразно проводить измерение радиоактивности. Концентрацию связанного аффинного лиганда удобнее выражать числом мкг/ромолей этого лиганда, приходящимся на 1 мл набухшего в колонке геля, а не на 1 г сухого носителя.

7.1.3. УСЛОВИЯ СОРБЦИИ И ЭЛЮИРОВАНИЯ

Условия адсорбции и элюирования выделяемого соединения зависят от его специфических свойств. Если нужно выделить небольшое количество белка из неочищенной смеси с помощью аффинного лиганда, обладающего высоким сродством, то иногда сочетают обработку в стационарных условиях с элюированием после переноса сорбента в колонку [16]. Если же соединение, которое необходимо выделить, обладает незначительным сродством к специальному адсорбенту, оно очень часто элюируется из колонки даже без смены буферного раствора. В этом случае получают разбавленный раствор этого соединения. При выделении высокомолекулярных соединений скорость потока жидкости, проходящего через колонку, должна быть достаточно низкой. На адсорбционное равновесие влияет не только число

столкновений между молекулами выделяемого соединения и аффинного лиганда, но и взаимная ориентация участков связывания. Например, выделение нуклеазы из стафилококков Куагтре-казас и сотр. [18] рекомендуют вести при скорости потока 70 мл/ч на колонках с сефарозой (0.8×5 см) при K , равном 10^{-6} . Адсорбированные соединения элюируют главным образом, меняя pH, ионную силу раствора или температуру, а если это не помогает, то растворами ингибитора или субстрата [16]. Если аффинный лиганд связан с матрицей азогруппами тиолсожнозефирной или сложноэфирной связью, то аффинный комплекс лиганд — вещество можно отщепить от нерастворимой матрицы и далее отделить лиганд диализом или гель-фильтрацией. Однако при этом естественно, исключается возможность повторного использования аффинной матрицы (см. [14]).

7.2. НЕРАСТВОРИМЫЕ НОСИТЕЛИ ДЛЯ АФФИННОЙ ХРОМАТОГРАФИИ

7.2.1. ПОЛИДЕКСТРАНОВЫЕ НОСИТЕЛИ И ИХ ПРОИЗВОДНЫЕ ОБЗОР ПРОИЗВОДНЫХ И ИХ ХАРАКТЕРИСТИКА

Из перечня носителей, приведенного в разд. 7.3, следует, что наиболее часто используются для аффинной хроматографии агароза и ее производные. Хорошо известны промышленные препараты сефароза и биогель А. Сефароза — промышленное название сферического геля агарозы, выпускаемого фирмой Pharmacia Fine Chemicals AB (Швеция). Сефароза продается в набухшем состоянии, суспендированная в дистилированной воде, содержащей 0,02% азота натрия в качестве бактериостатического агента.

В настоящее время доступны три типа: сефароза 6B с концентрацией агарозы $\sim 6\%$ (размер набухших гранул 40–210 мкм), предназначенная для фракционирования соединений с мол. массой 10^5 – 10^6 ; сефароза 4B с концентрацией агарозы $\sim 4\%$ (размер набухших гранул 40–190 мкм), предназначенная для фракционирования соединений с мол. массой $3 \cdot 10^5$ – $3 \cdot 10^6$; сефароза 2B с 2%-ной концентрацией агарозы (размер набухших гранул 60–250 мкм), используемая для фракционирования соединений с мол. массой $2 \cdot 10^6$ – $25 \cdot 10^6$. Для аффинной хроматографии наиболее широко применяется сефароза 4B, в то время как с помощью сефарозы 2B в основном проводится выделение особенно больших молекул.

Биогель А — промышленное название агарозы, которую производит фирма Bio-Rad (Ричмонд, Калифорния). Выпускаются следующие типы биогеля А:

Содержание агарозы, %	Исключаемая молекулярная масса
10	0,5·10 ⁶
8	1,5·10 ⁶
6	5·10 ⁶
4	15·10 ⁶
2	50·10 ⁶
1	150·10 ⁶

Все эти гели поставляются в виде гранул трех размеров: 50—100 меш (149—290 мкм), 100—200 меш (74—149 мкм) и 200—400 меш (38—74 мкм). Они поставляются в набухшем состоянии в виде суспензии, содержащей 0,02% азота натрия и 0,001 М трис-буфера [трис(оксиметил)аминометан] и EDTA (этилендиаминететрауксусной кислоты).

ХИМИЯ СВЯЗЫВАНИЯ

Чаще всего связывание аффинного лиганда с агарозой проводят по методу, разработанному Аксеном, Порагом и Эрнбеком [4, 76]. После химической активации бромцианом в щелочной среде агароза ковалентно связывает соединения, содержащие первичные алифатические или ароматические аминогруппы. Степень активации, измеряемая по способности к связыванию небольших пептидов, пропорциональна значению рН в процессе активации [3], т. е. она растет с увеличением рН. Аксен и Эрнбек [3] предложили возможную схему процесса активации.

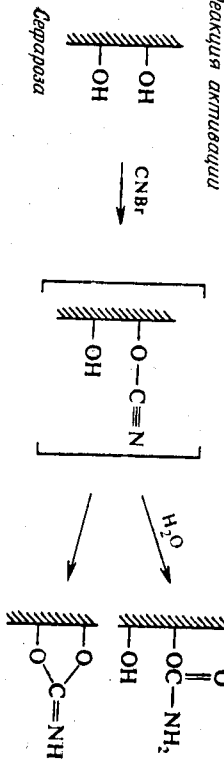
Авторы постулируют двухстадийную реакцию. На первой стадии в качестве лабильного промежуточного соединения образуется цианат. Он дает сначала инертный карбамат, а затем активный имидокарбонат, к которому в слабощелочной среде и присоединяется аминогруппа с образованием ковалентной связи между белком и носителем. Однако, согласно литературным данным, этот механизм является спорным, так как винильные гидроксильные группы сефарозы не способны к образованию пятичленного имидокарбонатного цикла. Тем не менее возможно, что изменения могут происходить во время процесса стабилизации. Если исходить из результатов изучения модельных реакций с метил-4,6-бензилиден-α-д-глюкопиранозидом [1], то наиболее вероятно, что связывание аффинного лиганда с носителем осуществляется главным образом через производные изомочевины.

Если амины связываются с сефарозой, активированной бромцианом, то при этом, как показали Уилчек и сотр. [103а], образуются положительно заряженные группировки N-замещенной изомочевины, которые могут далее реагировать с аминами, об-

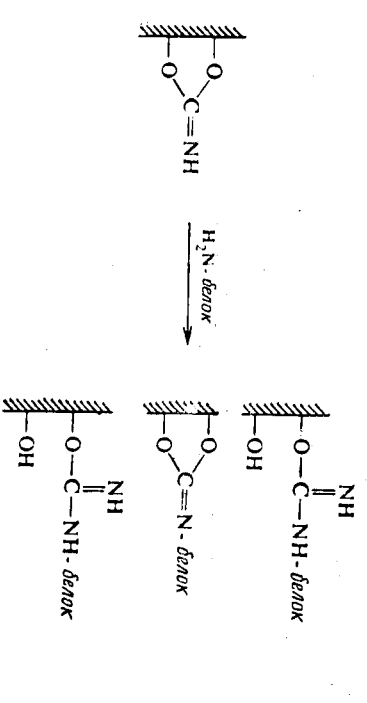
разуя N₁,N₂-дизамещенные гуанидины. Сорбенты, в которые после активации бромцианом встраиваются алкиламинные группы, обладают ионообменными свойствами. Кроме того, наличие положительно заряженных групп в комбинации с гидрофобными пространственными группами (спейсеров) приводит к появлению у сорбентов детергентных свойств, в результате этого усиливается тенденция к неспецифической сорбции и в ряде случаев становится возможной даже инактивация фермента [102а]. В присутствии соединений, содержащих нуклеофильные группы, которые расщепляют связи изомочевины, может произходить освобождение аффинных лигандов из сорбентов. Такое освобождение лигандов особенно опасно в системах с высоким сродством или при выделении малых количеств вещества.

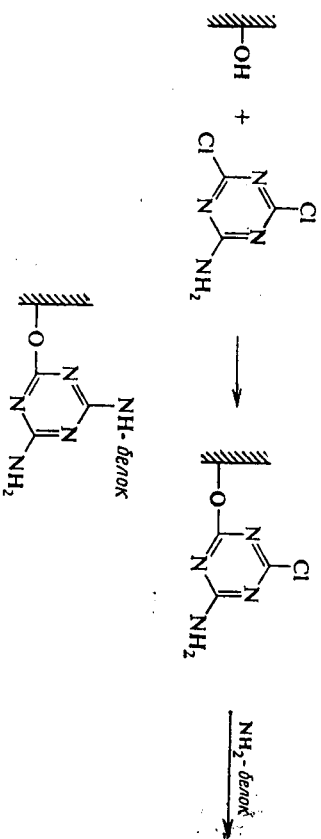
Второй из наиболее употребительных методов связывания белков с агарозой — это триазиновый метод Кея и Лиэли [50], первоначально разработанный для присоединения белков к ОГ-группам целлюлозы [49]. Гидроксильная группа носителя связывается с 2-амино-4,6-дихлор-симв-триазином, который далее взаимодействует с NH₂-группой белка:

1 Реакция активации



2 Реакция связывания





УСТОЙЧИВОСТЬ АГАРОЗНЫХ ГЕЛЕЙ И РАБОТА С НИМИ

Считается, что сефароза устойчива в области pH 4—9; с ней не рекомендуется работать при температурах ниже 0 °C или выше 40 °C. Сефароза устойчива к действию концентрированных растворов солей или мочевины. Куатреказас [14] указывает, что на частицы агарозы существенно не влияет продолжительное воздействие 6M раствора гуанидинхлорида или 7M раствора мочевины. Поэтому агарозные аффинные сорбенты можно отмывать от белков этими денатурирующими растворами. В течение 2—3 ч при комнатной температуре на агарозу не действуют 0,1M гидроксид натрия или 1M хлорная кислота. Ни 50%-ный (по объему) водный диметилформамид, ни 50%-ный (по объему) водный этиленгликоль не меняют структуру агарозы. Эти растворители полезны при аффинной хроматографии относительно плохо растворимых в воде соединений, например тироксина и стероидов. Аффинные сорбенты на основе сефарозы можно хранить при 4 °C в виде водной суспензии с добавкой антибактериального агента. Длительность хранения определяется лишь стабильностью связанного аффинного лиганда. Однако агарозные аффинные сорбенты полностью разрушаются при высушивании или замораживании. Согласно данным Аксена и Эрнбека [3], эти сорбенты можно лиофилизовать, если добавить к ним дексtran, глюкозу и сывороточный альбумин. Химическая стабильность биогеля А такая же, как у сефарозы.

7.2. МЕТОДЫ СВЯЗЫВАНИЯ АФФИНАНТА С АГАРОЗОЙ

СВЯЗЫВАНИЕ АФФИННОГО ЛИГАНДА С СЕФАРОЗОЙ, АКТИВИРОВАННОЙ БРОМЦИДОМ

Метод связывания аффинантного лиганда с сефарозой, активированной бромцидом, разработан Аксеном, Поратом и Эрнбеком [4, 76]. Куатреказас дополнил его на основе собственных данных [14].

ТРИАЗИНОВЫЙ МЕТОД СВЯЗЫВАНИЯ АФФИНАНТА С АГАРОЗОЙ

Кей и Лиэли [50] исследовали ряд триазиновых производных и разработали метод, который, как будет показано ниже, используется фирмой Miles-Seravac для получения ряда агарозных аффинных сорбентов.

Наиболее подходящим производным для связывания лигандов является 2-амино-4,6-дихлор-сим-триазин. Для получения полимерного аминохлор-сим-триазинапроизводного необходимы два раствора. Раствор А получают, растворяя 10 г 2-амино-4,6-дихлор-сим-триазина в 250 мл ацетона при 50 °C и добавляя 250 мл воды при той же температуре. Раствор Б представляет собой 15%-ный (масса/объем) водный раствор карбоната натрия, к которому добавляют 0,6-кратный объем 1M соляной кислоты. Сефарозу 4B (125 мл; 2,5 г сухой массы) отмывают на воронке Бюхнера водой от защищающих веществ; уплот-

ленную сефарозу прибавляют к 100 мл раствора *A* и перемешивают 5 мин при 50 °C. После добавления раствора *B* (40 мл) смесь перемешивают еще 5 мин при 50 °C. Затем, чтобы быстро снизить pH суспензии до pH < 7, приливают концентрированную соляную кислоту. Продукт фильтруют при отсасывании и промывают последовательно смесью ацетон — вода (1 : 1 по объему) и водой. Продукт можно хранить при 2 °C в 0,1M фосфатном буфере pH 6,7.

В качестве примера связывания аффинного лиганда рассматриваем получение нерастворимого производного химотрипсина [50]. Раствор (140 мл) химотрипсина (20 мг/мл) и 60 мл 0,5М боратного буфера (рН 8,7) прибавляют к 100 мл аминохлор-сими-триазинового производного сепарозы и выдерживают смесь 18 ч при постоянном перемешивании при 23°C. Продукт промывают смесью 5М хлорида натрия и 8М мочевины (1 : 1 по объему). Изучение зависимости количества связанныго химотрипсина от концентрации фермента показало, что при концентрации химотрипсина 4 мг на 1 мл реакционной смеси с сепарозой связывается более 60% химотрипсина, а при концентрации 8 мг/мл количество связанного белка превышает 70%. В отдельных экспериментах концентрация боратного буфера в реакционной смеси менялась в пределах 0,07—0,2М.

МОДИФИЦИРОВАННЫЕ ПРОИЗВОДНЫЕ АГАРОЗЫ

вводной части главы уже говорилось, какую важную роль может играть углеводородная цепь, расположенная между аффинным лигандом и нерастворимым носителем. Алифатические диамины, например этилендиамин, можно непосредственно связывать с активированной бромцианом сефарозой. Для того чтобы избежать нежелательного образования дополнительных спивок в результате реакции обеих концевых аминогрупп, используется большой избыток диамина. В соответствии с методикой Куатреказаса [14] суспензию сефарозы 4B в воде (1 : 1) обрабатывают бромцианом (250 мг на 1 мл сефарозы); условия проведения реакции описаны в предыдущем разделе. Равный объем холодной дистиллированной воды, содержащей 2 ммоль этилендиамина на 1 мл сефарозы, добавляют к промытой и собранной активированной сефарозе, pH которой доведен 6М соляной кислотой до 10. Смесь выдерживают 16 ч при 4 °C, после чего гель промывают большим объемом дистиллированной воды. Таким образом получают производные сефарозы, содержащие около 12 мкмоль аминоэтильных групп на 1 мл сефарозы. Используя различные диаминосоединения общей формулы $\text{NH}_2(\text{CH}_2)_x\text{NH}_2$, можно получить ряд ф-аминоалкильных производных сефарозы.

чинимидом, Кутагреказас [14] получил бромалеистил-^{Бромистил-1-оксисук-}
цефарозу, а при действии сукцинового ангидрида — сукцинил-
амидоэтил-цефарозу. Производные диазния, способные соче-
таться с фенольными и гистидиновыми соединениями, были по-
лучены из *n*-аминобензамидоэтил-цефарозы, которая в свою оч-
ередь была получена из аминоэтил-цефарозы. Аналогичным об-
разом Кутагреказас синтезировал тирозил-цефарозу для сочета-
ния с соединениями диазония. Сульфидил-агарозу получают
из ϕ -аминоалкилагарозы в результате реакции с тиолактонами
гомодистеина. Аффинные лиганды со свободными карбоксиль-
ными группами связывают с сульфидил-цефарозой тиол-слож-
ноэфирными связями с помощью водорастворимых карбодими-
дов.

ПРОМЫШЛЕННЫЕ РЕАГЕНТЫ — СНВ-АКТИВИРОВАННАЯ СЕФАРОЗА 4В, АН-СЕФАРОЗА 4В и СН-СЕФАРОЗА 4В

Для упрощения методики присоединения аффинного лиганда к сефарозе 4В фирма Pharmacia Fine Chemicals AB (Уппсала, Швеция) выпускает лиофилизованную CNBr-активированную сефарозу 4В. Для защиты геля в процессе лиофилизации к нему добавлены лекстран и лактоза, которые можно отмыть перед использованием. Фирма приводит следующую методику связывания с CNBr-активированной сефарозой. Требуемое количество геля выдерживают до набухания в 10^{-3} М соляной кислоте.

далее гель промывают 15 мин этим же раствором. Объем 1 г лиофилизированного геля после набухания достигает 3,5 мл. В процессе промывки рекомендуется на 1 г сухого геля расходовать 200 мл раствора в виде нескольких порций. Непосредственно после промывки к гелю добавляют раствор аффинного лиганда.

Оптимальные условия связывания, pH, состав буферного раствора и температура, в значительной степени зависят от характера аффинного лиганда. Наиболее эффективно реакция проходит при pH 8–10, однако, если этого требует природа аффинного лиганда, можно использовать и более низкие значения pH. Аффинный лиганд, особенно белковой природы, растворяют в буфере с высокой ионной силой (около 0,5), чтобы предотвратить неспецифическую сорбцию, например белка на белке, которая обусловлена полизелектролитной природой белков. Для последующей отмычки сорбента используются растворы с более высокой ионной силой. Можно применять карбонатные или боратные буфера с добавкой хлорида натрия. Количество присоединенного лиганда зависит от соотношения в реакционной смеси аффинного лиганда и объема геля, pH, природы самого лиганда (числа реакционноспособных групп и т. д.), а также от длительности проведения реакции и температуры. Например, при иммобилизации химотрипсина к 2 мл CNBr-активированной сефарозы при pH 8 присоединяется только 5 мг из 10 мг взятого белка, из 20 мг белка связывается примерно 8 мг, а из 30 мг — примерно 10 мг. При комнатной температуре (20–25 °C) связывание обычно завершается за 2 ч, при пониженной температуре рекомендуется увеличить длительность реакции до 16 ч, т. е. оставлять реакционную смесь на ночь. В процессе связывания реакционную массу необходимо перемешивать, но применять магнитную мешалку не рекомендуется, так как при таком перемешивании можно разрушить гель. Лучше всего перемешивать реакционную смесь встряхиванием. Когда реакция закончится, гель переносят на пористый стеклянный фильтр и промывают тем же буферным раствором, в котором проводилось связывание. Оставшиеся активные группы рекомендуется блокировать, с этой целью гель обрабатывают 2 ч 1M этаноламином при pH 8. Конечный продукт следует промыть 4–5 раз буферным раствором с высоким или низким pH. Например, можно использовать аспетатный (0,1 M, pH 4) или боратный буферный (0,1 M, pH 8,5) раствор, содержащий 1 моль/л хлорида натрия. Как уже упоминалось во введении, все нековалентно связанные соединения следуют отмыть.

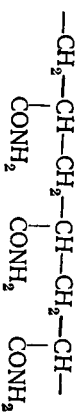
В настоящее время фирма Pharmacia выпускает новые носители для аффинной хроматографии — АН-сефарозу 4B, т. е. сефарозу с ковалентно связанным с помощью CNBr 1,6-диаминогекса-

ном, а также CNH-сефарозу 4B, содержащую ковалентно связанную 6-аминогексановую кислоту. К этим носителям с помощью водорастворимых карбодиимида можно легко присоединить аффинные лиганды через их свободные аминные или карбоксильные группы. Количество связанных 1,6-дiamиногексана составляет 6–10 мкмоль на 1 мл набухшей АН-сефарозы. Количество связанный 6-аминогексановой кислоты достигает 10–14 мкмоль на 1 мл набухшей CNH-сефарозы. Гели поставляются в виде лиофилизованных порошков, содержащих в качестве стабилизующих добавок лактозу и дексран. Гели устойчивы в течение 18 мес, если их хранят при 8 °C.

7.2.3. ПОЛИАКРИЛАМИДНЫЙ И ОКСИАКРИЛМЕТАКРИЛАТИНЫ ГЕЛИ

ПОЛИАКРИЛАМИДНЫЕ ПРОИЗВОДНЫЕ

Полиакриламильные гели — это гидрофильные сополимеры на основе акриламида и его производных. К углеводородному скелету этих гелей присоединены амидные группы:



Как будет показано далее, воздействия на поликарбамидные гели определенными соединениями, можно получить нерастворимые носители, пригодные для связывания ряда аффинных лигандов. Гели не содержат заряженных групп, и их ионобменная емкость ниже 0,05 мкЭВ/г безводного вещества. Следовательно, ионный обмен с хроматографируемыми соединениями неизначителен. Полиакриламильные гели биологически инертны. Поскольку эти гели представляют собой синтетические полимеры, микроорганизмы их не атакуют. Наиболее известная фирма, выпускающая поликарбамидные гели — Bio-Rad Laboratories (Ричмонд, Калифорния, США). Под названием «биогель Р» выпускаются гели правильной сферической формы с различным размером частиц и пор. Эти гели получают сополимеризацией акриламида и N,N'-метиленбисакриламида (см. табл. 6.3, гл. 6). Для аффинной хроматографии используют биогели Р-300 (предел исключения $4 \cdot 10^5$) и Р-100 (предел исключения $1 \cdot 10^5$), а также слабокислотный катионобменник биогель CM-100. Фирма Bio-Rad производит аминоэтильные и гидразидные производные биогелей Р-2 и Р-60 для синтеза сорбентов, предназначенные для аффинной хроматографии. Исходя из пределов исключения биогелей Р-2 и Р-60 (1800 и $6 \cdot 10^4$), можно пола-

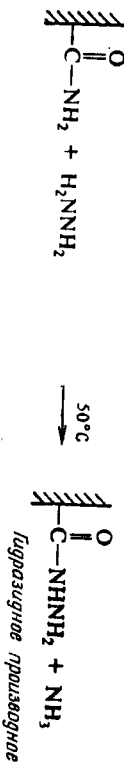
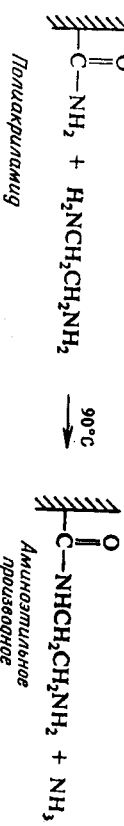
АФФИННАЯ ХРОМАТОГРАФИЯ

гать, что в аффинной хроматографии больших молекул участвуют только группы, расположенные на поверхности частиц геля.

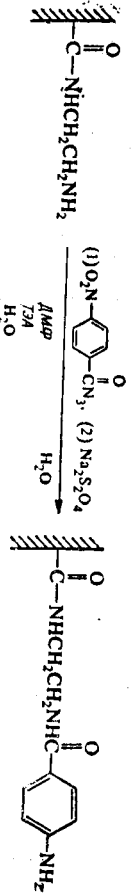
Фирма Koch-Light Laboratories Ltd. (Лондон, Англия) выпускает полиакриламидные гели под названием «Энзакрил». Как будет показано ниже, эти акриламидные гели содержат различные функциональные группы, к которым можно присоединять различные аффинные лиганды.

МЕТОДЫ ПОЛУЧЕНИЯ ПРОИЗВОДНЫХ АКРИЛАМИДНЫХ ГЕЛЕЙ И ПРИСОЕДИНЕНИЯ К НИМ АФФИННЫХ ЛИГАНДОВ

В разработку методов получения производных акриламидно-наэтильные и гидразидные производные полиакриламидных гелей можно получать, обрабатывая гели большим избытком этилендиамина или гидразина.

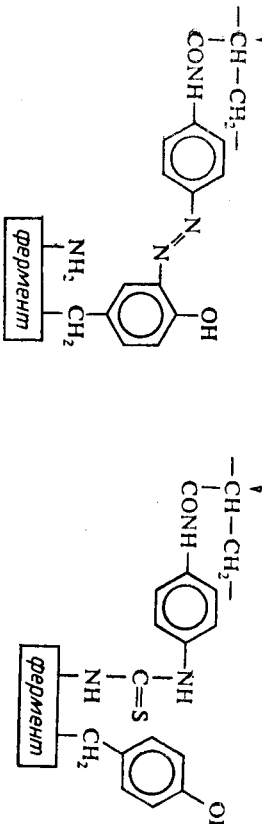
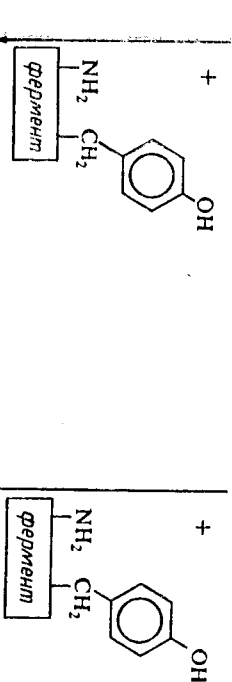
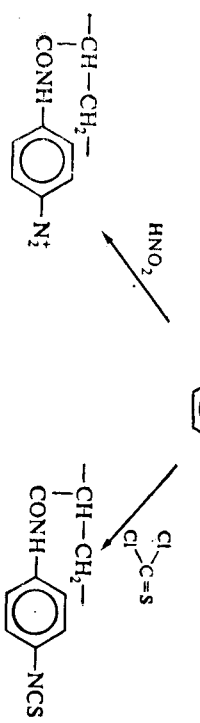
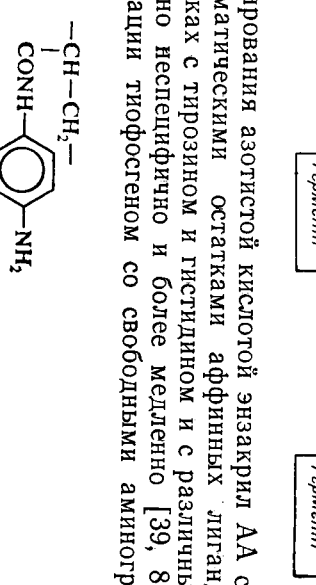


Из аминоэтильного производного и *n*-нитробензоилазида в присутствии диметилформамида (ДМФ), триэтиламина (ТЭА) производное:



Фирма Koch-Light Laboratories выпускает гидразидные производные полиакриламидных гелей (энзакрил АН) и полиакрил АН, содержащие остатки ароматических кислот (энзакрил АА). После активации азотистой кислотой энзакрил АН связывается со свободными аминогруппами аффинного лиганда.

После диазотирования азотистой кислотой энзакрил А.А. связывается с ароматическими остатками аффинных лигандов (например, в белках с тирозином и гистидином и с различными аминогруппами, но неспецифично и более медленно [39, 85]) или после активации тиофосгеном со свободными аминогруппами.



Эта же фирма производит энзакрил полиацеталь — сополимер диметилацетала N-акриламиноацеталгигида и N,N'-метиленбисакриламида, — способный образовывать связи с аминогруппами белков; энзакрил политиол, взаимодействующий в

присутствии окислителей с SH-группами белков, и энзакрил (полиолактон, взаимодействующий с гидроксильными группами белков (остатков серина, треонина или тирозина)). Подробные методики присоединения аффинных лигандов к энзакрилам приведены в каталоге Koch-Light [52]. Однако авторы работы [101] предложили более простой метод непосредственного связывания аффинного лиганда с поликариламидным гелем под действием глутарового альдегида. Взятый в избытке глутаровый альдегид реагирует одной из своих двух альдегидных групп со свободной амидной группой поликариламидного геля. Оставшаяся свободной активная альдегидная группа взаимодействует с аминогруппами лиганда, добавляемого для последующего связывания. Таким образом образуется прочная связь между носителем и аффинным лигандом. Этот метод аналогичен предложеному несколько ранее [2] для получения нерастворимых иммunoсорбентов; молекулы антигена или антитела полимеризуют под действием глутарового альдегида, образующего поперечные связи.

СТАБИЛЬНОСТЬ ПОЛИАКРИЛАМИДНЫХ ГЕЛЕЙ ИХ ПРОИЗВОДНЫХ

Согласно данным фирм, биогель стабилен в области pH от 1—10. При более низких или более высоких pH возможен гидролиз нейтральных амидных групп. Не рекомендуется также использовать сильные окислители. Биогели устойчивы во всех обычных растворителях, применяемых для элюирования. Часто полиакриламидного геля сильно прилипают к чистой поверхности стекла, и поэтому рекомендуется [46] силанизировать поверхность стекла или вести работу в полизтиленовых сосудах.

ОКСИАЛКИЛМЕТАКРИЛЯТНЫЕ ГЕЛИ

Гидрофильные оксиалкилметакрилатные гели, разработанные Чопеком и сотр. [10], готовят сус펜зионной полимеризацией оксиалкильных эфиров метакриловой кислоты с алкилендиметакрилатами. Число реакционностспособных групп, пористость и удельную поверхность геля можно менять в широких пределах, варьируя соотношение концентраций мономеров и инертных компонентов. Структура этого геля показана на рис. 7.4.

Свойства гидроксильных групп этого геля аналогичны свойствам гидроксильных групп агарозы. После активации бромином они, как и гидроксильные группы сефарозы, могут связываться с аминогруппами белков [88].

Семь типов этих гелей под названием «сфероны» выпускают фирмы Lachema (Брюно ЧССР) и Hydron Labs., Inc. (Нью-Бран-

сук, Нью-Джерси, США). Как показано в табл. 7.1, отдельные гели различаются не только по величине предела исключения, но также и по удельной поверхности. Количество связанного химотрипсина непосредственно зависит от величины этой поверхности, а количество связанного глицина указывает на то, что

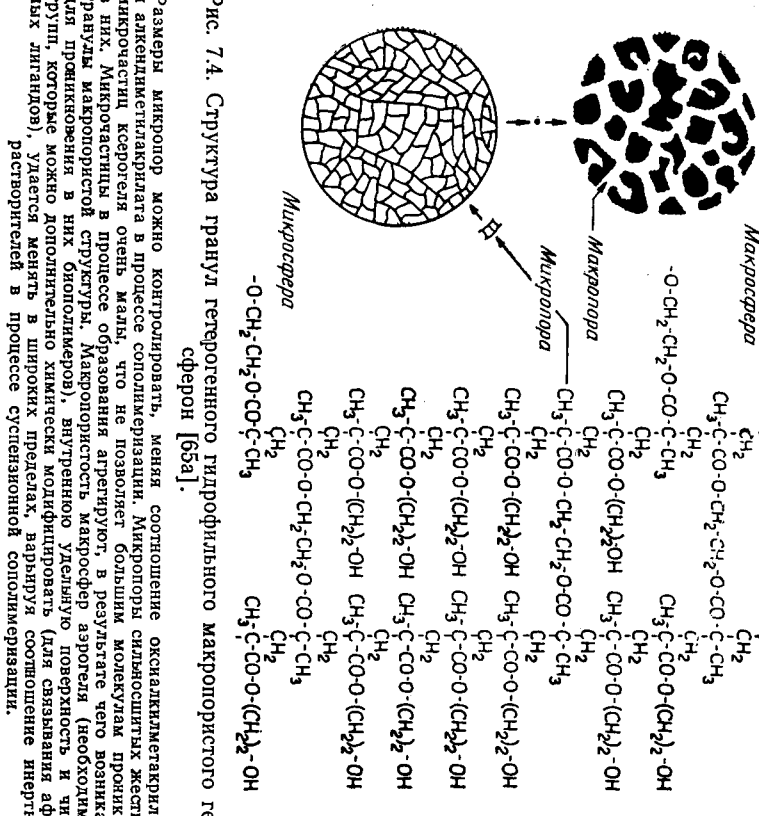


Рис. 7.4. Структура гранул гидрофильного макропористого геля

сферон, которое дополняет химически модифицировать (для связывания аминогрупп) растворителей в процессе сусpenзионной полимеризации.

Различия в числе реакционностспособных гидроксильных групп невелики. Для связывания химотрипсина с молекулярной массой около 25 000 наилучшим оказался сферон 300. Для разделения соединений с большой молекулярной массой следует использовать сфероны с пропорционально большим размером пор.

Сфероны химически устойчивы и прочны. Их структура не меняется после 8-часового нагревания в 1 н. растворе гликолята натрия при 150 °C или 24-часового кипячения с 20% -ной соляной кислотой. На них можно проводить хроматографирование при повышенном давлении. Выпускают сфероны в виде правильной формой сферических частиц различных размеров, причем для аффинной хроматографии наиболее пригодны частицы диаметром 100—200 мкм. При высушивании геля структура его не меняет-

Таблица 7.1

Количество химотрипсина, связанного с оксиалкилметакрилатными гелями (промышленное название «сферон»), как функция величины их удельной поверхности и величин протеолитической и эстеразной активности [88]

Гель	Предел исключений, мол. масса	Удельная поверхность, м ² /мл	Количество связанных белка, мг/мл		Протеолитическая активность ^б		рН оптимальной эстеразной активности	Эстеразная активность ^б	
			глицин ^a	химотрипсин	A ₂₈₀ ·мин ⁻¹ ·мл ⁻¹	% ^в		мкмоль·мин ⁻¹ ·мл ⁻¹	% ^в
Сферон 10 ⁵	10 ⁸	0,96	0,5	0,73	—	—	—	—	—
Сферон 10 ³	10 ⁶	5,9	3,1	7,8	1,23	44	9,4	305	29
Сферон 700	7·10 ⁵	3,6	2,8	6,7	1,17	49	9,1	392	43
Сферон 500	5·10 ⁵	23	2,6	17,1	2,28	37	9,2	810	35
Сферон 300	3·10 ⁵	19,5	3,15	17,7	2,8	44	9,1	1320	55
Сферон 200	2·10 ⁵	0,6	3,3	6,9	1,33	53	9,0	626	67
Сферон 100	1·10 ⁵	0,2	2,6	4,3	0,58	38	9,1	354	61

^aНа примере глицина рассматривалось проникание и связывание низкомолекулярных соединений.

^бВеличины протеолитической активности определены по гидролизу денатурированного гемоглобина, а величины эстеразной активности — по данным о скорости расщепления этилового эфира ацетилтирофена.

^вОтносительная протеолитическая и эстеразная активность определены из соотношения активности 1 мл геля с иммобилизованным химотрипсином к активности свободного химотрипсина. Чтобы рассчитать активность свободного химотрипсина, количество (мг) химотрипсина, связанного с 1 мл геля, умножали на активность раствора 1 мг свободного химотрипсина.

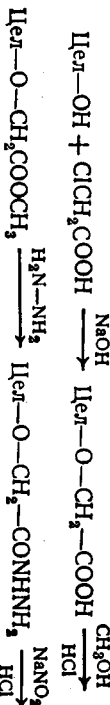
ся; оксиалкилметакрилатные гели, как и акриламидные гели, биологически инертны и не подвергаются воздействию микроорганизмов.

7.2.4. ЦЕЛЛЮЛОЗА И ЕЕ ПРОИЗВОДНЫЕ

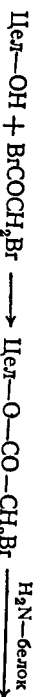
Целлюлоза и ее производные выпускает ряд фирм. В первую очередь это фирма Whatman, которая предлагает широкий ассортимент различных форм целлюлозы и ее ионообменных производных. Наряду с обычными производными целлюлозы фирма Serva Feinbiochemica GmbH (Гейдельберг, ФРГ) производит также ВА-целлюлозу (бромацетилцеллюлозу) для связывания белков, АЕ-целлюлозу (аминоэтилцеллюлозу) для связывания нуклеиновых кислот и РАВ-целлюлозу (*n*-амиnobензилцеллюлозу), которая после диазотирования может связывать различные лиганды. Фирма Bio-Rad Laboratories (Ричмонд, Калифорния, США) поставляет под названием «Целлекс» различные производные целлюлозы, применяемые в качестве носителей (Целлекс РАВ — *n*-амиnobензильное производное, Целлекс А — аминоэтильное производное и др.). Фирмы Miles-Servac и Miles-Yeda выпускают следующие носители: гидразидное производное СМ-целлюлозы (энзайт-СМС), бромацетилцеллюлозу (ВАС) и *m*-аминоbenзилоксиметилцеллюлозу (АВМС).

ХИМИЧЕСКИЕ РЕАКЦИИ ПРИ СВЯЗЫВАНИИ АФФИННЫХ ЛИГАНДОВ

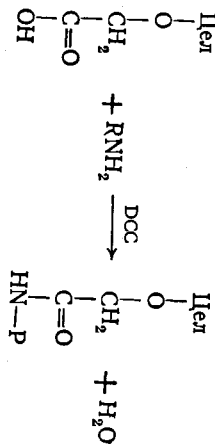
Обзор методов связывания ферментов с целлюлозой опубликован Круком и сотр. [12]. В этом обзоре, в частности, указывается, что наиболее широко используемый азидный метод Курчиуса впервые примененный Мигелем и Эверсом [65], был модифицирован Мишелем и Самариа [66] и позднее Хорби и сотр. [45].



Для связывания белков было применено [47] ацилирование OH-групп целлюлозы бромацетилбромидом и последующее алкилирование аминогрупп белка:



Как уже указывалось, присоединение аффинного лиганда к матрице триазиновым методом первоначально было разработано для целлюлозных носителей [49]. Присоединение лиганда к носителю с помощью диазониевых групп в 1951 г. Кемпбелл [7] впервые использовал для связывания биологически активного соединения с целлюлозой. Метод присоединения веществ со свободной аминогруппой к карбоксильной группе с помощью водорастворимого карбодиимида был первоначально разработан для связывания аффинных лигандов огн-таки с целлюлозой [100]



(DCC-N,N'-дикарбоксикарбодиимид)

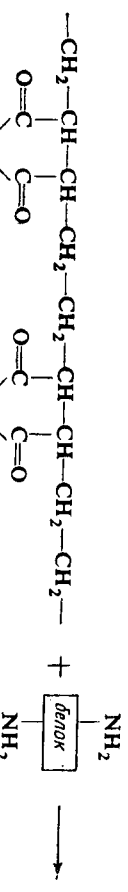
Методы ковалентного связывания нуклеотидов, полинуклеотидов и нуклеиновых кислот рассмотрены в обзоре [33]. Нуклеиновые кислоты обычно присоединяют к аминоэтилцеллюлозе методом периодического окисления.

7.2.5. ДРУГИЕ НОСИТЕЛИ

Для связывания ферментов, антигенов и антител с нерастворимыми матрицами, как это указано в обзорах [78, 81], используется ряд других носителей. Однако область их применения не столь широка. Например, производные полистирола [38, 40, 51, 59–61] больше не применяют, вероятно, из-за их гидрофобности [16], делающей невозможным достаточно хороший контакт между водой и твердой фазой.

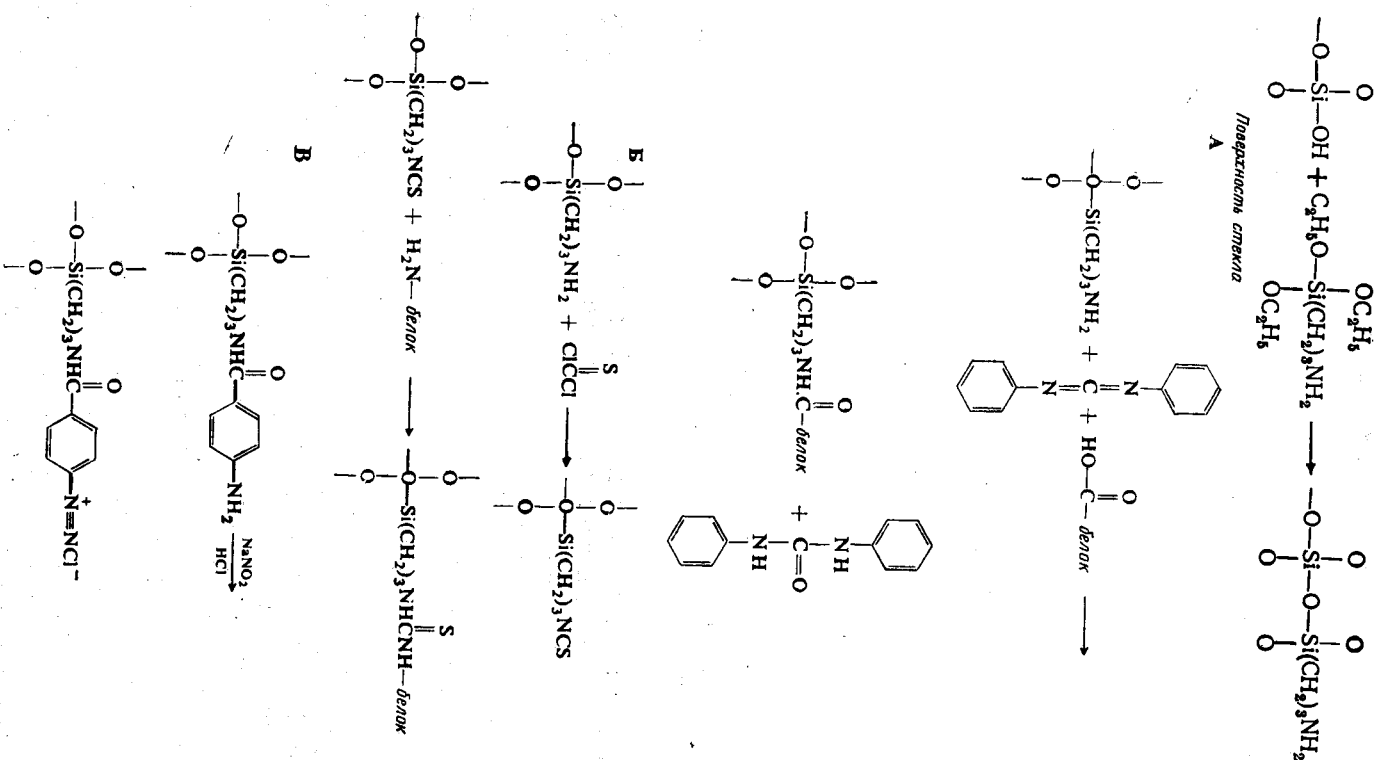
Применение сополимера этилена и малеинового ангидрида (EMA) и диальдегидкарахмал-метилendiамита (S-MDA) и способа связывания с ними лигандов рассмотриваются в обзоре [34]. Получение нерастворимых в воде полианионных ферментов путем связывания с полифункциональными ацилирующими

агентами, а именно с сополимером этилена и малеинового ангидрида (EMA), описано в работах [54, 36], опубликованных в 1964 г. Полимер реагирует главным образом с ε-аминогруппами остатков лизина белков:



Непрореагировавший малеиновый ангидрид гидролизуется в водном растворе и дает матрицу полианионной природы. Широко применяемые в настоящее время нейтральные носители типа сефарозы или бигеля не обладают такими анионными свойствами. Свойства нерастворимых ферментов на носителе типа EMA подробно изучены рядом авторов [35, 36, 58, 81]. Полианионные EMA-производные протеолитических ферментов используются для получения некоторых ингибиторов этих ферментов [27, 30–32, 43, 44], а EMA-производное ингибитора трипсин-калликреина — для выделения калликреина и плазмина [28]. Сополимер этилена и малеинового ангидрида выпускается фирмой Monsanto Company (США) под названием EMA. Английская фирма Miles-Yeda синтезирует из этого полимера нерастворимые ферменты энзайт-EMA.

В заключение следует упомянуть о нерастворимых производных ферментов, получаемых в результате ковалентного связывания со стеклом. Эта методика разработана сотрудниками фирмы Corning Glass Co. [55, 64, 90–93, 96, 98, 99]. Сначала У-аминопропилтриэтоксисилан связывается с поверхностью стекла, а затем в присутствии подходящего реагента образует связь с карбоксильной группой (A), аминогруппой (B) или ароматической группой тиозина (B) иммобилизованного лиганда [94]:



Среди других неорганических носителей наряду со стеклом использовали также оксид никеля [97]. Перечень различных носителей, которые применялись для связывания аффинных лигандов, приведен в обзорах [34, 81].

7.3. ПРОМЫШЛЕННЫЕ АФФИННЫЕ ЛИГАНДЫ, СВЯЗАННЫЕ С НЕРАСТВОРИМЫМ НОСИТЕЛЕМ

На все возрастающую потребность в материалах для аффинной хроматографии, необходимых для выделения биологически активных соединений, впервые откликнулась фирма Miles Laboratories Ltd. (Англия), которая начала производство ряда пептидов, аминокислот, ферментов, антигенов и антител, связанных с нерастворимыми носителями. Для выделения химотрипсина [18] предназначен метиловый эфир ϵ -аминокапрон- δ -триптофана, связанный с агарозой, для выделения папаина [6] — связанный с агарозой пептид агароза-Gly-Gly-Tyr(OBz)-Arg (где OBz — О-бензил), а для выделения рибонуклеазы [103] — агароза-5'-($4'$ -аминофенилфосфорилиуридин-2'-(3')fosфат). Эта же фирма выпускает производные агарозы и γ -и δ -триптофана, предназначенные для выделения белков, способных связывать триптофан [83], производные агарозы и ϵ -фенилаланина — для выделения белков, способных связывать фенилаланин [8], и производные агарозы и ϵ -тирофана — для выделения белков, способных связывать тирозин (например, 3-дезокси- α -арabinогалтулозонат-7-фосфат синтетазы) [8]. На агарозе-тирофите выделяют белки, связывающие тироксин [73]. Присоединенный к агарозе конкавалин А (гликозилекс А) используется для

Иммобилизованные ферменты фирмы Miles Laboratories Ltd.

Фермент	Фермент, иммобилизован- ный на СМ-целлюло- зе ^a или на DEAE-цел- люзое ^b	Содержа- ние белка, %	Фермент, иммобилизован- ный на сополимере эти- лена с малениновым ангид- ридом	Содержа- ние белка, %	Фермент, связанный с ага- розой
Алкогольдегидрогеназа	Энзайт-YADH ^b	1—5			
α-Амилаза	Энзайт-α-амилаза ^a	1—5			
Бромелайн	Энзайт-бромелайн ^a	5—10			
Химотрипсин	Энзайт-химотрипсин ^a	5—10	Энзайт-ЕМА-химотрип- син	65—70	Энзайт-агароза-химо- трипсин
Цитохром с	Энзайт-цитохром с ^a	5—10			
Фицин	Энзайт-фицин ^a	5—10			
Глюкозоксидаза	Энзайт-глюкозоксидаза ^b	5—10			
Лейцинаминопептидаза	Энзайт-лейцинаминопеп- тидаза ^b	5—10			
Папаин	Энзайт-папаина	5—10	Энзайт-ЕМА-папаин	60—65	Энзайт-агароза-папаин
Протеаза (Streptomyces griseus)	Энзайт-протеаза ^a	1—10			Энзайт-агароза-протеаза
Пероксидаза	Энзайт-пероксидаза ^a	1—10			
Рибонуклеаза	Энзайт-рибонуклеаза ^a	5—10			
Субтилопептидаза			Энзайт-ЕМА-субтилопеп- тидаза В	50—55	
Трипсин	Энзайт-трипсина	5—10	Энзайт-ЕМА-субтилопеп- тидаза А	50—55	
Уреаза	Энзайт-уреаза ^b	5—10	Энзайт-ЕМА-трипсин	65—70	Энзайт-агароза-трипсин

выделения макромолекул, содержащих гликозильные концевые группы [104]. Выпускается также чистый, связанный с СМ-целлюзой.

Перечень нерастворимых ферментов, выпускаемых фирмой Miles Laboratories Ltd., приведен в табл. 7.2. К СМ- и DEAE-целлюзе ферменты присоединяют азидным методом [65], с помощью триазиновых производных [50], или по методу Баркер [5] путем diazотирования 2-окси-3-(*n*-аминофенокси)пропиолового эфира целлюлозы. Иммобилизованные на целлюлозе ферменты содержат относительно мало белка. Ферменты с высоким содержанием белка получают путем связывания белков с сополимером этилена и маленинового ангидрида [54]. Ферменты, присоединенные к агарозе триазиновым методом, характеризуются высокой ферментативной активностью главным образом по отношению к макромолекулярным субстратам [50]. Препараты рекомендуется хранить в среде с pH не ниже 5.0.

Среди прочих иммобиленов фирма Miles-Seravac выпускает нерастворимые галтели: связанные с агарозой димигрофенол, арсаниловую, гиббереллиновую и 3-индолилуксусную кислоты. Для выделения антител предназначены следующие связанные с агарозой антигены: бычий сывороточный альбумин, человеческие и козлиные иммуноглобулины. Для выделения антигенов производятся связанные с агарозой антитела против бычьего альбумина, гормона роста, глюкагона, человеческого IgG, димигрофенола, гиббереллиновой кислоты и 3-индолилуксусной кислоты. Конкавалин A, связанный с агарозой (Сон А-серапоза), поставляет фирма Pharmacia Fine Chemicals (Швеция), а трипсин, связанный с целлюлозой, — фирма Merck (ФРГ).

7.4. ПРИМЕНЕНИЕ

7.4.1. АФФИННАЯ ХРОМАТОГРАФИЯ НА ПРОИЗВОДНЫХ АГАРОЗЫ

ВЫДЕЛЕНИЕ КУРИНОГО ОВОИНГИБИТОРА МЕТОДОМ АФФИННОЙ ХРОМАТОГРАФИИ НА СЕФАРОЗЕ, СВЯЗАННОЙ С ХИМОТРИПСИНОМ [67]

Неочищенный куринный овомукоид, полученный по методу, описанному в статье [56], содержит два ингибитора трипсина [63]. Наряду с овомукоидом, ингибирующим только трипсин, он также содержит и другой ингибитор, названный авторами работы [63] овоингбитором, который действует не только на хи-

мотрипин, но и на трипсин. Выделить овонгибитор достаточно сложно, так как в процессе выделения получаются фракции с различным содержанием сахара, несущих заряд (например,

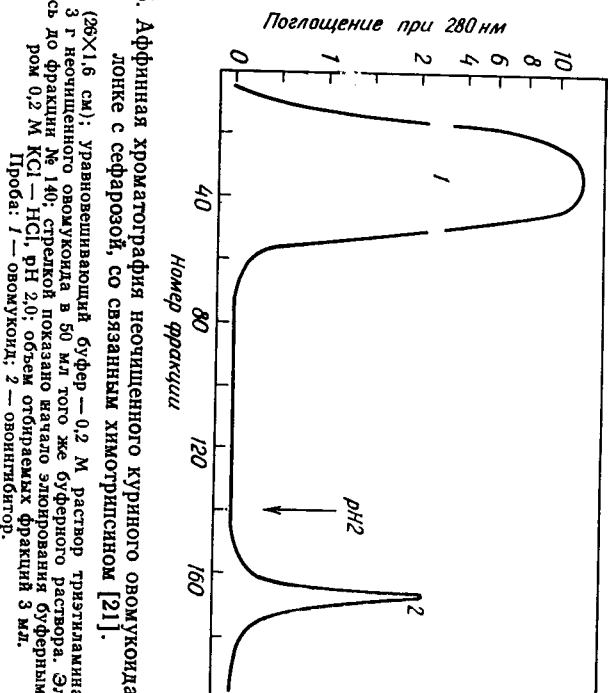


Рис. 7.5. Аффинная хроматография неочищенного куриного овомуконда на колонке с сепарозом, со связанным химотрипсином [21].

Колонка (26×1,6 см); уравновешивающий буфер — 0,2 М раствор триэтанамина, pH 8; образец: 3 г неочищенного овомуконда в 50 мл того же буферного раствора. Элюирование велось до фракции № 140, стрелкой показано начало элюирования буферным раствором 0,2 М KCl—HCl, pH 2,0; объем отбираемых фракций 3 мл.

Проба: 1 — овомуконд; 2 — овонгибитор.

сиаловой кислоты), но с одинаковыми аминокислотным составом, молекулярной массой и ингибирующей активностью. Методом аффинной хроматографии на сепарозе, ковалентно связанный с химотрипсином, Файнштейн [21] выделил куриный ингибитор из неочищенного овомуконда в одну стадию. Колонку с химотрипсином-сепарозом (26×1,6 см), полученной в результате связывания химотрипсина с сепарозом 2В [76], промывали в холодильнике 0,2М триэтиламмониевым буферным раствором (pH 8,0). Навеску сырого овомуконда (3 г) растворяли в 50 мл раствора и вводили образец в колонку. После начала элюирования отбор элюата (порциями по 3 мл) вели до тех пор, пока в элюате присутствовал белок (рис. 7.5). Далее меняли буферный раствор и элюировали раствором 2М KCl—HCl (pH 2) второй пик белка — овонгибитор. После диализа и лиофилизации фракции, соответствующая первому пику, не проявляла никакой ингибирующей активности по отношению к химотрипсину, в то время как фракция, соответствующая второму пику, проявляла

ВЫДЕЛЕНИЕ ХИМОТРИПСИНА МЕТОДОМ АФФИННОЙ ХРОМАТОГРАФИИ НА СЕФАРОЗЕ, КОВАЛЕНТНО СВЯЗАННОЙ С МЕТИЛОВЫМ ЭФИРОМ

ε-АМИНОКАПРОИЛ-Д-ТРИПТОФАНА [18]

Метиловый эфир D-триптофана — относительно стабильный ингибитор химотрипсина (константа ингибирования $K_i = 10^{-4}$). После его связывания с сепарозой [18] даже в такой высокой

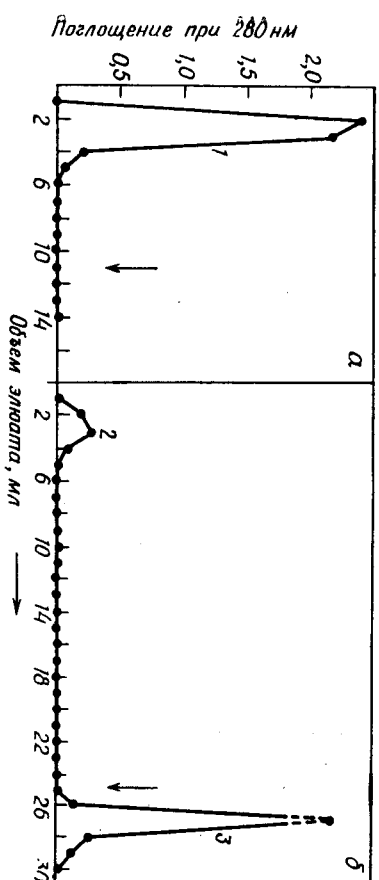


Рис. 7.6. Хроматографическое выделение химотрипсина на незамещенном сепарозе (а) и выделение того же соединения методом аффинной хроматографии на сепарозе, с привитым метиловым эфиrom ε-аминокаприл-Д-триптофана (б) [18].

Колонка 0,5×5 см; уравновешивающий буферный раствор — 0,05 М три-НCl-буфер, pH 8; образец: 2,5 мг неочищенного химотрипсина в 0,5 мл того же буферного раствора (в обоих случаях); скорость элюирования 40 мл/ч; объем отбираемых фракций 1 мл; стрелками показано начало элюирования 0,1 М уксусной кислотой.

Проба: 1 — смесь; 2 — примесные белки; 3 — химотрипсин.

концентрации, как 10 мкмоль на 1 мл сепарозы, этот носитель уже нельзя использовать для выделения химотрипсина. Однако если между этим ингибитором и матрицей ввести ε-аминокапропильтную группу, то можно получить нерастворимый аффинный лиганд, вполне пригодный для выделения химотрипсина. На рис. 7.6 представлены результаты хроматографирования препарата химотрипсина, проведенного на колонке с незамещенной сепарозой и на колонке с сепарозом, связанной с метиловым эфиром ε-аминокаприл-Д-триптофана. Колонку размером 0,5×5 см приводили в состояние равновесия, пропуская через нее 50 мМ три-НCl-буферный раствор (pH 8,0). Образцы про-

ингибирующую активность даже по отношению к химотрипсину. Первая фракция содержала даже овомуконд, вторая — чистый овонгибитор.

Таблица 7.3

Примеры применения аффинной хроматографии на агарозе и ее производных

Выделяемое соединение	Аффинный лиганд	Литература
Ферменты		
Шелочная протеаза <i>Aspergillus oryzae</i>	Овоингибитор (высокомолекулярный природный ингибитор)	22
Глицеральдегид-3-фосфатдегидрогеназа	Никотинамидадениндинуклеотид (кофактор)	67
Папаин	<i>n</i> -Аминомеркуриацетат	82
РНК-полимераза	Дезоксирибонуклеиновая кислота	71
Трипсин	<i>n</i> -Аминобензамидин (низкомолекулярный ингибитор)	42
Протеазы пшеницы	Гемоглобин (субстрат)	9
Ингибиторы		
α_1 -Антитрипсин	Конкавалин А	69
Овоингибитор	Химотрипсин	21
Пептиды		
Пептид активного центра нуклеазы стафилококков	Нуклеаза	120
Другие соединения		
Пептид участка связывания антидинитрофенильных антител	Антитело	25
Пептиды, содержащие нитротирозин	Антитела против нитротирозина	41
Аденозин-3',5'-монофосфат	AMP-связывающий белок	24
Агглютинин соевых бобов	N-ε-Аминокапронил-β-D-галактопиранозиламин	37
Антитела против инсулина	Инсулин	13
Авидин	Биоцитин	17
α -Фетопротеин	Антитело	70
α -Фетопротеин	Конкавалин А	72
Липиды и липопротеиды	Додециламин	20
Тироксин, связанный с белками	Тироксин	73
Сывороточный альбумин	Жирные кислоты	74
Вазопрессин	Нейрофизин	77
Вирусы	Антитело	62

бы (2,5 мг каждого) вводили в виде раствора в 0,5 мл этого же буфера. Элюирование вели при скорости потока 40 мл/ч при комнатной температуре; элюат отбирали порциями по 1 мл. α -Химотрипсин элюировался примерно 0,1М уксусной кислотой (рН 3,0) (стрелка на рисунке) и отделялся от неактивного белка, содержащегося в первом пике. α -Химотрипсин может также элюироваться раствором сильного конкурентного ингибитора, например 0,018M раствором β -фенилпропионамида ($K_i = 6 \cdot 10^{-3}$) [16].

ДОПОЛНИТЕЛЬНЫЕ ПРИМЕРЫ ПРИМЕНЕНИЯ АГАРОЗЫ И ЕЕ ПРОИЗВОДНЫХ

Количество исследований, в которых в качестве нерастворимого носителя применяется агароза и ее производные с привитыми аффинными лигандами, увеличивается по мере развития аффинной хроматографии, и полный обзор таких работ в рамках одной главы практически невозможен. Так, в 1968 г. были опубликованы всего две работы, описывающие использование агарозы в качестве носителя в аффинной хроматографии, в 1969 г. таких работ было уже примерно 10, а в 1970 г. — около 20, а в 1971 г. — более 40, в 1972 г. — более 70, а в последующие годы это число было вновь превышено. В табл. 7.3 приведены некоторые примеры использования агарозы в аффинной хроматографии, показывающие возможности этого метода.

7.4.2. АФФИННАЯ ХРОМАТОГРАФИЯ КЛЕТОК НА БИОГЕЛЕ Р-6 СО СВЯЗАННЫМ ГАПТЕНОМ [86]

Клетки, продуцирующие антитела против коньюгированного антигена азофенил- β -лактозида, можно избирательно отделить от других клеток [86] на колонке с биогелем Р-6 со связанным гаптеном.

Сухой биогель Р-6 (5 г) переволят в гидразидное, а затем в циазидное производное [46] и 150 мл полученной смеси обрабатывают 20 мл 5 mM раствора гистамина и приблизительно 3,75 мл триэтиламина; pH реакционной массы следует поддерживать примерно постоянным около 9,5. Обработку ведут в течение часа при 0°C, после этого добавляют 20 мл этаноламина, чтобы удалить оставшиеся ациазидные группы. Гель выдерживают в течение часа, промывают и уравновешивают 0,25M боратным буфером, pH 9,0. Далее при 0°C к раствору 5,1 моль *n*-аминофенилгликозида в 45 мл 0,25M соляной кислоты добавляют 5 мл раствора нитрита натрия (5 ммоль, 0,34 г). Через 15 мин раствор образующейся диазониевой соли медленно, при

постоянном перемешивании добавляют к 100 мл суспензии биогеля со связанным гистамином в боратном буфере, pH 9,0. Реакционную смесь выдерживают несколько часов при 4°C. Биогель, связанный с азофенилгликозидом, промывают несколько раз десорбцией 1%-ным раствором хлорида натрия, переносят в силиконизованную колонку (25 × 1,5 см) и промывают 0,15M хлоридом натрия в 0,02M фосфатном буфере, pH 7,2. С 1 мл геля на такой колонке связывается 0,2—0,5 мг антител. Суспензию клеток (~1—2 мл) хроматографируют при 4°C на приготовленной таким образом колонке в фосфатно-солевом буферном растворе (рН 7,2) при скорости потока буферного раствора 40—60 мл/мин. Клетки, не обладающие средством к связанныму гаптену, свободно проходят через колонку, в то время как клетки, имеющие средство к связанныму гаптену, количественно элюируются нескользко позднее. По окончании разделения колонку промывают 100 мл раствора лактозы и снова уравновешивают фосфатно-солевым буферным раствором; биогель со связанным гаптеном хранят при 4°C в 0,02%-ном растворе азота натрия.

Применение акриламидных гелей в аффинной хроматографии в настоящее время весьма ограничено. Куатреказас [14] показал, что выделение относительно малой молекулы нуклеазы стафилококков можно проводить не только на сепарозе, но и на биогеле Р-300, однако для выделения больших молекул, например β -галактозидазы [84], этот гель мало пригоден из-за низкой пористости.

7.4.3. АФФИННАЯ ХРОМАТОГРАФИЯ НА ПРОИЗВОДНЫХ ЦЕЛЛЮЛОЗЫ

ОЧИСТКА АНТИТЕЛ С ПОМОЩЬЮ ИММУНОСОРБЕНТОВ, ПОЛУЧЕННЫХ С ПРИМЕНЕНИЕМ БРОМАЦЕТИЛЦЕЛЛЮЛОЗЫ (ВАС) [79]

Оптимальные значения pH для физической адсорбции антигенов на ВАС в 0,15M фосфатно-дигидратных буферных растворах (табл. 7.4) определены Робинсоном и сотр. [79]. Антиген (300—500 мг) растворяют в таком буферном растворе, в котором адсорбция оптимальна, и к полученному раствору добавляют 1 г (сухая масса) ВАС. Суспензию интенсивно перемешивают 30 мин магнитной мешалкой при комнатной температуре. После центрифugирования (10 мин при 1000 g) реакционную массу супензируют в 30 мл 0,1M натрийбикарбонатного буфера, pH 8,9, и оставляют при 4°C на 24 ч, периодически перемешивая. При этом значение pH происходит химическое связывание антигена и ВАС. Суспензию вновь центрифицируют 10 мин при 10 000 g

и целлюлозу вновь супенцируют в буферном растворе (0,05М 2-аминоэтанол — 0,1М бикарбонат натрия, pH 8,9), чтобы удалить непрореагировавший бром. После 24-часовой выдержки супензию коньюгата промывают раствором 0,15М хлорида натрия до полного исчезновения антигена в супернатанте (контролируется по поглощению при 280 нм). Для того чтобы на целлюлозе остался только ковалентно связанный антиген, ее вновь супенцируют в 30 мл 8М раствора мочевины и медленно перемешивают 24 ч при комнатной температуре. После центрифугирования промывают 8М раствором мочевины повторяют до исчезновения антигена (контролируется по поглощению при 280 нм). Далее коньюгат перемешивают в течение часа при 37 °C в 0,1М уксусной кислоте. В этих условиях антиген не должен элюироваться с целлюлозы. После центрифугирования коньюгат супенцируют в 0,15М фосфатном буфере, pH 7,4 и хранят при 4 °C. Коньюгат сохраняет в значительной мере свою активность по крайней мере в течение 6 мес. Количество антител, связанных с целлюлозой, по данным анализа содержания азота в сухих образцах, приведено в табл. 7.4.

Антитела выделяют из сыворотки центрифугированием при 20 000 g в течение 1 ч при 4 °C. После удаления липидных веществ иммуносорбент смешивают с сывороткой и супензию 2 ч перемешивают магнитной мешалкой при 4 °C. Коньюгат целлюлозы центрифугируют при 20 000 g в течение 20 мин. Адсорбент вновь супенцируют в 0,15М растворе хлорида натрия и центрифицируют еще 10 мин при той же скорости. Этую операцию повторяют (обычно 3 или 4 раза) до тех пор, пока поглощение промывных вод при 280 нм снизится до 0,08. Антитела элюируют из адсорбента после супенцирования комплекса антигено-иммunoсорбент в 0,1М уксусной кислоте, pH 2,8. После часового перемешивания при 37 °C супензию центрифугируют 30 мин при 20 000 g, супернатант дилизуируют в 350—700-кратном количестве 0,01 Н трипсина-НCl-буфера (pH 7,0), содержащего 0,1М раствор хлорида натрия.

ОБЗОР ПРИМЕНЕНИЯ ПРОИЗВОДНЫХ ЦЕЛЛЮЛОЗЫ

Как было показано выше, целлюлоза была первым носителем в аффинной хроматографии. Обзор данных по применению целлюлозы для выделения антител и антигенов приведен в работе [8]. Данные о ковалентном связывании нуклеотидов, полинуклеотидов и нуклеиновых кислот обобщены в статье [33]. Хотя в настоящее время в аффинной хроматографии применяются и другие твердые носители, целлюлоза не потеряла своего значения. Трипсин, связанный с целлюлозой, по-прежнему ис-

Таблица 7.4

Состав иммуносорбентов, полученных из бромацетилцеллюлозы (БАЦ), и способность их к связыванию антител [79]

Антиген, связанный с целлюлозой	pH физической адсорбции на ВАС	Количество связанного антигена, мг/г сорбента	Количество адсорбированных и элюированных антител, мг/г сорбента	Средний выход, %
Белки				
Бычий сывороточный альбумин	3,8	286	180	92
Лизоцим	2,0	285	131	87
Папаин	3,8	167	325	75
Рибонуклеаза	2,2	24	72	87
Гаптен-белковые коньюгаты				
ДНФ-сывороточный альбумин человека	3,2	280	284	97
Поли-DL-фенилаланил-сывороточный альбумин человека	4,6	38	140	88
Поли-L-тироэил-желатина	4,6	375	210	88
Синтетические полипептиды				
p(Tyr, Glu)-pDL-ALA...pLys (Tyr, Glu, Ala)	4,0 4,6	286 33	240 140	96 76
Синтетические полипептидные коньюгаты				
Уридин-pDL-Ala...pLys	4,6	34	40	76

пользуется для выделения ингибиторов из различных источников. [23, 29, 87]. С помощью ингибиторов трипсина, связанных с цеплюлозой, удалось выделить некоторые протеазы [68]. В 1971 г. была выделена аминоцилаза [80]. Лоу и Дин [19, 57] считают, что цеплюлоза остается наилучшим носителем для связывания никотинамидных нуклеотидов, и они выделили на неё NAD-связывающие дегидрогеназы.

ЛИТЕРАТУРА

1. Ahrgren L., Kagedal L., Åkerström S., Acta Chem. Scand., **26**, 285 (1972).
2. Avramaeas S., Ternynck T., Immunochemistry, **6**, 53 (1969).
3. Axen R., Ernback S., Eur. J. Biochem., **18**, 351 (1971).
4. Axen R., Porath J., Ernback S., Nature, **214**, 1302 (1967).
5. Barker S. A., Somers P. J., Carbohydrate Res., **8**, 491 (1968).
6. Blumberg S., Schlechter I., Berger A., Eur. J. Biochem., **15**, 97 (1970).
7. Campbell D. H., Luescher E. L., Lerman L. S., Proc. Natl. Acad. Sci. US, **37**, 575 (1951).
8. Chan W. W. C., Takahashi M., Biochem. Biophys. Res. Commun., **37**, 272 (1969).
9. Chua G. K., Bushuk W., Biochem. Biophys. Res. Commun., **37**, 545 (1969).
10. Coupek J., Kriváková M., Pokorný S., J. Polymer. Sci., Symp., **42**, 182 (1973).
11. Craven G. R., Steers E. Jr., Anfinsen C. B., J. Biol. Chem., **240**, 2468 (1965).
12. Crook E. M., Brooklehurst K., Wharton C. W., Methods in Enzymology, Vol. 19, Academic Press, New York (1970), p. 963.
13. Cuatrecasas P., Biochem. Biophys. Res. Commun., **35**, 531 (1969).
14. Cuatrecasas P., J. Biol. Chem., **245**, 3059 (1970).
15. Cuatrecasas P., Anfinsen C. B., Ann. Review Biochem., **40**, 259 (1971).
16. Cuatrecasas P., Anfinsen C. B., Methods in Enzymology, Vol. 22, Academic Press, New York, 345 (1971).
17. Cuatrecasas P., Wilchek M., Biochem. Biophys. Res. Commun., **33**, 235 (1968).
18. Cuatrecasas P., Wilchek M., Anfinsen C. B., Proc. Natl. Acad. Sci. US, **61**, 636 (1968).
19. Dean P. D. G., Lowe C. R., Biochem. J., **127**, 11P (1972).
20. Deutsch D. G., Fogelman D. J., von Kaulla K. N., Biochem. Biophys. Res. Commun., **50**, 758 (1973).
21. Feinstein G., Biochim. Biophys. Acta, **236**, 73 (1971).
22. Feinstein G., Gertler A., Biochim. Biophys. Acta, **309**, 196 (1973).
23. Fink E., Jaumann E., Fritz H., Ingrisch H., Werle E., Z. Physiol. Chem., **352**, 1591 (1971).
24. Fisch H. U., Piška V., Schwäyer R., Eur. J. Biochem., **30**, 1 (1972).
25. Franek F., Eur. J. Biochem., **33**, 59 (1973).
26. Friedberg F., Chromatog. Rev., **14**, 121 (1971).
27. Frits H., Brey B., Beress L., Z. Physiol. Chem., **353**, 19 (1972).
28. Frits H., Brey B., Schmid A., Werle E., Z. Physiol. Chem., **350**, 617 (1969).
29. Frits H., Gebhardt M., Meister R., Ilshmann K., Hochstrasser K., Z. Physiol. Chem., **351**, 571 (1970).
30. Frits H., Hochstrasser K., Werle E., Brey E., Gebhardt B. M., Z. Anal. Chem., **243**, 452 (1968).
31. Frits H., Schulte H., Hutzel M., Wiedermann M., Werle E., Z. Physiol. Chem., **348**, 308 (1967).
32. Fritz H., Schulte H., Neudecker M., Werle E., Angew. Chem., **78**, 775 (1966).
33. Grünman P. T., Methods in Enzymology, Vol. 21, Academic Press, New York (1971), p. 191.
34. Goldstein L., Methods in Enzymology, Vol. 19, Academic Press, New York (1970), p. 935.
35. Goldstein L., Katchalsky E., Z. Anal. Chem., **243**, 375 (1968).
36. Goldstein L., Levin Y., Katchalski E., Biochemistry, **3**, 1913 (1964).
37. Gordon J. A., Blumberg S., Lis H., Sharon N., FEBS Letters, **24**, 193 (1972).
38. Grubhofer N., Schleith L., Z. Physiol. Chem., **297**, 108 (1954).
39. Gundlach G., Kotine C., Turba F., Biochem. Z., **336**, 215 (1962).
40. Gyenes C., Rose B., Schon S. H., Nature, **181**, 1465 (1958).
41. Helman M., Gurol D., Biochem. J., **125**, 971 (1971).
42. Hixson H. F., Nishikawa A. H., Arch. Biochem. Biophys., **154**, 501 (1973).
43. Hochstrasser K., Reichert R., Matzner M., Werle E., Z. Klin. Chem. Biochem., **10**, 104 (1972).
44. Hochstrasser K., Reichert R., Schwarz S., Werle E., Z. Physiol. Chem., **353**, 221 (1972).
45. Hornby W. E., Lilly M. D., Crook E. M., Biochem. J., **98**, 420 (1966).
46. Inman J. K., Dintzis H. M., Biochemistry, **8**, 4074 (1969).
47. Jagerstorff A. T., Patchornik A., Sela M. P., Biochim. Biophys. Acta, **78**, 516 (1963).
48. Kaldor N., Silman I., Blumberg S., Dudai Y., Biochim. Biophys. Acta, **207**, 560 (1970).
49. Kay G., Crook E. M., Nature, **216**, 514 (1967).
50. Kay G., Lilly M. D., Biochim. Biophys. Acta, **198**, 276 (1970).
51. Knet L. H., Stade J. H. R., Biochem. J., **12**, 77 (1960).
52. Koch-Light Lab. Catalogue KI4, 476 (1973).
53. Lerman L. S., Proc. Natl. Acad. Sci. US, **39**, 232 (1953).
54. Levin Y., Pecht M., Goldstein L., Katchalski E., Biochemistry, **3**, 1905 (1964).
55. Line W. F., Kwong A., Weetall H. H., Biochim. Biophys. Acta, **242**, 194 (1971).
56. Lineweaver H., Murray C. W., J. Biol. Chem., **171**, 565 (1947).
57. Lowe C. R., Dean P. D. G., FEBS Letters, **14**, 313 (1971).
58. Lowe C. R., Dean P. D. G., Cohen C., Luck S. M., J. Mol. Biol., **23**, 287 (1967).
59. Manecke G., Forster H. J., Makromol. Chem., **91**, 136 (1966).
60. Manecke G., Günzel G., Naturwiss., **54**, 531 (1967).
61. Manecke G., Singer S., Makromol. Chem., **39**, 13 (1960).
62. Matheka H. D., Massagay M., Arch. Gesamte Virusforsch., **27**, 13 (1969).
63. Matsushima K., Science, **127**, 1178 (1958).
64. Messing R. A., Enzymologia, **39**, 12 (1970).
65. Michee F., Ewers J., Makromol. Chem., **3**, 200 (1949).
66. Mitz M. A., Summaria L. J., Nature, **189**, 576 (1961).
67. Mosbach K., Gulford H., Ohisson R., Scott M., Biochem. J., **127**, 625 (1972).
68. Moscovitch V. V., Lushnikova E. V., Biokhimiya, **35**, 440 (1970).
69. Murthy R. J., Hercz A., FEBS Letters, **32**, 243 (1973).
70. Nishi S., Hirai H., Biochim. Biophys. Acta, **278**, 293 (1972).
71. Nüsslein G., Heyden B., Biochim. Biophys. Acta, **278**, 293 (1972).
72. Page M., Canad. J. Biochem., **51**, 1213 (1973).
73. Pensky J., Marsall J. S., Arch. Biochem. Biophys., **135**, 304 (1969).
74. Peters T. Jr., Taniguchi H., Anfinsen C. B., Jr., J. Biol. Chem., **248**, 2447 (1973).
75. Porath J., Biochimie, **55**, 943 (1973).
76. Porath J., Axén R., Ernback S., Nature, **215**, 1491 (1967).

77. Pradelles P., Morgat J. L., Fromageot P., Canier M., Bonne D., Cohen P., Bockaert J., Jard S., FEBS Letters, **26**, 189 (1972).
78. Reiner R. H., Walk A., Chromatographia, **4**, 578 (1971).
79. Robbins J. B., Haimovich J., Sela M., Immunochimistry, **4**, 11 (1967).
80. Sato T., Mori T., Tosa T., Chibata I., Arch. Biochem. Biophys., **147**, 788 (1971).
81. Sielman J. H., Katchalski E., Ann. Rev. Biochem., **35**, 873 (1966).
82. Sluyterman L. A. A.E., Wijdeven J., Biochim. Biophys. Acta, **200**, 593 (1970).
83. Sprossler B., Lingens F., FEBS Letters, **6**, 232 (1970).
84. Steers E., Cuatrecasas P., Pollard H., J. Biol. Chem., **246**, 196 (1971).
85. Tabachnik M., Soboka H., J. Biol. Chem., **235**, 1051 (1960).
86. Truffa-Bachi P., Wojsy L., Proc. Natl. Acad. Sci. US, **63**, 685 (1970).
87. Tschesche H., Dietl T., Marx R., Fritz H. Z. Phys. Chem., **353**, 483 (1972).
88. Turková J., Hubálková O., Křiváčková M., Coupék J., Biochim. Biophys. Acta, **322**, 1 (1973).
89. Turková J., J. Chromatog., **91**, 267 (1974).
90. Weetall H. H., Baum G., Biotech. Bioeng., **12**, 399 (1970).
91. Weetall H. H., Biochim. Biophys. Acta, **212**, 1 (1970).
92. Weetall H. H., Nature, **223**, 959 (1969).
93. Weetall H. H., Nature, **232**, 473 (1971).
94. Weetall H. H., Research Development, **22**, 18 (1971).
95. Weetall H. H., Science, **166**, 615 (1969).
96. Weetall H. H., Hersch L. S., Biochim. Biophys. Acta, **185**, 464 (1969).
97. Weetall H. H., Hersch L. S., Biochim. Biophys. Acta, **206**, 54 (1970).
98. Weibel M. K., Bright H. J., Biochem. J. **801** (1971).
99. Weibel M. K., Weetall H. H., Bright H. J., Biochem. Biophys. Res. Commun., **44**, 347 (1971).
100. Weiley N., Weetall H. H., Gilden R. V., Campbell D. H., Immunochimistry, **1**, 219 (1964).
101. Weston P. D., Avrameas S., Biochim. Biophys. Res. Commun., **45**, 1574 (1971).
102. Wilchek M., FEBS Letters, **7**, 161 (1970)*.
- 102a. Wilchek M., Advan. Exp. Med. Biol., **42**, 15 (1974).
103. Wilchek M., Eur. J. Biochem., **11**, 491 (1969).
- 103a. Wilchek M. T., Oka Topper Y. I., Proc. Nat. Acad. Sci. USA, **72**, 1055 (1975).
104. Yario J., Kalb A. J., Levitzki A., Biochim. Biophys. Acta, **195**, 303 (1968).

Глава 8. Автоматизация работы колонок в жидкостной хроматографии

Б. Мелоун

Институт органической химии и биохимии
Чехословацкой Академии наук, Прага

8.1. ВВЕДЕНИЕ

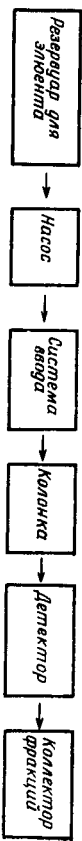
Основное требование, предъявляемое к автоматическому оборудованию, состоит в следующем: все входящие в состав установки приборы в каждый заданный момент должны выполнять требуемые операции. Уровень и степень автоматизации хроматографического процесса зависит от ряда факторов, различным образом влияющих на конечные результаты. Общие требования — высокая воспроизводимость отдельных операций и способность системы работать длительное время. К автоматическим установкам, применяемым в аналитических целях, предъявляются также такие требования, как повышенная чувствительность и быстрая анализа. Конструкторы сложных автоматических хроматографов часто пытаются найти оптимальное сочетание передко противоречивых требований. Жидкостная хроматография прошла длинный путь развития от открытых систем с колонками большого диаметра до классических систем низкого давления (вплоть до 30 атм) с колонками диаметром 8 мм и высокоскоростных систем высокого давления. В настоящее время используются давления до 400 атм и колонки диаметром 1—3 мм, заполненные адсорбентом с частицами диаметром меньше 10 мкм.

Установки высокого класса точности и отдельные модули таких установок изготавливаются специальными фирмами и исследовательскими институтами* при участии инженеров-механиков, специалистов по электронике, оптике, вычислительной технике и т. д. Приборы для жидкостной хроматографии удовлетворяют требованиям ионообменной хроматографии — лиганд-

* Названия и адреса фирм указаны на конце главы и упоминаются в тексте только в иллюстративных целях.

дообмнной и гель-хроматографии. В продаже имеются как одно-, так и многоцелевые приборы; приборы последнего типа, их называют «жидкостными хроматографами» или «полиакализаторами» (например, Бекман), пригодны для анализа смесей одного класса, например смесей аминокислот, пептидов или нуклеотидов. В то же время «открытые», или «модульные», конструкции (например, «Technicon» и «Jed») легко приспособить для анализа качественно различных групп соединений.

В большинстве приборов предусмотрен ряд устройств, обеспечивающих исключение возможности дрейфа или существенного изменения выбранных параметров. Основу всех автоматизированных приборов составляет система отсчета времени, с которой связаны все остальные части системы. Схема хроматографа очень проста:



и далее мы примерно в такой последовательности рассмотрим принцип его работы.

8.2. РЕЗЕРВУАРЫ ДЛЯ ЭЛЮЕНТА И ГИДРАВЛИЧЕСКИЕ СОЕДИНЕНИЯ

Основной материал, из которого изготавливаются емкости для элюента, — это стекло, в этих же целях применяются пластины, полистирол, полипропилен, политетрафторэтилен или нержавеющая сталь. Очень часто элюент необходимо освободить от растворенных в нем газов, в этих случаях используют резервуары закрытого типа, в крышках которых имеются два отверстия для ввода азота или другого инертного газа и подсоединения к вакуумной линии. В процессе обезтаживания содержимое резервуара можно перемешивать магнитной мешалкой. К насосу элюент поступает через отверстие, расположенное в нижней точке резервуара. Для работы с коррозионно-активными элюентами Янг и Мэг [43] рекомендуют использовать контейнеры из пластика или нержавеющей стали, расположенные непосредственно внутри резервуара, находящегося под давлением. В аналитических колонках, где расход растворителя мал, используются и другие типы резервуаров, например большие шприцы, или элюент помещают непосредственно в спиральный резервуар системы высокого давления.

Для гидравлических соединений в хроматографической системе наиболее часто используются капилляры из синтетических пластмасс. Широко употребляются тонкостенные капилляры из полистирола или тefлона, которые соединяются с аппаратурой при помощи стандартных, герметичных и легко заменяемых соединений, изготавливаемых из пластмассы или нержавеющей стали. Один из вариантов такого соединения для системы низкого давления показан на рис. 8.1. Коническая шайба из силикона

Рис. 8.1. Соединение капиллярных трубок для работы при низких давлениях.

1 — тefлоновый или полистироловый капилляр; 2 — гайка; 3 — центральная часть соединения; 4 — силиконовая прокладка.

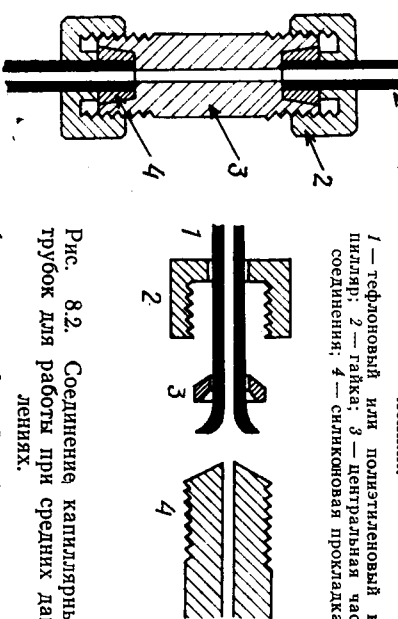


Рис. 8.2. Соединение капиллярных трубок для работы при средних давлениях.

1 — капилляр; 2 — гайка; 3 — уплотняющее кольцо; 4 — конусное соединение.

коновой резины обжимает капилляр при завинчивании гайки. На рис. 8.2 дана схема соединения с тefлоновым капилляром; этим соединением можно пользоваться при давлениях до 40 атм. Капилляр снабжен накидной гайкой и предохраняющей конической шайбой. Конец капилляра размягчают нагреванием и развалишивают на конической металлической форме, после чего капилляр устанавливают на соответствующее место в аппаратуре и, завинчивая гайку, получают герметичное соединение. Такие соединения пригодны также для стеклянных колонок. В некоторых типах рассматриваемых соединений помешают прокладки из силиконовых полимеров, через которые вводят пробу шприцем. Широкий ассортимент соединений выпускают фирмы Pharmacia, Serva и Jobling. В системах высокого давления (до 200 атм) используются значительно более жесткие соединения и пластмассовые капилляры в них заменены на капилляры из нержавеющей стали. Соединения фирмы Swagelock диаметром от 0,18 до 5 см изготавливаются из латуни или нержавеющей стали.

8.3. КРАНЫ И НАСОСЫ

8.3.1. КРАНЫ

В гидравлических системах важную роль играют краны. Они работают пневматически и приводятся в действие сервосистемой. В соответствии с принципом действия различают краны четырех типов: поворотные, золотниковые, мембранные, силь-

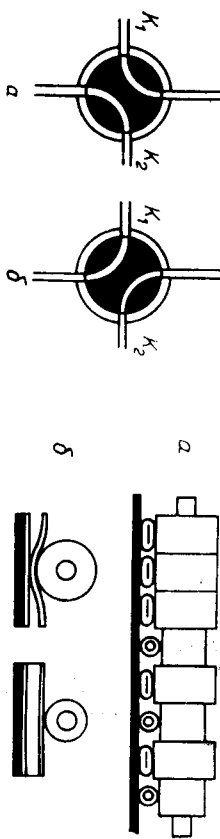


Рис. 8.3. Схема четырехходового крана.

a — соединение колонки K_1 с детектором D ; *b* — соединение колонки K_2 с детектором.

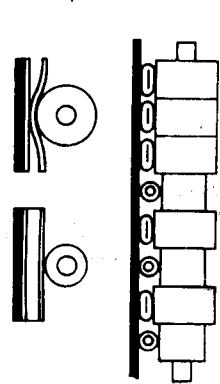


Рис. 8.4. Схема действия крана Perivalve (Technipson).

a — управляющий вал с кольцами и капиллярами; *b* — перекрытие капилляров при использовании различных колец.

фонные. Контактирующие с растворителем поверхности кранов изготавливают главным образом из тefлона кель-ф или витон. На рис. 8.3 показан четырехпозиционный кран, используемый в двухжуронном хроматографе для раздельного соединения детектора с колонками. В одном положении крана элюят из колонки K_1 поступает в детектор D , а элюят из второй колонки идет в слив. Во втором рабочем положении крана колонка K_2 соединена с детектором, а колонка K_1 — со сливом. Такой тип крана используется также как шунт петли ввода в газовой хро-

матографии.

Многопозиционные краны применяются при градиентном элюировании для последовательного подключения колонки к системе различных буферных растворов, а также в системах ввода пробы. Шестипозиционные краны выпускают конструкторские бюро Чехословацкой Академии наук и ряд фирм. В некоторых приборах, например Hitachi, Perkin-Elmer, используются золотниковые краны с приводом от мотора.

Перистальтический кран Perivalve фирмы Technipson (рис. 8.4) имеет принципиально другую конструкцию. Его работа контролируется программным модулем. Кран Perivalve открывает и закрывает поток элюента через 16 пластмассовых капилляров. Капилляры расположены на твердой подложке, а над

ними помещены два диска, вращающиеся вокруг оси, перпендикулярной капиллярам. По периметру этих дисков закреплены 12 приводных рычагов, на которых крепятся по две упорные прокладки различного диаметра, выбранные так, чтобы расстояние между твердой подложкой и кольцом наименьшего диаметра равнялось диаметру капилляра, а кольцо большего диаметра перекрывало капилляр и прерывало поток элюента. На приводном стержне закреплены 16 колец, регулирующих поток через все 16 капилляров. Программный модуль поворачивает диски через определенные промежутки времени на 30° , и при этом ряд колец приходит в соприкосновение с капиллярами.

С помощью соответствующих приборов можно пропускать поток элюента через любое число капилляров в любом порядке. Вращающиеся части Perivalve снажены рядом микропереключателей, которые регистрируют положение колец. Микропрограммы работают также и на других устройствах и контролируют их работу, особенно насосов, или начало нового хроматографического цикла. Таким образом кран этого типа используется как для гидравлического, так и электронного контроля за хроматографическим процессом. Для поддержания давления в гидравлической системе используются также и клапаны. Капиллярная система закрыта мембраной, прижимаемой к концу трубки пружиной. После каждого поступления жидкости из цилиндра насоса клапан открывается. Некоторые фирмы-поставщики рекомендуют для хорошей работы клапанов минимальное превышение давления около 0,1 атм. В системах высокого давления исправная работа клапанов является проблемой особой важности. Главная часть клапана — мембрана, в которой закреплен маленький шарик. Он располагается в седле и перекрывает коммуникацию в гидравлической системе. Величину давления, при котором клапан срабатывает, можно установить, выбрав подходящую пружину, прижимающую шарик к седлу.

8.3.2. НАСОСЫ

Общее требование, предъявляемое к работе насосов, — отсутствие пульсаций потока, поскольку пульсации могут привести к нежелательным отклонениям в показаниях детектора. Второе требование — постоянство потока, так как только при этом условии можно проводить качественный и количественный анализ. Используемые для изготовления насосов материалы должны быть химически стойкими и коррозионно-устойчивыми.

Почти все насосы новых типов могут плавно менять объемную скорость подачи элюента. Обзорная статья по применению насосов высокого давления опубликована Чэндером и Макнейром [8].

В насосе простейшего типа* элюент помещают в спиральную трубку из нержавеющей стали и вводят в хроматографическую систему под действием постоянного давления газа. Расход элюента зависит от проницаемости колонки и давления газа, которое может достигать 100 атм. Основное преимущество такой системы — практически полное исключение пульсаций. В пневматическом, или жидкостном усилительном насосе давление газа не превышает 15 атм. Газ давит на поршень большого диаметра, соединенный через тягу со вторым поршнем малого диаметра, который давит на жидкую подвижную фазу. Отношение площадей поршней и дает коэффициент усиления. Такие насосы очень удобны для аналитических работ. Насосы, в которых давление с первого поршня передается на второй через промежуточную жидкость, работают по тому же принципу. На первый поршень действует давление 35 атм, тогда как второй поршень развивает давление 210 атм. Иногда первый поршень заменяют на мембранны, которая отделяет гидравлическую жидкость от элюента, поступающего в хроматографическую систему. Давильной свободной от пульсаций подачи можно добиться, используя два или более насосов, работающих в противофазе, или введя в систему демпфер пульсаций.

Фирма Waters Associates в своей «Solvent Delivery System» («Система доставки растворителя»), модель 6000, разработала метод равномерной подачи элюента с помощью двух спаренных насосных головок. Скорость подачи устанавливается по шкале с ценой деления 0,1 мл/мин в диапазоне от 0,1 до 9,9 мл/мин. Насос выпускают в двух модификациях для интервала 0—42 атм и 0—420 атм; ограничение верхнего предела давления можно менять от 100 до 420 атм. Систему можно подключать к программному модулю для управления насосом, позволяющему программировать изменение скорости потока. За один ход поршня в систему хроматографа поступает 0,1 мл жидкости, частота перемещения поршня регулируется. Насос снабжен системой, компенсирующей влияние сжимаемости подвижной фазы. В последнее время появились насосы, в которых один первичный поршень соединен с несколькими вторичными, прокачивающими одновременно несколько различных растворителей при давлении до 200 атм (Digitit). Шприцевые насосы также при способлены для работы при высоких давлениях, и с их помощью можно получать очень стабильные потоки. Эти насосы особенно удобны при небольшом расходе элюента, соответствующем объему шприца. Они обычно выпускаются с зубчатой передачей, и

в некоторых модификациях [21] используется один скользящий механизм для управления несколькими (вплоть до шести) шприцами.

Широко применяются возвратно-поступательные насосы с одним поршнем. Отдельные типы этих насосов снабжены плоскоконическими или шариковыми клапанами (ЛКВ, Микротехника). В настоящее время большинство насосов имеют двухшариковые клапаны секционного типа и спаренный выходной клапан. Жидкость прокачивается в результате возвратно-поступательного движения рубинового или стального поршня (Milton Roy — mini-Riptr, Mikrotechna писторитр MC-300). Уплотнения осуществляются тефлоновыми кольцами, которые наиболее удобны для работы с растворителями, содержащими пиридин, вызывающий деструкцию резины. Насос Beckman Accu-Flow относится к насосам такого же типа и используется в аминокислотном анализаторе Unicrom, обеспечивая скорость потока от 3 до 160 мл/ч. У этого насоса салфировые поршень и клапаны, и он может работать до давлений 70 атм. С помощью двухпоршневого насоса Joel с тефлоновым цилиндром и пириковым поршнем можно прокачивать разбавленную серную кислоту под давлением до 30 атм. Недостаток таких насосов — пульсация потока. Поэтому многие фирмы оснашают хроматографы насосами с многопоршневыми головками, где поршни движутся в противофазе. Обычно применяется одна трансмиссия с мотором, что значительно облегчает синхронизацию работы поршней. Спаренная система с двухпоршневым насосом и управляемым распределителем краном использована в жидкостном хроматографе фирм Hitachi, Perkin-Elmer, модель 034 [11]. При использовании эксцентриков спирального вида достигается практический постоянный поток элюента. Прибор работает вплоть до давлений 30 атм (рис. 8.5). Во всех возвратно-поступательных насосах существует опасность попадания воздуха внутрь системы. Поэтому прокачиваемую жидкость необходимо предварительно обезгаживать или в гидравлической линии необходимо устанавливать ловушки пузырьков.

Перистальтические насосы — это насосы главным образом низкого давления. Воспроизводимость потока у них составляет около 1 %. Использование пластиинового диска большого диаметра гарантирует практическое отсутствие пульсаций при небольшой скорости вращения. Во многих случаях этот тип насосов предпочтителен, так как в них исключен контакт транспортируемой жидкости с металлом. Обычные силиконовые трубы выдерживают до 500 ч работы. Перистальтические насосы используют как распределители потока, если необходимо отделить часть потока в системе низкого давления, главным образом для приготовления растворов и изменения состава. Ряд таких насос-

* Возможность использования осмотического давления в системе подачи элюента в колонку обсуждается в статье Шмиделя Е. Б., Березкина В. Г., Ко-леммель Л. Н., J. Chromatogr., 202, 279 (1980). — Прим. ред.

сов с плавно меняющимся потоком применяется в приборе для временного включения максимальной эффективности при установке рабочей скорости. Кроме того, они позволяют менять направление потока жидкости на обратное. Фирма LKB представляет широкий набор такого рода насосов, например Регрех, Vario Регрех и Мультигрех. Насос Vario Регрех с трубками внутреннего диаметра 1,35 мм дает поток со скоростью от 0,6 до

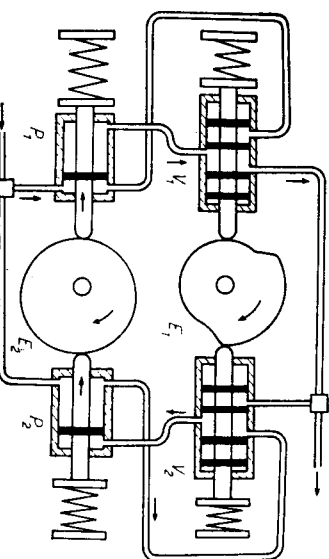


Рис. 8.5. Схема насоса Minimal Flow (Hitachi Perkin-Elmer) [11].
P₁ и P₂ — цилиндры высокого давления с полужерцами; V₁ и V₂ — кампанды; E₁ и E₂ — эксцентрики, расположение на общей оси.

80 мл/ч. Трубка размещается в первом желобке на пластине с вращающимся диском. Второй желобок позволяет использовать трубы диаметром 3 мм, скорость потока составляет при этом от 3,2 до 400 мл/ч при максимальном давлении до 2 атм. Насос Multipрех с одной приводной системой допускает применение до четырех трубок. Трубка диаметром 1,3 мм дает скорость потока от 20 до 1200 мл/ч, а трубы с внутренним диаметром 3 мм — поток со скоростью от 70 до 4500 мл/ч. Эти насосы могут оснащаться различными передаточными механизмами, и скорость подаваемого ими потока можно снизить вплоть до 0,02 мл/ч. Перистальтический насос Р3 фирмы Rhamgasia имеет трехканальную систему с трубками стандартного внутреннего диаметра 1,0, 2,1 и 3,1 мм с изменяемой скоростью потока от 0,6 до 400 мл/ч для каждого канала. Перистальтическое движение жидкости обеспечивается давлением шести роликов на трубку, прижатую к покрытой тефлоном пластине. Скорость потока можно плавно менять и (что особенно важно) она может задаваться для каждого канала в пределах от 0,6 до 400 мл/ч. Кроме того, можно менять направление потока жидкости. Насос может работать с максимальной и фиксированной скоростью потока.

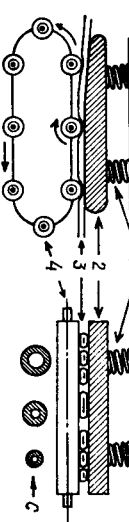


Рис. 8.6. Схема насоса Proportioning Pump (Technicon) [42].
1 — пружины; 2 — прижимные пластины; 3 — капиллярные трубы; 4 — цепь с роликами.

пользуется в перистальтическом насосе фирмы Development Workshops Чехословацкой Академии наук. Он имеет 8 каналов и регулируемую 4-ступенчатую приводную систему.

8.4. СИСТЕМЫ ПРОГРАММИРОВАНИЯ И ФОРМИРОВАНИЯ ГРАДИЕНТА

8.4.1. СИСТЕМЫ ФОРМИРОВАНИЯ ГРАДИЕНТА

Разделение сложных смесей методом колоночной хроматографии в некоторых случаях удобнее проводить при градиентном элюировании [6, 13, 22а, 37] (см. разд. 1.3.3). В ионообменной хроматографии широко используется программирование потока элюентов и их градиента; в настоящее время этот метод благодаря введенным в последнее время привитым фазам также применяется в жидко-жидкостной хроматографии [3, 20]. Системы формирования градиента, в которых растворители смешиваются при нормальном давлении, относительно недороги и легко изготавливаются.

В некоторых случаях разделение лучше проходит при экспоненциальной форме градиента. Получить такой градиент можно с помощью соответствующей аппаратуры (рис. 8.7, а). Один из растворителей помещают в смеситель R₁, снабженный мешалкой M, насос P отбирает растворитель из первого сосуда и прокачивает через колонку. Расход растворителя из первого сосуда компенсируется поступлением второго растворителя из

различные типы перистальтических насосов выпускает также фирма Technicon. Пропорциональные насосы I и II снажены 23 трубками различного диаметра. Преимущество данной системы состоит в том, что трубы различного внутреннего диаметра имеют одинаковое сопротивление стенок. Применяются такие насосы с различными целями. Они позволяют вводить пробы заданного объема, добавлять различные реагенты, разбавлять образцы. Собственно прокачиваемая часть имеет вид роликов, закрепленных на цепи (рис. 8.6) [42]. Аналогичная система ис-

сосуда R_2 . Другие типы градиента можно получить, используя два различных сосуда разной формы (рис. 8.7, б или 8.7, в). Если сечение сосуда R_1 больше сечения сосуда R_2 , то формируется градиент выпуклой формы, в противном случае форма градиента выпуклая. Очень удобен градиент линейной формы (сечения обоих сосудов равны). Такой градиент получают при

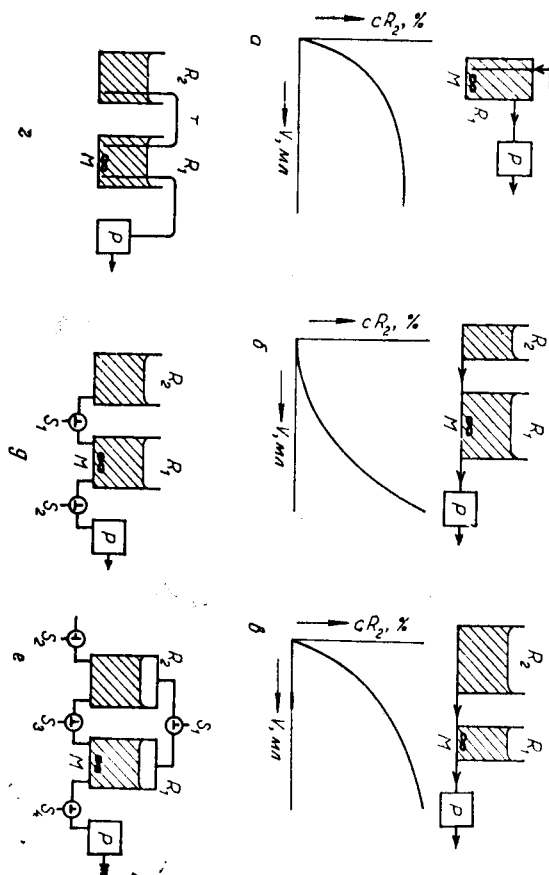


Рис. 8.7. Принцип работы систем формирования градиента.

a — экспоненциальный градиент; b — вогнутый градиент; c — выпуклый градиент; d — обычная аппаратурата для градиентного элюирования при использовании жидкостей первичного и вторичного концентраций; P — насос; R_1 — смеситель; R_2 — сосуд с буферным раствором; R_3 и R_4 — сосуды, содержащие растворитель; S_1 — S_4 — трехходовые краны для дополнительного буферного растворителя; S_5 — S_6 — трехходовые краны; T — капиллярные трубы.

смешении растворителей из сосудов R_1 и R_2 одинакового вида, соединенных, как показано на рис. 8.7, g или d . Иногда лучшие результаты дает устройство типа показанного на рис. 8.7, e . Клапаны S_1 — S_4 позволяют легче добиться установления гидравлического равновесия обеих жидкостей перед началом градиентного элюирования.

Йонес [17] описал усовершенствованный вариант такой системы. Предложенная им система позволяет добиться хорошей стабилизации колонки и вести элюирование в изократическом режиме (с постоянным составом элюента) с линейным градиентом концентрации буферного раствора и промывать в заключение

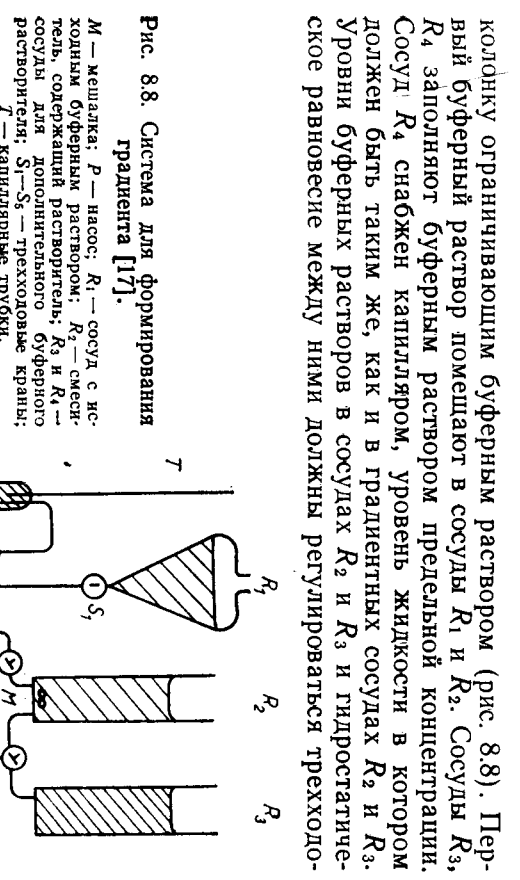


Рис. 8.8. Система для формирования градиента [17].

M — мешалка; P — насос; R_1 — сосуд с исходным буферным раствором; R_2 — смеситель; R_3 и R_4 — сосуды, содержащие растворитель; R_5 — дополнительный буферный растворитель; S_1 — S_6 — трехходовые краны; T — капиллярные трубы.

выми кранами S_4 и S_5 , которые должны находиться в указанной позиции после достижения требуемых условий. Одновременно уровень буферного раствора в капилляре T сосуда R_4 должен находиться в гидростатическом равновесии с уровнем растворов в сосудах R_3 и R_4 . В процессе стабилизации колонки с первым буферным раствором из резервуара R_1 кран S_1 и трехходовые краны S_2 и S_3 , направляющие поток первого буферного раствора в насос, должны быть открыты. Эта позиция и показана на рисунке. В процессе изократического элюирования положения кранов не меняются. В начале градиентного элюирования сосуды R_2 и R_3 соединяются через кран S_5 , и все три ввода соединяются краном S_3 . Кран S_1 закрывается, и система сосудов R_2 и R_3 соединяется через кран S_4 с насосом. Одновременно сосуд R_4 соединяется с краном S_3 через кран S_2 . По окончании градиентного элюирования буферный раствор из сосуда R_4 начинает автоматически поступать в насос. Небольшие количества буферного раствора в капилляре сосуда R_4 не влияют на градиент.

В некоторых случаях предпочтителен более сложный градиент с применением системы из нескольких сообщающихся сосудов (Varian). Например, в жидкостном хроматографе Varian

фирм Hitachi Perkin-Elmer [11] предусмотрено шесть стеклянных сообщающихся сосудов объемом по 200 мл каждый, снабженных мешалками (рис. 8.9), что позволяет более тонко программировать градиент. Девятикамерная система Autograd (Technicon) [40] используется для градиентного элюирования

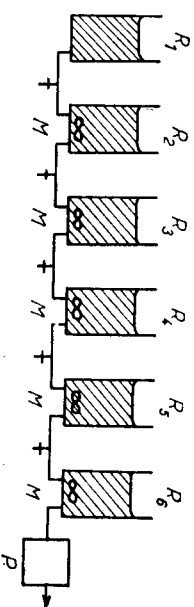


Рис. 8.9. Схема 6-камерного устройства Variant, используемого для получения градиента в хроматографе Hitachi Perkin-Elmer [40].

P — насос; R₁—R₆ — сосуды с различными буферными растворами; M — мешалка.

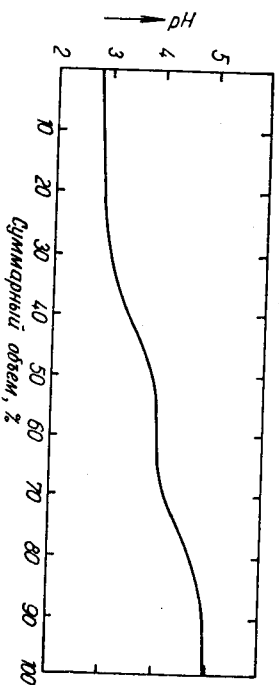


Рис. 8.10. Профиль градиента, формируемого 9-камерным устройством Autograd (Technicon) [40].

Исходный буферный раствор, pH 2,875; конечный буферный раствор, pH 5,00.

на одномолочном аминокислотном анализаторе. Буферные растворы характеризуются следующими величинами pH: 2,875, 2,875, 2,875, 3,10, 3,80, 4,60, 5,00, 5,00. Результатирующий градиент показан на рис. 8.10. Фирма Phoenix также выпускает 9-камерный градиентный смеситель Varigrad [28, 30], в котором сосуды снабжены тефлоновыми мембранными кранами и мешалками.

Дальнейшим важным шагом в развитии метода градиентного элюирования явилась разработка новых типов кранов для мгновенного соединения, управляемых электронным модулем. Такие разработки используются в жидкостном хроматографе фирмы Du Pont. В формирователе Vagisipr фирмы Phoenix результатирующий градиент фиксируется на вертикально врачающемся барабане. Он служит для установления ионной силы и градиента pH. Аналогичная система также установлена и в хро-

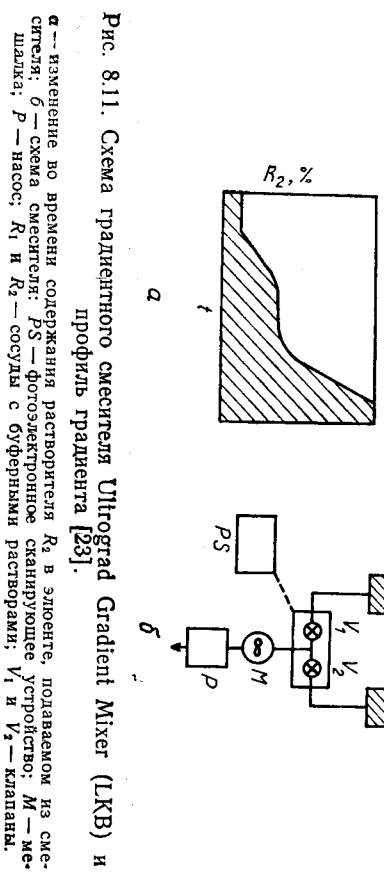


Рис. 8.11. Схема градиентного смесителя Ultrograd Gradient Mixer (LKB) и профиль градиента [23].

a — изменение во времени содержания раствора R₂ в элюенте, подаваемом из смесителя; б — схема смесителя; PS — фотозелектронное сканирующее устройство; M — мешалка; P — насос; R₁ и R₂ — сосуды с буферными растворами; V₁ и V₂ — краны.

ре СК происходит полная гомогенизация смеси, и полученный раствор прокачивается через колонку. Такое оборудование позволяет, используя соответствующий контрольный график, программировать градиент любой формы и любого типа. Некоторые градиентные устройства фирмы LKB обеспечивают автоматическую обратную связь, которая включается в тот момент, когда сигнал самописца (поглощение) достигает определенного значения, например при появлении пика определенного размера. В этом случае формирование запланированного градиента замедляется и элюирование продолжается в изократическом режиме до тех пор, пока поглощение не снизится ниже заданного уровня, после чего элюирование продолжается в соответствии с запланированной формой градиента.

Другой принцип формирования градиента связан с применением двух или более насосов. На рис. 8.12 показана схема используемого для получения линейного градиента многоканального перистальтического насоса Р3 фирмы Pharmacia с соответствующим вспомогательным оборудованием. Скорость потока, протекающего через один капилляр, может меняться в пределах от 0,6 до 400 мЛ/ч. Устройство с градиентом давления обыч-

но контролируется программным модулем, управляющим насосами так, чтобы создавался плавающий градиент. Компоненты смеси поступают в смесительную камеру, которая должна быть достаточно мала и должна обеспечивать полное их смешение. Обычно используется двухкомпонентный градиент. На практике принято обозначать начальный компонент как раствор A , а добавляемый компонент (более высокой концентрации) как раствор B . Графически градиент изображается в виде зависимости содержания компонента B (ордината) от длительности гра-

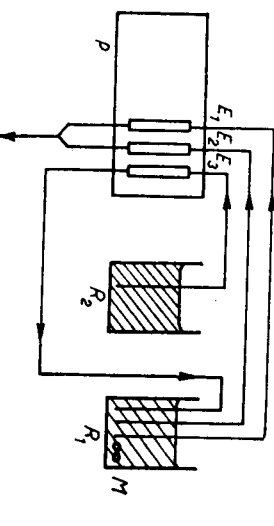


Рис. 8.12. Схема перистальтического насоса Р3 (Pharmacia) для формирования линейного градиента [29].
 $E_1 - E_3$ — эластичные трубы равного диаметра; M — мешалка; P — перистальтический насос; R_1 и R_2 — сосуды с буферными растворами.

дientного элюирования (абсцисса). Конструкторское бюро Чехословацкой Академии наук выпускает аппаратуру для формирования градиента Proportional pump 68 000. Жидкость перекачивается из сосудов двумя плунжерными насосами. В процессе работы поддерживается постоянная суммарная скорость потоков, которая обеспечивается тем, что, когда в процессе градиентного элюирования ход поршня одного насоса уменьшается, ход поршня другого насоса увеличивается. Жидкость проходит через смесительную камеру, и таким образом достигается постепенное изменение состава. Работа насосов такого типа определяется контрольным двухцветным графиком, где граница цветов определяет профиль градиента, график наложен на программный цилиндр контрольного устройства. Такая аппаратура пригодна для выбора оптимального состава подвижной фазы, поскольку выбранные рабочие условия легко воспроизводимы для данной системы и позволяют находить оптимальные условия для разделения определенной смеси.

Для получения градиента в хроматографе Nester-Faust, модель 1200, используется электронный контроль скорости перемещения каждого поршня, причем каждый поршень прокачивает отдельный растворитель [10]. Такая система (рис. 8.13) при-

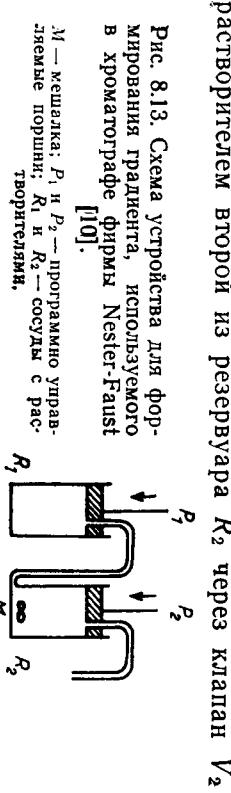


Рис. 8.13. Схема устройства для формирования градиента, используемого в хроматографе фирмы Nester-Faust [10].
 M — мешалка; P_1 и P_2 — программируемые поршни; R_1 и R_2 — сосуды с растворителями.

(спиральная трубка содержит до 150 мл растворителя). Прибор работает при давлениях до 210 атм и является отдельной частью хроматографа. При использовании линейного градиента весь диапазон от чистого растворителя A до чистого растворителя B может быть пройден за 10 мин. Длительность работы программы можно увеличить в результате наложения отдельных программ до 100 мин. Помимо линейного градиента можно выбрать программу, определяющую экспоненциальный градиент и четыре вогнутых или выпуклых формы градиента (рис. 8.14, б).

Выбор оптимального состава смеси растворителей существенно упрощен; с этой целью на шкале устанавливают требуемые концентрации компонента B (30, 40, 50, 60 и 70%), и необходимый состав будет получен уже через 4 мин.

Программатор модель 660 (Waters) контролирует работу одного или двух насосов Solvent Delivery System модели 6000. Время выполнения градиента может меняться от 1 мин до 10 ч. Начальная и конечная концентрация, а также скорость потока смеси компонентов A и B ($\text{мл}/\text{мин}$) задаются в цифровой форме (в виде процентного содержания компонента B). Можно выбрать одиннадцать стандартных программ, среди которых экспоненциальный градиент соответствует типам от n^2 до n^5 и от \sqrt{n} до n . После завершения цикла все операции могут

быть выполнены в обратном порядке и может быть проведена стабилизация колонки растворителем исходного состава. Кроме того, для изократического режима хроматографирования может программироваться скорость элюирования. Программатор обеспечивает длительное хранение программ. На выходной хромато-

грамме отмечается параллельно с выходной кривой состав растворителя и скорость потока.

В этой книге не дается метода расчета градиентов. Состав элюента при линейном градиентном элюировании легко рассчитать по параллограммам, которыми форма градиента представлена на выходной ленте самописца (хроматограмме). Под-

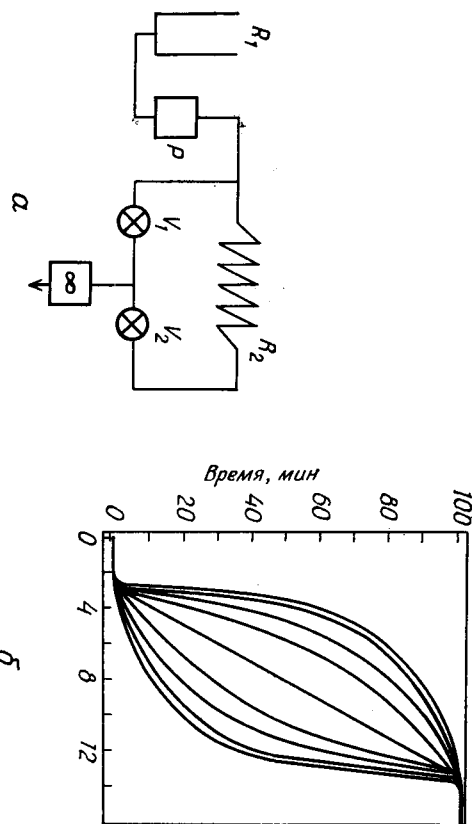


Рис. 8.14. Схема устройства для формирования градиента, используемого в хроматографе фирмы Du Pont, и профили градиента [6].

a — схема устройства; *M* — мешалка; *P* — насос; *R₁* — емкость с буферным раствором; *V₁* и *V₂* — клапаны; *b* — профили градиентов.

борку уравнений для расчета других типов градиента можно найти в обзорных статьях, например [25, 26], или в монографии Литтлану и Гокана [22а].

8.4.2. ПОЛНОЕ ПРОГРАММИРОВАНИЕ

Программно управляемое выполнение операций отдельными блоками аппаратуры является необходимым условием автоматизации, и в последнем разделе о градиентном элюировании мы рассмотрим некоторые примеры такого управления. В простейшем случае сигналы, управляющие работой отдельных функциональных единиц хроматографа (насосов, кранов, регуляторов температуры), задаются механическим замыканием контактов по параметру линии, врашающего мотором с постоянной скоростью. При программировании однофункциональной работы градиентного программатора можно использовать описанный выше график, который считывается фотоэлектрическим детектором, формирующим аналоговый сигнал по определенному графику условиям. Циклическая работа аппаратуры программируется петле-

образным датчиком программы. В программаторе фирмы Technip используется петлеобразная гибкая лента типа киноленты. Ее легко перфорировать требуемым образом и, таким образом, задать программу требуемого вида. В процессе перемещения ленты через приемник головка микропреключателя входит в перфорацию и формирует электрический сигнал управления другими модулями хроматографа, например переключение перистальтического насоса на следующий шаг. Длина петли выбирается в соответствии с длительностью аналитического цикла, в течение которого необходимо сформировать несколько импульсов управления.

В некоторые хроматографы вмонтированы системы отсчета времени, работающие с синхронизирующей частотой, так что в любой момент можно установить, сколько времени прошло с начала процесса. В некоторых случаях кольоровая частота стала использована кварцевым генератором. Ряд временных переключателей обычно подключен к системе отсчета времени, каждый из них управляет отдельной функцией хроматографа. Такая система программируется стандартной кассетой с определенной числом контактов. Кассеты содержат определенную аналитическую программу, и их можно заменять в соответствии с выбранной аналитической методикой. На отдельном лимбе устанавливается время, в которое должна быть включена определенная отдельная функция хроматографа. Специальные типы кассет осуществляют полный контроль и автоматически вырабатывают импульсы для компьютера. Некоторые программируемые системы работают с многодорожечными типами гибких лент и являются частью стандартного оборудования ряда хроматографов. Их основное преимущество — легкость выбора программ. Дальнейшее усовершенствование программаторов привело к появлению аппаратур, в которой объединены программатор, автоматический контроллер функций хроматографа и компьютер; вводимые рабочие параметры преобразуются в цифровую форму и индицируются на контрольной панели.

В большинстве последних разработок для полного контроля системы и упрощения последующей обработки результатов изменяются микропроцессоры.

8.5. АППАРАТУРА ДЛЯ ВВОДА ОБРАЗЦА, ШПРИЦЫ И ХРОМАТОГРАФИЧЕСКИЕ КОЛОНКИ

8.5.1. СИСТЕМЫ ВВОДА ОБРАЗЦА И ШПРИЦЫ

В полигазоанализаторе фирмы Technicon для ввода пробы смесей аминокислот предусмотрен специальный диск, подобный круговому коллектору фракций. На этом диске по его периметру

расположены 80 держателей в виде пластмассовых патронов. В них помещены небольшие колонки с ионообменником в H⁺-форме, в которые введены образцы исследуемых смесей. Колонки закрыты с обеих сторон пористыми прокладками. После каждого поворота диска колонки с одинаковыми образцами перемещаются между водом буферного раствора и головкой колонки. Все части сжимаются друг с другом, и такое соединение выдерживает давление 28—35 атм. Вместе с потоком буферного раствора образец поступает в колонку. Колонки с

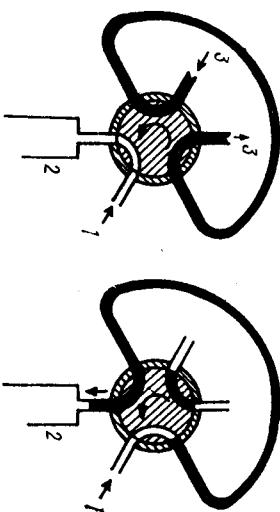


Рис. 8.15. Шестиходовой кран с петлей для образца.

4 — заполнение петли образцом; 5 — перевод образца в колонку; 1 — элосент; 2 — колонка; 3 — образец.

ионообменником можно использовать повторно. Адсорбированные аминокислоты, включая метионин и тирозин, в таких условиях не разлагаются. Для серийных анализов с коротким рабочим циклом с успехом применяется устройство для ввода пробы фирмы Technicon, с помощью которого можно подавать в колонку до 200 жидких образцов. Эти образцы помещаются в пластмассовые сосуды на круглом диске. Через определенные интервалы автоматический сифон отбирает требуемый объем образца из пробирок и вводит его в аналитическую часть прибора. По окончании этой операции диск свивается на одну позицию, и аппарата снова готова к забору следующего образца. В другом методе ввода пробы постоянного объема в колонку используется петля из тefлонового капилляра. Поскольку объем петли не меняется, при таком способе ввода не требуется точно измерять объем вводимого образца. Образец вводится в капилляр шприцем, и объем образца ограничен объемом петли, закрепленной в кране-переключателе. Обычно это шестиходовой кран [35]. Принцип работы такого крана показан на рис. 8.15. В первой позиции (рис. 8.15, а) капилляр заполняется пробой. Далее кран поворачивается на 60° (рис. 8.15, б), и в этой позиции образец вводится в колонку потоком буферного раствора.

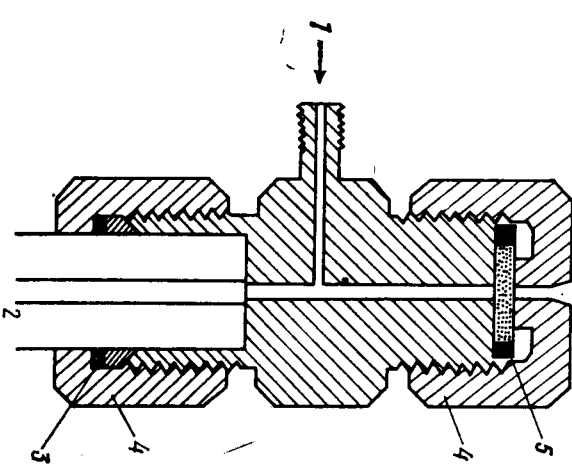


Рис. 8.16. Колонка с системой ввода.
1 — элосент; 2 — колонка; 3 — уплотнение; 4 — гайка; 5 — прокладка.

керамикой тefлон. Минимальный объем вводимой пробы составляет 10—12 мкл; объем вводимого образца может меняться при изменении длины капилляра. Такие краны легко переключаются или управляются автоматически. Разработаны краны, работающие при давлениях до 350 атм [35]. Фирма Micrometrics поставляет устройства для ввода микропроб объемом 1, 2, 4 и 8 мкл. Петля для ввода такого образца показана на рис. 8.3.

В других системах образцы помещаются в тefлоновых капиллярах, навитых на форму в виде вертикальной спирали или расположенных в виде двухслойной горизонтальной спирали. В этих капиллярах пробы защищены от воздействия кислорода воздуха и бактерий. Автоматические анализаторы содержат несколько таких капилляров. Например, фирма Beckman выпускает устройство для ввода проб (модель 121) 72 образцов; все образцы помещены в общий холодильник и хранятся при 4 °C.

Таким образом, в момент ввода образца проходящий через хроматографическую систему поток не прерывается. Фирма Diggins поставляет шестиходовые краны высокого давления для ввода образца, работающие при давлениях до 70 атм. В этих кранах нержавеющая сталь 316 заменена на сплав карпентер 20, который имеет еще лучшие свойства, и использован наполненный

Из капиллярных резервуаров образцы вводятся насосом в мерную капиллярную трубку на шестиходовом кране. Ошибка при таком способе ввода пробы составляет примерно 1%. При работе с маленькими аналитическими колонками используется устройство для ввода пробы, показанное на рис. 8.16. Образец объемом в несколько микролитров вводится непосредственно в колонку при помощи шприца (например, фирмы Hamilton). Игла прокалывает прокладку и вводится до тех пор, пока не коснется фильтра, расположенного непосредственно перед упаковочным материалом [4]. Прокладка (сегмент) изготавливается из силиконовых полимеров типа буна N, витон или EPR. Неплохие результаты дает использование прокладки из неопреновой резины, усиленной наilonовым кордом и покрытой тefлоном. Для высоких давлений вплоть до 420 атм разработаны специальные шприцы, например Hamilton HP-305N и Precision Sampling B-110. Если наполнитель в колонке закрыт с обеих сторон пористыми пробками, образец вводят непосредственно на входной фильтр. Образец поступает в колонку под воздействием потока подвижной фазы. В хроматографах, выпускаемых фирмами Hewlett-Packard, Packard-Becker и Siemens, используется новая методика ввода образца; они снабжены специальным устройством для ввода пробы без септума.

8.5.2. ТИПЫ СОВРЕМЕННЫХ ХРОМАТОГРАФИЧЕСКИХ КОЛОНКОК

Типы и размеры колонок меняются в зависимости от условий анализа и свойств упаковочного материала. Точно контролируемая температура разделения улучшает воспроизводимость. Поэтому колонки помещают в рубашку с циркулирующей водой или, если колонки небольшие, в водяную баню или даже в печь с циркулирующим горячим воздухом.

В классической жидкостной хроматографии, как правило, применяют колонки диаметром 8–12 мм. По практическим соображениям длина их составляет обычно 50–100 см, а внутренний диаметр определяется физическими параметрами адсорбентов. Диаметр аналитических колонок равен 1–6 мм [39]. Если рабочее давление не превышает 70 атм, обычно предпочтительны стеклянные колонки. Если рабочее давление близко к указанному, то стеклянные колонки помещают в рубашки из нержавеющей стали. Для очень высоких давлений используются колонки из нержавеющей стали с точно выдержаным диаметром. Обычно они имеют форму трубы, но эксперименты показали, что трубы можно сворачивать в спираль или сгибать, поскольку эффективность колонок при этом не снижается. Такие колонки следует упаковывать супспензионным методом. Сорбент

с частицами размером 5–10 мкм упаковывают супспензионным методом в колонки длиной 15–50 см. Такие колонки более эффективны, но гидродинамическое сопротивление у них значительно выше. Колонки, используемые для автоматических анализов, в настоящее время наиболее унифицированы [8]. Различные фирмы стандартизовали диаметры колонок, в частности ко-

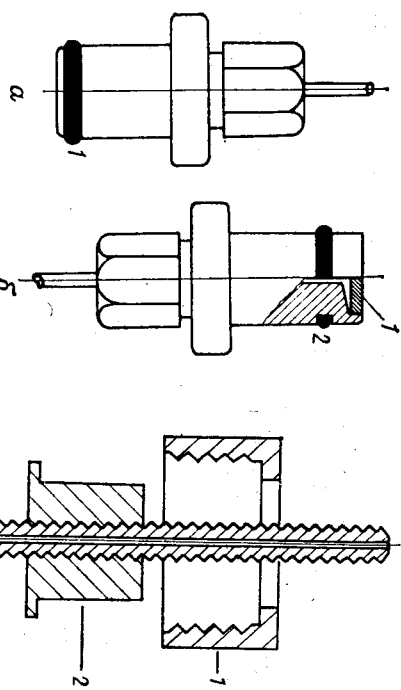


Рис. 8.17. Уплотняющий наконечник колонки.

a — верхняя часть; *b* — нижняя часть; *1* — кольцо из неопрена; *2* — диск из пористого тefлона.

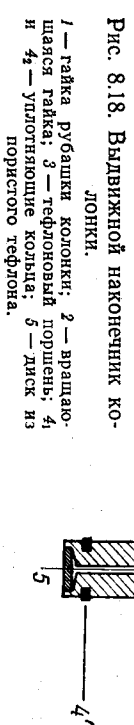


Рис. 8.18. Выдвижной наконечник колонки.

1 — гайка рубашки колонки; *2* — винт; *3* — тefлоновый поршень; *4* — уплотняющая гайка; *5* — диск из пористого тefлона.

лонок, помещаемых в рубашки. Современная технология позволяет изготавливать стеклянные колонки с точно выдержанными внутренними диаметрами обычно 4, 6, 9, 12 или 25 мм и длиной 150, 300, 600 или 1000 мм. Очень часто колонки снабжены уплотненными рубашками, верхние и нижние концевые соединения колонок идентичны и имеют внешнюю резьбу.

Хроматографические колонки конструируют так, чтобы мертвый объем был минимальным. В простейшей модификации положение уплотнений на обоих концах колонки — верхнем и нижнем — фиксировано. Эти уплотнения обычно выполнены из тefлона и снажены канавкой для пластмассового кольца, которое помещают вплотную к стенкам колонки (рис. 8.17). Некоторые уплотнения выполнены так, чтобы окончательная регулировка проводилась одновременным обжимом с обеих сторон и чтобы колонка сразу уплотнялась полностью. Внизу колонки помеща-

ют фильтр, который препятствует вымыванию адсорбента и обеспечивает равномерный поток элюента. Фильтр выполнен из пористого тefлона с определенным размером пор, позволяющим удерживать адсорбент с частицами размером до 5 мкм (Hamilton). Иногда используются фильтры из пористого стекла или для очень высоких давлений — фильтры из нержавеющей стали. В некоторых случаях в колонку помещают пористые металлические диски (фритты), также не пропускающие частицы размером до 5 мкм (Hamilton).

В некоторых типах колонок высоту слоя адсорбента можно по желанию менять. Диаметры ввода и вывода у таких колонок одинаковы (рис. 8.18), и порши с пористым диском можно перемещать на расстояние до примерно 10 см. Система концевых соединений обеспечивает закрепление тefлоновых калияров как на вводе в колонку, так и на выводе из нее. Некоторые фирмы поставляют колонки из нержавеющей стали, предназначенные для хроматографии при высоких давлениях, уже заполненные адсорбентом, закрепленным двумя фильтрами также из нержавеющей стали. Подключают их к гидравлической системе с помощью металлических калияров.

8.5.3. УПАКОВКА ХРОМАТОГРАФИЧЕСКИХ КОЛОНК

Развитие хроматографии привело к преимущественному использованию сорбентов с одинаковым размером частиц и с диаметром частиц меньше 10 мкм. Некоторые адсорбенты такого типа можно упаковывать в колонку в сухом состоянии. Чтобы слой адсорбента был однородным, колонку закрывают снизу и помешают в установку для упаковки. В процессе заполнения колонки перемещается вверх — вниз с требуемыми амплитудой и частотой. Сверху на колонку помешают воронку, в которую из сосуда с узким выводным отверстием подается адсорбент.

Некоторые адсорбенты вводят в колонку в виде суспензии. Поскольку скорость осаждения маленьких частиц очень мала, можно использовать динамический метод упаковки. Суспензию помешают в резервуар, и подаваемый под давлением элюент продавливает ее в колонку, скорость потока элюента должна быть больше скорости осаждения частиц. Эксперименты показали, что удобнее всего при заполнении пользоваться U-образной трубкой, одно колено которой служит резервуаром для суспензии частиц и жидкости адсорбента, а второе колено подсоединенное к заполняемой хроматографической колонке, так что суспензия поступает в нее снизу. В некоторых случаях колонки заполняют следующим образом. Суспензию загружают в цилиндрический сосуд (диаметр которого несколько больше, чем

у воронки) и выдавливают в колонку, подсоединенную к этому сосуду снизу. Методы упаковки колонок подробно рассматриваются в литературе [19, 27, 34, 36].

8.6. ДЕТЕКТОРЫ

Оценка результатов хроматографического разделения путем анализа отдельных фракций — процедура относительно медленная, однако очень часто только таким методом можно получить важную специфическую информацию, а если анализируются радиоактивные материалы, то и повысить чувствительность обнаружения. Чаще всего используется автоматическая регистрация процесса разделения детектором, дающим на выходе электрический сигнал, интенсивность которого пропорциональна концентрации анализируемого соединения. Этим же методом можно провести количественное определение. Обнаружение соединений в жидкостной хроматографии проводится различными способами. Многие детекторы оценивают различие в характеристиках анализируемого соединения и элюента. В частности, этот принципложен в основу спектрофотометрического детектирования в ультрафиолетовой, видимой и инфракрасной областях. Детекторы неселективного действия измеряют показатели преломления, проводимость или диэлектрическую проницаемость при тщательной температурной компенсации рабочей ячейки и ячейки сравнения. В некоторых типах детекторов растворитель перед вводом соединения в регистрирующий блок удаляется (например, пламенно-ионизационный детектор с подвижной нагреваемой лентой). Конструкция спектрофотометрических детекторов для высокоэффективной жидкостной хроматографии (особенно ультрафиолетового абсорбционного и рефрактометрического детекторов) хорошо разработана. Если для работы с одной колонкой объединяют два детектора, то сначала устанавливают УФ-детектор, а затем рефрактометрический детектор.

Какой бы принцип детектирования ни использовался, объем жидкости между выводом из колонки и вводом в ячейку детектора всегда должен быть минимальным. Поскольку с увеличением объема проточной ячейки детектора чувствительность обнаружения возрастает, а разрешение ухудшается, то обычно выбирают оптимальный вариант. В литературе описана конструкция проточных ячеек двух типов — Z- и H-типа [9, 14]. Чувствительность прибора увеличивается многими способами, но при этом всегда используют различие в свойствах элюента и элюата. С помощью разного рода усилителей можно значительно увеличить отношение полезного сигнала к шуму.

Спектрофотометрические методы обеспечивают высокую степень селективности и чувствительности. Они не слишком сильно подвержены влияниям изменения температуры или скорости потока. В двухлучевом приборе луч определенной длины волны расщепляется через сравнивательную ячейку, а второй — через рабочую, после чего оба луча фокусируются на фотоячейке. Для того чтобы установить линейное соотношение между выходным сигналом фотоячейки и концентрацией вещества, выходные сигналы

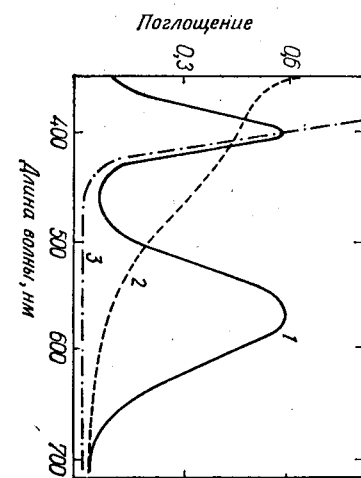


Рис. 8.19. Спектры соединений, образующихся при реакции аминокислот с нингидрином.
1 — продукты реакции пролина; 2 — продукты реакции нинхидрина; 3 — нинхидрин.

фотоэлементов рабочей и сравнивательной систем проходят через логарифмический усилитель. Разность между полученными значениями вновь усиливается, и сигналы регистрируются самописцем.

Преимущество двухлучевых приборов состоит в том, что ошибки, вызванные изменениями источника излучения и поглощения растворителем, минимальны.

Большинство соединений не поглощает в видимой области спектра. Поэтому анализаторы снабжаются прибором, который вводит в поток элюата постоянное количество реагента, воспроизводимо реагирующего с анализируемым соединением. Продукты реакции обнаруживаются на различных длинах волн. Именно к этому типу детекторов относятся аминокислотные анализаторы, в которых в поток элюата вводят нингидрин. Большинство аминокислот дают с нингидрином окрашенные соединения; спектры их поглощения показаны на рис. 8.19. Спектр поглощения продуктов реакции отличается по положению максимума. При проведении количественного анализа боль-

шинства аминокислот спектр поглощения продуктов их взаимодействия с нингидрином снимают при 570 нм, а спектр продуктов реакции с пролином — при 440 нм. Для автоматической стабилизации нулевой линии дополнительно измеряют поглощение при 690 нм. В более поздних моделях аминокислотных анализаторов (например, LKB — Biosal) с одной проточной ячейкой предусмотрено измерение поглощения при 440 и 570 нм. Вращающийся диск с отверстиями генерирует пульсирующий световой луч с длинами волн 440 и 570 нм с частотой 300 Гц. Этот луч проходит через полупрозрачное зеркало к фотоумножителю. Одновременно к фотоумножителю направляется сравнительный поток света (с длиной волны 570 нм); этот луч не проходит через измерительную ячейку. Выходной сигнал с фотоумножителя идет через переключатель, далее он усиливается и линеализируется. Энергия фотоисточника стабилизована фотосопротивлением. Выходной сигнал детектора находится в интервале от 0 до 50 мВ, детектор имеет пять диапазонов: (0—2; 0—1; 0—0,5; 0—0,2; 0—0,1) единиц поглощения. Для регистрации используется двухперьевая самописец.

В настоящее время в наиболее чувствительных приборах предпочтуют использовать электронное усиление сигнала, так как увеличение оптического пути, длины измерительной ячейки, приводит к увеличению шума нулевой линии и затрудняет идентификацию соединений, поступающих из колонки. Чтобы можно было проводить постоянное измерение поглощения, в некоторых приборах, например фирмы LKB, предусмотрено автоматическое изменение масштаба при достижении самописцем конца шкалы. Практически это означает, что можно записать поглощение, втрое превышающее установленный диапазон. Это весьма ценно, но само собой разумеется, что при этом используется очень качественный самописец со стабильной нулевой линией. Автоматическая аппаратура, подобная аминокислотным анализаторам, применяется для анализа карбоновых кислот. В этом случае реагентом служит бихромат калия, а погложение раствора измеряется при 424 нм [49]. Разработана также методика автоматического обнаружения продуктов реакции жирных кислот и о-нитрофенолята натрия; окраска образующихся соединений регистрируется при 350 нм [18].

Чаше всего регистрацию соединения в потоке в жидкостной хроматографии, особенно при градиентном элюировании, проводят с помощью УФ-спектрофотометра обычно при 254 или 280 нм. Этим способом удается обнаруживать нанограммовые количества соединений. Источником света длиной волны 280 нм служит ртутная лампа низкого давления, а линия в 254 нм используется для инициирования флуоресценции при 280 нм. Излучение с длиной волны 254 нм применяют для обнаружения

аминокислот, тогда как белки обнаруживают при 280 нм. Органические кислоты дают максимум поглощения при 200—210 нм. Фирма Jeol использует УФ-детектор, работающий при длине волн 215 нм. Чувствительность такого обнаружения понижена, если анализируются насыщенные кислоты с небольшим числом углеродных атомов, но, если анализируются кетокислоты и ненасыщенные кислоты, чувствительность обнаружения очень высока. Дифференциальный УФ-анализатор UVD 254 (разработки КБ Чехословацкой Академии наук) работает в областях 0—0,5, 0—1,0 и 0—2,0 единиц поглощения, длина ячейки составляет 10 мм, а дрейф нулевой линии равен 4% за 12 ч при 254 нм. УФ-детектор LDC (модель 1522, фирма Jobling) работает при 254 и 280 нм, длина оптического пути составляет 3 мм, выход линейный с диапазонами 0—0,1—0,25—0,5—1,0. Минимальный уровень обнаружения соответствует 0,002 ед. погл. Самописец, УФ-лампа и электронная часть выполнены в одном блоке. У фотометра фирмы Du Pont следующие характеристики: минимальный уровень обнаружения 0,0002 ед. погл. при 254 нм; сдвиг на 0,001 ед. погл. за 1 ч; диапазоны 0,01—0,02—0,04—0,08—0,16—0,32—0,64—1,28—2,56; отклик детектора линеен с точностью до 1%.

(фирмы Varian), который работает в диапазоне от 210 до 780 нм с уровнем шума $5 \cdot 10^{-4}$ ед. погл. Аналогичный прибор выпускается фирмой Hitachi Perkin-Elmer со спектрофотометром на дифракционной решетке. Трехканальная система работает в области 200—700 нм. В хроматографах других типов поток элюента через кювету можно периодически останавливать и снимать полный спектр вещества, находящегося в детекторе с автоматической регистрацией. В последнее время появились безэлектродные высокочастотные газоразрядные лампы, наполненные газом при низком давлении. Такие лампы позволяют проводить измерения в области ниже 210 нм и содержат точечный источник света высокой интенсивности. Они использованы в приборе «Uvicord» (LKB). При хорошей температурной стабилизации свивг нулевой линии составляет только 0,005 ед. погл. за 24 ч. Этот прибор является двухлучевым абсорбциометром с длинами волн 206, 254, 280, 340 и 364 нм, при которых обычно проводится обнаружение различных групп биологически важных соединений. Регистрируемые значения записываются или в единицах поглощения, или в процентах пропускания. Измерения проводятся на двух ячейках, одна из которых содержит стандартный раствор, другая — анализируемый, при двух длинах волн одновременно. При 206 нм измеряют поглощение относительно низкомолекулярных неароматических пептидов и некоторых сахаридов. Область поглощения соответствует интервалам

Рис. 8.20. Схема дифференциального рефрактометра, применяемого в жидкостной упомянутые выше [\[31\]](#)

— фотодетектор; 2 — прозрачный пластик; 3 — щель для света; 4 — щель для пыли; 5 — отклоняющий электрод; 6 — образец; 7 — источник света.

Дифференциальный рефрактометр представляет собой в значительной степени универсальный детектор (исключая его использование при градиентном элюировании). Его применяют главным образом в тех случаях, когда образцы не поглощают в УФ-области или когда элюент сильно поглощает в этой области. Детектор этого типа измеряет разность показателей преломления элюента и раствора анализируемого вещества в элюенте. В рефрактометре Френелевского типа луч света отражается от границы раздела стекло — жидкость и разность углов падения и отражения является функцией угла падения и покатаеля преломления. В другом типе рефрактометра измеряется интенсивность света, которая пропорциональна разности показателей преломления двух жидкостей. Каждая из жидкостей проходит через отдельную часть одной и той же ячейки, которая разделена стеклянной пластиной под диагонали. Такие приборы способны обнаруживать соединения при концентрации их до 5 мкг/мл . Достичь чувствительности $5 \cdot 10^{-5}$ единиц показателя преломления (R_1 ед.) можно, только если температура стандартного раствора и анализируемого раствора отличается не более чем на $0,005^\circ\text{C}$. Рефрактометры Френелевского типа используют

зуют в хроматографах фирм Du Pont, Varian, Nester-Faust. Оптическая схема рефрактометра Френеля показана на рис. 8.20 [31].

Анализируемая жидкость проходит через очень узкий зазор между стеклянной прямой и тefлоновой прокладкой, помещенной на металлической подложке. Часть света отражается от границы раздела стекло — жидкость, часть проходит через жидкость и отражается от металлической подложки. Интенсивность отраженного света пропорциональна показателю преломления жидкости. Аналогичный процесс происходит и в сравниваемой ячейке. Когда растворенное вещество проходит через измерительную ячейку, самописец записывает сигнал, пропорциональный разности показателей преломления жидкостей. В хроматографе фирмы Du Pont, модель 830, используется ячейка объемом примерно 3 мкл. Отклик детектора линеен в области до 500-кратной разности концентраций. В прибор фирм Wates Associates, модель ALG-C-201, введен отражательный тип рефрактометра, чувствительность которого достигает $6 \cdot 10^{-8}$ ед.

В специальных случаях в жидкостной хроматографии применяют серию детекторов. Их детально описал Бирн [5].

Флуориметром можно регистрировать интенсивность флуоресценции, вызванной облучением анализируемого раствора. Возбуждающее излучение, длина волны которого обычно больше, чем у возбужденного излучения, исклучают с помощью подходящего фильтра и измеряют фотоячейкой интенсивность флуоресценции. Если вещества само по себе не флуоресцируют, его обрабатывают реагентами, образующими с исследуемым соединением флуоресцирующие продукты. Чувствительность обнаружения сильно излучающих соединений может достигать 1 нг/мл. Диапазон использования ИК-спектрофотометров для исследования водных растворов в настоящее время значительно расширился. Этому, в частности, способствует применение ячеек фирмы Itran. Измерения обычно проводят при постоянной длине волны, соответствующей частоте колебаний определенной функциональной группы. Кроме того, разработанные в настоящее время методики позволяют снять спектр исследуемого соединения практически мгновенно — всего примерно за 1 мс. Спектр регистрируется на осциллографе, и его можно затем сфотографировать. В некоторых случаях удается непосредственно идентифицировать соединение.

Пламенно-ионизационный детектор применяют в тех случаях, когда испарение элюента проходит при подходящей температуре и не сопровождается испарением или разложением исследуемого соединения. Часть элюата из колонки попадает на транспортер (лента, цепь или диск), который переносит элюат в испаритель.

Остаток после испарения элюата поступает в пиролизатор, газообразные продукты пиролиза подаются в ячейку пламенно-ионизационного детектора, содержащего измерительный электрод.

Принцип действия термометрических детекторов — регистрация теплоты адсорбции и десорбции на поверхности. Эти температурные изменения регистрируются термисторами, и выходной сигнал записывается в виде дифференциальной кривой, соответствующей концентрационной кривой элюирования. Положение максимума пика соответствует пересечению волной нулевой линии. В жидкостном хроматографе фирмы Jeol чувствительность детектора может меняться в семи диапазонах от ± 1 до $\pm 0,001^\circ$ полной шкалы. Детекторы по радиоактивности предназначены для анализа соединений, содержащих ^{35}S , ^{14}C и ^{3}H . Ряд сцинтилляционных счетчиков существенно увеличивают чувствительность определения [15], особенно сцинтилляционные счетчики нового типа с пластмассовыми спиральными. Чтобы повысить чувствительность определения, используют также ячейки, заполненные твердым сцинтиллятором, через который проходит элюат, поступающий из колонки. Излучаемый сцинтиллятором свет регистрируется фотумножителем.

Емкостные детекторы измеряют диэлектрическую проницаемость соединений. Выходные значения линейно зависят от разности между диэлектрической проницаемостью анализируемого соединения и элюента. Измерения проводятся при частоте 18 МГц. С помощью некоторых потенциометрических детекторов проводится измерение электродного потенциала. Относительно недавно доказана перспективность использования ион-селективных детекторов. Высокой чувствительностью обладает сульфидающий электрод, который позволяет обнаруживать сульфилионы при концентрации их до 10^{-7} г-ион/л и в то же время не чувствителен к ряду других ионов. В настоящее время удалось уменьшить размеры полярографических детекторов и приспособить их для работы с проточными микроячейками.

В большинстве последних разработок используют плазменные источники для получения эмиссионных спектров элементов, входящих в состав элюента.

8.7. РЕГИСТРАЦИЯ И ОБРАБОТКА РЕЗУЛЬТАТОВ

В процессе хроматографического разделения непрерывно элюируемые из колонки компоненты проходят через детектор, или непосредственно, или после проведения предварительной реакции с подходящим реагентом. Аналоговый сигнал, выходящий из детектора, пропорционален концентрации соединения, находящегося в ячейке детектора, и этот сигнал регистрируется

самописцем. Концентрация каждого компонента, прошедшего через детектор, является функцией времени, на хроматограмме она записывается в виде пика. В идеальном случае пики имеют форму гауссовой кривой и количество соединения, прошедшего через детектор, пропорционально площади под кривой. Чтобы определить количество соединения, необходимо рассчитать площадь пика, сделать это можно вручную (разд. 10.5.2 л.) или же с помощью электронных, аналоговых или механических интеграторов (их применяют совместно с самописцами, и ошибка определения площади составляет при этом около 1%). Широко используется механический интегратор фирмы Disc Integrator Instruments. Этот интегратор регистрирует в графической форме площадь пиков в процессе его появления на том же самописце, или для регистрации можно приспособить отдельный самописец. Наиболее точное измерение площади обеспечивают электронные цифровые интеграторы (ошибка около 0,4%). На первом этапе автоматизации и использования компьютеров значения с ленты самописца считывались аналого-цифровым преобразователем, который их кодировал. Выходные данные с преобразователя вводились в компьютер, который проводил числовые расчеты. В преобразователе напряжение сигнала детектора преобразовалось в частоту. По мере прохождения пика импульсы суммировались и значение суммы за определенный промежуток времени выводилось на печать. Сумма импульсов пропорциональна площади пика. Этот метод расчета требует наиболее сложной логики, поскольку необходимо, чтобы выходные значения были скоррелированы с временем удерживания пика. Цифровой интегратор должен обладать большим линейным диапазоном, высокой частотой счета (например, 6000 имп/мин), большой цифровой емкостью (до 10^5) и чувствительностью.

При расчете количества присутствующего компонента по данным о величине соответствующего пика следует учитывать несколько факторов. Во-первых, важна эффективность детектора, выходной сигнал должен быть пропорционален поглощению и линеен (обычно до 1,5 ед. погл., для старых приборов). Если отсутствует линейное соотношение между площадью пика и количеством соединения, то необходимо построить калибрационную кривую. Относительные площади пиков не всегда пропорциональны количеству соединения, поскольку отклики детектора может различаться для разных типов молекул или разных классов соединения. С одним и тем же реагентом при идентичной молярной концентрации гомологи могут давать окраску различной интенсивности.

Не менее важным фактором является размывание пиков соединений с большим объемом удерживания. Для того чтобы получить информацию о количестве соединения, необходимо ум-

ножить площадь пика на коэффициент, определяемый в результате анализа стандартной калибровочной смеси. Таким способом удается исключить ошибки, вызванные изменением образца, аппаратурой и аналитической методикой.

Эффективные цифровые интеграторы используются для оценки результатов разделения, проведенного методом газовой или жидкостной хроматографии, главным образом в серийных анализах соединений одного типа, например аминокислот. Следующая часть этого раздела посвящена оценке результатов. В процессе анализа аминокислот оценивается интенсивность окраски (обычно при 570 нм) продуктов реакции аминокислот с нингидрином. В начале элюирования самописец регистрирует только нулевую линию, которая может сдвигаться при изменении состава подвижной фазы. Если проводится количественный анализ, такие сдвиги следует учитывать. Интегратор обрабатывает сигнал детектора очень быстро (40–2000 имп/с), в результате чего регистрируется прохождение даже одиночного компонента. В интеграторе можно предусмотреть автоматическую коррекцию нулевой линии, и он начнет интегрирование, только когда нулевая линия существенно изменится за несколько секунд. Некоторые управляющие элементы, которые ранее являлись частью анализатора, теперь функционально включены в интегратор. Чтобы результаты расчета были правильными, важно принять во внимание форму пиков.

Некоторые логические функции интегратора демонстрирует рис. 8.21. Перед началом серии анализов необходимо стандартизовать анализ с помощью калибровочного образца, например 0,1 мкмоль каждой из аминокислот. Начало анализа (момент ввода пробы) является нулевой точкой на оси времени. Функции анализатора с этого момента программируются по отношению к временной оси. В начале разделения из колонки выходит компонент A, который не нужно принимать во внимание при проведении расчетов. Поэтому начало интегрирования свивается в точку I. Момент начала интегрирования можно ввести в программу вместе с другими данными. Во-первых, необходимо определить работу интегратора. С момента 2, т. е. с момента появления компонента B, интегратор суммирует значения импульсов до тех пор, пока не закончится элюирование B (точка 3). Начало и конец элюирования B определяются по приближению сигнала к уровню нулевой линии. Одновременно на хроматограмме указывается площадь полученного пика. Программная логика позволяет исключать очень маленькие пики (например, B) путем ввода в программу минимального допустимого значения. Если после прошествия определенного времени (6) нулевая линия не будет достигнута, то интегрируется только основная часть пика (от 4 до 5). И интегратор автоматически корректирует положе-

ние нулевой линии путем переключения потенциометра прибора. Некоторые компоненты анализируемой смеси необходимо обнаруживать при других длинах волн, например, пролин обнаруживают при 440 нм. В момент (7), соответствующий началу пика пролина (D), детектор переключается на второй измерительный канал. После прохождения пика детектор переключается в прежнее положение (8), и измерения вновь проводятся при

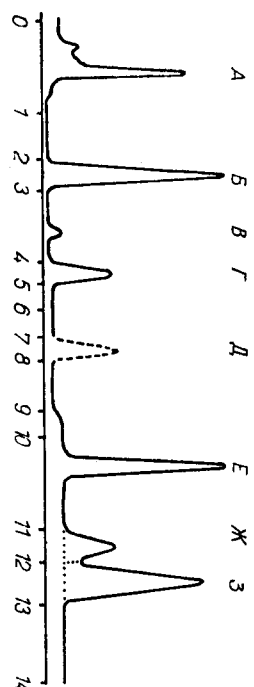


Рис. 8.21. Хроматограмма, полученная при автоматическом разделении ароматических аминокислот (посыпает работу интегратора).
0—14 — основные временные интервалы; А — неопределенные аминокислоты; Б—3 — определяемые аминокислоты; Д — пролин.

длине волны 570 нм. Через определенное время (9) после поступления буферного раствора другого состава происходит сдвиг нулевой линии, чтобы при этом не был зафиксирован ложный пик, вновь проводится автоматическая коррекция нулевой линии (10). При наличии двух не полностью разделенных пиков Ж и З интегратор рассчитывает площадь пика Ж в интервале 11—12, а площадь пика З—в интервале 12—13. Конец анализа программируется точкой 14. По полученным величинам площадей отдельных пиков рассчитывается содержание каждой из аминокислот в анализируемой смеси. Эффективность интеграторов достаточна для обработки данных нескольких анализаторов.

В более современных приборах методика обработки данных существенно улучшена. Приведенные ниже данные получены главным образом на аналитической системе аминокислотного анализатора D-500 фирмы Digtum. Скорость анализа на этом приборе выше, чем на других типах анализаторов. Для количественного анализа достаточно 50 мкг белкового пиролизата. Объем проточной ячейки равен 1,9 мкл, а длина оптического пути составляет 5 мм. Источником света в детекторе служит лампа дневного света; луч света проходит через систему, которая с очень короткими интервалами направляет луч на фильтры

в 590 и 690 нм и создает два луча для фотометра. Фотометр дает линейную зависимость сигнала от поглощения. Организован параллельный выход на самописец и аналого-цифровой преобразователь с частотой преобразования в десять измерений в секунду с выводом цифровых значений на ЭВМ. В ЭВМ также вводится точный временной режим изменения состава буферных растворов, температуры и последовательности всех операций, включая ввод образцов и регенерацию колонки. Анализ проводится на одной колонке размером 1,75×48 см при примерно 190 атм и заканчивается за 48 мин.

Ввод в ЭВМ начальных параметров анализа и констант относительно прост и выполняется через печатное устройство в режиме ввода. В процессе анализа одновременно выдается графическая информация, проводятся количественные расчеты и выдаются результаты анализа. Результаты анализа могут записываться ЭВМ таким образом:

ПИК	НАЗВАНИЕ	МИН	СЕК	ТИП	ПЛОЩАДЬ	КОЛИЧЕСТВО
3	аспараг.	12	52	∅	34156	11,7
ФАКТОР НУЛЕВАЯ ЛИНИЯ						
29212					99	

ЭВМ сообщает номера пиков, названия аминокислот, время, прошедшее с момента начала анализа до момента выхода пика соответствующей кислоты в минутах и секундах, тип разрешения пика, площадь пика, количество соединения в наномолях, калибровочный коэффициент, используемый для расчетов, и уровень нулевой линии для того пика, для которого проводились расчеты. Можно также рассчитать молярное соотношение аминокислот в образце. С помощью этого прибора возможно количественное определение аминокислот при содержании их менее 1 нмоля; отношение сигнала к шуму выше, чем 30:1. ЭВМ также контролирует динамическую область анализатора. Полную область шкалы поглощения можно менять либо вручную, либо по команде ЭВМ в интервалах 0,1—0,2—0,5—1,0 и 2,0. Кроме того, при установленной шкале чувствительности область поглощения можно автоматически увеличить или уменьшить в соотношении 1:10 для определенного компонента. Изменение области поглощения проводится, в частности, в тех случаях, когда все компоненты (аминокислоты), исключая пролин и окси пролин, определяют в области поглощения 2,0, и только для этих двух компонентов ее необходимо расширить до 0,2 ед. погл.

В анализах с калиброванным образцом ЭВМ оценивает площадь пика и рассчитывает калибровочные постоянные для каждой аминокислоты; данные эти фиксируются ЭВМ и могут ис-

пользоваться для расчетов состава в последующих анализах образцов неизвестного состава. На таком приборе можно привести до 170 анализов в неделю.

8.8. РАСХОДОМЕРЫ И КОЛЛЕКТОРЫ ФРАКЦИЙ

В простейшей хроматографической системе элюат проходит через детектор, соединенный через расходомер с коллектором фракций. В процессе измерения расхода небольшие пузырьки воздуха вводятся в поток жидкости, скорость которого необходимо измерить. Скорость пропорциональна времени прохождения пузырька между двумя метками; наблюдения проводятся визуально или фотоэлектрически. Эти измерения можно проводить автоматически; ошибка определения при этом составляет примерно 1%. Расходомер фирмы LKB используется для длигального измерения расхода жидкостей в диапазоне от 0,5 до 300 мкл/ч. Вводом пузырьков воздуха в капилляр управляют электронные импульсы. Эти пузырьки перемещаются потоком жидкости, и их прохождение регистрируется в определенном месте фотодиодом. Последующая точка на капилляре соответствует 250 мкл жидкости, второй фотодиод регистрирует только прохождение пузырьков установленного размера, а все оставшиеся пузырьки не учитываются. Третий фотодиод, регистрирующий пузырьки, удален от второго на такое же расстояние (250 мкл). Сигнал в интегратор подается только в тот момент, когда одновременно в двух контрольных точках появляются новые пузырьки, так как при этом гарантируется правильность измерения времени. Если к системе подключен коллектор фракций, пропорциональный объему минимальному объему в 250 мкл. Этот принцип измерения объема используется также в автоматических инжекторах с постоянным объемом дозирования: в них жидкость контактирует только со стеклом и тefлоном. В большинстве других приборов для измерения расхода жидкости чаще применяются сифоны постоянного объема. Когда сифон опустошается, жидкость перекрывает photoчувствительную ячейку и на хроматограмме отмечается начало новой фракции. Счетчики капель не пригодны для измерения расхода жидкости, если объем ее превышает 5 мл; кроме того, при их использовании возникают проблемы, связанные с изменением поверхностного натяжения или плотности жидкости.

В аналитической жидкостной хроматографии основное внимание уделяется снижению количества вещества, необходимого для анализа, и часто компоненты смеси перед подачей в детектор переводят в те или иные производные, поэтому фракции не собираются. В высокоеффективном варианте жидкостной хроматографии разделение проходит за относительно малое время.

Соединения проходят через детектор в виде узких зон, и обычно отбор фракций осуществляется при ручном управлении трехходовым краном в соответствии с видом хроматограммы, записываемой самописцем. В препаративной жидкостной хроматографии важна дальнейшая аналитическая оценка разделенных компонентов, поэтому элюат собирают в виде отдельных фракций. Ход разделения записывается самописцем в виде хроматограммы, на которой отмечается каждая фракция. Некоторые коллекторы фракций работают по сигналу детектора, как, например, в хроматографе ISCO, модель UA-2, фирмы BioCal. Фракции отбираются только в том случае, если величина поглощения превышает некоторое заданное значение.

В коллекторах фракций различают две основные части — управляющую и механическую. Работа управляющей части чаще всего основывается на принятии измерения постоянных интервалов времени, отмеряемых различными таймерами, как электронными, так и механическими. Работа некоторых других приборов основана на непосредственном измерении постоянного объема элюата при помощи сифонной системы или системы Volufgas. В некоторых системах измерение непосредственно объема заменено на отсчет капель или фотоэлектрическое измерение уровня жидкости в сосуде. На рабочей панели всех этих приборов в зависимости от принципа их действия указаны такие параметры, как время (от 0,1 до 999 мин), или число капель (от 1 до 999), или множитель объема сифона. Таким оборудованием снабжен коллектор фракций Linear II фирмы Serva.

Механическая часть обычно либо направляет элюат из детектора от одного стационарного сосуда в другой, особенно если отбираются фракции большого объема, либо выходная трубка неподвижна, а сосуды, обычно пробирки, сви利亚ются. Часто коллектор фракций имеет форму диска с несколькими крутыми углублениями, в которые вставлены пробирки, и переход с одного круга на другой осуществляется специальным механизмом. В приборах других типов пробирки располагаются по спирали. Имеются аналогичные коллекторы фракций, в которых пробирки располагаются не по спирали, а по отдельным группам и перемещаются от одной группы к другой. В момент переноса потока от одной пробирки к другой поток элюата перекрывается кранами. Очень удобны такие коллекторы, в которых пробирки располагаются в штативах, объединенных в блоки. Они занимают очень мало места и позволяют легко манипулировать отдельными фракциями. Такие коллекторы обычно содержат от 80 до 400 пробирок. Некоторые коллекторы собирают фракции одновременно из нескольких колонок. Полный обзор коллекторов фракций можно найти в статье [12]. Большинство коллекторов снабжено предохранителями, которые препятствуют вы-

текущую жидкости из колонки в тех случаях, когда поток прерывается, они также могут остановить хроматографирование после заполнения последней пробирки. Коллекторы должны также работать при температурах ниже 0 °С.

8.9. БОЛЕЕ СЛОЖНЫЕ СИСТЕМЫ И ПРИМЕРЫ КОМПЛЕКСНОЙ АВТОМАТИЗАЦИИ

Рассмотрим возможность автоматизации хроматографического анализа ферментов на примере, заимствованном из статьи [42]. Авторы статьи провели хроматографическое разделение ферментов на автоматическом анализаторе фирмы Technicon (рис. 8.22). В этом приборе используется пропорциональный насос P с 12 пластмассовыми трубками различного диаметра.

Буферный раствор из системы формирования градиента проходит в колонку через трубку 1. Разделение белков происходит в колонке K. Основная часть элюата из колонки поступает в коллектор фракций F и затем используется после окончания анализа. В процессе хроматографирования от основного потока элюата отделяется очень небольшая часть, которая поступает в три аналитические секции, где проводится определение основной фосфатазы, трансаминазы и всех белков. После определения основной фосфатазы часть элюата поступает через трубку 2 вместе с пузырьками воздуха, введенными через трубку 3, и субстратом из трубы 4 в аналитическую систему. В короткой стеклянной спирали M происходит тщательное смешивание водных растворов, полученная смесь поступает через термостат I, в котором при определенных условиях происходит расщепление субстрата. Чтобы реакция прервалась, к смеси через трубку 5 добавляется раствор соответствующего реагента. Через смесительную спираль результирующая смесь вводится в проточную ковету колориметра C₁ и затем идет на сброс. Сигнал детектора записывается самописцем Z. Фиксирующим концентрацию основной фосфатазы (I). На абсциссе наносится номера фракций. Определение трансаминазы проводится аналогичным образом. Через трубы 6—9 подаются образец, воздух, субстрат и реагент соответственно. Окончательный продукт реакции проходит через колориметр C₂. Результирующая концентрация трансаминазы пропорциональна кривой III записываемой самописцем.

Третья аналитическая система, регистрирующая суммарное содержание белков, несколько проще, чем две другие. Часть элюата поступает через трубку 10, воздух проводится через трубку 11, а реагент для обнаружения белков — через трубку 12. Растворы смешиваются в спирали M, полученная смесь поступает в проточную ячейку колориметра C₃. Содержание белков в смеси записывается в виде кривой II.

Шредер [33] решил проблему автоматического контроля в хроматографии пептидов следующим образом: после частичного гидролиза пептидов под действием гидроксида проводится известная реакция с никтидином. Часть образца отбирается из

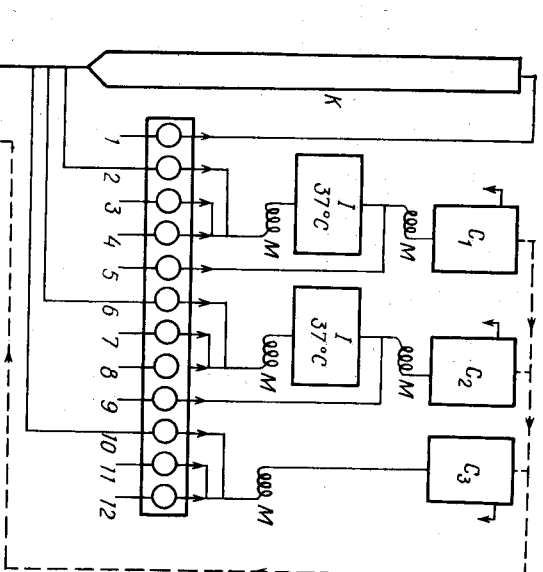


Рис. 8.22. Схема автоматического анализатора фирмы Technicon (установка для одновременного определения двух ферментов) [42].
C₁—C₃ — колориметры; F — коллектор фракций; I — термостат; K — колонка; M — стеклянные смесительные трубы; P — насос ($1\text{--}12$ насосные трубы); Z — самописец.
I — основная фосфатаза; II — белки; III — трансаминаза.

пробирок автоматически по окончании разделения и затем анализируется. Джонс [16] использовал модифицированную методику Катраваса [7], разработанную для проточной системы детектирования пептидов. Мачлейдт и др. [24] разработали методику автоматического разделения смесей пептидов на капиллярных колонках. В системе автоанализатора задаются программы для автоматического определения большого числа соединений.

Библиография, выпущенная фирмой Technicon [41], содержит 1825 ссылок.

С развитием автоматизации колоночной хроматографии увеличивается число применяемых реагентов и улучшается инструментальное оснащение [21]. Спакманом и др. [38] сконструированы оригинальные аминокислотные анализаторы, которые в настоящее время используются для автоматического анализа соединений типа сахаров и нуклеиновых кислот (нуклеотидов, нуклеозидов), пурина и пиримидиновых оснований. Так, например, на выпускаемом фирмой Jeol анализаторе аминокислот и нуклеиновых кислот, модель LC-3BC, или выпускаемом фирмой Beckman «Multichrom» можно проводить анализ пептидов [1, 2, 17], сыворотки, анализы мочи, и эти приборы можно также использовать в таких относительно новых областях, как разделение фенолов, карбоновых кислот (на автоматических жидкостных хроматографах JLO-2A и JLO-6AH фирмы Jeol), спиртов и альдегидов, включая катехоламины [22].

В настоящее время приборы для высокоскоростной жидкостной хроматографии снабжаются автоматическими модулями, а иногда ЭВМ. Такие системы имеются в приборах фирмы Du Pont, модель 830 [32], и в жидкостном хроматографе, модель ALC 202/401 [45]. Эти приборы применяются для автоматического разделения пищевых продуктов [32], антрахинонов [32] и хлорированных бифенилов [32], витаминов [44], пластификаторов полимеров [44], фенолов [45], фенилтиогидантинов [46], нуклеотидов [45, 48], олигосахаридов [47], катехоламинов [46], для лекарственных средств [46], для рыбонуклеозидов [46], для технических анализов сиропов [47]. Эти области применения хроматографии подробно рассматривают Киркленд [19], Снейдер и Киркленд [37а], Крейчи, Пешан и Дейл [24а].

Некоторые примеры автоматического анализа методом колоночной твердо-жидкостной, ионообменной хроматографии и гель-хроматографии приведены в гл. 4—6.

СПИСОК ИНОСТРАННЫХ ФИРМ, ВЫПУСКАЮЩИХ ХРОМАТОГРАФЫ

- Beckman Instruments, Inc., Spinco Division, Palo Alto, California, USA
- BioCal, Richmond, California, USA
- Disc Instruments, Inc., Santa Anna, California, USA
- Du Pont De Nemours & Co., Instruments Products Division, Wilmington, Delaware, USA
- Durrum Instrument Corporation, 1228 Titan Way, Sunnyvale, California, USA
- Hamilton Company, P.O. Box 100-30, Reno, Nev. USA
- Hewlett Packard, Avondale, Pennsylvania, USA
- Hitachi Perkin-Elmer, Hitachi Ltd., Tokyo, Japan
- Jeol (Japan Electron Optics Laboratory Co.), Chiyoda-ku, Tokyo, Japan
- Jobling Laboratory Division, Stone, Staffordshire ST 15 OBG, Great Britain

LKB — Produkter AB, Bromma, Sweden

MER Chromatographie, Mountain View, California, USA

Micrometries Instrument, Norcross, Georgia, USA

Milton Roy Company, 5000 Park St. N., P. O. Box 12 169, St. Petersburg, Fla. USA

Mikrotechna, Prague 4, Modrany, Czechoslovakia

Nester — Faust, Newark, Delaware, USA

Packard Instrument Co., Downers Grove, Illinois, USA

Packard — Becker, Delft, Holland

Pharmacia Fine Chemicals AB, Uppsala, Sweden

Phoenix Precision Instruments Co., Philadelphia, Pennsylvania, USA

Serva — Technik GMBH Co. Kg, 6009, Malsch near Heidelberg, BRD

Siemens AG., Karlsruhe, BRD

Swagelok, Cleveland, Ohio, USA

Technicon Chromatography Corp., New York, USA

Varian Aerograph, Walnut Creek, California, USA

Development Workshops, Czechoslovak Academy of Sciences, 160 00 Prague 6,

Czechoslovakia

Waters Associates Inc., Milford, Massachusetts, USA

Zavod Slovenskeho narodnito povstani, n. p., Ziar nad Hronom, Czechoslovakia

ЛИТЕРАТУРА

1. Bennett D. J., Creaser E. H., Anal. Biochem., **37**, 191 (1970).
2. Benson J. B., Jones R. T., Cormick J., Patterson J. A., Anal. Biochem., **16**, 91 (1966).
3. Bombaugh K. J., King R. N., Cohen A. J., J. Chromatogr., **43**, 332 (1969).
4. Bombaugh K. J., Levangie R., King R. N., Abrahams L., J. Chromatog. Sci., **8**, 91 (1966).
5. Бирн С. Г., в сб. «Современная практическая жидкостная хроматография». Пер. с англ./Под ред. Дж. Киркленда.—М.: Мир, с. 86.
6. Byrne S. H., Schmit J. A., Jonson P. R., J. Chromatog. Sci., **9**, 592 (1971).
7. Catravas G. N., Anal. Chem., **36**, 1146 (1964).
8. Chandler C. D., McNair H. M., J. Chromatog. Sci., **11**, 468 (1973).
9. Felton H., J. Chromatog. Sci., **7**, 13 (1969).
10. Генри Р. А., в сб. «Современная практическая жидкостная хроматография». Пер. с англ./Под ред. Дж. Киркленда.—М.: Мир, с. 95.
11. Hitachi Ltd., Tokyo, Japan, Technical prospectus EX-E220.
12. Holejšovský V., in: «Příručka laboratorních chromatografických metod», O. Míces (Ed.), p. 302; SNTL, Prague (1961); Laboratory Handbook of Chromatographic Methods, O. Míces (Ed.), p. 332; Van Nostrand, London (1964).
13. Horváth C. G., Lipsky S. R., Anal. Chem., **39**, 1893 (1967).
14. Huber J. P. K., J. Chromatog. Sci., **7**, 172 (1969).
15. Hunt J. A., Anal. Biochem., **23**, 289 (1968).
16. Jones R. T. in: Automation in Analytical Chemistry, Technicon Symposia, Vol. 1, p. 416. Medical Inc., White Plains, New York (1966).
17. Jones R. T. in: Methods of Biochemical Analysis, Vol. 18, D. Glik (Ed.), p. 205. Interscience-Wiley, New York (1970).
18. Kesner L., Muntwyler E., Anal. Chem., **38**, 1164 (1966).
19. Киркленд Дж. Дж., в сб. «Современная практическая жидкостная хроматография». Пер. с англ./Под ред. Дж. Киркленда.—М.: Мир, 1977.
20. Kirkland J. J., De Stefano J. J., J. Chromatog. Sci., **8**, 309 (1970).
21. Krejci K., Machleit W., Z. Physiol. Chem., **350**, 981 (1969).
- 21a. Жидкостная колоночная хроматография. Пер. с англ./Под ред. З. Дейла. К. Машека, Ж. Янака.—М.: Мир, 1977, с. 101.

22. Lange H. W., Männl H. F. K., Hempel K., Anal. Biochem., **38**, 98 (1970).
- 22a. Liteanu C., Gocan S., Gradient Liquid Chromatography, Horwood, Chichester (1974).
23. LKB-Produkter AB., Bromma, Sweden, Chem. Lab. 11300-70d-E-01-10M.
24. Machleidt W., Kerner W., Joachim O., Z. Anal. Chem., **252**, 151 (1970).
- 24a. McNair H. M., Chandler C. D., J. Chromatog. Sci., **12**, 425 (1974).
25. Mikeš O., Chem. Listy., **54**, 676 (1960).
26. Жидкостная колоночная хроматография. Пер. с англ./Под ред. З. Дейла, К. Машека, Ж. Янака. — М.: «Мир», 1977, с. 283.
27. Peaker F. W., Tweedale C. R., Nature, **216**, 75 (1967).
28. Peterson E. A., Sober H., Anal. Chem., **31**, 857 (1959).
29. Pharmacia Fine Chemicals, Uppsala, Sweden, Separation, News, January (1974).
30. Phoenix Precision Instrument, Downers Grove, Illinois, USA, Bulletin K-8000-C.
31. Du Pont De Nemours & Co., Instrument Products Division, Wilmington, Delaware, USA, Technical prospectus 830 PB2 (1971).
32. Du Pont De Nemours & Co., Instrument Products Division, Wilmington, Delaware, USA, Technical prospectus 830 PB3 (1971).
33. Schroeder W. A., Roberson B., Anal. Chem., **37**, 1583 (1965).
34. Scott C. D., J. Chromatog., **42**, 263 (1969).
35. Scott C. D., Johnson W. F., Walker V. F., Anal. Biochem., **32**, 182 (1969).
36. Scott C. D., Lee N. E., J. Chromatog., **42**, 263 (1969).
37. Snyder L. R., Anal. Chem., **39**, 705 (1967).
- 37a. Штойцер Р. И., Кирксанд Дж., Введение в современную жидкостную хроматографию. — М.: «Мир», 1977.
38. Spackman D. A., Stein W. H., Moore S., Anal. Chem., **30**, 1190 (1958).
39. De Stefano J. J., Bechell H. C., J. Chromatog. Sci., **8**, 434 (1970).
40. Technicon Chromatography Corp., Ardsley New York, USA, Technical prospectus 722-4-5-10M (1964).
41. Technicon Chromatography Corp., Ardsley, New York, USA, Technical analyzer Bibliography 1957/1967 (1968).
42. Technicon Chromatography Corp., Ardsley, New York, USA, Technical prospectus R12-6-5G (1968).
43. Young T. E., Maggs R. J., Anal. Chim. Acta, **38**, 105 (1967).
44. Waters Associates Inc., Milford, Massachusetts, USA, Technical Prospectus PB 209 (1972).
45. Waters Associates Inc., Milford, Massachusetts, USA, Technical prospectus PB73-210 (1973).
46. Waters Associates Inc., Milford, Massachusetts, USA, Technical prospectus DS 048F (1974).
47. Waters Associates Inc., Milford, Massachusetts, USA, Technical prospectus DS 049F (1974).
48. Waters Associates Inc., Milford, Massachusetts, USA, Technical prospectus AH 337 (1974).
49. Zerfing R. C., Veening H., Anal. Chem., **38**, 312 (1966).

9.1. ВВЕДЕНИЕ

Среди современных хроматографических методов, в значительной мере способствовавших развитию анализа органических и биоорганических соединений и совершенствованию способов препаративного разделения, заметное место занимает тонкослойная хроматография. В процессе разделения указанным методом анализируемая смесь перемещается вместе с подвижной фазой по тонкому слою порошкообразного сорбента, обычно нанесенного на стеклянную пластинку. В зависимости от природы сорбента при этом допускается использование одного или сразу нескольких принципов хроматографического разделения. Тонкослойная хроматография начала быстро развиваться примерно с 1958 г. главным образом благодаря работам Штала [46], усовершенствовавшего методику ТСХ и предложившего практический современный ее вариант. До 1958 г. в печати, безусловно, появлялись отдельные статьи, посвященные данной теме; так, первые статьи были опубликованы еще в конце прошлого века, но они почти не были замечены. История развития хроматографии посвящен специальный раздел монографии Кирхнера [26]. Главная причина относительно быстрого распространения ТСХ заключается в следующем: этот метод позволяет достаточно быстро осуществить довольно эффективное разделение (400—3000 теоретических тарелок в зависимости от характера и метода разделения [16]), используя простые и недорогие приспособления. Другое преимущество ТСХ — широкая область применения — от качественного и полуколичественного анализа до промышленного разделения. Так, методом ТСХ можно обнаруживать следы соединений и выделять за одну операцию порядка одного грамма соединения, пользуясь легкодоступными сорбентами, растворителями и обнаруживающими реагентами. Кроме

О. МОГЛ, Л. НОВОТНЫЙ

Институт органической химии и биохимии
Чехословацкой Академии наук, Прага

Глава 9. Тонкослойная хроматография

того, с помощью ТСХ можно контролировать результаты разделения, проведенного другими способами, например перегонкой, колоночной хроматографией, рекристаллизацией и т. п. Можно также использовать ТСХ для предварительной оценки структуры хроматографируемого соединения. Область применения ТСХ, которая с самого начала ее развития была достаточно широкой [38, 76], еще более расширилась благодаря универсальности метода (непрерывное и двумерное элюирование, электрофорез и гель-фильтрация в тонком слое). Благодаря своим преимуществам метод ТСХ часто вытесняет, а во многих случаях уже вытеснил бумажную хроматографию, в которой также используются плоскостное расположение хроматографической системы. Однако в последнее время количество опубликованных статей, посвященных новых модификаций метода, увеличивающие его разрешающую способность и чувствительность [22а, 54а].

9.2. АППАРАТУРА ДЛЯ ТСХ

9.2.1. ПЛАСТИНКИ, ПРИСПОСОБЛЕНИЯ ДЛЯ НАНЕСЕНИЯ СОРБЕНТОВ, СПОСОБЫ ПРИГОТОВЛЕНИЯ ТОНКИХ СЛОЕВ

Хроматографические тонкие слои можно приготовить непосредственно в лаборатории или же можно воспользоваться готовыми к употреблению тонкими слоями, выпускаемыми рядом фирм (см. ниже табл. 9.3).

В лаборатории тонкие слои обычно наносят на стеклянные пластинки размером 20×20 или 10×20 см, а иногда 5×20 см и толщиной 1,3—4 мм. Во многих лабораториях успешно используют микропластинки размером 25×75 мм, изготовленные из предметных стекол микроскопа. Иногда применяют несколько большие пластинки, например 75×100 мм, полученные посредством очистки старых фотографических пластинок. На пластиниках последних двух типов проводят быстрый предварительный хроматографический анализ или анализ не слишком сложных смесей, которые содержат компоненты, значительно отличающиеся по своей полярности. Для препаративного разделения обычно пользуются пластинками размером от 20×20 до 20×100 см. Поверхность пластинок обязательно должна быть чистой. Этого можно добиться, удалив ранее нанесенный слой и обнаруживающие реагенты и проведя щадительное обезжиривание; при этом всегда необходимо следить, чтобы не были повреждены края пластинок.

В некоторых случаях применяют специальные стеклянные пластинки (практически готовые для нанесения образца) со

слоем адсорбента, полученным путем спекания* силикагеля и стеклянного порошка [44]. Эти пластинки прочны, и на них, как и на простых стеклянных пластинках, можно проводить обнаружение реагентами, вызывающими коррозию. Такие пластинки можно регенерировать. С этой целью их погружают в смесь хромовой и серной кислот, после чего тщательно промывают водой и активируют прокаливанием. При таком регенерировании на одних и тех же пластинках можно проводить до 15—25 разделений. Можно также пропитывать пластинки различными растворами, в частности растворами ацетата натрия, борной кислоты, парафиновым и силиконовым маслами. Ито и др. [22] утверждают, что применение таких пластинок более экономично, чем использование обычных пластинок с нанесенными поливиниловыми сорбентами. Однако пластинки со спеченным слоем непригодны для препаративного разделения.

В ТСХ применяются также хроматографические пластинки особого типа. Основу таких пластинок составляет стеклянная ткань, на которую с обеих сторон нанесен слой силикагеля. Соответственно данным фирмы Gelman Instrument Co., выпускающей такие пластинки, так называемая мгновенная тонкослойная хроматография на пластинках из стеклянной ткани обеспечивает более быстрое и четкое разделение, кроме того, указанные пластинки удобнее в работе и на них можно быстрее нанести образец. Пластинки из других неорганических материалов, например алюминия, применяются реже, обычно в тех случаях, когда обнаружение проводится серной кислотой и для эффективного обугливания хроматографируемых веществ требуются относительно высокие температуры, как, например, при разделении восков, парафинов, тритерпеноидов и т. п. При промышленном изготавлении готовых к употреблению тонких слоев, например слоев силуфона (фирма Kavalier Glass-Works) или ТСХ алюминий шит (фирма Metc), часто используется листовой алюминий или алюминиевая фольга. Преимущество этих и им подобных материалов состоит в том, что из них можно вырезать ножницами полоски требуемых размеров и формы и полученные на них хроматограммы удобно хранить. Толщина такой фольги составляет примерно 0,1 мм, и ее поверхность иногда пассивирует.

В дополнение к неорганическим термостойким материалам некоторые фирмы используют подложки из пленок органических полимеров (например, полиэтилентерефталата) толщиной 0,25 мм, которые можно нагревать до 120 °С. Эти прозрачные

* Фирма Applied Science поставляет такие пластинки (пластинки перманентные) двух размеров: 5×20 и 2,5×7,5 см. Адреса фирм приведены в конце главы.

пленки обладают теми же преимуществами, что и листовой алюминий.

Наносят сорбент на пластинки с помощью различных приспособлений, в большинстве случаев стандартных. В принципе используются два типа приспособлений: резервуар или разрыв-

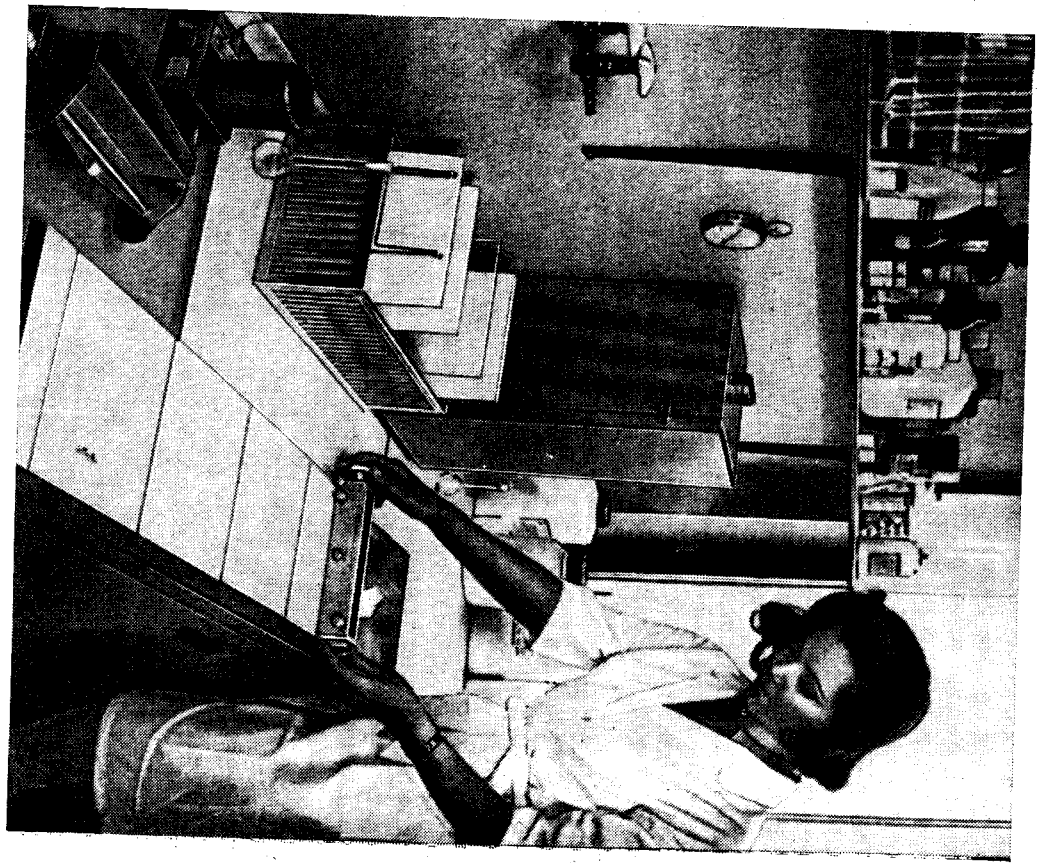


Рис. 9.1. Основное оборудование для тонкослойной хроматографии: лоток-шаблон и приспособление для нанесения сорбента, стеклянные пластины, держатель для пластиночек, применяемых при их активации, стойка для готовых пластинок (с разрешения фирмы Desaga).

атель сусpenзии сорбента перемещается над рядом пластиночек, расположенных вплотную друг к другу*, или под неподвижным резервуаром с сусpenзией сорбента перемещаются пластиночки**. В литературе описано также несколько самодельных приспособлений [6, 70], но в настоящее время они редко применяются. Рассмотрим, как работает предложенное Шталем классическое приспособление для нанесения сорбента (фирма Desaga). В это приспособление (рис. 9.1) входит большой лоток-шаблон, изготовленный из прочного листового материала, в который помещают подложки-пластиночки, на которые предполагается нанести слой, и собственно приспособление для нанесения сорбента (рис. 9.2). Лоток-шаблон обычно изготавливают из пласти массы, но можно использовать и зеркальное стекло. На двух смежных сторонах лотка эпоксидным kleem приклеивают полоски стекла. Площадь лотка, ограниченного с двух сторон барьерами, равна 110×20,3 см. Важно, чтобы свободный край лотка был абсолютно прямым и ровным, потому что именно вдоль этого края перемещается наносящее устройство. Толщина подложек не должна превышать 3/4 высоты барьера. С помощью такого устройства можно наносить слои адсорбента на микропластиночки, но в этом случае следует расположить подложки на лотке так, чтобы они покрывали всю его поверхность. Кроме того, поверхность лотка необходимо слегка смоють, чтобы микропластиночки лучше к нему прилипали. Толщина подложек должна быть одинаковой, а края их — неповрежденными. При работе с наносящим устройством Shandon, конструкция лотка в некотором сложнее и подложки выравниваются снизу с помощью роликов, эти требования не выдвигаются.

На рис. 9.3 показана схема приспособления для нанесения сорбента, разработанного Шталем. Это приспособление пригодно для нанесения большинства сорбентов на различные подложки. Приспособление фирмы SAMAG (рис. 9.4) поставляется в двух вариантах для пластиночек шириной 10 и 20 см. Разработаны и другие типы приборов, см., например, [21, 28]. Приготовливать тонкослойные пластиночки необходимо чрезвычайно тщательно, так как только на пластиночках требуемого качества можно получить хорошее и воспроизводимое разделение. Адсорбент, поборанный при предварительных опытах на микропластиночках, обычно наносят в виде слоя толщиной 0,25 см. Наиболее целесоб-

* Например, приспособления для нанесения сорбента на пластиночку, изготавляемые фирмами Desaga, Shandon, Research Specialities, Applied Science и др.

** Наиболее простое устройство этого типа выпускает фирма SAMAG; другие устройства, выпускаемые большими сериями и предназначенные для применения в специализированных лабораториях или на производстве, имеют более сложную конструкцию.

разно приготовлять сразу большую партию пластинок, применяя какое-либо из указанных устройств.

Когда стеклянные подложки помещают в лоток, в него сначала кладут вспомогательную подложку размером 5×20 , после чего вплотную укладывают подложки нужного размера (например, десять подложек размером 10×20 см или пять подложек размером 20×20 см) и заканчивают ряд еще одной пластинкой размером 5×20 см. По желанию можно всегда отмечать порядок расположения подложек, лучше всего в порядке возрастания или убывания их толщины. Далее в соответствии с инструкцией изготовителя, приготавливают суспензию сорбента; обычно сорбент смешивают с удвоенной чистой водой. Методика приготовления подробнее изложена в тех разделах главы, где описываются различные сорбенты. Наносящее приспособление помещают на вспомогательную пластинку, заполняют суспензией и поворачивают его ручку на 180° . Необходимо следить за тем, чтобы свободное отверстие было открыто. Когда суспензия начинает вытекать, наносящее устройство равномерно передвигают вдоль ряда пластинок с такой скоростью, чтобы весь процесс длился не более 30—40 с. Если сорбент наносится со связующим веществом, то необходимо закончить нанесение до того, как суспензия начнет расслаиваться. Далее устройство

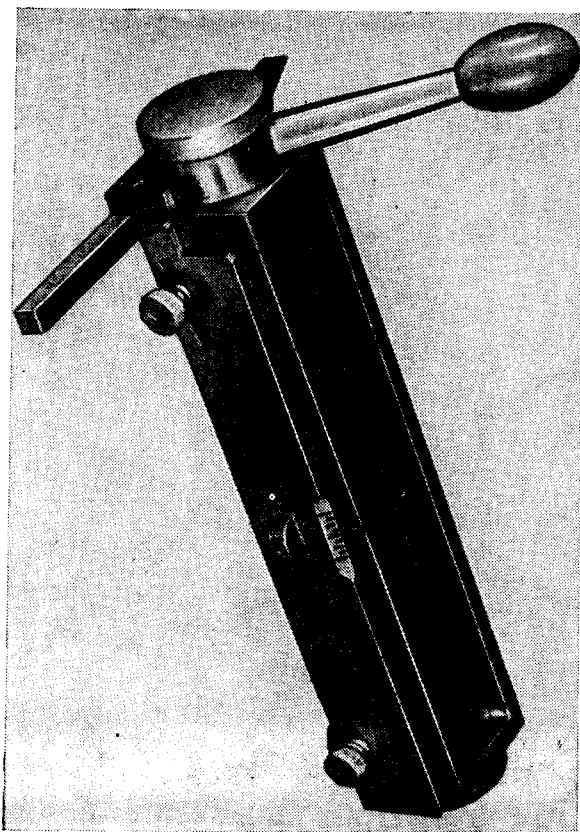


Рис. 9.2. Универсальное приспособление для нанесения слоя сорбента заданной толщины (с разрешения фирмы Desaga).

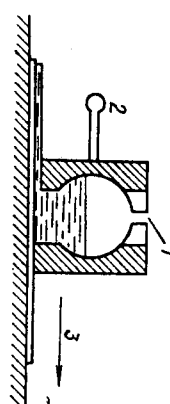
разбирают и сразу же чистят. Если слой нанесен неровно, то иногда его можно выпрямить, постукивая по пластинке снизу, но это требует сноровки и опыта. Нанесенные слои полностью высушивают при комнатной температуре. Если пластинки необходимо активировать, то сначала их сушат на воздухе примерно 20 мин, после чего переносят в штатив и в течение 30 мин активируют в сушильном шкафу при $100\text{--}110^\circ\text{C}$. При активации пластинки должны находиться в вертикальном положении. Слои оксида алюминия активируют, как правило, при 135°C в тече-

ниe 4 ч. Готовые пластинки хранят обычно в горизонтальном положении в пластмассовых коробках, а в особых случаях в экскаторах. Активность слоев силикагеля можно определить, применяя три азокрасителя [62].

Однако использование специальных устройств для нанесения адсорбента совсем не обязательно, можно наносить суспензию на подложки широким шпателем или погружать подложки в суспензию адсорбента. Последний метод наиболее удобен для получения микропластинок. Две пластины складывают вместе и просто погружают в суспензию силикагеля в хлороформе, ацетоне или смеси хлороформа с этианолом.

Так называемые незакрепленные слои применяются очень редко, поскольку они недостаточно прочны; способ их приготовления описан выше в разделе, посвященном определению активности оксида алюминия (гл. 4, разд. 4.2.3). Подобное же устройство для нанесения сорбента пригодно для получения слоев сефадекса [2].

В крайнем случае можно приготовить достаточно большое число микропластинок с закрепленными слоями с помощью прямого скребка. Предметные стекла для микроскопа закрепляют по краям kleющей лентой на специальной пластинке, так чтобы скребок (или валик) находился чуть-чуть выше пластинки, и проводят толстым краем скребка над пластинками.



9.3. Схема приспособления системы Штале для нанесения сорбента (поперечный разрез).
1 — отверстие для сообщения с атмосферой; 2 — ручка для поворачивания; 3 — направление движения.

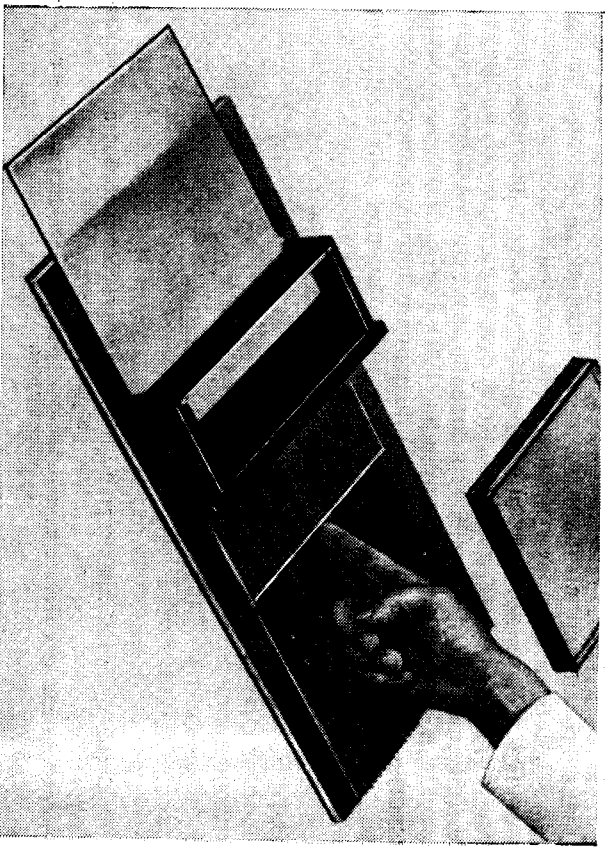


Рис. 9.4. Пристосление для нанесения сорбента фирмы SAMAG с неподвижным резервуаром для суспензии (с разрешения фирмы SAMAG).

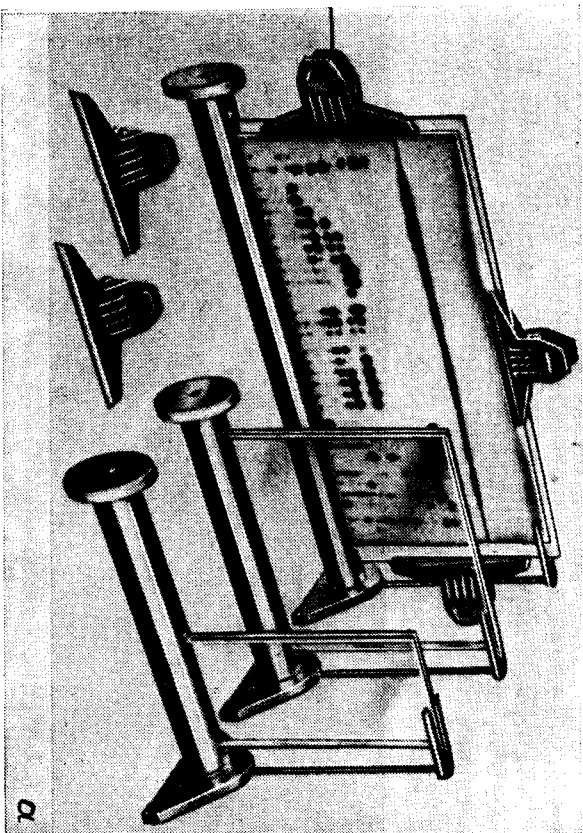
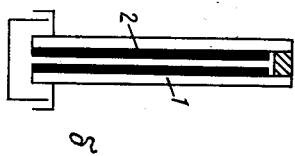
9.2.2. ХРОМАТОГРАФИЧЕСКИЕ КАМЕРЫ И КАМЕРЫ ДЛЯ ОПРЫСКИВАНИЯ

Поскольку в ТСХ обычно элюируют восходящим методом, прежде всего мы кратко опишем камеры, применяемые именно в этом случае. Чаще всего это простые прямоугольные стеклянные лотки, соответствующие пластинкам по размерам. Такие камеры обычно называют N-камерами*. Для пластинок размером 20×20 см применяются N-камеры размером $21 \times 21 \times 6$ см.

Для элюирования микропластинок удобны стеклянные сосуды, используемые для окрашивания биологических препаратов, насыщенных на предметные стекла. В этих камерах можно элюировать сразу две пластиинки, если расположить их в форме буквы V, обратив слои друг к другу. Элюировать одновременно больше двух пластиинок можно, отделив их друг от друга изо-

Рис. 9.5. S-Камера (с разрешения фирмы Desaga).

a — камера фирмы Desaga; *b* — схема заполнения этой камеры (*1* — крышка; *2* — тонкослойная пластиинка с образцом).



* Сокращенные обозначения типов камер: N — Normalkammer (нормальная камера), расстояние от слоя до стенки камеры $\gg 3$ мм; S — Schmalkammer (узкая камера), расстояние от слоя до стенки камеры < 3 мм; KS — Konditionier S-Kammer (узкая камера с переменными условиями хроматографирования).

гнутыми стеклянными палочками или поместив в специальную камеру. Так, например, в камере выпускаемой фирмой Shandon, можно элюировать одновременно 12 пластиинок. Верхние края камер притерты и закрываются стеклянными крышками, края которых также притерты, чтобы можно было герметизировать камеру. В специальных целях применяются крышки со вводным и выводным отверстиями, чтобы можно было заполнить камеру инертным газом. Пластиинки размером 5×20 см можно элюировать в цилиндрических камерах, например изготавляемых фирмой Applied Science Lab. Чтобы атмосфера камеры была насыщена парами растворителя, что необходимо для «предваритель-

ного насыщения» сорбента, стекки камеры обкладывают фильтровальной бумагой.

S-камеры, выпускаемые фирмами Desaga, SAMAG и др. (рис. 9.5), представляют собой специальный тип камер с очень маленьким свободным объемом, заполняемым газовой фазой (парами растворителя), так что затраты элюента при элюировании

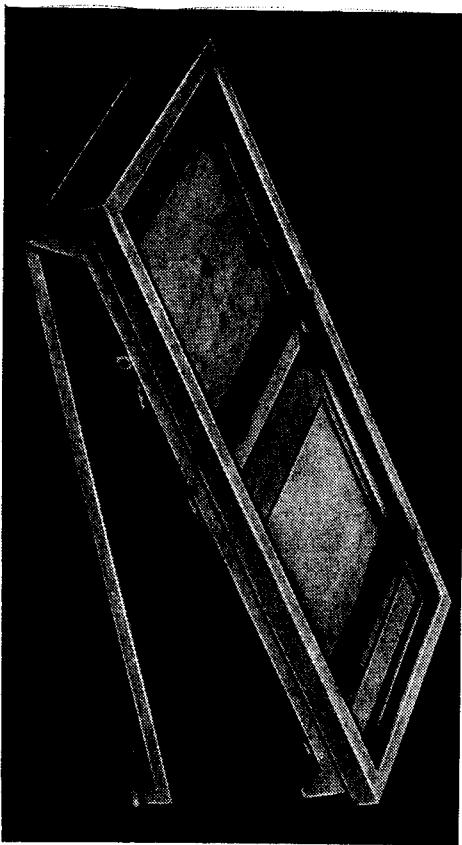


Рис. 9.6. Камера для нисходящего элюирования методом тонкослойной гель-хроматографии (с разрешения фирмы Pharmacia).

Находящаяся в камере пластинка со слоем геля с обоих концов соединена с резервуарами с растворителем посредством мостиков из фильтровальной бумаги ватман ЗММ. Эти мостики необходимо предварительно тщательно пропитать элюентом.

вания очень невелики (рис. 9.5, а). Такая камера обычно состоит из двух стеклянных пластинок (чаще всего размером 20×20 см); собственно хроматографической пластинки и прикрытой ее пластики, края которой с трех сторон приподняты. Такое устройство обеспечивает практически ненасыщенную атмосферу во время хроматографирования. Если необходимо насыщение, то на покрывающую пластинку наносят сорбент, смоченный соответствующими растворителями (рис. 9.5, б).

Элюирование на незакрепленных слоях ведут в нетлубоких лотках, где слой опирается на более короткую сторону лотка и, таким образом, располагается обычно под углом около 20° к горизонтали. Прежде чем помешать такую пластинку в лоток, его с одного края слегка приподнимают (например, с помощью подпорки) и наливают растворитель на глубину 5—10 мм. После этого помешают пластинку таким образом, чтобы ее нижний конец опирался на сухой край дна лотка. Затем покрывают

камеру крышкой и наклоняют в противоположном направлении так, чтобы край пластины погрузился в растворитель.

На рис. 9.6 показана выпускаемая фирмой Pharmacia камера для нисходящего хроматографирования [2], предназначенная для тонкослойной гель-хроматографии. Для горизонтального элюирования при различных, но точно устанавливаемых условиях предварительного насыщения слоя сорбента можно использовать KS-камеры (рис. 9.7). Оптимальные условия разделения в этих камерах можно быстро установить. Другие типы камер, используемые для специальных методов, например проточного (непрерывного) элюирования, градиентного элюирования или круговой хроматографии, описаны в монографиях по ТСХ [29].

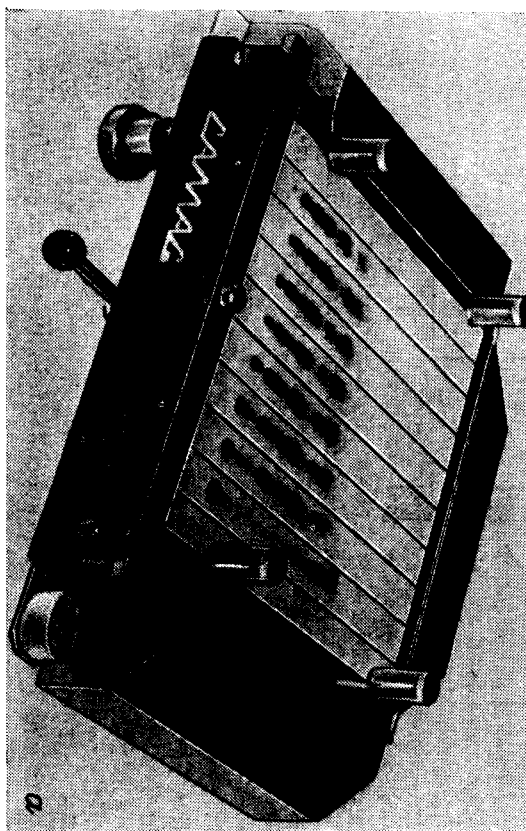


Рис. 9.7. Камера типа Vario-KS (система Гейса и Шилта, производство SAMAG, с разрешения фирмы SAMAG).

a — общий вид; б — структурный разрез: 1 — подложка со слоем сорбента, отстоящая от краев на 20 мм (слой обращен вниз); 2 — крышка камеры; 3 — резервуары для растворителя, используемые с целью предварительного насыщения слоя.

37]. Вопросы, связанные с применением различных типов камер, растворяющих систем и тонких слоев с регулированием состава газовой фазы рассматривает Гейсс [16].

По окончании элюирования пластинки обычно сушат на воздухе при комнатной температуре, в вытяжном шкафу при ИК-облучении или в сушильном шкафу. Обнаружение (методы обнаружения, реагенты и аппаратура для опрыскивания описаны

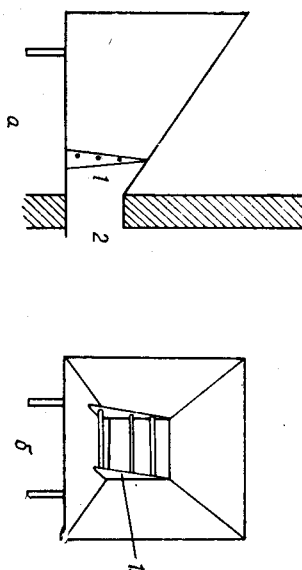


Рис. 9.8. Камера для опрыскивания тонкослойных хроматограмм.
а — вид сбоку; б — вид спереди; 1 — стойка для пластинок; 2 — отверстие, направленное к вытяжному шкафу.

ны в разд. 9.5.3) также проводят в вытяжном шкафу с хорошей вентиляцией.

Следует отметить, что некоторые обнаруживающие реагенты образуют сильно корrodирующие и ядовитые аэрозоли, поэтому опрыскивание пластинок следует вести в специальных камерах, изготавливаемых из химически стойких пластмасс (поливинилхлорида, полигтилена), которые непосредственно присоединяют к вытяжке. Схема такой камеры представлена на рис. 9.8. Положение обнаружению пластиинки помешают на стойке, также изготовленной из поливинилхлорида. На такую же стойку помещают и микропластиинки. Выпускаются в продажу также камеры, которые не нужно подсоединять к вытяжке при проведении опрыскивания; некоторые камеры, предназначенные для краткосрочного пользования, изготавливаются даже из специальной бумаги.

Устройство для нанесения проб, шаблоны для нанесения проб и оценки размеров пятен, пульверизаторы и т. д. рассматриваются в тех разделах, в которых описываются отдельные стадии хроматографирования. В [1] содержится подробный список адресов фирм, выпускающих или поставляющих аппаратуру, сорбенты, готовые пластиинки и листки для ТСХ.

9.3. ТВЕРДЫЕ ФАЗЫ ДЛЯ ТСХ

Правильный выбор сорбента и соответствующей элюирующей системы — это первый и наиболее важный этап решения поставленной задачи. Поэтому необходимо обстоятельно знать свойства всех типов используемых в ТСХ сорбентов. Выбрать оптимальную хроматографическую систему достаточно сложно, поскольку разделение методом ТСХ обычно совершается в результате сочетания различных механизмов, чаще всего адсорбции и распределения между фазами, а также ионного обмена или затрудненной диффузии (гель-хроматография). Однако, если условия выбраны правильно, один из механизмов разделения становится преобладающим. Если разделяемые соединения неполярны, следует создать условия, благоприятные для адсорбционной хроматографии (применение сорбента с большой адсорбционной способностью), а для разделения полярных (растворимых в воде) соединений следует использовать принципы, применяемые в жидко-жидкостной хроматографии. Наконец, при работе с ионогенными соединениями следует избрать методику ионообменной хроматографии. Очевидно, что налицо определенная аналогия с колоночной хроматографией.

Далее, выбирая сорбент и элюирующую систему, необходимо просмотреть соответствующую литературу, в частности библиографии статей в *Journal of Chromatography* [38] или специализированных сборниках рефератов [57]. Статистика показывает [56], что больше половины всех работ по разделению методом ТСХ выполнено на силикагеле G^* , около 10% — на силикагеле без связующего, 3% — на оксиде алюминия, 9% — на целлULOZE, 2,5% — на полiamиде и 0,5% — на диатомовой земле. Остальные 21% — это работы, где применяются пропитанные слоя силикагеля, слои, образованные смесью двух и более сорбентов, и т. п.

Из поставляемых фирмами сорбентов можно непосредственно приготавливать суспензии и наносить их на подложки. Эти сорбенты уже содержат, например, связующее (чаще всего гипс, крахмал, целлюлозу, поливиниловый спирт), увеличивающее адгезионную способность и прочность слоя, или индикаторы для обнаружения посредством УФ-облучения; выпускаются также сорбенты, предназначенные для препартивного разделения, особо чистые сорбенты и т. д.

9.3.1. СИЛИКАГЕЛЬ

Основные свойства и структура силикагеля, а также условия его применения описаны в гл. 4, разд. 4.2.2. Размер частиц силикагеля, предназначенного для ТСХ, меньше (2—40 мкм),

* Силикагель с добавкой гипса в качестве связующего.

Характеристики некоторых товарных марок силикагеля для ТСХ^a

Марка ^b	Связующее	Примечание	
		Длина волн флуорес- ции индика- тора, нм	
G ^b GF ₂₅₄	Гипс (13%) Гипс (13%)	254	
H HF ₂₅₄₊₃₆₆	Без связующего То же	254 — 254 и 366	Особо чистый Диаметр пор 200 Å Диаметр пор 500 Å Диаметр пор 1000 Å Гидрофобный, для распреде- лительной хроматографии Для препаративной ТСХ (слой толщиной до 1,5 мм) Для прерывистой ТСХ (слой толщиной до 10 мм) Гидрофобный, для распре- делительной хроматогра- фии
HR Тип 200	»	254	
Тип 500	»	254	
Тип 1000	»	254	
60HF ₂₅₄ силианизованный	»	254 и 366	
60PF ₂₅₄₊₃₆₆	»	254	
60F ₂₅₄	Гипс (30%)	254	
60PF ₂₅₄	Без связующего	254	
Адсорбосил-5-ADN	То же		Пропитан 20% нитратом се- ребра (фирма Applied Science)

^a Полные наименования фирм и их адреса см. в конце главы.
^b Обозначения, применяемые фирмой Мерк.

^c Обозначение, предложенное Штапелем.

хроматографии. Размеры пор меняются от 20 до 150 Å, а удельная поверхность — от 300 до 600 м²/г. Конечно, образцы силикагеля, поставляемые различными фирмами, отличаются по свойствам. От размеров его частиц зависит скорость элюирования: на силикагеле с большими частицами она выше. Сравним, например, длительность элюирования на трех образцах силикагеля с разными размерами частиц (длина пути элюирования во всех трех случаях равна 10 см): от 2 до 10 мкм — 45 мин; от 10 до 30 мкм — 15 мин и от 30 до 60 мкм — 8 мин. Однако с увеличением размеров частиц силикагеля уменьшается четкость разделения. Большинство фирм, продавающих оборудование, материалы и реактивы для хроматографии, выпускает и силикагель; список адресов фирм см. в [1]. Ряд наиболее часто применяемых марок силикагеля специального назначения указан в табл. 9.1. Чаще всего используется силикагель с добавкой 5—

15% гипса в качестве связующего. В некоторые марки силикагеля вводят также флуоресцентный индикатор (сульфид кадмия или 3% силиката цинка), вызывающий флуоресценцию зеленого цвета при УФ-облучении с длиной волнами 254 нм; некоторые хроматографируемые соединения обнаруживаются при этом в виде темных пятен. Сильнокислотные элюенты, особенно элюенты, содержащие минеральные кислоты, разлагаю этот индикатор. В состав некоторых марок силикагеля входит также органический индикатор, реагирующий на облучение с длиной волнами 366 нм (длинноволновое УФ-излучение). Недостаток этого индикатора — его растворимость, некоторые растворители могут элюировать его. На силикагеле, содержащем гипс, обычно удается получить лучшее разделение.

Чтобы нанести слой силикагеля толщиной 0,25 мм на пять пластинок размером 20×20 см, необходимо 30 г сорбента. Навеску сорбента интенсивно встряхивают в конической колбе емкостью 250 мл с 65—70 мл воды и за 2 мин наносят полученный суспензию на пластиинки. Иногда рекомендуется растереть сначала сорбент с 35 мл воды в ступке, добавить оставшуюся воду к полученной однородной пасте и сразу нанести смесь на пластиинки (весь процесс должен длиться не более 100 с). Для плотогенизации можно также использовать электрический смеситель.

Если наличие ионов кальция нежелательно, то можно воспользоваться силикагелем с добавкой крахмала (3%) в качестве связующего. Навеску сорбента (30 г), предназначеннную для нанесения слоя на несколько пластиинок, гомогенизируют в смесителе с 90 г кипящей воды. Полученную суспензию следует сразу же наносить на пластиинки. Проводя обнаружение, следует также учитывать и свойства крахмала, например, нельзя применять реагенты, содержащие иод, или обугливающие реагенты. Это относится также к некоторым маркам готовых пластинок и листков для ТСХ, например к силуфолу*.

Однако благодаря очень маленькому размеру частиц силикагель и без связующего образует хорошо прилипающие слои; нарушение целостности слоя можно наблюдать только на участках пластиинки, погруженных в элюент. Силикагель без связующего можно использовать почти без ограничений для хроматографирования большинства различных типов веществ. Суспензии силикагеля уменьшаются четкость разделения.

* Листки силуфола 254 (производства Kavalier Glassworks) содержат слой макропористого силикагеля, приготовленного по методу Питти и Штапеля [48], без индикатора или с флуоресцентным индикатором (на 254 или 366 нм), вкрапленным в макроструктуру сорбента. К этому силикагелю добавляют крахмал в качестве связующего и наносят полученную смесь на листки алюминия. Более подробные данные о свойствах и применении этого материала можно найти в рекламной литературе [52].

пенцио приготавливают из 30 г сорбента и 60—65 мл воды. Суспензию не обязательно использовать сразу и можно заранее приготовить некоторый запас ее. Силикагель может также сохранять добавку флуоресцентного индикатора.

Кроме обычного силикагеля, фирмы выпускают особо чистый силикагель, например HR (hoch rein — особо чистый), предназначенный для решения специальных задач. Если лаборатория не располагает таким силикагелем и если необходимо хроматографировать органические вещества с целью получения продуктов высокой степени чистоты (для ЯМР или масс-спектрометрического анализа), то поступают следующим образом. Сначала элюируют пластинку смесью полярных растворителей, следя за тем, чтобы фронт растворителя обязательно дошел до верхнего края пластиинки. После этого соскабливают эту зону сорбента, на которую растворитель вынес примеси, и tatsächlich высушивают пластиинку. На обработанной таким образом пластиинке можно проводить указанное разделение.

Для обращенно-фазной хроматографии используют образцы силикагеля с химически связанными фазами (см. гл. 4, разд. 4.2.9), но без связующего. В некоторые марки такого силикагеля вводят также флуоресцентные индикаторы.

Макропористые силикагели без связующего пригодны в качестве молекулярных сит для гель-хроматографии. Для молекулярных сит с размерами пор 200, 500 и 1000 Å пределы исключения составляют соответственно $5 \cdot 10^4$, $4 \cdot 10^5$ и 10^6 .

Силикагель и некоторые другие сорбенты можно пропитывать неорганическими соединениями, повышающими избирательность и эффективность разделения; перечень таких соединений содержится в табл. 9.2.

Раствор пропитывающего соединения добавляют к силикагелю на стадии приготовления суспензии, или проводят предварительное элюирование пластиинки этим раствором, или по-

Таблица 9.2
Некоторые фирмы, выпускающие готовые к употреблению пластиинки с тонкими слоями

Фирма а	Фирменное наименование продукции	Сорбент	Подложка
Anallech Analabs Applied Science	Юнилайт Анасил Прекотс	Силикагель » Целлюлоза Силикагель, спечен с подложкой	Стекло » »
САМАГ	Фертиплатен	Силикагель, оксид алюминия, целлюлоза	»
Distillation Products Industries Gelman Instrument	Pro-Hromatogramm штитс ITLC	Силикагель » »	Органическая пленка Ткань из стекло- волокна Алюминиевая фольга
Kavalier	Силиуфол	Алуфол Люцефол Полиграм	
Macherey-Nagel	Мерсек	Оксид алюминия целлюлоза Силикагель, оксид алюминия, целлюлоза, поликарбонат Силикагель, оксид алюминия, цезиевогидрокарбонат, оксид алюминия, кизеллит	Органическая пленка
Merck	Фертиплатен	TCX алюминий штитс	Стекло
Schleicher und Schüll	Селекта Фертиплатен	Силикагель, оксид алюминия, цециллюлоза, кизеллит, поликарбонат Силикагель, цециллюлоза, поликарбонат	Алюминиевая фольга
Нитрат серебра Борная кислота, тетраборат натрия Нитрат свинца Ацетат кальция Оксалат калия	Алкены, алкины, терпены, глицириды, жирные кислоты Сахарины, глицериды, синтоглицириды Полиэтилы Ароматические амины 2-Оксикилоты	40 62 56 75 68	Стекло, органическая пленка, алюминиевая фольга

а Полные наименования фирм и их адреса указаны в конце главы.

лучше всего дать соответствующему пропитывающему раствору подняться внутри слоя. Например, можно пропитать слой 20%-ным раствором этилентглиоля в метаноле или 5%-ным раствором парафинового масла в петролейном эфире и после этого испарить растворитель при комнатной температуре, держа пластиночку в горизонтальном положении; петролейный эфир испаряется примерно за 15 мин, а метанол — примерно за 3 ч.

Выпускается также силикагель специально для препаративной ТСХ; гипса в него обычно не добавляют, но вводят один или два флуоресцентных индикатора (254 и 366 нм). Слои такого силикагеля не растрескиваются, даже если их толщина достигает 1,5 мм. Препаративное разделение можно проводить и на силикагеле, предназначенном для аналитических работ, если это достаточно узкая фракция.

Проводить разделение методом ТСХ легче, пользуясь уже готовыми пластиночками, особенно если требуется высокая воспроизводимость или если хроматограммы подлежат последующему хранению. Основные типы пластиночек с готовыми тонкими слоями перечислены в табл. 9.3.

9.3.2. ОКСИД АЛЮМИНИЯ

Оксид алюминия — это сорбент с четко выраженным адсорбционными свойствами (см. гл. 4, разд. 4.2.3). Он поставляется главным образом в щелочной форме (рН 8—10). Размеры частиц находятся в интервале от 5 до 40 мкм, размеры пор — от 20 до 150 Å. Удельная поверхность — от 100 до 350 м²/г. Некоторые марки оксида алюминия, как и некоторые марки силикагеля, выпускают с добавкой 9—10% гипса в качестве связующего; оксид алюминия, содержащий связующее, выпускают в щелочной и нейтральной (рН 7—7,5) формах, а не содержащий связующего — еще и в кислой форме (рН 4). В некоторых случаях в адсорбент этого типа вводят также флуоресцентный индикатор (254 нм). В preparативных целях применяют слабощелочной (рН 9) оксид алюминия без связующего вещества (Мегск), содержащий индикатор второго типа (366 нм); из этого адсорбента можно получать слой толщиной до 1,5 мм.

Суспензию оксида алюминия обычно приготавливают, смешивая примерно одинаковые навески сорбента (без связующего) и воды или одну часть оксида алюминия (со связующим) и две части (по массе) воды. Приготовленные слои суспензии при комнатной температуре и активируют, нагревая 30 мин при 110 °C. Активность обработанного таким образом оксида алюминия лежит в интервале между II и III (по Брокману), что в большинстве случаев достаточно для разделения. Еще бо-

лее высокой активности можно добиться, прокаливая пластиинки 4 ч при 200 °C и выдерживая их затем 24 ч в экскаторе над оксидом алюминия с активностью I.

9.3.3. СИЛИКАТ МАГНИЯ

В гл. 4, разд. 4.2.4, даны основные характеристики этого сорбента, близкого по качественным параметрам к силикагелю и оксиду алюминия. Силикат магния выпускают в виде частиц размером от 2 до 44 мкм; его рН равен примерно 10. Некоторые фирмы выпускают силикат магния, нейтрализованный кислотами. Обычный товарный сорбент не содержит ни связующего, ни флуоресцентного индикатора. Однако по договору с казначиком фирмы Woelm поставляет сорбент с добавкой 2% неорганического индикатора.

Суспензию для нанесения слоя толщиной 0,30 мм на ряд пластин приготавливают, смешивая 15 г силиката магния с 45 мл дистиллированной воды. Чтобы нанесенный слой высокого качества выдержать пластиночку 2 ч при комнатной температуре, а 30-минутное прокаливание при 130 °C позволяет полностью активировать приготовленные пластиночки.

Силикат магния можно использовать для разделения сахаров, их ацетатов, стероидов, эфирных масел, антракинонов и гликозидов.

9.3.4. ПОЛИАМИДЫ

Полиамиды и целлюлоза — наиболее распространенные органические сорбенты. Полиамидные сорбенты изготавливают на основе перлона (нейлона 6) или нейлона 11 и 66 (см. гл. 4, разд. 4.2.7). Хроматографические свойства отдельных товарных марок полиамидов значительно различаются в зависимости от свойств исходного сырья и степени полимеризации. Поскольку в присутствии свободных аминогрупп происходит сильное связывание соединений некоторых типов, например ароматических нитросоединений и хинонов, полиамииды выпускают также в ацетилированной форме. Перлон и нейлон 66 — гидрофильные материалы, нейлон 11 гидрофобен. Обычно поставляемые для ТСХ полиамиды не содержат связующего, но часто содержат добавку индикатора с коротковолновой (254 нм) флуоресценцией.

Чтобы нанести слой полиамида толщиной до 0,25 мм на ряд пластиночек, тщательно встряхивают 16 г порошкообразного сорбента (полиамид 6 или 66 MN, фирма Mascherey-Nagel) с 65 мл дистиллированной воды. К такому же количеству нейлона 11 достаточно добавить около 50 мл метанола. Слой сушат на

воздухе при комнатной температуре. При использовании полиамида фирмы Woelm супспензию приготавливают из 5 г сорбента и 45 г этанола.

Готовые к употреблению стеклянные пластиинки со слоем полиамида выпускает фирма Schleicher und Schüll. Связующим в таких слоях служит крахмал, а флуоресцентным индикатором — силикат цинка в количестве 3%. Выпускают также пленку со слоем толщиной всего 0,025 мм, не содержащим связующего. Слои этих сорбентов характеризуются значительной емкостью, и их можно регенерировать несколько раз. Эти слои служат для разделения фенольных соединений, гликозидов флавоноидов, гликозидов антрахинона, нуклеозидов, пестицидов. Применение полиамидов в ТСХ рассматривается в статье Хёрнхаммера [19].

9.3.5. ЦЕЛЛЮЛОЗА

Целлюлоза, как и полиамиды, относится к числу наиболее часто применяемых органических сорбентов, особенно в распределительной хроматографии. В ТСХ используют два типа целлюлозы — природную волокнистую и микрокристаллическую. Длина волокон природной целлюлозы составляет от 2 до 25 мкм, а средняя степень полимеризации колеблется между 400 и 500. Частицы микрокристаллической целлюлозы крупнее — от 20 до 40 мкм, а средняя степень полимеризации также — между 40 и 200. Благодаря применению очень коротких волокон целлюлозы в форме порошка в ТСХ не получается такое быстрое растекание хроматографируемых веществ вдоль волокон, которое имеет место на целлюлозе, используемой в виде хроматографической бумаги, и поэтому при одних и тех же концентрациях ТСХ дает более четкие пятна и позволяет получить лучшее разделение, чем БХ. Микрокристаллическая целлюлоза химически чище, чем природная целлюлоза, хотя некоторые марки последней, например MN 300 НР, вполне сравнимы по чистоте с микрокристаллической целлюлозой. На чистой целлюлозе проводят главным образом количественный анализ или разделение фосфорных кислот, фосфатов и т. п. Большинство марок товарной целлюлозы выпускают без связующего, поскольку алгезионные свойства ее слоев намного выше, чем у неорганических сорбентов. В некоторые марки этого адсорбента добавляют флуоресцентный индикатор. Добавка гипса может даже оказывать отрицательное влияние, как, например, при разделении аминокислот, но иногда может и улучшить разделение.

Приготовливая слои, необходимо строго следовать рекомендованной методике. Например, 15 г целлюлозы MN 300 гомогенизируют с 90 мл дистиллированной воды в электрическом смесителе

геле в течение 30—60 с и наносят полученную пасту на пластиинки слоем толщиной 0,25 мм. Последующую сушку слоя ведут при комнатной температуре. В процессе сушки толщина слоя уменьшается примерно вдвое, так что конечная его толщина составляет 0,125 мм, т. е. полученный слой наиболее удобен для аналитического разделения. При хранении таких слоев на воздухе хроматографические свойства их улучшаются. Допускается также 15-минутная сушка при 105°C.

15—20 г микрокристаллической целлюлозы авизел гомогенизируют со 100 мл дистиллированной воды всего одну минуту. Нанесение и сушка проводятся так же, как описано выше. Если целлюлоза содержит 3% силиката цинка в качестве флуоресцентного индикатора, то гомогенизацию следует проводить в метаноле. Например, 25 г целлюлозы DC пульвер 144 (фирма Schleicher und Schüll), 40 мл метанола и 20 мл воды гомогенизируют в течение 30 с, нанесенные слои сушат на воздухе при комнатной температуре или 30 мин при 110°C.

АЦЕТИЛИРОВАННЫЕ ЦЕЛЛЮЛОЗЫ

Ацетилированные целлюлозы (с различной степенью ацетилирования) также используются, хотя и очень редко, в хроматографии, главным образом обращенно-фазной (см. разд. 9.8.9). Максимальное содержание ацетильных групп составляет 44,8%, что соответствует триацетату. Ацетилированная целлюлоза растворяется в ряде галогенодержащих растворителей, диоксане, кетонах и сложных эфирах; она сильнее подвержена разрушению действию обнаруживающих реагентов. Ацетионные свойства ацетилированной целлюлозы хуже, чем у неацетилированной, поэтому, приготавливая из нее тонкие слои, необходимо применять связующее.

Приведем типичную методику. 30 г ацетилцеллюлозы DC пульвер 144/21 (фирмы Schleicher und Schüll) смешивают с супспензией 4,5 г гипса в 60 мл воды и 10 мл метанола, гомогенизируют эту смесь 30 с в электрическом смесителе. Чтобы удалить из супспензии пузырьки воздуха, поверх нее наливают 2—3 мл метанола и затем встрихивают. Готовую супспензию следует нанести на пластиинки в течение 10 мин. Сушат полученные слои при комнатной температуре или при 110°C в течение 30 мин.

Ацетилированные целлюлозы используют главным образом для обращенно-фазной хроматографии лиофильных соединений — антрахинонов, антиоксидантов, нитрофенолов, пероксидов, заменителей сахара.

9.3.6. ИОНООБМЕННИКИ

Ионообменники на основе целлюлозы и полидекстрана для ТСХ

Порошки

Сорбенты с ионообменными свойствами используются в ТСХ все чаще и чаще (см. гл. 5, разд. 5.2.2). Первыми ионообменниками, нашедшими применение в ТСХ, были модифицированные или пропитанные жидкими ионообменниками целлюлозы, а также ионообменники на основе полистирола, например дауэкс-1 или дауэкс-50 с целлюлозой в качестве связующего, поскольку сами ионообменники не удерживаются на пластинах. Способы приготовления, свойства и структура ионообменников на основе целлюлозы рассматриваются в разд. 5.2.3 гл. 5. Расстояние между активными группами на поверхности макромолекул целлюлозы составляет примерно 50 Å в то время, как в ионообменных смолах оно равно примерно 10 Å. Ионообменные целлюлозы, обладающие меньшей ионообменной способностью, чем ионообменные смолы, превосходят последние по ионообменной способности в отношении белков и других макромолекулярных соединений. Из-за больших расстояний между активными группами в целлюлозе используется только небольшая часть активных центров, так что избирательная десорбция может проходить в очень мягких условиях по сравнению с хроматографией на ионообменных смолах. Этим и объясняется предпочтительность ацетилированных целлюлоз как ионообменников при биохимических исследованиях и очистке высокочувствительных соединений. Основные типы ионообменных производных целлюлозы приведены в табл. 9.4.

Типичный способ приготовления слоев для ТСХ состоит в следующем. Порошкообразный целлюлозный ионообменник гомогенизируют с 5—10-кратной навеской листиллированной воды и наносят полученную массу на пластиинки слоем толщиной 0,25—0,5 мм. Поскольку такие материалы сильно набухают, более толстые слои легко растрескиваются при сушке. Чтобы избежать этого, рекомендуется добавлять к приготвленной суспензии порошок целлюлозы. Последующую сушку проводят при комнатной температуре. Перед употреблением слой необходимо промыть. С этой целью пластинку помешают одним концом в 10%-ный водный раствор хлорида натрия и дают ему подняться по слою на 5—10 см. После этого переносят пластинку, не просушивая ее, в камеру с чистой водой, где продолжают пропитку, пока фронт растворителя не достигнет верхнего края слоя. Затем пластинку сушат 2—3 ч и вновь таким же образом промывают водой до самого верха. Промытую пластинку оставляют при комнатной температуре до следующего дня.

Ионообменники на основе полидекстрана (сефадекс, см. разд. 6.2.2) похожи по свойствам на ионообменники на основе

Готовые слои					
Марка ионообменника	Модификация	Подложка	Толщина слоя, мм	Фирма	
REI	Выпускается также с флуоресцентным индикатором (254 нм)	Стекло или органическая пленка	0,1	Schleicher und Schüll	
REI	Выпускается также с флуоресцентным индикатором (254 нм)	Органическая пленка	0,1	Macherey-Nagel	
		Органическая пленка или алюминиевая фольга, стекло	0,1	Merck	

а Полные названия фирм и их адреса даны в конце главы.

целлюлозы. Декстровые ионообменники, предназначенные для ТСХ, выпускают в виде очень мелких гранул (10—40 мкм), см. табл. 9.4.

Ионообменные смолы обычно наносят на пластинки в виде смесей с целлюлозой (ср. [32]). В этих целях можно использовать большое число товарных продуктов (см. гл. 5, разд. 5.6) в ступке 5 г порошка целлюлозы MN300 с несколькими миллилитрами дистиллированной воды и к этой смеси небольшими порциями добавляют при перемешивании суспензию 30 г ионообменника в 20—30 мл воды. В заключение добавляют еще 25 мл воды. Полученную суспензию наносят слоем толщиной 0,25 мм и сушат при комнатной температуре. Приготовленные пластинки хранят в закрытой коробке, причем их надо обязательно использовать в течение недели. Некоторые фирмы выпускают готовые слои ионообменников, нанесенные на гибкую фольгу (см. табл. 9.5). Перед употреблением их нужно выдергать 16 ч с соответствующим буферным раствором (см. разд. 9.8.3). Эти пластиинки применяют в тех же целях, что и слои с целлюлозными ионообменниками, например для разделения аминокислот, нуклеотидов, пуринов, пириддинов, неорганических ионов, антибиотиков и т. п.

Таблица 9.5
Марки фолии с нанесенными ионообменными смолами, выпускаемые фирмой Chitoin^a

Марка б	Тип	Форма
Фиксион 50×8	Сильный катионообменник (SO_3^-)	Na^+ -форма
Фиксион 2×8	Сильный анионообменник $-\text{N}(\text{CH}_3)_2\cdot\text{CH}_2\text{OH}$	CH_3COO^- -форма
Фиксион 2×8 UV ₂₅₄	Сильный анионообменник с индикатором УФ-излучения (254 нм)	СИ ₃ COO ⁻ -форма

^a Полное название фирмы и ее адрес даны в конце главы.

^b Фирма Macherey-Nagel выпускает фолию такого же типа под названием: ионекс-25 SB-А, ионекс-25 А/C/U₂₅₄.

Для разделения некоторых катионов методом ТСХ в качестве неорганических ионообменников используются фосфат циркония (IV), молибдат аммония и другие соли. Эти материалы представляются фирмой Bio-Rad Labs в соответственно гранулированном виде (2—44 мкм). Способ приготовления слоев описан в монографии [11].

9.3.7. МАТЕРИАЛЫ ДЛЯ ГЕЛЬ-ХРОМАТОГРАФИИ

Хроматографические материалы для гель-хроматографии, их назначение и структура подробно описаны в гл. 6. При соответствующей степени грануляции и применении надлежащей методики их также можно использовать для приготовления тонких слоев. Полная информация о декстровых гелях марки «сефадекс суперфайн», поставляемых фирмой Pharmacia, содержится в выпущенной этой фирмой рекламной брошюре [2]. Выбранный гель оставляют набухать в жидкой среде в течение рекомендованного промежутка времени, после чего суспензию геля наносят в виде слоев толщиной 0,5 мм с помошью соответствующего приспособления. Чтобы в системе установились равновесие, пластиинки с нанесенным слоем помещают в специальную камеру (рис. 9.6). В разд. 9.2.2 кратко изложен метод приведения системы в равновесие. В работе [66] описано разделение пуриновых и пириимидиновых оснований и нуклеотидов по упрощенной методике на смеси 16 г сефадекса G-10 с 4 г силикагеля GF₂₅₄ или 4 г целлюлозы. Приготовленный слой сохраняет разделяющие свойства сефадекса, но прочность его повышается, становится примерно такой же, как у слоев силикагеля или целлюлозы.

Для ТСХ пригодны также биогели Р — гели полиакриламида, выпускаемые фирмой Bio-Rad Labs. (см. гл. 6, разд. 6.2.3). Эта же фирма выпускает неорганический сорбент биоглас с пятью заданными интервалами размеров пор (от 200 до 2500 Å), пригодный для гель-хроматографии белков, вирусов, сахари-

9.3.8. ДРУГИЕ СОРБЕНТЫ

Помимо перечисленных выше сорбентов в ТСХ применяют иногда и другие материалы, причем в некоторых случаях их используют в смеси с более распространенными сорбентами. Из числа неорганических сорбентов используют диатомовую землю (кизельбург), адсорбционная способность этого сорбента

мала, но он хорошо удерживает неподвижные фазы, что очень важно в распределительной хроматографии. Роль сорбентов в ТСХ могут также выполнять оксид магния и активный древесный уголь [51]. Близким по свойствам к полiamиду является поли-*N*-виллипирролидон, используемый для разделения хлорогеновых кислот и других фенольных соединений [9]; в качестве связующего в сочетании с этим сорбентом применяли сульфат кальция.

Ана сил — выпускаемая фирмой Analabs смесь силикагеля и оксида магния со связующим (10% гипса) или без не-

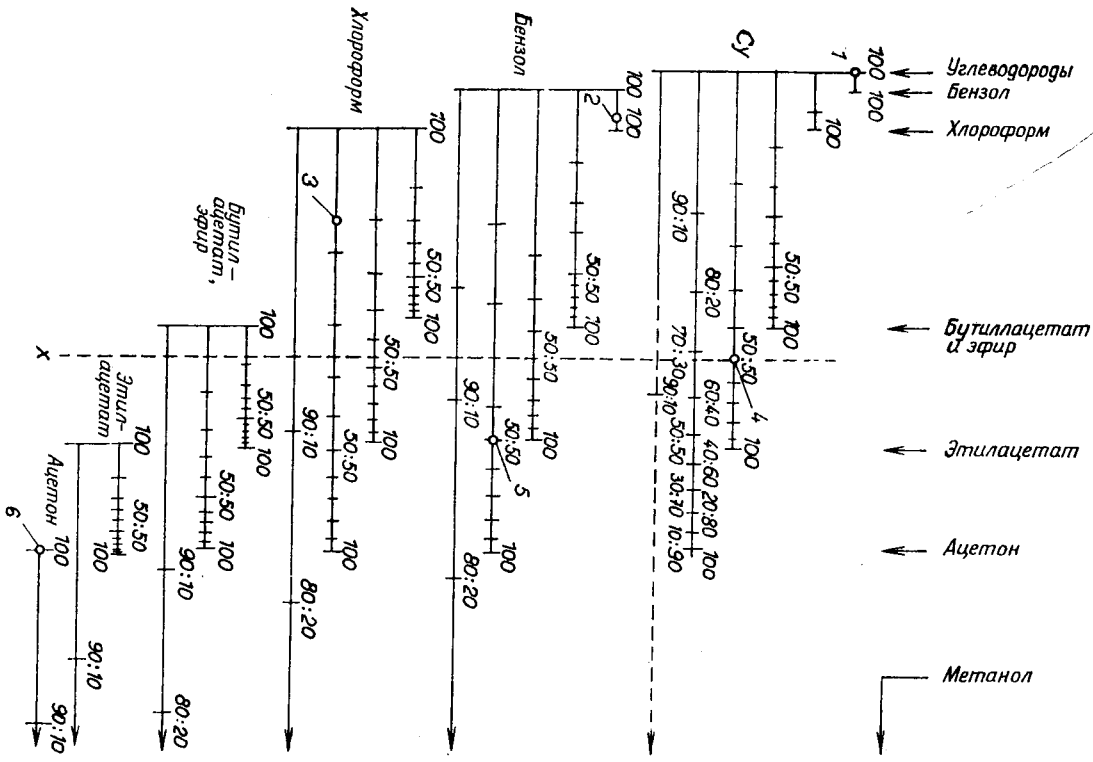
то — проявляет хорошую разделительную способность в отношении липидов, которые не удается разделить на чистом силикагеле [25]. Однако смешение сорбентов с различными свойствами не всегда способствует улучшению разделения. Так, использование смеси силикагеля и оксида алюминия для разделения циклодекстринов особых преимуществ не дало [74]. Авторы работы [68] исследовали разделение соединений различной полярности на смеси силикагеля с целлюлозой (1 : 1) при двумерном элюировании. При элюировании водными растворами активным компонентом была целлюлоза, а при элюировании органическими растворителями целлюлоза была инертной и в разделении принимал участие только силикагель.

9.4. ЭЛЮЕНТЫ ДЛЯ ТСХ

Итак, как мы могли убедиться, в качестве неподвижной твердой фазы в ТСХ применяются самые различные материалы, более того, механизмы разделения осуществляются этим методом, также могут быть совершенно разными, поэтому обобщить свойства применяемых в ТСХ отдельных растворителей и их смесей довольно сложно. Соотношение между природой разделяемых соединений и растворяющей системой обсуждалось в гл. 3, а элюенты, используемые для различных типов хроматографии, и их соотношение с сорбентами и разделяемыми единениями рассматривалось в гл. 4—6. При выборе растворителя или смеси растворителей для ТСХ следует учитывать растворимость хроматографируемых соединений в подвижной фазе, а также «растворяющую силу» (полярность) растворителя или его избирательность. О влиянии полярности растворителя на процесс адсорбции говорилось в гл. 4, разд. 4.3. На рис. 9.9 показан состав различных смесей растворителей одинаковой полярности. Под избирательностью данного растворителя по сравнению с другим растворителем почти такой же полярности подразумевают способность первого избирательно растворять один из компонентов смеси. В статье Снайдера [58] дается классификация 82 растворителей. Общие соотношения между хроматографируемыми соединениями, элюирующей системой и природой слоя сформулированы Германеком [18]. При разделении методом ТСХ чистота растворителей, безусловно, имеет такое же важное значение, как и при разделении другими хроматографическими методами.

Используя двойные и тройные смеси растворителей, следует помнить о возможности расслоения этих смесей и образования второго фронта растворителя вследствие контакта с неподвижной фазой [71].

Рис. 9.9. Эквивалентные ряды [42].



Полярность растворителей возрастает слева направо. Эквивалентные ряды находятся на вертикальных прямых линиях, параллельных штриховой прямой линии x ; данные справедливы для Н-камеры с пасынченной атмосферой.

9.5. МЕТОДИКА ТСХ

9.5.1. НАНЕСЕНИЕ ПРОБ

В большинстве случаев пробы наносят в виде растворов в подходящем низкокипящем ($50\text{--}100^{\circ}\text{C}$) растворителе, который должен быть относительно неполярным, чтобы хроматографируемые соединения имели бы в нем низкие значения R_f . Растворы проб наносят в виде пятен на хроматографические пластины посредством микроприщеп или микропипеток различных типов, начиная от калиброванных пипеток, используемых в гематологии, и до самозаполняющихся пипеток известной емкости. Пробы для количественных определений рекомендуется наносить с помощью предзионных микроприщеп. Воспроизводимость количества нанесенной пробы изменяется от $v = \pm 0,6\%$ до $v = \pm 0,8\%$ [23], где

$$v = \pm 100s/\bar{x} = \pm 100\sqrt{\sum(x - \bar{x})^2/(n - 1)/\bar{x}},$$

где v — коэффициент погрешности, s — стандартное отклонение (средняя квадратичная погрешность), x — измеренное значение, \bar{x} — среднее значение, n — число измерений.

Концентрация пробы в растворе составляет $0,1\text{--}1\%$. Объем нанесенной пробы подбирают в зависимости от чувствительности обнаружения; обычно он составляет $1\text{--}10$ мкл, хотя иногда наносят и большие количества. Рекомендуется, однако, наносить как можно меньшее количество пробы, четкость разделения при этом увеличивается, а форма нанесенных пятен приближается к идеально круглой. Пробу наносят на расстоянии $1,5\text{--}2$ см от нижнего края хроматографической пластики, лучше всего с помощью прозрачного пластмассового шаблона для нанесения проб, так как в этом случае пробы располагаются на одной прямой и интервалы между ними равны. Расстояние между нанесенными пробами зависит от числа проб, но обычно составляет от $1,5$ до 2 см. Для микроопределений расстояние между отдельными пробами может быть меньше. При нанесении пробы следует осторожно коснуться поверхности слоя кончиком пипетки и дать раствору впитаться в слой. Пробы можно наносить в виде или круглых пятен, или коротких узких полосок. Нанесение проб в виде точек может иногда привести к чрезмерному концентрированию нанесенных соединений, особенно если они растворены в неполярном растворителе, а в итоге — к образованию «хвостов», особенно при хроматографировании в таких системах, где хроматографируемые соединения плохо растворимы. В этих случаях рекомендуется нанести на концентрированное пятно каплю более полярного растворителя, или распределить пробу по большей площади, или

наносить пробы в виде полосок. Опыт показывает, что нанесение проб полосками дает лучшие результаты, т. е. повышает четкость разделения. Нанесение проб в виде полосок рекомендуется проводить также в микропрепартивной и препаративной ТСХ, когда применяются автоматические струйные аппликаторы для нанесения проб (описаны далее в разд. 9.7.2). Иногда можно наносить пробу на стартовую линию в виде порошка или в виде среза растительной ткани [63].

В особых случаях, в частности при проведении рутинного качественного анализа лекарственных средств, обращение с которыми затруднительно (например, мазей, эмульсий, пластырей, эфирных масел [64]), пробы наносят по методу Шталья (так называемый метод TAS, Thermotrockabtrenn- und Auftragverfahren von Substanzen, — метод термомикровыделения и нанесения веществ). Исследуемую пробу вводят в трубку из твердого стекла, которая с одного конца оттянута в короткий капилляр, а с другого может закрываться. Полученный таким образом «платрон» помещают в предварительно нагретый до требуемой температуры алюминиевый блок таким образом, чтобы короткий капилляр выступал из блока. Соединения, летучие при данной температуре, испаряются или возгоняются непосредственно на приготовленную хроматографическую пластинку. Если поместить за пробой смоченный водой крахмал или дезактивированный (гидратированный) силикагель, то такое пристосовление можно использовать для микроперегонки с паром; при этом крахмал или силикагель служат микрогенераторами пара. Нанесенные на пластинку пробы обычно обозначают номерами, которые с помощью иглы записывают на слое в верхней части пластики, над фронтом растворителя.

9.5.2. ВЫБОР ЭЛЮИРУЮЩИХ СИСТЕМ И МЕТОДЫ ЭЛЮИРОВАНИЯ

В ТСХ растворитель или система растворителей осуществляется перенос хроматографируемых соединений. Подбор растворителя позволяет регулировать значения R_f разделяемых соединений таким образом, чтобы они не оказались ни слишком малы, ни слишком велики. Выбирая растворитель, обычно пользуются элюиотропными рядами. Растворитель оказывает определенное влияние на избирательность сорбции, т. е. на отношение констант распределения (коэффициентов распределения) K_1/K_2 разделяемых соединений и на разделительную способность слоев сорбента. Снайдер [59] разработал количественную теорию, объясняющую роль растворителя в хроматографическом процессе. В этой главе мы ее рассматривать не будем, а тем, кто интересуется этими проблемами, покажем отличную монографию Гейса [16], в которой все параметры ТСХ

весьма четко проанализированы на соответствующих фактических примерах. Вообще говоря, при подборе элюирующих систем следует различать два типа разделения: а) разделение смесей соединений с очень близкими или даже одинаковыми значениями R_f и б) разделение многокомпонентных смесей соединений, значительно отличающихся по полярности.

Способы подбора оптимальных условий разделения смесей указанных типов различны. Подбирая оптимальные условия, можно менять не только растворители, ю и сорбент, а в случае адсорбционной хроматографии можно также изменить ак-

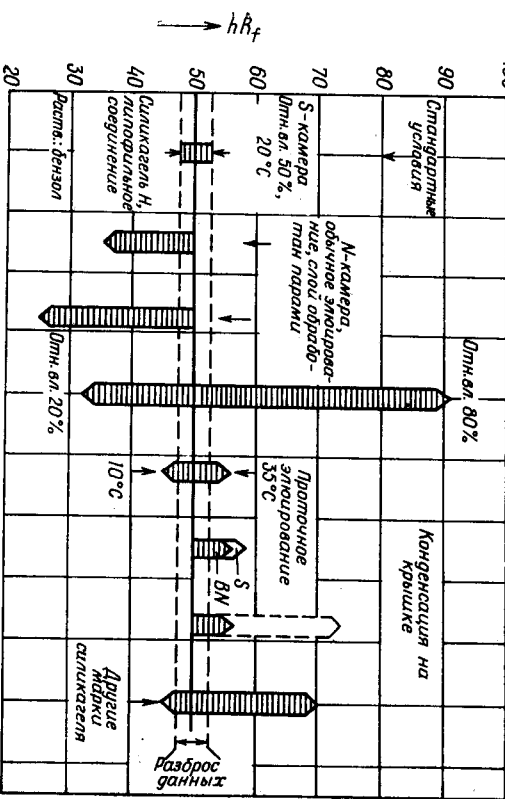


Рис. 9.10. Влияние различных условий хроматографирования на величину R_f

данного соединения [17].

тивность сорбента. На рис. 9.10 ясно показано влияние условий хроматографирования на величины R_f исследуемых соединений. Схема подбора условий разделения соединений с очень близкими значениями R_f дана в табл. 9.6.

Исследуя многокомпонентную смесь, необходимо помнить, что достаточно четко разделить соединения с близкими значениями R_f и одновременно разделить соединения с большими различиями в полярности обычно не удается. Для разделения пар соединений с близкими R_f , очень эффективно (неравномерное) элюирование, но оно совершенно непригодно для разделения соединений, значительно отличающихся по полярности. С целью разделения многокомпонентных смесей соединений различной полярности очень рекомендуется применение антипараллельных градиентов, т. е. использование систем, в ко-

Таблица 9.6
Схема подбора оптимальных условий разделения соединений с близкими величинами R_f [16]

a. Прежде всего следует попытаться найти в руководствах аналогичные примеры и, используя их, подобрать сорбент и систему растворителей. Если никаких похожих примеров найти не удается, хроматографирование ведут на любом сорбенте (силикагель, оксид алюминия)

б. а) Если разделяемые соединения располагаются близко к стартовой линии или Фронту растворителя ($R_f < 0,05$ или $R_f > 0,85$), то необходимо по возможностям испытывать различные однокомпонентные системы. На этой стадии работы очень эффективно применение варио-KS-камеры, где можно задать ортогональный градиент активности слоя

б. б. Если с помощью методики б удалось осуществить разделение, т. е. если в определенном растворителе удалось получить только один знак разделения, то следует подобрать в варио-KS-камере такие условия, чтобы R_f равнялась примерно 0,3 при ортогональном градиенте активности слоя

б. в. Если при R_f примерно 0,3 разделение существенно улучшилось, можно надеяться, что протонное элюирование еще более улучшит его. Остальные условия (состав растворителя, влажность) при этом необходимо сохранить

б. д. Если стадия г не привела к улучшению разделения, то можно еще попытаться насытить слой парами растворителя. При образовании ортогонального градиента меняют состав и концентрацию использованной для насыщения системы растворителей. Входящие в состав смеси растворители должны сильно различаться по своей полярности (например, неподвижный растворитель с очень малой добавкой сильно полярного растворителя)

б. е. После этого можно с помощью метода протонного элюирования получить частичное разделение. Этот метод особенно эффективен при разделении соединений с R_f 0,1–0,5, полученными после оптоократного элюирования. Если R_f выше, то для протонного элюирования его надо уменьшить (применить более слабые элюенты или более активные слои сорбента)

б. ж. Заменить сорбент или изменить условия его пропитки и повторить операции б — е

з. Оптимизировать разделение на высокоеффективном жидкостном колоночном хроматографе

а Стадии б—е всегда соответствуют одному элюированию.

торых подвижность соединения уменьшается в направлении элюирования. Антипараллельные градиенты можно получить с помощью: а) многозональной ТСХ в камерах с ненасыщенной атмосферой; б) предварительного насыщения камеры волнистым паром или парами растворителя, обладающего лезактивирующими свойствами; в) создания градиента состава слоя.

Как правило, элюирование на пластинках проводят под прямым углом к направлению нанесения слоя.

СПЕЦИАЛЬНЫЕ МЕТОДЫ ЭЛЮИРОВАНИЯ

а. Исходящее элюирование применяется главным образом при разделении на слоях сефадекса, который не впитывает растворитель под действием капиллярных сил. При проведении

ниходящего элюирования, как правило, в верхней части камеры помещают лоток с растворителем, соединенный с тонкостойкой пластинкой (расположенный наклонно или вертикально) фитилем из фильтровальной бумаги.

б. Двумерное элюирование. Аналогичный метод применяют в БХ, например для идентификации аминокислот. Готовят три квадратные пластиинки, на них наносят (в углу пластиинки) исходную смесь и все три пластиинки элюируют в одном направлении одной и той же системой растворителей. После сушки каждой пластиинки элюируют во втором направлении, перпендикулярно первому, используя три различные системы растворителей, подобранные так, чтобы каждая система хорошо раз-

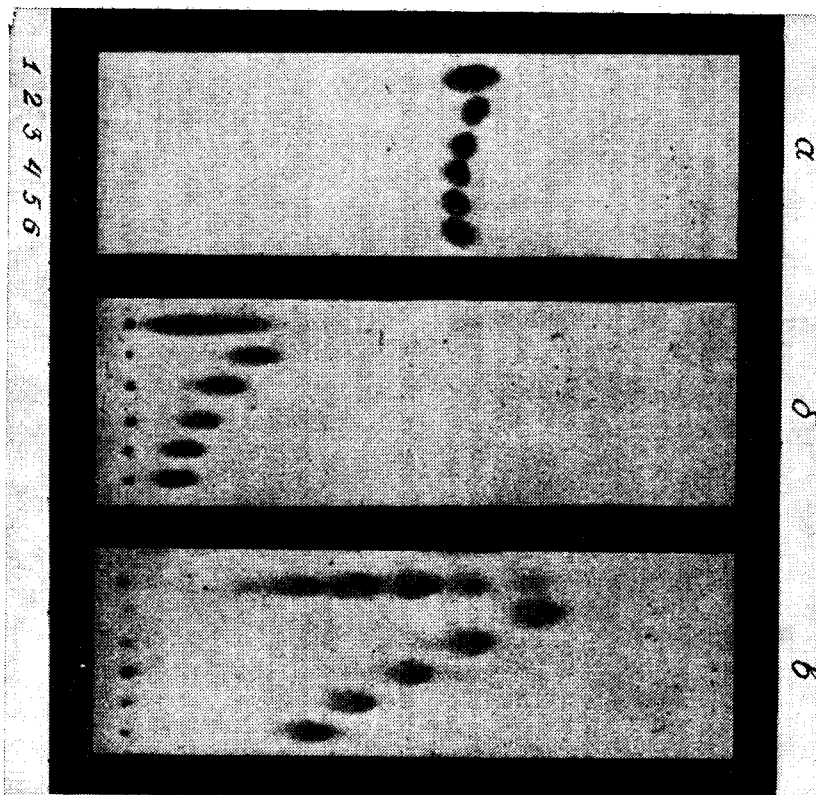


Рис. 9.11. Метод элюирования смеси стоячих эфиров воска [41].
a — простое элюирование (гексан — эфир, 95 : 5); **b** — простое элюирование (гексан — тетрахлорметан, 50 : 50); **α** — пятикратное элюирование (гексан — тетрахлорметан, 50 : 50).

деяния аминокислоты определенной группы или изменила порядок их расположения на хроматограмме.

в. Проточное элюирование. Наиболее простой вариант этого метода — свободное испарение растворителя с края пластиинки. Очень эффективно использование варио-KS-камеры или другой камеры фирменного изготовления, в которой предусмотрено непрерывное удаление перемещающегося по слою растворителя у края пластиинки. На рис. 9.11 показаны хроматограммы, полученные одним из упрощенных вариантов метода проточного элюирования — многократным элюированием менее полярным растворителем. Перри и др. [24а, 47] описали методику программируемого автоматизированного элюирования этим способом.

г. Градиентное и многоzonальное элюирование используются при хроматографировании сложных смесей, содержащих компоненты с сильно различающейся полярностью. В результате вследствие расслоения подвижной фазы образуются два или большее число фронтов растворителя (так называемые α -фронт с α -зоной, β -фронт с β -зоной).

д. Градиентное элюирование — метод, допускающий локальное изменение условий разделения на разделяющей поверхности. Созданный градиент или остается постоянным в течение всего элюирования, или меняется вдоль пути разделения. В принципе можно постепенно менять все параметры ТСХ, создавая таким образом их градиенты. В частности, можно менять толщину и состав слоя, пропитывать его жидкими, твердыми или газообразными соединениями, менять активность, состав элюента и подвижной фазы внутри слоя и т. д.

9.5.3. ОБНАРУЖЕНИЕ

Большинство хроматографируемых соединений бесцветны, и поэтому их надо каким-то образом обнаруживать после элюирования. Методы обнаружения можно разделить на несколько групп.

ФИЗИЧЕСКИЕ МЕТОДЫ ОБНАРУЖЕНИЯ

Методы этой группы применяются для обнаружения соединений, флуоресцирующих при облучении светом определенной длины волн, и нефлуоресцирующих соединений, разделенных на слоях адсорбента, содержащих флуоресцентные индикаторы (обычно флуоресценция вызывается облучением с длиной волнами 254 или 254 и 366 нм). В последнем случае при УФ-облучении флуоресцирует вся неподвижная фаза, за исключением зон соединений, подавляющих флуоресценцию; эти соединения обнаруживаются в виде темных пятен на флуоресцирующем фо-

не. К данной группе методов относятся также авторадиография, спектриметрические методы или методы прямого счета, применяемые для обнаружения радиоактивных элементов.

ХИМИЧЕСКИЕ МЕТОДЫ ОБНАРУЖЕНИЯ

Химические методы обнаружения применяются чаще всего. При обнаружении указанными методами хроматограмму после окончания разделения обрабатывают газами, например аммиаком, бромом, иодом или опрыскивают различными неспецифическими или специфическими обнаруживающими реагентами. В главе, посвященной бумажной хроматографии, указаны распространенные типы пульверизаторов для опрыскивания (см. гл. 3, рис. 3.11). Реагентов для опрыскивания известно очень много, большинство их используется и в БХ. Некоторые из наиболее важных реагентов перечислены в разд. 9.9. Обнаружение с помощью химических реагентов очень эффективно, поскольку они часто образуют окрашенные производные сразу при опрыскивании или в процессе последующего нагревания, которое может проводиться при температуре, превышающей 100 °C. Иногда в процессе нагревания можно наблюдать характерное изменение окраски, что также позволяет качественно идентифицировать некоторые соединения.

БИОЛОГИЧЕСКИЕ МЕТОДЫ ОБНАРУЖЕНИЯ

В эту группу входят методы обнаружения биологически активных соединений. В биоавтографических методах при обнаружении стимуляторов роста или витаминов определяется степень роста зон микроорганизмов, а при обнаружении антибиотиков или антиметаболитов — степень их ингибирования. К сожалению, эти весьма специфические методы требуют очень много времени — от нескольких часов до нескольких дней. Обнаруживаются такими методами только биологически активные соединения, причем неактивные соединения обнаружение не мешают. Чтобы ускорить получение результатов, обычно проводят обнаружение одним из химических методов, после чего проводят биологическую пробу.

КОМБИНИРОВАННЫЕ МЕТОДЫ ОБНАРУЖЕНИЯ

Обнаружение комбинированными методами позволяет получить значительно больше информации об исследуемом соединении. Некоторые из этих методов позволяют получить данные о строении соединений или могут использоваться для количественных определений. УФ-спектры поглощения и спектры флуоресценции [23] можно получить, непосредственно исследуя хроматограммы, с помощью специально сконструированно-

го электрода можно получить полярограмму без предварительного элюирования [14]; разработаны также детекторы для измерения интенсивности флуоресценции тонкослойных хроматографических пластинок под действием рентгеновского излучения [20].

Помимо прямых методов можно использовать и непрямые методы обнаружения, можно, например, сочетать ТСХ с масс-спектрометрией [43], УФ-с ИК-спектроскопией, ГЖХ и т. п. Однако во всех случаях необходимо сначала экстрагировать пробу с хроматограммой и освободить экстракт от примесей, попавших в него из неподвижной фазы. Среди методов этой группы наилучшим оказался метод Wick-Stick [15], который позднее был несколько модифицирован [65]. Извлеченный из слоя сорбента микропространство фильтруют через тонкоизмельченный бромид калия, который помещают в трубку длиной 8 см с внутренним диаметром 1 мм. Когда экстракт вводят в трубку, туда засасывают также небольшое количество чистого растворителя, потом отрезают нижний конец трубы, где концентрируются примеси. После этого можно снимать масс-спектр экстракта или же прессовать из бромида калия таблетки и снимать ИК-спектр хроматографируемых соединений.

9.6. КОЛИЧЕСТВЕННОЕ ОПРЕДЕЛЕНИЕ

Методы количественного определения подразделяются на непрямые и прямые. В первую группу входят все методы, предполагающие экстракцию соединений перед количественным определением. Эти методы предпочтительны в тех случаях, когда можно провести контрольный опыт с холостой пробой, а также определить погрешность элюирования. В табл. 9.7 указаны различные количественные методы исследования экстрактов и указаны интервалы чувствительности отдельных методов.

Таблица 9.7
Методы количественного определения после экстракции с тонких слоев [24]

Определяемые количества соединений	1–100 мг	10–100 мкг	10–100 нг
------------------------------------	----------	------------	-----------

Методы определения	Гравиметрия, титриметрия, поляриметрия	Спектроскопия (УФ, ИК, ЯМР), масс-спектрометрия, рефрактометрия, полярография, ГЖХ, изотонные методы	Флуоресценция, фосфоресценция, биологические методы
--------------------	--	--	---

Элюирование отдельных соединений с хроматограммы следует проводить после их обнаружения на хроматографической пластиинке, которое не должно нарушать целостность слоя, и количественного отделения сорбента от пластиинки. Для количественного элюирования непосредственно с хроматограммы, без соскабливания сорбента, пригоден набор SAMAG-Euchipol, выпускаемый фирмой SAMAG (рис. 9.12). С помощью этого набора можно одновременно элюировать шесть проб, получая точно измеренные конечные объемы растворов. Единственное условие — расстояние между пятнами должно быть равно

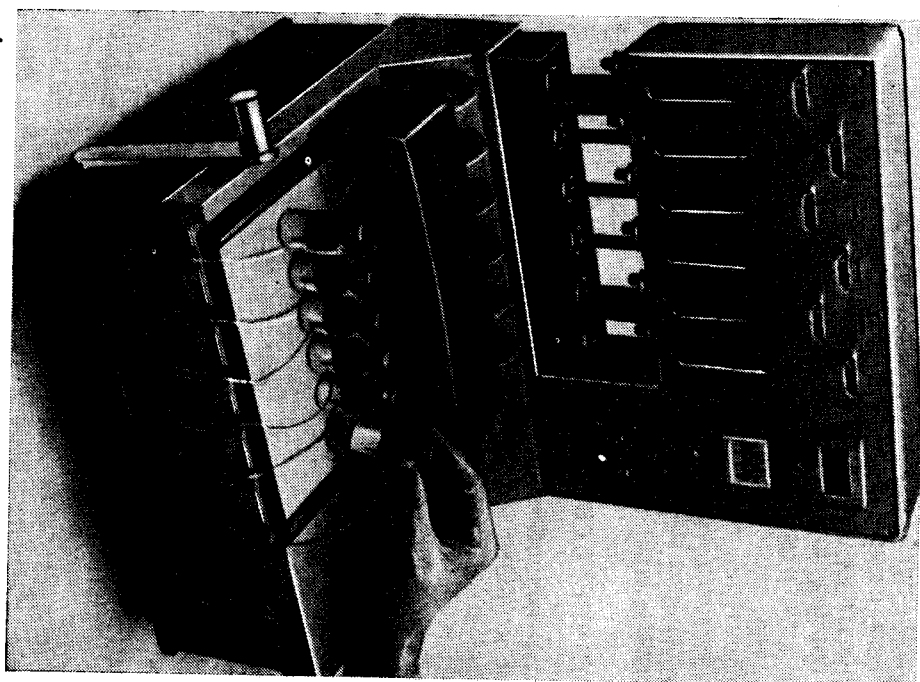


Рис. 9.12. Набор SAMAG Euchipol для количественного автоматического элюирования с тонкослойных пластиинок (с разрешения фирмы SAMAG).

2,5 мм, а максимальный диаметр пятен не должен превышать 20 мм.

Прямо количественное обнаружение на хроматограмме можно проводить, измеряя площадь пятна или определяя интенсивность его окраски, но такое определение сопряжено со значительными экспериментальными погрешностями и поэтому пригодно только для ориентировочных измерений. Более точные методы определения содержания соединений непосредственно в слое требуют применения специальных приборов. Все методы этой группы основаны на принципах фотометрии, причем чаще всего применяют дениситометрию, затем спектрофотометрию, флуориметрию и авторадиографию. Тем читателям, которых интересуют указанные методы обнаружения, следует обратиться к отличной обзорной статье Йорка и Крауса [24] или монографии Таштона [67].

9.7. ПРЕПАРАТИВНАЯ ТОНКОСЛОЙНАЯ ХРОМАТОГРАФИЯ

В большинстве случаев разделение, достигаемое посредством аналитической ТСХ, можно перевести на микро- или полумикропрепартивный уровень. Препаративное разделение на тонких слоях чаще всего проводят методами адсорбционной и распределительной хроматографии, тогда как препаративное разделение методом ионообменной или колоночной хроматографии проводится только на колонках. Помимо препаративной ТСХ существуют и другие методы препаративного разделения (например, классическая жидкостная хроматография и особенно высокоеффективная жидкостная хроматография, или хроматография при высоком давлении, см. гл. 4), которые в ряде случаев могут оказаться более эффективными. Методом сухой колоночной хроматографии (СКХ) можно проводить препаративное разделение в таких же условиях, когда применяются при разделении методом ТСХ [36]. Поэтому рекомендуется прежде всего проанализировать достоинства и недостатки различных типов и методов хроматографии и оценить целесообразность их применения для разделения конкретных соединений (устойчивых или неустойчивых, с близкими или значительно различающимися величинами R_f). Выбор метода зависит также от того, какие количества соединений и как быстро необходимо получить.

В препаративной ТСХ используются те же адсорбенты, что и в аналитической ТСХ. Однако некоторые фирмы выпускают адсорбенты, предназначенные специально для препаративной хроматографии (например, фирма E. Merck, Дармштадт, ФРГ). Оптимальная толщина слоев, применяемых в препаративной

ТСХ, составляет от 0,5 до 1 мм. Обычный размер пластинок 20×20 см, иногда 20×40 или даже 20×100 см. Условия успешного препаративного разделения на тонкослойных пластинках: однородность слоя, правильное (т. е. очень равномерное) нанесение проб на стартовую линию, полное насыщение атмосферы хроматографической камеры.

9.7.1. ПРИГОТОВЛЕНИЕ СЛОЕВ

Слои для препаративной ТСХ готовят с помощью специальных устройств, иногда называемых аппликаторами, желательно с регулируемой шириной щели (рис. 9.13). Количество нанесенного адсорбента может быть самым разным. Для ТСХ на

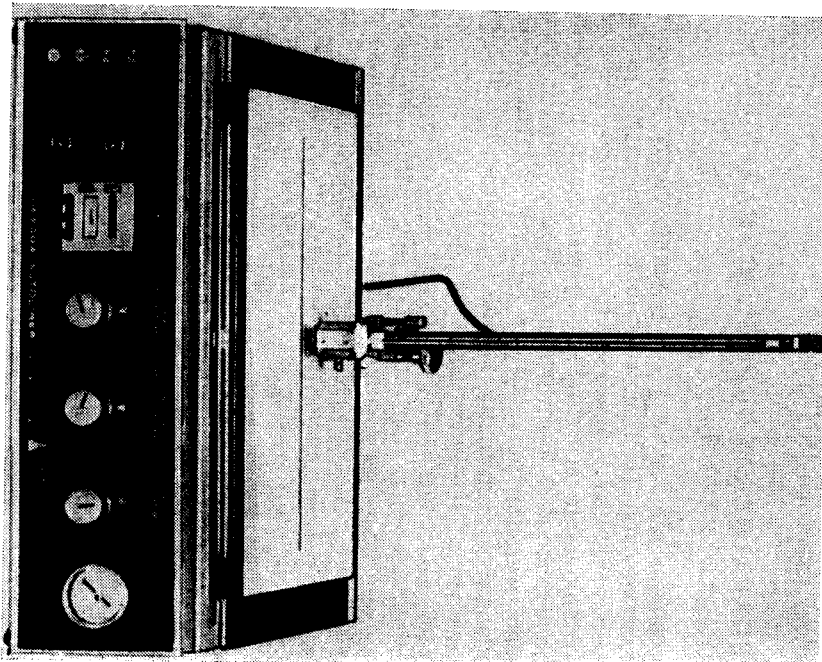


Рис. 9.13. Прибор для автоматического нанесения проб на слои (с разрешения фирмы Desaga).

силикагеле на пластинку размером 20×20 см наносят $20-25$ г адсорбента, толщина слоя составляет 1 мм. Продаются также готовые пластинки для препаративной ТСХ, например изготавливаемые фирмой Merck пластинки Фертигплаттен.

9.7.2. НАНЕСЕНИЕ ПРОБ

Растворы проб (концентрация 5—20%) лучше всего нанести на стартовую линию с помощью автоматического аппликатора, так как в этом случае проба будет нанесена совершенно равномерно вдоль всей стартовой линии. В этих целях очень удобно пользоваться прибором Desaga Autolinier, выпускаемым фирмой Desaga (рис. 9.13). Если же в лаборатории не имеется такого прибора, то пробу наносят на пластинки следующим образом. Маленький тампон из хлопковой ваты вводят с помощью тонкой проволоки на 4—5 мм внутрь кончика пипетки емкостью 1 мл. Высовывающийся кончик тампона придают такую форму, чтобы образовалась маленькая кисточка. Далее в пипетку засасывают раствор на такую высоту, чтобы жидкость не могла сама по себе свободно вытекать из нее, и после этого легкими равномерными движениями наносят раствор вдоль отмеченной стартовой линии (при этом можно пользоваться шаблоном). Приобретя небольшой опыт или потренировавшись на старых пластинках, можно добиться значительно лучшего качества нанесения проб, чем при нанесении их в виде отдельных пятен.

9.7.3. ЭЛЮИРОВАНИЕ ХРОМАТОГРАФИКИ

Элюирование следует проводить в хорошо закрытых хроматографических камерах соответствующего размера, лучше всего в терmostатируемой комнате. Разделение соединений с близкими R_f следует проводить в специальных камерах, например S-камере, выпускаемой фирмой Desaga (рис. 9.5).

9.7.4. ОБНАРУЖЕНИЕ

В препаративной ТСХ используют такие методы обнаружения, которые не нарушают целостности слоев. Почти универсальным является метод обнаружения на флуоресцирующих слоях посредством УФ-облучения (при длине волны 254 (или) 366 нм). На пластинках с такими слоями можно обнаружить соединения, не только поглощающие УФ-излучение, но и гасящие флуоресценцию; последние обнаруживаются как темные пятна на флуоресцирующем фоне.

Способ обнаружения флуоресцирующих соединений на прозрачных слоях очевиден.

9.7.5. ВЫДЕЛЕНИЕ СОЕДИНЕНИЙ

По окончании обнаружения ту часть слоя сорбента, где обнаружено данное соединение, соскабливают и переносят в маленькую колонку с помощью какого-либо устройства, обычно вакуумного микропириатора. Далее выделяют это соединение, элюируя его более полярным растворителем или смесью растворителей. Чистоту полученного соединения проверяют методом ТСХ, используя исходную аналитическую систему.

9.7.6. ПРЕИМУЩЕСТВА ПРЕПАРАТИВНОЙ ТСХ

Основное преимущество препаративной ТСХ — простота выполнения — особенно заметно проявляется при разделении соединений со значительно различающимися величинами R_f . При разделении смесей соединений с очень близкими значениями R_f многое зависит, как уже говорилось выше, от качества напечения проб. Следует также учитывать, что скорость перемещения разделяемых соединений по тонкому слою неодинакова, что он изменяется в зависимости от скорости испарения растворителя. На поверхности слоя соединение перемещается быстрее, чем вблизи подложки. Это различие можно в какой-то степени уменьшить, проводя хроматографирование в камере с полностью насыщенной атмосферой, но тем не менее именно оно может быть причиной неудачного разделения.

9.7.7. СУХАЯ КОЛОНЧНАЯ ХРОМАТОГРАФИЯ

Сухая колончная хроматография (СКХ) [36] фактически представляет собой усовершенствованный вариант метода, использованного Цветом. Эти два метода взаимосвязаны. Условия разделения методом СКХ подбирают, проводя хроматографирование на тонких слоях. Главное преимущество СКХ заключается в том, что этим способом можно разделять значительно большие количества веществ (несколько граммов) при меньшей длительности разделения и меньшем расходе растворителей. Основное условие, обеспечивающее получение хороших результатов посредством СКХ, — правильный подбор активности адсорбента. Оксид алюминия и силикагель дезактивируют, добавляя соответственно 3—6 и 12—15% воды (см. гл. 4, разд. 4.2).

ЗАПОЛНЕНИЕ КОЛОНОК

Сухой надлежащим образом дезактивированный адсорбент (оксид алюминия или силикагель*) помещают в пластмассовую трубку. В такую колонку вводят смесь, которую надо раз-

делить, и начинают элюирование заранее подобранным растворителем или системой растворителей. Когда растворитель достигнет конца колонки, элюирование прекращают. Отдельные компоненты разделенной смеси образуют соответствующим образом окрашенные зоны, если же разделяемые соединения бесцветны, в адсорбенты вводят УФ-индикаторы и обнаруживают соединения с помощью УФ-облучения. Положение разделенных компонентов можно также определять с помощью полученной в таких же условиях аналитической тонкослойной хроматограммы; положение зон соединений в этих двух случаях должно быть аналогичным. После того как определено положение отдельных соединений в колонке, ее разрезают на зоны и экстрагируют выделенные соединения обычным способом или в экстракторе Сокслета.

9.7.8. ПЕРЕНОС УСЛОВИЙ ТСХ НА КОЛОНЧНУЮ ХРОМАТОГРАФИЮ

Перенос условий ТСХ на колончную хроматографию (КХ) сопряжен с рядом трудностей, и поэтому желательно знать, какие факторы влияют на этот перенос. Согласно данным Гейсса [16], неудачи могут быть вызваны следующими причинами: а) переходом от ТСХ к КХ при использовании несопоставимых хроматографических систем, например BN-камеры и сухой колонки, б) неправильными формулами перехода; в) применением в ТСХ и КХ различных сорбентов; г) различной активностью сорбентов, используемых в ТСХ и КХ; д) отсутствием оптимизации режима работы при КХ; е) перегрузкой колонки.

Если используется однокомпонентный элюент, сухая колончная хроматография соответствует ТСХ в S-камере с ненасыщенной атмосферой (это справедливо также и для многокомпонентных систем), а смеси растворителей расслаиваются одинаково как в S-камере с ненасыщенной атмосферой, так и в сухой колонке, образуя несколько фронтов растворителей. Однокомпонентный элюент, естественно, не может расслоиться, и значения R_f , полученные в ТСХ, соответствуют величинам R_f , получаемым при хроматографировании как в сухой, так и в увлажненной колонках.

В отношении многокомпонентных систем можно сказать следующее: а) результаты, полученные в S-камере и в сухой колонке, практически аналогичны (в колонке немного раньше появляется β-фронт); б) результаты, полученные в S-камере, в какой мере не соответствуют результатам, получаемым в смоченной колонке; в) двойником хроматографии в увлажненной колонке является ТСХ с проточным элюированием и приближенным двойником (после умножения значений R_f на ко-

* Адсорбенты и пластмассовые трубы для СКХ выпускает ряд фирм, например фирмы Waters Associates Inc., Milford, Mass. 01757, USA и M. Whatman, D-344 Eschwege, BRD.

эффективен, составляющий около 1,5) — ТСХ в N-камере; г) разделение в N-камере ни в какой мере не соответствует разделению в сухой колонке.

Изложенные принципы поясняет табл. 9.8.

Таблица 9.8

Переход воз- можен	Однокомпонентные элюенты		Многокомпонентные элюенты	
	S-камера (N-камера) · f	Сухая или увлажненная колонка	S-камера (N-камера) · f	—> сухая колонка —> увлажненная ко- лонка
Переход не- возможен	S-камера	—> сухая колонка	Г-оточное элюирование	—> сухая колонка
			S-камера	—> увлажненная ко- лонка
			N-камера	—> сухая колонка

а f — множитель, равный примерно 1,5.

9.8. ПРИМЕРЫ ПРИМЕНЕНИЯ ТСХ

9.8.1. РАЗДЕЛЕНИЕ ОЛЕФИНОВ НА СИЛИКАГЕЛЕ

Прасад и др. [49] изучали разделение сескви- и литерапено-вых углеводородов на слоях силикагеля, пропитанных нитратом или перхлоратом серебра. Одновременно они исследовали влияние гипса на характер разделения. Полученные ими результаты суммированы в табл. 9.9. Пропитанный солями серебра силикагель приготавливали в затемненном помещении.

Растворяли нитрат или перхлорат серебра (15 г) в воде (23 мл) и медленно при перемешивании разбавляли раствор ацетоном (250 мл). Далее, также при перемешивании, добавляли силикагель (100 г) или силикагель с гипсом. После введения силикагеля смесь перемешивали еще 15 мин. Затем на водяной бане отгоняли растворители при пониженном давлении (водоструйный насос). Рыхлый, свободно пересыпающийся порошок

Таблица 9.9
Величины R_f различных терпеновых олефинов, полученные на слоях силикагеля, содержащих ионы серебра (и в некоторых случаях добавки гипса) [49]

Соединение	Число двойных связей	Жидкая фаза ^б	R_f , полученные на слоях			
			с нитратом серебра		с перхлоратом серебра	
			с гипсом	без гипса	с гипсом	без гипса
Лонгидилен	0	A	0,75	0,68	0,77	0,70
Изолонгиофен	1	"	0,66	0,58	0,67	0,66
Лонгиофен	1	"	0,44	0,31	0,32	0,14
α-Гуронен	1	B	0,82	0,80	0,79	0,78
α-Бергамотен	2	"	0,74	0,62	0,71	0,61
β-Бизаболен	3	"	0,37	0,18	0,32	0,16
α-Гимахален	2	B	0,69	0,56	0,70	0,55
β-Гимахален	2	"	0,61	0,46	0,62	0,46
Цембрен	4	Г	0,85	0,81	0,86	0,83
Цембрен А	4	"	0,65	0,41	0,42	0,16
Х-Дигтерпен	?	"	0,77	0,63	0,76	0,61

^a Цембрен, цембрен А и Х-дигтерпен — дигтерпеновые углеводороды ($C_{19}H_{34}$), стальные соединения — сесквитерпеновые углеводороды ($C_{15}H_{24}$).

^b Жидкая фаза: A — петролейный эфир, B — 50% бензола в петролейном эфире, Г — 20% бензола в петролейном эфире, эфиры, этилацетата в бензоле. Температура (25 ± 1)°С, длина пути растворителя 10 см.

храли в темных склянках. Суспензию для нанесения слоя получали, добавляя 2—2,5 части воды на одну часть сорбента, и тщательно перемешивали эту смесь в ступке. Толщина слоя составляла 0,5 мм. Пластиинки сушили на воздухе около 4 ч, при необходимости активировали 2,5 ч при 105 °C и охлаждали 10—15 мин в экскаторе.

9.8.2. РАЗДЕЛЕНИЕ И КОЛИЧЕСТВЕННЫЙ АНАЛИЗ ТРИГЛИЦЕРИДОВ ПАЛЬМОВОГО МАСЛА

Природные смеси триглицеридов — это сложные смеси очень близких по физическим и химическим свойствам компонентов, которые можно разделять, комбинируя ТСХ с применением солей серебра и обращенно-фазную ТСХ. При помощи первого метода проводится предварительное фракционирование по числу и характеру двойных связей, а второй метод (обращенно-фазная ТСХ) позволяет разделить соединения в соответствии с числом углеродных атомов в молекуле. Как правило, рекомендуется проводить предварительную очистку пробы в колонке с силикателем, применяя бензол в качестве элюента. Разделение триглицеридов пальмового масла проводят следующим образом [73]. Сначала разделяют пробу (8 г) на слоях силикагеля G (толщина 0,6 мм, размер пластинок 10×40 см), пропитанных 10%-ным раствором нитрата серебра, элюируя их смесью хлороформ+1% метанола. По окончании разделения пластиинки опрыскивают водным раствором 2,7-дилюорфлуоресцесцина и облучают УФ-лампой (длина волны 360 нм). Затем соскальзывают соответствующие зоны с девяти пластинок и помешают полученный материал в хроматографическую колонку (диаметр около 12 мм) с двухсантиметровым слоем активированного силикагеля (фирмы Merck, размер частиц 0,05—0,2 мм, активированной при 150 °C в течение 6 ч), чтобы удалить из смеси следы обнаруживающего красителя. Элюирование проводят 100 мл не содержащего пероксидов бензодиоксида эфира (приготовленного посредством фильтрации через щелочную оксид алюминия с активностью I). Количественное определение осуществляют колориметрически с использованием хромотроповой кислоты.

Полученные отдельные группы триглицеридов наносят на слой кизельгура (1,3 мг на пластиинку фирмы Merck размером 20×20 см, толщина слоя 0,25 мм), пропитанные парафиновым маслом в качестве неподвижной фазы. Перед пропиткой слой очищают, элюируя их чистым эфиром. Слои пропитывают, погружая пластиинки в 7,5%-ный раствор парафинового масла в петролейном эфире (35—45 °C). Элюирующую систему: смесь ацетонитрил 8:2 или 7:3 соответственно для триглицеридов с короткой углеродной цепью или сильно ненасыщенным

жирных кислот. Элюент насышают на 80% парафиновым маслом. После элюирования слои сушат час на воздухе, а затем в токе азота до полного удаления подвижной фазы. После этого тщательно опрыскивают пластиинки 0,01%-ным водным раствором флуоресцена и осматривают их, облучая УФ-лампой (360 нм).

Соответствующие зоны составливают с пластиинок и элюируют, как описано выше. Далее испаряют 5—10 мл элюента в токе азота, добавляя к остатку 0,5 мл 0,4%-ного спиртового раствора гидроксида натрия, и омыляют пробу при 70 °C в течение 80 мин. После этого добавляют точно 1 мл 1%-ной серной кислоты. Чтобы извлечь парафиновое масло, добавляют 2,5 мл эфира, не содержащего перекисей, смесь встряхивают и возможно более полно отделяют эфирную fazu. Из водной фазы отбирают 1 мл жидкости, помешают ее в чистую пробирку и нагревают 15 мин в бане с кипящей водой. После чего добавляют в пробирку 0,05 мл 5%-ного раствора периода натрия, выдерживают 20 мин и восстанавливают избыточный периодат, добавляя 0,05 мл 5%-ного раствора бисульфита натрия. Еще через 10—20 мин добавляют точно 5 мл раствора хромотроповой кислоты (0,2% нагриевой соли в 60%-ной серной кислоте), перемешивают и нагревают 80 мин при 105 °C. После охлаждения проводят колориметрическое определение в одно- или полусантиметровых кюветах при длине волны 570 нм. В качестве холостой пробы используют элюат, полученный подобным образом со слоя, не содержащего триглицеридов. Хроматография на слоях, содержащих соли серебра, и анализ триглицеридов рассматриваются, в частности, Литч菲尔дом [33], а обзор методов денситометрического анализа опубликован Приветом и др. [50].

9.8.3. ОДНОМЕРНОЕ РАЗДЕЛЕНИЕ СМЕСИ ШЕСТИНАДЦАТИ АМИНОКИСЛОТ НА ПЛЕНКАХ С ИОНООБМЕННЫМ СЛОЕМ

Используя пленки с ионообменным слоем (см. табл. 9.5), Девенини и др. [10] успешно разделили смесь 16 аминокислот; описанный этими авторами метод можно также использовать, например, для быстрого анализа гидролизатов пептидов. Пленку в течение 3 ч приводят в равновесие с питратным буферным раствором (0,004 н. раствор соли натрия, pH 3,2) и потом сушат при комнатной температуре. Стандартным раствором слушают при комнатной температуре. Стандартным раствором служит 0,1%-ный раствор смеси аминокислот (аргинин, лизин, гистидин, фенилаланин, тирозин, лейцин, изолейцин, метионин, валин, пролин, аланин, глицин, глутамовая кислота, треонин, серин и аспарагиновая кислота) в 0,01 н. соляной кислоте, ко-

ТОНКОСЛОЙНАЯ ХРОМАТОГРАФИЯ

торый наносили в количестве 2—10 мкл в виде узкой полоски справа и слева от исследуемого гидролизата. После примерно 10-минутного просушивания пленку помещали в хроматографическую камеру с цитратным буферным раствором (84 г моногидрата лимонной кислоты, 16 г гидроксида натрия, 5,9 мл соляной кислоты с уд. массой 1,19 и дистиллированная вода до общего объема 1000 мл, pH раствора 3,3). Элюирование проводили при 50 °C. Примерно через 2 ч, когда фронт растворителя достигал верхнего края пленки, ее вынимали, сушили 9 мин при 105 °C, тщательно опрыскивали нингидриновым реагентом (0,2 г нингидрина в 95 мл метанола + 5 мл 2,4,6-кодиллина) и нагревали 10 мин при 105 °C. Пятна можно также стабилизовать, опрыскивая их раствором 1 г ацетата кадмия в 50 мл ледяной уксусной кислоты, разбавленной 100 мл дистиллированной воды; после такого опрыскивания пленку нагревают 5 мин при 105 °C.

9.8.4. ОПРЕДЕЛЕНИЕ МОЛЕКУЛЯРНОЙ МАССЫ ГЕЛЬ-ХРОМАТОГРАФИЕЙ

Метод гель-хроматографии, включая определение молекулярных масс в тонком слое, описал Радолой [54]. Суспензию геля приготавливают, перемешивая 4 г сефадекса G-200 с 100 мл 0,5 М раствора хлорида натрия, содержащего 0,02 М фосфатный буфер (KH_2PO_4 — Na_2HPO_4) с pH 7,2—7,4. В таком же количестве раствора размещают 8 г сефадекса G-75, 4 г сефадекса G-100, 4 г бигогеля P60 и 3,5 г бигогеля P300. Чтобы гель набух, его выдерживают 2—3 сут при 4 °C, после чего непродолжительное время вакуумируют, используя водоструйный насос. С помощью устройства для нанесения сорбента фирмы Desaga (системы Штала) наносят слой толщиной 0,5 мм; если жидкой фазы было взято больше, как в данном случае, то поверхность слоя остается гладкой. Слои сушат на воздухе 5—15 мин и помещают в камеру с увлажненной атмосферой, где их можно хранить до 2 недель. Непосредственно перед употреблением пластинки обрабатывают соответствующим буферным раствором, лучше всего в течение ночи.

Подготовленные пластинки вынимают из камеры и кладут горизонтально. Раствор пробы белков наносят на угол покровного стекла микроскопа (18×18 мм) и подносят этот угол к поверхности слоя. Раствор впитывается за несколько секунд. Слоя должен касаться весь смоченный угол, иначе образуется капля и на стартовой линии получится неровная полоса. На пластиинку наносят 10—20 мкл 0,2—2%-ного белка. Таким способом можно нанести на пластинку размером 20×20 см пять или шесть проб; расстояние между местами нанесения от-

дельных проб составляет 2—2,5 см, а стартовая линия удалена на 3 см от верхнего края пластиинки. Скорость элюирования зависит от наклона пластиинки и высоты уровня растворителя в резервуаре. При хроматографировании на сефадексе G-200 угол наклона равен 10° и элюирование длится 4—7 ч; для других марок геля оптимальный угол наклона следует определять экспериментально. По окончании элюирования пластиинку вынимают из камеры и снимают с нее полоски фильтровальной бумаги. Помещение зон определяют контактным методом, т. е. накладывают на слой лист ватмана № 3 размером 20×17 см и оставляют его на слое на 30—60 с, а затем сушат этот лист 15 мин в сушильном шкафу при 110 °C. Окрашивают зоны насыщенным раствором красителя Amido Black 10B (фирмы Merck) в

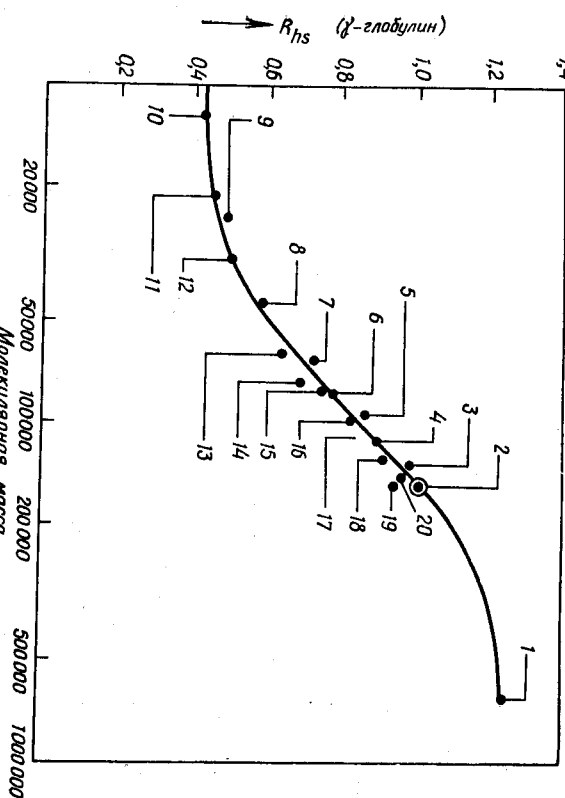


Рис. 9.14. Определение молекулярных масс аспаргиназы методом гель-хроматографии на тонких слоях сефадекса G-200 [4]. Величина пути перемещения анализируемых соединений отнесена к величине пути перемещения γ-глобулина, полученного из сыворотки крови человека. Разделение проведено по методу Радолы [54] (см. текст) с применением буферного раствора 0,05М три(окси-метил)аминотетан — HCl (pH 7,5), 0,2М раствора KCl и 0,001М раствора EDTA. 1 — гиаглобулин; 2 — γ-глобулин (из сыворотки крови человека или крупного рогатого скота); 3 — альбумин из сыворотки крупного рогатого скота (димер); 4 — лактат дегидрогеназа (из печени лошади); 5 — текокиназа (из дрожжей); 6 — спиртовая липаза (из боялубин); 7 — альбумин из сыворотки крови крупного рогатого скота; 8 — боавильбин; 9 — химотрипсиноген; 10 — цитохром c; 11 — трипептиловый ингибитор (из боявой соли); 12 — карбоксипептидаза A; 13 — фосфорилпротеиназа; 14 — глицирол-β-дегидрофади-ацетилтрансфераза; 15 — кратинкиназа; 16 — глицерол-β-дегидрофади-α-спиратиназа; 17 — алкогольдегидрогеназа; 18 — алкогоксидаза; 19 — альбумин; 20 — глукозоксидаза.

ТОНКОСЛОЙНАЯ ХРОМАТОГРАФИЯ

смеси метанола и уксусной кислоты (9:1 по объему) или 0,25%-ным раствором Coomassie Brilliant Blue R250 (фирмы Serva) в таком же растворителе; этими реагентами воздействуют на слой в течение 5–10 мин. В первом случае обесцвечивание проводят смесью из двух частей смеси метанол — уксусная кислота (9:1) и одной части воды. После первых двух промывок растворитель выбрасывают; растворители, которыми проводили третью и последующие промывки, собирают, обесцвечивают древесным углем и используют повторно. Во втором случае бумагу промывают последовательно водопроводной водой, смесью метанол — уксусная кислота — вода (50:10:50 по объему); растворители после третьей и последующих промывок собирают, обесцвечивают древесным углем и используют повторно.

При определении молекулярной массы неизвестного соединения (по методу, пригодному для определения молекулярной массы белков) лучше всего тщательно измерить расстояние от центра пятна этого соединения до стартовой линии и от центра пятна известного соединения, используемого как стандарт, до стартовой линии. Результат измерений выражают величиной R_m^* , определяемой как соотношение длины пути исследуемого соединения (d_i) и стандарта (d_s), т. е. $R_m = d_i/d_s$. Далее молекулярную массу определяют по кривой зависимости величин R_m , рассчитанных по этой формуле, от молекулярной массы. Описанным способом определены, в частности, молекулярные массы аспарагиназы, выделенной из *Escherichia coli* (рис. 9.14) [4]. На сефадексе G-200 подобные определения можно проводить с погрешностью $\pm 10\%$. Верхняя граница линейного участка зависимости R_m — молекулярная масса при хроматографировании на сефадексе G-200 составляет $2,4 \cdot 10^5$.

По мнению авторов работы [2], лучше использовать кривую зависимости обратной величины длины пути ($1/d$) от логарифма молекулярной массы, так как при этом можно сравнивать результаты определения, проведенного методами колоночной и тонкослойной хроматографии.

9.8.5. РАЗДЕЛЕНИЕ АНТИБИОТИКОВ ТИПА ТЕТРАЦИКЛИНА

Лангер и Тейфель [30] разделили 10 очень близких по структуре тетрациклических антибиотиков на выпускаемых фирмой Merck пластинках со слоями целлюлозы. Эти пластинки пропитывали, опрыскивая их 5%-ным раствором EDTA, величину pH которого регулировали, добавляя от 9 до 20% растворителя гидроксида натрия. Элюирование проводили около 120 мин

* Не следует смешивать с величиной R_m , введенной Бейт-Смитом и Устолом (гл. 3, разд. 3.1.4).

Таблица 9.10

Условия разделения некоторых антибиотиков				
Антибиотики	Состав слоя	Элонирующая система	Примечания	Лигература
Биосинтетические и полусинтетические пенициллины	Силикагель G	Изоамилапетат — метанол — уксусная кислота — вода (65:20:5:10)		39
Макролиды	Силикагель G и кистенгур (1:1)	Дихромометан — к-тексан — этиanol (60:35:5)	Пропитка формальдегидом	5
Полиеновые макролиды	Силикагель HF ²⁵⁴ с буферной добавкой Полиамид	Дихромометан — метанол (85:5)	Буферный раствор: 0,2 M K ₂ HPO ₄	7
Хлорамфеникол	Г-Буганол — хлороформ — уксусная кислота (10:90:0,5)	Этилацетат	0,2 M Na ₂ HPO ₄	34
Стероидные антибиотики	Силикагель	Также этилацетат, насыщенный водой		12

9.8.6. РАЗДЕЛЕНИЕ ГЕСТАГЕНОВ

В статье [53] указаны условия разделения 16 гестагенов (стериоидных гормонов, способствующих нормальному протеканию беременности) на пластинках с силуфолом UV²⁵⁴ (табл. 9.11). На пластинки размером 20×20 см наносят 5—10 мкл 0,1%-ного раствора пробы в смеси хлороформ — метанол (1:1) и элюируют снизу вверх смесью хлороформ — метилэтилкетон (37:3) в камере с насыщенной атмосферой. Обнаруживают разделенные соединения или при УФ-облучении, или

при равномерном опрыскивании пластиинки смесь насыщенного раствора трихлорида сурьмы в хлороформе и уксусного ангирида (8:2). После опрыскивания хроматограммы помещают в вертикальном положении в сушильный шкаф, выдерживают минуту при температуре 100 °C и рассматривают их при УФ-облучении (366 нм). Далее оливь нагревают 3 мин при 100 °C и рассматривают на свету (табл. 9.11).

Таблица 9.11

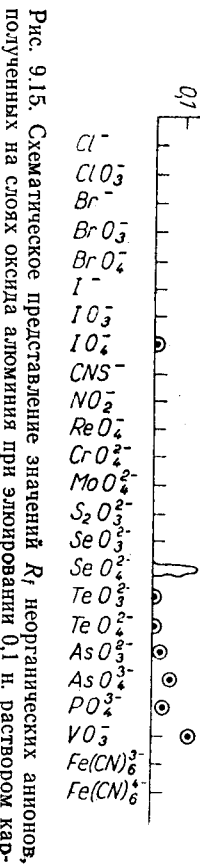
Гестаген	Разделение гестагенов [53]		
	<i>hR_f</i>	254 нм	Окраска, вызываемая SbCl_3
		в видимом свете	при УФ-облучении (366 нм)
11-Оксипрогестерон	7	+	—
Жирогестерон	24	+	Фиолетовая
Этистегрон	28	+	»
Прегненолон	31	—	Ярко-красная
Суперлутин	38	+	Фиолетовая
Алетаг прегненолона	40	—	Красная
Дегидропрогестерон	43	+	Фиолетовая
Прогестерон	46	+	Сине-зеленая
Хлормалион	53	+	Синяя
Алетаг прогестерона	57	+	Сине-зеленая
Хлорсуперлутин	60	+	Синяя
Бромсуперлутин	66	+	Фиолетово-коричневая
Капроат суперлутина	70	+	Коричневая
Неолутин	73	+	Красная
Капроат 16-дегидропр-ненона	92	+	Сине-зеленая
Капроат 6-метил-16-дегидропренилолона	94	+	Красно-фиолетовая
			Фиолетово-коричневая
			Фиолетовая

Результаты разделения стероидов различных видов приведены, например, в статье Лисбоя [35].

9.8.7. РАЗДЕЛЕНИЕ НЕОРГАНИЧЕСКИХ АНИОНОВ НА СЛОЯХ ОКСИДА АЛЮМИНИЯ

Ледерер и Полкар [31] использовали для разделения неорганических анионов готовые слой оксида алюминия MN-полиграм-алокс N (см. табл. 9.3) размером 4×13 см. В качестве

элюентов они применяли водные растворы сульфата калия (0,1—1,0 н.), фосфата калия (0,05—1,0 н.), фторида натрия (0,1—1,0 н.) и карбоната натрия (0,1—1 М). Величины R_f некоторых анионов, полученные при элюировании раствором карбоната натрия, показаны на рис. 9.15.



9.8.8. НЕРАЗРУШАЮЩЕЕ ВИЗУАЛЬНОЕ ОБНАРУЖЕНИЕ ИЗОПРЕНОИДНЫХ ХИНОНОВ ПОСЛЕ РАЗДЕЛЕНИЯ МЕТОДОМ ОБРАЩЕННО-ФАЗНОЙ ТСХ

Рокос [55] описал применение пропитанных пластинок в обращенно-фазной ТСХ с одновременным введением обнаруживающего красителя в элюирующий растворитель. Этот метод особенно эффективен, если сорбентом служит кизельгур G и если элюирующий растворитель достаточно полярен, как, например, смесь ацетон — вода (39:1). На пластиинки размешают $20 \times 20 \times 0,025$ см наносят слой кизельгура G (фирмы *Мерск*) в виде суспензии, к которой предварительно добавляют в соотношении от 0,5:1 до 0,55:1 0,003%-ный (масса/объем) водный раствор родамина 6G или 0,05%-ный (масса/объем) водный раствор флуоресцината натрия. После нанесения слоя пластиинки сушат 15 мин в горизонтальном положении на воздухе, а затем 30 мин при 100 °C. Раствор 25 г медицинского парафина нового масла в 250 мл петролейного эфира (40–60 °C) пропускают через колонку с оксидом алюминия (фирма *Woelm*, 25 г, активность 0) и затем, добавляя петролейный эфир, доводят объем фильтра до 500 мл. Пропитку пластиинок проводят посредством восходящего элюирования: осторожно погружают край пластиинки в полученный раствор и держат ее так, пока

весь слой не будет выглядеть однородным. Протитанные пластики сушат на воздухе. Хроматограммы элюируют водным ацетоном, насыщенным медицинским парафиновым маслом и содержащим тот же краситель, что и пропитывающий раствор (0,003% родамина 6G или 0,4% флуоресцината натрия). При более высоких концентрациях красителя чувствительность понижается. Обнаружение проводят посредством УФ-облучения с длиной волны 360 нм.

9.8.9. РАЗДЕЛЕНИЕ МОНО- И ОЛИГОСАХАРИДОВ НА ТОНКИХ СЛОЯХ ЦЕЛЛЮЛОЗЫ

Разделяя фрагменты полисахаридов, подвергнутых ферментативному расщеплению на пластинах с целлюлозой (порошок целлюлозы MN300, производства фирмы Macherey, Nagel und Co., Düren), Стичан [60] получил очень хорошие результаты. Приготовленные обычным способом пластики ($20 \times 20 \times 0,025$ см) сушат сначала на воздухе, а затем 10 мин в сушильном шкафу при 105°C , после чего их помещают в эксикатор над хлоридом кальция. Хроматографирование ведут восходящим способом в N-камере, используя систему уксусная кислота — этилацетат — пиридин — вода (1 : 7 : 5 : 3); этот раствор в свежеприготовленном виде помещают в камеру и выдерживают в ней перед хроматографированием в течение часа. Продолжительность хроматографирования при длине пути элюирования 19 см составляет 2 ч. По окончании разделения пластиинки сушат 15 мин при 60°C и обнаруживают щелочным раствором нитрата серебра (восстанавливающие сахара) и реагентом, смесью бифталата анилина, нафтогрезорцина и трихорукусовой кислоты (восстанавливающие и невосстанавливающие сахара). Таким способом было достигнуто хорошее разделение следующих смесей сахаров: смеси D-(+)-галактозы, D-(+)-фруктозы, α-D-глюкозы, D-(+)-мальтозы, мальтотриозы и мальтотетозы (обнаружение первым реагентом); смеси D-(+)-фруктозы, α-D-глюкозы, сахарозы, D-(+)-галактозы и D-(+)-лактозы (обнаружение вторым реагентом).

9.8.10. РАЗДЕЛЕНИЕ ПЕНИЦИЛЛИНОВ С ОЧЕНЬ БЛИЗКИМИ СТРУКТУРАМИ МЕТОДОМ РАСПРЕДЕЛИТЕЛЬНОЙ ТСХ

План [45] разработал способ разделения природных или полусинтетических пенициллинов очень близкой структуры с помощью распределительной хроматографии на бумаге или на тонких слоях целлюлозы. Разделение проводится на ватмане № 1 и готовых пластинах MN300 ($5 \times 20 \times 0,025$ см). В качестве неподвижных фаз используют буферные растворы с pH 4,1

Таблица 9.12
Разделение очень близких по структуре пенициллинов на бумаге и тонких слоях целлюлозы [45]

Подвижная фаза ^a	Неподвижная фаза, pH буферного раствора	Пятно А	Пятно Б	R_f^b		Расстояние от пятна до стартовой линии, см	
				А	Б	А	Б
n-Бутиловый спирт — трет-амиловый спирт (6 : 1)	4,1	Ампициллин	Эпициллин	0,22	0,29	9,0	11,3
n-Амиловый спирт	6,7	N-Ацетилампициллин	N-Ацетилэпициллин	0,22	0,31	10,5	14,0
n-Амиловый спирт	6,7	Пенициллин G	Пенициллин G	0,47	0,63	8,6	11,4
n-Амиловый спирт — амил-ацетат (3 : 1)	6,7	p-Оксибензилпенициллин	m-Оксибензилпенициллин	0,08	0,09	10,6	13,2
n-Бутиловый спирт — трет-амиловый спирт (2 : 1)	6,7	p-Оксиампициллин	m-Оксиампициллин	0,06	0,07	8,1	11,3

^aВсе подвижные фазы насыщены водой.

^bВеличины R_f измеряли, когда фронт растворителя доходил до края бумаги или пластиинки.

и 6,7, а в качестве подвижных — насыщенные водой смеси низших спиртов. Результаты разделения критических пар лучше проследить по табл. 9.12.

9.8.11. КОЛИЧЕСТВЕННЫЙ АНАЛИЗ ТОКОФЕРОЛОВ

Аратани и др. [3] описали способ приготовления очень тонких слоев силикагеля на кварцевых пластинках размером $76 \times 26 \times 0,7$ мм, оказавшихся весьма удобными для микронализации токоферолов.

Две гладко вымытые кварцевые пластины, прикрепленные друг к другу зажимами, погружают в расплавленный парафин. После охлаждения их разделяют и погружают в 46%-ную плавиковую кислоту, подогревую до 30°C , и выдерживают в ней в течение 20–60 мин (в зависимости от требуемой глубины травления). Далее пластины дважды кипятят в дистиллированной воде, промывают ксиолом, метанолом и водой и сушат при 110°C . На обработанные таким образом пластиинки наносят суспензию силикагеля G (фирма Merck, фракция 325 меш) с помощью стеклянного валика, а избыток ее убирают плоским шпателем. Таким способом удается получить очень тонкий слой сорбента. Пластиинки сушат при 110°C и хранят в экскаторе над сухим силикагелем.

Пробы токоферолов в виде бензольных растворов (6,1 мг/мл) наносят на пластиинки микрошиприем фирмы Hamilton. Хроматографирование ведут в атмосфере азота в темноте при комнатной температуре. В этих целях используют стеклянную камеру ($85 \times 85 \times 33$ мм), которую помещают в вакуум-экскатор. Элюентом служит смесь α -гексан — хлороформ (1 : 1). По окончании элюирования пластиинки опрыскивают раствором батофенантролина и хлорила железа (III). Измерив с помощью двухлучевого спектрофотометра (Shimadzu, модель MPS-50) пропускание при 291 нм, строят калибровочную кривую для стандарта dl- α -токоферола и проводят количественные определения. Этим способом можно за 13 мин определить содержание токоферолов в пробе соевого масла (3,1 мг) при толщине слоя силикагеля 53 мкм. Величины R_f α , γ и δ -токоферолов равны соответственно 0,74, 0,47 и 0,23.

9.8.12 РАЗДЕЛЕНИЕ ВИНКАЛЕЙКОБЛАСТИНА, ЛЕЙКОКРИСТИНА, ЛЕЙРОЗИНА И ЛЕЙРОЗИДИНА МЕТОДОМ ТСХ

Фарнсворт и Гилински [13] разделили структурно очень близкие димерные алкалоиды *Vinca rosea* L. на тонких слоях силикагеля, элюируя их смесь хлороформ — метанол (95 :

: 5). Обнаружение проводили раствором сульфата церия-аммония. При этом были получены следующие величины R_f : лейрокристин $0,06 \pm 0,01$, лейрокристилин $0,16 \pm 0,03$, винкалейкобластин $0,24 \pm 0,02$, лейрозин $0,45 \pm 0,03$, аймалицин $0,64 \pm 0,03$. Обзор методов систематического анализа многих типов алкалоидов посредством ТСХ опубликован Вальди и др. [72].

9.9. ОСНОВНЫЕ ОБНАРУЖИВАЮЩИЕ РЕАГЕНТЫ ДЛЯ БХ И ТСХ

В этом разделе приведены некоторые обнаруживающие реагенты (от OP-1 до OP-31), применяемые в бумажной и тонкослойной хроматографии. Если реагент пригоден только для какого-либо одного типа хроматографии, то это указывается особо.

A. НЕСПЕЦИФИЧЕСКИЕ ОБНАРУЖИВАЮЩИЕ РЕАГЕНТЫ

OP-1. Бромкрезоловый зеленый или бромтимоловый синий

а. Раствор бромкрезолового зеленого (0,03%) в 80%-ном метаноле. К нему добавляют несколько капель 3%-ного водного раствора гидроксида натрия (8 капель на 100 мл реагента). Кислоты дают желтые пятна на зеленом фоне.

б. Бромтимоловый синий. 1. Смесь бромтимолового синего (50 мг), борной кислоты (1,25 г), 1 н. раствора гидроксида натрия (8 мл) и воды (112 мл); после опрыскивания хроматограммы выдерживают в парах аммиака, обнаруживаемые соединения дают белые пятна на темно-синем фоне. 2. 0,04%-ный раствор бромтимолового синего в 0,01 н. растворе гидроксида натрия.

OP-2. Нитрат серебра

а. Сухую хроматограмму опрыскивают 5%-ным раствором нитрата серебра в 10%-ном водном аммиаке и нагревают в темноте 5 мин при 140°C .

б. Хроматограмму опрыскивают 0,5 н. этанольным раствором гидроксида калия, нагревают 20 мин при 140°C и опрыскивают 1%-ным раствором нитрата серебра в 30%-ной азотной кислоте. После этого хроматограмму рассматривают на свету и при УФ-облучении.

в. 0,1 н. раствор нитрата серебра смешивают с 3 н. раствором аммиака. Иногда целесообразно добавить также некоторое количество 2 н. раствора гидроксида натрия. Этим реагентом опрыскивают хроматограмму и сушат

е 5—10 мин при 105 °C. При этом образуются темно-коричневые пятна на светло-коричневом фоне. Окраску фона можно ослабить, промывая хроматограмму 6 л. раствором аммиака или раствором тиосульфата. Регент пригоден для БХ.

г. 0,1 мл насыщенного водного раствора нитрата серебра смешивают с 20 мл ацетона и затем по каплям добавляют воду, пока раствор снова не поспеет. Хроматограмму погружают в этот раствор, затем подвещивают на час в камере, атмосфера которой насыщенаарами аммиака. После этого хроматограмму сушат 5—7 мин при 80 °C и фиксируют пятна, промывая хроматограмму последовательно 10%-ным раствором тиосульфата натрия и водой. Этот метод пригоден для количественных определений, поскольку ацетон и пары аммиака препятствуют диффузии сахаров из пятен, и, таким образом, на хроматограмме получаются ясные, четкие пятна. Метод пригоден для БХ. В большинстве случаев окраска пятен от коричневато-серой до черной.

ОР-3. Флуоресцентные реагенты

а. Флуоресцеин: 0,2%-ный этанольный раствор флуоресцеина.

б. Морин: раствор 20 мг морина в 100 мл этанола.

Этим раствором опрыскивают хроматограмму и наблюдают ее при УФ-облучении (лампы Philoga и Chroptolite). Соединения, сильно поглощающие в УФ-области, ослабляют флуоресценцию, другие соединения флуоресцируют сильнее, чем фон.

ОР-4. Фосфомолибденовая кислота

а. 5%-ный метанольный раствор фосфомолибденовой кислоты. Хроматограмму нагревают 10 мин при 80 °C. Обнаруживаемые соединения дают синие пятна на желтом фоне; после дополнительного опрыскивания аммиаком фон обесцвечивается.

б. 20%-ный этанольный раствор фосфомолибденовой кислоты (с последующей обработкой парами аммиака, если это необходимо).

в. 10%-ный раствор фосфомолибденовой кислоты в метаноле или этаноле; чувствительность обнаружения можно увеличить, добавляя концентрированную соляную кислоту (4 мл на 100 мл раствора). Хроматограмму нагревают в течение минуты при 110 °C. Чтобы обнаружить насыщенные липиды, хроматограмму нагревают при 160—180 °C (шлесообразно сначала прокалить хроматограмму и наносить реагент на еще горячую пластику).

ОР-5. Хлорид сурьмы(III)
Насыщенный раствор хлорида сурьмы(III) в хлороформе или тетрахлорметане. После опрыскивания хроматограмму нагревают при 110 °C, пока не появятся окрашенные пятна. При обнаружении стероидов можно улучшить чувствительность, добавляя к раствору 10—20% тринилхлорида или 5% уксусного анидрида.

ОР-6. Иод

а. Хроматограмму помешают в закрытую камеру, на дно которой насыпан тонкий слой кристаллов иода. Можно также выпаривать спиртовый или ацетоновый раствор иода, нанесенный на стеклянную пластинку. Затем эту пластинку с тонким слоем мельчайших кристалликов иода держат влитую над хроматограммой.

б. 1%-ный раствор иода в этаноле (или метаноле) или 0,5%-ный раствор иода в хлороформе.

После опрыскивания можно прогреть хроматограмму при 60 °C и рассматривать ее при УФ-облучении.

в. Раствор I: растворяют 1 г иода и 1 г иодила калия в 100 мл этанола. Раствор II: смесь 25%-ной соляной кислоты и этанола (1:1). Перед употреблением растворы I и II смешивают в соотношении 1:1.

г. Раствор Лютоля: 0,3%-ный раствор иода в 5%-ном водном растворе иодида калия. Появляются коричневые или, как исключение, синие пятна на желтом фоне.

ОР-7. Серная кислота

Хроматограммы опрыскивают 96%-ной серной кислотой. Нагревают при 100 °C или на открытом пламени. Органические соединения при этом обугливаются. Некоторые соединения дают окрашенные пятна сразу после опрыскивания или после умеренного нагревания. Это универсальный способ обнаружения на слоях силикагеля и оксида алюминия (без некоторых органических связующих).

ОР-8. Серная кислота и хромовая кислота

а. 2,67 г триоксида хрома и 2,3 мл концентрированной серной кислоты тщательно размешивают в 100 мл воды. Полученным раствором хроматограмму опрыскивают и нагревают ее 15 мин при 100 °C.

б. 5 г бихромата калия растворяют в 100 мл 40%-ной серной кислоты.

в. Насыщенный раствор бихромата калия в концентрированной серной кислоте. Ненасыщенные липиды образывают светло-коричневые пятна сразу при опрыскивании, насыщенные — после нагревания.

ОП-9. Серная кислота с ванилином

- а. Раствор 3 г ванилина в 100 мл этанола обрабатывают 3 мл концентрированной серной кислоты. Опрыскиванием хроматограмму нагревают 7 мин при 110 °С.
- б. 1%-ный раствор ванилина в концентрированной серной кислоте.

в. 20%-ный этанольный раствор ванилина. Опрыскивают этим раствором хроматограмму нагревают 10 мин при 80 °С, после чего опрыскивают 4 н. серной кислотой и нагревают 30 мин при 110 °С. В результате получается окрашенные пятна.

ОП-10. Перманганат калия

- а. 0,1 н. раствор перманганата калия подкисляют серной кислотой до получения раствора с концентрацией серной кислоты не более 0,3 н.
- б. 0,03—0,15 н. раствор перманганата калия в 2%-ном растворе карбоната натрия. Реагент пригоден для БХ. На фиолетовом фоне появляются пятна с окраской от белой до желтой, а при хроматографии на бумаге или силуфоле они становятся коричневыми.

ОП-11. Родамин В

- а. Раствор 0,5 г родамина В в 100 мл этанола для обнаружения липидов. Образуются темно-фиолетовые пятна на розово-красном фоне.
- б. Раствор I: 0,5%-ный этанольный раствор родамина В; раствор II: 10%-ный водный раствор карбоната натрия. Хроматограмму со слоем содержащего флуоресцентный индикатор силикагеля опрыскивают раствором I, сушат и вновь опрыскивают, но уже раствором II. в. 1—5%-ный спиртовой раствор родамина В. Пластинку опрыскивают последовательно этим раствором, концентрированным раствором амиака и раствором гидроксида натрия или аммиачным раствором нитрата серебра.
- г. 0,2%-ный водный раствор родамина В. Хроматограмму рассматривают при УФ-облучении.

д. 0,05%-ный водный раствор родамина В. После опрыскивания этим реагентом пластинку опрыскивают 10 н. раствором гидроксида калия. Исследуемые соединения обнаруживаются на красном или фиолетовом фоне в виде светлых пятен, которые лучше видны с обратной (свободной от сорбента) стороны пластиинки. Этот способ применяется для обнаружения главным образом на слизи, пропитанных парафиновым маслом.

в. 0,2%-ный этанольный раствор никгидрина.

ТОНКОСЛОЙНАЯ ХРОМАТОГРАФИЯ

е. 0,5%-ный раствор родамина В. Хроматограмму подгружают в раствор и просушивают. На красном фоне появляются более светлые пятна. Реагент для БХ.

Б. ГРУППОВЫЕ ОБНАРУЖИВАЮЩИЕ РЕАГЕНТЫ СПИРТЫ

Для обнаружения многоатомных спиртов и гликолей используют тетраацетат свинца (см. гл. 3). Образуются светлые пятна на коричневом фоне.

АЛКАЛОИДЫ

- ОП-12. Раецент Драгендорфа
- а. Модификация Мунье. Раствор I: в 800 мл воды растворяют 17 г основного нитрата висмута и 200 г винной кислоты. Раствор II: в 400 мл воды растворяют 160 г иодила калия. Растворы смешивают и 50 мл этой смеси разбавляют раствором 100 г винной кислоты в 500 мл воды. Исходный раствор остается устойчивым в течение нескольких месяцев, а разбавленный раствор — в течение нескольких недель.
- б. Модифицированный реагент Драгендорфа. Раствор I: 1,7 г основного нитрата висмута в 100 мл 20%-ной уксусной кислоты. Раствор II: 40 г иодила калия в 100 мл воды. Перед употреблением 20 мл раствора I смешивают с 5 мл раствора II и 70 мл воды.
- в. Раствор I: 0,850 г основного нитрата висмута в 50 мл 20%-ной уксусной кислоты. Раствор II: 8 г иодила калия в 20 мл воды. Смешивая эти растворы, получают исходный раствор, который остается устойчивым в течение нескольких месяцев. Перед употреблением его разбавляют двумя частями уксусной кислоты и 10 частями воды. Реагент пригоден для БХ. Образуются кирпично-красные пятна на желтом фоне.

АМИНОКИСЛОТЫ, АЛИФАТИЧЕСКИЕ И АРОМАТИЧЕСКИЕ АМИНЫ**ОП-13. Нингидрин**

- а. 0,1 г никгидрина растворяют в 40 мл абсолютного этанола и 10 мл ледяной уксусной кислоты.
- б. 0,2%-ный раствор никгидрина в 95 мл *н*-бутанола и 5 мл 10%-ной уксусной кислоты. Хроматограмму нагревают 20 мин при 105 °С. Исследуемые соединения обнаруживаются в виде темно-фиолетовых пятен.
- в. 0,2%-ный этанольный раствор никгидрина.

г. 0,2%-ный раствор нингидрина в ацетоне. Пригоден для БХ. Хроматограмму погружают в раствор, после чего сушат 5 мин в токе влажного воздуха, а затем выдерживают в комнате, в атмосфере которой не содержатся паров аммиака. Аминокислоты обнаруживаются в виде сине-фиолетовых пятен после нескольких часов выдерживания, пептиды обнаруживаются только на следующие сутки.

ОР-14. Нитропруссид натрия

а. 5 г нитропруссида натрия растворяют в 100 мл 100%-ного водного раствора уксусного альдегида. Реагент смешивают с 2%-ным водным раствором карбоната натрия в соотношении 1 : 1.

б. Хроматограмму опрыскивают раствором 1 г нитропруссида натрия в смеси 4 мл уксусного альдегида и 21 мл воды; дают ей подсохнуть, но не полностью и после этого опрыскивают 10%-ным раствором карбоната натрия. Реагент пригоден для БХ.

ОР-15. n-Диметиламинобензальдегид (реагент Эрлиха)

а. 1%-ный этанольный раствор *n*-диметиламинобензальдегида. После опрыскивания хроматограмму выдерживают 3—5 мин в парах хлорила водорода.

б. 1 г *n*-диметиламинобензальдегида растворяют в 50 мл концентрированной соляной кислоты и полученный раствор смешивают с 50 мл этианола. Хроматограммы, элюированные кислотными системами, через 2—5 мин после извлечения из камеры опрыскивают до тех пор, пока слой не станет прозрачным. Хроматограммы, элюированные щелочными системами, нагревают 5 мин при 50 °C, затем опрыскивают этим реагентом и выдерживают в парах царской водки [смесь (3 : 1) концентрированных соляной и азотной кислот].

в. 0,25 г *n*-диметиламинобензальдегида растворяют в смеси 50 г уксусной кислоты, 5 г 85%-ной фосфорной кислоты и 20 мл воды. Раствор можно хранить до мес- сяца в склянке из коричневого стекла. При опрыскивании получают пятна разных цветов.

САХАРА

ОР-16. Нафтоторезорцин

а. 100 мл 0,2%-ного спиртового раствора нафтоторезорцина смешивают с 10 мл фосфорной кислоты. Опрыскиванную хроматограмму нагревают 5—10 мин при 105 °C.

б. 0,2%-ной этанольный раствор нафтоторезорцина смешивают в соотношении 1 : 1 с 20%-ной серной кислотой.

Опрысканную хроматограмму нагревают 5—10 мин при 105 °C.

в. Смесь раствора 0,2 г нафтоторезорцина в 100 мл этианола с 20%-ной трихлоруксусной кислотой (1 : 1). При разделении кетонов хроматограммы выдерживают 5—10 мин при 105 °C, а при разделении уроновых кислот — 10—15 мин во влажной атмосфере при 70—80 °C.

г. 0,2%-ный раствор нафтоторезорцина в ацетоне смешивают непосредственно перед опрыскиванием с 2 н. фосфорной кислотой в соотношении 5 : 1. Опрысканную хроматограмму выдерживают при 90 °C. Реагент пригоден для БХ. Образуются окрашенные пятна.

ОР-17. Бифталат анилина

0,93 г анилина и 1,66 г фталевой кислоты растворяют в 100 мл насыщенного водой *n*-бутанола. Хроматограмму нагревают несколько минут при 105 °C, затем рассматривают при УФ-облучении. Образуются пятна с окраской от красной до коричневой.

ОР-18. Иодная кислота

а. 0,5%-ный раствор периода натрия. После опрыскивания этим реагентом хроматограмму опрыскивают смесью 0,5 г бензидина, 20 мл уксусной кислоты и 80 мл абсолютного этианола.

б. Сначала опрыскивают хроматограмму 0,1%-ным водным раствором метапериодата натрия, дают ей подсохнуть в течение нескольких минут, затем все еще влажную хроматограмму опрыскивают раствором бензидина (2,8 г бензидина в смеси 80 мл 96%-ного этианола, 70 мл воды, 30 мл ацетона и 1,5 мл 1 н. соляной кислоты). В процессе обнаружения происходит расщепление сахарной цепи, а бензидин позволяет обнаружить непрореагировавший реагент. Получаются белые пятна на синем фоне. Реагент пригоден для БХ.

в. Хроматограмму опрыскивают сначала 0,05 н. раствором периода натрия в 0,05 н. серной кислоте, через 15 мин смесь этиленгликоля, ацетона и концентрированной серной кислоты (50 : 50 : 0,3), а еще через 10 мин 6%-ным водным раствором 2-тиобарбитуата натрия и нагревают 5 мин при 100 °C.

г. Хроматограмму опрыскивают 2%-ным раствором перидата натрия и сушат 7 мин в атмосфере азота при 60 °C. После этого помещают в атмосферу SO_2 и опрыскивают раствором 1 г розанилина в 50 мл воды, который предварительно обесцвечивают SO_2 и объем которого доводят до литра. В течение 3—24 ч обнаружива-

ются все сахара, а также все соединения, содержащие винильную диольную группу. Образуются белые пятна на красном фоне. Метод пригоден для БХ.

ФЕНОЛЫ

ОР-19. Диазотированный *n*-нитроанилин

а. 5 мл 0,5%-ного раствора *n*-нитроанилина в 2 н. соляной кислоте смешивают с 6,5 мл 5%-ного раствора нитрита натрия, охлаждают и разбавляют 15 мл 20%-ного раствора ацетата натрия.

б. Хроматограмму опрыскивают 0,5 н. раствором гидроксида калия, 15 мин нагревают при 60 °С и опрыскивают смесью раствора 0,8 г *n*-нитроанилина в 20 мл 25%-ной соляной кислоты и 250 мл воды, к которой добавляют 5%-ный раствор нитрита натрия в количестве, достаточном для обесцвечивания.

в. Насыщенный раствор *n*-нитроанилина в 0,13 н. соляной кислоте смешивают с таким же объемом 1%-ного раствора нитрита натрия и добавляют 5%-ный раствор мочевины. Через несколько минут разбавляют раствор 7 частями водой. Появляются пятна с окраской от желтой до оранжевой. Реагент пригоден для БХ.

ОР-20. Диазотированная сульфаниловая кислота (реагент Паули)

а. 25 г сульфаниловой кислоты растворяют в 125 мл 10%-ного водного раствора гидроксида калия, охлаждают и смешивают со 100 мл 10%-ного раствора нитрита натрия. Реакционную смесь добавляют по каплям к помещенной в баню со льдом соляной кислоте (40 мл соляной кислоты с уд. массой 1,19, разбавленной 20 мл воды). Диазониевую соль отфильтровывают при отсывании, промывают водой, этианолом и эфиром и сушат на воздухе. Соль следует хранить только в ходильнике. Для обнаружения применяют раствор 0,1 г диазониевой соли в 20 мл 10%-ного водного раствора карбоната натрия.

б. 1%-ный раствор сульфаниловой кислоты в 4%-ной соляной кислоте смешивают с 4,5%-ным раствором нитрата натрия и после непродолжительного отстаивания добавляют такой же объем 10%-ного раствора карбоната натрия. Все растворы должны быть свежеприготовленными. Получаются окрашенные пятна. Реагент пригоден для БХ.

ОР-21. Хлорид железа (III) — феррицианид калия

1,5%-ный раствор хлорида железа (III) смешивают в

соотношении 1:1 с 1%-ным раствором феррицианида калия. Реагент образует синие пятна, устойчив в течение 5 мин.

СОЕДИНЕНИЯ ФОСФОРА

ОР-22. Молибдат аммония

Хроматограмму опрыскивают смесью 3 г молибдата аммония, 50 мл воды, 5 мл 6 н. соляной и 13 мл 70%-ной хлорной кислот и нагревают 10 мин при 80 °С. Исследуемые соединения обнаруживаются в виде сине-черных пятен на белом фоне.

ГЕТЕРОЦИКЛИЧЕСКИЕ СОЕДИНЕНИЯ

ОР-23. *n*-Аминобензойная кислота — цианхлорид

Раствор 2 г *n*-аминобензойной кислоты в 75 мл 0,75 н. соляной кислоты разбавляют этанолом до объема 100 мл. После опрыскивания хроматограмму выдерживают 6 мин в парах цианхлорида в закрытой камере, помещенной под вытяжным колпаком. Цианхлорид приготовляют, смешивая хлорамин с 20 мл 1 н. соляной кислоты и 10 мл 10%-ного раствора шианида калия. Производные пиридина и другие гетероциклические соединения окрашиваются в красный цвет.

ОР-24. Хлорид железа (III) — хлорная кислота (реагент Сальковского)

Смесь одной части 0,05 М раствора хлорида железа (III) и 50 частей 5%-ной хлорной кислоты. Иногда можно использовать более концентрированную хлорную кислоту. Реагент образует окрашенные пятна. Пригоден также для БХ.

ОР-25. Формальдегид — соляная кислота (реагент Прохазки)

Смесь одной части 35—40%-ного формальдегида, одной части концентрированной соляной кислоты и двух частей воды, после опрыскивания хроматограмму нагревают до полного высушивания. Реагент пригоден для БХ. Образуются пятна с окраской от желтой до коричневой. При более продолжительном нагревании бумага темнеет (обугливается). При использовании для ТСХ можно заменить воду на этианол и обработать высушенные хроматограммы парами азотной кислоты, повышая таким образом чувствительность обнаружения.

НИТРОСОЕДИНЕНИЯ

ОР-26. Хлорид олова (II)

Хроматограмму опрыскивают смесью 3 мл 15%-ного раствора хлорида олова, 15 мл концентрированной со-

ловой кислоты и 180 мл воды. После просушивания обработавшиеся амины можно обнаружить реагентом ОР-15.

ОГРАНИЧЕСКИЕ КИСЛОТЫ

См. ОР-1.

КАРБОНИЛЬНЫЕ СОЕДИНЕНИЯ

ОР-27. 2,4-Динитрофенилидразин

150 мг 2,4-динитрофенилидразина растворяют в 35 мл воды и добавляют к раствору 22 мл концентрированной соляной кислоты. Соединения, содержащие свободную карбонильную группу, дают пятна с окраской от желтой до оранжево-красной на светло-желтом фоне. В этих же целях можно применять раствор 50 мг 2,4-динитрофенилидразина в смеси 10 мл метанола и 1—2 мл концентрированной соляной кислоты.

СЕРУСОДЕРЖАЩИЕ СОЕДИНЕНИЯ

См. ОР-2.

ОР-28. Иодно-азидный реагент
Этот реагент получают смешивая 1,5 г азила натрия и 50 мл этанола с 50 мл 0,1 н. водного раствора иода, к которому добавляют иодид калия в количестве, необходимом для растворения иода. Реагент, попавший при опрыскивании хроматограммы на пятна серусодержащих соединений, обесцвечивается. Можно добиться увеличения чувствительности, дополнительно опрыскивая хроматограмму раствором крахмала. Реагент пригоден для БХ.

СТЕРОИДЫ

См. ОР-4, ОР-6, ОР-7.

ОР-29. *Д*-Динитробензол (реагент Циммермана)

2%-ный раствор *Д*-динитробензола в абсолютном этаноле; после опрыскивания этим раствором и высушивания хроматограмму опрыскивают 2,5 М раствором гидроксида калия и сушат при 70—100 °C, пока не появятся красно-фиолетовые пятна. Реагент пригоден для БХ.

ОР-30. Тетразолиевый синий

Одну часть 0,1%-ного раствора тетразолиевого синего разбавляют 9 частями 2М раствора гидроксида натрия.

ТЕРПЕНЫ

См. ОР-4, ОР-5.

ОР-31. Анисовый альдегид — серная кислота

а. Смесь уксусной кислоты, анисового альдегида и концентрированной серной кислоты (97 : 1 : 2). б. Свежеприготовленная смесь 9 мл 95%-ного этанола, 0,5 мл концентрированной серной кислоты и 0,5 мл анилового альдегида. После опрыскивания хроматограмму нагревают 5—10 мин при 90—100 °C. Окраска пятен различна.

СПИСОК ИНОСТРАННЫХ ФИРМ, ВЫПУСКАЮЩИХ ХРОМАТОГРАФЫ

Analabs Inc., 80 Republic Drive, North Haven, Connecticut 06473, USA.

Analtech Inc., 75 Blue Hen Dr., Newark, Delaware 19711, USA.

Applied Science Laboratories Inc., P. O. Box 440, State College, Pennsylvania 16801, USA.

Bio-Rad Laboratories, Richmond, California 94804, USA.

CAMAG AG, 4132 Muttenz, Homberger Str. 24, Switzerland.

Chinoin, Nagytétény; representative: Medintex, Budapest, Hungary.

Desaga C. GmbH, 6900 Heidelberg, Mass. Str. 26—28, BRD.

Eastman Kodak Company, 343 State Str., Rochester, New York 14650, USA.

Fluks AG, 9470 Buchs, Switzerland.

Gelman Instrument Co., 600 South Wagner Road, Ann Arbor, Michigan 48106, USA.

Kavalier, n. p. Sázava, factory Votice; representative: Chemapol, Kodaňská 46, 100 10 Prague 10, Chechoslovakia.

Kodak-Pahé, Vincennes, Paris, France.

Kontes Glass Co., Spruce St., Vineland, New Jersey 08360, USA.

Macherey, Nagel und Co., Werkstrasse 6—8, 5160, Düren, BRD.

Mallinckrodt Chem. Works, 2nd and Mallinckrodt Str., St. Louis, Minnesota 63147, USA.

E. Merck AG, Frankfurter Str. 250, 6100 Darmstadt, BRD.

Pharmacia Fine Chemicals AB, 751 24, Uppsala, Box 604, Sweden.

Тетразолиевый синий представляет собой хлорил 2,2-*n*-(ди-*O*-метокси)дифенилен-3,3',5'-тетрафенилди-тетразолия. Реагент пригоден для БХ. Восстановливающие стероиды (и вообще восстанавливающие соединения) быстро окрашиваются в цвета от синего до фиолетового. Для ТСХ при обнаружении на пластинах со слоями силикагеля используют в 10—20 раз большие концентрации тетразолиевого синего и втрое большие концентрации гидроксида натрия, а воду можно заменить на меганол. Интенсивность окраски пятен на пластинах слабее, чем на бумаге.

* Более подробный список публикуется в J. Chromatogr. Sci. под заголовком «International Guide»; см., например, [1].

ТОНКОСЛОЙНАЯ ХРОМАТОГРАФИЯ

Phase Separation Ltd., Deeside Industrial Estate, Qulensferry, CH 52 LR Flintshire, U. K.
 H. Reeve Angel and Co., 9 Bridewell Place, Clifton, New Jersey 07014 USA.
 Research Specialities Co., 200 S. Garrach Boulevard, Richmond, California,
 USA.
 Serva Entwicklungslabor, 6900 Heidelberg, Römerstr. 118, BRD.
 Shandon Scientific Co., 65 Pound Lane, London, N. W. 10, England.
 Schleicher und Schull GmbH, 3354, Dassel, BRD.
 Supelco Inc., Supelco Park, Belle fonte, Pennsylvania 16823, USA.
 M. Woelm — now INC Pharmaceutical GmbH und Co., 3440, Eschwege, BRD.

ЛИТЕРАТУРА

1. International Chromatography Guide, J. Chromatogr. Sci., **16**, No. 2, G1 (1978).
2. Thin-Layer Gel Filtration with the Pharmacia TLG-Apparatus, Pharmacia Fine Chemicals AB, Uppsala, 1974.
3. Arutani T., Mizu K., Mizu F., J. Chromatogr., **79**, 179 (1973).
4. Ahrens A., Rauhenbusch E., Irion E., Wagner O., Bauer K., Kaufmann W., Z. Physiol. Chem., **351**, 197 (1970).
5. Banaszek A., Kowicki K., Zamyski A., J. Chromatogr., **32**, 581 (1968).
6. Barbier M., Jäger H., Tobias H., Wyss E., Helv. Chim. Acta, **42**, 2440 (1959).
7. Bergy M. E., Eble T. E., Biochemistry, **7**, 653 (1968).
8. Betina V., in «Pharmaceutical Applications of Thin-Layer and Paper Chromatography» (Macek K., Ed.), Elsevier, Amsterdam, 1972, p. 503.
9. Clifford M. N., J. Chromatogr., **94**, 261 (1974).
10. Dévényi T., Hazai I., Ferenczi S., Bálík J., Acta Biophys. Acad. Sci. Hung., **6**, 385 (1971).
11. Хроматография в тонких слоях. Пер. с нем. /Пол. ред. Э. Шкаля.— М.: Мир, 1965.
12. Elander R. P., Gordee R. S., Wilgus R. M., Gale R. M., J. Antibiot., **22**, 176 (1968).
13. Farnsworth N. R., Huijink J. M., J. Chromatogr., **18**, 184 (1965).
14. Fiske R. R., nat. Cllia 352744 (1973).
15. Garner H. R., Packer H., Appl. Spectrosc., **22**, 122 (1967).
16. Geiss F., Die Parameter der Dünnschichtchromatographie, Vieweg, Braunschweig, 1972.
17. Geiss F., J. Chromatogr., **33**, 9 (1968).
18. Hermánek S., in: Chromatografie na tenké vrstvě (Lábler L., Schwarz V., Eds.), Nakladatelství CSAV, Prague, 1965, p. 32.
19. Horhammer L., Wagner H., Macek K., Chromatogr. Rev., **9**, 103 (1967).
20. Haupt P. M., X-Ray Spectrosc., **1** (1), 37 (1972).
21. Hurtubise R. J., Lott P. F., Dias J. R., J. Chromatogr. Sci., **11**, 476 (1973).
22. Ihoh T., Tanaka M., Kaneko H., Lipids, **8**, 259 (1973).
23. Janák J., J. Chromatogr., **78**, 117 (1973).
Полицентрическая хроматография на бумаге и в тонком слое. Пер. с англ./J. Tok H., Kraus L., in: Methodicum Chemicum (Korte F., Ed.), Vol. 1, Thieme Verlag, Stuttgart, 1973, p. 78.
24. Jupileit H., Perry A., Science, **194**, 288 (1976).
25. Kaufman H. P., Mangold H. K., Mukherjee K. D., J. Lipid Res., **12**, 506 (1971).
26. Kirchner J. G., J. Chromatogr., Sci., **11**, 180 (1973).
27. Kraus L., Stahl E., Arzneim. Forsch., **20**, 1814 (1970).
28. Lábler L., Schwarz V. (Eds.), Chromatografie na tenké vrstvě, Nakladatelství CSAV, Praha, 1965, p. 62.
29. Lábler L., Schwarz W. V. (Eds.), Chromatografie na tenké vrstvě, Nakladatelství CSAV, Praha, 1965, p. 82.
30. Langner H. J., Teijer U., J. Chromatogr., **78**, 445 (1973).
31. Lederer M., Polcaro C., J. Chromatogr., **84**, 379 (1973).
32. Lepri L., Desideri P. G., Coas V., J. Chromatogr., **64**, 271 (1972).
33. Litchfield C., Analysis of Triglycerides, Academic Press, New York, 1972, p. 50.
34. Lin Y.-T., Wang K.-T., Yang T.-I., J. Chromatogr., **21**, 158 (1966).
35. Lisboa B., P., in: Pharmaceutical Applications of Thin-Layer and Paper Chromatography (Macek K., Ed.), Elsevier, Amsterdam, 1972, p. 275.
36. Loev B., Goodman M. M., Chem. Ind. (London), **1967**, 2026.
37. Macek K., Ed., «Pharmaceutical Applications of Thin-Layer and Paper Chromatography», Elsevier, Amsterdam, 1972, p. 52.
- 37a. Macek K., Hans M., Kopacký J., Schwarz W., Gasparit J., Churáček J. (Eds.), «Bibliography of Paper and Thin-Layer Chromatography», 1970—1973; «Survey of Applications», J. Chromatogr., Supplementary, Vol. No. 5, 1976.
38. Macek K., Janák J., Deyl Z., Eds., «Current Abstracts», J. Chromatogr., na-примеч. J. Chromatogr., **107**, B-107 (1975).
39. McGivernay J. J., Strickland R. D. J., Pharm. Sci., **56**, 77 (1967).
40. Morris L. J., Nichols B. W., «Progress in Thin-Layer Chromatography and Related Methods» (Niederwieser A., Ed.), Vol. 1, Ann Arbor Science Publ., Ann Arbor, Mich., 1972, p. 74.
41. Mott O., Stránský K., Novotný L., Ubík K., Fette, Seifen, Anstrichm., **79**, 28 (1977).
42. Neher N., in: Thin Layer Chromatography (Marini-Bettolo G. B., Ed.), Elsevier, Amsterdam, 1964, p. 75.
43. Nilsson G. A., Norstrom A., Andersson K., J. Chromatogr., **73**, 270 (1972).
44. Okumura T., Kadono T., Nakatani M., J. Chromatogr., **74**, 73 (1972).
45. Pan S. C., J. Chromatogr., **79**, 251 (1973).
46. Pelech N., Bollíger H. R., Mangold H. K., in: Advances in Chromatography (Giddings J. C., Keller R. A., Eds.), Vol. 3, Dekker, New York, 1966, p. 85.
47. Perry J. A., Haag K. W., Glanz L. J., J. Chromatogr. Sci., **11**, 447 (1973).
48. Pitra J., Štěba J., Chem. Listy, **56**, 544 (1962).
49. Prasad R. S., Gupta A. S., Sukh Dev, J. Chromatogr., **92**, 450 (1974).
50. Prietti O. S., Dougherty K. A., Erdahl W. L., in: Quantitative Thin-Layer Chromatography (Touchstone J. O., Ed.), Wiley, New York, 1973, p. 57.
51. Procházka Z., Starka L., J. Chromatogr., **78**, 149 (1973).
52. Ríbek B. (Ed.), Collection of Instructions for Use of Silufol Sheets, Kavalier Glassworks, Votice, Czechoslovakia, 1973.
53. Ref. [52], p. 14.
54. Radola B. J., J. Chromatogr., **38**, 61 (1968).
- 54a. Rippahen J., Halpap H., J. Chromatogr., **112**, 81 (1975).
55. Rokos J. A. S., J. Chromatogr., **74**, 357 (1972).
56. Scott R. M., Lundeen M., Thin-Layer Chromatography Abstracts 1971—1973, Ann Arbor Science Publ., Ann Arbor, Mich., 1973.
57. Scott R. M., J. Chromatogr. Sci., **11**, 129 (1973).
58. Snyder L. R., J. Chromatogr., **92**, 223 (1974).
59. Snyder L. R., Principles of Adsorption Chromatography, Dekker, New York, 1968.
60. Spitschan R., J. Chromatogr., **61**, 169 (1971).
61. Stahl E., Z. Anal. Chem., **221**, 3 (1966).
62. Illrath Э. (ред.), Хроматография в тонких слоях. Пер. с нем.— М.: Мир, 1965.
63. Idem, ibid., p. 50.
64. Stahl E., Kraus L., Arzneim. Forsch., **19**, 684 (1969).
65. Székely G., J. Chromatogr., **48**, 313 (1970).
66. Tortolani J. G., Colosi M. E., J. Chromatogr., **70**, 182 (1972).

67. Touchstone J. C. (Ed.), Quantitative Thin-Layer Chromatography, Wiley, New York, 1973.
68. Tucker B. V., Houston B. J., J. Chromatogr., **42**, 119 (1969).
69. Ultman M. D., Radin N. S., J. Lipid Res., **13**, 422 (1972).
70. Vique E., Grasas Aceites, **11**, 223 (1960).
71. Viricel M., Gonnet C., Lamotte A., Chromatographia, **7**, 345 (1974).
72. Waldi D., Schnatterz K., Munter F., J. Chromatogr., **6**, 61 (1961).
73. Wessels H., Fette, Seiten, Anstrichm., **75**, 478 (1973).
74. Wiedenhof N., J. Chromatogr., **15**, 100 (1964).
75. Yasuda K., J. Chromatogr., **72**, 413 (1972).
76. Zweig G., Sherma J., Anal. Chem., **50**, 50R (1978).

Р. КОМЕРС

Институт основ химических процессов
Чехословацкой Академии наук, Прага

М. КРЕЙЦИ

Институт аналитической химии
Чехословацкой Академии наук, Брно

Список обозначений

- A* — коэффициент вихревой диффузии (10.16);
B — коэффициент диффузии растворенного вещества в газе-носителе (10.17);
C_l — коэффициент массопереноса в жидкой фазе (10.18);
C_g — коэффициент массопереноса в газовой фазе (10.19);
C⁰_c — стандартная мольная свободная энергия конденсации (10.47);
I — индекс удерживания (10.44);
R_s, *R_{1/2}* — коэффициент разделения;
s — концентрационно-зависимая чувствительность детектора (10.27);
s' — чувствительность детектора, зависящая от массы (10.29);
T_c — абсолютная температура колонки;
T_m — абсолютная температура, измеренная в потоке газа-носителя (10.7);
V_g — объем газа в колонке (10.1);
V_l — удельный объем удерживания (10.8);
V_N — чистый объем удерживания (10.5);
V_R — полный объем удерживания (10.3);
V'_R — исправленный объем удерживания (10.3);
Y_t — ширина хроматографического пика на уровне нулевой линии, измеренная в единицах времени (10.11) (определяется как отрезок, оспекаемый на нулевой линии касательными к сторонам пика в точках перегиба);
r^TV_N — объем удерживания, исправленный с учетом давления и температуры (10.7);

$r_{1,2}$ — отношение удерживания (относительная летучесть) (10.23, 10.24);

n_{ef} — эффективное число теоретических тарелок (10.14);

w_s — масса неподвижной фазы (10.8);

k_A — константа адсорбционного равновесия (10.53);

γ — коэффициент замедления (10.17);

γ_0 — коэффициент активности (10.34);

ΔG_E^0 — парциальная мольная свободная энергия Гиббса (10.36, 10.39, 10.31);

ΔG_s^0 — стандартная свободная энергия адсорбции (10.35).

10.1. ВВЕДЕНИЕ

10.1.1. ОТКРЫТИЕ ГАЗОВОЙ ХРОМАТОГРАФИИ

Описанный Цветом [85] в 1906 г новый метод разделения не был оценен по достоинству и привлек внимание химиков лишь 25 лет спустя, когда Кун, Винтерштейн и Ледерер [51] вновь открыли его. В 1941 г. Мартин и Синдж [58] опубликовали статью с описанием нового аналитического метода — жидкожидкостной хроматографии. Это открытие было настолько важным и оказалось такое влияние на развитие химического анализа, что авторы его впоследствии были удостоены Нобелевской премии. Мартин и Синдж всегда полагали, что в качестве подвижной фазы в предложенном ими методе можно использовать жидкость и газы, однако осуществить эту идею удалось далеко не сразу; лишь 10 лет спустя Мартин и Джеймс доказали справедливость этого предположения и разработали основы исключительно эффективного практического универсального аналитического метода. Они продемонстрировали преимущество нового метода на примере разделения летучих жирных кислот и показали, что вследствие низкой вязкости газа по сравнению с вязкостью жидкой подвижной фазы и во много раз более быстрой диффузии в газовой фазе разделение с применением газа-носителя проходит значительно быстрее, и поэтому такой метод более удобен для рутинных анализов. Почти одновременно Янак [41] опубликовал работу, посвященную разделению углеводородов методом газо-адсорбционной хроматографии.

10.1.2. ОСНОВЫ ТЕОРИИ ГАЗОВОЙ ХРОМАТОГРАФИИ

Мы не ставим себе задачей изложить в данном разделе общую теорию хроматографии, этому вопросу посвящена гл. 2 данной монографии. Наша цель — обсудить основные соотношения газовой хроматографии и рассмотреть возможность их применения в хроматографической практике. Как и все типы

хроматографии, газовая хроматография является методом разделения, в котором анализируемые соединения разделяются между двумя фазами: неподвижной и подвижной. Подвижной фазой всегда служит газ, неподвижной фазой — чаще всего жидкость, нанесенная на неподвижную инертную подложку, или поверхностью-активный адсорбент. Иногда эти материалы называют как адсорбцию, так и растворение. В соответствии с различными методиками различают фронтальную, вытеснительную и проявительную газовую хроматографию (см. разд. 1.3). Сегодня термин «газовая хроматография» в основном означает проявительную хроматографию. Абсолютное большинство исследований проводится по этому принципу. В соответствии с методикой хроматографии небольшой объем анализируемой смеси вводят в колонку одной порции. Отдельные компоненты ведут в таких условиях, чтобы форма пиков компонентов, регистрируемых самописцем по сигналу детектора, была как можно ближе к гауссовой кривой и чтобы ширина пиков была как можно меньше.

Газохроматографические системы в соответствии с типом используемых неподвижных фаз подразделяются на газо-жидкостные и газо-твердофазные. В газо-жидкостных системах энталпия растворения является основным фактором, определяющим удерживание компонента в колонке, в газо-адсорбционных системах таким фактором является энталпия адсорбции. Фазовое равновесие в данных системах описывается изотермой сорбции (адсорбции или растворения). Для приготовления высокоэффективных колонок выбор хроматографической системы должен проводиться с учетом требований линейности изотерм адсорбции. Использование нелинейных изотерм вызывает искажение формы пиков (рис. 10.1), что приводит к ухудшению разделения (уменьшение эффективности колонки) и более сложному количественному представлению хроматограмм (часть пиков остается неразрешенными).

Поскольку задача хроматографии — разделение веществ, хроматографисты-теоретики изучают в первую очередь те факторы и явления, которые непосредственно воздействуют на эффективность процесса. Эффективность разделения прежде всего зависит от скорости миграции молекул исследуемого соединения через колонку, которая в свою очередь зависит от расположения компонента между неподвижной и подвижной фазами, т. е. от наклона изотермы или константы распределения. Такое же большое внимание уделяется и размыванию хроматографических пиков, вызываемому неравномерностью распределения вещества между неподвижной и подвижной фазами, диффузий в газовой фазе и т. д. Основным количественным выраже-

жением первого явления служит время удерживания t_R (также называемым временем элюирования) (с, мин) или объем удерживания V_R (мл). Основным количественным выражением второго явления служит число теоретических тарелок n (безразмерная величина) или высота, эквивалентная теоретической тарелке, H (мм).

Изотерма
Хроматограмма

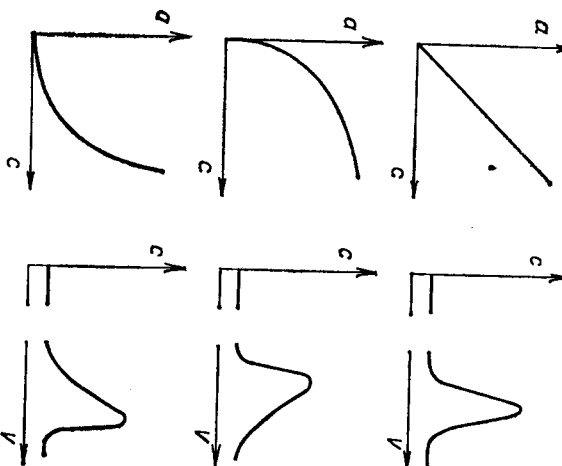


Рис. 10.1. Зависимость формы хроматографических пиков от вида изотерм адсорбции.
Концентрация компонента: a — в неподвижной фазе; c — в подвижной фазе; v — объем газа-носителя.

ОСНОВНЫЕ СООТНОШЕНИЯ, ХАРАКТЕРИЗУЮЩИЕ УДЕРЖИВАНИЕ

Как уже отмечалось ранее, если в колонку введено достаточно мало количества анализируемого вещества и если процесс происходит в линейной области изотермы адсорбции, форма концентрационных пиков, детектируемых на выходе из колонки, близка к форме гауссовой кривой распределения ошибок. Время от момента ввода пробы в колонку до момента регистрации максимума пика называется временем удерживания, или временем элюирования t_R . При оптимальных условиях оно не зависит от количества введенной пробы и определяется только констан-

той распределения K_D , которая представляет собой отношение массы вещества, растворенного в 1 мл неподвижной фазы, к массе вещества, растворенного в 1 мл подвижной фазы.

$$k = K_D \frac{V_L}{V_G} = \frac{\text{Количество вещества в неподвижной фазе}}{\text{Количество вещества в подвижной фазе}}, \quad (10.1)$$

где k — фактор емкости [см. уравнение (10.9)], V_L — объем неподвижной жидкой фазы в колонке, V_G — объем газа в колон-

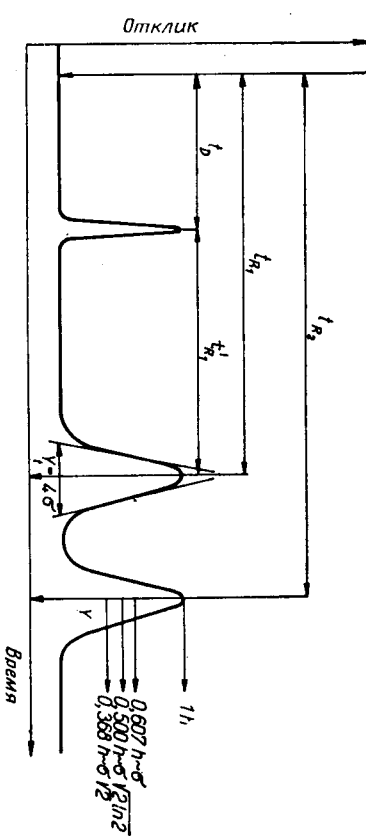


Рис. 10.2. Пример хроматограммы.

t_d — мертвое время удерживания; t_R — время удерживания; t'_R — исправленное время удерживания; индексы 1 и 2 соответствуют первому и второму анализируемым компонентам; Y_i — ширина пика на нулевой линии; σ — стандартное отклонение. Ширина пика Y выражается стандартным отклонением в зависимости от относительной высоты пика h , на которой она измерена.

К. Если компонент смеси не собирается, $k=K_D=0$. Время удерживания такого компонента называют мертвым временем удерживания t_M ; оно пропорционально длине хроматографической колонки L (см) и обратно пропорционально средней скорости потока газа-носителя u ($\text{см}/\text{с}$):

$$t_M = L/u \quad (10.2)$$

где u задается $u_0 j$, u_0 — линейная скорость потока на выходе из колонки и j — поправочный коэффициент, учитывающий перепад давления в колонке [см. уравнение (10.4)]. Следовательно, время удерживания — это интервал между моментом ввода вещества в колонку и моментом появления максимума пика, отмеченного детектором. На практике этот интервал всегда измеряют по хроматограмме (рис. 10.2). Поскольку скорость перемещения ленты, на которой записывается хроматограмма, известна, измерив на хроматограмме расстояние между точкой ввода пробы и максимумом пика (X см), легко рассчитать время удерживания по формуле $t_R=X/v$.

Однако чаще пользуются не временем удерживания, а объемом удерживания, который рассчитывают по времени удерживания и измеренной на выходе объемной скорости потока газа-носителя F_m ($\text{см}^3/\text{с}$): $V_R = t_R F_m$. Объем удерживания складывается из мертвого объема колонки и собственно объема удерживаемого вещества в колонке, поэтому исправленный объем удерживания определяется как

$$V'_R = V_R - V_M \quad (10.3)$$

До сих пор мы не принимали во внимание сжимаемость газоносителя, между тем сжимаемость газа приводит к увеличению объема газа и скорости его потока. Поэтому при определении действительного объема удерживания в расчетную формулу вводят поправочный коэффициент

$$j = [3(p_i/p_0)^2 - 1]/[2(p_i/p_0)^3 - 1] \quad (10.4)$$

т. е. действительный объем удерживания

$$V_N = jV'_R. \quad (10.5)$$

Действительный объем удерживания связан с коэффициентом распределения следующим соотношением:

$$V_N = K_D V_L \quad (10.6)$$

(Объем удерживания, пересчитанный для атмосферного давления и рабочей температуры, называют исправленным объемом удерживания $r^T V_N$; он дается соотношением

$$r^T V_N = jV'_R (p_0 T_c / 760 T_m) \quad (10.7)$$

где T_c — температура колонки и T_m — температура, при которой измеряется скорость газа-носителя (и та и другая температура измеряется в кельвинах).

Удельный объем удерживания V_g — это объем удерживания, отнесенный к единице массы неподвижной фазы (газо-жидкостная система) или к единице площади поверхности адсорбента S (газо-адсорбционная система). Удельный объем удерживания чаще всего используют в количественном анализе (см. разд. 10.4.2), его определяют как

$$V_g = [j(t_R - t_m) F_m / w_s] (273/T_c) \quad (10.8)$$

где F_m — скорость потока газа-носителя, измеренная на выходе из колонки ($\text{мл}/\text{с}$), w_s — масса неподвижной жидкой фазы (г), T_c — температура колонки (К). Удельный объем удерживания не зависит от типа используемой аппаратуры.

В адсорбционной хроматографии удельный объем удерживания определяют с помощью этого же уравнения, но массу не-

подвижной жидкой фазы w_s заменяют на удельную поверхность адсорбента S ($\text{м}^2/\text{г}$).

В выражение для определения фактора емкости k [уравнение (10.1)] вводят величины объемов удерживания, которые можно заменить на время удерживания. Преимущество такого выражения основано на простоте экспериментального определения фактора емкости, который является отношением чистого объема удерживания (или времени) к мертвому объему (или времени):

$$k = (t_R - t_m)/t_m \quad (10.9)$$

Можно также ввести соотношение между временем удерживания, длиной колонки L (см), линейной скоростью подвижной фазы u ($\text{см}/\text{с}$) и фактором емкости:

$$t_R = (L/u)(1 + k) \quad (10.10)$$

Данные выше соотношения описывают фазовое равновесие в хроматографической колонке. Для одних и тех же соединений и одной и той же неподвижной фазы (в большинстве случаев газ-носитель не влияет на характеристики удерживания) при заданных условиях (температура, давление) константу распределения можно рассчитать исходя из хроматографических данных, а если известна константа распределения, то для выбранной системы можно также рассчитать параметры удерживания. Удерживание одного компонента изучается лишь в исключительных случаях. Обычно необходимо выбрать подходящую хроматографическую систему и неподвижную fazu для анализа смеси нескольких соединений. При этом количественной мерой достигнутого разделения служит разрешение кривых удерживания для двух наиболее трудно разделяемых соединений 1 и 2.

Разрешение $R_{1,2}$ определяется следующим соотношением:

$$R_{1,2} = 2(t_{R,2} - t_{R,1})(Y_{t,1} + Y_{t,2}) \quad (10.11)$$

где Y — ширина хроматографического пика, или расстояние между точками пересечения касательной к хроматографическому пику в точках перегиба (рис. 10.2); индекс t указывает, что размерность Y — время. Ширину пика (в миллиметрах) можно измерить непосредственно на хроматограмме, но при этом необходимо также по хроматограмме определить интервалы удерживания и использовать их вместо времен удерживания.

В газовой хроматографии наблюдается, что для близко расположенных друг к другу пиков $Y_1 = Y_2$, а для пиков гауссовой формы $Y = 4\sigma$ (рис. 10.2), где σ — стандартное отклонение.

В этом случае уравнение (10.11) принимает такой вид:

$$R_{1,2} = (t_{R,2} - t_{R,1})/4\sigma \quad (10.12)$$

Разрешение $R_{1,2}=1$ называют 4σ-разрешением; наблюдаемое при этом перекрывание пиков составляет всего примерно 2%. Удовлетворительное разрешение достигается и при $R_{1,2}=1,5$, но $R_{1,2}\leqslant 0,8$ обычно неприемлемы. Итак, увеличение $R_{1,2}$ приводит к улучшению разделения. Добиться этого на практике можно двумя путями. Во-первых, увеличить разность времен удерживания. Эта разность увеличится, если понизить температуру колонки, но такое понижение температуры всегда сопровождается расширением пиков, то же самое происходит и при использовании колонок большей длины. Однако разность времен удерживания пропорциональна длине колонок, тогда как размытие зон пропорционально корню квадратному из длины колонки. Обычно увеличение длины колонки приводит к улучшению разделения. Следовательно, необходимо оптимизировать каждую систему таким образом, чтобы добиться минимального размывания хроматографических пиков при максимальном увеличении разности объемов удерживания, а для этого необходимо знать причины, вызывающие размытие пиков, и соотношения между размыванием пиков и разрешением.

РАЗМЫВАНИЕ ХРОМАТОГРАФИЧЕСКИХ ЗОН

Теория размывания хроматографических пиков, основы которой заложены ван Деемтером и сотр. [86] и Клинкенбергом и сотр. [44], коротко рассматривались нами в гл. 2. В этом разделе мы перечислим причины неидеальности хроматографического процесса, приведем ряд соотношений, позволяющих проводить количественные расчеты, а также дадим некоторые практические рекомендации, позволяющие избежать размывания пиков.

Одним из основных параметров, характеризующих размывание пиков, является число теоретических тарелок n , которое пропорционально квадрату отношения времени удерживания к ширине пика. Для расчета n чаще всего используется соотношение

$$n = 16(t_R/Y_t)^2 = (t_R/\sigma_t)^2 \quad (10.13)$$

если ширина пика измерена на уровне нулевой линии (см. рис. 10.2), или

$$n = 5,545(t_R/Y_{t,h/2})^2 \quad (10.13a)$$

если ширина пика измерена на его полувысоте. Обычно ширину пика можно измерять на любой высоте, так как соотношение

между высотой и шириной пика формы гауссовой кривой известно.

Иногда удобнее пользоваться параметром n_{ef} — число эффективных теоретических тарелок

$$n_{ef} = [k/(1+k)]^2 n = 16 [(t_R - t_M)/Y_t]^2 = (t'_R/\sigma_t)^2 \quad (10.14)$$

Ширина пика, отнесенная к единице длины колонки, определяется высоту, эквивалентную теоретической тарелке, H :

$$H = \sigma^2_L/L = L/n \quad (10.15)$$

где L — длина колонки и σ_L — стандартное отклонение пика в единицах длины. Пытаясь добиться оптимального разрешения

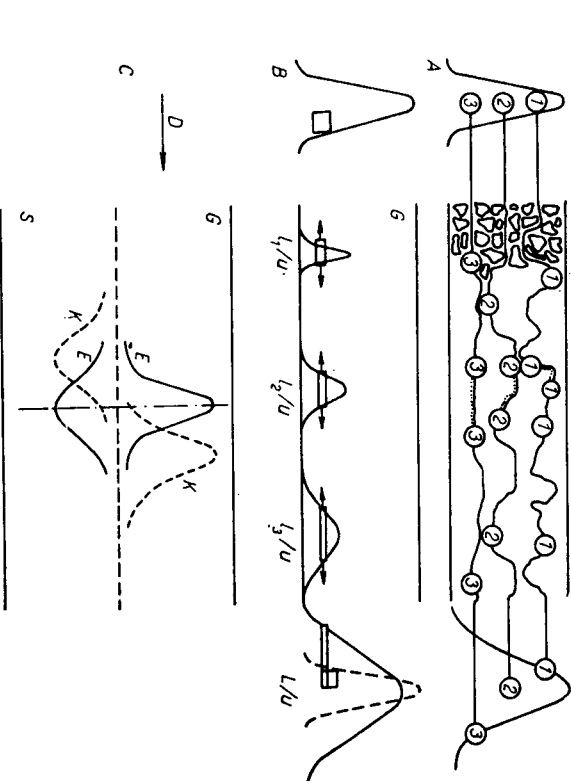


Рис. 10.3. Схема, объясняющая характер диффузионных процессов в хроматографии.

A — вихревая диффузия; B — лиффузия в газовой фазе; C — межфазный массоперенос; D — направление потока газовой фазы; E — равновесие; G — газовая фаза; K — действительная концентрация; I — длина колонки по оординате; L — полная длина колонки; S — неподвижная фаза; u — линейная скорость газа-носителя; $I-3$ — фракции анализируемых соединений.

пиков, преследуем две цели: получить минимальное размывание пиков, т. е. максимальное значение n , и минимальное значение H за возможно более короткое время. По этой причине важно знать факторы, связанные размывание пика со скоростью потока газа-носителя.

Хроматографические кривые размываются в результате диффузионных процессов. На рис. 10.3 схематически показаны три основных типа диффузионных процессов, приводящих к размыванию хроматографических зон: A — вихревая диффузия, B — диффузия в газовой фазе, C — межфазный массоперенос.

Вихревая диффузия описывается уравнением

$$A = \lambda d_p \quad (10.16)$$

где λ — коэффициент, характеризующий гомогенность упаковки колонки; d_p — средний диаметр частиц; λ — член, характеризующий не только распределение частиц по размерам, но и взаимное расположение частиц. Обычно значение λ находится в интервале от 1 до 8. Вклад вихревой диффузии в размывание пиков не зависит от скорости потока газа-носителя. Механизм размывания под действием вихревой диффузии представлен в упрощенном виде на рис. 10.3. Можно предположить, что порция раствора, введенная в указанную секцию колонки, разделена на большое число маленьких порций равного размера, каждая из которых движется через колонку независимо. Из-за неодинаковости размера, формы и расположения частиц упаковочного материала длина пути этих отдельных порций может различаться. Поскольку скорость потока газа-носителя в данной секции колонки постоянна, то расстояния, проходимые веществом в потоке, равны для всех порций, но их проекции на плоскость сечения, параллельную оси колонки, различны, и в результате время, за которое эти порции пройдут эту секцию колонки, также различно.

Продольная диффузия в газовой фазе описывается уравнением

$$B = 2\gamma D_m \quad (10.17)$$

где D_m — коэффициент диффузии растворенного вещества в газоносителе и γ — коэффициент замедления, отражающий влияние неравномерности диаметра межчастичных и внешних капилляров в упаковке колонки на подавление диффузии ($\gamma < 1$). Продольная диффузия имеет место только в газовой фазе и зависит от времени, в течение которого исследуемое вещество находится в этой фазе. Следовательно, вклад ее в размывание пика обратно пропорционален скорости потока газа-носителя.

Межфазный массоперенос обусловлен отклонениями концентраций в подвижной и неподвижной фазах от равновесных, что показано схематически на рис. 10.3. Это явление описывается уравнением

$$C_L = 2k/3(1+k)^2 \cdot d_f^2/D_L \quad (10.18)$$

где d_f — гипотетическая толщина пленки неподвижной фазы; D_L — коэффициент диффузии вещества в неподвижной фазе и

R — фактор емкости. Очевидно, что состояние системы тем ближе к равновесному (таким образом, размывание меньше), чем медленнее раствор проходит через колонку. Поэтому размывание пропорционально скорости газа-носителя.

Кроме массопереноса в неподвижной фазе существует массоперенос в подвижной фазе (C_g), вызванный негомогенностью радиального распределения концентраций. Их значение очевидно из рис. 10.3. Коэффициент массопереноса в газовой фазе выражается уравнением

$$C_g = k^2 d_p^2 / 100 D_m (1+k)^2 \quad (10.19)$$

Вклад в размывание вновь пропорционален скорости потока газоносителя.

Итак, мы описали отдельные диффузионные процессы, чей вклад в размывание хроматографических пиков наиболее важен. Из приведенных уравнений следует, что, меняя размер частиц (d_p), количество неподвижной фазы (d_f), структуру сорбента и упаковку колонок (λ , γ), а также подвижную фазу, можно тем самым менять и D_m . Система растворенного соединение — неподвижная фаза в большинстве случаев задается, поэтому существенно влиять на величины k и D_L практически невозможно. В тех случаях, когда влияние отдельных процессов на размывание пика взаимно независимо, зависимость высоты, эквивалентной теоретической тарелке, от скорости газа-носителя выражается уравнением, приведенным в работе [86]:

$$H = A + B/u + C u. \quad (10.20)$$

где $C = C_L + j C_g$ [коэффициент см. в уравнении (10.5)]. Решая совместно уравнения (10.16) — (10.19), получаем наиболее часто используемое уравнение

$$H = 2\lambda d_p + 2\gamma D_m/u + 2kd_f^2 u/3(1+k)^2 D_L + k^2 d_p^2 u j / 100 D_m (1+k)^2 \quad (10.21)$$

Последний член уравнения обычно характеризуется наименьшей величиной. Очевидно, что уравнения (10.20) и (10.21) — это уравнения гиперболы, и для определения минимальной высоты, эквивалентной теоретической тарелке, и соответствующей (optимальной) скорости газа-носителя имеем уравнения

$$H_{\min} = A + 2(B/C)^{1/2}; \quad u_{opt} = (B/C)^{1/2} \quad (10.22)$$

Соответствие экспериментальным данным очевидно из рис. 10.4. Величина A определяется точкой пересечения H с осью ординат. Тангенс угла наклона касательной при высоких скоростях потока дает C . Член B можно рассчитать из уравнения для H (при выбранном значении u) или можно построить зависимость H от $1/u$ [75]. Рис. 10.4 ясно показывает влияние выбранного

газа-носителя. Если желательно дифференцировать относительные вклады в C массопереноса в жидкой и газовой фазах, обычно используют два газа-носителя. В этом случае члены A и C_g в уравнениях (10.20) и (10.21) должны быть равны для обоих газов. Значения C_g можно затем рассчитать [75].

Высота, эквивалентная теоретической тарелке, и число теоретических тарелок дают размытие пика. Объединяя различия

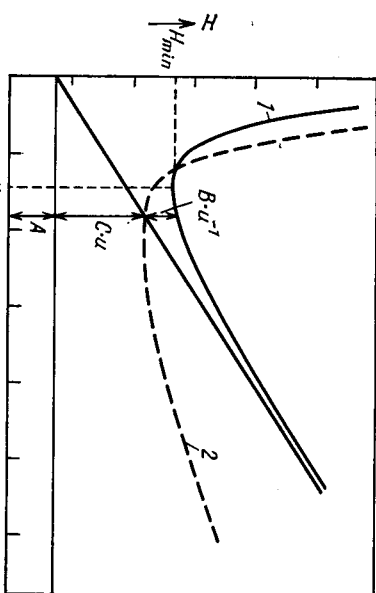


Рис. 10.4. Оценка экспериментальных данных, характеризующих зависимость высоты, эквивалентной теоретической тарелке, H от линейной скорости газа-носителя u .

A — вихревая диффузия; B — диффузия в газе-носителе; C — межфазный массоперенос; H_{\min} — минимальная высота, эквивалентная теоретической тарелке; u_{eq} — линейная скорость газа-носителя, соответствующая H_{\min} ; n — газ-носитель; I — азот; 2 — водород.

В характеристиках элюирования в соотношении элюирования $r_{1,2}$ (иногда его также называют летучестью α)

$$\begin{aligned} r_{1,2} &= t'_{R,1}/t'_{R,2} = V_{N,1}/V_{n,2} = V_{g,1}/V_{g,2} = \\ &= K_{D,1}/K_{D,2} = k_1/k_2 \end{aligned} \quad (10.23)$$

с уравнениями (10.14) и (10.11), получаем соотношение для разрешения:

$$R_s = [(r_{1,2} - 1)/4r_{1,2}] (n_e)^{1/2}_{\text{req}} \quad (10.24)$$

Чтобы получить заданное разрешение двух хроматографических пиков R_s для выбранных хроматографической системы и фаз (отношение элюирования $r_{1,2}$), необходима колонка с определенным числом эффективных тарелок (n_e)_{req}. Из данных, приведенных в табл. 10.1, ясно видно, что при небольшом увеличении $r_{1,2}$ в области, близкой к 1,00, резко уменьшается число теоретических тарелок, необходимых для разделения. Следователь-

но, чем выше селективность разделения, тем ниже необходимая эффективность хроматографической колонки.

Теории, основанные на концепции теоретических тарелок, предполагают, что все протекающие в колонке процессы могут рассматриваться как взаимно независимые. Это предположение чаще всего справедливо, если скорость результирующего процесса определяет один из процессов. Однако обычно протекающие в колонке процессы влияют друг на друга, и это отражено в уравнении, выведенном для определения высоты, эквивалентной теоретической тарелке. Хотя Гиддингс [25] показал, что в некоторых случаях необходимо включать члены, характеризующие влияние вихревой диффузии и массопереноса в газовой фазе в один член уравнения, Вичар и Новак [89] показали зависимость массопереноса в жидкой фазе от массопереноса в газовой фазе. В качестве примера мы приведем уравнение Гиддинга [25], которым следует пользоваться при высоких скоростях потока газа-носителя:

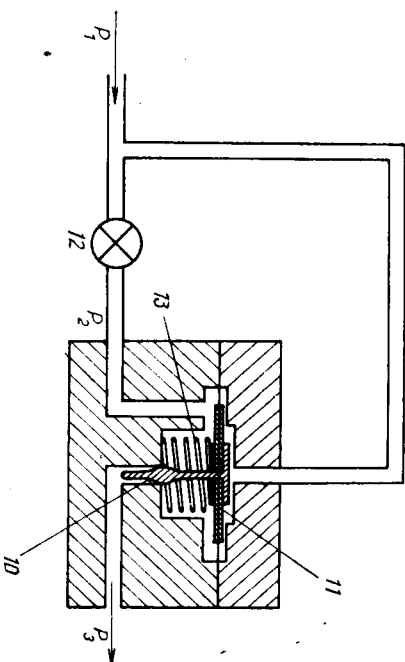
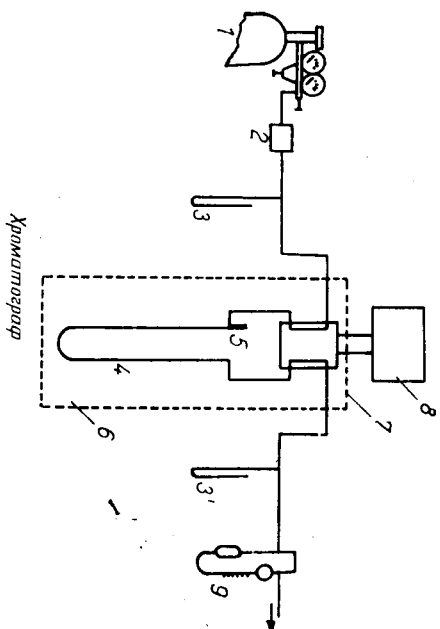
$$H = 1/(1/A) + (1/C_g \bar{u}) + B/\bar{u} + C_L u. \quad (10.25)$$

10.2. ПРИБОРЫ

Конструкция установки для газовой хроматографии в принципе относительно проста, и вне зависимости от типа хроматографической системы (газо-жидкостная или газо-адсорбционная) в нее обычно входят одни и те же приборы. Схема такой установки показана на рис. 10.5; она состоит из источника газа-носителя, регулятора потока и расходомера, устройства

Таблица 10.1
Зависимость требуемого числа эффективных теоретических тарелок n_{eff} от относительного удерживания $r_{1,2}$ для различных значений разрешения $R_{1,2}$

$r_{1,2}$	$R_{1,2}=1$	$R_{1,2}=1,5$	$R_{1,2}=2$
1,001	16·10 ⁶	36·10 ⁶	64·10 ⁶
1,01	16·10 ⁴	36·10 ⁴	64·10 ⁴
1,05	6944	15·625	27·777
1,10	1932	4·347	7·728
1,15	932	2·098	3·729
1,2	574	1·291	2·294
1,3	299	675	1·199



Стабилизатор потока газа-носителя

Рис. 10.5. Схема установки для газовой хроматографии.

Газовый хроматограф: 1 — баллон высокого давления с газом-носителем; 2 — стабилизатор потока; 3, 3' — манометры; 4 — хроматографическая колонка; 5 — устройство для ввода проб; 6 — термостат; 7 — детектор; 8 — самописец; 9 — расходомер; 10 — перекрывающий конус; 11 — мембрана; 12 — игловая кран; 13 — пружина. P_1 , P_2 , P_3 — давление газа.

для ввода образца, хроматографической колонки, детектора, самописца и термостата.

Газ-носитель проходит через регулирующий кран, осушительные трубы и еще один кран, предназначенный для тонкоточного контроля потока, поступающего в хроматографическую колонку. Колонка представляет собой трубку, заполненную соответствующим хроматографическим материалом. Вблизи от вво-

да газа в колонку расположено устройство для ввода пробы. Анализируемая смесь разделяется в колонке, и в идеальном случае ее компоненты раздельно перемещаются потоком газа-носителя и элюируются из колонки поочередно. Перепад давления в колонке измеряется манометрами, расположенными до и после колонки. Выходящий из колонки газ поступает в детектор. Скорость газа-носителя измеряется расходометром, который обычно располагается на выходе из установки. Температура колонки и некоторых детекторов поддерживается строго в заданном интервале с помощью термостатов. Если температура кипения анализируемых соединений превышает 60–70°C, в колонке необходимо поддерживать несколько более высокую температуру; если же исследуются соединения с более низкой температурой кипения, то колонку в некоторых случаях следует охлаждать. Сигналы детектора регистрируются самописцем.

10.2.1. ГАЗ-НОСИТЕЛЬ

Газы, выполняющие роль подвижной фазы, выбирают в зависимости от типа используемого детектора. Они должны быть инертны по отношению и к упаковочному материалу в колонке, и к исследуемым соединениям. Газы-носители обычно хранятся в баллонах под давлением. Рекомендуется проводить дополнительную очистку газа-носителя, пропуская его через трубы, заполненные молекулярным ситом, причем иногда эти трубы помещают в охлаждающую баню. Для правильной работы необходимо, чтобы газ-носитель проходил через колонку и детектор с постоянной скоростью. Для этого используют маностат, иногда совместно со стабилизатором скорости, схема которого приведена на рис. 10.5. Для рутинных анализов допустимы отклонения в пределах $\pm 1\%$.

В качестве подвижной фазы обычно используются следующие газы: очищенный от кислорода азот (преимущество — низкая стоимость, простая очистка, безопасность в работе, относительно высокая молекулярная масса; недостаток — низкая теплопроводность); электролитический водород (преимущество — высокая теплопроводность, низкая вязкость и, следовательно, малый перепад давления в колонке, низкая стоимость; недостатки — значительная диффузия разделемых компонентов, опасность взрыва при течи); гелий (преимущество — тоже, что и у азота и водорода; недостаток — высокая цена); аргон (важен для ионизационных детекторов с постоянным источником ионизации; преимущества — относительно низкая цена, простая очистка).

10.2.2. ВВОД ОБРАЗЦА

Образец вводится в колонку вблизи от места входа газоносителя. Метод ввода пробы зависит от ее агрегатного состояния. Общие условия ввода образца в колонку: образец, испаренный в небольшом объеме, должен быть немедленно перенесен в колонку.

или миллиграммов жидкого или твердого образца соответственно.

Газообразные образцы обычно вводятся с помощью обводной пилетки или в простейшем случае с помощью системы из двух запорных кранов, между которыми имеется пространство известного объема; однако в последнее время применяются краны различных систем с переменным объемом вводимой пробы. Схемы двух таких устройств показаны на рис. 10.6. Воспроизведимость ввода при использовании таких систем $< 0,5\%$. Жидкие образцы чаще всего вводят микрошиприцами через резиновую прокладку (септум) в специальное нагреваемое устройство, и из него образец поступает собственно в колонку. Микрошиприцы такого типа выпускаются рядом фирм; воспроизводимость ввода пробы этим методом около 2 %. Твердые образцы и образцы с высокой концентрацией растворенного соединения удобнее всего вводить в виде растворов в летучих растворителях. В соответствии с одной из методик точно отмеренные жидкие или твердые образцы вводят в колонку в запаянных стеклянных капиллярах, которые затем разбиваются.

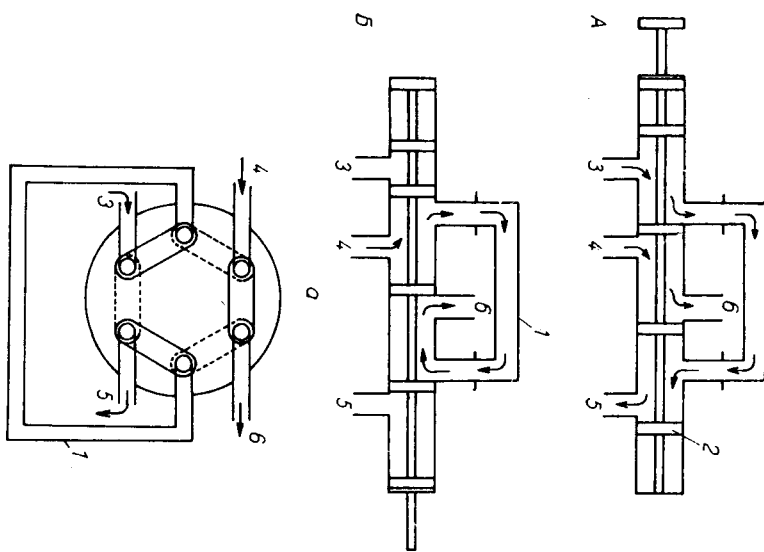
Полный объем образца, поступающего в капиллярную колонку, расщепляется Т-образной трубкой в соотношении от 1 : 100 до 1 : 1000. В поток газоносителя вводится несколько микролитров образца, а в колонку попадает только часть смеси (объем которой зависит от соотношения площадей сечения трубки с газом-носителем и колонки), большая же часть образца выбрасывается в атмосферу. Выпускаемые фирмами приборы, разработанные для стандартных анализов, часто снабжаются автоматическими дозаторами проб.

10.2.3. ХРОМАТОГРАФИЧЕСКИЕ КОЛОНКИ

Хроматографическая колонка — «сердце» хроматографа, в ней и происходит собственно разделение смеси. Конструкция колонок относительно проста, и их можно изготовить в большие лабораторий. Колонки подразделяются на упаковочные и капиллярные. Изготавливают их из стеклянных, стальных, полистиленовых, тефлоновых и иногда мелких трубок.

Стеклянные колонки легко сделать; кроме того, они удобны тем, что качество их заполнения легко можно проверить. Однако их трудно подсоединить к металлическим частям хроматографа при работе при повышенных температурах. Тефлоновые колонки используются в особых случаях, когда не пригодны ни стекло, ни нержавеющая сталь, например при анализе некоторых органических серусодержащих соединений и др. При менять медные колонки не рекомендуется, поскольку, как выяснилось, они могут действовать как катализаторы и на неподвиж-

Рис. 10.6. Схема дозирующего крана (а) [59а] и вращающегося дозирующего крана (б) для ввода газообразной пробы.
а — нормальное положение крана; б — положение крана при вводе пробы; 1 — калиброванная петля для образца; 2 — перекрывающее кольцо; 3 — ввод образца; 4 — ввод газоносителя; 5 — вывод газа-носителя; 6 — ввод в колонку.



ную фазу, и на разделяемые компоненты, особенно при повышенных температурах. Форма колонок выбирается в соответствии с их размером и размерами термостата. Колонки могут быть прямыми, U-образными или спиральными. Диаметр спирали должен быть по крайней мере в 20 раз больше диаметра колонки. Внутренний диаметр аналитической колонки обычно составляет 3—6 мм, а ее длина — от 30 до 3 м, но нередко используются и более длинные колонки. В газо-адсорбционной хроматографии применяют более короткие колонки, чем в газожидкостной. Диаметр* капиллярных колонок, как правило, равен 0,1—0,3 мм, а длина 50—100 м и более.

10.2.4. ТЕРМОСТАТ

Подвижность разделяемых компонентов в колонке в большой степени зависит от температуры, поэтому, чтобы элюирование длилось приемлемое время, в колонке необходимо поддерживать выбранную температуру. Область рабочих температур чрезвычайно обширна — от температуры жидкого азота и до 400 °C и более в соответствии с природой хроматографируемых соединений и конструкцией прибора. Выбранная температура должна поддерживаться постоянной в очень узком интервале ($\pm 0,1$ °C). Современные термостаты вполне позволяют поддерживать температуру с такой степенью точности. Хроматографические термостаты снабжены воздушным нагревателем и вентилятором. Преимущество таких термостатов — их чувствительность при работе при высоких температурах.

10.2.5. ДЕТЕКТОРЫ

Хроматографический детектор — это прибор, преобразующий результаты разделения в форму, удобную для регистрации самописцем. В соответствии со старой классификацией детекторы разделяются на интегральные и дифференциальные. Интегральный детектор измеряет суммарное количество соединений, выделяющееся в процессе анализа, отклик его пропорционален полному количеству вещества, прошедшего через детектор. С помощью этого детектора получают интегральную кривую ступенчатой формы, показанную на рис. 10.7. Дифференциальный детектор дает непосредственный отклик на компонент, который проходит через детектор. Дифференциальная хроматограмма состоит из пиков, похожих на гауссовые кривые

(рис. 10.2). Хроматограммы обоих типов можно обработать качественно и количественно. В интегральных хроматограммах мерой количества компонента служит высота одного шага криевой, в дифференциальных — площадь под кривой элюирования (ограниченная нулевой линией), и высота, и площадь пропорциональны количеству компонента.

Детекторы также классифицируют в соответствии с их чувствительностью к концентрации или (и) массе. Концентрационные детекторы дают немедленный отклик, интенсивность ко-

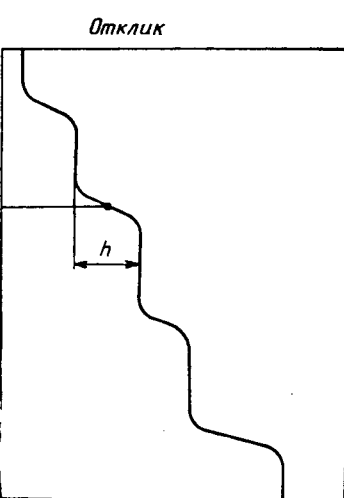


Рис. 10.7. Пример интегральной хроматограммы.

того пропорциональна концентрации компонента в газе-носителе. Площадь под пиком обратно пропорциональна объему газа-носителя, элюированного вместе с образцом, поэтому скорость потока должна быть постоянной. В детекторах, чувствительных к массе, сигнал пропорционален массе компонента, прошедшего через детектор за единицу времени, и не зависит от концентрации компонента в газе-носителе. Площадь пика не зависит от скорости потока, и поэтому постоянство скорости потока газа-носителя не столь важно.

Поскольку принцип действия хроматографических детекторов может быть самым разным, детекторы трудно сравнивать. Однако существуют несколько общих критерий. Это селективность, чувствительность, реакция, шум, нижний предел детектирования (наименьшее детектируемое количество) и линейность отклика. Последняя характеристика зависит от принципа работы детектора. Для количественной работы почти каждый детектор требует калибровки, необходимой для определения поправочных коэффициентов.

Чувствительность детектора обычно определяется соотноше-

* В последнее время в хроматографической практике активно используются гибкие кварцевые капиллярные колонки, внутренняя поверхность которых более инертна по сравнению со стеклянными. Хороший обзор по кварцевым колонкам написан В. Дженингсом [Jennings W., Journal High Resolution Chromatography, v. 3, № 12, 601 (1980)].

ниями, представленными Димбатом и сотр. [14]; эти соотношения установлены очень давно, но до сих пор используются. Чувствительность концентрационных детекторов определяется как отклик детектора (обычно в милливольтах) в расчете на единицу концентрации:

$$s = (mB \cdot \text{см}^3)/\text{мг}. \quad (10.26)$$

Параметры, определяющие чувствительность (s), легко измерить.

$$s = AC_1C_2C_3/w, \quad (10.27)$$

где A — площадь под кривой элюирования, см^2 ; C_1 — чувствительность самописца, $\text{мВ}/\text{см}$; C_2 — величина, обратная скорости протяжки ленты, $\text{мин}/\text{см}$; C_3 — объемная скорость потока газоносителя, $\text{см}^3/\text{мин}$, и w — масса компонента, мг .

Для массового детектора соотношение Димбата имеет не сколько иной вид:

$$s' = mB/(mg/c) = (mB \cdot c)/\text{мг} \quad (10.28)$$

Чувствительность детектора этого типа (s') определяется также, как и чувствительность концентрационного детектора

$$s' = AC_1C_2/w, \quad (10.29)$$

где A — площадь под кривой элюирования, см^2 ; C_1 — чувствительность самописца, $\text{мВ}/\text{см}$; C_2 — величина, обратная скорости протяжки ленты самописца, $\text{см}/\text{см}$; w — масса компонента, мг . Из приведенных выражений следует, что s' в отличие от s не зависит от скорости потока.

Отклик детектора определяется величиной сигнала, вызываемого определенным количеством образца. Его рассчитывают как отношение площади пика к массе образца. Например, для ионизационного детектора

$$\text{Отклик} = \frac{1/2(s)}{\text{Масса}} \cdot \text{Высота пика (A)} = K \cdot l \cdot g \quad (10.30)$$

Сигнал детектора в принципе можно усилить до любого значения, но при этом также усиливаются шумы, и если аналитический сигнал очень мал, то он может потеряться в шуме нулевой линии, тем не менее большое усиление используется.

Однако уровень шума ограничивает концентрацию или массу, которая может быть продетектирована (см. рис. 10.8).

Из рисунка следует, что компонент должен давать отклик детектора выше, чем N , для того чтобы он отличался от шума нулевой линии. Наименьший предел чувствительности (или наименьшее детектируемое количество вещества) обычно определяется как концентрация (или количество) вещества, которое дает сигнал в два раза больший, чем уровень шума.



Рис. 10.8. Шум детектора и наименьшее детектируемое количество соединения.

N — уровень шума; $2N$ — наименьшее детектируемое количество соединения.

Точность количественного анализа зависит от линейного соотношения между концентрацией или массой и откликом детектора. Линейная область отклика определяется как пропорциональность отклика детектора величине образца на двойной логарифмической шкале. Эту область можно определить как отношение наибольшей концентрации (количества) вещества к наименьшей, в пределах которой сохраняется линейная зависимость. На рис. 10.9 приведены оба случая. Точка b указывает

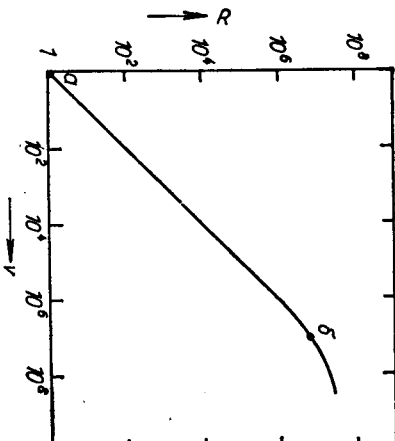


Рис. 10.9. Логарифмическая зависимость линейности отклика детектора (R) от количества образца (v).

$a-b$ — линейная область.

максимальную массу линейной области (область 1 : 10⁷). Другими словами, эту калибровочную кривую можно использовать для изменения концентрации на 10 порядков.

ДЕТЕКТОР ПО ТЕПЛОПРОВОДНОСТИ (КАТАРОМЕТР)

Катарометр впервые был использован в газовой хроматографии Классоном [10]. Принцип действия этого детектора состоит в следующем: количество тепла, которое нагретые тела отдают окружающей газовой среде, зависит от состава послед-

ней. Поэтому зная, какое количество тепла отдано, можно судить о составе газовой среды. Катарометр относится к числу детекторов, наиболее широко применяемых в газовой хроматографии. На рис. 10.10 приведена схема катарометра. В цилиндрическую полость металлического блока помещена маленькая металлическая спираль. Через спираль проходит постоянный

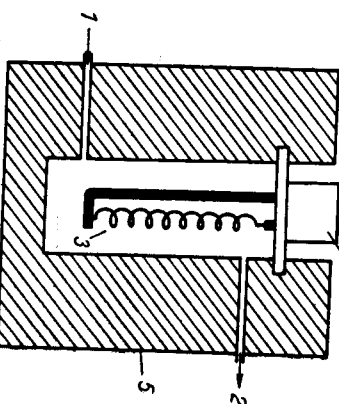


Рис. 10.10. Схема катарометра [37a].

1 — ввод газа из колонки; 2 — выход в атмосферу; 3 — нить сопротивления; 4 — известковый блок.

ток, в результате чего она нагревается. Если спираль омывает чистый газ-носитель, при постоянной скорости потока спираль теряет постоянное количество тепла, и после достижения равновесия температура спирали становится постоянной. Однако, если состав газа меняется, например при появлении зоны элюируемого вещества, температура спирали также меняется, что вызывает соответствующее изменение электрического сопротивления. Это изменение затем измеряется мостом Уитстона. Обычно спирали изготавливают из металлов с высоким термическим коэффициентом сопротивления, стойких к химической коррозии. Как правило, используются платина, вольфрам и их сплавы, а также никель. В некоторых детекторах металлические нити заменены на термисторы, чувствительность которых очень высока. Однако использовать термисторы можно только при низких температурах, так как при повышенных температурах их стабильность мала.

Изменение сопротивления нити катарометра измеряется и переводится в выходной сигнал. На рис. 10.11 показано простое подключение моста Уитстона. Если у всех четырех нитей, C_1 , C_2 , R_1 и R_2 , одинаковая температура и, следовательно, одинаковое сопротивление, то мост находится в равновесии. Однако,

когда сопротивление нитей C_1 и C_2 меняется вследствие изменения состава проходящего газа, равновесие нарушается и генерируется выходной сигнал. Большинство детекторов имеют две

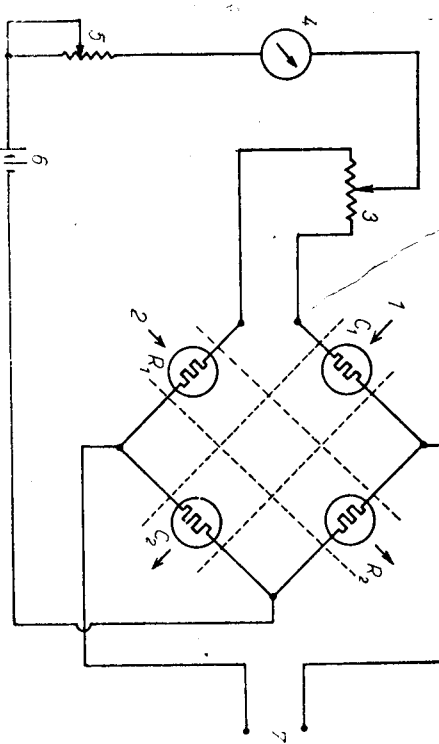


Рис. 10.11. Схема моста Уитстона [59a].

C_1 , C_2 — измерительные ячейки; R_1 , R_2 — сравнительные ячейки; I — вход газа из колонки; 2 — выход чистого газа-носителя; 3 — установка нуля; 4 — милливольтметр; 5 — регулятор тока, проходящего через нити; 6 — источник тока; 7 — вывод на самописец.

пары равных нитей: $C_1 - R_1$, $C_2 - R_2$ (рис. 10.11). Сравнительный поток газа-носителя омывает нити R_1 и R_2 , тогда как газ, поступающий из колонки, омывает нити C_1 и C_2 . Такое устройство

Теплопроводность некоторых газов и паров, отнесенная к теплопроводности воздуха

Газ	$\lambda_i/\lambda_{\text{возд}}$		Газ	$\lambda_i/\lambda_{\text{возд}}$	
	0°C	100°C		0°C	100°C
Воздух	1,000	—	Ксенон	0,21	—
Водород	7,000	8,94	Аммиак	0,88	1,08
НД	5,87	—	Вода (пары)	—	0,77
Дейтерий	5,08	—	Этан	0,75	1,06
Гелий	5,87	—	Изопентан	0,51	0,69
Азот	1,00	0,99	Бензол	0,37	0,56
Кислород	1,01	1,03	Дихлор углерода	0,59	0,68
Неон	1,92	1,88	Метанол	0,58	0,70
Аргон	0,68	0,68	Этанол	0,57	0,68

Таблица 10.2

увеличивает интенсивность сигнала и улучшает стабильность моста по отношению к изменениям температуры среды. Все четыре канала заключены в один металлический блок с высокой теплоемкостью.

На чувствительность катарометра влияют два основных фактора. Во-первых, увеличение тока моста вызывает резкое усиление выходного сигнала; однако чрезмерное увеличение тока вызывает нестабильность нулевой линии и даже перегорание нити. Во-вторых, используемый газ-носитель должен обладать максимально возможной теплопроводностью. Наилучшие газоносители — водород и гелий, так как они позволяют получить высокую чувствительность. В табл. 10.2 приведены теплопроводности некоторых газов и паров, отнесенные к теплопроводности воздуха.

ВЕСЫ МАРТИНА

Весы Мартина — детектор, в котором измеряется плотность газа. Этот детектор удобно использовать в газовом хроматографе по ряду причин. Так, например, в этом детекторе образец не соприкасается с нагреваемыми элементами (что позволяет анализировать коррозионно-активные вещества), в качестве газов-

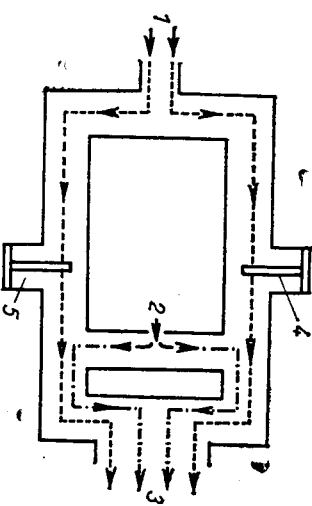


Рис. 10.12. Схема весов Мартина [59a].

1 — вход газа-носителя; 2 — вход газа из колонки; 3 — выход газа в атмосферу; 4, 5 — сопротивления.

носителей могут использоваться легкодоступные газы (N_2 , Ar, CO_2), и, наконец, при таком способе детектирования образец не разрушается. Упрощенная модель весов Мартина (разработанная фирмой Gow-Mac Institute Inc.) схематически показана на рис. 10.12. Чистый газ-носитель поступает в детектор через вход 1, а газ из колонки — через вход 2 и выходят из детектора через выход 3. Элементы 4 и 5, измеряющие сопротивление, расположены в потоке чистого газа и соединены с мостом Уит-

тона. Если у газа, выходящего из колонки, та же плотность, что и у чистого газа, то оба плеча находятся в равновесии. Однако, если плотность газа, поступающего из колонки, выше, чем у газа-носителя, то газ с большей плотностью пойдет по нижней ветви, и в результате поток чистого газа в ветви 1—5 уменьшится, а это нарушит равновесие моста Уиттона. Чувствительность детектора зависит от разности плотностей газа-носителя и анализируемого компонента. Водород и гелий не вполне пригодны для использования в качестве газов-носителей.

ИОНИЗАЦИОННЫЕ ДЕТЕКТОРЫ

В работе ионизационных детекторов используется пропорциональность электропроводности газа концентрации заряженных частиц, присутствующих в газе. На рис. 10.13 приведена схема ионизационного детектора (ионизатор на схеме не показан).

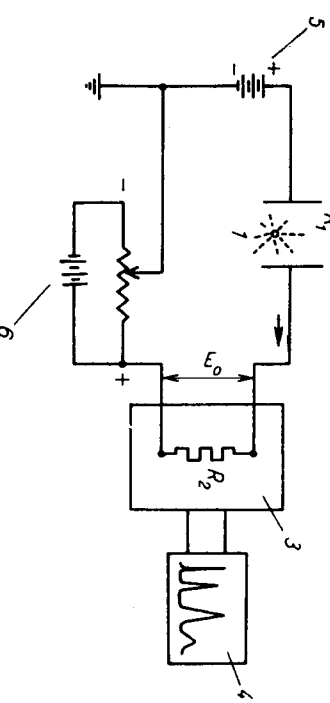


Рис. 10.13. Схема ионизационного детектора [59a].
1 — источник ионизации; 2 — область между электродами; 3 — измеритель; 4 — самописец; 5 — источник напряжения ионизации; 6 — источник компенсационного потенциала; E_0 — измеряемое напряжение; R_1 — электрическое сопротивление среды; R_2 — измеряемое сопротивление.

Поступающие из колонки газы проходят через ионизатор, в котором часть молекул ионизуется, а затем проходят между электродами. В присутствии заряженных частиц между электродами возникает ток I . Изменение напряжения на R_1 вызывает изменение напряжения и на R_2 . Это изменение напряжения усиливается электрометром и регистрируется самописцем. Пространство между электродами можно рассматривать как сопротивление, величина которого зависит от числа заряженных частиц. Если через детектор проходит чистый газ-носитель, то компенсация заряженных частиц постоянна и ток, проходящий через R_1 , также постоянен. Однако, если через детектор проходит ка-

кая-то часть исследуемого соединения, концентрация заряженных частиц увеличивается, что вызывает усиление тока и соответственно усиление сигнала, который регистрируется в виде хроматографического пика.

ПЛАМЕННО-ИОНИЗАЦИОННЫЙ ДЕТЕКТОР
Этот детектор подробно описан в статье Стернберга и сотр. [82]. Схема его представлена на рис. 10.14. Выходящий из колонки газ смешивается с водородом и проходит в форсун-

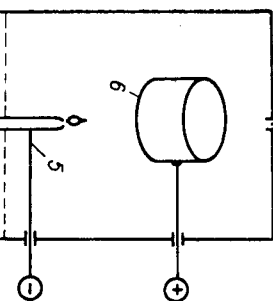


Рис. 10.14. Схема пламенно-ионизационного детектора [3/a].
1 — ввод водорода; 2 — ввод газа из колонки; 3 — ввод воздуха в атмосферу; 4 — катод; 5 — собирающий электрод.

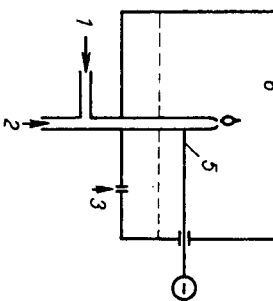


Рис. 10.15. Схема гелиевого детектора
1 — ввод газа из колонки; 2 — вывод в атмосферу; 3 — источник излучения; 4, 5 — электроды.

ку горелки детектора. Образующиеся в пламени ионизованные частицы заполняют пространство между электродами, в результате сопротивление снижается, а ток при этом усиливается.

Пламенно-ионизационный детектор реагирует практически на все газы, исключая неон. Этот детектор особенно удобен для анализа

Таблица 10.3
Список соединений, при детектировании которых пламенно-ионизационным детектором наблюдается очень слабый отклик или вообще отклик не наблюдается

H ₂	CS ₂	CO
He	COS	CO ₂
Ar	H ₂ S	H ₂ O
Kr	SO ₂	SiCl ₄
Ne	NO	SiHCl ₃
Xe	N ₂ O	SiF ₄
O ₂	NO ₂	HCN
N ₂	NH ₃	HSOON

носителя, переходит в метастабильное состояние с определенным ионизационным потенциалом. Все соединения с более низким потенциалом ионизации при этом ионизуются и дают положительный сигнал. Гелиевый детектор дает отклик на все газы, исключая неон. Этот детектор особенно удобен для анализа стелловых примесей в очень чистых этилене, кислороде, аргоне, helium должен быть очень чистым, иначе из-за присутствующих в нем примесей нулевой ток окажется слишком высоким.

Помимо описанных выше основных типов детекторов, имеется ряд детекторов специального назначения. Это, например, пламенно-эмиссионные детекторы, масс-спектрометрические, катализитические детекторы, в которых измеряются диэлектрическая проницаемость, поглощение света как в УФ-, так и в ИК-областях, и т. д. Они применяются главным образом как selectивные детекторы (разд. 10.4.3 и 10.4.4).

10.2.6. ХРОМАТОГРАФИЧЕСКИЕ САМОПИСЦЫ

Изменение состава газа, поступающего из колонки, с помощью детектора трансформируется в изменение некоторого электрического параметра, как правило, напряжения. Изменение этого параметра во времени регистрируется, и полученную хроматограмму можно обрабатывать как качественно, так и количественно. Регистрируют хроматограммы самописущие потенциометры, которые дают длительную запись отклика детектора как функции времени. В настоящее время выпускается много типов самописцев. Однако в газовой хроматографии можно применять лишь те самописцы, которые отвечают определенным требованиям: это высокая скорость регистрации (примерно одна секунда на всю шкалу отклонения); воспроизводимое отклонение регистра при подаче одного и того же напряжения; линейная зависимость по всей шкале; высокая чувствительность, т. е. отклонение пера при очень маленьком изменении потенциала. Самописцы с широким выбором скорости перемещения ленты, контролем чувствительности, установкой нуля улучшают характеристики всей установки. Для лабораторных работ рекомендуется планшетный самописец, тогда как в промышленных условиях целесообразно пользоваться полностью закрытым прибором.

Основной недостаток самописцев — ограниченная линейная область, меньшая, чем у основных детекторов, применяемых в газовой хроматографии. Самописцы могут регистрировать концентрации, величины которых лежат в пределах двух порядков, тогда как линейная область отклика пламенно-ионизационного детектора втрое больше. Именно по этой причине такое большое внимание уделялось разработке методов регистрации сигналов детекторов без применения переключения диапазонов. К приборам такого типа относятся, в частности, цифровые интеграторы.

10.3. ПРЕДВАРИТЕЛЬНАЯ ПОДГОТОВКА

10.3.1. НЕПОДВИЖНАЯ ФАЗА

Каких-либо объективных методов выбора жидкой неподвижной фазы для разделения данной смеси не существует. Неподвижную фазу выбирают главным образом, основываясь на собственном опыте. Тем не менее приведем несколько рекомендаций. Неподвижная фаза должна хорошо растворять отдельные компоненты образца, причем растворимости отдельных компонентов должны различаться. Неподвижная фаза должна быть практически нелетучей при рабочей температуре (0,01—0,1 мм рт. ст.), термостойкой (стабильность может ухудшаться из-за

Таблица 10.4
Перечень наиболее часто используемых неподвижных фаз

Фаза	Максимальная температура, °С	Полярность ^a	Растворитель ^b
Алилонитрил	50	п.п.	4,5
Амин 220	180	п.	4,5
Алисон			
L	300	н.	4,5
M	275	»	4,5
N	300	»	4,5
W			
Бентон 34	200	с.	5
7,8-Бензохинолин	150	п.п.	4,5
Бис(2-этоксиэтил)адипинат	150	»	5
Бис(2-этоксиэтил)тетрахорфталат	150	»	4,5
Бутандиоладипинат	225	»	4,5
Бутандиолсукинат	225	»	4,5
Карбовакс			
20М	250	п.	4,5
20М ТРА	250	»	5,7
400	125	»	4,5
400 Монолеат	125	»	4,5
600 Моностеарат	125	»	4,5 (нагр.)
750	150	»	4,5
1000	175	»	4,5
1500	200	»	4,5
4000	200	»	4,5
4000 ТРА	175	»	5,6
4000 Моностеарат	220	»	5
Касторвакс	6000	200	4,5
Дибутилфталат	200	»	4,5
Дибутилтеграфталат	100	п.п.	4,5
Диэтилентриколя	150	п.	5
адипинат			
гуттарат	190	»	4,5
себакат	225	»	4
сукцинат	190	»	4,5 (нагр.)
	190	»	1,5

Продолжение таблицы 10.4

Фаза	Продолжение таблицы 10.4		
	Максимальная температура, °С	Полярность а	Растворитель б
Фаза	Максимальная температура, °С	Полярность а	Растворитель б
Диглицерол	120	в.	7,9
Дизодедицфталат	175	п.п.	4,5
Дизоденилсебакат	175	»	4,5
2,4-Диметилсульфолан	50	п.	4,5
Динонилфталат	175	п.п.	4,5
Динонилсебакат	125	»	4
Диоктилфталат	175	»	4,5
Этилентгликоли	100	»	4,5
адипинат	200	п.	4,5 (нагр.)
глутар	225	»	4
себакат	200	»	4,5 (нагр.)
сукцинат	200	»	4,5 (нагр.)
тетрахлорфталат	225	»	4
Фенилдиэтаноламинсукинат	225	»	1,5
FFAP	275	»	5
Глицерол	100	в.	7,9
Халькомид М-18	150	п.п.	4,5
Гексаметилфосфорамид	50	п.	4,5
Гипроза SP-80	190	»	4,5 (нагр.)
Испал	200	п.п.	4,5 (нагр.)
Кель F греаза	200	»	4,5
Кель F ойл 10	100	»	4,5
Манинг	200	в.	7,9
Неопентилгликоля			
адипинат	240	п.п.	4,5
изофталат	240	»	4
себакат	240	»	4,5
сукцинат	240	»	4,5
ОУ			
1 (метилсиликон)	350	н.	4
17 (метилфенилсиликон)	300	п.п.	4
25 (фенилсиликон)	300	»	4
101 (метилсиликон, жидк.)	300	н.	4
225 (диаметролиметилфенилметилсиликон)	275	п.п.	4

а. п. — полярный; п. п. — полуполярный; н. — неполярный; в. — образует водородные связи; с. — специфический.

б. 1 — ацетон; 2 — бензол; 3 — *n*-бутанол; 4 — хлороформ; 5 — метиленхлорид; 6 — этилацетат; 7 — метанол; 8 — толуол; 9 — вода.

катализического влияния подложки и т. д.) и химически инертной по отношению к хроматографируемым соединениям при рабочей температуре. Некоторые наиболее важные неподвижные фазы перечислены в табл. 10.4.

Выбор неподвижной фазы зависит от состава образца. Поэтому перед началом анализа необходимо располагать максимально возможной информацией о нем. Например, необходимо знать диапазон температур кипения компонентов, их структуру и т. д. Для успешного разделения необходимо, чтобы структура неподвижной фазы была похожа на структуру образца. Например, углеводороды лучше разделяются на полярной неподвижной фазе, а полярные компоненты — на неподвижной неподвижной фазе. Однако, если смесь содержит вещества различной химической природы, но с близкими температурами кипения, необходимы неподвижные фазы различной полярности. В этом случае используются взаимодействия между молекулами сорбата и неподвижной фазы. Во-первых, неспецифическое дисперсионное взаимодействие между молекулами неподвижных соединений. При наличии такого взаимодействия разделение происходит в соответствии с давлением паров, т. е. приблизительно в соответствии с температурами кипения. Во-вторых, специфические полярные взаимодействия, которые обусловлены постоянными диполями (разделение в соответствии с полярностью компонентов смеси), индуцированными диполями (разделение в соответствии с поляризуемостью молекул) и образованием химических связей (например, водородных связей между группами $-\text{OH}$, $-\text{SH}$, $-\text{NH}_2$, $=\text{NH}$, $-\text{CO}-$ и т. д. или связей между ненасыщенными углеводородами и Ag^+ , PdCl_2).

Некоторые исследователи пытались оценить количественно разность между значениями констант распределения одного и того же соединения в неподвижных фазах различной полярности. Система, предложенная Роршнейдером [76] и Мак-Рейнольдсом [60], до сих пор широко используется. Недавно Новак и сотр. [68] предложили оценивать полярность неподвижных фаз, исходя из парциальной мольной избыточной свободной энергии Гиббса ΔG^E , которая является количественной характеристикой системы анализируемое соединение — неподвижная фаза. При этом предполагается, что результирующая ΔG^E представляет собой сумму отдельных вкладов функциональных групп в молекуле (см. уравнение (10.39) в разд. 10.4.1). Значение ΔG^E принято в качестве стандартного, соответствующего одному «молю» метилена. Это значение вполне применимо для оценки полярности парафиновых углеводородов; его можно также использовать для определения полярных характеристик других соединений. В случае сильнополярной неподвижной

фазы преимущества этой системы теряются, так как хроматографический пик парафинов может быть асимметричным и обладать очень малым объемом удерживания. Экспериментально $\Delta G^E(\text{CH}_2)$ (кал/моль) определяется в результате графического решения уравнения

$$\Delta G^E(\text{CH}_2) = -(RT/0,434)[d\ln(V_g P)/dn], \quad (10.31)$$

где R — газовая постоянная, T — абсолютная температура колонки, V_g — удельный объем удерживания, мл, P — давление

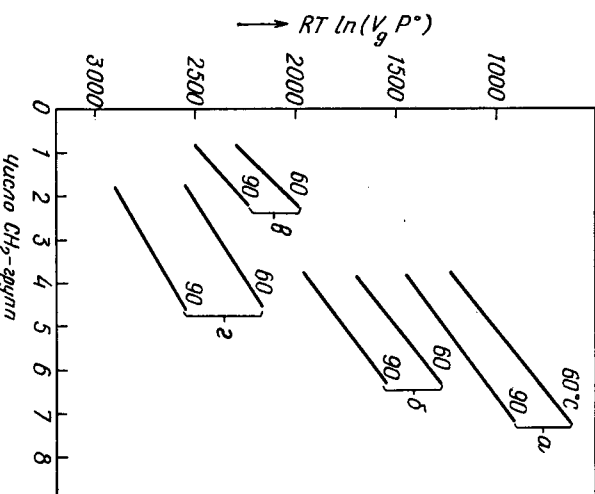


Рис. 10.16. Графическое определение парциальной мольной избыточной свободной энергии Гиббса $\Delta G^E(\text{CH}_2)$ для метилена [16]. Тип анализируемых соединений: a — алканы; $б$ — простые эфиры; $в$ — соединения ароматического ряда.

насыщенного пара компонента при температуре колонки, атм, и n — число метильных групп в молекуле растворенного вещества. На рис. 10.16 приведена зависимость $-RT\ln(V_g P)$ от числа метильных групп. Наклон полученной прямой дает $\Delta G^E(\text{CH}_2)$. Из рисунка видно, что даже соединения значительно отличающиеся по химическим свойствам, дают прямые с практически одинаковым углом наклона. В табл. 10.5 показаны результаты измерений, проведенных для 13 выбранных неподвижных фаз различной полярности. Из табл. 10.5 (так же как и из рис. 10.16)

Таблица 10.5

Полярность некоторых неподвижных фаз, выраженная в $\Delta G^{\circ}(\text{CH}_2)$ (кал/моль), при различных температурах [68]

Неподвижная фаза	Температура, °С				
	60	70	80	90	среднее
Сквалан	13,2	19,6	18,0	20,1	17,7
Динонилгларат	24,9	31,8	32,9	26,0	28,9
Полифениловый эфир (6 циклов)	58,3	56,2	49,9	50,4	53,7
Силикон DC 200 1000 cstк	81,7	87,0	79,0	82,7	82,6
Фторсиликон QF-1	147	161	145	147	150
Реоплекс 400	183	166	158	150	164
Карбокс 400	172	168	168	159	167
Диглициерол	210	210	214	228	216
1,2,3-Триг(2-диеноэтокси)-пропан	242	244	239	229	238
Формамил	391	394	392	391	392
Порапак Р 80/100, партия 800	—264	—233	—194	—217	—227
Порапак Т 100/120, партия 686	—156	—143	—150	—138	—147

следует, что улучшить разрешение хроматограмм можно, используя не только различные сорбенты, но и различные рабочие температуры.

Выбор твердых адсорбентов для газоадсорбционной хроматографии затруднен также в связи с тем, что ряд хроматографических соединений дает асимметричные кривые элюирования, образуются так называемые хвосты, которые тем длиннее, чем сильнее соединение сорбируется и чем длинее колонка. Кроме того, сорбент может иногда проявлять катализитический эффект по отношению к хроматографируемым компонентам. Адсорбенты обычно делятся на неполярные, на которых, как предполагается, наблюдается только физическая адсорбция, и полярные, на которых физическая адсорбция может сопровождаться хемосорбией. Полнотью неполярным можно считать только активный уголь, различные сорта которого отличаются размерами (радиусом) пор (микропоры радиусом 1,5–20 Å и макропоры радиусом 500–20 000 Å). Активный уголь используют главным образом для анализа постоянных газов при комнатной, низкой или высокой температуре. Как полярные адсорбенты применяют силикагель, алюмоисиликаты (природные и синтетические), ок-

сид алюминия, молекулярные сита и т. д. Полярность этих материалов обусловлена наличием таких связей, как Si—O, Si—OH, Al—O, Al—OH. Атом водорода в гидроксильной группе проявляет электроноакцепторные свойства; в процессе адсорбции полярных или поляризумемых молекул, выступающих как доноры электронов, имеют место донорно-акцепторные взаимодействия различной силы.

На оксидах алюминия часто проводят разделение смесей постоянных газов или углеводородов C₁–C₄, на силикагеле – разделение смесей CO, CO₂, N₂, углеводородов C₁–C₄, оксидов азота и т. д., на молекулярных ситах – разделение смесей различных газов, O₂, N₂, нормальных парафинов и т. д. Некоторые полистиролы используются как специальные типы хроматографических адсорбентов. Хорошо известны сополимеры стирола и дивинилбензола, поступающие в продажу под названиями: порапак (P, Q, R, S, T, N), хромосорб 101–105 и синажром. Они характеризуются определенной удельной поверхностью (100–500 м²/г), однородной структурой пор, относительной хорошей термостабильностью (обычно до 250 °С). Порапаки P и Q – неполярные сорбенты, а порапаки R, S, T и N – сорбенты средней полярности. Их поверхность модифицирована специальными мономерами. Синахром похож на порапак Q и хромосорб 102. Механизм разделения на этих сорбентах является не полностью, предполагается, что в системах газ – жидкость и газ – твердый носитель физико-химические взаимодействия сочетаются с чисто химическими. Сорбенты этого типа предпочтительны при разделении полярных соединений, например воды, свободных жирных кислот, спиртов и т. д., на большинстве других адсорбентов их четкого разделения добиться не удается (образуются хвосты).

10.3.2. ТВЕРДЫЕ НОСИТЕЛИ ДЛЯ НЕПОДВИЖНОЙ ФАЗЫ

Жидкая неподвижная фаза должна фиксироваться на носителе так, чтобы газ легко вступал в контакт с поверхностью жидкости. Хороший твердый носитель должен отвечать следующим основным требованиям. Он должен быть химически инертным и не должен обладать адсорбционной активностью, должен быть каталитически неактивным, механически прочным и термостабильным. Твердыми носителями жидкой неподвижной фазы служат гранулированные материалы с высокой пористостью. Чтобы исключить возможность адсорбции, используются материалы с малой удельной поверхностью – порядка 1–7 м²/г. Средний диаметр пор, соответствующий такой удельной поверхности, равен 1–0,1 мкм. Удельная масса таких материалов обычно лежит в пределах от 2 до 2,4 г/мл, а объемная мас-

са составляет 0,2—0,4 г/мл. Важной характеристикой носителя является его объем пор; у хорошего носителя он равен примерно 1 мл/г.

При покрытии носителя жидкай фазой действуют два механизма: адсорбция и капиллярная конденсация. Количество адсорбированной жидкости незначительно из-за малой удельной поверхности носителя. Емкость этого количества жидкости очень мала, проводить хроматографирование в таких условиях сложно. Небольшие количества неподвижной фазы на носителе используются в тех случаях, когда рабочие температуры ниже температур кипения анализируемых соединений, а константы их распределения велики. При этом носителями обычно служат стеклянные шарики. Степень покрытия этих материалов не превышает 0,05—2,0%. Основную роль играет жидкость, находящаяся в порах носителя. Поры наименьшего диаметра, если они доступны для жидкости, заполняются в первую очередь. С увеличением объема жидкости также возрастает нетомогенность пленки по толщине и возрастает коэффициент массопереноса в жидкой фазе C_L [см. уравнение (10.18)]. Для идеально однородной пленки постоянной толщины теоретическое значение C_L должно быть равно 10^{-6} , но реальные значения обычно находятся в интервале от 10^{-4} до 10^{-2} .

Важные характеристики носителя — средний диаметр частиц d_p и распределение частиц по размерам. Широкое распределение частиц по размерам всегда вызывает уменьшение эффективности колонок. В колонках, приготовленных из негомогенных материалов, всегда присутствуют малые каналы, через которые проходит большой объем газа, что вызывает размывание. При этом усиливается вихревая диффузия [см. уравнение (10.16)] и как следствие растет коэффициент λ . Как следует из уравнения (10.20), уменьшение размеров частиц приводит к увеличению эффективности колонки (уменьшаются члены A и C_g). Однако одновременно с уменьшением размеров частиц (уменьшением членов A и C_g) увеличивается перепад давления на колонке. При использовании слишком малых частиц, с одной стороны, требуется высокое давление для поддержания требуемого расхода газа-носителя, а с другой стороны, высокое давление нарушает герметичность упаковки колонки. Чаще всего применяются носители с размером частиц 100—200 мкм, который считается оптимальным.

Значительное внимание следует уделять механической прочности носителя. Твердость и сопротивление эрозии играют важную роль в процессе покрытия и наполнения колонок. Если частицы разрушаются в процессе упаковки колонки, то расположение их по размерам меняется: расширяется интервал величин d_p , что приводит к ухудшению эффективности колонки. Поэтому

Некоторые характеристики диатомовых земель Таблица 10.6

Удельная поверхность м ² /г	Диатомовая земля	
	белая	розовая
Удельный объем пор, мл/г	1,5—2,8	0,9—1,2
Плотность, г/мл	2,2	2,2
Насыпная масса, г/мл	0,2	0,4
РН	8—9	6—7

покрывать носитель жидкой фазой и упаковывать колонку необходимо очень осторожно. Некоторые материалы, особенно с высокой концентрацией оксидов алюминия и железа на поверхности, имеют высокую каталитическую активность, что может быть причиной разложения неподвижной фазы при температурах более низких, чем используемые для работы с носителями, не проявляющими каталитической активности. Очевидно, что каталитическая активность связана с относительной интенсивностью адсорбции, и некоторые анализируемые соединения могут даже адсорбироваться в процессе хроматографирования. Следствием этого являются искажение формы пика и потеря некоторого количества образца, поэтому результаты такого анализа нельзя уже интерпретировать количественно. Промывая носители кислотами и щелочами, можно удалить с его поверхности основную массу оксидов железа и алюминия. Большинство фирм, выпускающих носители, обрабатывают их кислотами и щелочами, что указывается на марке носителя: AW (отмыт кислотой) или ABW (отмыт кислотой и щелочью).

Чаще всего носителями служат диатомиты (табл. 10.6). Эти носители состоят главным образом из SiO_2 (примерно 90%), и вследствие этого на их поверхности содержится значительное количество гидроксильных групп, что определяет высокую адсорбционную активность диатомитов, особенно по отношению к полярным соединениям. Результатирующее фазовое равновесие в колонке, заполненной диатомитом, определяется двумя прописями: растворением в жидкой фазе и адсорбцией на подложке. Поскольку количество вещества, адсорбированного на твердой поверхности, обычно не прямо пропорционально концентрации, то адсорбцию необходимо подавить по возможности полнее. С этой целью поверхность носителя химически модифицируют.

Полученные при этом модифицированные носители делятся на две группы. В первую группу входят материалы, полученные этерификацией силикагеля, во вторую — материалы с поверхностно-связанными силиконами. В обоих типах носителей поверхность гидроксильные группы заменены (если они достаточно доступны) на органические функциональные группы с

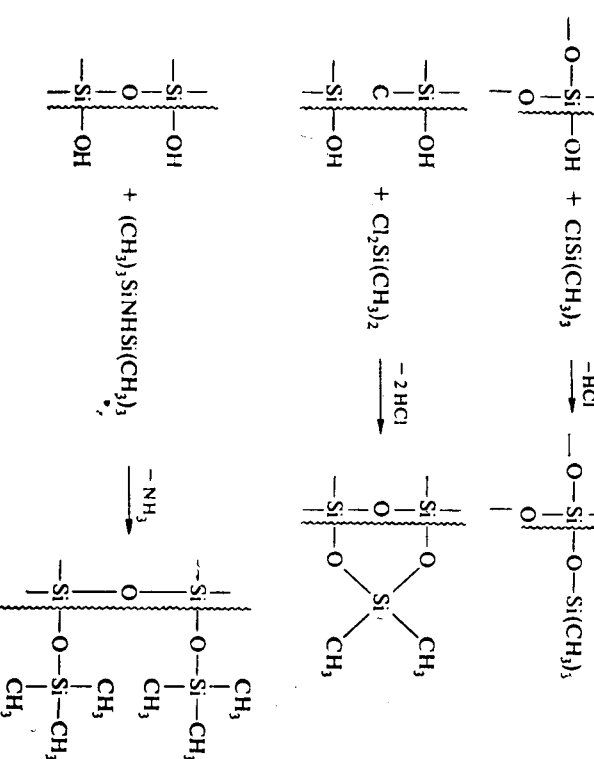


Рис. 10.17. Химическая обработка (силианизация) поверхности носителя неподвижной фазы.

намного меньшей адсорбционной активностью. На рис. 10.17 приведена схема наиболее распространенной модификации — силианизации. Как следует из рисунка, для модификации используются триметилхлорсилан, диметилдихлорсилан, гексаметилдисилазан и т. д. Последнее соединение предпочтительно из-за низкой летучести и малой токсичности. Для модификации свойств поверхности пригодны также соединения, придающие поверхности стекла водоотталкивающие свойства; можно также обрабатывать силианизирующими реагентами сами образцы. Почти все готовые носители являются химически модифицированными (использованный модификатор обычно указывается). Известны также и другие методы подавления адсорбционной активности. Можно насытить газ-носитель адсорбатом (обычно водой), которая блокирует большинство адсорбционно актив-

ных центров; но такой метод вносит ряд серьезных экспериментальных трудностей. Полностью насыщенную систему и колонки необходимо тщательно термостабилизировать, но даже при выполнении этого условия при детектировании возникают серьезные трудности. Поверхность носителя можно также покрывать либо металлом (золото, серебро), либо полимером. Известны носители, покрытые тефлоном; такие носители полностью инертны.

10.3.3. ПРИГОТОВЛЕНИЕ КОЛОНК

Описаны различные методы нанесения неподвижной фазы на носитель. Обычная методика заключается в следующем. Необходимое количество неподвижной фазы растворяют в чистом и летучем органическом растворителе. Растворение ведут в колбе, помещенной в баню. В раствор добавляют определенную навеску носителя. Количество раствора должно быть достаточным для полного покрытия носителя жидкостью. Смесь выдерживают час, периодически перемешивая, после чего отгоняют растворитель под вакуумом (водоструйный насос), нагревая смесь на водяной бане. Правильно приготовленный твердый носитель должен быть рыхлым, и от него не должно пахнуть растворителем. Твердый носитель также не должен содержать пыли.

Операция заполнения колонок достаточно проста, однако проводить ее следует очень тщательно, поскольку эффективность колонки в значительной степени зависит от правильности упаковки. Твердый носитель вводят в колонку маленькими порциями через воронку, периодически постукивая по стенкам колонки. Время от времени необходимо также постукивать нижним концом колонки об пол или твердую подставку. Хроматографический носитель должен равномерно заполнять всю колонку, иначе могут образовываться небольшие каналы с пониженным сопротивлением прохождению газа-носителя. Раньше для упаковки рекомендовалось применять различного рода вибрационные установки, но позднее было обнаружено, что лучше уплотнять материал, просто постукивая по колонке. Прямые или U-образные колонки легко упаковываются, спиральные колонки упаковывать труднее; в последнем случае рекомендуется использовать давление на входе в колонку и вакуумирование на выходе, а также постукивать по колонке. Металлическим колонкам можно придавать необходимую форму уже после того, как они заполнены. Упакованные колонки затыкают пробками из стекловаты.

Приготовленные колонки перед использованием подвергают предварительной обработке. С этой целью колонки нагревают несколько часов при температуре, на 25 °C превышающей рабо-

чую температуру, пропуская через колонку газ-носитель со скоростью примерно 5–10 мл/мин. Выход из колонки при этом должен быть отключен, чтобы предотвратить загрязнение детектора. В ходе такой обработки из колонки удаляются последние следы растворителя и легкокипящих компонентов, которые могут присутствовать в неподвижной фазе, и неподвижная фаза более равномерно распределяется по носителю.

10.3.4. НАНЕСЕНИЕ НЕПОДВИЖНОЙ ЖИДКОЙ ФАЗЫ (НЖФ) НА ВНУТРЕННЮЮ ПОВЕРХНОСТЬ КАПИЛЛЯРНЫХ КОЛОНОК

Перед началом работы с капиллярной колонкой ее внутренние стекки необходимо очистить от примесей, в частности консервирующих реагентов или следов грязи, оставшихся при изготовлении капилляра. Металлические капиллярные колонки промывают главным образом органическими растворителями, например хлороформом, ацетоном, метанолом, гексаном, диэтиловым эфиром. Колонки из нержавеющей стали, а иногда и стеклянные колонки промывают через колонку под давлением инертного газа. Для нанесения НЖФ, как правило, используют специальное оборудование (см. далее). После очистки колонку высушивают током газа-носителя.

Голей [28], автор первой работы по капиллярным колонкам, описал статический метод нанесения НЖФ. Согласно предложенной им методике, закрытую с одного конца колонку заполняют раствором неподвижной фазы в растворителе и заполненную колонку медленно протягивают через нагреваемую печь, причем в печь колонку вводят сначала открытый концом. Легучий растворитель испаряется из колонки, и на стеклах капилляра образуется пленка неподвижной фазы. Когда процесс обравления пленки закончится, остатки растворителя удаляют из колонки потоком газа-носителя. Недостаток данного метода — относительная сложность оборудования, кроме того, таким способом нельзя наносить НЖФ на стеклянные капилляры, поскольку требуемую форму колонке придают уже после нанесения НЖФ.

В настоящее время наиболее широко используется динамический метод нанесения НЖФ, требующий простого оборудования (рис. 10.18). Раствор неподвижной жидкой фазы в соответствующем растворителе (нанесенный неподвижной жидкой фазы на носитель см. в ч. 1, гл. 2) помещают в сосуд 2. Очищенную и высущенную капиллярную колонку 3 соединяют с сосудом 2, который в свою очередь соединяют с сосудом 1, содержащим газ. Раствор продавливают через колонку с постоянной скоп-

ростью потоком газа-носителя (гелия, аргона, азота или водорода). Скорость не должна превышать 2–10 см/с, иначе образуется пленка неподвижной фазы неравномерной толщины, поэтому необходим источник газа-носителя, дающий постоянный поток газа (например, электролитическая ячейка), а не поток газа постоянного давления, как в обычной хроматографии. Как только колонка 3 наполнится раствором, сосуд 2 отключают и жидкость из колонки выдавливают потоком газа в сосуд 4 с той же скоростью, с которой колонка наполнялась. Как только из колонки удалится весь раствор, скорость потока газа-носителя медленно поднимают до рабочего значения (3–5 мл/мин). Колонку кондиционируют в токе газа довольно долго (3–5 ч), чтобы удалить остатки растворителя.

Методы динамического покрытия капиллярных колонок можно разделить на две группы: 1) методы, в которых используется объем раствора НЖФ, превышающий объем заполняемого капилляра, и 2) методы, в которых используется объем раствора НЖФ, меньший объема заполняемого капилляра. Оба метода отличаются главным образом способом определения количества неподвижной фазы, остающейся в колонке в виде тонкой пленки. Нанесение НЖФ по первому методу проводят описанным выше способом. После окончания нанесения НЖФ колонку отсоединяют и взвешивают. По разности масс сухой и заполненной колонок определяют количество нанесенной неподвижной фазы M . Толщину пленки d_f рассчитывают по уравнению

$$d_f = M / 2\pi d_L r L, \quad (10.32)$$

где d_L — плотность НЖФ, r — радиус колонки, L — ее длина. Очевидно, что ввиду относительно высокой массы колонки при небольшом количестве неподвижной фазы достаточно точно определить M практически невозможно. Поэтому было предложено использовать для нанесения НЖФ такой объем раствора,

который составлял бы только 10% объема колонки. На рис. 10.18 показана схема устройства для нанесения НЖФ. В него входят две калиброванные бюретки равного диаметра, которые помешают между сосудом 2 и колонкой и колонкой и сосудом 4. В первой бюретке отмеряется объем V_1 раствора НЖФ. Этот раствор проплавливают через колонку 3 таким же способом, как это описано выше. Вышедший из колонки объем раствора V_2 точно измеряется во второй бюретке. Если концентрация c (об. %) раствора неподвижной фазы известна, то толщину пленки можно рассчитать:

$$d_f = (V_1 - V_2)c / 200L^2 \quad (10.33)$$

О гомогенности пленки жидкости в капилляре судят по эффективности приготовленной колонки. Известно, что даже при одинаковых качестве исходного материала и методике подготовки колонки перед нанесением приготовить две колонки одинаковой эффективности практически не удается. Некоторые материалы проявляют адсорбционные свойства, что уменьшает не только эффективность колонки, но и фактор емкости. Например, медь вызывает сорбцию, которая проявляется в каталитической активности поверхности колонки. Некоторые неподвижные фазы разлагаются в медных капиллярах даже при 150°C. По этой причине стеклянные капилляры предпочтительны. Однако, чтобы получить гомогенные пленки, стеклянные капилляры необходимо подвергать специальной обработке перед нанесением НЖФ. Можно, например, протравить внутренне стеки капилляра 17%ным раствором аммиака при 180°C [61], фторидом [84] или хлоридом водорода. При использовании последних двух соединений стеклянные колонки после обработки заполняют кислым раствором, запаивают с обоих концов и выдерживают некоторое время при повышенной температуре. После этого колонки открывают, промывают и высушивают и затем одним из описанных выше способов наносят НЖФ. Иногда поверхность капиллярной колонки модифицируют. Методика модификации поверхности колонки сходна с методикой модификации поверхности инертного носителя (см. разд. 10.3.2).

Капиллярные колонки можно также заполнить слоем твердого носителя, покрытого неподвижной фазой [19, 29а].

10.3.5. ПОДГОТОВКА ОБРАЗЦА

Твердые, а иногда и жидкие образцы (особенно если онивязкие) следует вводить в колонку в виде раствора в легколегучем растворителе. Растворитель должен быть очень чистым, и его хроматографический пик не должен влиять на пики исследуемых соединений.

Некоторые соединения из-за низкой термостойкости, асимметричных хроматографических пиков, неподходящих факторов разделения или низкой летучести лучше анализировать в виде производных*. Так, например, карбоновые кислоты, сахара, фенолы и спирты можно количественно перевести в менее полярные и более термостойкие производные, у пиков которых наблюдаются существенно меньшие хвосты. Однако следует помнить, что удаление сильно полярных групп из молекулы приводит к уменьшению селективности неподвижной фазы, а это в свою очередь ведет к ухудшению разделения изомеров с близкими температурами кипения, но если давление паров таких производных достаточно, то разделение можно улучшить. В настоящее время наиболее популярно получение силоксановых производных. Сахара, фенолы, спирты, гликоли, кислоты, амины и т. д. вступают в реакцию с силоксанами количественно. Никакой специальной аппаратуры для получения сильных производных не требуется. Раньше в качестве силанизующего реагента использовался чистый гексаметилдисилазан; затем его начали смешивать с триметилхлорсиланом в соотношении 2 : 1. В последнее время с этой целью стали часто использовать бис(триметилсилил)алетамид, который реагирует с исследуемыми соединениями на холоду. Реакция бис(триметилсилил)алетамида с гидроксилсодержащими соединениями протекает следующим образом:



Продукты силанизации стабильны, и перед хроматографированием обычно их не выделяют из реакционной смеси. Силанизующие же реагенты настолько летучи, что даже при большом избытке они появляются в самом начале хроматограммы и не мешают определению разделяемых компонентов.

Для получения производных соединений с малой реакционной способностью применяют также бис(триметилсилил)трифторасетамид и N-триметилоктилидиэтиламид. Помимо силанизации используется также алетилирование N-метилбис- и бис(трифтормасетамидом).

Мы считаем наилучшей следующую методику: в маленькой колбе объемом 5–10 мл взвешивают 0,2–0,1 г образца, колбу закрывают резиновой пробкой и вводят шприцем избыток бис(триметилсилил)алетамида. После чего смесь энергично встряхивают и оставляют на 15 мин. Если реакция течет нормально, колба нагревается и получается чистый раствор. Для ввода образца отирается непосредственно шприцем из колбы.

* Более подробно эти важные методы описаны в книге В. Г. Березкина (Химические методы в газовой хроматографии. — М.: Химия, 1980). — Прим. ред.

10.4. КАЧЕСТВЕННЫЙ АНАЛИЗ

При настоящем уровне развития газовой хроматографии основной упор делается на качественное определение и разделение компонентов. Все чаще и чаще идентификация, основанная на характеристиках удерживания, оказывается несостоительной и недостаточной, особенно в исследовательских работах. Основная причина, стимулирующая разработку новых методик идентификации в газовой хроматографии, состоит в следующем: основным направлением хроматографии становится не анализ тех относительно простых смесей (главным образом углеводородов), с которых, собственно, и начиналась газовая хроматография, а исследование сложных смесей природных соединений и биологических материалов. Выделенные стандартные соединения в таких случаях обычно отсутствуют, а ряд компонентов анализируемой смеси почти всегда неизвестен. Поэтому не исключено перекрывание или неправильная идентификация пиков некоторых компонентов.

Именно поэтому в настоящее время такое внимание уделяется разработке селективных детекторов, по этой же причине хроматографический анализ дополняют спектрометрическим анализом, главным образом масс-спектрометрией. Примечательно, что при этом газовая хроматография не деградирует в простой метод разделения. Напротив, объединение этих двух аналитических методов расширяет возможности каждого из них. Тем не менее идентификация анализируемых компонентов по хроматистикам удерживания (время удерживания, объем удерживания, относительный объем удерживания, индексы удерживания, и т. д.) используется все-таки чаще всего, поскольку этот метод очень прост и поскольку сложного хроматографического оборудования при этом не требуется [73].

10.4.1. ИДЕНТИФИКАЦИЯ КОМПОНЕНТОВ СМЕСИ ПО ХАРАКТЕРИСТИКАМ УДЕРЖИВАНИЯ

Хроматограмма позволяет получить три основных параметра: интервал удерживания (время или объем)*, ширину (м.м., м.л) объема газа-носителя, время) и высоту пика. Способ идентификации по ширине пика [75] не нашел широкого применения. Ширина пика зависит не только от адсорбционных процессов, протекающих в колонке, но и от диффузионных процессов, которые в значительной степени влияют экспериментальные условия, вследствие которых затруднена.

Необходимо отметить, что без предварительной, по крайней мере ориентировочной, информации об анализируемой смеси

идентификация по характеристикам удерживания практически невозможна, и даже в наилучших случаях результаты такой идентификации весьма неопределены. Теоретически можно сравнить (например, J. Chromatograph., разд. Data Section или [11]) опубликованные данные по удерживанию с параметрами удерживания, полученными экспериментально. Эта методика не дает достаточно удовлетворительных результатов отчасти потому, что приведенные в литературе данные могут отличаться от результатов, полученных экспериментально при приближительно одинаковых условиях. Нельзя гарантировать достаточную идентичность основных экспериментальных условий, например, качеству твердого носителя (часто даже две партии одного и того же материала одной фирмы резко различаются [16]), температура термостата, влияние неподвижной фазы, газоносителя и т. д. могут варьировать. Чаще всего проводится простое сравнение объемного объема удерживания компонента с объемом удерживания стандартного соединения. Если указанные объемы удерживания совпадают в пределах ошибки эксперимента, то предполагается, что стандарт и анализируемое соединение идентичны. Приведем одно из простейших уравнений для расчета удельного объема удерживания V_g :

$$V_g = (273R/M)(1/\gamma^0 p), \quad (10.34)$$

где R — газовая постоянная, M — молекулярная масса неподвижной фазы, p — давление насыщенных паров чистого анализируемого соединения, γ — коэффициент активности. Это уравнение показывает, что ни в газо-жидкостной, ни в газо-адсорбционной хроматографии $\gamma^0 p$ не может рассматриваться как специфическое для данного компонента. Поэтому с теоретической точки зрения убедительными могут считаться только те эксперименты, в которых не наблюдается совпадения объемов удерживания исследуемого и стандартного соединений. Если два или более компонентов смеси имеют одинаковые характеристики удерживания, довольно часто наблюдается перекрывание пиков. В этом случае невозможно идентифицировать компоненты простоям сравнением.

Корреляция характеристик удерживания с другими свойствами соединений помогает идентификации. Рассмотрим общие теоретические положения, на которых основана корреляционная хроматографическая идентификация. Изменение свободной энергии Гиббса для адсорбции одного моля растворенного вещества в неподвижной фазе ΔG_s , определяется выражением

$$\Delta G_s = -RT \ln p + RT \ln \gamma^0, \quad (10.35)$$

где T — абсолютная температура. Второй член правой части уравнения (10.35) является парциальной мольной избыточной

свободной энергией анализируемого соединения

$$\Delta G^E = -RT \ln \gamma^0 \quad (10.36)$$

Он характеризует отклонения сорбционного процесса от линейной зависимости. Решая совместно уравнения (10.34) и (10.35), можно показать, что объем удерживания является функцией ΔG_s^0 :

$$\Delta G_s^0 = -RT \ln (273R/MV_g) \quad (10.37)$$

Аналогичным образом из уравнений (10.34) и (10.36) получаем

$$\Delta G^E = -RT \ln (V_g p) + RT \ln (273R/M) \quad (10.38)$$

Теоретически и экспериментально подтверждено, что ΔG^E — аддитивная функция избыточной свободной энергии одиночных групп молекулы

$$\Delta G^E = \Sigma \Delta G^E (A) + \Sigma \Delta G^E (B) + \dots + \Sigma \Delta G^E (N) \quad (10.39)$$

где A, B, \dots, N — функциональные группы молекулы. Поэтому в гомологических рядах соединений с увеличением числа функциональных групп в молекуле наблюдается увеличение энергии.

Для молекул типа $(\text{CH}_3)_n(\text{CH}_2)_nX$, как показали Новак и сотр. [69], наиболее целесообразно использовать для корреляции с удерживаемыми объемами метиленовые группы (CH_2) . При совместном решении уравнений (10.38) и (10.39) получается выражение

$$\Delta G^E (\text{CH}_2) = -RT d \ln (V_g p)/dn, \quad (10.40)$$

где n — число метиленовых групп в молекуле. Зависимость $-d \ln (V_g p)$ от n (рис. 10.16) для одного гомологического ряда имеет вид прямой, наклон которой равен $\Delta G^E/RT$. Можно также построить кривую зависимости $\ln V_g$ от числа углеродных атомов в молекуле или от молекулярной массы и т. д. Вместо V_g можно использовать относительное удерживание $r_{1,2}$, приведенный объем удерживания V'_R или время удерживания t_R и другие параметры, полученные из характеристик удерживания. На рис. 10.19 и 10.20 приведены примеры таких зависимостей. Для корреляции пригодны другие параметры анализируемых соединений, которые неявно входят в уравнение (10.34), например температура кипения T_b . Используя постоянную Больцмана R (кал·моль·град⁻¹) и уравнение Антоги, получаем [52]: $p = f(R, T_b)$. В логарифмической форме после введения констант, удовлетворяющих достаточно широкому ряду соединений, это выражение принимает следующий вид:

$$\lg p = 2,9 + 0,22kT_b/T. \quad (10.41)$$

Рис. 10.19. Зависимость времени удерживания (t_R) от числа атомов углерода (n) в молекуле анализируемого соединения.

Температура колонки 78 °С; неподвижная фаза — бензилифенил; 1 — соединения ароматического ряда; 2 — парафины.

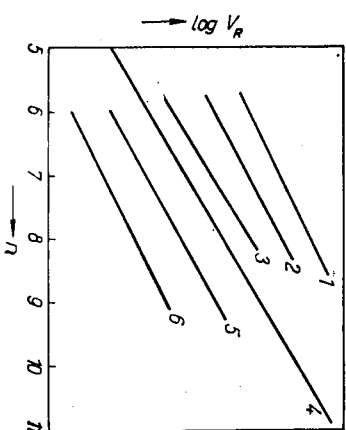
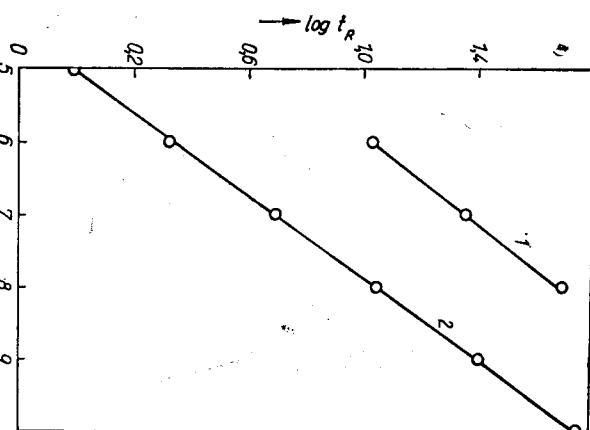


Рис. 10.20. Зависимость объема удерживания (V_R) от числа атомов углерода (n) в молекулах соединений одного гомологического ряда.



где T — рабочая температура. В логарифмической форме после введения членов из уравнения (10.41) уравнение (10.34) принимает вид

$$\lg V_g = \lg 273R/M - \lg \gamma^0 - 2,9 - 0,22k - 0,22kT_b/T \quad (10.42)$$

Пример зависимости характеристик удерживания от температуры кипения приведен на рис. 10.21. Это выражение можно также с успехом применять для определения температуры кипения неизвестных соединений [81].

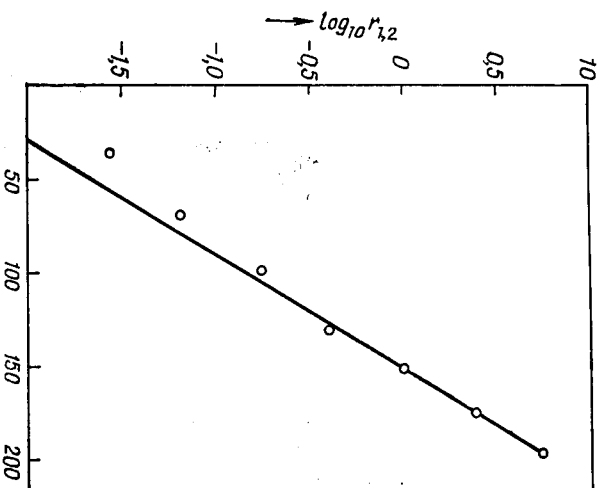


Рис. 10.21. Зависимость относительного удерживания ($r_{1,2}$) алканов C_5-C_{11} от температуры кипения (T_b).
Температура 65°C ; неподвижная фаза — сквалан; r_1 определено относительно α -нонана.

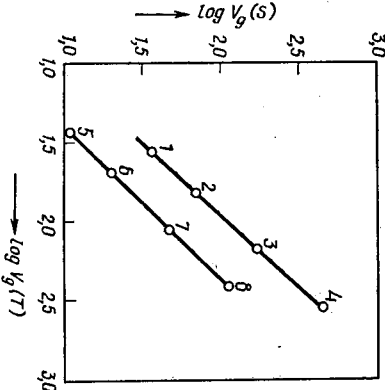


Рис. 10.22. Зависимость характеристик удерживания на двух неподвижных фазах — силиконе (S) и трикремилфосфате (T).
Температура колонки 78°C ; 1 — метиласетат; 2 — этиласетат; 3 — пропиляцетат; 4 — бутилцетат; 5 — метанол; 6 — этанол; 7 — пропанол; 8 — бутанол.

10.4.2. ОТНОСИТЕЛЬНОЕ УДЕРЖИВАНИЕ И ИНДЕКСЫ УДЕРЖИВАНИЯ

Как уже отмечалось, на абсолютные значения объема удерживания (времени) могут влиять ошибки эксперимента. Удельный объем удерживания также зависит от точности определения массы неподвижной фазы, введенной в колонку. Избежать здесь ошибок трудно, а в некоторых случаях вообще невозможно, например сложно учесть потерю неподвижной фазы в процессе эксплуатации колонки вследствие летучести и т. д. Удельный объем удерживания не дает достаточно информации относительно сорбционных свойств анализируемого соединения.

Влияние экспериментальных ошибок на результаты хроматографирования можно значительно снизить, заменив абсолютные величины характеристик удерживания на относительные:

$$r_{i,s} = V_{ni}/V_{ns} = V_{gi}/V_{gs} = (t_{ri} - t_m)/(t_{rs} - t_m) \quad (10.43)$$

где индексами i и s обозначены определяемый компонент и стандарт соответственно. Стандарт выбирают так, чтобы его характеристики удерживания лежали между характеристиками удерживания исследуемых компонентов. Это необходимо как

для более точного измерения характеристик удерживания, так и из адсорбционных требований (лик стандартного соединения должен быть симметричным и т. д.). Поэтому очевидно, что попытки найти универсальное стандартное соединение (см. [20, 21]) не увенчались успехом. На колонках с твердым носителем существенно различной полярности характеристики удерживания такого соединения будут сильно различаться, поэтому результаты определения окажутся неудовлетворительными.

Попытки систематизировать расчет значений удерживания стандартных соединений не привели к успеху. Например, некоторые авторы [20] рекомендуют рассчитывать как геометрическое среднее значений удерживаемого компонента как соединения, полученного значение к системе, в которой μ -пропан — универсальный стандарт.

Трудности, возникающие из-за использования для идентификации относительных характеристик удерживания, в значительной степени были преодолены Ковачем [46], который ввел индекс удерживания. Система индексов удерживания основана на выражении характеристик удерживания с помощью шкалы харacterистик удерживания нормальных парафинов, которая дает стократное увеличение на один атом углерода в молекуле. Индекса удерживания рассчитываются из объемов удерживания (или других характеристик) анализируемого соединения и по крайней мере двух n -парафинов, кипящих в той же области.

Чистый объем удерживания определяется выражением

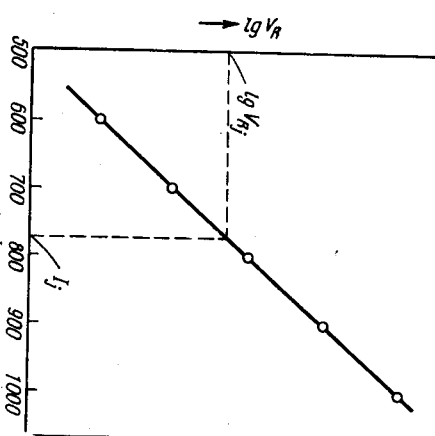
$$I = 100[z + n(\lg V_{N(i)} - \lg V_{N(z)})]/(\lg V_{N(z+n)} - \lg V_{N(z)}) \quad (10.44)$$

или

$$I = 100[z + n(\lg r_{i,z}/\lg r_{(z+n),z})], \quad (10.45)$$

где z — число атомов углерода в последнем парафине, который элюируется перед веществом i , а $z+n$ — число атомов углерода в первом парафина, элюируемом после вещества i . Графический метод расчета показан на рис. 10.23*.

Рис. 10.23. Пример использования индексов удерживания. I — индекс удерживания [см. уравнения (10.44), (10.45)]; V_R — объем удерживания; i — анализируемый компонент. Точки на прямой линии соответствуют n -парафинам C_6-C_{10} .



Членов гомологического ряда, кроме первых), уравнение (10.44) можно записать как

$$I = 100z + 100/bz(\lg V_{N(i)} - \lg V_{N(z)}), \quad (10.46)$$

где

$$b = (\lg V_{N(z+n)} - \lg V_{N(z)})/n \quad (\text{см. рис. 10.23})$$

I — линейная функция температуры колонки в минус первой степени, это указывается зависимостью $\partial I / \partial T$. Например, символ $\partial I / \partial \text{апиезон } L = 3,7$ означает, что индекс удерживания соединения i на колонке с апиезоном L в качестве неподвижной фазы изменяется на 3,7 единицы при изменении температуры на 10°C.

Символ ∂I также используется для указания разности индексов удерживания двух соединений на одной неподвижной фазе. Разность индексов удерживания соединений, хроматографируемых при одинаковой температуре, но на различных неподвижных фазах, указывается как ΔI . Хороший набор хроматографических характеристик обеспечивается $\partial I / 10^\circ\text{C}$, значением I для середины температурного интервала и используемым температурным интервалом.

* Все используемые в настоящее время величины удерживания характеристики удерживаются перед веществом i , а $z+n$ — перед веществом i . Объясняется это следующим обстоятельством. Газо-жидкостная хроматография фактически является газо-жидко-твёрдофазной хроматографией, в которой роль твёрдой фазы выполняет твёрдый носитель, и практически неконтролируемая адсорбция на поверхности твёрдого носителя (а в некоторых случаях и на поверхности раздела газовая фаза — НЖФ) приводит к тому, что величина удерживания (относительный объем удерживания, индекс удерживания и др.) изменяется в зависимости от типа твёрдого носителя, его характеристики и т. д. Методы учета адсорбции хроматографируемых соединений в газо-жидкостной хроматографии систематизированы в обзоре В. Г. Березина [Журнал ВХО им. Д. И. Менделеева, т. 25, № 6, 625 (1980)] — Прим. ред.

Ковац [46—48] и другие исследователи, например авторы [18], вывели несколько важных правил, не все эти правила подкреплены расчетами, но тем не менее они полезны как при выборе хроматографических условий, так и при идентификации анализируемых соединений.

1. Для высших членов гомологического ряда индексы удерживания увеличиваются на 100, с прибавлением в молекуле каждой новой CH_2 -группы. В ряде случаев, особенно для сильно полярных систем, наблюдаются отклонения от этого правила. Новак [66] теоретически предсказал, что отклонения могут увеличиваться с увеличением парциальной мольной энергии Гиббса $\Delta G^E(\text{CH}_2)$:

$$\ln [V_{N(z+1)}/V_{N(z)}] = -1/RT [\Delta G_c^E(\text{CH}_2) + \Delta G^E(\text{CH}_2)]. \quad (10.47)$$

2. Для неполярной неподвижной фазы разность индексов удерживания двух изомеров можно оценить по соотношению

$$\partial I \sim \partial T_b, \quad (10.48)$$

где T_b — температура кипения. Однако это соотношение часто не выполняется (см., например, [81]).

3. Индексы удерживания асимметрично-замещенных соединений можно рассчитать из индексов удерживания симметрично-замещенных соединений.

4. Однаковое замещение в молекулах одинаковой структуры приводит к одинаковому увеличению индексов удерживания.

5. Индексы удерживания неполярных соединений остаются постоянными вне зависимости от полярности неподвижной фазы.

6. Если ΔI определялась на двух неподвижных фазах различной полярности, то разность между величинами ΔI является характеристической величиной, зависящей от молекулярной структуры, и ее можно рассчитать путем сложения вкладов ΔI отдельных групп в молекуле. Таким образом можно идентифицировать неизвестные компоненты на хроматограмме.

В некоторых случаях трудно, а иногда даже невозможно, особенно при разделении на сильнополярной неподвижной фазе, использовать для сравнения гомологический ряд нормальных парафинов. Поэтому ряд авторов рекомендует другие гомологические ряды [1, 34]. Используя метиленовые группы [52, 87] в качестве основного инкремента гомологического ряда, можно получить уравнение [67], позволяющее рассчитывать индексы удерживания путем сравнения различных гомологических рядов.

$$I_b(v) = I_a(v) - I_a(b) + 100z(x), \quad (10.49)$$

где $I_b(v)$ — индекс удерживания на основании гомологического ряда b для вещества v и т. д., а z — число атомов углерода в

молекуле. Индексы удерживания широко применяются как для расчета данных удерживания, так и в целях идентификации. Высокая информативность (например, индекс $I=526$ показывает, что в данной хроматографической системе соединение элюируется где-то после μ -пентана, но ближе к нему, чем к μ -гексану), простая зависимость от температуры и аддитивный характер парциальных индексов как функции молекулярной структуры — все это способствует их широкому применению.

10.4.3. СЕЛЕКТИВНЫЕ ДЕТЕКТОРЫ

Правильно выбранные селективные детекторы могут существенно упростить идентификацию соединений, а в объединении с характеристистиками удерживания могут помочь дать приемлемый ответ относительно состава анализируемой смеси. Селективные детекторы чаще всего используются для идентификации смесей органических соединений, содержащих гетероатомы, например $\text{P}, \text{S}, \text{N}, \text{Br}, \text{Cl}, \text{I}$ или функциональные группы, например $-\text{OH}, \text{COCH}=\text{CH}-\text{CO}, -\text{NH}_2, -\text{CO}$.

Детектор считается селективным [50], если интенсивность его отклика на одно из соединений значительно выше, чем на другие, при одинаковом содержании этих соединений и одинаковых условиях; селективность считается достаточной при соотношении откликов по крайней мере 10:1. Другой подход состоит в сравнении откликов двух детекторов на одно и то же соединение [78]. В принципе это может быть установлено тремя различными путями:

1. Два детектора, селективный и неселективный, подключают к хроматографической системе параллельно или последовательно и на полученных хроматограммах определяют соотношение величин отдельных пиков. Результат одного анализа дает три типа информации: характеристики удерживания, отклик селективного детектора и отклик неселективного детектора. Основное преимущество этого метода состоит в том, что сигналы обоих детекторов получаются при одних и тех же хроматографических условиях, т. е. одинаковое количество вещества попадает в оба детектора (при последовательном соединении) или известно общее количество (при параллельном соединении). Влияние хроматографической колонки (размытие и форма пика) практически полностью исключено.

2. Отклики двух детекторов измеряются раздельно при последовательном анализе на одной колонке. Этот способ используется для большинства коммерческих приборов. Однократного анализа обычно недостаточно из-за ошибок в дозировке пробы. Целесообразнее построить калибровочную кривую для узкой области количеств образца.

3. Можно использовать две колонки, по одной на каждый детектор, чтобы в этом случае можно было судить о соотношении откликов отдельных компонентов смеси, необходим полный качественный анализ стандартной смеси.

Пример соединения неселективного [9] (пламенно-ионизационного) и селективного (пламенно-ионизационного со щелочным металлом) детекторов показан на рис. 10.24. Полученные хроматограммы показывают, что селективный детектор, поставлен-

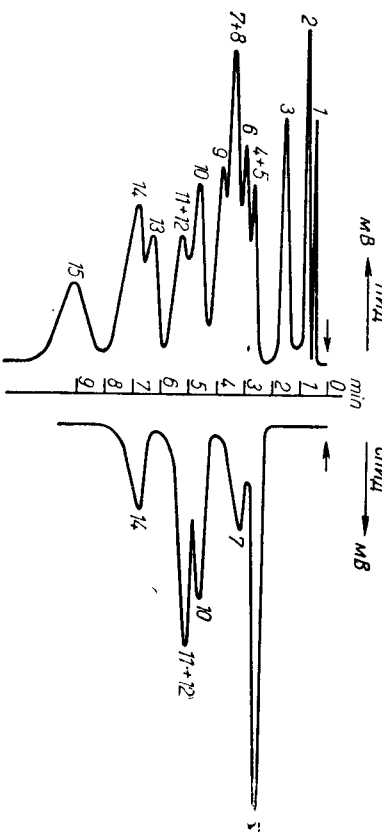


Рис. 10.24. Примеры хроматограмм, полученных при объединении пламенно-ионизационного детектора (ПИД) с селективным пламенно-ионизационным детектором (СПИД).

1 — метан; 2 — пентан; 3 — циклогексан; 4 — этилацетат; 5 — тетрахлорметан; 6 — метанол; 7 — метилхлорид; 8 — этанол; 9 — бензол; 10 — трихлорэтан; 11 — хлороформ; 12 — тетрахлорэтилен; 13 — толуол; 14 — 1,2-дихлорэтан; 15 — изоамилацетат.

ным вторым в серии, практически не дает отклика на углеводороды, тогда как неселективный детектор регистрирует их (вместе с галогенированными углеводородами). Это пример простого способа качественной идентификации: компоненты смеси, которые не дает отклика селективный детектор, относятся к классу углеводородов. Однако такие существенные различия в откликах наблюдаются отнюдь не всегда. Обычное соотношение откликов селективного и неселективного детекторов лежит в пределах $10-10^3$.

ЭЛЕКТРОННО-ЗАХВАТНЫЙ ДЕТЕКТОР

В этом детекторе используется реакция свободных электронов с определенными типами молекул в форме стабильных анионов [54, 55]: $AB + e = AB^- \pm \text{Энергия}$ или $AB + e = A + B^- \pm \text{Энергия}$.

В ионизованном газе-носителе — азоте или гелии — в качестве отрицательно заряженных частиц присутствуют только элек-

троны. Вероятность рекомбинации этих электронов с положительными ионами мала вследствие их заметно различной подвижности в приложенном электрическом поле. Скорость электронов примерно в 10^4 раз больше скорости положительных ионов. Для сбора электронов необходим исключительно низкий потенциал. Если ионизованный газ содержит соединения с более высоким сродством к электрону, некоторые свободные электроны могут захватываться молекулами этого соединения с образованием отрицательных ионов, которые движутся намного медленнее сво-

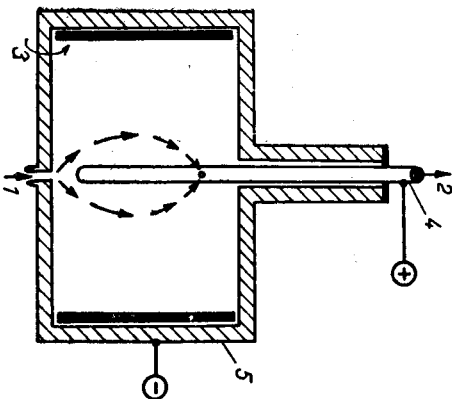


Рис. 10.25. Схема электронно-захватного детектора.
1 — вход газа из колонки; 2 — вывод в абсолютную мосферу; 3 — источник излучения; 4, 5 — электроды.

бодных электронов. В результате вероятность их рекомбинации с катионами повышается в 10^5-10^8 раз. Следовательно, присутствие соединения, которое может захватывать электроны, приводит к уменьшению ионизационного тока детектора.

Электронно-захватный детектор обычно имеет форму цилиндрической ячейки с двумя электродами (рис. 10.25). Один из электродов изготавливают из материала, являющегося источником излучения. Чаще всего это ^{63}Ni (в этом случае детекторы можно использовать при температурах до $300-400^\circ\text{C}$), а иногда ^3H , ^{226}Ra , ^{241}Am . Электроды находятся под контролируемым напряжением. В зависимости от характера применяемого напряжения возможны два метода детектирования: непосредственный токовый и пульсационный. В первом случае ЭДС все время остается постоянной, а приложенное напряжение зависит от конструкции ячейки детектора. Если применяется пульсационный метод, напряжение пульсирует ($50-30$ В) с частотой 100 мкс при длительности импульса примерно 5 мкс. Очень часто в газ-носитель добавляют метан ($5-10\%$), чтобы уменьшить энергию электронов до уровня тепловой энергии газа-носителя

путем дезактивирования столкновений; при добавлении метана подавляются некоторые аномальные сигналы.

Этот детектор дает отклик на соединения, содержащие галогены [53—56, 74], фосфор и серу [12, 24, 29, 35], нитраты [8, 53], свинец [13, 31, 55, 57] и кислородсодержащие соединения. Он детектирует также NO_2 , озон и кислород [23, 53, 62, 63] и некоторые углеводороды, например азулены, стильбены, антрацен (ср. [50]), однако на большинство углеводородов отклика не дает.

ПЛАМЕННО-ИОНИЗАЦИОННЫЙ ДЕТЕКТОР СО ШЕЛОЧНЫМ МЕТАЛЛОМ

Этот детектор является модификацией пламенно-ионизационного детектора. В нем используется отличие в ионизации в пламени в присутствии щелочного металла. Сигнал детектора превышает сигнал простого пламенно-ионизационного детектора на несколько порядков, особенно если анализируются соединения, содержащие галогены или фосфор. Щелочной металл в пламени ионизуется по реакции [70]: $\text{A} + \text{X} \rightleftharpoons \text{A}^+ + \text{e} + \text{X}$, где A — атом щелочного металла и X — молекула газа. Под каталитическим воздействием соединений, к которым детектор наиболее чувствителен (фосфор- и галогенсодержащие соединения), ионизация происходит в соответствии с реакцией $\text{A} + 2\text{H}_2 \rightleftharpoons \text{A}^+ + \text{e} + \text{H}_2$.

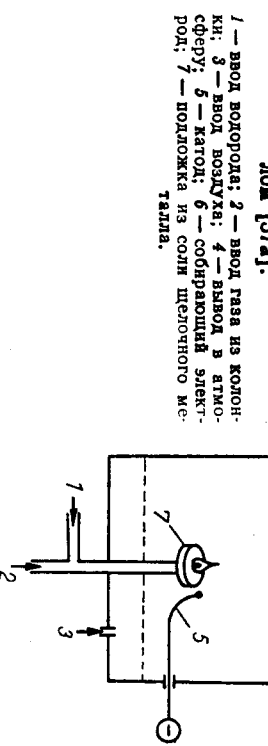
Схема конструкции такого детектора показана на рис. 10.26. Соль щелочного металла, нагреваемую пламенем горелки, помещают под электродами или между ними [79]. Пламенно-ионизационный детектор легко преобразовать в такой более селективный детектор, и этим часто пользуются в лаборатории. Однако нулевой сигнал детектора при этом всегда существенно увеличивается, и иногда стандартного электронного оборудования недостаточно для компенсации тока.

Конструктивно детекторы этого типа различаются главным образом методом крепления соли щелочного металла, методом нагревания и геометрией детектора. Все эти факторы влияют на чувствительность и селективность детектора. Соль металла обычно закрепляют на небольшой спирали, петле, сетке, пористом металле или пористой керамической прокладке. Иногда используется формирователь пламени (рис. 10.26), изготовленный непосредственно из соли щелочного металла, например бромида цезия [37].

В зависимости от геометрии детекторов их делят на две группы. В первую группу входят так называемые двухгорелочные детекторы (см., например, [9]), в которых две пламенно-ионизационные системы расположены одна над другой и имеют

общий вход газа. Источник щелочного металла располагают между двумя системами с тем, чтобы нижняя горелка работала как нормальный неселективный детектор, а верхняя система — как пламенно-ионизационный детектор со щелочным металлом. Типичная хроматограмма, полученная на приборе с такой горелкой, приведена на рис. 10.24. Так называемые одногорелочные

Рис. 10.26. Схема пламенно-ионизационного детектора со щелочным металлом [37].



ные детекторы относятся ко второй группе (см., например, [26]), в них соль располагается в потоке в нормальном пламенно-ионизационном детекторе.

Недостаток пламенно-ионизационного детектора со щелочным металлом — его относительно низкая стабильность. Поскольку поступление щелочного металла из источника или температура источника меняются, то меняются чувствительность и селективность детектора. Кроме того, на отклик влияет также скорость потока газа-носителя, расстояние от электрода до пламени, полярность электродов, диаметр струи, тип газа-носителя и анионы используемой соли. При использовании детектора описанного типа наибольшая чувствительность достигается при определении фосфорсодержащих соединений (10^{-12} г/с); чувствительность обнаружения серу- и азотсодержащих соединений несколько меньше (10^{-10} г/с); галогенпроизводные дают сигнал при 10^{-9} г/с. По этой причине данный детектор применяется главным образом для анализа биоптидов и гербицидов и ряда соединений подобного типа. Если проводится количественный анализ, чувствительность детектора необходимо очень часто проверять, поскольку часто она меняется за относительно короткий интервал времени (несколько часов), причем иногда даже на несколько порядков.

ДРУГИЕ СЕЛЕКТИВНЫЕ ДЕТЕКТОРЫ

Разработан ряд селективных детекторов, работающих по следующему принципу: образец адсорбируется под воздействи-
ем кислоты, которая затем анализируется кулонометрически, кон-
дуктометрически или полярографически. Такие методы детекти-
рования рассматриваются, например, в статьях [50, 78]. Чувст-
вительность и селективность обнаружения в большинстве

случаев зависит от правильности выбора адсорбирующей жидкости. Одной из основных проблем, возникающих при использова-
нии этих детекторов в газовой хроматографии, является под-
держание достаточной эффективности колонки в процессе ад-
сорбции компонента в детекторе. Поэтому адсорбера изготавли-
ваются очень малого объема с принудительной циркуляцией
жидкости. Так, например, чувствительность определения куло-
нометрическим детектором подсодержащих соединений равна
 10^{-13} — 10^{-14} моль/с.

Спектрофотометрические детекторы относятся к числу важ-
ных селективных детекторов. Пламенно-фотометрический детек-
тор фиксирует свет определенной частоты, испускаемый пламенем. Пламенный фотометр, определенным образом
отрегулированный и подключенный к выходу колонки, может
служить детектором [6, 42] главным образом при анализе сое-
динений, содержащих фосфор, галогены, серу (например, био-
циды), и для селективного детектирования хелатов металлов
(Mo, W, Ti, As, Zr, Rh, Cr) и т. д. Чувствительность определения
фосфорсодержащих соединений может достигать 10^{-13} г/с.
У эмиссионного детектора, в котором вместо пламени использу-
ется электрический разряд (обычно безэлектродный) [59],
аналогичные селективность и чувствительность. Так, чувстви-
тельность определения фосфор-, серу-, бром- или хлорсодер-
жащих соединений составляет 10^{-11} — 10^{-12} г/с, а чувствитель-
ность определения подсодержащих соединений достигает
 10^{-14} г/с [59]. Спектрофотометрические детекторы в большинст-
ве случаев стоят дороже, чем обычные селективные детекторы,
например электронно-захватный детектор или даже пламено-
ионизационный со щелочным металлом, но при соответствую-
щем выборе частоты излучения селективность обнаружения
спектрофотометрическими детекторами может быть очень вы-
сокой. Иногда даже можно регистрировать сигналы при двух
различных частотах и таким образом получать селективный
отклик на два различных гетероатома в молекуле. Примером
тому могут служить соединения, содержащие фосфор и серу.
При использовании двух различных светофильтров и двух оги-
ческих путей возможна регистрация сигналов при длинах волн
526 и 394 нм. Сигнал фосфора при 526 нм в 800 раз интенсивнее,

чем при 394 нм, тогда как сигнал серы при 394 нм в 22 раза
интенсивнее, чем при 526 нм [5]. Соотношение сигналов может
дать информацию об относительных номерах гетероатомов в
молекуле, т. е. дать какую-то информацию о составе молекулы.

10.4.4. ГАЗОХРОМАТОГРАФИЧЕСКИЙ АНАЛИЗ В СОЧЕТАНИИ С МАСС-СПЕКТРОМЕТРИЧЕСКИМ И ДРУГИЕ СПЕЦИАЛЬНЫЕ МЕТОДЫ

С самого начала развития хроматографии, особенно колоноч-
ной, жидкостной и плоскостной, предпринимались неоднократ-
ные попытки разработать метод однозначной идентификации
фракций, полученных после хроматографического разделения.
Очень важным шагом в этом направлении являются работы,
показавшие возможность непосредственного сочетания газо-хро-
матографического и некоторых видов спектрометрического ана-
лиза. Больше всего работ посвящено разработке методики газо-
хроматографического анализа в сочетании с ИК-спектроскопи-
ей [71, 72]. В области 2,5—15 мкм спектр удается записать за
6 с, причем полученные спектры хорошо согласуются с приве-
денными в каталогах спектрами, полученными по статической
методике. Использование флуориметрии и УФ-спектрометрии в
сочетании с газовой хроматографией оказалось не столь успеш-
ным; эта методика не получила широкого распространения, хотя
в ряде работ опубликованы различные примеры ее применения
[50].

В настоящее время наиболее отработана методика газохро-
матографического разделения в сочетании с масс-спектрометри-
ческим анализом. В этом случае масс-спектрометр (простейшей
и дешевой конструкции) может использоваться, во-первых, как
высокоселективный детектор для регистрации хроматографиче-
ских пиков, получаемых при частном значении m/e (например,
43 и 57 для парафинов от C_3 или C_4 , 91 и 78 для ароматических
соединений и бензола). Во-вторых, такая методика допускает
регистрацию масс-спектров отдельных хроматографических пи-
ков (или всех пиков). В этом случае получается полный спектр
отдельных компонентов анализируемой смеси. Второй метод
применяется чаще. Объединяя данные по характеристикам уде-
рживания с данными масс-спектрометрии, можно наиболее эф-
фективно анализировать сложные смеси природных соединений.
Современные масс-спектрометры (особенно масс-спектрометры
квадрупольного типа) позволяют регистрировать спектры за
достаточно короткое время, например 0,01 с, и в достаточноши-
рокой области значений m/e , поэтому поток газа-носителя в
ходе анализа не перекрывает и эффективность колонки, подве-
дленной к масс-спектрометру, не падает.

В установке, объединяющей газовый хроматограф и масс-спектрометр, очень большую роль играет конструкция устройства, с помощью которого колонку подсоединяют к источнику ионов масс-спектрометра. Источник ионов масс-спектрометра обычно работает под вакуумом (10^{-5} мм рт. ст.), эффективность колонки в таких условиях неизбежно значительно бы снижалась,

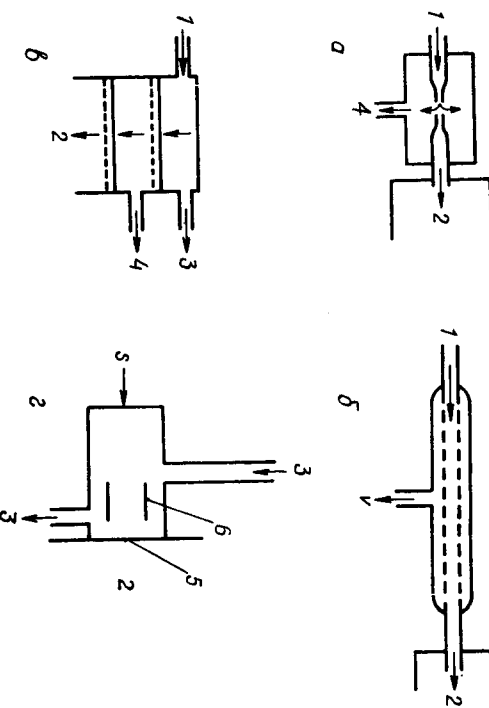


Рис. 10.27. Молекулярные сепараторы.

a — струйные сепараторы; *b* — капиллярные сепараторы; *c* — мембранные сепараторы; 1 — ввод в колонку; 2 — масс-спектрометр; 3 — газ-носитель; 4 — к вакуумному насосу; 5 — эфузионный ввод 25 мкм; 6 — источник β -излучения; 7 — ввод образца.

построены современные приборы хроматографии. Поэтому в большинстве газ-носителей (почти всегда гелий) исклучается из смеси, в результате чего образец обогащается. В молекулярных сепараторах (рис. 10.27) используется различие в свойствах газ-носителя и анализируемого компонента, обусловленных различным размером их молекул [88].

Струйные сепараторы (рис. 10.27, *a*), однодиагональные или многошаговые [77], изготавливают из металла или стекла. Диаметры форсунок и расстояние между отдельными форсунками выбирают такими, чтобы молекулы с малой молекулярной массой (газ-носитель) преимущественно отсыпались из сепаратора вакуумным насосом, а газ-носитель, обогащенный образцом, всасывался в источник ионов. В молекулярном сепараторе второго типа (рис. 10.27, *b*) газ-носитель диффундирует через по-

ристый материал [30] — стекло или тefлон. В молекулярном сепараторе третьего типа (рис. 10.27, *c*) используется преимущество растворение органических молекул в разделяющей мемbrane и их диффузия через мембрану в источник ионов масс-спектрометра [4]. Авторы работы [38] разработали новый тип соединения, объединяющий свойства молекулярного сепаратора с преимуществами специальной ионизации в масс-спектрометре (рис. 10.27, *c*) [38]. Молекулы анализируемого вещества, покидающие колонку, облучаются β -излучением и вводятся в разделяющую часть масс-спектрометра (источник ионов отключен). Поэтому в спектре анализируемого соединения присутствуют практически только одинаково заряженные ионы с исходной молекулярной массой. Это в значительной степени упрощает идентификацию соединений и интерпретацию масс-спектрограмм. (С аналогичной целью проводится и химическая ионизация [64].)

Непосредственная чувствительность, получаемая на масс-спектрометре, обычно составляет 10^{-15} — 10^{-16} г/с. В таких условиях идентификация нереальная. Для регистрации полного спектра необходимо работать в области 10^{-13} — 10^{-14} г/с. Объединение масс-спектрометра с газовым хроматографом сегодня один из наиболее эффективных аналитических методов. Это также область, в которой использование вычислительной техники для оценки анализов находится на высоте. Существуют компьютеризированные системы, которые помнят хроматограммы и соответствующие спектрограммы и могут выбрать соответствующее вещество из банка данных, или они могут непосредственно сравнивать полученные экспериментальные данные с данными, хранящимися в библиотеке. Такое объединение нашло широчайшее применение в области медицинских анализов, анализов окружающей среды, где должно проводиться большое число сложных разделений.

10.5. КОЛИЧЕСТВЕННЫЙ АНАЛИЗ

10.5.1. ВОЗМОЖНЫЕ ИСТОЧНИКИ ОШИБОК

Прежде чем приступить к описанию методов количественной оценки хроматограмм, отметим возможные источники ошибок.

1. *Ввод образца.* Прежде всего необходимо отобрать образец, который содержал бы как жидкую, так и газообразную или твердую фазы, а сделать это достаточно сложно. Далее, во многих случаях о гомогенности материала, например нефти, природного газа и т. д., приходится судить по очень малому его образцу. При этом также возможны ошибки. И наконец, большое

сти в хроматограф в неизмененном виде, можно предварительно испарить, или разложить, или же перевести в то или иное производное. Неправильно выбранная методика приведет к ошибочным результатам.

2. Адсорбция или разложение образца в хроматографе. Количественная газовая хроматография требует, чтобы весь введенный в колонку образец вышел из нее в виде ряда пиков, соответствующих компонентам образца. Однако некоторые компоненты могут сорбироваться или разлагаться в системе ввода, колонке или детекторе. Известны случаи, когда весь введенный образец необратимо сорбировался в системе. Установить возможность такой сорбции достаточно просто: следует приготовить смесь трудно определяемого вещества с инертным углеводородом и вводить ее в хроматограф при различных давлениях. Если отношение площадей пиков двух соединений остается постоянным, то исследуемое соединение в хроматографе не сорбируется и не разлагается.

3. Детектирование. Каждый детектор дает различный отклик на различные соединения, и при проведении количественного анализа необходимо знать коэффициент чувствительности. Отклик детектора меняется также при изменении рабочих условий. Так, например, чтобы получить правильные и воспроизводимые результаты с помощью катарометра, необходимы строго постоянные поток газа-носителя, температура детектора, ток нагрева, сопротивление нити и внешнее давление.

4. Регистрация. Ошибки могут появляться и на стадии регистрации результатов анализа самописцем. Чтобы исключить возможность их появления, необходимо выбрать рабочий интервал, определить область линейности, скорость протяжки ленты, скорость движения пера, мертвый ход и электрический нуль. Точность измерений устанавливают с помощью стандартов.

5. Оценка удерживания пиков. Вероятно, наиболее ответственным моментом является преобразование хроматографических пиков в числовые данные, соответствующие составу образца. Этот вопрос мы обсудим отдельно.

6. Расчеты. Полученные числовые значения, соответствующие площадям хроматографических пиков, должны быть пропорциональны концентрации компонентов образца. Этот вопрос мы также рассмотрим отдельно.

10.5.2. ОЦЕНКА ХРОМАТОГРАФИЧЕСКИХ КРИВЫХ

Для количественной оценки хроматограмм можно использовать либо высоту, либо площадь пиков. Выбор метода оценки зависит от вида и характера кривых и от технических возможно-

стей. Высоту пика измерить намного быстрее, чем его площадь. Однако у кривых зависимости высоты пика от количества вещества линейный участок меньше, чем у кривой зависимости площади пика от количества вещества. Кроме того, высота пика сильно зависит от рабочих условий (температуры, скорости потока газа-носителя, размера введенного образца), которые должны поэтому поддерживаться очень точно на постоянном уровне. Если применяются упакованные колонки, высоту пика

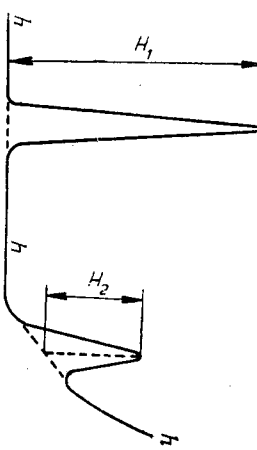


Рис. 10.28. Измерение высоты пика.
 H_1 , H_2 — измеренная высота; h — нулевая линия.

обычно измеряют в тех случаях, когда масса образца не достигает 10 мкг; если же анализ ведется на капиллярных колонках, высоту пика измеряют в тех случаях, когда масса образца не достигает 0,1 мкг. Высота пика измеряется по перпендикуляру от нулевой линии до максимума пика (рис. 10.28) независимо от дрейфа нулевой линии.

Поскольку изменение рабочих условий на площади пика оказывается значительно меньше, их не нужно столь тщательно поддерживать постоянными. Поэтому в настоящее время для оценки результатов разделения пользуются площадями пиков. Измеряют площади пиков следующими способами:

1. Планиметрия. Преимущество данного способа оценки состоит в том, что характер и форма кривой в этом случае не имеют значения. Из-за низкой чувствительности планиметра и особенностей конструкции им нельзя измерить ни слишком большие, ни слишком малые площади. Возможны также субъективные ошибки, которые тем больше, чем больше площадь. Метод трудоемок, требует много времени и менее точен, чем другие методы (ошибка порядка 4%). Воспроизводимость результатов измерений, проводимых различными исполнителями, обычно неудовлетворительна.

2. Вырезание и взвешивание пиков. Этот метод используется относительно редко. Как и при планиметрическом определении, форма кривой не имеет значения. Метод требует много време-

ни, но может быть достаточно точным, особенно в случае асимметричных кривых. Однако в этом случае необходимым условием является гомогенность бумаги, постоянство ее толщины и плотности.

5. *Графическое интегрирование*. Пик делят на вертикальные полосы равной ширины, высоты которых затем складывают.

6. *Электронное или механическое интегрирование* (см. разд. 8.7).

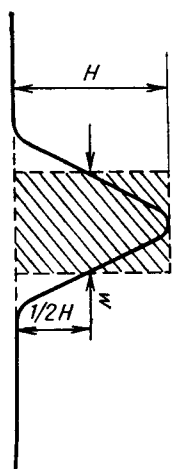


Рис. 10.29. Измерение площади как произведения высоты на полуширину (квадратура).

H — высота; w — ширина; полученная площадь пропорциональна площади пика.

Помимо субъективные ошибки, особенно при вырезании. Недостаток метода — необходимость разрезания хроматограмм, правда, для этого можно использовать фотокопии, при этом ошибка определения составляет примерно 2%.

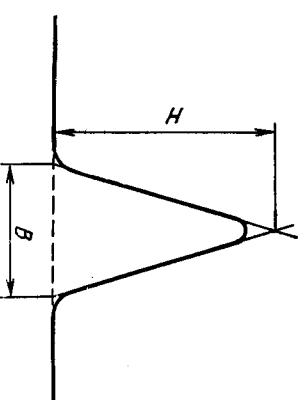


Рис. 10.30. Измерение площади треугольником методом высоты и основания.
 H — высота, B — основание.
Площадь = $0,5 \cdot B \cdot H$.

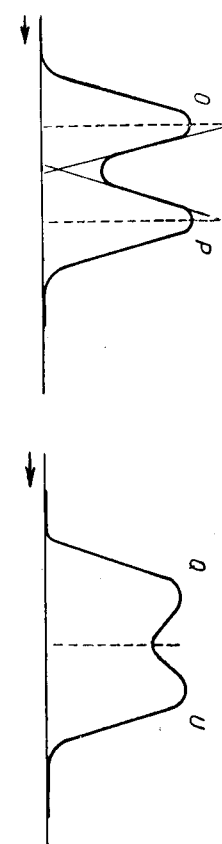


Рис. 10.31. Оценка площади не полностью разделенных пиков.
 a — измеряется высота пика или площадь пика определяется триангуляционным методом; b — измеряется площадь от перпендикуляра, проведенного через минимум (Q , P); Q , U — пара хроматографируемых соединений.

3. *Определение площади пика как произведения его высоты на полуширину, или квадрирование кривой*. В принципе при использовании этого способа площадь пика определяется какплощадь прямоугольника: высоту пика умножают на его ширину, измеренную на полувысоте пика (рис. 10.29). Эта методика достаточно проста и требует мало времени, но точность результата определения зависит от формы пика. Поэтому таким способом нельзя определять площадь асимметричных пиков или пиков с малой высотой и большим основанием. Ошибка определения площади симметричных пиков составляет около 2,5%.

4. *Приближение к площади треугольника, или триангуляция*. В этом случае площадь пика измеряют как площадь треугольника (рис. 10.30). Высоту измеряют от нулевой линии до точки пересечения касательных в точках перегиба кривой. Методика относительно проста, и высоту таким способом определить лег-

триангуляционным или измеряя высоты пиков. Касательные проводятся через точки перегиба для кривых O и P . Если касательная к кривой P пересекает нулевую линию после максимума кривой O , а касательная к кривой P пересекает нулевую линию перед максимумом кривой P (как показано на рис. 10.31, а), то применим метод триангуляции. Если перекрытие пиков настолько велико, что этот метод нельзя использовать, то высоту пика оценивают, проведя перпендикуляр из минимума между пиками к нулевой линии (рис. 10.31, б), и площадь обеих половинок измеряют планиметрически. Полученные таким образом результаты сравниваются с полученными для искусственно приготовленной смеси компонентов Q и U . Два перекрывающихся пика, если они симметричны, можно разделить расчетным методом или подобрать на электронном имитаторе и затем измерить планиметрически, но это требует навыка.

Если один из компонентов находится в большом избытке и если подобрать условия, позволяющие добиться полного разделения, невозможно, то провести количественное определение намного сложнее. Единственно возможный способ — отсечь меньший пик и рассчитать его площадь, например, планиметрически.

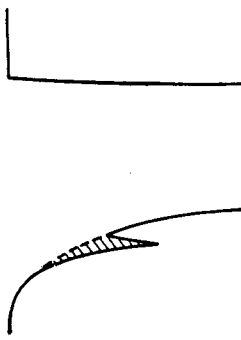


Рис. 10.32. Оценка площади пика компонента, содержащегося в следовой концентрации. Заштрихованная площадь измеряется планиметром и сравнивается с площадью добавленного стандарта.

Чеки, как показано на рис. 10.32. После этого к образцу добавляют известное количество меньшего компонента, повторяют разделение и сравнивают обе хроматограммы.

10.5.4. КОЛИЧЕСТВЕННАЯ ОЦЕНКА ХРОМАТОГРАММ

Хроматограммы можно количественно оценить либо непосредственно, либо с помощью некоторых видов калибровок.

- 1. Прямой метод, или нормализация.** Этот метод можно применять только в тех случаях, когда все компоненты смеси отличаются, необходимо определить поправочные коэффициенты для каждого детектора отдельно. Для расчета процентного содержания отдельного компонента применяется следующее соотношение:

$$A = [(Площадь A/F_A)/\Sigma (Площадь_i/коэффициент)] \cdot 100\% \quad (10.51)$$

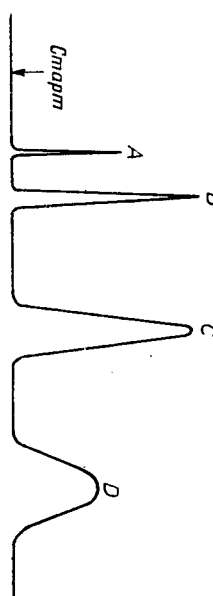


Рис. 10.33. Нормализация площади. А, В, С и Д — площади, соответствующие отдельным компонентам; сумма этих площадей составляет 100%.

рутся из колонки и детектор дает линейные и воспроизводимые данные с одинаковой чувствительностью для всех компонентов. Таким образом, можно определить химически подобные соединения, например о- и *n*-килол, используя в качестве детектора катарометр, а в качестве газа-носителя — водород или гелий. Оценить таким способом хроматограмму несложно (рис. 10.33), и сделать это можно достаточно быстро.

$$A = [A/(A+B+C+D)] \cdot 100\% \quad (10.50)$$

где А, В, С, Д — площади пиков.

Площади, соответствующие отдельным компонентам, не всегда пропорциональны их процентному содержанию, другими словами, различные компоненты могут давать различные сигналы, поэтому необходимо определять поправочные коэффициенты для каждого из них. Найденные поправочные коэффициенты можно использовать для расчета процентного состава смеси. Поскольку принципы действия различных детекторов различаются, необходимо определять поправочные коэффициенты для каждого детектора отдельно. Для расчета процентного содержания отдельного компонента применяется следующее соотношение:

2. Метод расчета поправочных коэффициентов для пламенно-ионизационного детектора. Приготавливают калибровочную смесь соединений А, В, С и Д известной массы и после разделения измеряют площади, соответствующие отдельным компонентам. Далее рассчитывают отношение площадей и масс каждого компонента, одно из отношений принимают за стандартное и все поправочные коэффициенты приводят к этому значению, т. е. поправочные коэффициенты для других соединений получают делением их отношений на отношение для стандартного соединения (поправочный коэффициент для стандартного соединения принимают равным единице). Следовательно, полученные коэффициенты являются относительными.

3. Метод расчета поправочных коэффициентов для катарометра.

Поправочные коэффициенты для катарометра можно рассчитывать так же, как для пламенно-ионизационного детектора. Однако можно также пользоваться так называемыми массовыми коэффициентами. Площадь пика умножают на массовый коэффициент и таким образом получают исправленное значение площади соответствующего компонента. Полученные таким способом значения для всех компонентов нормализуются, и концентрация каждого вещества рассчитывается в процентах. Чтобы получить массовый коэффициент компонента, делят его молекулярную массу на относительный мольный отклик (отношение отклика каждого компонента к отклику одного выбранного соединения, который принимается равным 100).

4. Метод абсолютной калибровки. В колонку вводят известное количество вещества и рассчитывают площади полученных хроматографических пиков. По полученным данным строят калибровочную кривую зависимости площади пика от соответствующего количества вещества (рис. 10.34). Калибровочная кри-

вая должна быть линейной и должна проходить через начало координат. Собственно анализ проводят следующим образом: вводят известное количество анализируемой смеси, устанавливают площади пиков отдельных компонентов, по калибровочной кривой определяют соответствующее количество каждого компонента.

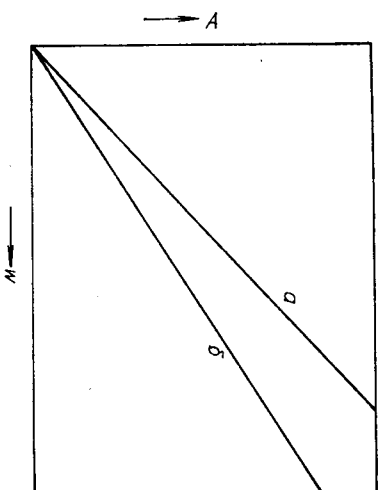


Рис. 10.34. Калибровочная кривая, используемая в методе абсолютной калибровки. Зависимость площади (A), ограниченной кривой элюирования, от массы (w) хроматографируемых соединений (a, b).

понента и переводят его в массовые проценты в соответствии с уравнением

$$A = \frac{\text{площадь } A \cdot g / \text{площадь}}{g \text{ (введенное количество)}} \cdot 100\% \quad (10.52)$$

Метод абсолютной калибровки имеет ряд недостатков. В частности, необходимо точно определять массу вводимого в колонку образца, условия разделения должны быть строго постоянными. Вся процедура занимает довольно много времени.

5. **Метод внутреннего стандарта.** Приготавливают смеси, содержащие чистый анализируемый компонент и внутренний стандарт в различных соотношениях, хроматографируют их, определяют площади полученных пиков и строят калибровочную кривую (рис. 10.35) зависимости отношения площадей пиков от отношения масс компонентов и стандарта. Анализ проводят следующим образом: известное количество внутреннего стандарта добавляют к известному количеству образца и смесь хроматографируют, измеряют площади пиков, рассчитывают их отношение и по калибровочной кривой определяют соотношение масс стандарта и анализируемого компонента. Поскольку коли-

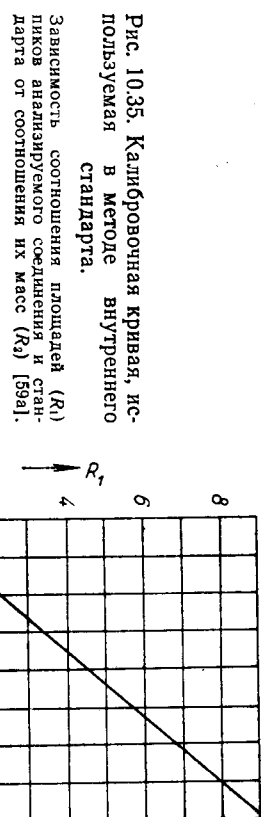


Рис. 10.35. Калибровочная кривая, используемая в методе внутреннего стандарта. Зависимость соотношения площадей (R_1) пиков анализируемого соединения и стандарта от соотношения их масс (R_2) [55a].

Метод внутреннего стандарта имеет следующие преимущества: не нужно точно измерять количество вводимого образца, не нужно определять величину отклика детектора или поддерживать ее строго постоянной, поскольку определяются не абсолютные величины, а их отношение. Основной недостаток данного метода — трудность подбора подходящего внутреннего стандарта. Пик внутреннего стандарта должен быть полностью отделен от пиков других соединений, но в то же время он должен располагаться достаточно близко от пика определяемого соединения, концентрация стандарта должна быть приблизительно такой же, как и концентрация определяемого компонента, и наконец, стандарт должен быть структурно похож на анализируемое соединение. В случае более сложных смесей можно добавлять два и более внутренних стандарта. Метод внутреннего стандарта применяется не только в газовой хроматографии.

6. **Метод стандартной добавки.** Этот метод аналогичен описанному выше. Он отличается лишь тем, что добавляемый стандарт является одним из компонентов смеси. Этот метод используется главным образом в тех случаях, когда невозможно, например из-за плохого разрешения, подобрать какое-либо другое соединение.

чество добавленного стандарта известно, содержание компонента можно рассчитать из отношения. Например, к 10 мл образца добавлено 5 мкг/мл. Найденное соотношение площадей равно 8, соответствующее соотношение масс, найденное по калибровочной кривой, равно 7. Полное количество стандарта в 5 мл составляет 250 мкг, следовательно, в исходной смеси содержится $7.250 = 1750$ мкг определяемого компонента.

10.6. ПРОГРАММИРОВАНИЕ ТЕМПЕРАТУРЫ

10.6.1. ПРИЧИНЫ ИСПОЛЬЗОВАНИЯ

Программирование температуры, или контролируемое изменение температуры колонки в процессе анализа, используется для улучшения, упрощения и ускорения разделения и идентификации компонентов образца. Этот метод очень удобен при анализе сложных смесей, содержащих соединения с самыми раз-

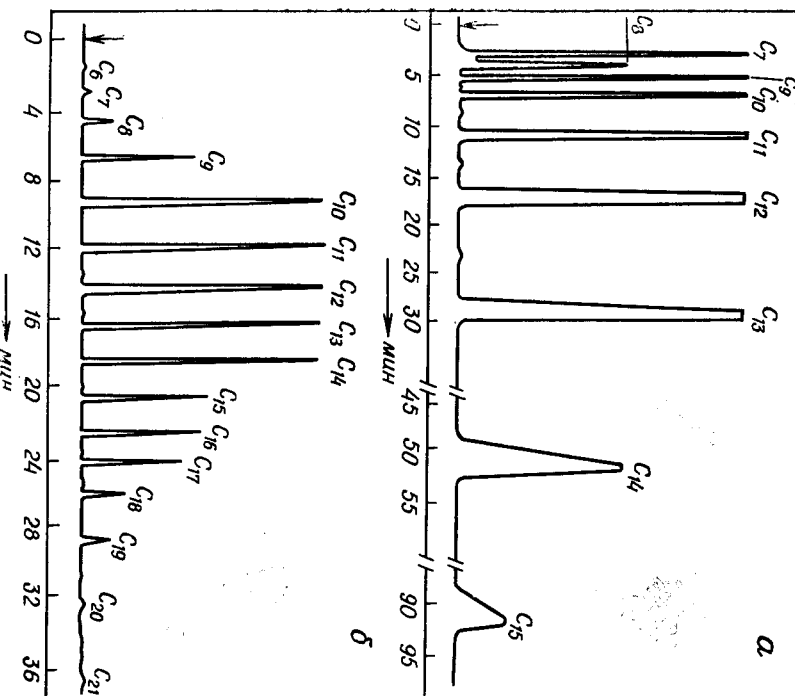


Рис. 10.36. Хроматограммы смеси углеводородов, полученные в изотермическом режиме при 150 °C (а) и в условиях программируемого подъема температуры (б) с 50 до 250 °C (8 °C/мин) [59а].

личными температурами кипения. На рис. 10.36 сравниваются хроматограммы одной и той же смеси, полученные на одной колонке при изотермическом разделении и разделении с программированием температуры. При изотермическом режиме

10.6.2. МЕТОДИКИ И ПРИМЕНЕНИЕ

При использовании программирования температуры должны выполняться некоторые условия. Так, например, устройство для ввода пробы, колонка и детектор должны быть расположены отдельно с тем, чтобы их температуру можно было регулировать.

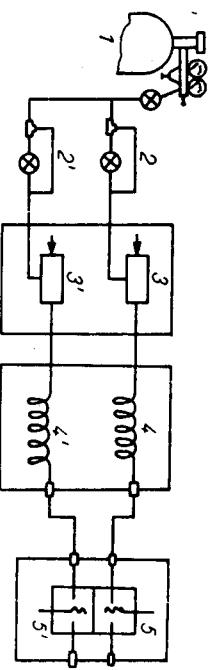


Рис. 10.37. Схема двухколонной хроматографической установки.
1 — источник газа-носителя; 2, 2' — регуляторы потока газа-носителя; 3, 3' — системы ввода пробы; 4, 4' — колонки; 5, 5' — детекторы.

независимо. Изменение температуры в процессе анализа в устройстве для ввода пробы и в детекторе нежелательно, а иногда и недопустимо, особенно для катарометра, который очень чувствителен к температурным изменениям. Программирование должно проводиться с точностью и воспроизводимостью 1 °C/мин: в области от 0,25 до 20 °C/мин. Эти условия должны выполняться, если идентификация соединений проводится по времени элюирования. Используемая неподвижная фаза должна быть стабильной даже при максимальной рабочей температуре. Если концентрация неподвижной фазы в газе-носителе достигнет порядка 1 мкг/моль, то наблюдается заметный свив нулевой линии. Влияние летучести неподвижной фазы устраняется либо соответствующим выбором ее, либо использованием двух колонок (рис. 10.37). Обе колонки содержат одинаковое количество неподвижной фазы, одна из колонок применяется как рабочая, а

другая как сравнительная. Сигнал, поступающий из сравнительной колонки, вычитают из сигнала, поступающего из рабочей колонки, это позволяет исключить влияние летучести неподвижной фазы. В двухколоночной системе в качестве детектора целесообразнее применять катарометр, а не пламенно-ионизационный детектор. На рис. 10.38 показаны хроматограммы одной

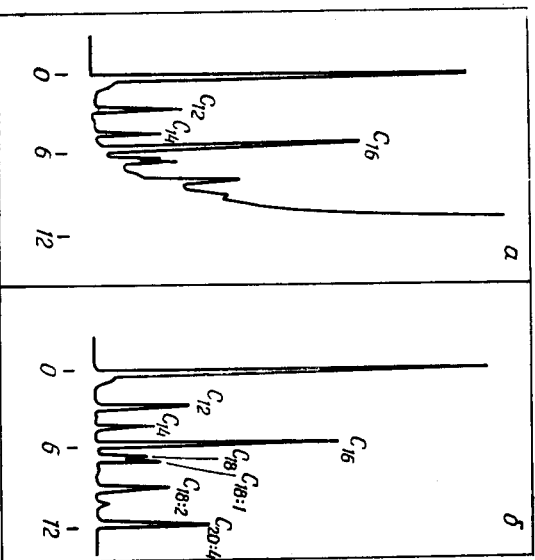


Рис. 10.38. Анализ метиловых эфиров жирных кислот с программированием температуры на хроматографической установке с одной (а) и с двумя (б) колонками [59а].

и той же смеси, полученные при программировании температуры на одно- и на двухколоночной системе.

Опыт работы с программированием температуры подсказывает, например, что длина упакованной колонки должна составлять 2–3 м, начальная температура должна быть несколько ниже, чем температура кипения самого низкокипящего компонента. Скорость подъема температуры должна удовлетворять двум требованиям: должна обеспечивать хорошее разделение при приемлемой скорости анализа. При малой скорости нагрева высококипящие компоненты элюируются очень медленно, в результате чего на хроматограмме могут появляться нерегистрируемые пики. При быстром нагреве понижается эффективность разделения. Обычная скорость нагрева для колонки размером 2–3 м × 2–3 мм составляет 1–4 °С/мин. Скорость потока газа-носителя влияет на длительность элюирования значительно сла-

бее, чем температура. Конечная температура разделения должна быть близка к температуре кипения наиболее высококипящего компонента.

Газовая хроматография с программированием температуры дает наиболее хорошие результаты при анализе смесей компонентов с широким диапазоном температур кипения, при изучении состава сложных смесей природных соединений, при разделии сильно сорбирующихся соединений в газо-адсорбционном варианте хроматографии и, наконец, при выявлении следов высококипящих компонентов в различных смесях.

10.7. ДРУГИЕ ПРИМЕРЫ ПРИМЕНЕНИЯ ГАЗОВОЙ ХРОМАТОГРАФИИ

10.7.1. ИЗМЕРЕНИЕ ИЗОТЕРМ АДСОРБЦИИ

Для расчета изотерм адсорбции по хроматографическим данным предложено несколько методов. Наиболее широким предпочтением пользуется метод, в котором изотермы сорбции рассчитываются по кривым десорбции [27, 33]. Этот метод можно применять, если диффузионные эффекты сведены к минимуму и адсорбционное равновесие устанавливается достаточно быстро. Разделение в этом случае проводят следующим образом: непрерывный поток элюента вводят при заданной температуре в колонку до полного ее насыщения. После этого через колонку пропускают чистый газ-носитель, который элюирует адсорбированное вещество. Снижение концентрации адсорбата в газоносителе вплоть до его полного исчезновения регистрируется детектором. Изотерму адсорбции рассчитывают, исходя из формы кривой десорбции. На рис. 10.39 показана типичная хроматограмма, представляющая изотерму Ленгмюра. Концентрация сорбата в газе показана как функция времени. Если оба вышеуказанных условия выполняются, фронт адсорбции имеет четкую форму, тогда как ветвь десорбции размыта. Если известно время обрыва фронта адсорбции, то количество адсорбата c_0 можно определить: оно пропорционально площади АВДО. Десорбционную ветвь кривой можно использовать для расчета количества адсорбированного вещества при концентрациях от 0 до c_0 :

$$x = (n\bar{c} - y)c/m, \quad (10.53)$$

где x — количество десорбированного вещества при концентрации \bar{c} (точка G на рис. 10.39), ммоль/г; n — число молей чистого газа-носителя, прошедшего через колонку после прерывания потока сорбата до выхода данной концентрации. Это соответствует количеству газа-носителя, прошедшего через колонку за

интервал $H-E$ (рис. 10.39); c — концентрация адсорбата в точке G , моль/моль газа-носителя; m — количество адсорбента, g ; y_c — количество адсорбата, оставшееся в колонке при концентрации адсорбата c (оно пропорционально площади GHJ).

Преимущество данного метода заключается в том, что одна десорбционная кривая, полученная за один эксперимент, дает такое число точек, которое достаточно для построения изотермы адсорбции. Кроме того, этот метод применим при низких концентрациях.

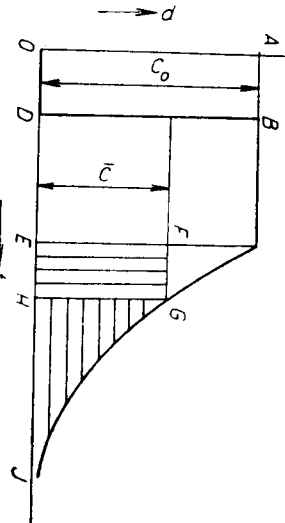


Рис. 10.39. Десорбционная хроматограмма в эксперименте Грета и Стоука [33]. d — отклонение детектора; t — время; C_0 — концентрация адсорбата в точке G ; площадь $EFHG$ соответствует произведению yc [см. уравнение (10.53)].

щие расчеты, необходимо знать площадь под ниспадающей ветвью хроматограмм. Следовательно, этот метод нетригиден при низких концентрациях полярных адсорбатов, адсорбированных на активных носителях, где ниспадающая ветвь асимптотически приближается к нулевой линии. В других описанных в литературе методах расчета изотерм адсорбции* используется фронтальный анализ [43], вытеснительная методика [40] и т. д. [17].

10.7.2. ОПРЕДЕЛЕНИЕ ТЕПЛОТЫ АДСОРБЦИИ

Метод определения теплоты адсорбции на основании хроматографических данных описан в ряде работ [2]. При определении теплоты адсорбции используется уравнение

$$k = t' \frac{RT}{L}, \quad (10.54)$$

* Возможность изучения адсорбции хроматографического вещества на поверхности твердого носителя рассматривается в статье Березкина В. Г. [Журнал ВХО им. Д. И. Менделеева, 25, 625 (1980). — Прим. ред.]

где k — константа равновесия адсорбции (отношение числа молекул, адсорбированных на 1 см^2 адсорбента, к числу молекул, содержащихся в 1 см^3 газовой фазы, в условиях равновесия); t' — исправленное время удерживания, соответствующее максимуму пика (c); u — линейная скорость газа-носителя в пустой колонке ($\text{см}/\text{с}$); L — длина упакованной колонки, см. Как указано в работе [32], константу k можно рассматривать как константу адсорбционного равновесия, и при выполнении подходящего замещения можно получить следующее уравнение:

$$\lg pT_R = (-\Delta H/2,203R)(1/T) + a, \quad (10.55)$$

где

$$pT_R = t' R (T_c/T_f)^{3/2} [(\rho_i/\rho_0)^2 - 1]/[(\rho_i/\rho_0)^3 - 1] \quad (10.56)$$

где pT_R — исправленное время удерживания, с; ΔH — изменение энталпии адсорбции, кал/моль; R — газовая постоянная, кал·моль $^{-1}$ ·град $^{-1}$; T_c — температура колонки, К; T_f — температура расходомера, К; ρ_i — давление на входе в колонку, мм рт. ст.; ρ_0 — давление на выходе из колонки, мм рт. ст. Константа a является функцией энтропии адсорбции, размеров колонки и скорости потока газа-носителя. Если эти факторы поддерживаются постоянными, то зависимость логарифма исправленного объема (времени) удерживания от величины, обратной абсолютной температуре колонки, имеет вид прямой. Ее наклон пропорционален теплоте адсорбции ΔH . В более поздней работе [2] расчеты проводились по уравнению

$$\lg pTV_N = (-\Delta H/2,303RT) + a, \quad (10.57)$$

где pTV_N — исправленный объем удерживания, мл/г. При построении зависимости логарифма этой величины от обратной температуры получают аналогичную кривую, по наклону которой можно рассчитать теплоту адсорбции.

Соответствующие измерения проводятся на тех же установках, которые используются для разделения. Метод измерений состоит в регистрации характеристик удерживания соединений в зависимости от установленной температуры.

10.7.3. ИЗМЕРЕНИЕ УДЕЛЬНОЙ ПОВЕРХНОСТИ АДСОРБЕНТА

Для измерений удельной поверхности адсорбентов и твердых веществ в некоторых случаях применяется метод, разработанный Нельсоном и Эгертсоном [65] и называемый «хроматографическим методом динамической десорбции». Поток газа-носителя (гелий или водород), содержащий адсорбат (чаще всего азот, реже бутан, бензол и т. д.) в концентрации от 5 до 30%, прохо-

дит через адсорбент ($\sim 0,05$ — 1 г), помещенный в U-образную трубку. Адсорбционное равновесие на поверхности устанавливается при комнатной температуре. Трубку с адсорбентом после этого охлаждают до температуры кипения жидкого азота ($-195,8^{\circ}\text{C}$), опуская ее в сосуд Дьюара. Вследствие адсорбции азота на поверхности адсорбента концентрация его в газе-носителе понижается. Это понижение фиксируется катарометром. После извлечения трубки из сосуда Дьюара азот десорбируется с поверхности адсорбента и концентрация его в газе-носителе увеличивается. Самописец записывает в это время пик, направленный в противоположную по сравнению с адсорбционным лицом сторону. После калибровки по газообразному азоту отклика детектора можно рассчитывать объем адсорбированного азота (равный объему десорбированного азота) либо, по одному, либо по обоим пикам. Зная число молекул и площадь, занимаемую одной молекулой адсорбата (для азота $16,2 \text{ \AA}^2$), можно рассчитать удельную поверхность адсорбента. Расчет основан на теории Брунауера, Эммета, Теллера (БЭТ) [7], основное используемое уравнение записывается следующим образом:

$$[p_r/V(1-p_r)] = 1/V_m C + [(C-1)V_m C] p_r. \quad (10.58)$$

где p_r — относительное давление или сотовая часть объемной концентрации адсорбата (обе величины безразмерные); V — объем адсорбата, адсорбированного при данных условиях, мл; V_m — объем адсорбата, необходимый для покрытия поверхности адсорбента мономолекулярным слоем, мл; C — константа БЭТ. Если V определяется экспериментально по краине мере для двух различных (и известных) значений p_r , то значения C и V_m можно получить графическим решением уравнения (10.58). Для азота в качестве адсорбата $C \gg p$, поэтому значение V_m можно рассчитать по данным одного эксперимента [36], если упростить уравнение (10.58) и пренебречь членом $1/C$:

$$V(1-p_r) = V_m, \quad (10.59)$$

Величину удельной поверхности S рассчитывают по уравнению

$$S = (V_m \sigma N / 22,4g) 10^{-20} \text{ м}^2/\text{г}, \quad (10.60)$$

где g — масса адсорбента, г; N — число Авогадро и σ — поверхность, занимаемая одной молекулой адсорбата, Å^2 .

Удельную поверхность адсорбентов измеряют либо на обычном хроматографе с детектором по теплопроводности, присоединенном для подсоединения к нему U-образных трубок с адсорбентом, либо на специально смонтированной из отдельных элементов установке (рис. 10.40) [45]. Смесь азота и гелия (или азота и водорода) из баллона 1 проходит через ловушку 2 в установку 3 . С помощью регулятора давления 5 в обеих ветвях

устанавливают одну и ту же скорость газа ($0,25$ — $1,0$ мл/с). Газ проходит через систему ввода 6 , используемую для калибровки прибора газообразным азотом, в измерительную часть с U-образной трубкой 7 (диаметр 5 мм, длина 10 см), содержащей исследуемый образец. Поток газа-носителя проходит через колонку 8 , упакованную активным углем, для компенсации объемных изменений, вызванных охлаждением или нагреванием ад-

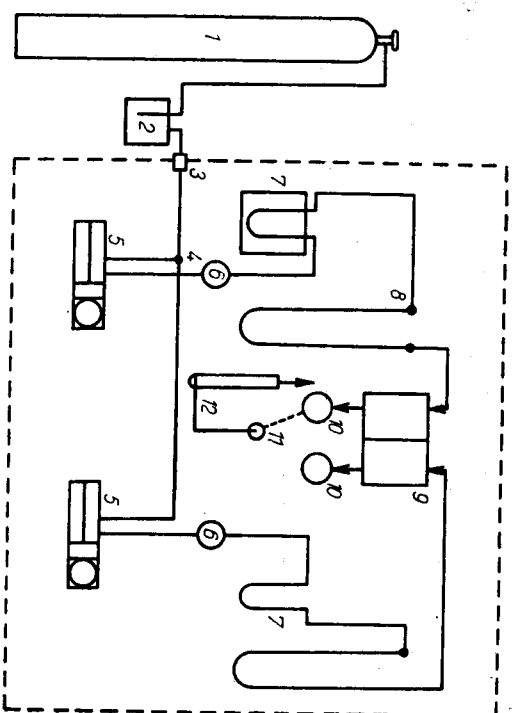


Рис. 10.40. Установка для измерения удельной поверхности адсорбента.
1 — баллон со скатым газом; 2 — ловушка; 3 — соединительное устройство; 4 — T-образная трубка; 5 — регулятор потока газа-носителя; 6 — устройство для ввода проб; 7 — U-образная трубка; 8 — стабилизационная колонка; 9 — катарометр; 10, 11 — соединения; 12 — расходомер.

адсорбента. Газ, покидающий колонку, поступает в детектор 9 . Как только в системе установится равновесие, т. е. нулевая линия перестанет смещаться, трубку с образцом погружают в жидкий азот и выдерживают там до установления равновесия. После возвращения нулевой линии в исходное положение трубку с адсорбентом извлекают из азота и записывают кривую десорбции. Определенный объем газообразного азота вводят шприцем в систему ввода 6 таким образом, чтобы он дал одинаковый с десорбионной ветвью сигнал. С помощью такой калибровки рассчитывают объем десорбированного азота.

10.7.4. ХРОМАТОГРАФИЯ ПРОДУКТОВ ПИРОЛИЗА

Объединение пиrolитического процесса с газовой хроматографией в единий аналитический процесс значительно расширяет возможности метода. С помощью газовой хроматографии

невозможно анализировать малолетучие соединения, поскольку при этом в колонке необходимо поддерживать очень высокую температуру, превышающую тот предел, при котором еще можно использовать неподвижную фазу, кроме того, некоторые компоненты образца при повышенных температурах могут разлагаться. Поэтому объединение пиролиза с газовой хроматографией в ряде случаев представляется весьма целесообразным.

Непосредственное присоединение пиролитической приставки к газовому хроматографу имеет ряд преимуществ: 1) высокая эффективность разделения и как результат быстрый, точный и очень детальный анализ продуктов пиролиза; 2) высокая чувствительность пламенно-ионизационного детектора, что позволяет использовать микрограммовые количества вещества для пиролиза; 3) идентификация продуктов пиролиза по характеристикам удерживания или масс-спектрам, если используется газовый хроматограф и масс-спектрометр; 4) возможность отбора отдельных продуктов пиролиза, позволяющая проводить их дальнейшее изучение и анализ. Газовый хроматограф с пиролитической приставкой может применяться как для качественного, так и для количественного анализа, а иногда и для определения физических постоянных пиролитического процесса [15].

Вещества, подвергаемые пиролизу дают смесь газообразных и жидких продуктов; их хроматограмма называется пирограммой. Программа данного соединения, полученная в определенных экспериментальных условиях, является характерной и воспроизводимой. Программа может содержать либо один, либо несколько типичных пиков. При пиролитическом разложении ряда полимеров, например полиметилакрилатов, образуется один и тот же типичный продукт. Однако обычно в процессе пиролиза образуются несколько продуктов, и в таких случаях иногда можно выбрать на хроматограмме типичный продукт, который характеризует анализируемое соединение, например уксусную кислоту для поливинилацетата, нитрилы для некоторых барбитуратов. Чтобы идентифицировать исследуемое соединение в отсутствие таких характерных продуктов, необходимо сравнивать полученные пирограммы с пирограммами модельных соединений. Отдельные компоненты пирограмм можно идентифицировать по методу, описанному в разд. 10.4.

Количественная оценка пирограмм основана на наличии определенного соотношения между количеством пропиленованного соединения и количеством полученных в результате пиролиза типичных продуктов. Если такие продукты отсутствуют, то на пирограмме выбирают наиболее характерные пики и строят для них калибровочную кривую. Чтобы результаты анализа были воспроизводимыми, необходимо поддерживать постоянными

экспериментальные условия, особенно температуру пиролиза. Даже незначительное изменение температуры может существенно повлиять на состав продуктов.

ТЕХНИКА ПИРОЛИЗА

Очень часто для пиролиза используется нить накала, см., например, конструкцию [49], показанную на рис. 10.41. Нить подключают таким образом, чтобы она могла нагреваться про-

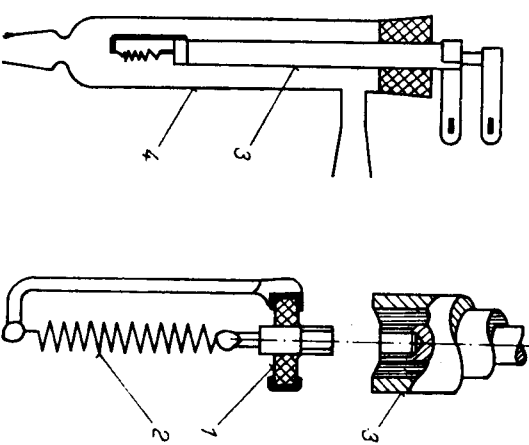


Рис. 10.41. Схема пиролитической ячейки.
1 — изолатор; 2 — нить; 3 — проточные каналы; 4 — пиролитическая ячейка.

текущим по ней током до определенной температуры за требуемое время (0,1—10 с). Образец, предварительно растворенный в легучем растворителе, наносят на нить и испаряют растворитель либо пропускают через нить слабый ток, либо облучая ИК-лампой. Поскольку температура нити неодинакова по ее длине (концы нити обычно холоднее), желательно наносить образец всегда на один и тот же участок нити. По этой причине в центре готовых нитей обычно имеется небольшая петля. На такие петли можно помешать твердые образцы. Вне зависимости от способа нанесения образца какая-то часть его может теряться. Из-за быстрого нагрева нити часть образца, непосредственно контактирующая с нитью, сразу же пиролизуется, и газы могут унести другую часть образца из зоны нагревания. Нить обычно

можно использовать от 10 до 40 раз. В процессе пиролиза выделяется углерод, который растворяется в горячей нити, что приводит к уменьшению ее механической прочности и локально-му изменению электрических свойств. Обычно при этом приходится увеличивать ток, необходимый для нагревания нити до заданной температуры, до тех пор, пока он не достигнет такой величины, при которой нить начинает гореть. Используя небольшую лодочку, нагреваемую спиралью, можно избежать этих трудностей, но образец при этом нагревается медленнее (несмотря на это, воспроизводимость результатов остается очень хорошей).

Гидролиз можно также проводить не на нити, а в реакторной ячейке. Этот способ имеет определенные преимущества. Образец нагревается до требуемой температуры быстрее, поскольку ячейку предварительно нагревают. Температура выделяется более четко благодаря термосгату. Таким образом можно вести пиролиз точно взвешенных твердых образцов. Недостатки метода — возможность каталитического влияния стеклоконтакта реактора и возможность вторичных реакций из-за длительного пребывания продуктов пиролиза в зоне нагрева. Чаще всего в качестве реактора используют трубы, введенные в печь, либо обычную, либо индукционную. Во втором случае необходимо обычная температура достигается быстрее из-за использования точки Кюри. Иногда образец помещают в зону электрического разряда между электродами или нагревают ИК-излучением, или, если образец разлагается достаточно легко, допускается чтобы устройство для ввода образца в хроматограф было обогреваемым.

ФАКТОРЫ, ВЛИЯЮЩИЕ НА ПИРОЛИЗ

Основное влияние на программу оказывает температура пиролиза. Температура пиролиза устанавливается лишь по истечении определенного времени, и нагреваемое вещество выдерживается некоторое время при температуре более низкой, чем температура пиролиза. Следовательно, программа характеризуется не заданной температурой пиролиза, а некоторым температурным интервалом. Отклонения от программ, соответствующих температуре пиролиза, становятся более заметными с увеличением времени, необходимого для достижения заданной температуры. Это время лежит в пределах от 0,08 с (для нити) до 400 с (для лодочки). При использовании реакторной ячейки это время значительно сокращается, поскольку образец вводят непосредственно в нагретый реактор.

Пиролиз должен проводиться как можно быстрее по двум причинам: во-первых, при повышенных температурах возможны

вторичные реакции и, во-вторых, продукты пиролиза должны вводиться в хроматографическую колонку в виде наиболее компактной зоны. Скорость выхода продуктов из зоны пиролиза также связана с длительностью пиролиза и зависит от конструкции реактора и скорости потока газа-носителя. Известно, что с увеличением скорости газа-носителя уменьшается вероятность прохождения вторичных реакций, но при этом предполагается, что скорость прохода газа через реактор не должна влиять на температуру последнего.

Вид программы зависит также от давления газа-носителя и его природы. Пиролиз чаще всего проводится в инертной атмосфере. В присутствии кислорода результаты анализа всегда искаются. В некоторых случаях проводится гидрогенизация продуктов пиролиза водородом. Высокое давление газа-носителя приводит к обогащению продуктов пиролиза низкокипящими соединениями. Материал, из которого изготовлен реактор (обычно стекло или кварц), и материал нити (обычно платина, никром или вольфрам) чаще всего не оказываются заметного влияния на программу. Хотя в ряде случаев и наблюдались некоторые отрицательные каталитические эффекты [15] (они проявляются в основном при использовании твердых носителей в ячейке реактора). Поверхность такой ячейки может быть в значительной степени покрыта продуктами пиролиза, полученными в предшествующих опытах, и каталитическая активность такой ячейки соответственно меняется.

ОСНОВНЫЕ ОБЛАСТИ ИСПОЛЬЗОВАНИЯ

Пиролитические методы наиболее часто используются для анализа полимеров [3, 15]. Описаны методики идентификации полиметилакрилатов, поликарилатов, полистирола, полиакрилонитрила, полиэтилена, полипропилена, полидиенов, политетрафторэтилена, полиэфиров, полiamидов и различных сополимеров. Исследованы также пиролиз углеводородов, диалкилфосфатов, карбонилов различных металлов, силиканов, солей четвертичного аммония, барбитуратов, феноглицидинов, порфиринов и т. д. Из числа природных материалов особенно подробно изучены аминокислоты и белки, стериоиды, древесный уголь, нефть и минералы.

10.7. АНАЛИЗ СЛЕДОВ МЕТОДОМ ГАЗОВОЙ ХРОМАТОГРАФИИ

Анализ следов методом газовой хроматографии целесообразен, если а) одновременно необходимо определить несколько компонентов смеси, б) примесные компоненты химически иден-

тичны основным, в) возможен автоматический и полуавтоматический анализ. Максимальная чувствительность хроматографического определения, необходиимая для анализа следов, может быть достигнута оптимизацией четырех основных параметров метода: 1) чувствительности и селективности детектора, 2) максимального объема (массы) анализируемого соединения, 3) эффективности хроматографического разделения, 4) положения следов компонента на хроматограмме.

Оптимизация первых двух параметров привела к созданию двух групп методов — методов непосредственного анализа и обогатительных методов. В методах первой группы используются высокочувствительные, главным образом селективные детекторы, которые позволяют обнаруживать следы компонента в объеме образца, непосредственно введенного в хроматограф. Методы второй группы позволяют работать с большими объемами образца (от нескольких десятков до сотен литров газов или от нескольких до сотен миллилитров жидкости). При непосредственном введении в хроматограф такого объема газа или жидкости эффективность колонки значительно снижалась бы или вообще упала до нуля.

НЕПОСРЕДСТВЕННЫЕ МЕТОДЫ

Чувствительность метода определяется главным образом чувствительностью детектора. Минимальное детектируемое количество определяется уравнениями:

$$n_i(\text{min}) = (k_m/b)[A_i(\text{min})/(a_{i0} - a_0)] \quad (10.61)$$

для проточно-массовых детекторов и

$$n_i(\text{min}) = k_r(F/b)[A_i(\text{min})/(a_{i0} - a_0)], \quad (10.62)$$

для концентрационно-зависимых детекторов, где $n_i(\text{min})$ — минимальное детектируемое количество компонента i ; F — скорость потока газа-носителя; b — скорость перемещения ленты; a_{i0} — удельный отклик детектора для вещества i и a_0 — отклик на газ-носитель; A_i (пп) — минимальная определяемая площадь на хроматограмме для вещества i ; R_m и k_0 — константы.

Максимальный объем образца $V_{\text{образ}}^*$, который не приводит к значительному изменению хроматографической кривой и, следовательно, к потере эффективности колонки, определяется соотношением

$$V_{\text{образ}} < a_r \sqrt{n} (V_M + K_D V_L) \quad (10.63)$$

или

$$V_{\text{образ}} < a_r (V_g / \sqrt{n}), \quad (10.64)$$

где n — число теоретических тарелок; V_g — удельный объем удерживания; V_M и V_L — объемы подвижной и неподвижной

фаз в колонке и K_D — константа распределения. Фактор a_r характеризует размытость хроматографического пика по сравнению с пиком, полученным для образца очень малого объема. Уравнение (10.63) характеризует гипотетический объем одной теоретической тарелки в колонке. Положение вещества на хроматограмме (объем удерживания V_R) влияет на минимальное детектируемое количество n_{min} (для хроматографического метода, но не для детектора), которое определяется как

$$c_{\text{min}} = 2V_R n_t(\text{min}) / \sqrt{n}. \quad (10.65)$$

Чувствительность метода можно повысить, уменьшая объем удерживания компонента, содержащегося в следовых количествах, или увеличивая эффективность колонки при поддержании постоянной чувствительности детектора. Часто, чтобы понизить объем удерживания, можно с успехом использовать систему с селективным детектором, если она позволяет селективно регистрировать один продукт пиролиза без отделения его от оставшихся. Соответственно в ряде случаев можно воспользоваться фронтальной методикой газовой хроматографии.

ОБОГАТИТЕЛЬНЫЕ МЕТОДЫ

Обогатительные методы предусматривают накопление следов компонента (увеличение его концентрации). Хроматография — один из немногих методов, позволяющих объединить процесс накопления с последующим анализом и количественным детектированием.

Коэффициент обогашения определяется следующим выражением:

$$m_S/m_Z = S_{S/Z} (m_S)_{\text{or}} / (m_Z)_{\text{or}} \quad (10.66)$$

где m — количество (масса, объем, число молей) основного компонента (индекс Z) или следов (индекс S) после обогашения или в исходной смеси (индекс or).

Хроматографические обогатительные методы делятся на три группы: а) Обогашение следов вещества в колонке, в которой основной компонент адсорбируется слабее. б) Обогашение путем удаления основного компонента на колонке, где он сильнее адсорбируется или вступает в химическую реакцию и т. д. в) Обогашение и разделение на одной и той же колонке (метод известен под названием «возвратной хроматографии»).

В методах а и б применяется система из двух колонок — обогатительной и хроматографической, — в которой последнюю колонку можно отключить с помощью крана или стандартного устройства для ввода пробы (рис. 10.42) [83]. При заданной температуре поток определенного объема образца проходит че-

рез обогатительную колонку, которая может работать по любому хроматографическому принципу. Объем образца либо измеряют расходомером, либо рассчитывают, исходя из фазового равновесия в обогатительной колонке [69], устанавливаемого при рабочей температуре. По окончании процесса обогашения определяемый компонент десорбировался возможно скорее. Одновременно (или перед нагреванием) обогатительную колонку соединяют с хроматографической колонкой. Десорбирующиеся компоненты поступают в хроматографическую колонку, раз-

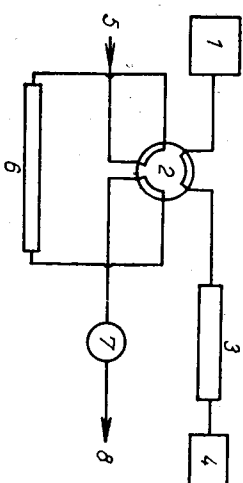


Рис. 10.42. Схема подсоединения обогатительной колонки.

1 — регулятор потока газа-носителя; 2 — шестиголовой кран; 3 — хроматографическая колонка; 4 — детектор; 5 — выход анализируемого газа; 6 — обогатительная колонка; 7 — интегральный расходомер; 8 — выход анализируемого газа.

деляются в ней, их количество устанавливается по отклику предварительно откалиброванного детектора.

При использовании этих методов должны соблюдаться следующие правила. Температура, при которой проводится обогащение, должна быть достаточно низкой, иначе возможны потеря вследствие элюирования определяемых компонентов (если объем анализируемого образца измеряется после выхода образца из обогатительной колонки). Температура десорбции должна быть достаточно высокой, чтобы десорбция компонентов прошла количественно за достаточно мало время (для достижения эффективности разделительной колонки). Коэффициент обогашения должен быть достаточно высоким, чтобы концентрация анализируемого компонента была достаточной для детектирования и чтобы основной компонент не мешал детектированию.

Метод, объединяющий обогащение с разделением, называют возвратной хроматографией. Этот метод (рис. 10.43) предусматривает применение подвижного температурного градиента в хроматографической колонке. Предполагается, что каждый компонент проходит до той части колонки, где температура соответствует его адсорбционному равновесию (так называемая характеристическая температура), после этого его скорость перемещения по колонке становится равной скорости перемещения

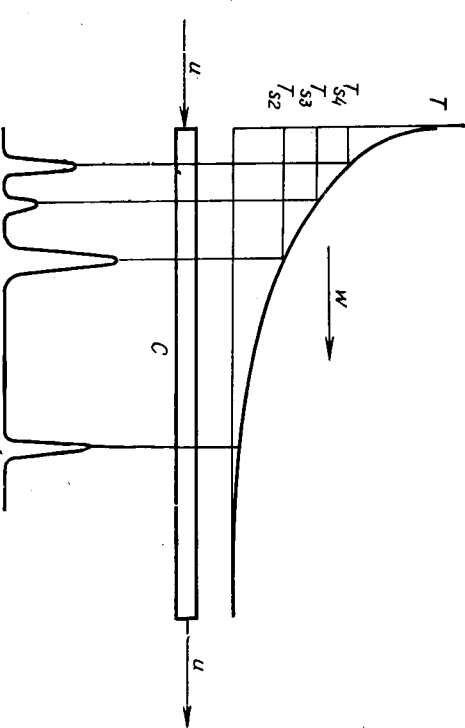


Рис. 10.43. Схема разделения методом возвратной хроматографии.

С — колонка; u — скорость газа-носителя; w — скорость перемещения температурного градиента вдоль колонки; T — температура; T_S — характеристическая температура; t — время.

Однако часто непосредственно объединить газовую хроматографию с процессом обогашения не представляется возможным. В таких случаях следы обычно экстрагируют и их концентрацию в экстракте измеряют независимо. В любом случае особое внимание должно быть обращено на качественную подготовку исходного образца. При обогатительном методе абсолютная чувствительность достигает до 10^{-6} частей на миллион.

10.8. ПРИМЕРЫ ИСПОЛЬЗОВАНИЯ

10.8.1. АНАЛИЗ ГАЗОВ И НЕКОТОРЫХ СОЕДИНЕНИЙ, ИГРАЮЩИХ ВАЖНУЮ РОЛЬ В ОКРУЖАЮЩЕЙ СРЕДЕ

Хроматографический анализ газов характеризуется некоторыми особенностями методики анализа и способов ввода образца. Сосуды для газообразных образцов часто используются для

их переноски и хранения. Резиновые или пластмассовые сосуды для этого обычно не пригодны. Одни газы растворяются в них (например, углеводороды растворяются в резине и поливинилхлориде), а другие (CO_2 , H_2 , Не и т. д.) могут диффундировать через стекло. Солевые растворы, применяемые в качестве жидкостей затворов, могут также обеднять образец некоторыми компонентами. Лучше всего хранить газообразные образцы в стеклянных сосудах, а в качестве затвора использовать ртуть. Объем

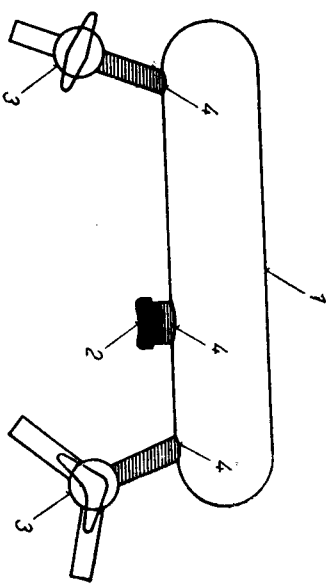


Рис. 10.44. Сосуд для газообразных образцов.

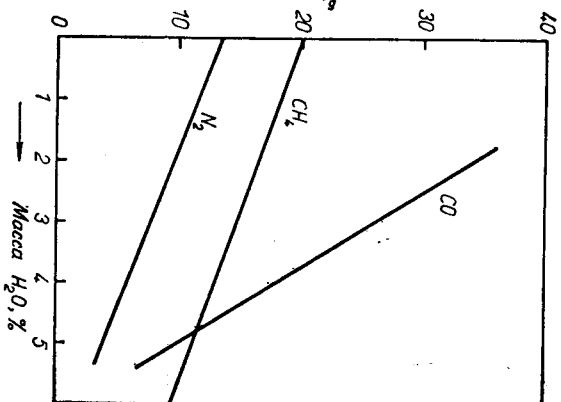
1 — сосуд; 2 — резиновая крышка; 3 — краны; 4 — запорная жидкость (ртуть).

сосудов обычно меньше, чем в классическом газовом анализе; вполне достаточно объема 10—50 мл. Очень удобно закрывать горло сосуда прокладкой из специальной резины, чтобы образцы можно было отбирать шприцем. Типичный сосуд показан на рис. 10.44.

Газообразную пробу вводят в хроматограф либо через петлю для образца (см. 10.6), либо шприцем. Объем пробы обычно равен от 0,1 до 5 мкл, большие объемы используются только в исключительных случаях. Чем больше внутренний диаметр шприца, тем труднее сохранить давление на входе в колонку и тем больше вероятность того, что часть образца потеряется. Чаще всего газы утекают через зазоры между поршнем и стенками шприца (если поршень не притертый или если шприц не снабжен приспособлением для ввода пробы) и в месте прокола резиновой прокладки иглой.

Газы — особенно постоянные — чаще всего анализируют методом газо-адсорбционной хроматографии. Эффективность адсорбционных колонок обычно ниже, чем у жидкостных колонок, особенно для веществ с большим объемом удерживания. Селективность адсорбента может меняться с изменением содержания

Рис. 10.45. Влияние содержания воды в адсорбенте (молекулярное сито 5A) на характеристики удерживания (удельный объем удерживания V_d).



воды в адсорбенте (рис. 10.45), которая появляется либо из-за плохой активации адсорбента, либо из-за плохой очистки газоносителя. Преимущество адсорбционных колонок по сравнению с колонками с неподвижной жидкой фазой — легкость их регенерации при нагревании. Большинство постоянных газов, за исключением углеводородов, не обнаруживаются пламенно-ионизационным детектором, поэтому обычно в качестве детекто-

ра используется катарометр. Для повышения чувствительности обнаружения иногда полезно воспользоваться детектором по электронному захвату или применять каталитическое превращение газов в метан, который детектируется пламенно-ионизационным детектором.

Большинство газообразных образцов образуется в процессе горения. Обычно это смеси, содержащие некоторые (или все) из перечисленных газов: водород, кислород, оксид или диоксид углерода, оксили азота и серы, метан и другие летучие углеводороды, азот. Для разделения водорода, кислорода, азота, метана и оксида углерода наиболее пригодно молекулярное сито 5A (алюмосиликат кальция). На колонке, заполненной 20 г адсорбента с частицами размером 0,1—0,2 мм, используя аргон или гелий в качестве газа-носителя (со скоростью потока 1 мл/с), эту смесь разделяют при комнатной температуре. Адсорбент необходимо активировать в течение 6 ч при температуре около 450°C. Вода, содержащаяся в адсорбенте (степень полноты активации), влияет на относительное удержива-

ние компонентов (см. рис. 10.45). Однако емкость молекулярного сита 5А по отношению к воде очень высока (он адсорбирует до 12% воды), так что влажность газов не имеет практического значения. Анализ можно повторять много раз до заметного изменения адсорбционных свойств. Молекулярное сито 5А сильно адсорбирует диоксид углерода (он количественно определяется только при температуре, близкой к температуре активации) и поэтому непригодно для анализа последнего.

Выделяют диоксид углерода на колонке, заполненной порошком Q. Первая фракция, выходящая из колонки, представляет собой смесь водорода, кислорода, азота и оксида углерода, вторая фракция — чистый метан, третья — диоксид углерода. Разделение ведется на колонке размером 1 м × 2 мм (внутр. диаметр) при комнатной температуре. Если необходимо разделить смесь на отдельные компоненты, то можно использовать порошок Q при пониженной температуре. Однако эта методика не всегда применима, поскольку серийные хроматографы не предназначены для работы при пониженных температурах. Значительно чаще разделение ведут на двух параллельных колонках, одна из которых заполнена молекулярным ситом 5А, другая — поропаком Q. Скорость потока газа-носителя регулируется таким образом, чтобы в колонке с поропаком Q она была больше. Образец делится перед колонками в соотношении, соответствующем скоростям потока, и соединяется вновь перед детектором, который регистрирует фракции в порядке их прохождения: 1) кислород, азот, оксид углерода (выходящие вместе); 2) диоксид углерода; 3) кислород; 4) азот; 5) оксид углерода. В некоторых случаях можно использовать два детектора (по одному на каждую колонку), но при этом необходима точная регулировка скорости потока.

Газообразные соединения серы можно разделить на активированном силикагеле деактивель (Davison Grade 12) при температуре 120°C. Компоненты смеси с частицами размером 0,1—0,2 мм в алюминиевых колонках 60 см × 4 мм (внешт. диаметр) элюируются в следующем порядке: воздух, CO₂, COS, H₂S, CS₂, SO₂. Анализ оксидов азота обычно ведется на двух колонках. На одной колонке (2,7 м × 3 мм), заполненной молекулярным ситом 5А, пропускается азот (50 мл/мин), разделяют O₂ и NO; NO₂ адсорбируется на колонке необратимо. На второй колонке (6 м × 1 мм), заполненной носителем флюоропак 80, на которой нанесено 10% неподвижной фазы, 10% SF = 96, пропускается при 25°C азот (4 мл/мин), отделяют NO (который появляется вместе с кислородом) от NO₂. Преимущественно используется электронно-захватный детектор. При проведении таких анализов следует помнить о возможности реакции оксида азота с кислородом. Если в образце содержится кислород, то

он при прохождении через колонку реагирует с NO так, что найденное количество NO₂ соответственно меньше действительного, а

результирующее количество NO₂ соответственно больше.

Результаты анализа газов часто могут быть ошибочными из-за отсутствия достаточно чувствительных детекторов. Те соединения (CO, CO₂ и т. д.), которые не обнаруживаются ни электронно-захватным, ни пламенно-ионизационным детектором, особенно трудно детектируются в малых концентрациях. Имен-

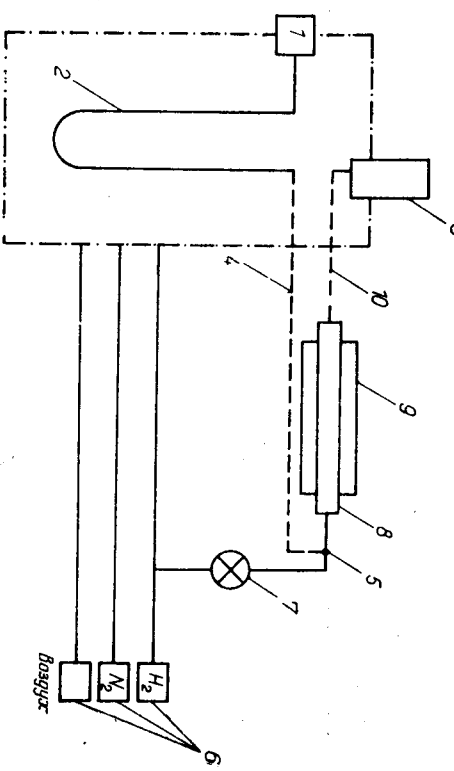


Рис. 10.46. Схема каталитического конвертера с подсоединенными к нему газохроматографом.
1 — ввод пробы; 2 — колонка; 3 — пламенно-ионизационный детектор; 4 — капилляры (вн. диам. 0,1—0,5 мм); 5 — Т-образная трубка; 6 — источник газа; 7 — ионный капилляр; 8 — катализатор; 9 — печь; 10 — капилляры.

но по этой причине был разработан метод превращения этих газов в метан, который детектируется пламенно-ионизационным детектором с достаточной чувствительностью. Преимущество данного метода — простота, с которой серийные детекторы приспособлены для проведения таких анализов (если, конечно, реактор ставится вместе с детекторами).

На рис. 10.46 показана схема подключения каталитического конвертера. Катализатор приготавливают следующим образом. В фарфоровой чашке смешивают 3 г Ni(NO₃)₂, 6 г H₂O и 0,45 г Th(NO₃)₄ · 4H₂O. К смеси добавляют навеску носителя (30 г) с частицами размером 0,2—0,4 мм (хромосорб W, хроматон, порошок) и добавляют такое количество листилированной горячей воды, чтобы образовалась паста. Приготовленную пасту нагревают на небольшом пламени до полного испарения воды, затем

пламя увеличивают и продолжают нагревать смесь до полного удаления оксидов азота. Катализатор помещают в кварцевую трубку и гидрогенизируют, нагревая примерно 8 ч в электрической печи при 350—400°C в токе водорода. Приготовленный катализатор помещают в кварцевую трубку диаметром 3—4 мм и длиной примерно 25 см, которая соединяется с хроматографом описанным выше способом. В хроматографе катализатор нагревают печью с тем, чтобы его температура составляла около 400°C.

После подключения катализатора к газовой линии поток водорода регулируют таким образом, чтобы проходящий через катализатор газ содержал по крайней мере 60% водорода по отношению к газу-носителю, обычно азоту. Однако оптимальный режим работы пламенно-ионизационного детектора требует присутствия водорода только в очень малых концентрациях. Такой способ гидрогенизации обычно применяется только для определения оксида и диоксида углерода. Наименьшее детектируемое количество в 5 мл образца, например воздуха, составляет примерно 0,5·10⁻⁴ CO. Этот метод можно также использовать и для анализа других газов, например CS₂, COS, HCN, (CN)₂.

Хроматография часто используется [22] для определения состава неизвестных сложных смесей при исследовании химического влияния на окружающую среду. Пока еще не разработаны анализаторы постоянного действия, позволяющие выявить какие-то определенные загрязняющие примеси, например, в воздухе или воде. При проведении анализа сложных смесей обычно проводится их обогащение или применяется экстракция, позволяющие определять компоненты при концентрациях их ниже 10⁻¹²% с высокой селективностью. Для выявления газовых включений часто используется методика обогатительной хроматографии. Например, при определении кислородсодержащих компонентов в выхлопных газах обогащение проводят в колонках из нержавеющей стали (3,5 м×4 мм, внутр. диаметр), заполненных хромосорбом W (размер частиц 0,2—0,4 мм), на который напесено 20% 1,2,3-трикс (2-гидроксипропан). Обогащение ведется при 20°C при пропускании через колонку гелия со скоростью 100 мл/мин. Углеводороды проходят через колонку, практически не задерживаясь, так что в десорбционном цикле аналитическую колонку поступают только кислородсодержащие соединения. Аналитическую колонку — трубку из нержавеющей стали длиной 3,5 м с внутренним диаметром 2 мм и внешним диаметром 3,5 мм — упаковывают поролоном Q с частичками размером 0,1—0,2 мм. Разделение ведут при 156°C, газом-носителем служит гелий, который пропускают со скоростью 50 мл/мин. Пики на хроматограмме следуют в таком порядке: ацетальдегид, окись пропилена, пропионовый альдегид,

ацетон, акролеин, транс-2,5-диметилтетрагидрофуран, бутанальдегид, 4-исо-2,5-диметилтетрагидрофуран, метанол, кротональдегид. Анализ длится 100 мин.

Содержащиеся в воде примеси обычно сначала экстрагируются подходящим растворителем, например метиленхлоридом, хлороформом, сероуглеродом и т. д., и затем анализируют. С этой целью можно использовать капиллярную хроматографию. Например, фенолы разделяют в капиллярной колонке из нержавеющей стали длиной 20 м и диаметром 0,2 мм. Неподвижной фазой служит трикрезилфосфат (95 мг) с ортофосфорной кислотой (5 мг) в ацетоне (1,0 мл). Перед проведением анализа колонку выдерживают 3 ч при 120°C. При этой температуре получают симметричные и полностью разрешенные пики следующих соединений (перечислены в порядке элюирования): фенол, 2-метилфенол, 2,6-диметилфенол, 4-метилфенол, 2,4-диметилфенол, 2,5-диметилфенол, 2,3-диметилфенол, 3,5-диметилфенол, 3,4-диметилфенол. На колонке 50 м×0,25 мм с неподвижной фазой DC 200 при программированном подъеме температуры от —8 до 130°C получены 160 пиков углеводородов, из которых 116 идентифицированы масс-спектрометрически. Объем введенного образца газа составлял 1 мл.

10.8.2. АНАЛИЗЫ ОРГАНИЧЕСКИХ И БИОЛОГИЧЕСКИХ ВАЖНЫХ СОЕДИНЕНИЙ

Газохроматографический анализ используется для разделения ряда органических соединений и биологических жидкостей. Обычно это жидкие или твердые соединения. Метод их анализа описан в предыдущих разделах, а примеры разделения приведены в табл. 10.7 и 10.8.

ЛИТЕРАТУРА

1. Ackman R. G., J. Chromatogr. Sci., 10, 535 (1972).
2. Arita K., Kuge J., Yoshikawa Y., Bull. Chem. Soc. Japan, 38, 632 (1965).
3. Березин В. Г., Аналитическая реактивная газовая хроматография. — М.: Наука, 1966.
4. Black D. R., Flatt R. A., Tramisti R., J. Chromatogr. Sci., 7, 284 (1969).
5. Bowman M. C., Beroza M., Anal. Chem., 40, 1448 (1968).
6. Brody S. S., Chaney J. E., J. Gas Chromatogr., 4, 42 (1966).
7. Brunauer S., Emmett P. H., Teller E., J. Am. Chem. Soc., 60, 309 (1938).
8. Camera E., Pravissani D., Anal. Chem., 39, 1645 (1967).
9. Chundera B., Krejci M., Rusec M., Deut. Z. Ger. Med., 62, 154 (1968).
10. Claesson S., Arc. Kemi. Min. Geol., A23, No. 1, 133 (1946).
11. Compilation of GC Data, Institute of Analytical Chemistry, Czechoslovak Academy of Sciences, Brno.
12. Cook C. E., Stanley C. W., Barney J. E., Anal. Chem., 36, 2354 (1964).
13. Dawson H. J., Anal. Chem., 35, 542 (1963).

Таблица 10.7

Примеры анализов органических соединений, проведенных в обычных условиях

Разделяемые соединения (перечислены в порядке их элюирования)	Условия разделения			
	колонка (К); неподвижная фаза (НФ); носитель (Н); детектор (Д)	температура колонки, °C	газ-носитель; скорость потока, мл/мин	время, мин
Алифатические углеводороды C_1-C_5 (природный газ): метан, этан, пропан, изобутан, n -бутан, изо- и n -пентан	К: стекло, $130 \times 0,3$ см; НФ: хромосорб 102, 60—80 меш; Д: ДИП	110	He; 58	7
Низшие углеводороды, насыщенные и ненасыщенные: метан, этан, этилен, пропан, пропилен, изобутан, n -бутан, циклопропан, ацетилен, n -бутилен, пропадиен, транс-бутилен, изопентан, цис-бутилен, n -пентан, бутадиен-1,3, пентен-1, (транс-бутилен и изопентан не разделяются)	К: стекло, $1500 \times 0,6$ см; НФ: 20% ацетилацетона; Н: хромосорб R, 60—80 меш; Д: катарометр	23	He; 50	90
Пропан, пропен, изобутан, n -бутан, бутен-1, 2-метилбутен-1, транс-бутен-2, изопентан, цис-бутен-2, n -пентан, бутадиен-1,3	К: $640 \times 0,3$ см; НФ: 10% EDO-1; Н: хромосорб P-AW, 100—120 меш; Д: ДИП	0	N_2 ; 20	12
Бутен-1, 2-метилпропен-1, транс-бутен-2, цис-бутен-2	К: нерж. сталь, $800 \times 0,3$ см; НФ: 20% полипропиленкарбоната; Н: хромосорб P-AW, 60—80 меш; Д: ДИП	0	N_2 ; 30	9
Насыщенные и ненасыщенные углеводороды $C_{10}-C_{15}$: декан, децен-1, ундекан, ундецен-1, додекан, додецен-1, тридекан, тридекен-1, тетрадекан, тетрадекен-1, пентадекан, пентадециен-1	К: стекло, $190 \times 0,4$ см; НФ: 20% 1,2,3-три(цианоэтокси)пропана; Н: газохром Р, 80—100 меш; Д: ДИП	Программируется, 80—150; 5 °C/мин		
Низшие углеводороды + CO + CO ₂ : воздух,monoоксид углерода, метан, диоксид углерода, ацетилен, этилен, этан	К: $130 \times 0,3$ см; НФ: карбосив В, 60—80 меш; Д: катарометр	35	He; 40	9
Метилциклогексены: 1-метилциклогексен, 4-метилциклогексен, 3-метилциклогексен, метилциклогексан	К: стекло, $200 \times 0,4$ см; НФ: 20% AgNO ₃ /раствор в этиленгликоле; Н: целит С-22, 50—80 меш; Д: катарометр	30	He; 66	70
Монотерпеновые углеводороды: α -пинен, камfen, β -пинен, Δ^3 -карен, мирцен, α -фелландрен, лимонен, γ -терпинен, α -кумен	К: нерж. сталь, $400 \times 0,22$ см; НФ: 10% карбовакса 400; Н: хромосорб W, 80—100 меш; Д: ДИП	90	N_2 ; 10	17
Сесквитерпеновые углеводороды: бициклоелемен, кубебен, иланген, β -елемен, α -бурбонен, β -бурбонен, ϵ -муиролен, гумулен, γ -муиролен, α -муиролен, ϵ -булгарен, ϵ -кадинен	К: нерж. сталь, капилляр., $50 \text{ м} \times 2$ мм; НФ: апиезон L; Д: ДИП	160	He; 1,2	15
Ароматические углеводороды: бензол, толуол, этилбензол, <i>m</i> - и <i>o</i> -ксилол	К: $190 \times 0,3$ см; НФ: 5% изодецилфталата+5% бентона 34; Н: хромосорб W-AW, 80—100 меш; Д: ДИП	75	N_2 ; 20	
Бензол, толуол, этилбензол, стирол, α -метилстирол	К: $200 \times 0,3$ см; НФ: 10% SE-30; Н: хромосорб W-AW-DMCS, 70—80 меш; Д: ДИП	150	N_2 ; 20	
Ксилол, 1,3,5- и 1,2,4- trimетилбензол, 1,2,3-trиметилбензилидан, нафталин, бифенил, 1,2-диметилнафталин, аценафтен, дифениленоксид, флуорен, фенантрен, пирен, 1,2-бензофлуорен, кризен	К: $190 \times 0,4$ см; НФ: 10% апиезона L; Н: хромосорб W, 60—80 меш; Д: катарометр	Программируется, 50—330; 4 °C/мин	He; 72	70
Хлорированные углеводороды: воздух, вода, метил-, винил- и этилхлорид	К: $190 \times 0,45$ см; НФ: порапак Q, 80—100 меш; Д: катарометр	133	He; 47	6
Галогенированные углеводороды: воздух, этилен, винил-, этил- и изопропилхлорид, этил-, аллил- и винилбромид	К: нерж. сталь, $400 \times 0,4$ см; НФ: 10% сквалана; Н: хромосорб R, 60—80 меш; Д: катарометр	23	He; 60	24
Спирты C_1-C_5 : метанол, этанол, изо- и n -пропанол, трет-, втор-, изо- и n -бутанол, трет- и втор-амиловый спирт, оптически активные изомеры амилового спирта, изо- и n -амиловый спирт	К: нерж. сталь, $190 \times 0,3$ см; НФ: 10% халькомида M-18-OL; Н: супелкопорт, 80—100 меш; Д: ДИП	100	N_2 ; 20	11
Оптически активный амиловый и изоамиловый спирты не разделяются.				
Частичное разделение изо- и n -бутанола	К: нерж. сталь, $190 \times 0,3$ см; НФ: порапак Q, 80—100 меш; Д: ДИП	200	N_2 ; 20	10

Разделяемые соединения (перечислены в порядке их элюирования)	Условия разделения			
	колонка (К); неподвижная фаза (НФ); носитель (Н); детектор (Д)	температура колонки, °С	газ-носитель; скоро- сть потока, мл/мин	время, мин
Частичное разделение <i>n</i> -пропанола и <i>трет</i> -бутинала	К: нерж. сталь, 190×0,3 см; НФ: хромосорб 101, 80—100 меш; Д: ДИП	200	N ₂ ; 20	4
Частичное разделение <i>n</i> -пропанола и <i>трет</i> -амилового спирта	К: нерж. сталь 190×0,3; НФ: 0,4% карбовакса 1500; Н: карболак А, 60—80 меш; Д: ДИП	120	N ₂ ; 20	14
Спирты C ₂ —C ₁₈	К: 160×0,3 (двойная); НФ: 15% FFAP; Н: хромосорб W-DMCS, 70—80 меш; Д: ДИП	Программируется, 55—270; 14 °С/мин	He; 25	16
Диолы: этиленгликоль, пропандиол-1,2, бутандиол-2,3; пропандиол-1,3, бутандиол-1,3, бутандиол-1,4, диэтиленгликоль, глицерол	К: стекло, 130×0,3 см; НФ: хромосорб 101, 100—120 меш; Д: ДИП	210	He; 50	4
Жирные кислоты C ₄ —C ₉ и вода: вода, муравьиная, уксусная и пропионовая кислоты	К: 130×0,2 см; НФ: хромосорб 101, 60—80 меш; Д: катарометр	250	N ₂ ; 20	4
Жирные кислоты C ₄ —C ₉ и вода: вода, уксусная, муравьиная, пропионовая, масляная и валериановая кислоты	К: нерж. сталь, 180×0,3 см; НФ: цианэтилметакрилат, 0,2—0,4 см; Д: катарометр	136	N ₂ ; 30	20
Жирные кислоты C ₁₄ —C ₁₈	К: стекло 100×0,4 см; НФ: 5% диэтиленгликольсебаката; Н: CW-NP; Д: ДИП	200	N ₂ ; 70	8
Метиловые эфиры высших жирных кислот: метилпальмитат, метилстеарат, метилолеат, метиллиноат	К: стекло, 190×0,4 см; НФ: 5% диэтиленгликольсебаката; Н: CW-NP; Д: ДИП	180	N ₂ ; 70	8
Метиловые эфиры бензолькарбоновых кислот: хлороформ, метилбензоат, диметилтерефталат, диметилизофталат, диметилфталат	К: стекло, 160×0,6 см; НФ: 2%-тетракис-О-(2-цианоэтил)-пентаэритрита; Н: поровинка, 0,2—0,3 мм; Д: катарометр и ДИП	203	N ₂ или H ₂ ; 30	60

Алифатические и циклические кетоны: ацетон, метилэтилкетон, 3-метилбутанол-2, пентанон, 3,3-диметилбутанол-2, цикlopентанон, гептанон, 4-метилциклогексанон, октанон-2, ацетофенол	К: нерж. сталь 100×0,3 см; НФ: порапак Q, 150—200 меш; Д: ДИП	Программируется, 170—245; 10 °С/мин	He; 60	12
Циклические спирты и кетоны: 2,2-диметилциклогексанон, 2-метилциклогексанон, циклогексанон, <i>цис</i> -2-метилциклогексанол, <i>транс</i> -2-метилциклогексанол, циклогексанол	К: стекло, 160×0,6 см; НФ: 20% глицерола; Н: целит 545, 0,2—0,3 мм; Д: катарометр	107	N ₂ ; 30	65
Различные кислородсодержащие соединения: вода, метанол, этанол, ацетон, метилэтилкетон, тетрагидрофуран, диоксан, диметилформамид	К: 190×0,4 см; НФ: порапак Q, 150—200 меш	220	He; 37	
Этиленоксид, ацетальдегид	К: нерж. сталь, 300×0,4 см; НФ: 25% β,β'-оксидипропионитрила; Н: целит 545, 80—100 меш; Д: катарометр	23	He; 60	14
Фенолы, крезолы, ксиленолы: фенол, <i>o</i> -, <i>n</i> - и <i>m</i> -крезол, 2,4-, 2,5-, 2,3- и 3,5-ксиленол, <i>n</i> - и <i>m</i> -этилфенол (частичное разделение <i>n</i> - и <i>m</i> -крезола, 2,4- и 2,5-ксиленола; 3,5-ксиленол и <i>m</i> -этилфенол не разделяются)	К: стекло, 120×0,45 см; НФ: 5% 2,4-ксиленолфосфата; Н: целит, 100—120 меш; Д: аргоновый	110	A ₁	60
Алифатические амины: метил-, диметил-, триметил-, изопропил-, аллил- и <i>n</i> -пропиламин, <i>трет</i> -, <i>втор</i> -, <i>изо</i> - и <i>n</i> -бутиламин	К: стекло, 140×0,4 см; НФ: 4% карбовакса 20 М+8% KOH; Н: карбовак B; Д: ДИП	91,5	He; 50	14
Метил-, этил-, изопропил-, <i>n</i> -пропил-, <i>втор</i> -бутил-, <i>n</i> -бутил-, изопентил-, <i>n</i> -пентил- и <i>n</i> -гексиламин	К: 130×0,4 см; НФ: хромосорб 103, 100—120 меш; Д: ДИП	Программируется, 200—250 °С; 15 °С/мин	He; 35	4
Ароматические амины: анилин, N-метиланилин, N-этиланилин, N-бутиланилин	К: 130×0,4 см; НФ: хромосорб 103, 50—60 меш; Д: ДИП	240	He; 50	7

Разделяемые соединения (перечислены в порядке их элюирования)	Условия разделения			
	колонка (К); неподвижная фаза (НФ); носитель (Н); детектор (Д)	температура колонки, °C	газ-носи- тель; ско- рость пото- ка, мл/мин	время, мин
Гетероциклические азотсодержащие, циклические и ароматические амины: липепридин, пиридин, морфолин, циклогексиламин, метилциклогексиламин, N-изопропилциклогексиламин, анилин, N-метилпирролидон, N,N-диметиланилин	К: стекло, 190×0,4 см; НФ: 28% пенновальта 223+4% KOH; Н: газохром Р, 80—100 меш; Д: ДИП	160		15
Нитропарафины C ₄ —C ₅ : вода, нитрометан, нитроэтан, 2-нитропропан, 1-нитропропан.	К: 190×0,45; НФ: порапак Q, 80—100 меш; Д: катарометр	206	He; 80	7
Метилхлорсиланы: триметилхлорсилан, метилдихлорсилан, трихлорсилан, диметилдихлорсилан, метилтрихлорсилан, тетрахлорсилан	К: 450×0,3 см; НФ: 10% SE-30; Н: хромосорб W-AW-DMCS, 70—80 меш; Д: катарометр	25	N ₂ ; 40	
Фенилхлорсилазаны: тетрахлорсилазан, бензол, хлорбензол, фенилтрихлорсилазан, бифенил, дифенилдихлорсилазан	К: нерж. сталь, 200×0,4 см; НФ: 4% Сил Е; 302; Н: поровина, 0,2—0,3 мм; Д: катарометр	200	N ₂ ; 30	25
Хлорсодержащие пестициды: линдан, алдрин, гептахлордиэлдин	К: стекло, 190×0,4 см; НФ: 5% OV-1; Н: CW-HP; Д: электронно-захватный	170	N ₂ ; 70	14
α-BHC, линдан, алдрин, гептахлор, n,n'-DDE, o,n'-DDT, диэлдин, n,n'-DDD, n,n'-DDT	К: 190×0,4 см; НФ: 5% CV-210; Н: газохром Q, 100—200 меш; Д: Электронно-захватный	182	N ₂ ; 70	20
Фосфорсодержащие пестициды: метилпаратион, паратион, метилтритион, этион	К: стекло, 190×0,4 см; НФ: 3% OV-1; Н: CW-HP; Д: пламенно-фотометрический	200	N ₂ ; 80	9

Таблица 10.8

Примеры анализов биологически важных соединений и лекарственных средств, проведенных в обычных условиях

Разделяемые соединения (перечислены в порядке их элюирования)	Условия разделения			
	колонка (К); неподвижная фаза (НФ); носитель (Н); детектор (Д)	температура колонки, °C	газ-носи- тель; ско- рость пото- ка, мл/мин	время, мин
Триметилсилильные производные сахаров: арабинозы, α-ксилозы, α-маннозы, α-галактозы, α-глюкозы	К: стекло, 190×0,3 см; НФ: 3% поли-А-101A; Н: газохром Q, 100—200 меш; Д: ДИП	140	N ₂ ; 30	27
Аминокислоты в виде N-трифторацетил- <i>n</i> -бутиловых эфиров: аланин, валин, глицин, изолейцин, лейцин, пролин, треонин, серин, цистein, метионин, оксипролин, фенилаланин, аспарагиновая кислота, глутамовая кислота, тирамин, лизин, триптофан	К: стекло, 150×0,4 см; НФ: 0,325% адипината этиленгликоля; Н: хромосорб G-AW, 80—100 меш; К: стекло, 100×0,4 см; НФ: 1% OV-17; Н: активный хромосорб G, 80—100 меш; Д: ДИП	Программируется 100—210°C	N ₂ ; 50	30
Стероиды: андростан, холестан, тестостерон, прогестерон, холестерин, стигмастерин	К: стекло, 130×0,2 см; НФ: 3% OV-17; Н: CWHP; Д: ДИП	275	N ₂ ; 40	10
Триметилсилильные производные стероидов мочи: андростерона, дигидроэпандростерона, этихоланолона, эстROLA, эстрадиола, эстриола, прегнандиола, прегнентриола (андростерон и эстрадиол не разделяются)	К: стекло, 190×0,3 см; НФ: 3% OV-225; Н: газохром Q, 100—120 меш; Д: ДИП	230		15
Метиловые эфиры желчных кислот: метиллитохолат, метилдезоксихолат, метилхенодезоксихолат, метилхолат	К: стекло, 100×0,3 см; НФ: 3% P-2250; Н: супелкон AW-DMCS, 100—120 меш; Д: ДИП	275	N ₂ ; 40	17
Снотворные: барбитал, амобарбитал, секобарбитал, гексобарбитал, мефобарбитал, фенобарбитал	К: стекло, 190×0,2 см; НФ: 10% апизона L, 2% KOH; Н: CW-HP; Д: ДИП	215	N ₂ ; 40	6
Лекарственные средства: этинамат, мескалин, дифенилдигидрамин, глутоксимидин, кофеин, новокайн, кокаин, скopolамин, хлорпромазин, тазепам	К: стекло, 190—0,35 см; НФ: 3% OV-17; Н: газохром Q, 100—120 меш; Д: ДИП	200	N ₂ ; 40	36

14. Dimbat M., Porter P. E., Stross F. H., Anal. Chem., **28**, 290 (1956).
15. Dressler M., Krejčí M., Chem. Listy, **61**, 1455, (1967).
16. Dressler M., Vespaček R., Janák J., J. Chromatog., **59**, 423 (1971).
17. Eberty P. E. Jr., J. Phys. Chem., **65**, 68 (1961).
18. Ette L. S., Anal. Chem., **36**, No. 8, 31A (1964).
19. Ette L. S., Open Tubular Columns in Gas Chromatography, p. 80, Plenum Press, New York (1965).
20. Evans M. B., Smith J. F., J. Chromatog., **5**, 300 (1961).
21. Evans M. B., Smith J. F., J. Chromatog., **6**, 293 (1961).
22. Fischbein L., Chromatography of Environmental Hazards, Vol. 1, Elsevier, Amsterdam (1972).
23. Ford J. H., Beroza M., J. Assoc. Offic. Anal. Chemists, **50**, 601 (1967).
24. Gaston L. K., In Residue Revies, (F. A. Gunther, Ed.), p. 21, Vol. 5, Academic Press, New York and Springer Verlag Berlin (1964).
25. Giddings J. C., Dynamics of Chromatography, Dekker, New York (1965).
26. Giuffrida L., Ives N. F., J. Assoc. Offic. Anal. Chemists, **47**, 1112 (1964).
27. Glueckauf E., Nature, **156**, 748 (1945); Nature, **160**, 301 (1947); J. Chem. Soc., **1302** (1947); J. Chem. Soc., **1308** (1949).
28. Golay M. J. E., in: Gas Chromatography 1958, (D. H. Desty, Ed.), p. 36, Butterworths, London (1958).
29. Goodwin E. S., Goulden R., Reynolds J. G., Analyst, **86**, 687 (1961).
- 29a. Grant D. W., Gas-Liquid Chromatography, Van Nostrand, London (1971).
30. Grayson M. A., Wolf C. J., Anal. Chem., **39**, 1438 (1967).
31. Green L. E., Facts and Methods, **8**, No. 4, 4 (1967).
32. Greene S. A., Pust H., J. Phys. Chem., **62**, 55 (1958).
33. Gregg S. J., Stock R., in: «Gas Chromatography», 1958 (D. H. Desty, Ed.), p. 90, Butterworths, London (1958).
34. Gröbler A., J. Chromatog. Sci., **10**, 128 (1972).
35. Hainova O., Boček P., Novák J., J. Gas Chromatog., **5**, 401 (1967).
36. Halász I., Schay G., Z. Anorg. Chem., **287**, 242 (1956).
37. Hartman C. H., Bull. Environ. Contam. Toxicol., **1**, 454 (1966).
- 37a. Hartman C. H., Anal. Chem., **43**, No. 2, 113A (1971).
38. Horning E. C., Horning M. C., Carroll D. I., Dzidic I., Stillwell R. N., Anal. Chem., **45**, 936 (1973).
39. James A. T., Martin A. J. P., Biochem. J., **50**, 679 (1952).
40. James D. H., Phillips C. A. G., J. Chem. Soc., **1066** (1954).
41. Janák J., Collection Czech. Commun., **18**, 798 (1953).
42. Juvet R. S., Durbin R. P., Anal. Chem., **38**, 565 (1966).
43. Keulemans A. I. M., Gas Chromatography, p. 7, Reinhold, New York (1957).
44. Klinkenberg A., Sjentizer F., Chem. Eng. Sci., **5**, 258 (1956).
45. Kourilová D., Krejčí M., Chem. Listy, **65**, 742 (1971).
46. Kovář E., Helv. Chim. Acta, **41**, 1915 (1958).
47. Kovář E., Chimia, **22**, 459 (1968).
48. Kovář E., Chimia, **22**, 459 (1968).
49. Krejčí M., Deml M., Collection Czech. Chem. Commun., **30**, 3701 (1965).
50. Krejčí M., Dressler M., Chromatog. Rev., **13**, 1 (1970).
51. Kuhn R., Winterstein A., Lederer E. Z. Phisiol. Chem., **197**, 141 (1931).
52. Leahard D. A., Shurlock B. C., Identification Techniques in Gas Chromatography, p. 11, Wiley-Interscience, London (1970).
53. Lovelock J. E., Anal. Chem., **33**, 162 (1961).
54. Lovelock J. E., Nature, **189**, 729 (1961).
55. Lovelock J. E., Gregory N. L., in: Gas Chromatography (Brenner N., Col- len J. E., Weiss M. D. Eds.), p. 219, Academic Press, New York (1962).
56. Lovelock J. E., Lipsky S. R., J. Am. Chem. Soc., **82**, 431 (1960).
57. Lovelock J. E., Zlatkis A., Anal. Chem., **33**, 1958 (1961).
58. Martin A. J. P., Syngle R. L. M., Biochem. J., **35**, 1358 (1941).
59. McCormack J., Tong S. C., Cooke W. D., Anal. Chem., **37**, 1470 (1965).
- 59a. McNair H. M., Bonelli E. J., Basic Gas Chromatography, Consolidated Printers, Berkeley, California (1969).
60. McReynolds W. O., J. Chromatogr. Sci., **8**, 685 (1970).
61. Möhnke M., Saffert W., in: Gas Chromatography 1962 (van Swaay, Ed.), p. 216, Butterworths, London (1962).
62. Morrison M. E., Corcoran W. H., Anal. Chem., **39**, 255 (1967).
63. Morrison M. E., Riniker R. G., Corcoran W. H., Anal. Chem., **36**, 2256 (1964).
64. Munson N. S. B., Anal. Chem., **43**, No. 13, 28A (1971).
65. Neisen F. M., Eggersen F. T., Anal. Chem., **43**, 1387 (1958).
66. Novák J., J. Chromatog., **78**, 269 (1973).
67. Novák J., Růžková J., J. Chromatog., **91**, 79 (1974).
68. Novák J., Růžková J., Wišar S., Janák J., Anal. Chem., **45**, 1365 (1973).
69. Novák J., Vašák J., Janák J., Anal. Chem., **37**, 660 (1965).
70. Page F. M., Wooley D. E., Anal. Chem., **40**, 210 (1968).
71. Penzias G. J., Anal. Chem., **45**, 890 (1973).
72. Penzias G. J., Boyle M. J., Intern. Laboratory Nov./Dec., **49** (1973).
73. Perry S. G., Chromatogr. Rev., **9**, 1 (1967).
74. Petitjean D. L., Laniz C. D., J. Chromatog., **1**, 23 (1963).
75. Purnell J. H., Gas Chromatography, p. 237, Wiley, London (1962).
76. Rohrschneider L., in: Advances in Chromatography, Vol. 4 (J. C. Giddings, R. A. Keller, Eds.), p. 333, Dekker, New York (1967).
77. Ryhage R., Anal. Chem., **36**, 759 (1964).
78. Schomburg G., in: Advances in Chromatography, Vol. 6, (J. C. Giddings, R. A. Keller, Eds.), p. 211, Dekker, New York (1968).
79. Scolnick M., 6th International Symposium—Advances in Gas Chromatography, Miami, Florida, June 1970.
80. Simpson C., Gas Chromatography, p. 61, Kogan Page, London (1970).
81. Sofák L., Krupčík J., Janák J., J. Chromatog., **65**, 93 (1972).
82. Sternberg J. C., Galaway E. S., Jones D. T. C., Gas Chromatography, 3rd International Symposium, p. 231, Instrument Society of America, Academic Press, New York (1962).
83. Tesárik K., Krejčí M., J. Chromatog., **91**, 539 (1974).
84. Tesárik K., Novotný M., in: Gas Chromatographie, 1968 (H. G. Struppe, Ed.), p. 575, Akademie-Verlag GmbH, Berlin (1968).
85. Tswett M. S., Ber. Deut. Botan. Ges., **24**, 316, 384 (1906).
86. Van Deemter J. J., Zuiderweg F. J., Klinkenberg A., Chem. Eng. Sci., **5**, 271 (1956).
87. Van den Heuvel W. J. A., Gardiner W. L., Horning E. C., Anal. Chem., **36**, 1550 (1964).
88. Völlmin J. A., Simon W., Kaiser R., Z. Anal. Chem., **229**, 1 (1967).
89. Wičár S., Novák J., J. Chromatog., **53**, 429 (1970).

З. ПРОХАЗКА

Институт органической химии и биохимии
Академии Наук ЧССР, Прага

11.1. ВВЕДЕНИЕ

11.1.1. ЭКСТРАКЦИЯ В СИСТЕМАХ ЖИДКОСТЬ — ЖИДКОСТЬ.

Метод противоточного распределения, основанный на принципе распределения вещества в системе жидкость — жидкость, известен с 30-х годов. В процессе его совершенствования были разработаны: а) метод непрерывной противоточной экстракции, применяемый главным образом в промышленных целях (он лишь упоминается в этой главе), и б) метод периодического противоточного распределения. Метод противоточного распределения часто называют методом Крейга. В 1944 г. Крейг [2]

опубликовал описание первой батареи для противоточного распределения с металлическими элементами*, позволяющей осуществить простой перенос двух несмешивающихся фаз в противоточном режиме. Позднее Крейг и другие авторы сконструировали стеклянные аппараты для противоточного распределения; специальные пробирки для этих аппаратов в настоящее время выпускаются промышленностью.

В пределах одной главы, естественно, нельзя рассмотреть метод противоточного распределения в полном объеме. Мы ограничимся обсуждением целесообразности более широкого его применения в обычных лабораториях, т. е. лабораториях, финансовые возможности которых ограничены, и лишь упомянем большие дорогие аппараты и сложные методы, которые часто

используют в специальных целях и для специальных исследований в лабораториях, располагающих не только достаточными финансовыми средствами для приобретения этого оборудования, но и площадями для его размещения. Теоретические описания и выбор методик основываются на едином принципе независимо от сложности используемого аппарата.

Метод противоточного распределения развивался так быстро, что уже спустя всего лишь два десятилетия с момента открытия он уже получил широкое распространение. Однако в настоящее время он используется лишь в тех случаях, когда его не удается заменить каким-либо другим. За последние несколько лет в литературе не появилось новых работ по методике противоточного распределения, опубликовано лишь несколько статей, посвященных практическому применению этого метода. Его лишь изредка используют в аналитических или препаративных целях, главным образом при изучении антибиотиков, пептидов и т. п. Для более детального и глубокого ознакомления с рассматриваемым методом читателю рекомендуется обратиться к подробному монографии Геккера [6]. Дополнительную информацию можно найти также в обзорах [7, 19, 20] и в других монографиях [3, 8, 11, 21]. Наша цель состоит в том, чтобы показать, что данный метод можно с успехом применять и в том случае, когда дорогое оборудование недоступно.

11.1.2. ПРИНЦИПЫ ПРОТИВОТОЧНОГО РАСПРЕДЕЛЕНИЯ

Экстракция соединения из раствора несмешивающейся жидкостью в делительной воронке хорошо знакома любому химику-органику и биохимику, причем каждый знает, что однократной экстракции бывает недостаточно и что обычно ее повторяют не менее трех раз. Как правило, при экстракции водного раствора, например, эфиром объединенные эфирные вытяжки содержат не только нужное (экстрагируемое) соединение, но и заметное количество воды, а также примеси или компоненты смеси, растворенные в ней (неорганические кислоты, основания, некоторые соли, побочные продукты, исходные соединения и т. д.). Поэтому объединенные эфирные вытяжки промывают водой. При этом, однако, из эфирного слоя извлекается некоторое количество нужного вещества, и аккуратный химик часто пользуется набором из трех делительных воронок, как это рекомендуют некоторые руководства. Двухфазную систему в первой делительной воронке энергично встряхивают, после чего дают смеси отстояться, затем отделяют водный слой и переносят его во вторую воронку, где его смешивают со свежей порцией эфира, а эфирный слой, оставшийся в первой делительной воронке, экстрагируют чистой водой. Таким способом увличенные вместе с

* Функциональные ячейки аппарата для противоточного распределения в литературе именуют по-разному: в простых конструкциях это делительная воронка, в более сложных — элемент, деталь, пробирка. В этой главе термин «делительная воронка» используется в тех случаях, когда форма и назначение функциональных ячеек, действительно соответствуют форме и назначению делительных ячеек, применяемых в препаративной химии. В других случаях, когда целая батарея соответствующих ячеек или элементов перемещается синхронно, применяется термин «пробирка».

нужным веществом гидрофильные примеси экстрагируются из эфирной вытяжки в первой делигельной воронке, а во второй делигельной воронке большая часть оставшегося лиофильного вещества переходит из исходного водного слоя в эфир. Эту операцию повторяют еще раз, т. е. водный слой из второй делигельной воронки переносят в третью, где его обрабатывают чистым эфиром в третий раз. Водный слой из первой делигельной воронки переносят во вторую, к оставшемуся в ней эфирному слою, и смешивают их. К эфирному раствору в первой делигельной воронке добавляют свежую воду и смесь энергично встряхивают, при этом из эфира извлекаются последние следы гидрофильных примесей.

Вся эта операция и называется противоточным распределением. Таким образом, в данном случае в процессе противоточного распределения участвуют две фазы — эфирная и водная. Первая фаза все время находится в делигельных воронках, а вторая (водная) последовательно переносится из одной воронки в другую, где она подвергается истерпывающей экстракции. В приведенном примере одна из фаз (эфир) неподвижна, и может сложиться впечатление, что неверно говорить о перемещении жидкостей, движущихся в противоположных направлениях (противоток). Однако в данном случае речь идет об относительном перемещении фаз. Далее мы увидим, что, хотя в некоторых более сложных вариантах противоточного распределения обе фазы действительно перемещаются в противоположных направлениях, в общем случае можно рассматривать неподвижную фазу как фазу, движущуюся бесконечно медленно.

11.1.3. КОНСТАНТА РАСПРЕДЕЛЕНИЯ

Основной характеристикой, используемой в методе противоточного распределения, является константа распределения K_D (ранее ее называли коэффициентом распределения). Когда две фазы, в одной из которых растворена смесь веществ, перемешивают друг с другом, часть растворенных соединений переходит во вторую фазу, другими словами, растворенные соединения распределяются между фазами. При достаточно длительном перемешивании достигается равновесное состояние, строго определенное для каждого из веществ смеси. Простейшее описание этой ситуации дается законом Нернста, согласно которому вещества А распределяются между несмешивающимися или частично смешивающимися жидкостями с постоянным отношением концентраций. Это отношение, определяемое природой вещества, зависит только от температуры и давления и в идеальном случае не зависит от количества распределяемого вещества. Константу распределения можно определить соотношением

$$K_D(p, T, \text{система}) = [A]_{\text{орг.}} / [A]_{\text{водн.}}, \quad (11.1)$$

где $[A]_{\text{орг.}}$ и $[A]_{\text{водн.}}$ — равновесные концентрации вещества А в органической и водной фазах соответственно при давлении p и температуре T в двухфазной системе определенного состава. Приведенное уравнение справедливо, если вещество А находится в обеих фазах в одном и том же виде, т. е. не реагирует ни с одной из фаз, не ассоциирует или диссоциирует и не вступает в побочные реакции.

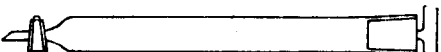


Рис. 11.1. Делигельная воронка для определения распределения или отнесения количества распределляемого вещества.

Наиболее удобны воронки объемом 12—15 мл, в них легко смешивать две фазы по 5 мл каждая.

Если общее количество вещества А в каждой фазе характеризуется его аналитической концентрацией c , не зависящей от вида, в котором вещество находится в фазе, то распределение описывают отношением концентраций распределенного вещества D_c :

$$D_c = c_A_{\text{орг.}} / c_A_{\text{водн.}}. \quad (11.2)$$

Полезным параметром может также служить отношение масс (количество) распределенного вещества D_m , зависящее от соотношения объемов фаз, в отличие от параметров, описываемых уравнениями (11.1) и (11.2). При измерении относительных масс вещества в обеих фазах системы используют уравнения:

$$D_m = m_A_{\text{орг.}} / m_A_{\text{водн.}} = p/q = K_D V$$

и

$$p = m_A_{\text{орг.}} / (m_A_{\text{орг.}} + m_A_{\text{водн.}}); \quad q = \frac{(m_A_{\text{водн.}})}{(m_A_{\text{орг.}} + (m_A_{\text{водн.}}))};$$

где V_1 — объем органической фазы, V_2 — объем водной фазы. Далее, $p+q=1$ и $100p$ и $100q$ выражают процентное содержание вещества в органической и водной фазах. Если объемы обеих фаз равны, т. е. $V_1/V_2=1$, то $D_m=K_D$.

Константу распределения легко измерить. Две фазы энергично встряхивают до взаимного насыщения. После этого изме-

противоточное распределение

657

ренный объем одной фазы переносят в длинную узкую делительную воронку (рис. 11.1) и растворяют в нем чистое вещество. Концентрация вещества должна быть не слишком велика, поскольку закон Нернста выполняется для идеальных растворов, т. е. при низких концентрациях веществ, при которых не происходит ассоциации молекул в растворе и других отклонений от идеальных условий. Затем в воронку добавляют такой же объем другой фазы и вещество тщательно экстрагируют, переворачивая воронку. После этого фазы разделяют и в каждой из них определяют количество растворенного вещества. Для этого используют какой-либо селективный аналитический метод, например колориметрию или титрование, либо испаряют растворитель и взвешивают остаток. Если вещество недостаточно чистое, метод взвешивания сухого остатка не может дать точных значений.

Из сказанного выше следует, что чем выше D_m или K_D , тем легче ведущее переносит в органическую фазу, т. е. тем полнее оно экстрагируется из водной фазы.

11.2. ПЕРИОДИЧЕСКОЕ ПРОТИВОТОЧНОЕ РАСПРЕДЕЛЕНИЕ (МЕТОД КРЕЙГА)

11.2.1. ОСНОВНАЯ МЕТОДИКА (МЕТОДИКА КРЕЙГА)

В этом разделе мы рассмотрим принцип противоточного распределения более подробно. По сути, эта методика ничем не отличается от описанной выше, за исключением того, что используется большее число разделительных ячеек. Представим себе батарею из пяти делительных воронок или пробирок ($z=5$, рис. 11.2, *a*), пронумерованных от $r=0$ до $r=z-1$. Пробирки заполнены равными объемами фаз — органической (более легкой) и водной (более тяжелой), предварительно взаимно насыщенных. В пробирку $r=0$ добавляют некоторое количество вещества и дают ему раствориться, после чего всю батарею пробирок многократно встряхивают до установления равновесия. После установления равновесия в соответствии с данной константой распределения в более легкой фазе содержится часть p исходного количества вещества, в более тяжелой фазе — часть q того же вещества. Пробирки затем наклоняют таким образом, чтобы более легкая фаза переместилась в соседние с ними пробирки справа, а пробирку $r=0$ заполняют свежей порции легкой фазы. На этом заканчивается первый шаг ($n=1$) противоточного распределения. На рис. 11.1 показано, как после завершения этого шага вещество распределяется между пробирками $r=0$ и $r=1$. Вслед за первым шагом проводится второй ($n=2$):

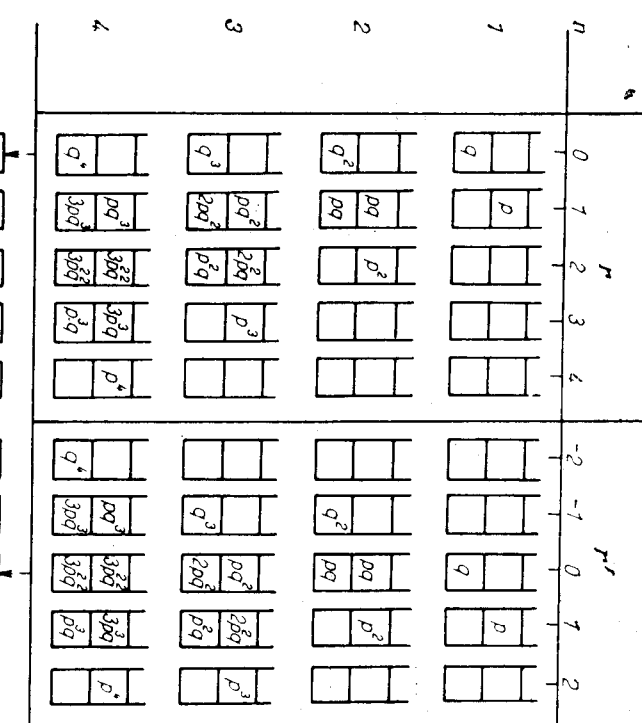


Рис. 11.2. Схема противоточного распределения при однократном вводе вещества. Вертикальная стрелка показывает место ввода вещества: *a* — в первый элемент ($r'=0$) батареи (движется только верхняя фаза) и *b* — в центральный элемент ($r'=0$) батареи (обе фазы перемещаются в противоположных направлениях).

11.2.2. ХАРАКТЕРИСТИКИ ПРОТИВОТОЧНОГО РАСПРЕДЕЛЕНИЯ

Распределение вещества после каждого шага (или переноса) можно описать количественно с помощью биномиального уравнения

$$(q+p)^n. \quad (11.4)$$

Например, после четырех переносов ($n=4$) распределение вещества по пяти пробиркам от $r=0$ до $r=4$ описывается следующими значениями: $q^4, 4pq^3, 6p^2q^2, 4p^3q$ и p^4 . В общем случае количество вещества в любой пробирке r (в обеих фазах суммарно) после n переносов можно рассчитать по уравнению

$$T_{n,r} = [n!/r!(n-r)!] p^r q^{n-r} = [n!/r!(n-r)!] [D_m/(1+D_m)^n] \quad (11.5)$$

Из рис. 11.2 и уравнения (11.4) следует, что, если отношение количеств распределляемого вещества $D_m=1$ (т. е. $p=q$), распределение вещества по батарее пробирок симметрично и описывается гауссианой (кривой нормального распределения), т. е. наибольшая концентрация вещества должна наблюдаться в среднем элементе батареи. В то же время вещества с $1 > D_m > 1$, особенно обладающие повышенным сродством к одной или другой фазе, должны концентрироваться в крайних слева или справа элементах батареи. Поэтому эту простую методику можно успешно использовать для относительного обогащения веществ, выделенных из природных материалов, или сложных искусственных смесей. Необходимо лишь подобрать такую систему несмешивающихся растворителей, в которой искомое соединение имело бы D_m , равное или очень близкое единице, а другие компоненты характеризовались бы иными величинами этой константы. При таких условиях нужное соединение концентрируется в центре батареи, а примеси по концам. К этому способу мы вернемся позднее.

Если необходимо разделить два вещества А и В, целесобранно воспользоваться следующей методикой.

1. Следует подобрать систему растворителей, в которой среднее значение D_m смеси компонентов должно находиться в интервале 0,2—5, а коэффициент разделения

$$\alpha = K_D(A)/K_D(B) = D_m(A)/D_m(B) \quad (11.6)$$

должен быть максимально возможным, во всяком случае не меньше 1,5.

2. Распределение необходимо вести в таких условиях, чтобы произведение величин D_m компонентов смеси было равно или близко к единице, т. е.

$$D_m(A)D_m(B) = \beta \approx 1, \quad (11.7)$$

поскольку в этом случае максимумы концентраций разделяемых веществ в батарее расположатся на наибольшем расстоянии друг от друга и разделение окажется наиболее эффективным.

3. И наконец, оптимальное отношение объемов фаз в системе должно составлять

$$V_{\text{опт}} = 1/V K_D(A) K_D(B). \quad (11.8)$$

Число шагов n (или число пробирок в батарее), необходимое для разделения, зависит от нескольких переменных, а именно: $n=f(a, \beta)$, соотношение количеств веществ, степень чистоты, выход).

На рис. 11.3 показано разделение никотинамида и бензамида

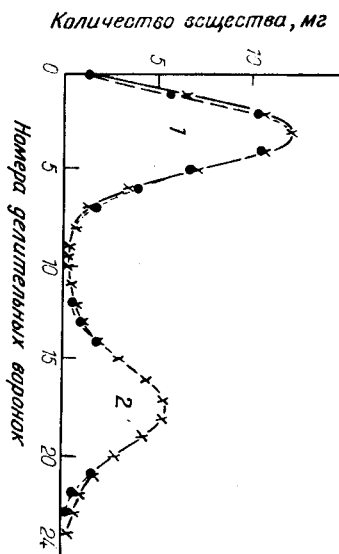


Рис. 11.3. Разделение 50 мг смеси никотинамида (1) и бензамида (2) по основной методике в микрорассторонке с 24 элементами [6]. Система растворителей этилацетат — вода ($V=1$); температура 20 °C. D_m никотинамида 0,163, D_m бензамида 2,58.

в системе этилацетат — вода. Коэффициент разделения α в данной системе равен примерно 16, и для полного разделения достаточно батареи из 16 пробирок; необходимость в подборе условий, при которых $\beta \approx 1$ [уравнение (11.7)] отсутствует. Однако, если требуется разделить смесь веществ с более близкими значениями D_m (< 2), можно воспользоваться табл. 11.1, с помощью которой легко найти число пробирок, необходимых для более или менее полного разделения пар соединений с различными коэффициентами разделения.

Для расчета α или β необходимо знать величины D_m . Определяют их, используя главным образом чистые соединения или исходя из положения максимумов кривых распределения [рис. 11.3 и уравнения (11.11), (11.14) и (11.15)], что весьма трудоемко. Поэтому автор предложил уравнение для приближенного расчета значения α из значений R_f , полученных при хроматографировании на бумаге, в процессе которого разделение идет как чисто разделительный процесс:

$$\alpha = R_f(A) (1 - R_f(B)) / R_f(B) (1 - R_f(A)). \quad (11.9)$$

Величину параметра α можно также рассчитать по времени удерживания при хроматографировании методом жидкостной

Таблица 11.1

Число шагов n , соответствующее различным факторам разделения α , и выход чистых соединений при $\beta=1$ [6]

α	n (99,7%)	n (99%)	n (97,5%)	n (95%)	n (90%)	n (80%)	n (70%)	n (60%)	n (50%)
11,0	22								
10,0	24								
9,0	27	21							
8,0	30	24	21						
7,0	35	28	24	21					
6,0	42	33	28	25	21				
5,0	53	42	36	32	27	22			
4,5	61	48	41	36	31	25	21		
4,0	72	57	49	43	37	29	25	21	
3,5	89	70	60	53	45	36	31	26	22
3,0	116	92	79	70	59	48	40	34	29
2,7	143	113	97	86	73	59	49	42	36
2,4	185	146	126	111	94	76	64	55	46
2,2	229	181	155	137	117	94	79	67	57
2,0	292	230	198	175	149	120	101	86	72
1,9	346	274	236	208	177	142	119	102	87
1,8	413	326	281	248	211	169	143	121	103
1,1	15652	13700	10841	9509	8078	6504	5473	4662	3966

колоночной хроматографии:

$$\alpha = (t_{R(A)} - t_{R(F)}) / (t_{R(B)} - t_{R(F)}), \quad (11.10)$$

где $t_{R(A)}$, $t_{R(B)}$ и $t_{R(F)}$ — время задерживания соединений А и В и фронта растворителя соответственно.

Следует также помнить, что вещества с $K_D=1$ при хроматографировании на бумаге с водной неподвижной фазой характеризуются величинами R_f около 0,7—0,8.

Преимущество методики Крейга состоит в том, что, зная номер пробирки с максимальной концентрацией соединения, можно вычислить D_m , и наоборот. Кроме того, можно предварительно рассчитать, в каких элементах батареи находится какая-то конкретная доля (например, 99,7% в описанном ниже

случае) общего количества выделяемого соединения.

$$D_m = (r_{\max} + 0,5) / (n - r_{\max} + 0,5), \quad (11.11)$$

$$\Delta r_{99,7} = 6n [D_m / (1 + D_m)]^2 \quad (\text{для } D_m \neq 1) \quad (11.12)$$

При использовании аппаратов и методик с числом переносов n выше 100 величину параметра D_m можно рассчитать из приближенного уравнения

$$D_m = r_{\max} / (n - r_{\max}), \quad (11.14)$$

или из концентраций распределляемого вещества в двух соседних элементах батареи

$$D_m = (y_{n,r} / y_{n,r-1}) [r / (n + 1 - r)], \quad (11.15)$$

где $y_{n,r}$ и $y_{n,r-1}$ — количества вещества в двух соседних пробирках. Если применяются более сложные методы (см. далее), некоторые из этих уравнений следует модифицировать. Читателям, интересующимся такими расчетами, следует обратиться к монографии Геккера [6].

11.2.3. АППАРАТ

Простейший аппарат представляет собой батарею из обычных делительных воронок, укрепленных на специальном штативе (рис. 11.4). Сконструирован также аппарат, в котором делительные воронки, жестко закрепленные на подобном штативе (пробирки плотно закреплены), могут вращаться вместе со штативом вокруг горизонтальной оси, что обеспечивает одновременное перемешивание во всех воронках. Работать при большом числе переносов заметно легче, если используются специально сконструированные двойные или тройные делительные воронки (рис. 11.5). При работе с этими воронками обычно переносится нижняя фаза. Сконструирован, однако, аппарат со специальными делительными пробирками, в котором верхняя фаза автоматически декантируется в следующую пробирку одновременно из всех пробирок. Мы приведем лишь схемы двух типов пробирок (рис. 11.6 и 11.7), из которых можно собрать аппарат с большим числом таких элементов. Простейший и наиболее практический аппарат с 20 пробирками изображен на рис. 11.8. Аппарат такого типа с 10—20 пробирками пригоден для выбора и однократной систем растворителей, измерения величины D_m , контроля чистоты соединений, быстрого препаративного обогащения одного из компонентов смеси (в мягких условиях) и даже для полного разделения веществ, если их константы распределения достаточно различаются (ср. с. рис. 11.3).

На рис. 11.9 показан более сложный аппарат, выпускаемый промышленностью. Это великолепный полностью автоматизированный аппарат с программным управлением, перемещение

Philadelphia, U.S.A.; A. Gallenkamp and Co., Ltd., London, England; H. O. Post Scientific Instruments Co., Middle Village, N.Y., U.S.A.; Laborec, F. Schmidiger, Basel, Switzerland; Pope Scientific, Inc. Fairfield, N.J., U.S.A.

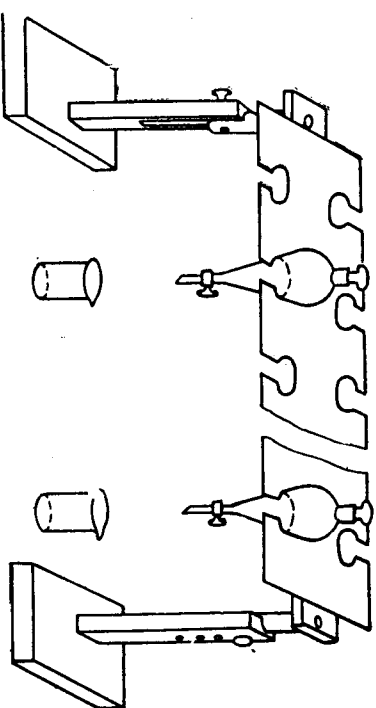


Рис. 11.4. Шатив для большого числа делительных воронок.

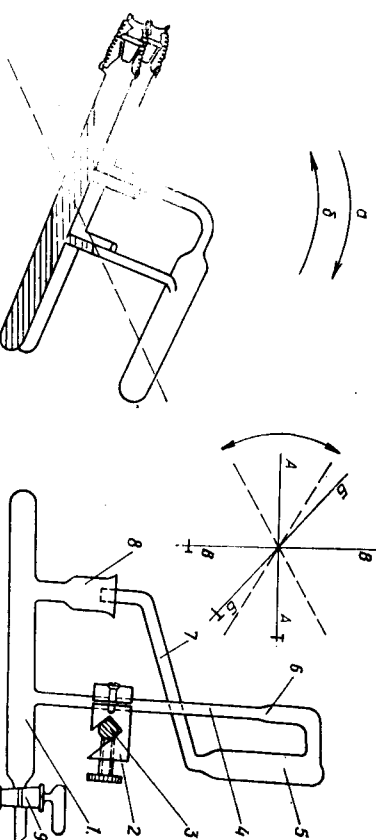


Рис. 11.5. Тройная делительная воронка.

Рис. 11.6. Две спаянные молифицированные пробирки из батареи для противоточного распределения [4] в основном положении (при заполнении батареи) и при разделении фаз после встряхивания.

Верхняя фаза декантируется при повороте пробирок α направления a относительно положения овальной пробирки (закрыта пробкой); далее пробирки поверчиваются в положение, показанное штриховой линией b , и вновь возвращаются в исходное положение: в процессе такого качания устанавливается равновесие.

Рис. 11.7. Пробирка из батареи аппарата для противоточного распределения [5].

1 — основная пробирка для встряхивания фаз; 2 — зажим; 3 — ось; 4 — трубка для декантации; 5, 6 — емкости для декантации верхней фазы; 7 — трубка для переноса декантирующей фазы в стеклянную элемент; 8 — воронка для сбора декантатурумной фазы или для отбора проб для анализа; 9 — кран. Равновесие достигается качанием пробирок в плоскости A в направлении, показанном стрелками; B — положение для разделения фаз; B' — положение для переноса верхней фазы.

11.3. ВАРИАНТЫ МЕТОДОВ ПРОТИВОТОЧНОГО РАСПРЕДЕЛЕНИЯ

Согласно основному методу, описанному выше, распределение заканчивается, когда подвижная фаза из первой пробирки попадает в последнюю пробирку. Этот метод можно успешно модифицировать и повысить коэффициент, повторяя разделение на том же самом аппарате или проводя дополнительное фракционирование так называемыми методами извлечения. В этих процессах число переносов, а следовательно, и эффективность разделения могут превышать предел $n=z-1$, характерный для основной методики (при данном числе элементов z).

11.3.1. СПОСОБ РЕХРОМАТОГРАФИРОВАНИЯ

После завершения основной процедуры оба копиевых элемента батареи соединяют друг с другом. При этом подвижная фаза из последней пробирки всегда переносится в первую пробирку. Естественно, этот вариант метода пригоден лишь в том случае, если более «подвижные» распределляемые вещества не обгоняют «остающиеся» и если уже разделившие вещества не смешиваются вновь. Другими словами, применение этого варианта метода ограничено в связи с тем, что с возрастанием числа n происходит уширение кривой распределения, и используют этот метод только для разделения веществ, которые очень медленно движутся вместе с подвижной фазой.

11.3.2. СПОСОБ ОДНОКРАТНОГО ИЗВЛЕЧЕНИЯ

Этот способ просто продолжает основную методику, он аналогичен проявительной жидкостной хроматографии. По окончании разделения по основной методике в первую пробирку вводят

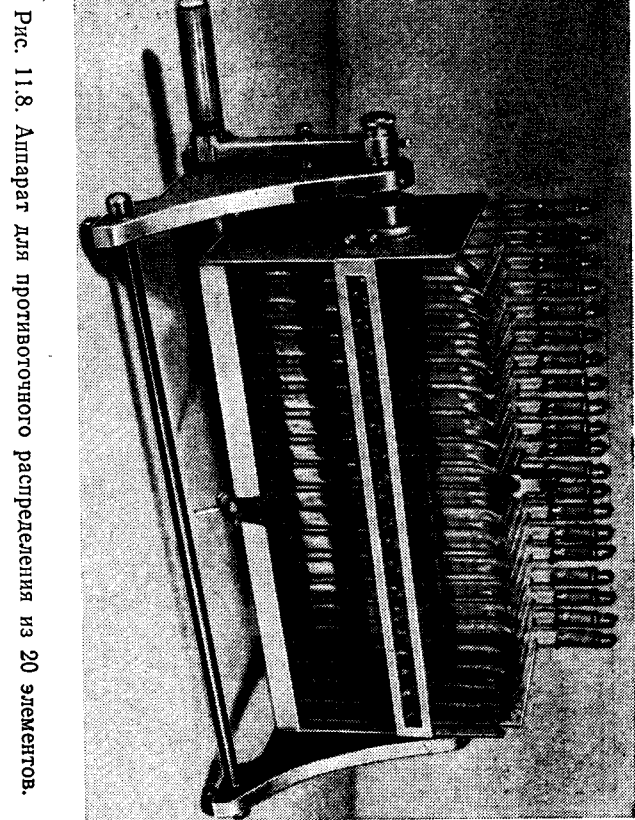
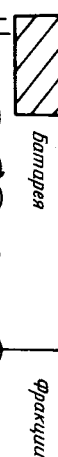


Рис. 11.8. Аппарат для противоточного распределения из 20 элементов.

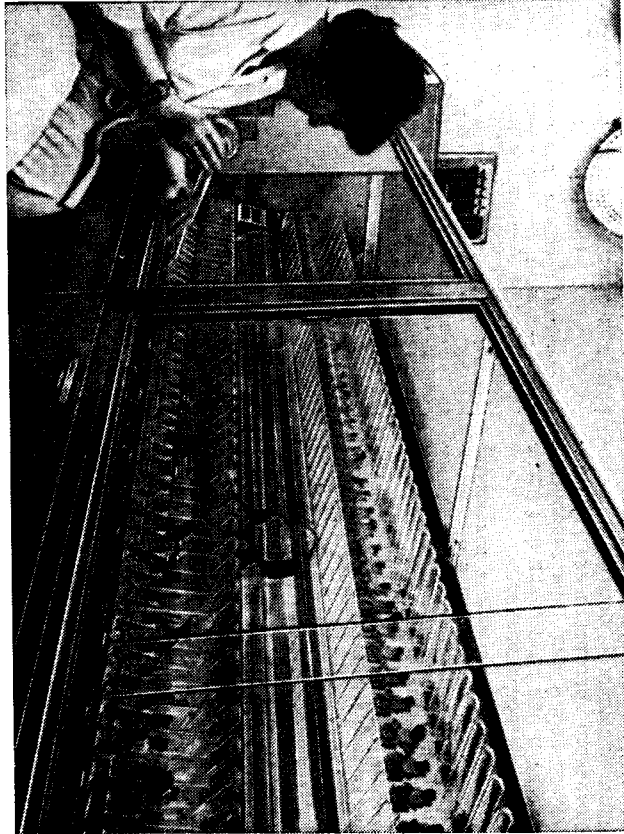
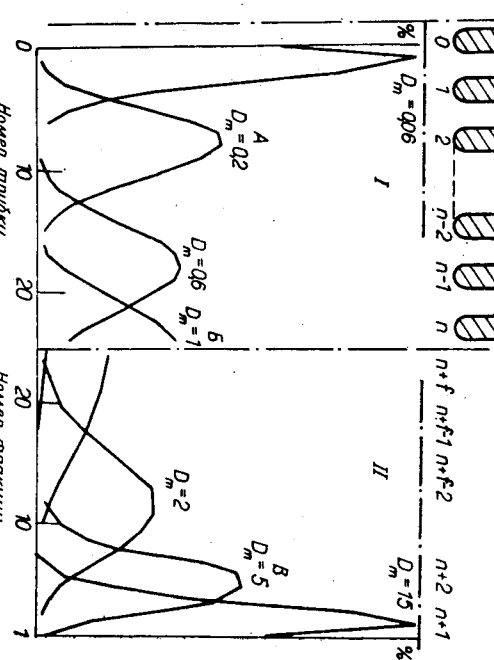


Рис. 11.9. Промышленный аппарат для противоточного распределения Quicfit Steady State Countercurrent Distribution Machine.

Рис. 11.9. Промышленный аппарат для противоточного распределения Quicfit Steady State Countercurrent Distribution Machine.

Рис. 11.10. Разделение по методу Крейга (24 переноса) с последующим однократным извлечением, проведенное в аппарате с 24 элементами [19]. I — расчетные кривые распределения с разными величинами соотношения количества соединений в фазах системы в аппарате; II — кривые распределения соединения с более высокой разностью этих же величин в собранных фракциях.



дят свежую порцию подвижной фазы, а подвижную фазу из последней пробирки собирают так же, как собирают фракции, поступающие из хроматографической колонки (см. рис. 11.10). Процесс можно продолжать сколь угодно долго. Для веществ, которые остаются в аппарате после завершения разделения, криевые распределения можно рассчитать с помощью уравнения (11.5), а для расчета кривых распределения собранных фракций следует воспользоваться другим уравнением (см., например, монографию [6]).

11.3.3. «ЖЕСТКИЙ» СПОСОБ РАЗДЕЛЕНИЯ

После завершения разделения по основной методике подвижную фазу в первую пробирку, больше не добавляют, но перенос фаз продолжают, пока не соберут всю подвижную фазу, как при однократном извлечении. Эта методика подобна хроматографированию на колонке до пересыхания колонки. С помощью этого способа можно осуществить не более $n=2z-1$ переносов и собрать z фракций каждой фазы.

11.3.4. МЕТОД ДВОЙНОГО ИЗВЛЕЧЕНИЯ

В отличие от описанных выше способов этот вариант метода предусматривает введение свежих порций обеих фаз, так что разделение можно проводить с любым числом переносов независимо от числа пробирок. Сначала разделение проводят по основной методике. Если конструкция аппарата позволяет, то можно использовать истинный противоточный режим, вводя исходную смесь в центральный элемент батареи (рис. 11.2, б). При этом удобно пронумеровать пробирки, начиная от центра батареи, так чтобы центральная пробирка, в которую вводят исходную смесь разделяемых веществ, была обозначена $r'=0$. Пробирки, расположенные по направлению движения легкой фазы, нумеруются положительными числами, а пробирки, расположенные в обратном направлении, — отрицательными: $r'=\pm(z-1)/2$ (где z — число пробирок). После ввода вещества в центральную пробирку смесь перемещивают до достижения равновесия и переносят верхние легкие фазы на одну пробирку вправо ($n=1$). Далее всю батарею вновь встряхивают, чтобы установилось равновесие, и тяжелые нижние фазы переносят на одну пробирку влево ($n=2$). После следующего встряхивания верхние фазы сдвигаются вправо ($n=3$) и т. д. Из рис. 11.2, б видно, что при $n=2-1$ распределение вещества в пробирках идентично распределению, получаемому при применении основной методики (рис. 11.2, а). При следующем переносе ($n=5$ в данном примере, рис. 11.11), т. е. после встряхивания и переме-

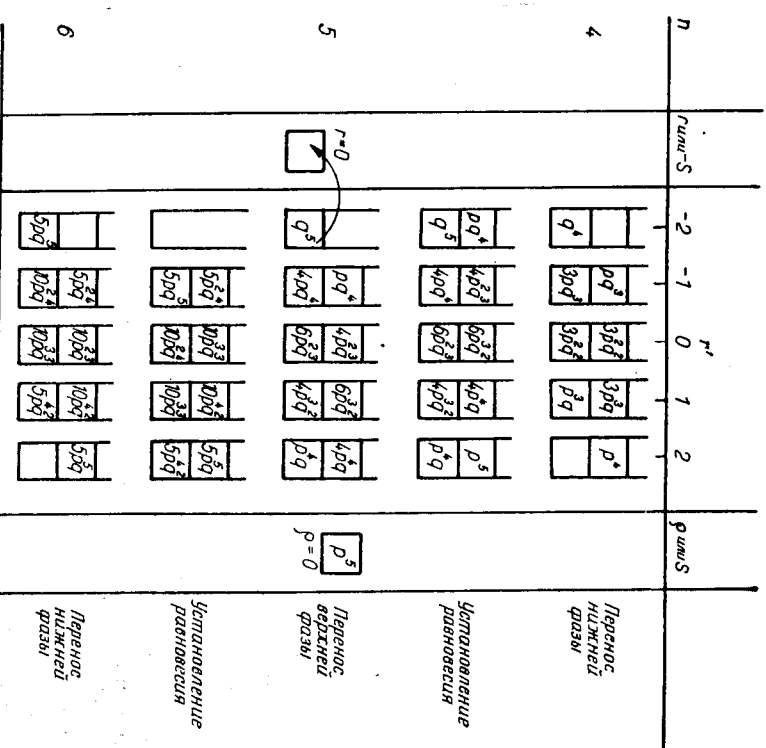


Рис. 11.11. Принципиальная схема метода двойного извлечения.

шения легких фаз вправо, часть верхних фаз, содержащих p^b исходного количества вещества, выводится из батареи. Этую фракцию нумеруют как $p=0$. Одновременно освобождающаяся коли- чество q^b вещества в тяжелой фазе выводится из батареи с левой стороны; эту фракцию нумеруют как $r=0$. На этом завершается пятый шаг ($n=5$). Шестой шаг ($n=6$) начинается с встряхивания и установления равновесия и заканчивается переносом нижних фаз влево. В результате обе концевые пробирки батареи содержат только одну фазу, и они заполняются соответствующими количествами второй фазы (верхней фазы на левом конце батареи и нижней фазы — на правом, см. рис. 11.11).

ПРОТИВОТОЧНОЕ РАСПРЕДЕЛЕНИЕ

$n=6$). Седьмой шаг ($n=7$) вновь начинается со встряхивания и переноса легкой фазы вправо; одновременно верхняя и нижняя фазы отводятся из крайних левой и правой пробирок батареи (фракции $r=1$ и $r=1$). Следующий шаг вновь приводит к разделению можно продолжать сколь угодно долго. Если число пробирок мало, например, лежит в интервале от 5 до 15, этот метод позволяет тщательно очистить от примесей лишь одно соединение ($c D_m=1$); при большом числе пробирок, например 15–30, он позволяет провести качественное разделение двух соединений с коэффициентом разделения 4 и выше.

11.3.5. МЕТОД О'КИФФА [7, 14]

Описываемый способ представляет собой один из вариантов метода непрерывного противоточного разделения: смесь, подлежащую разделению, вводят в равных количествах в центральную пробирку батареи при каждом шаге необходимое число раз. Сам по себе этот процесс является периодическим, поскольку перемещение фаз производится периодически, а не непрерывно, как в рассмотренных выше примерах. Рассмотрим один из вариантов методики О'Киффа. Батарея включает 5 пробирок, пронумерованных, как показано на рис. 11.12. Пробирки заполняются обеими фазами. Центральная пробирка $r'=0$ заполняется одной долей разделяемой смеси, либо в чистом виде, либо в виде раствора в минимальном количестве легкой фазы. На концах батареи располагают резервуары $+S$ и $-S$ (номера этих резервуаров $r'=\pm(z-1)/2$). Батарею встряхивают до тех пор, пока в системе не установится равновесие и легкие фазы не переместятся на одну пробирку вправо. После этого вновь проводят встряхивание и перемещают тяжелые фазы на одну пробирку влево. Оба таких шага вместе составляют один цикл. Крайние пробирки наполняются соответствующими фракциями ($N=1$). Затем в центральную пробирку вводят вторую (равную) порцию разделяемой смеси и батарею вновь встряхивают. В этот момент обе фазы в пробирках под номерами $r'=\pm 1$ содержат вещество, попавшее из первой порции разделяемой смеси, а фазы в пробирке 0 содержат вещество из обеих (из первой, и второй) порций разделяемой смеси. На рис. 11.12 это отмечено штриховкой. Теперь легкие фазы снова перемещаются на одну пробирку вправо, после установления равновесия нижние фазы сливаются на одну пробирку влево. После завершения второго цикла разделения вещества из первой порции смеси распределяются по всем пробиркам, а вещество из второй порции смеси — по трем центральным пробиркам батареи. Третий цикл ($N=3$) начинается с добавления свежей порции разделяемой смеси в централь-

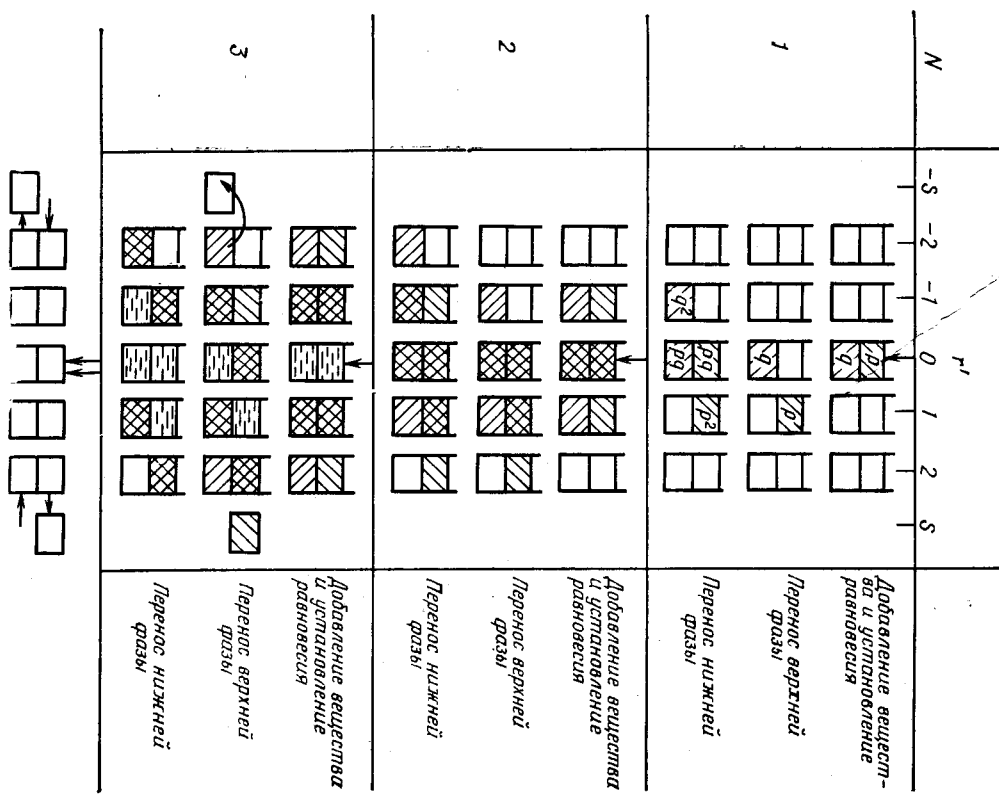


Рис. 11.12. Схема методики О'Киффа (смесь вещества и противоточного разделения). Центральную пробирку батареи) [7].
Штриховка показывает распределение добавленных веществ между двумя фазами в один цикле.

ную пробирку. После переноса верхних фаз вправо первая фракция вещества (обогащенная компонентом с большим сродством к верхней фазе) выводится из аппарата в резервуар $+S$. Нижняя фаза из крайней левой пробирки также выводится в резервуар $-S$. Вновь с помощью встряхивания достигают равновесия, тяжелые фазы при этом сливаются влево, а крайние

пробирки заполняются соответствующими свежими фазами, т. е. свежая порция легкой фазы добавляется в пробирку №2, а свежая порция тяжелой фазы — в пробирку №2. На этом третий цикл заканчивается. Далее батарею готовят к введению четвертой порции разделляемой смеси в центральную пробирку и дальнейшему разделению. Очевидно, что метод идентичен методу двойного извлечения (или альтернативного извлечения), если исключить повторное добавление разделляемой смеси веществ в центральную пробирку. Этим методом можно проводить разделение, располагая лишь простыми делительными воронками [14]. Не обязательно, чтобы разделяемая смесь вводилась в центральную пробирку; если это более удобно, ее добавляют в какую-либо другую пробирку внутри батареи. В резервуары $+S$ и $-S$ собираются фазы, обогащенные одним из компонентов (бинарные смеси), если произведение параметров разделения β близко к единице.

11.3.6. СПОСОБ ВАТАНАБЭ — МОРИКАВЫ [22]

Этот вариант метода отличается от предложенного О'Киффом лишь тем, что смесь компонентов вводят в крайнюю пробирку. Если смесь вводят не в крайнюю, а в какую-нибудь другую пробирку, можно считать, что методика идентична описанной в разд. 11.3.2.

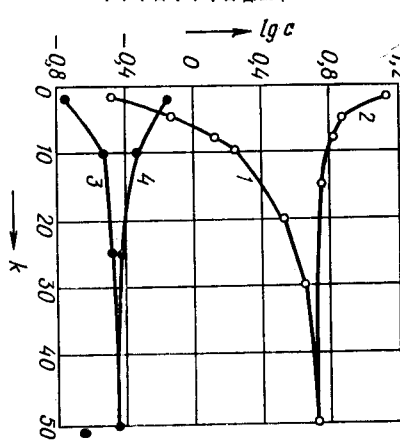
В разд. 11.3 описаны лишь несколько наиболее важных и наиболее общих модификаций метода противоточного разделения. Дополнительные варианты и модификации можно найти в литературе.

11.4. ФАКТОРЫ, ВЛИЯЮЩИЕ НА ПРОТИВОТОЧНОЕ РАСПРЕДЕЛЕНИЕ

Самые большие затруднения при противоточном разделении вызывает образование эмульсий. Если выбранная двухфазная система образует эмульсию, которая не разделяется достаточно быстро (максимум 5—10 мин) и четко, следует начать поиск другой системы, не образующей эмульсии; однако факторы разделения и распределения в этой новой системе не должны сильно отличаться от найденных в первоначально выбранной системе. Если подобрать такую систему не удается, следует попробовать применить другие методы разделения или найти такой способ предварительной обработки разделляемой смеси, который позволил бы разрушить эмульсию или удалить эмульгатор,ющий компонент. Образование эмульсий не только удлиняет время, необходимое для разделения фаз после встряхивания, но и уменьшает перенос веществ между фазами из-за концентриро-

вания вещества на границе раздела фаз. По той же причине мы рекомендуем при установлении равновесия не интенсивное встряхивание, а медленное покачивание пробирок. Другим важным фактором является число переворотов или покачиваний пробирок, необходимое для достижения равновесия. При этом отнюдь не безразлично, в какой фазе вещество находится и в какую фазу оно должно перейти. Так, например, если прегнен-

Рис. 11.13. Примеры установления равновесия в зависимости от числа качаний (k) [1].
1, 2 — бензиленициллин в системе эфир — 3МЛ фосфатный буферный раствор, pH 4,60; 3, 4 — p -оксистеариленициллин в той же системе, pH 4,9. Кривые с нечетными номерами показывают отклонение концентрируемых веществ в обеих фазах, наблюдаемое в тех случаях, когда вещество растворено в верхней фазе; кривые с четными номерами показывают отклонение концентрируемых веществ в обеих фазах, наблюдаемое в тех случаях, когда вещество растворено в нижней фазе.



4-дион-3,20 растворен в 20 мл верхней неполярной фазы системы вода — этанол — 2,2,4-триметилпентан (состав верхней фазы: 0,011 воды, 0,142 этанола, 0,847 триметилпентана; состав нижней фазы: 0,278 воды, 0,671 этанола, 0,051 триметилпентана) и раствор встряхивают с таким же количеством полярной обогащенной водой фазы, равновесие устанавливается уже через 5 мин. Однако, если этот стероид растворен в нижней обогащенной водой фазе и его необходимо перенести в верхнюю fazу, для достижения равновесия требуется свыше 20 ч [9]. Рис. 11.13 иллюстрирует процесс установления равновесия в системе, содержащей два антибиотика. В большинстве случаев для установления равновесия достаточно от 3 до 50 переворотов пробирки.

Влияние различий в структуре разделляемых соединений на величины их констант распределения наиболее заметно в системах с плохо смешивающимися фазами. Поэтому мы рекомендуем выбирать системы на основе жидкостей, обладающих низкой взаимной растворимостью, конечно, если константы разделения в таких системах не будут изменяться слишком сильно. Улучшить разделение можно также, получив более липофильные производные разделляемых соединений, для разделения которых необходима система с более липофильной органической фазой, которая в свою очередь меньше смешивается с

водной фазой. По тем же причинам обычно рекомендуется подавлять диссоциацию ионогенных веществ соответствующим подбором системы.

Поскольку смешиаемость фаз увеличивается с увеличением температуры, очевидно, что для лучшего разделения смеси целесообразно проводить разделение при пониженных температурах и выбирать системы с фазами, максимально различающимися по плотности. Наконец, следует выбирать растворители с низкой вязкостью, достаточной поверхностной активностью и умеренной летучестью.

11.5. АНАЛИТИЧЕСКОЕ ПРИМЕНЕНИЕ ПРОТИВОТОЧНОГО РАСПРЕДЕЛЕНИЯ

В разд. 11.2.2 было показано, что метод противоточного распределения достаточно хорошо поддается математическому описанию, т. е. если известны константы распределения, можно рассчитать количества индивидуальных компонентов смеси в каждой пробирке аппарата заранее. По этой причине метод противоточного распределения можно использовать для определения

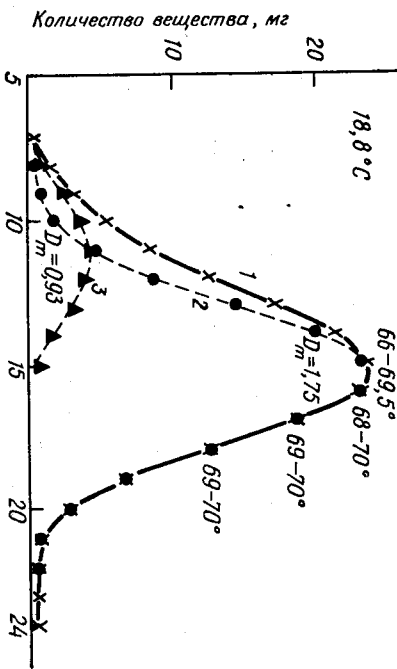


Рис. 11.14. Противоточное распределение стеариновой кислоты в системе изооктан — 94%-ный метanol [6].

Основная методика, $V=0,74$; 1 — экспериментальная кривая; 2 — расчетная кривая для $D_m=1,75$; 3 — разность между экспериментальной и расчетной кривыми и значение D_m (0,93) примеси, найденное из этой разности. Цифры над кривой — температура плавления фракций.

11.6. ПРЕПАРАТИВНОЕ ПРИМЕНЕНИЕ МЕТОДА

Для полного разделения веществ с близкими константами распределения необходим аппарат с большим количеством пробирок. Для простого обогащения смеси компонентом (например, растительным экстрактом), особенно если константы распределения компонентов не слишком схожи, достаточно небольшого числа пробирок. Метод противоточного распределения часто удобно использовать в качестве начальной стадии фракционирования до хроматографического разделения больших количеств веществ (граммов и более), поскольку фракционирование при этом проходит в мягких условиях, не вызывающих денатурации или необратимой сорбции вещества на активном сорбente. Таким способом можно быстро обогащать большие количества смесей, пользуясь лишь обычными делительными воронками; расход растворителя при этом относительно невелик. Кроме того, за процессом обогащения или разделения можно следить с помощью тонкослойной хроматографии (ТСХ), а результат эксперимента можно математически предсказать до его окончания.

11.7. НЕПРЕРЫВНЫЕ МЕТОДЫ

Для разделения больших количеств веществ, особенно в промышленных масштабах, целесообразнее пользоваться аппаратом для непрерывного противоточного распределения. Разработанные Янценом и Ван Диком [7] способы непрерывного противоточного распределения по существу аналогичны описанным выше методам О'Киффа и Батанабэ — Морикавы (с той разницей,

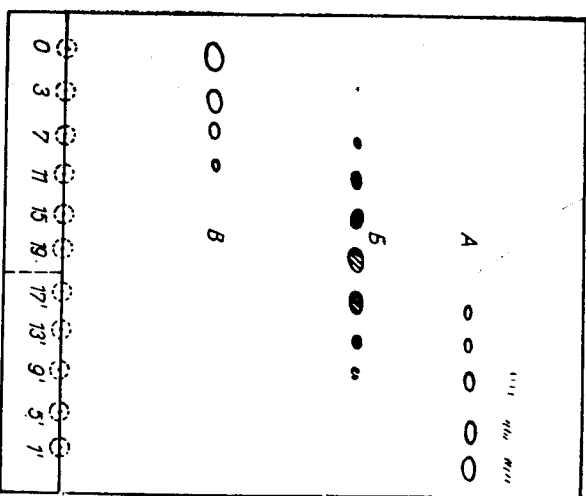
что фазы непрерывно перемещаются друг относительно друга). В литературе описаны наиболее известные аппараты: аппарат для разделения колоночным методом по Шейбелю [17] или Ромчу [16], дисковый экстрактор сорого типа для противоточного разделения смесей по Сигнеру [18] и Ричарду [15] (см. также [6]).

11.8. ПРИМЕРЫ МЕТОДИК ИРРОТИВОТОЧНОГО РАСПРЕДЕЛЕНИЯ

11.8.1. ОБОГАТИТЕЛЬНОЕ ВЫДЕЛЕНИЕ ОДНОГО КОМПОНЕНТА ИЗ СЛОЖНОЙ РЕАКЦИОННОЙ СМЕСИ В АППАРАТЕ С 20 ПРОБИРКАМИ

Смесь, образующуюся при гидроксилировании дегидроэпандростерона из ткани картофельного клубня (освобожденного от липофильных компонентов экстракцией легким петролейным эфиром) и содержащую, кроме целевого продукта, часть непрореагировавшего исходного материала, побочные продукты реакции и некоторые неидентифицированные примеси из картофельной массы, подвергали противоточному распределению в аппарате Крейга, снаженном 20 пробирками (рис. 11.8). Лучшей системой растворителей оказалась смесь бензол — эфир/этанол — вода (35 : 15 : 25 : 25); эта система была выбрана в результате предварительного разделения в делительной микроворонке, контролируемого с помощью ТСХ. Все пробирки аппарата, кроме кульевой, были заполнены нижней, неподвижной фазой (по 10 мл в каждой), насыщенной верхней, подвижной фазой. В пробирку 1, которая служила для завершения насыщения нижних фаз в ходе эксперимента, было введено 10 мл чистой верхней фазы, насыщенной нижней. Образец, подлежащий обогащению (3,2 г), растворяли в примерно 8 мл верхней фазы и 9 мл нижней фазы (обе фазы предварительно взаимно насыщали), смесь вносили в первую пробирку аппарата (0) и начинали первый цикл разделения, включающий 50 качаний, разделение фаз и декантацию верхних фаз в следующие пробирки. После добавления свежей порции верхней фазы в пробирку 0 процесс продолжали до завершения основного процесса. Если объем нижней фазы в какой-либо пробирке слегка уменьшился, то его доводили до 10 мл свежей порции нижней фазы. После окончания основного процесса проводилось однократное извлечение, и разделение продолжали до тех пор, пока не было собрано 20 фракций верхней фазы (фракции 1'—20'). Фракции в аппарате были пронумерованы от 0 до 19 соответственно номерам пробирок. Аликовитые части (по 10 мкл) каждой органической фазы анализировались методом ТСХ на силикагеле (20×20 см).

Рис. 11.15. Анализ фракций методом ТСХ, полученных противоточным распределением продуктов биологического гидроксилирования дегидроэпандростерона [12, 13].
Адсорбент — силикагель; элюент — смесь хлороформ — метатол (95 : 5); обнаруживающий реагент — насыщенный раствор хлорида сульфата(III) в хлороформе (100 °C). А — исходное соединение; Б — целевой продукт гидроксилирования; В — побочный продукт гидроксилирования (глюкозид); цифры — номера пробирок: 17, 13, 9, 5, 1 — собранные фракции.



ТСХ, фракции 1'—8', содержавшие преимущественно исходное соединение, были объединены. Фракции 9'—20' и 7—20, содержащие главным образом целевое вещество (продукт гидроксилирования), также были объединены. Общая масса сухого остатка равнялась 0,7 г. Другие фракции (пробирки 0—6) содержали побочный продукт реакции — глюкозид дегидроэпандростерона (0,10 г).

В ходе эксперимента было израсходовано немногим более 400 мл верхней фазы и около 200 мл нижней. Поскольку эмульсия в ходе разделения не образовывалась, вся процедура заняла лишь около 3—4 ч. Если бы смесь хроматографировали методом классической жидкостной хроматографии, т. е. на 30-кратном количестве силикагеля (~100 г), операция потребовала бы

существенно больше времени и расход растворителей был бы значительно больше. Кроме того, целевой продукт может частично изомеризоваться на сорбенте, и в этом случае сорбент придется бы или регенерировать, или выбросить. Разделение на препаративных тонкослойных пластинках длится еще дольше и стоит еще дороже. Очевидно, что метод противоточного разделения экономически был бы еще более выгоден при наличии аппарата с большим числом пробирок и большего количества разделяемой смеси. Увеличивая число переносов, можно не только обогатить смесь цепевым соединением в большей степени, но и получить это соединение в чистом виде.

На рис. 11.10 схематически представлен подобный процесс, применяемый для разделения большого числа веществ с различными значениями D_m в аппарате с 24 элементами.

11.8.2. ВЫДЕЛЕНИЕ ЧИСТОГО [2-О-МЕТИЛТИРОЗИЛ]ОКСИТОЦИНА (МЕТИЛОКСИТОЦИН ФИРМЫ SPOFA) С ПОМОЩЬЮ ПОЛНОСТЬЮ АВТОМАТИЗИРОВАННОГО АППАРАТА ДЛЯ ПРОТИВОТОЧНОГО РАСПРЕДЕЛЕНИЯ [10]

Аппарат, на котором проводилось выделение, выпускает фирма Quickefit Steady State Countercurrent Distribution Machine. В нем имеется 100 пробирок емкостью по 50 мл, помещенных в терmostатируемый (интервал температур 20—25 °C, точность термостатирования ± 1 °C), защищенный от попадания пыли бокс. Пробирки сконструированы так, что перемещать можно любую фазу. Аппарат также позволяет автоматически добавлять фазы из специальных емкостей. Операции проводятся автоматически, и процесс можно программировать, т. е. задавать последовательность перемещения фаз, число качаний, длительность отстаивания систем и т. д.

В качестве растворителей были выбраны взаимно насыщенные 0,05%-ная уксусная кислота и *втор*-бутанол.

Верхний резервуар заполнялся 6 л верхней или нижней фазы (обычно той фазой, которой было использовано больше). Аппарат устанавливали в положение «Заполнить» и программировали 250 переносов верхней фазы, после чего переводили переключатель в положение «Слить», при длительности качания 2 мин. После проведения еще 20 переносов верхней фазы аппаратур переключали в положение «Слить», после 20 переносов нижней фазы проводилось еще 250 переносов в положении переключателя «Заполнить». После этого аппарат промывался одной из фаз и освобождался от жидкости. Верхний резервуар, в который к этому времени уже не оставалось растворителя, вновь заполнялся 6—8 л верхней фазы, а нижний резервуар в это же время заполнялся 4—6 л тяжелой фазы. По мере необходимости

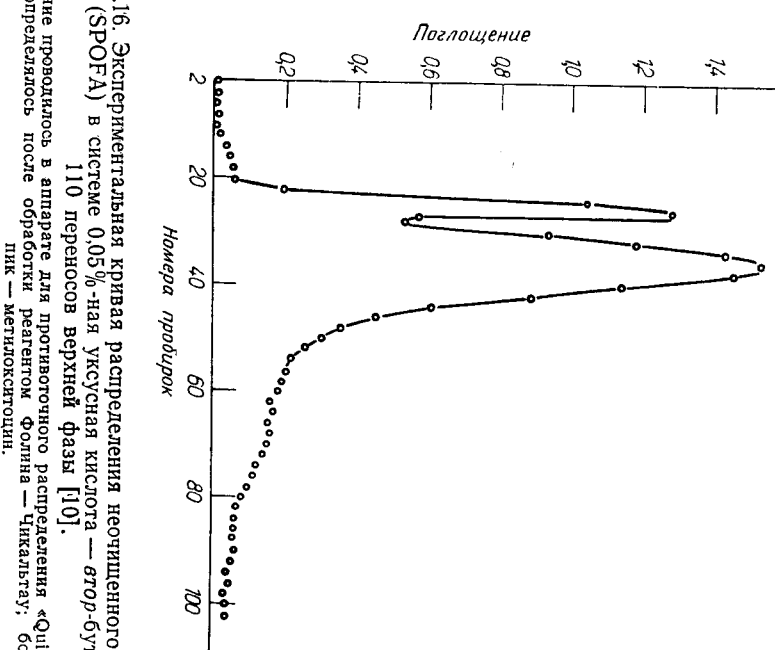


Рис. 11.16. Экспериментальная кривая разделения неочищенного метилокситодина (SPOFA) в системе 0,05%-ная уксусная кислота — *втор*-бутанол после 110 переносов верхней фазы [10].

Разделение проводилось в аппарате для противоточного разделения «Quickefit», поглощение определялось после обработки реагентом Фолина — Чикальтай; более высокий — метилокситодин.

верхней фазы. Таким способом аппарат заполняли и подготовливали к работе.

Сырой [2-О-метилтироозил]окситодин (метилокситодин производства SPOFA), полученный восстановлением 1,40 г запиленного лептида, растворяли в 5 мл нижней фазы и отфильтровывали. Колбу и воронку промывали 50 мл верхней фазы. Из второй и третьей пробирки аппарата шприцем отсасывали жидкость, затем заполняли нижней и верхней фазами разделяющей смеси (по 25 мл каждой) и задавали программу: разделение фаз (5 мин), встряхивание (0,5 мин), переключение в положение «Слить», 10—20 переносов верхней фазы (после 10 переносов длительность разделения фаз можно сократить до 3 мин). После выполнения 110 переносов верхней фазы (рис. 11.16) со-

Глава 12. Электромиграционные методы

отношение переносов верхней и нижней фаз меняли до 2:1 и при таком соотношении проводили еще 480 переносов (т. е. на каждые 2 переноса верхней фазы приходился один перенос нижней). Всего было проведено 590 переносов, из них 430 переносов верхней фазы и 160 — нижней. После этого аппарат выключали, определяли содержание [2-О-метилтироэозил]оксиглюцина в пробирках. По результатам анализа строилась кривая изменения концентрации определяемого соединения. С помощью этой кривой были выявлены пробирки, содержащие чистое вещество. Если полученная кривая имела правильную форму, фракции, содержащие более 5% вещества (по отношению к содержанию вещества в пробирке с максимальной концентрацией), объединялись. Выход составил 200—250 мг, т. е. 24—30%. С помощью этой кривой можно также рассчитать D_m по уравнению

$$D_m = (r_{\max} + 160)/(470 - r_{\max})$$

и из него рассчитать теоретическую кривую.

Описаным методом очищают метилокситоцин-SPOFA в про мышленном масштабе.

ЛИТЕРАТУРА

1. Barry G. T., Sato Y., Craig L. C., J. Biol. Chem., **174**, 209 (1948).
2. Craig L. C., J. Biol. Chem., **155**, 519 (1944).
3. Craig L. C., in Comprehensive Biochemistry (Florkin M., Stotz E. H., Eds.), Vol. 4, Elsevier, Amsterdam (1962), p. 1.
4. Craig L. C., Anal. Chem., **22**, 1346 (1950).
5. Heckler E., Chem.-Ing.-Techn., **25**, 505 (1953).
6. Heckler E., Verteilungverfahren im Laboratorium, Verlag Chemie, Weinheim (1955).
7. Heckler E., Naturwissenschaften, **50**, 165, 290 (1963).
8. Hill R. J., in Methods in Enzymology (Colowick S. P., Kaplan N. O., Eds.), Vol. XI, Academic Press, New York (1967), p. 378.
9. Huber J. F. K., Meijers C. A. M., Huisman J. A. R., Anal. Chem., **44**, 111 (1972).
10. Jošt K., personal communication.
11. Keil B. (Ed.), in: «Laboratorní technika organické chemie», Nakladatelství ČSAV Praha (1954), p. 502.
12. Nguyen Gia Chan, Thesis, Institute of Organic Chemistry and Biochemistry, Czechoslovak Academy of Sciences, Prague (1971).
13. Nguyen Gia Chan, Prochazka Z., Biologia Plantarum, **14**, 364 (1972).
14. O'Keeffe A. E., Danver M. A., Stiller E. T., J. Am. Chem. Soc., **71**, 2452 (1949).
15. Ritschard W. J., Chem.-Ing.-Techn., **35**, 647 (1963).
16. Romeisch R., Helv. Chim. Acta, **33**, 184 (1950).
17. Scheibel E. G., Chem. Eng. Progr., **44**, 681, 771 (1948).
18. Signer R., Chimia, **6**, 243 (1952).
19. Von Tavel P., Chimia, **23**, 57 (1969).
20. Von Tavel P., Chimia, **26**, 187 (1972).
21. Von Tavel P., Signer R., in Advances in Protein Chemistry, Vol. XI, Academic Press, New York (1966), p. 237.
22. Watanabe S., Morikawa K., J. Soc. Chem. Ind. Japan, **36**, 585 (1933).

З. ПРУСИК

Институт органической химии и биохимии
Чехословацкой академии наук, Прага

Электромиграционные процессы разделения основаны на различных способах использования основного свойства ионизованных частиц в жидкой среде — электрофоретической подвижности в постоянном электрическом поле.

12.1. ВВЕДЕНИЕ

Наиболее старый вид электрофореза — метод подвижной гранулы — применялся для характеристики биополимеров, в частности белков. Классический метод Тизелиуса дает достаточно точную информацию об электрофоретической подвижности макромолекул, но невысокое разрешение. Кроме того, этим методом не удается выделять чистые компоненты анализируемой смеси, за исключением самого быстрого и самого медленного. Если подвижность компонентов уменьшается в последовательности А, В, С, Д, то за появляющейся спустя некоторое время зоной чистого компонента А следуют зоны смесей А+В, А+В+C, А+B+C+D, B+C+D, C+D и в заключение зона чистого компонента D. Разработка зонного электрофореза представляла собой существенный шаг вперед. При разделении методом зонного электрофореза отдельные компоненты смеси также перемешаются с различными скоростями в среде электролита постоянного состава, однако перемещение компонентов в этом случае продолжается до полного их разделения, т. е. компоненты распологаются в последовательности А, В, С, Д, Е. В настоящее время разработаны многочисленные модификации зонного электрофореза, а также методы, объединяющие зонный электрофорез и другие аналитические методы. Диффузию можно ограничить с помощью способов, перечисленных в табл. 12.1.

При проведении разного рода разделений очень важно, чтобы у полученных зон были четкие границы. Первым методом

Обзор методов антиконвекционной стабилизации зон

Таблица 12.1

Среда	Метод стабилизации
Жидкая	<p>При помоши:</p> <ul style="list-style-type: none"> а) градиента плотности [19] б) вращения [41], камера с извилистыми каналами [53] в) капиллярного эффекта, ламинарного потока г) нулевого гравитационного эффекта ($g=0$, сателлит) д) возрастющей вязкости (с полимерным неэлектролитом) <p>Применение различных типов носителей</p> <ul style="list-style-type: none"> а) волокнистых (бумаги, ионообменной бумаги, полихлорвиниловой бумаги, бумаги из стекловолокна) б) гомогенных пленок (алетат и нитроцеллюлозы) в) незакрепленных слоев, обладающих молекулярно-сетевыми свойствами (целлюлоза, крахмал, пекон^a, стекло, полиамид) г) незакрепленных слоев, обладающих молекулярно-сетевыми свойствами (гранулированные гели, в том числе сефадекс, агароза, биогель^b, поликариламид, силикагель) <p>Применение различных типов гелей</p> <ul style="list-style-type: none"> а) крахмального блочного б) поликариламидного в) агарозного блочного
Гель	<p>^aСополимер поливинил acetата и поливинилхлорида.</p> <p>^bСм., гл. 6.</p>

фокусирования явилось изоэлектрическое фокусирование, применяемое при разделении высокомолекулярных амфотерных соединений. Разделение проводят в среде, представляющей собой смесь амфотерных соединений, образующих устойчивый градиент pH в постоянном электрическом поле. Соединения с различными изоэлектрическими точками мигрируют при электрофорезе до такого положения, в котором значение pH становится равным его изоэлектрической точке. После достижения этой точки миграция соединения прекращается и его зона фокусируется. Устанавливается квазистационарное состояние, при котором диффузия компенсируется фокусирующим влиянием электрического поля в градиенте pH. В этом случае компоненты смеси A, B, C, D обычно располагаются между низкомолекулярными амфотерными соединениями M, образующими естественный градиент pH. В результате наблюдается следующее расположение зон: M₁, A, M₂, B, M₃, C, M₄, D, M₅ (где M₁—M₅ — добавленные промежуточные фракции с различными изоэлектрическими точками).

Наряду с основными методами существует ряд смешанных методов, среди которых дискретный электрофорез в поликариламидном геле играет важную роль в разделении биополимеров.

В этом методе сначала используются некоторые элементы изотахофореза, который через некоторое время заменяется на зонный электрофорез в среде геля, однако в геле могут иметь место и молекулярно-сетевые эффекты.

Возможность применения неоднородных (дискретных) систем электролитов в многофазном зонном электрофорезе используется недостаточно полно. Об этом, в частности, говорят результаты анализа расчетных систем электролитов в условиях фокусирования, ограниченного [16, 73] или неограниченного во времени.

Только при электрофорезе с подвижной границей и при зонном электрофорезе наблюдается постоянство pH во всей среде и постоянно расходящееся движение компонентов исследуемой смеси. Изоэлектрическое фокусирование может приводить к максимальным величинам pH при нулевой результирующей подвижности разделяемых компонентов. В условиях изотахофореза

Таблица 12.2

Обзор электромиграционных методов

Основные методы

Название метода	Сокращение	Возможная область применения			
		Анализ		Препартивное разделение	
		количественный	качественный	микро	макро
Электрофорез с подвижной границей (метод Тизелиуса)	ЭПГ	+	++	-	-
Зонный электрофорез	ЗЭ	+++	++	++	+++
Изоэлектрическое фокусирование	ИФ	++++	++	+	+
Изотахофорез	ИТФ	++++	++	+	+
Стационарный «стэкинг» (stacking)	ССС	++++	++	+	+

Производные методы					
Название метода	Сокращение	Характеристика метода (принципы разделения) ^a			
Дискретный электрофорез	ПАГЭ в МБС	Последовательно ЭПГ, ИТФ, ЗЭ, МС			
Многофазный зонный электрофорез	МЗЭ	ЗЭ и в заключение МС			
Электрофорез в градиенте плотности поликарбамидного геля (электрофорез, определяемый размером пор)	П-Г-Э	a) ЗЭ и ИОХ в перпендикулярном направлении			
Электрохроматография, метод отпечатков пальцев		б) ИОХ и в перпендикулярном направлении ЗЭ ЗЭ, МС, иммunoопрециптизация в первом направлении; любой тип разделения; перпендикулярное направление ЗЭ и иммunoосаждение			
Иммуноэлектрофорез		ЗЭ, одновременно влияние магнитного поля			
Магнитоэлектрофорез					

^aПринятые сокращения: БЭ — метод Тизелиуса с подвижной границей, МБС — многофазная буферная система, МС — молекулярно-ситовое разделение, ПАГЭ — электрофорез в поликарбамидном геле.

каждая зона характеризуется собственным значением pH, которое определяется действительным составом зоны. Движение отдельных компонентов в системе изотахофореза является различным до тех пор, пока компоненты не расположатся в соответствии с их подвижностью. После этого скорости перемещения всех зон становятся равными, а pH принимают характеристические значения, соответствующие квазистационарному соотношению компонентов в отдельных зонах.

Зоны можно также сфокусировать в результате наложения молекулярно-ситового эффекта, например, если электрофорез ведется в поликарбамидном геле, то в результате влияния градиента плотности. При проведении электрофореза биополимеров все чаще используются принципы аффинности и иммунной проприятия. Контролировать ход электромиграционного разделения с высоким разрешением удобно с помощью метода двумерного электрофореза и иммунной проприации.

12.2. ЭЛЕКТРОФОРЭЗ

12.2.1. ТЕОРИЯ МИГРАЦИИ ИОНОВ В УСЛОВИЯХ ЗОННОГО ЭЛЕКТРОФОРЕЗА И ЭЛЕКТРОФОРЕЗА С ПОДВИЖНОЙ ГРАНИЦЕЙ

Оба рассматриваемых в этом разделе типа электрофореза имеют общую основу. Ионы, коллоидные частицы и частицы большего диаметра подвергаются действию постоянного однородного электрического поля с напряженностью E (В/см). Следова, окружавшая эти заряженные частицы, также однородна по составу и характеризуется одной и той же величиной pH. Заряженные частицы движутся в электрическом поле по направлению к противоположно заряженному электроду. В этом случае скорость идеализированной сферической частицы определяется формулой

$$v = zE/6\pi\eta r, \quad (12.1)$$

где z — заряд частицы, E — напряженность электрического поля, η — вязкость среды, а r — радиус частицы. Сопротивление движению частицы пропорционально вязкости среды η и радиусу частицы r . Электрофоретическая подвижность и определяется как скорость движения частицы, деленная на напряженность электрического поля,

$$E = v/E, \quad (12.2)$$

Величину E в уравнении (12.2) можно выразить через измеримые величины

$$E = j/\rho k, \quad (12.3)$$

где q — площадь сечения электрофоретической ячейки, μ — электропроводность и j — плотность тока (составно это одно из выражений закона Ома). Скорость v равна расстоянию S , проходимому частицей в единицу времени:

$$S = vt \quad (12.4)$$

Используя уравнение (12.2), подвижность u можно представить следующим выражением:

$$u = sq\kappa/tj \quad (12.5)$$

Скорость v определяется соотношением

$$v = u/j/q\kappa \quad (12.6)$$

Эти уравнения справедливы во всех случаях, однако следует иметь в виду, что уравнения (12.1) и (12.2) предполагают бесконечное разбавление и отсутствие солей. Влияние электролита выражается с помощью ионной силы μ , которую можно представить как

$$\mu = (1/2) \sum c_i z_i^2, \quad (12.7)$$

где c_i — концентрация, а z_i — заряд ионов, присутствующих в растворе. С повышением ионной силы подвижность снижается из-за накапливания ионов противоположного знака вокруг частицы, приводящему к снижению ее эффективного заряда. Небольшие изменения в ионной силе изменяют подвижность примерно в соответствии с соотношением:

$$u_1 \approx u_2 (\mu_2^{1/2} / \mu_1^{1/2}) \quad (12.8)$$

Согласно уравнению (12.1), электрофоретическая подвижность обратно пропорциональна вязкости среды. Вязкость уменьшается с увеличением температуры, и поэтому подвижность увеличивается примерно на 2,7% с повышением температуры на каждый градус. Подвижность частиц также может снижаться под влиянием носителя, который может быть гелем, может иметь волокнистую или порошкообразную структуру, может быть насыщен элекролитом. В таких случаях путь частицы фактически удлиняется и одновременно уменьшается напряженность электрического поля. Гелеобразные носители могут проявлять молекулярно-ситовые свойства, что приводит к замедлению движения или даже к полной остановке частиц с большим стоксовым радиусом. Эти эффекты нашли широкое практическое применение в зонном электрофорезе. На ход разделения оказывают влияние и сорбционные процессы.

12.2. НЕПРЕРЫВНЫЙ ЭЛЕКТРОФОРЕЗ В СВОБОДНОМ ПОТОКЕ

В основу этого метода положен зонный электрофорез в электролите, который движется перпендикулярно направлению электрического поля. Первоначальный вариант метода предначен для разделения на бумаге. Позднее [2] он был применен в отсутствие носителя, при этом стабилизация зон осуществлялась ламинарным потоком достаточно тонкого слоя электролита. Электрофоретическая ячейка имела форму плоской квадратной или прямоугольной рамки, длина ее стороны составляла несколько десятков сантиметров, а толщина слоя равнялась 0,25—0,60 мм. Вначале этот прибор использовался для разделения высоко- и низкомолекулярных пептидных соединений, но позднее выяснилось, что таким способом можно эффективно разделять не только растворимые электрофоретические соединения, но и коллоидные частицы, включая субклеточные частицы и клетки, если конструкция аппарата не допускает быстрого осаждения макро частиц на стенках электрофоретической ячейки. Движение частиц в условиях непрерывного электрофореза описывается следующим простым соотношением [39]:

$$tg \alpha = \text{Электрофоретическая подвижность}/\text{Скорость электролита-носителя}, \quad (12.10)$$

где α — угол между направлениями движения зоны и электролита-носителя (рис. 12.1). Для того чтобы сохранять величину α постоянной, необходимо поддерживать постоянство условий разделения в течение длительного времени. По этой причине поддаваемое напряжение или ток должны быть стабилизованы, аппарат должен быть снажен эффективной системой охлаждения и терморегулировки, точными насосами для подачи образца и электролита-носителя при горизонтальном положении камеры

или многоканальным перистальтическим насосом для отбора фракций на выходе из электрофоретической ячейки для прибора с вертикальным положением камеры.

Производительность приборов обычно лежит в пределах от 100 до 200 мг образца в час. Разделение осаждающихся частиц

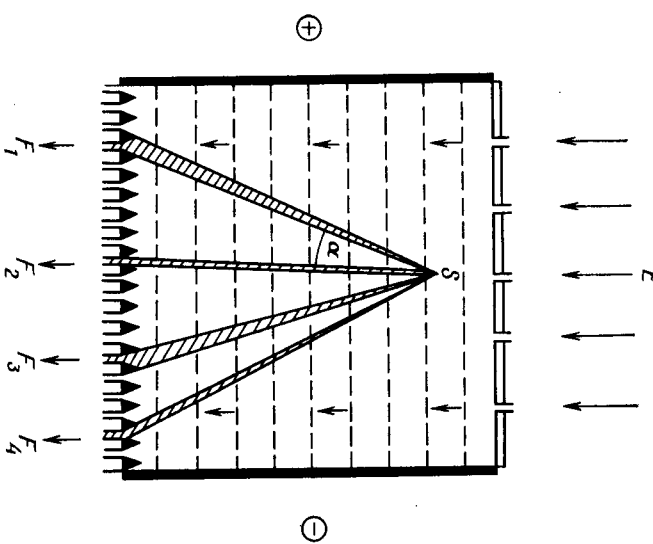


Рис. 12.1. Схема камеры аппарата для непрерывного электрофореза в свободном потоке (вид сверху) [38].

E — Электролит-носитель (подается насосом сверху, а образец вводится снизу); S — ис следуемая смесь (заряженные компоненты смеси в соответствии с зарядом и электрофоретической подвижностью мигрируют в электрическом поле влево или вправо, а нейтральные компоненты вымываются строго вертикально); α — угол отклонения отрицательно заряженных компонентов; F_1-F_4 — места выведения компонентов смеси.

ведется в специальных приборах с вертикальной камерой, а разделение растворимых соединений — в приборах с горизонтальной камерой.

Преимущества данного прибора — его высокая эффективность, воспроизводимость результатов и высокая чистота получаемых препаратов. На рис. 12.2 показан прибор этого типа с горизонтальной камерой [79], а на рис. 12.3 приведен пример разделения компонентов нуклеиновых кислот методом электрофореза в свободном потоке.

Таблица 12.3

Рекомендуемые системы электролитов для непрерывного зонного электрофореза в свободном потоке

pH	Электролит-носитель для электрофоретической камеры	Электролит для электродных камер	Разделяемые соединения или тип соединения
2,0	0,187 M уксусная кислота 0,187 M муравьиная кислота	32 мл ледяной уксусной кислоты, 21,3 мл 99%-ной муравьиной кислоты, вода до 1 л 1 M уксусная кислота	Нуклеозиды, нуклеотиды [66]
2,6	0,5 M уксусная кислота		Мукополисахариды, белки, полисахариды, основные белки, основные и нейтральные пептиды [65]
3,0	Фенол — уксусная кислота — вода (1 : 1 : 1, г/мл/мл)	Как и в электрофоретической камере или уксусная кислота — вода (1 : 1, по объему)	Растительные экстракти [7]
3,9	2,58 мл пиридин, 8,58 мл уксусной кислоты, вода до 1 л	7,73 мл пиридин, 25,75 мл уксусной кислоты, вода до 1 л	Гидролизаты белков [35]
4,9	3,7 мл пиридин, 2,96 мл уксусной кислоты, вода до 1 л	11,1 мл пиридин, 3,4 мл уксусной кислоты, вода до 1 л	Экстракт тимуса, пептиды [40]
5,1	0,025 M ацетат аммония, уксусная кислота	0,075 M ацетат аммония, уксусная кислота	Ферменты, цереброзидсульфатаза [67]
5,3	0,025 M ацетат натрия, уксусная кислота до pH 5,3	0,75 M ацетат натрия, доведенный до pH 5,3 0,75 M уксусной кислотой	Фаги [8]
5,6	0,08 M пиридин, уксусная кислота	0,24 M пиридин, уксусная кислота	Нейрогипофизарные экстракти, вазопрессин, окситоцин, AVTH [81]
7,2	0,01 M трис-буфер, 0,01 M ацетат магния, лимонная кислота до pH 7,2	0,05 M трис-буфер, 0,05 M ацетат магния, лимонная кислота до pH 7,2	Рибосомы из <i>E. coli</i> [66]
7,3	0,01 M фосфат калия-натрия	0,03 M фосфат калия-натрия	Фактор роста [88]
7,4	0,01 M триэтаноламин, 0,01 M уксусная кислота, 0,001 M ЭДТА, 0,33 M сахароза, 2 M NaOH до pH 7,4	0,1 M триэтаноламин, 0,1 M уксусная кислота, 2 M NaOH до pH 7,4	Лизосомы, митохондрии из митохондриальных мембранных [38]
8,5	0,15 M трис-буфер, 4,0 M мочевина, доведенная до pH 8,5 лимонной кислотой	0,45 M трис-буфер, лимонная кислота до pH 8,5	Комплекс РНК — белок, кислотные белки [89]
8,6	0,08 M трис-буфер, лимонная кислота	0,24 M трис-буфер, лимонная кислота	Сывороточные белки [26]
10,5	0,017 M глицин, NaOH, NaCl до электропроводности $\kappa = 1,5 \cdot 10^{-3}$	3,8 г глицерина в 1 л, 0,5 M NaOH до pH 10,5, 2 M NaCl до электропроводности $\kappa = 5 \cdot 10^{-3}$	Белки вируса табачной мозаики [87]

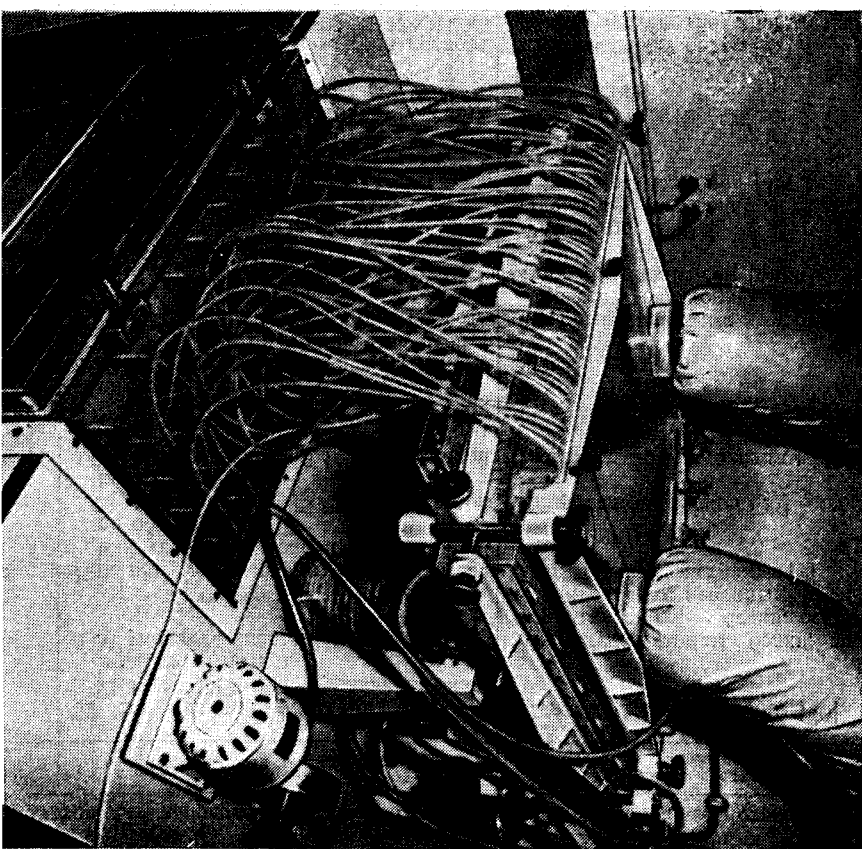


Рис. 12.2. Прибор для непрерывного зонного электрофореза в свободном потоке с горизонтальной щелью [79].

термостатируемая камера с верхним и нижним входом для охлаждающего воздуха; спираль видны капилляризные трубы для сбора образцов из 48 ячеек, внизу — охлаждаемый источник фракций, в центре — детектор высоты уровня в ячейках для сбора фракций; под детектором справа — охлаждаемый ввод для электродного буферного раствора; винты справа — мотор насоса для подачи образца.

В табл. 12.3 приведен рекомендуемый состав электродного электролита и электролита-носителя для разделения растворимых веществ и быстро осаждающихся частиц. Электропроводность электролита-носителя в электрофоретической ячейке обычно лежит в пределах $1 \cdot 10^{-3}$ — $2,2 \cdot 10^{-3} \text{ Ом}^{-1} \cdot \text{см}^{-1}$, только система фенол — уксусная кислота — вода имеет существенно (на порядок) более низкую электропроводность. Метод непрерывного электрофореза чаще всего используется для разделения био-

логических экстрактов, пептидов и белков и в последнее время для разделения клеток и субклеточных частиц (однако выбрать электролит в этом случае сложнее, так как необходимо поддерживать оптимальные условия для выживания клеток). Осмотическое давление регулируется путем добавления сахара, сахара которых случаев, например при выделении клеток крови, саха-

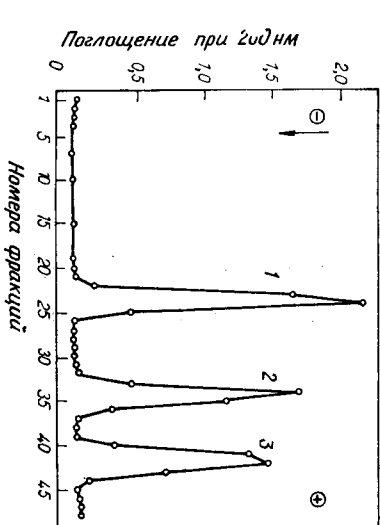


Рис. 12.3. Разделение АТФ, АДФ и АМФ методом непрерывного электрофореза с горизонтальным положением камеры [92].

Напряжение 1400 В; сила тока 165 мА; буферный раствор ацетата аммония, pH 5,0; скорость потока электролита-носителя 50 мл/ч; скорость подачи образца 0,5 мл/ч при концентрации 35 см/мл.

1 — аденоцимкофосфат; 2 — аденоцидифосфат; 3 — аденоцитидифосфат.

розу можно заменить на глюкозу. См. также работу Зайлера и сотр. [111].

Подробный обзор возможных областей применения метода опубликован Ханином [38]. В большинстве случаев в условиях непрерывного электрофореза в свободном потоке градиент потенциала составляет 30 и 50 В/см.

12.2.3. ЗОНЫ ЭЛЕКТРОФОРЭЗ НА БУМАГЕ

Широкое распространение метода бумажного электрофореза обусловлено такими свойствами бумаги, как механическая прочность, способность удерживать большое количество электролита и образца, возможность придания требуемой формы, легкость применения двухмерных методов и простота элюирования образца. Обнаружение проводится или погружением в раствор реагента или опрыскиванием этим раствором. Электрофорограмму после высушивания можно хранить. Однако бумага имеет и ряд недостатков: это неоднородность бумаги вдоль листа, пористость, которая удлиняет путь перемещения вещества. В ре-

зультате сорбции увеличиваются потери в процессе препаративного разделения или разделение вообще становится практически невозможным из-за образования «хвостов» (глико- и липопротеины). Расширение зон вследствие диффузии можно уменьшить.

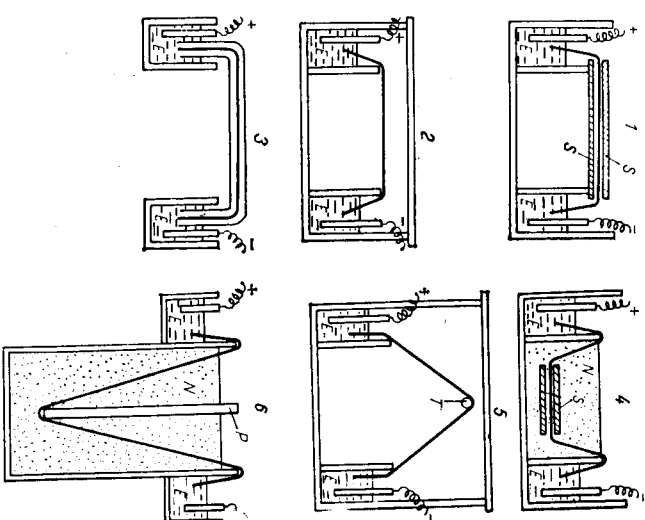


Рис. 12.4. Схемы приборов для низковольтного зонного электрофореза. *Гнездо бумаги; N — инертная жидкость; P — стеклянная перегородка, растянутая бумагой; T — стеклянный стержень.*

E — электрические камеры; **N** — инертная жидкость; **P** — стеклянная перегородка, растянутая бумагой; **T** — стеклянный стержень. Прибор с горизонтальной камерой, в которой бумага расположена между стеклянными пластинаами (**S**); **2** — прибор обычного типа [33], пригодный для горизонтального электрофореза белков (разработан много модифицированных его вариантов); **3** — прибор с горизонтальной камерой для разделения белков; у этого прибора небольшой объем каждой камеры и насыщение ее электролитом происходит быстро; **4** — аппарат Кремера и Тизенпуса [14], в котором отвод тепла осуществляется с помощью инертной жидкости; **5** — аппарат с подвижной в центре бумагой, часто используемый (в виде различных модификаций) для рутинного анализа белков и низкомолекулярных соединений [62, 108]; **6** — прибор, в котором избыточное тепло быстро удаляется инертной жидкостью, например ССИ; пригоден для разделения низкомолекулярных соединений при градиенте напряжения 20—35 В/см [63].

шить, сокращая длительность разделения, снижая температуру и одновременно увеличивая градиент напряжения. Для разделения высокомолекулярных соединений пригодна простая аппаратура и достаточно низкий градиент напряжения, но для разделения низкомолекулярных соединений необходим градиент напряжения до 200 В/см. Примеры более простых приборов приведены на рис. 12.4. Приборы с эффективным охлаждением позволяют более точно определять электрофоретическую по-

движность. Согласно Офффорду [72], молекулярную массу или заряд вещества можно оценить, если известна относительная заряд u_{rel} (по сравнению со стандартом) его подвижность u_{rel} :

$$u_{rel} = k (z/M^{2/3}), \quad (12.11)$$

Уравнение (12.11) является особенно ценным, если исследуются заряды и молекулярные массы олигопептидов.

Приборы для высоковольтного электрофореза снабжаются устройством для отвода джоулева тепла. Чаще всего используется система постоянного теплоотвода [34, 107]. Прибор с жидкостным теплообменником проще по конструкции (правда, отвод тепла в нем менее эффективен) и позволяет получить очень однородную миграцию зон. Для отвода тепла используются такие инертные жидкости, как толуол, высшие фракции нефти, например с т. кип. 145—200°C или фторированные углеводороды. Пролитанную буферным раствором бумагу помещают в жидкость, которую можно охлаждать с помощью погруженного в нее холодильника.

В лаборатории авторов главы успешно используется низходящий бумажный электрофорез без охлаждения, разработанный Микешом [70]. Принципиальная схема прибора для такого разделения показана на рис. 12.5. Этот прибор используется в основном для аналитического и препаративного разделения пептидов, содержащихся в ферментативных гидролизатах белков. Оптимальное разделение достигается при применении таких буферных растворов, электропроводность которых соответствует $1/150 \text{ M}$ фосфатному буферному раствору Соренсена ($3,63 \text{ g KNa}_2\text{PO}_4 + 14,32 \text{ g Na}_2\text{HPO}_4 \cdot 12\text{H}_2\text{O}$ в 10 л воды, $\text{pH } 7$). Летучие буферные растворы более удобны, если во время их испарения концентрация ионов на бумаге не увеличивается. Например, для разделения пептидов обычно используется пиридин-ацетатный буферный раствор, $\text{pH } 5,6$ (4 ml пиридина + 1 ml уксусной кислоты, вода до 1 л). Нейтральные, незаряженные, соединения остаются в центре бумаги, т. е. на старте, и образуют узкую смешанную зону. В верхней части бумаги располагаются зоны пептидов основного характера, а в нижней части — кислотного. Наряду с компенсацией исходящего движения буфера направляемым в противоположном направлении электросмосом, выпаривание влияет главным образом на перемещение буферного раствора из электродных камер по направлению к центру бумаги. Это движение электролита, противоположное направлению движения зон, сказывается на фокусировании зон.

На листе ватмана можно одновременно анализировать до 20 образцов. При препаративном разделении на лист ватмана № 1 можно нанести до 50 мг смеси пептидов в виде узкой зоны, а на листе более толстого ватмана № 3 можно разделить до

250 мг смеси. Анализируемые образцы, не содержащие солей, наносят на сухую бумагу и после высушивания помещают в кюветы для электродов. Опрыскивание бумаги буферным раствором следует начинать с краев, расположенных ближе к электродам, и продолжать по направлению к центру, где расположены образцы, до тех пор, пока оттенок бумаги не станет таким же,

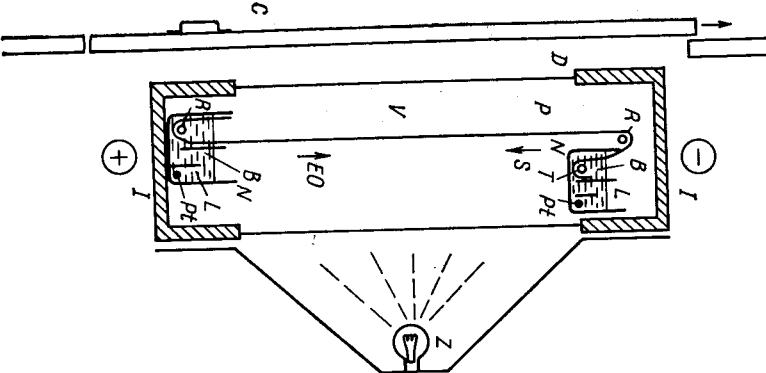


Рис. 12.5. Схема прибора для низкочастотного бумажного электрофореза [70].

N — Камера из поливинилхлорида с системой отсеков (*L*) и пластины с электродом (*Pt*); *B* — заполняющий камеру буферный раствор; *P* — бумага; *R* — стеклянный стержень, удерживающий бумагу в вертикальном положении; *S* — направление скрежетания буферного раствора; *EO* — направление перемещения образца под действием электроосмоса; *V* — образец (его наносят в центр сухой бумаги, которую покрывают в кювету и опрыскивают буферным раствором *B* и сразу же включают ток); *I* — изолирующая камера со стеклянными передними и герметичными дверцами *D* (в процессе работы камеры запечатывают внутри), которая автоматически отключает внутреннюю проволочную сетку, которая облегчает равномерное опрыскивание.

как у участков бумаги, близких к погруженным непосредственно в кюветы. Максимальное напряжение составляет 1500 В, а длительность анализа обычно не превышает 90 мин. Этот прибор пригоден также для двухмерного разделения комбинированным методом, сочетающим электрофорез и хроматографию, применяемым для получения пептидных карт. Оборудование для проведения электрофореза этого типа производится венгерской фирмой Labor MIM (Будапешт).

Приборы для высоковольтного электрофореза с постоянным теплообменом, согласно данным работы [80], можно с успехом использовать в течение длительного времени. Новый получив-

ший широкое распространение прибор с металлическим односторонним теплообменником имеет, по данным Прудника и Штепанека [82] (см. разд. 12.7.2), более эффективную систему охлаждения и его можно применять при градиенте напряжения до 170 В/см. Такие приборы выпускает фирма SAMAG (Швейцария).

12.2.4. ЗОННЫЙ ЭЛЕКТРОФОРЕЗ НА АЦЕТАЦЕЛЛЮЛОЗНОЙ МЕМБРАНЕ

Для зонного электрофореза ацетатцеллюлозную мембрану (САМ) первым использовал Кон [51]. По мнению Конна, преимущество этого носителя — его однородность и строго определенная пористость. САМ содержит пренебрежимо малое число ОН-групп, загрязненность органическими и неорганическими примесями также весьма мала. В тех случаях, когда сильная сорбция может приводить к образованию на бумаге полосок сзади зон (как, например, при электрофорезе биополимеров) важным преимуществом становится пониженная сорбционная активность САМ. В отличие от бумаги САМ позволяет получить хорошее разделение α -фракции сывороточного альбумина, а также инсулина, Фибриногена, гистонов, лизоцимов, гликолипопротеинов и нуклеиновых кислот. После электрофореза меченных соединений остаточная радиоактивность между зонами и стартом исключительно мала. Обесцвечивание фона, если обнаружение проводится путем окрашивания и последующего обесцвечивания, происходит достаточно быстро.

На САМ удобно оценивать количественно содержание фракций. САМ, предназначенную для колориметрических определений, пропитывают парафиновым маслом, например Shell Whiptop Oil 120, или уксусной кислотой, при этом САМ становится прозрачной, и на ней можно измерять поглощение и отражение. Поскольку САМ растворима в ряде органических растворителей, при проведении некоторых количественных определений можно использовать это ее свойство. Полученные растворы можно анализировать, колориметрически или спектрофотометрическим методом. Для иммуноидиффузии и иммуноэлектрофореза САМ можно применять даже без агара. Разделяемые на САМ соединения, как правило, дают узкие зоны, что позволяет для большинства типов разделений уменьшить общую длину пути до 6—12 см. Миграция на меньшее расстояние приводит к сокращению длительности электрофореза и меньшему уширению зон под влиянием диффузии. В результате разделение, например, сывороточных белков можно осуществить при градиенте потенциала в 20—25 В/см за 60—90 мин.

ПРИБОРЫ ДЛЯ ЭЛЕКТРОФОРЕЗА НА АЦЕТАЦЕЛЛОЗНЫХ МЕМБРАНАХ

Конструкция прибора для электрофореза на мембранах из САМ может быть достаточно простой, но она должна обеспечивать тщательное насыщение (водяными парами) пространства вокруг легко высыхающей тонкой ацетатцеллозной мембраны. В связи с интенсивным испарением воды с САМ происходит локальное увеличение электрического сопротивления носителя, приводящее к перегреву и искажению разделенных зон, а также к разрушению носителя. По этой причине камеру изолируют от окружающей атмосферы жидкостным затвором, а открытые ю-

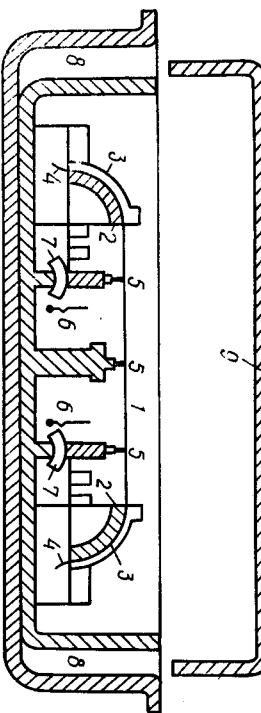


Рис. 12.6. Схема прибора для электрофореза на ацетатцеллозных мембранных.

1 — ацетатцеллозная мембра (САМ); 2 — поддерживающий стержень для вода то-ка; 3 — держатель полоски из САМ; 4 — бумажный мостик-фильтр для прохождения то-рольные ячейки; 5 — регулируемая пластиновая подложка; 6 — внутренне электрофоретической камеры; 7 — ванные мостики-фильтры; 8 — полость водяного затвора. Фирма Shandon Scientific Co., Ltd. выпускает такие приборы в термоэластичном корпусе, снабженном прозрачной крышкой. Приборы аналогичного назначения выпускаются также фирмой Labor MIM.

веты, содержащие электролит, помещают под мембраной. На рис. 12.6 показана схема прибора этого типа, выпускаемого в Венгрии. Источник питания обеспечивает регулируемое напряжение до 200 или 400 В или регулируемый ток (предпочтитель-но стабилизированный). Для стандартизованного разделения, при проведении которого учитывается влияние выделяющегося тепла, удобнее всего источник питания со стабилизованным током. В соответствии с шириной полоски САМ сила тока обычно со-ставляет 0,4—0,5 мА/см ширины. Длина полоски, как правило, не превышает 8—10 см.

Буферные растворы для электрофореза на САМ обычно имеют более низкую электропроводность, чем аналогичные растворы, применяемые для бумажного электрофореза. Для электрофореза в барбитуратном буферном растворе рекомендуется 0,05—0,07 М раствор лигнилбарбитурата. Составы буферов при-

Таблица 12.4
Буферные растворы для электрофореза на ацетатцеллозной мембре

рН	Анионный раствор		Катодный раствор		Примечания
	состав	рН	состав	рН	
9,1	25,2 г три-буфера, 25 г ЭДТА, 1,9 г борной кислоты, вода до 1 л	8,6	5,15 г диэтилбарбитурата натрия, 0,92 г диэтилбарбитуревой кислоты, вода до 1 л	7,0	Дискретная система растворов [31], САМ пропитывают смесь (1:1) обоих буферов
8,6	1,84 г диэтилбарбитуровой кислоты, 1,03 г диэтилбарбитурата натрия, вода до 1 л; для предотвращения роста микробионизмов добавляют 5 мл 5%-ного раствора тимола в изопропиловом спирте	8,6	Соответствует анодному	7,0	Рутинные анализы сыворотки [24], кинины [29]
5,3	25 мл пиридина, 10 мл ледяной уксусной кислоты, дистилированная вода до 2 л	5,3	Соответствует анодному	5,3	Электрофорез аминокислот [52]

ведены в табл. 12.4. Методы окрашивания, применяемые при разделении на САМ, аналогичны методам окрашивания на бумаге, однако нельзя использовать такие растворители (например, ацетон и хлороформ), в которых САМ набухает или растворяется. Концентрация растворов красителя может быть ниже, чем при разделении на бумаге, и предпочтение отдается водным, а не спиртовым растворам красителя. Сухие мембранные нельзя сразу погружать в раствор, их следует осторожно, стараясь не взрывать образования пузырьков, положить на поверхность жидких сил. Увлажненные мембранны можно погружать в раствор.

На полоску САМ толщиной 0,2—0,5 мм и шириной 2,5 см обычно наносят 0,2—1,0 мкл образца. Для стандартного разделения компонентов сыворотки с последующим фотометрическим определением используется до 3 мкл образца, содержащего 0,1—0,2 мг белка. Оптимальное количество образца зависит от метода обнаружения. Для колориметрического обнаружения после злюорования необходимо наибольшее количество образца, а для фотометрического и радиоизотопного обнаружения — наименьшее. Если проводится фотометрическое обнаружение, наименьшее количество образца требуется в тех случаях, когда

измеряется отражение света от полоски прозрачной САМ, положенной на белую подложку.

Среди коммерческих доступных типов мембран из САМ следует упомянуть 1) мембранные гомогенные типа, например «Oxoid Electrophoretic Strips», выпускаемые фирмой Oxoid Ltd., Southwark Bridge Rd. (Лондон) или аналогичные мембранные фирмы Schleicher und Schüll, Dassel/Kreis Einbeck и 2) пропитанные с одной стороны мембранные производимые фирмой Soc. Chemetton Chimica, Via Gustavo Modena, 24 (Милан). Для разделения лигнопротеинов наиболее удобны мембранные типа «Hydro cellulose gel strips Chemetton No 1» той же фирмы. Мембранные для микропрепараторных разделений толщиной до 2,5 м выпускаются под названием «Cellogel blocks 6×17».

12.2.5. ТОНКОСЛОЙНЫЙ ЭЛЕКТРОФОРЕЗ

Методика разделения тонкослойным электрофорезом (ТСЭ) аналогична методике разделения ТСХ. Для получения незакрепленного слоя чаще всего используется тонкодисперсный силикагелевый слой.

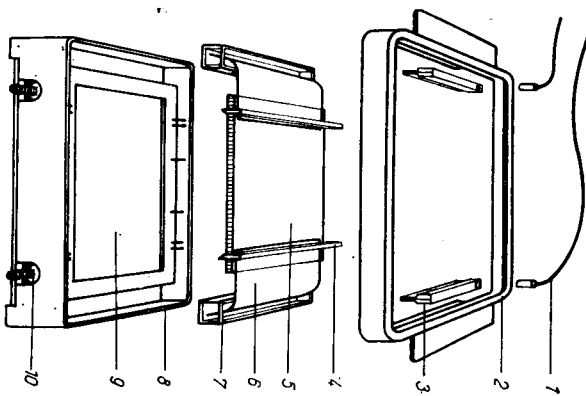


Рис. 12.7. Прибор для тонкослойного электрофореза [75].

1 — ввод тока; 2 — прозрачная крышка; 3 — соединения с платиновыми электродами; 4 — приспособления, прижимающие бумажные контакты к тонкому слою; 5 — стеклянная пластина с тонким слоем; 6 — бумажные токопроводящие контакты; 7 — электронная пластина с электропломкой; 8 — пластиковая (полипропиленовая) камера; 9 — изолированный блок охлаждения; 10 — ввод холодной воды. Этот прибор выпускает фирма SAMAG 4132 Multenz, Homburgerstrasse 24, Швейцария.

• Продукт фирмы SAMAG, 4132 Multenz (Швейцария).
• Продукт фирмы Macherey-Nagel, Düren (ФРГ).

Буферные растворы для тонкослойного электрофореза (ТСЭ)		pH	Состав	Примечания
6,5 [28]	Пиридин — уксусная кислота — вода (300 : 10 : 2700)	2,76 г диэтилбарбитуровой кислоты, 15,4 г диэтилбарбитурата натрия, вода до 1 л	Для трех пластин размером 200×200 мм с толщиной слоя 0,3 мм в 40 мл буферного раствора суперсидируют 25 г силикагеля SAMAG DS-1000. Разделение аминокислот (образцы по 5 мкг каждой) при 500 В в течение 120 мин; разделение методом ТСХ в перпендикулярном направлении можно вести в системе фенол — вода (3 : 1)	
0,05 M [50]	Мония	32 г порошка целлюлозы MN 3006, 192 мл воды, 8 мл этинала, толщина слоя 0,5 мм; начальное разделение методом ТСХ в системе амиловый спирт — изобутиловый спирт — пропиоловый спирт — пиридин — вода (1 : 1 : 1 : 3 : 3); последующее разделение методом ТСЭ в перпендикулярном направлении. Анализ триптического гидролизата бамбукового актина — 15 мкл смеси пептидов (5 мг/мл) Порошок целлюлозы, например MN 300; 25 мкт гидронизата ДНК, 75 В/см, 30 мин, 0 °C; второе направление — ТСХ в системе насыщенный пигмент аммония — 1 М цитрат натрия — изопропиловый спирт (80 : 18 : 2)	32 г порошка целлюлозы MN 3006, 192 мл воды, 8 мл этинала, толщина слоя 0,5 мм; начальное разделение методом ТСХ в системе амиловый спирт — изобутиловый спирт — пропиоловый спирт — пиридин — вода (1 : 1 : 1 : 3 : 3); последующее разделение методом ТСЭ в перпендикулярном направлении. Анализ триптического гидролизата бамбукового актина — 15 мкл смеси пептидов (5 мг/мл) Порошок целлюлозы, например MN 300; 25 мкт гидронизата ДНК, 75 В/см, 30 мин, 0 °C; второе направление — ТСХ в системе насыщенный пигмент аммония — 1 М цитрат натрия — изопропиловый спирт (80 : 18 : 2)	

гель. Преимущество метода ТСЭ — возможность применения универсальных обнаруживающих реагентов (тех же, что и в ТСХ). Биохимический анализ проводят на слоях тонкогранулированной целлюлозы, к которой для сохранения влажности и улучшения прилипания слоя к подложке добавляют небольшое количество очень тонкого сефадекса. Порошок крахмала в настоящее время применяется реже. Для анализа некоторых типов препаратов пригоден синтетический тонкогранулированный

материал на основе поливинила — певикон, поставляемый фирмой Superfosfat Bolaget (Стокгольм). Размеры пластинок обычно соответствуют размерам стандартных пластинок для ТСХ, т. е. 200×200 или 200×100 мм. Примеры буферных растворов для ТСЭ приведены в табл. 12.5. Приборы для ТСЭ обычно дают выход $0,10\text{--}0,15 \text{ Вт}/\text{см}^2$ при градиенте напряжения до $60 \text{ В}/\text{см}$. Длительность разделения в зависимости от типа обраца и буферного раствора составляет от 20 до 120 мин. Если после проведения ТСЭ высушить слой, то можно в перпендикулярном направлении провести второе разделение методом ТСХ или опять ТСЭ и в результате получить «карту». Если условия первого и второго (в перпендикулярном направлении) разделения идентичны, то в промежутке между разделениями можно провести химическую реакцию. В результате реакции подвижность ряда соединений изменится, и они отклонятся от диагонали, на которой расположатся немодифицированные компоненты. На рис. 12.7, показана схема прибора для ТСЭ, выпускаемого фирмой САМАГ.

12.2.6. ГЕЛЬ-ЭЛЕКТРОФОРЕЗ

С самого начала применения электрофореза для стабилизации зон использовались гели. В 1946 г. с этой целью был применен силикатель, а в 1949 г. — гель агара [30]. Эти гели используются и в настоящее время, особенно в аналитических целях. Расширение области применения гелей при электрофорезе белков связано с работой Смитса [91], который использовал молекулярно-ситовые свойства геля крахмала. Это гель особенно удобен для аналитических работ (см. рис. 12.28). При проведении препаративных разделений следует учитывать некоторую загрязненность элюата полисахаридами, которые вымываются из матрицы геля. Аналогичное загрязнение элюата наблюдается и при разделении на геле агара и силикагеле, который содержит большое количество неорганических примесей. Наличие ионогенных групп подтверждается четким электроосмотическим потоком. Электроосмос вызывает свив зон в одном направлении, что искачет профиль разделения. В агарозном геле, свойства которого по другим признакам сходны с агаровым гелем, содержание ионогенных групп существенно ниже.

Гель агарозы также можно смешивать с поликариламидным гелем в тех случаях, когда макропористый поликариламидный гель с низкой плотностью не пригоден по своим механическим свойствам [15].

Макропористые гели, особенно гели агара и агарозы, наиболее широко используются в методе иммуноэлектрофореза [31]: разделенные методом электрофореза соединения дифундируют в направлении, перпендикулярном направлению электрофореза,

навстречу антителам, диффундирующими в противоположном направлении. При контакте разделенных антигенов и антител образуются характерные дуги осаждения. Отличающийся высокой чувствительностью иммуноэлектрофорез был усовершенствован путем введения радиоактивной метки в антигены, и в настоящее время радиоиммуноэлектрофорез [110] является одним из самых чувствительных аналитических методов анализа биополимеров. В методе «взлетающей ракеты» (fused-rocket) [57, 94] иммунопрепарация происходит в процессе электрофоретической миграции в блоке геля. При разделении этим методом антитела равномерно диффундируют в гель и не перемещаются во время электрофореза. Этот быстрый метод пригоден для избирательного количественного анализа большого числа фракций. Полиакриламидный гель наименее химически активен. Его слабое сродство к красителям позволяет осуществлять быстрое обнаружение биополимеров, главным образом белков, нуклеиновых кислот и продуктов их деградации, с помощью окрашивания. Прозрачный полиакриламидный гель обладает хорошими механическими свойствами, допускающими изменение концентрации поликариламида в самых широких пределах. Электроосмотические эффекты в этом геле очень малы. Условия аналитических и препаративных разделений на поликариламидном геле путем зонного электрофореза в гомогенных и дискретных системах буферных растворов [48, 77], а также изотахофореза и изоэлектрического фракционирования хорошо изучены.

12.2.7. ГЕЛЬ-ЭЛЕКТРОФОРЭЗ ПРИ ГРАДИЕНТЕ КОНЦЕНТРАЦИИ ПОЛИАКРИЛАМИДА (ПГЭ)

В этом методе электрофореза используется электрофоретическое перемещение макромолекул в среде с градиентом плотности пор геля. Конечный результат — разделение смеси на отдельные компоненты в соответствии с размерами молекул, при этом электрофоретическая подвижность не играет существенной роли. Необходимым условием такого разделения является наличие у исследуемых соединений зарядов одного типа и отличной от нуля электрофоретической подвижности в применяемой среде. Движение веществ от старта постепенно тормозится вследствие уменьшения пор геля, и с увеличением расстояния от старта подвижность макромолекул постепенно уменьшается. При больших молекулярных массах подвижность уменьшается почти до нуля. Ограничение подвижности, вызываемое гелем, приводит к фокусированию зон. Для того чтобы подвижность снижалась до нуля, наряду с градиентом концентрации акриламида необходимо наличие градиента степени сшивки геля. Поэтому в новых типах гелей имеется градиент концентраций и поликариламида, и бисакриламида. На этих гелях можно разде-

лять и фокусировать зоны соединений с молекулярной массой от $2 \cdot 10^4$ до $8 \cdot 10^6$. Совместное влияние градиента концентраций полиакриламида и спивающего реагента бисакриламида показано на рис. 12.8 на примере разделения белков на продажном геле «Gradipore Survey Gel». Метод удобен тем, что постоянство

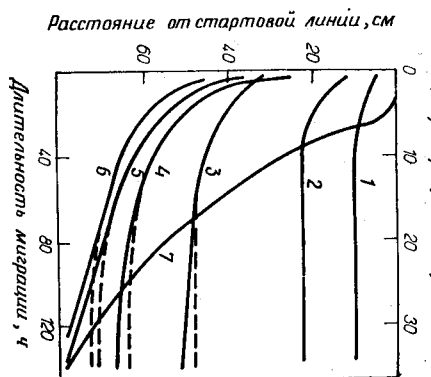


Рис. 12.8. Зависимость расстояния, на которое мигрируют зоны белков различной молекулярной массы, от длительности электрофореза при данном градиенте концентрации полиакриламидного геля (с разрешения фирмы Isolab Inc.).

1 — β -липпопротеин (мол. масса $6 \cdot 10^6$); 2 — о-макрогlobулин (мол. масса $1.5 \cdot 10^6$); 3 — α -трансферрин (мол. масса $2 \cdot 10^6$); 4 — конгигрантин (5% бисакриламида); штриховая линия — влияние увеличения сплавки при использовании градиента концентрации спивающего реагента бисакриламида (2,5—27% полиакриламида и 4—6% оксакриламида). Плоские слои геля Gradipore Survey Gel с градиентом концентрации полиакриламида выпускает фирма Isolab Inc., Акшон, Огайо, 44221, США.

напряжения, электрического тока и длительности разделения не относятся к числу необходимых условий. Обычно достаточно применения буферного раствора одного и того же типа при двух концентрациях. Недостаток метода — относительная длительность разделения — компенсируется хорошей воспроизводимостью положения зон. Таким способом можно также определить молекулярные массы. Получение градиента концентрации полиакриламида подробно рассматривается в разд. 12.7.3.

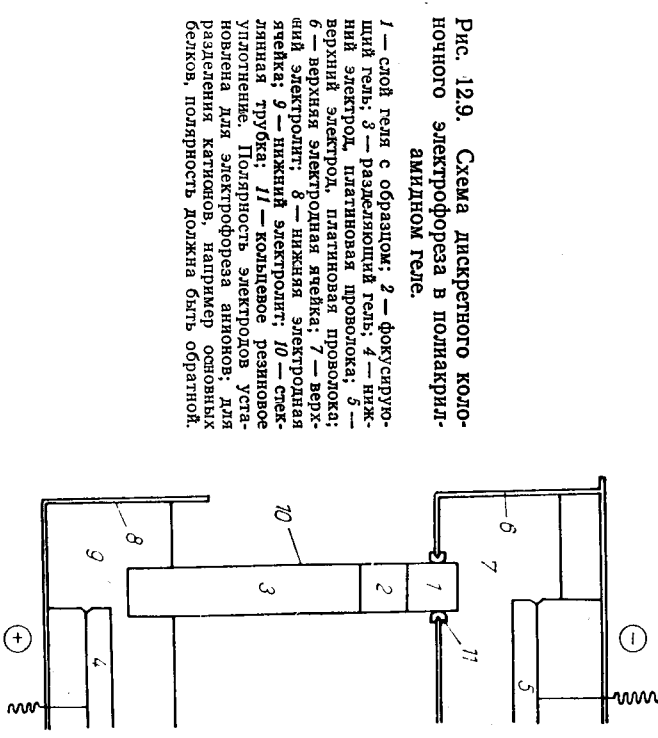
12.2.8. ДИСКРЕТНЫЙ ЭЛЕКТРОФОРЕЗ В ПОЛИАКРИЛАМИДНОМ ГЕЛЕ

ОСНОВЫ МЕТОДА

Гель-электрофорез в дискретной системе буферов был впервые использован Пуликом [77], а теория метода (применительно к полиакриламидному гелю) была разработана Дэвисом

[16] и Орнштейном [73]. Метод дискретного электрофореза, описанный этими авторами, или метод так называемого многофазного [48] зонного электрофореза в полиакриламидном геле, предусматривает объединение двух основных принципов электромиграции. На начальной стадии разделения происходит процесс фокусирования, сходный с изотахофорезом (см. разд. 12.3), который постепенно трансформируется в процесс зонного элек-

Рис. 12.9. Схема дискретного электрофореза в полиакрилонитриловом геле.



трофореза на геле, обладающем свойствами молекулярного сита.

Раствор образца перед нанесением либо спущают, например добавляя сахарозу, либо вводят в слой геля при его полимеризации (рис. 12.9). За слоем, содержащим образец, следует слой «фокусирующего» геля с равномерной низкой концентрацией полиакриламидного геля. В этом слое компоненты образца переходят в следующий слой более концентрированного «разделяющего» геля. Электрофоретическая подвижность макромолекул соединений уменьшается до такой степени, что низкомолекулярный «замыкающий» ион догоняет концентрирован-

ные зоны макромолекулярных веществ и постепенно замещают «ведущий» ион во всем объеме геля. В образующейся таким образом гомогенной среде, содержащей этот ион и буферный компонент противоположного заряда, отдельные зоны макромолекулы мигрируют с различной скоростью. В аналитических целях разделение ведут в течение определенного отрезка времени, а при препаративном разделении дают компонентам смеси пройти определенное расстояние, связанное с зоной злюирования.

МЕТОДИКА АНАЛИТИЧЕСКОГО ДИСКРЕТНОГО ЭЛЕКТРОФОРЕЗА В ПОЛИАКРИЛАМИДНОМ ГЕЛЕ

Электрофорез проводят в стеклянных трубках длиной около 70 мм с внутренним диаметром около 5 мм. Перед употреблением трубы тщательно промывают смесью хромовой и серной кислот или горячей азотной кислотой, водой и в заключение ацетоном. Сухие трубы держат вертикально и дно их закрывают резиновым уплотнением так, чтобы резина не входила в трубку. В качестве уплотнения можно использовать резиновые крышки к фляконам для сыворотки, перевернув их наоборот. Исходные растворы для приготовления геля (см. табл. 12.6 и 12.7) хранятся при 4°C в темных бутылях, которые выдерживают при комнатной температуре и откачивают водоструйным насосом, чтобы уменьшить содержание кислорода, ингибирующего полимеризацию. Если нижняя часть столика геля не достаточно ровная, то в каждую трубочку вводят 0,1 мл 40%-ного раствора сахараозы и осторожно покрывают смесью для полимеризации разделяющего геля (табл. 12.7) до заранее отмеченной высоты, например 50 мм, т. е. около 2 мл смеси для полимеризации. Далее этот слой сразу же очень осторожно из шириной с тонкой иглой (по стенке трубы) покрывают 0,1 мл воды. Во время полимеризации трогать трубы не рекомендуется. После завершения полимеризации разделяющую гель воду удаляют ватным тампоном. Сухую поверхность разделяющего геля сначала промывают примерно 0,1 мл раствора для приготовления промежуточного геля (табл. 12.8), затем вводят 5 мм слоя (0,2 мл) раствора для приготовления промежуточного геля и быстро и осторожно покрывают 0,1 мл воды. Трубку освещают сверху флуоресцентной лампой со спектром дневного света, удаленной максимум на 50 мм. После окончания фотополимеризации слой воды удаляют, а поверхность геля промывают либо буферным раствором из верхней электродной камеры (табл. 12.9), если образец наносят в растворе, либо вновь раствором для приготовления фокусирующего геля, в который вместо воды добавляют образец. Если анализируются химически лабильные соединения, например ферменты, образец лучше наносить в виде

Выбраные системы^a и состав гелей и буферных растворов для дискретного электрофореза в полиакриламидном геле в соответствии с молекулярной массой и зарядом образца

Положительно заряженный образец	Концентрация акриламида, %							>10 ⁶ 10 ⁵ >мол. масса>10 ⁴ <10 ⁴						
	3,75	5,0	7,5	10	15	22,5	30	3,75	5,0	7,5	10	15	22,5	30
Отрицательно заряженный образец														
Разделяющий гель, pH 3,8								S13	S14	S15	S16	S16	S15	S17
Электролитический гель, pH 5,0														
Фокусирующий гель, pH 7,0								S12						
Разделяющий гель, pH 8,0								S11						
Электролитический гель, pH 8,3														
Фокусирующий гель, pH 8,3														
Разделяющий гель, pH 9,5														
	S4	S5	S6 ^b	S7	S8	S9	S10							

^aСоставлено согласно данным [27]. См. табл. 12.7–12.9.
^bВместо S6 можно также использовать S1; в этом случае концентрацию геля следует уменьшить на 0,5%.

раствора после добавления к нему 10%-ного раствора сахараозы. Для анализа сложных смесей необходимо до 0,2 мг образца, для анализа более простых смесей достаточно меньшего их количества, до 0,01 мг. Если образец не полимеризуется, его наносят только после того, как трубка с гелем закреплена в приборе. Трубы, закрепленные вертикально в верхней части прибора, погружают в нижний электролит, пузырьки воздуха из нижних участков геля тщательно удаляют загнутой пипеткой. Верхнюю электродную камеру заполняют соответствующим электродным буферным раствором, к которому добавляют краситель (3 капли насыщенного раствора красителя на 250 мл раствора). Краситель указывает фронт однородной фазы, содержащей зоны образца. При разделении анионов используется раствор бромфенолового синего, при разделении катионов — раствор метилового зеленого. Подготовленный таким образом

Таблица 12.7

Состав растворов для получения разделяющих гелей при дискретном электрофорезе (приведенные номера систем соответствуют указанным в табл. 12.6)

Номер	Концентрация, %			Исходный раствор (приведенные количества доводятся до 100 мл водой)	Смесь для полимеризации (по объему)
	акриламида	бисакриламида	pH		
S1	7	0,18	8,9	a) 48 мл 1 н. HCl + 36,3 трис-буфера + 0,23 мл TEMED б) 28 г акриламида + 0,735 г Бис в) 0,14 г персульфата аммония г) H ₂ O	1a + 1b + 2b
S4	3,75	0,3	8,9	a) Как в S1 б) 15 г акриламида в) 4,0 мг рибофлавина г) H ₂ O	1a + 2b + 1b + 4г
S5	5	0,25	8,9	a) Как в S1 б) 20 г акриламида + 1 г Бис в) Как в S4 г) H ₂ O	1a + 2b + 1b + 4г
S6	7,5	0,18	8,9	a) Как в S1 б) 30 г акриламида в) 0,735 г Бис г) H ₂ O	1a + 1b + 2b
S7	10	0,10	8,9	a) Как в S1 б) 60 г акриламида + 0,6 г Бис в) Как в S1 г) H ₂ O	1a + 1,346 + 4b + 1,66г

20—13	S8	15	0,1	8,9	a) Как в S1 б) Как в S7 в) Как в S1	1a + 3b + 4b
	S10	30	0,2	8,9	a) Как в S1 б) Как в S7 в) 0,18 г персульфата аммония	1a + 4b + 3b
	S11	7,5	0,2	7,5	a) 48 мл HCl + 6,85 г трис-буфера + 0,46 мл TEMED б) 30 г акриламида + 0,8 г Бис в) Как в S1 г) H ₂ O	1a + 2b + 4b + 1г
	S14	7,5	0,2	4,3	a) 48 мл 1н. KOH + 17,2 мл уксусной кислоты + 4,0 мл TEMED б) Как в S11 в) 0,28 г персульфата аммония г) H ₂ O	1a + 2b + 4b + 1г
	S17	15	0,1	4,3	a) Как в S4 б) 10 г акриламида в) Как в S14 г) H ₂ O	1a + 2b + 4b + 1г

^a Используемые сокращения: TEMED — тетраметилэтилендиамин; Бис — N,N'-метиленбисакриламид.

Таблица 12.8

Состав растворов для получения фокусирующих гелей при дискретном электрофорезе (приведенные номера смесей соответствуют указанным в табл. 12.6)

Номер	Исходный раствор (данные количества доводятся до 100 мл водой) ^a	Смесь для полимеризации геля (по объему)
S2	а) 5,98 г три-буфера + 0,46 мл ТЕМЕД + + ~48 мл 1 н. HCl до pH 6,7 б) 10 г акриламида + 2,5 г 4,0 гтирофлавина г) H ₂ O	1а + 1б + 1в + 1г + 4д
S12	д) 40 г сахараозы а) 39 мл 1 М H ₃ PO ₄ + 4,95 г три-буфера + 0,46 мл ТЕМЕД б) Как в S2 в) Как в S2 г) Как в S2 в) Как в S2 г) H ₂ O	1а + 2б + 1в + 4г

^aСокращения те же, что и в табл. 12.7.

Таблица 12.9
Электродные буферные растворы для дискретного электрофореза (приведенные номера смесей соответствуют указанным в табл. 12.6)

Номер	Состав буферного раствора (данные количества доводятся до 100 мл водой)	pH
S3	3,0 г три-буфера + 14,4 г глицина	8,3
S13	5,52 г диэтилбарбитуровой кислоты + 1,0 г три-буфера	7,0
S16	3,12 г β-аланина + 0,8 мл уксусной кислоты	4,5

^aМетиловый зеленый добавляется в верхнюю электронную камеру при анализе положительных заряженных образцов, а бромфеноловый синий — при анализе образцов с отрицательным зарядом. Красители показывают фронт разделяющей фазы в геле.

тела достигнет нижнего конца разделяющего геля, электрофо-
рез прекращают. Если образцы содержат нежелательные соли, зоны мигрируют более медленно и получаются менее узкими. В таких случаях трубы вынимают (после отключения источника питания), чтобы определить расстояние, на которое перестали краситель, образующиеся в верхнем электродном сосу-
де отверстия закрывают пробками и продолжается разделение. В охлажденные, содержащие гели, трубы (держат в одной руке) из шприца с тонкой иглой (держат в другой руке) постепенно по внутреннему периметру трубы между гелем и стеклом вво-
дят воду или более эффективный раствор глицерина (~10% -
ный). Чтобы избежать попадания на кожу токсичного акрил-
амида и не загрязнить гель, перед проведением этих операций следует надеть тонкие перчатки.

ОБНАРУЖЕНИЕ С ПОМОЩЬЮ ОКРАШИВАНИЯ ПОЛИАКРИЛАМИДНОГО ГЕЛЯ

Наиболее надежными и универсальными красителями для белков являются амидовый черный 10В [109] и кумасси синий [12]. Наибольшее распространение получил универсальный краситель «Stains-all» [15], который окрашивает рибонуклеиновую кислоту в голубовато-розовый цвет, дезоксирибонуклеиновые кислоты и белки — в красный, кислотные полисахари-
ды — в синий.

a. Окрашивание амидовым черным 10В. Гели погружают на 1—4 ч в профильтрованный 1%-ный раствор красителя [Amidoschwarz 10B, extra puriss., Serva (Гейдельберг)] в 7%-ной уксусной кислоте. Избыток красителя удаляют дialisом или электродиализом (методика обеспечивания описана ниже).

б. Окрашивание кумасси синим. Гели погружают на 30 мин в 12,5%-ный раствор трихлоруксусной кислоты. Чтобы увеличить чувствительность, концентрацию кислоты можно повысить до 20%, а длительность окрашивания увеличить до 60 мин. По окончании выдержки гели переносят в 0,05%-ный раствор кумасси синего [Coomassie Blue R250, Serva (Гейдельберг)] в 12,5%-ной трихлоруксусной кислоте и выдерживают в ней 30—60 мин. Окрашивающий раствор получают, разбавляя свежеприготовленный 1%-ный раствор красителя в 12,5%-ной трихлоруксусной кислоте. С целью увеличения чувствительности окрашивание можно повторить при той же или при удвоенной концентрации красителя, а также увеличить длительность окрашивания. Избыток красителя удаляют дialisом (методика обеспечивания описана ниже).

в. Окрашивание универсальным красителем «Stains-all». 0,1%-ный раствор красителя «Stains-all» [бромил 1-этил-2-[3-(до 500 В) со стабилизованным током. Как только зона краси-

{1-этилнафто[1,2d]тиазолин-2-илидин}-2-метилпропенил]нафто[1,2d]тиазолия, Серга (Гейдельберг) в 100%-ном формамиде разбавляют в соотношении 1 : 20, чтобы конечная концентрация формамида в воде составляла 50%. Сосуд с погруженным в раствор гелем заворачивают в алюминиевую фольгу, чтобы на него не попадал свет, и оставляют на ночь. Избыток красителя удаляют, промывая гель проточной водой.

ОБЕСЦВЕЧИВАНИЕ ГЕЛЯ ПОСЛЕ ДИСКРЕТНОГО ЭЛЕКТРОФОРЕЗА В ПОЛИАКРИЛАМИДНОМ ГЕЛЕ

Обесцвечивание гелей после обнаружения зон кумасси снимают с достаточной скоростью в процессе диализа в 12,5%-ной трихлоруксусной кислоте. Самым простым, но действенным способом удаления из геля избытка амидового черного 10B также является обычный диализ. Гели, имеющие форму

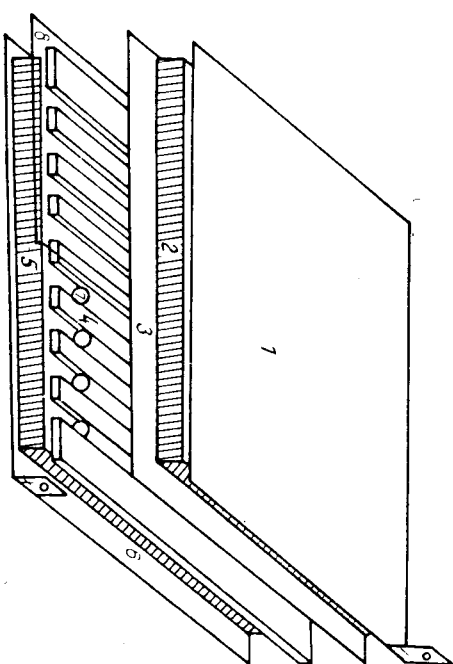


Рис. 12.10. Аппарат для обесцвечивания столбиков поликарбамидного геля после дискретного электроФореза [78].

1 — катод из нержавеющей стали; 2 — вискозная губка однородной пористости в разрезе; 3 — мембра для диализа фирмы Kalle A. C. (Висбаден — Бирких, ФРГ); 4 — разделяющая гребенчатой профилака из буна-каучука; 5 — вискозная губка в разрезе; 6 — анод — лист нержавеющей стали; 7 — столбики поликарбамидного геля; 8 — полиэтиленовая пленка, закрывающая незанятые прорези.

стержней с круглым сечением, помещают в пробирки и заливают 7%-ной уксусной кислотой, которую по мере необходимости меняют. Обесцвечивание занимает примерно один день. Обесцвечивание можно ускорить, если раствор кислоты будет циркулировать и извлекенный им краситель будет сорбироваться на активном угле.

МЕТОДИКА ОБЕСЦВЕЧИВАНИЯ С ПОМОДЬЮ ПРИВОРА КОНСТРУКЦИИ ПРУССИКА

Вискозную губку 5, расположенную на анодной пластине 6, тщательно насыщают 70%-ной уксусной кислотой. На верхней стороне губки расположены гребнеобразный сепаратор 4, в который вставляют столбики геля. Поверх образцов геля помещают другую вискозную губку и накрывают ее целлофановой пленкой, на которую ставят катодную пластину. Все эти слои скрепляют тонкими резинками; проделать это следует очень осторожно, так как иначе можно выжать жидкость из губки. Чтобы прибор работал нормально, столбики геля должны контактировать с источником питания с двух сторон; при этом они не должны выступать из блока. Блок помещают в чашку Петри (катодом вверху). Для одного столбика геля достаточно напряжения 25—50В при силе тока 25—30 мА. Через 25—40 мин работы прибор выключают, разъединяют и столбики геля вставляют в пробирки с 7%-ной уксусной кислотой. Используемая вискозная губка должна быть мелкопористой и однородной. Если плотность тока увеличивается или обесцвечивание проводится слишком долго, может происходить частичное высыпывание или окрашивание геля. Если данная вискозная губка всегда помещается у одного и того же электрода, ее не нужно отмывать после процесса обесцвечивания, а достаточно просто выжать.

12.3. ИЗОТАХОФОРЭЗ

12.3.1. ТЕОРИЯ МИГРАЦИИ ИОНОВ В УСЛОВИЯХ ИЗОТАХОФОРЭЗА

Процесс изотахофореза можно применять как к катионам, так и к анионам. В качестве примера мы рассмотрим изотахофорез катионов. Все приведенные выводы справедливы для анионов, если полярность обратная.

1/0... «...и...» итд

Фазы ИТР

1
Начало

D

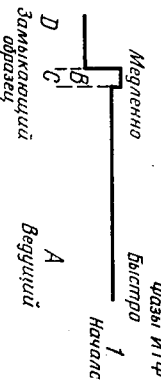
C

B

A

Быстро

Медленно



Фазы ИТР

1
Начало

D

C

B

A

Быстро

Медленно

1

Начало



Фазы ИТР

1
Начало

D

C

B

A

Быстро

Медленно

1

Начало



Фазы ИТР

1
Начало

D

C

B

A

Быстро

Медленно

1

Начало

сумма отношений концентрации отдельных ионов c_i и их соответствующих подвижностей представляет собой постоянную величину.

Для зон катионов 1 и 2 применимо уравнение (12.13), связывающее отношение концентраций катиона c_1, c_2 с абсолютными значениями z_1, z_2 соответствующих зарядов:

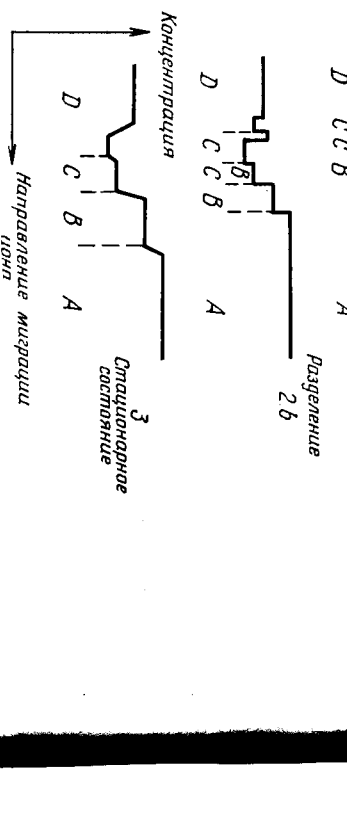
$$\frac{c_1}{c_2} = \frac{u_1}{u_1 + u_p} \cdot \frac{u_2 + u_p}{|z_1|} \cdot \frac{|z_2|}{|z_2|}, \quad (12.13)$$


Рис. 12.11. Схема отдельных фаз изотахофоретического разделения.

Электрофоретическая подвижность ионов уменьшается в ряду: $U_A > U_B > U_C > U_D$. Фазы аналогичны соответствующим фазам процесса разделения с полужидкой границей. После достижения фазы 3 форма и длина зон больше не меняются.

В электрическом поле ближайший к катоду электролит сдерживает катион с максимальной во всей системе электрофоретической подвижностью u_{max} , а ближайший к аноду электролит сдерживает катион с самой низкой электрофоретической подвижностью u_{min} . Если раствор смеси электролитов с промежуточными подвижностями u_1 ($u_{max} > u_1 > u_{min}$) поместить между этими электролитами и пропустить через них электрический ток, то в этих условиях будет происходить изотахофоретическое разделение катионов, в процессе которого катионы образца перемещаются в порядке уменьшения подвижности позади самого быстрого.

рого «ведущего» катиона. Самый медленный катион системы замыкает этот ряд и остается ближайшим к аноду. После того как наступит равновесие изотахофореза и зоны расположатся в определенном порядке, их скорость миграции станет равна скорости перемещения границы между «ведущим» катионом и следующим самым быстрым катионом. Согласно функции Кольрауша

$$\sum (c_i/u_i) = \text{const}, \quad (12.12)$$

где u_p — ионная подвижность аниона, мигрирующего в противоположном направлении; $u_1/(u_1 + u_p)$ — число переносов катиона на 1 в зону. Из этого уравнения следует, что процесс можно регулировать в широких пределах, меняя тип или концентрацию электролита. Различие в электрофоретических подвижностях в соответствующих узких зонах вызывает градиент потенциала, увеличивающий уменьшающуюся подвижность, в то время как концентрация катионов уменьшается от зоны к зоне. Все границы катионных зон, отличающихся истинной подвижностью u , мигрируют с одинаковой скоростью. Исходя из этого Хаглунд [36] предложил называть этот метод изотахофорез (изо — равный, тахос — скорость). Если в каждой точке пространства, заполненного электролитом, сохраняются условия электронейтральности, то чем медленнее происходит изотахофоретическое перемещение иона, тем быстрее должен перемещаться противоион, в нашем случае анион p , так как в единицу времени равное число противоположных зарядов должно проходить через определенное сечение. Ион должен иметь соответствующую растворимость и подвижность и должен забуферивать систему в требуемом диапазоне pH. Обычно более пригодны слабые кислоты, содержащие лишь несколько ионизующихся групп, R_K которых близок к выбранному pH ведущего электролита и буферная емкость, следовательно, максимальна. При подходящем подборе противоиона p различия в pH между зонами уменьшаются до минимума, даже если некоторый градиент pH не удается полностью исключить. Подробные данные о выборе электролитов в зависимости от свойств разделяемых веществ, включая амфо-

литы, можно найти в диссертациях Рутса [64], Эвераерста [20] и Беккера [3]. Этот же вопрос подробно анализирует Джонин [48], чей метод многофазного зонного электрофореза (МЗЭ) с постоянным фокусированием зон практически представляет собой один из вариантов ИТФ.

В стационарном состоянии концентрация ионов в зонах равномерна, и ширина зоны пропорциональна общему количеству присущего иона. На ширину зоны может влиять концентрация ведущего иона, однако при препартивном разделении, когда важно выделить очень узкие зоны отдельных компонентов, удобно вводить в смесь соединения, выполняющие роль «прокладок» (spacers). Аналогичный принцип также успешно применяется при капиллярном анализе более сложных смесей. «Прокладки» — это вещества, ионы которых обладают промежуточной по сравнению с исследуемыми ионами подвижностью. Наряду с амфотерными прокладками в ИТФ используются прокладки с зарядом только одного типа. Общие требования, предъявляемые к прокладкам, — необходимая подвижность, хорошая растворимость, низкая молекулярная масса, небольшое поглощение в УФ-области и отсутствие взаимодействия с ионами образца.

12.3.2. КАПИЛЛЯРНЫЙ ИЗОТАХОФОРЭЗ

Изотахофорез малых количеств образца в ряде случаев целесообразнее вести в капилляре без насителя, используя стабилизующее влияние капиллярных сил. Выделяющееся тепло, при малом сечении капилляра легко отводится за счет теплопроводности, а фокусирующее влияние дискретного градиента электрического поля полностью используется в маленьких детекторах. Разрешающая способность детектора зависит от метода детектирования и геометрии капиллярного пространства. На рис. 12.12 показана схема прибора для капиллярного изотахофореза. Изотахофорез в капилляре был впервые проведен Константиновым и Ошурковой [54] в 1963 г. Впоследствии метод был усовершенствован сначала Эвераерстом [20], а затем Мартином и Эвераерстом [64].

Приборы для капиллярного ИТФ производятся фирмой LKB (Бромма, Швеция) и Shimadzu Seisakusho Ltd. (Токио, Япония). Приборы снабжены универсальными детекторами по тепловому и электропроводности и селективным УФ-детектором. Применение детектора по теплопроводности — простота конструкции, но его разрешающая способность на два порядка ниже, чем у детектора по электропроводности [100]. Большинство определений органических и природных соединений можно проводить с УФ-детектором при длинах волн 254, 280, 340 и 360 нм (см.

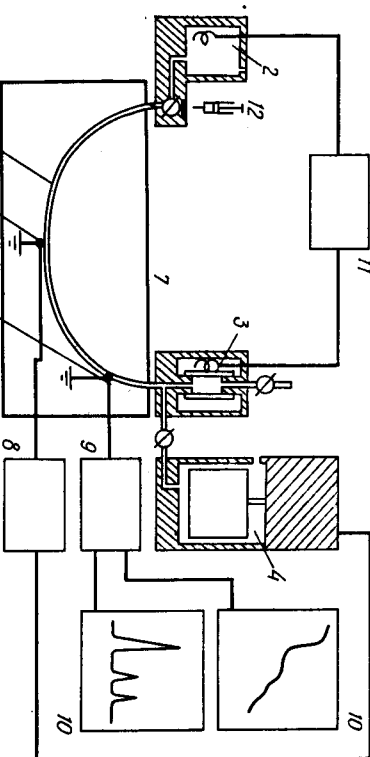


Рис. 12.12. Прибор для капиллярного изотахофореза с приспособлением для остановки зон под действием противотока.

l — телефонный капилляр с внутренним диаметром 0,45 мм; 2 — электронная ячейка с ведущим электропитом; 3 — электронная ячейка с ведущим электропитом с затягивающим электропитом; 4 — поливалютная мемброна; 5 — поплавок с соленоидом для регулирования противотока; 6 — термопара детектора; 7 — блок термостата; 8 — регулирующая термопара противотока; 9 — усилитель сигнала; 10 — блок усиления; 11 — высоковольтный источник стабилизированного тока; 12 — вход проб.

компонентов соотношение между общим расстоянием миграции *l*, необходимым для разрешения, длиной зон после предполагаемого разделения Δl и подвижностью этих компонентов. Для расчета достаточно знать отношение подвижностей $\beta = u_2/u_1$ (определенное которое несложно).

$$\Delta l/l = \Delta u/u = 1 - \beta \quad (12.14)$$

Присутствие более легко разделяющихся ионов, существенно отличающихся по подвижности, не имеет большого влияния, так как пара трудно разделяющихся ионов уже отличается от других после короткого пробега в капилляре. Если длина капилляра известна, с помощью соотношения (12.14) можно определить максимальное количество смеси при известном β , которое можно определить качественно и качественно в данном капилляре.

изотахофор 2127 фирмы LKB). Используя весь диапазон чувствительности УФ-детектора, можно анализировать от 0,1 до 0,01 нмолей веществ, в частности нуклеотидов. Концентрирования образца при этом не требуется. Обычно достаточно, если объем вводимого образца подобран так (для капилляра диаметром 0,45 мм и длиной 20–80 см обычно в пределах микролитра), чтобы не увеличивать ширину зоны. Мартин и Эвераерст [64] предложили для разрешения двух близайших по подвижности

КАЧЕСТВЕННЫЙ АНАЛИЗ

После разделения зон методом ИТФ в стационарном состоянии ни длина зон, ни концентрация в зонах не меняются. Если, наряду с этим, существует уверенность, что зоны движутся с постоянной скоростью, имеющееся количество вещества можно оценить, исходя из длины зоны. При этом качественный состав зоны можно оценить по падению потенциала в зоне, количеству выделяющегося тепла, электрическому сопротивлению или по оптическому поглощению. Установлено, что при постоянной скорости миграции зон через детектор в единицу времени (изотахофорез при постоянном токе) проходит одинаковое число зарядов. В этом случае напряжение в капилляре постепенно увеличивается пропорционально миграции зоны, а электролит, содержащий ведущий ион, который вначале заполняет все капиллярное пространство, замещается на мигрирующие зоны об раза. После этого ионы замыкающего электролита движутся с максимальным электрическим сопротивлением, и при этом выделяется максимальное количество джоулева тепла. В ходе этого процесса электрическое сопротивление является величиной, качественно характеризующей ионы электролита данного состава. Чем ниже электрофоретическая подвижность, тем выше термический сигнал, т. е. тем выше падение потенциала в данной зоне.

Каждый из трех измеряемых параметров — джоулево тепло, градиент потенциала и электропроводность — дают ступенчатые кривые, высота шага которых постоянна для всей зоны и характерна для данного иона. Каждый из этих трех параметров можно использовать для универсального детектирования. Чаше всего определяется джоулево тепло; определяют его с помощью детектора по теплопроводности на поверхности тefлонового капилляра (рис. 12.12). Преимущество этого детектора — отсутствие непосредственного контакта между зоной и детектором, а его недостаток — на два порядка более низкая чувствительность, чем у контактных детекторов, регистрирующих электропроводность или напряжение (см. рис. 12.13). При применении контактных детекторов возможна нежелательная поляризация электрода, но эти детекторы отличаются высокой разрешающей способностью в диапазоне 0,01—0,1 м.м. Характерные значения термического сигнала некоторых ионов приведены в табл. 12.10. Высота наблюдаемой волны измеряется либо относительно нулевого тока (абсолютная высота), либо относительно высоты волны ведущего электролита.

Важную качественную информацию можно также получить, определяя поглощение при выбранной длине волны [56]. Сигналы детектора записываются не непрерывно, что дает высокую разрешающую способность и высокую чувствительность и близ-

кую характеристику свойств зоны. Результаты определения УФ-поглощения и термического детектирования сравниваются на рис. 12.27. УФ-детектор особенно удобен при ИТФ биополимера.

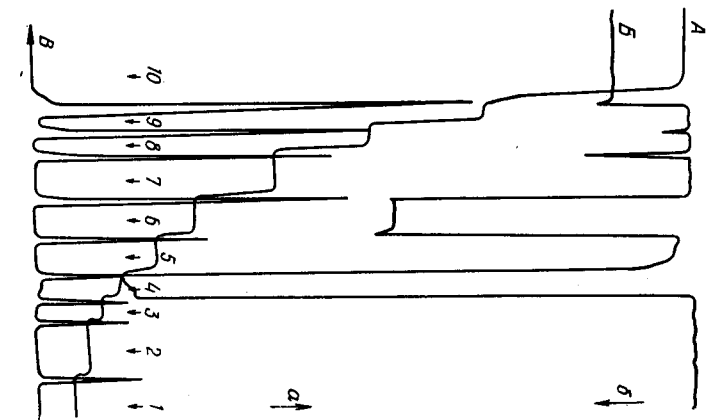


Рис. 12.13. Регистрация разделения анионов проводимого методом капиллярного изотахофореза [21].

A — сигнал детектора по электропроводности (проводимость уменьшается в направлении стрелки *α*); *B* — сигнал УФ-детектора (поглощение увеличивается в направлении стрелки *β*); *б* — длина производимого сигнала детектора по электропроводности (сдвиг по временной оси); длина зон в направлении временной оси служит мерой количества вещества; оси *α* и *β* характеризуют природу ионов. Зоны анионов: 1 — хлорила, 2 — сульфита, 3 — хлората, 4 — хромата, 5 — маннозы, 6 — пирозол-3,5-дикарбоксилата, 7 — алипраты, 8 — ацетата, 9 — хлорпропионата, 10 — фенилаланината; звездочка показан неидентифицированная зона. Ведущий электролит: 0,01 М фенилуксусная кислота.

После достижения стационарного состояния ИТФ концентрации иона определенного типа по всему объему зоны не меняются. При постоянной скорости миграции, т. е. при постоянном токе

Таблица 12.10

Сравнение электрофоретической подвижности ионов в водной и метанольной среде с помощью капиллярного изотахофореза [4]

Ион	$\eta_{H_2O} \cdot 10^5$, см ² /В·с	Высота волны б, мм	$\eta_{meth} \cdot 10^3$, см ² /В·с	Высота волны б мм
OH ⁻	204,6	—	54,8	158
Br ⁻	81,3	105	58,6	153
I ⁻	79,8	106	66,1	138
Cl ⁻	79,0	107	54,1	164
NO ₃ ⁻	74,0	111	63,9	148
F ⁻	56,5	134	42,2	196
HCOO ⁻	56,6	136,5	51,7	176
CH ₃ COO ⁻	42,6	162	40,8	191
H ⁺	362,2	34	149,7	94
Ca ²⁺	81,3	132	62,5	163
Rb ⁺	80,3	131	58,4	174
NH ₄ ⁺	76,9	138	58,7	170
K ⁺	76,7	138	54,4	181
Na ⁺	52,8	182	46,8	206
Li ⁺	40,2	220	40,4	236

^a η_{H_2O} ^b Определена с помощью термического детектирования.^c η_{meth} — расчетная электрофоретическая подвижность в метаноле.

ке в условиях капиллярного ИТФ, длина зоны, вдоль которой высота сигнала остается постоянной, служит мерой общего количества иона. Очень полезным в этом случае оказался простой метод калибровочных коэффициентов. Величина $D_{x,R}$ для данного компонента X определяется как отношение длины волны компонента X в расчете на моль L_x/n_X к аналогичному значению L_R/n_R , полученному для подходящего стандартного вещества R , которое анализируется одновременно с компонентом X в тех же условиях

$$D_{x,R} = (L_x/n_X)/(L_R/n_R), \quad (12.15)$$

где n — молярная концентрация. Значение $D_{x,R}$ зависит от состава ведущего электролита и температуры, но не зависит от геометрии системы, значения электрического тока или гидродинамического противотока. Соотношение L_R/n_R постоянно для

всех компонентов, разделяемых одновременно с компонентом R , поэтому

$$L_x = C n_X D_{x,R}, \quad (12.16)$$

где C — «постоянная» прибора, а n_X — число молей компонента X .

В этих же целях можно воспользоваться методом внутреннего стандарта. К известному объему V_x образца, содержащего компонент X в неизвестной концентрации m_X добавляют известный объем V_s раствора стандартного вещества S (концентрация m_S). В процессе изотахофореза условного объема этой смеси измеряются длины волн L_x и L_s . Используя полученные величины, можно с помощью приведенного ниже выражения рассчитать величину m_X .

$$m_X = (V_s L_x D_{s,R} / V_x L_s D_{x,R}) m_S. \quad (12.17)$$

12.3.3. ПРЕПАРАТИВНЫЙ ИЗОТАХОФОРЭЗ

Как препаративный метод изотахофорез обладает совершенной исключительной особенностью, а именно: разрешающая способность метода не уменьшается с увеличением количества образцов.

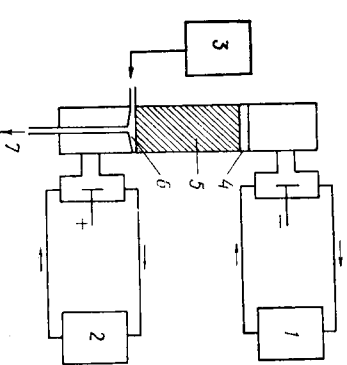


Рис. 12.14. Схема прибора для препаративного гель-изотахофореза с постоянным электролированием [17].

1, 2 — насосы для циркуляции электролитов; 3 — резервуар для элюента и насос; 4 — слой, содержащий образец; 5 — поликарбамидный гель; 6 — ячейка для элюента; 7 — выход элюента в коллектор фракций.

разда. Даже при большом количестве образца можно получить хорошее отделение минорных фракций. Все общепринятые методики предполагают использование тонкого слоя поликарбамидного геля, не проявляющего молекулярно-ситовых свойств (рис. 12.14). При изотахофорезе высокомолекулярных соединений обычно образуются зоны с высокой концентрацией, поэтому

их обнаружение осуществить легче, чем в аналогичном зонном электрофорезе в геле.

Наиболее трудных разделений последовательных зон с низким содержанием образца удаётся избежать путём добавления прокладочных соединений, в основном амфотерных [амфолин, фирмы LKB (Бромма, Швеция)], в подходящем узком диапазоне изоэлектрических точек. Свенсцен [93] продемонстрировал возможность этого метода на примере разделения компонентов гемоглобина человека (см. рис. 12.31).

Для макроразделений предпочтителен метод непрерывного изотахофореза без носителя, когда электрическое поле приложено перпендикулярно выбранному направлению потока электролита. С помощью этого метода Пригл [77а] разделил некоторые комплексы ирида, а Прусиц [79] — компоненты концентратов амилазы.

12.4. ИЗОЭЛЕКТРИЧЕСКОЕ ФРАКЦИОНИРОВАНИЕ (ФОКУСИРОВАНИЕ)

12.4.1. ТЕОРИЯ ИЗОЭЛЕКТРИЧЕСКОГО ФРАКЦИОНИРОВАНИЯ

В изоэлектрическом фракционировании, или фокусировании, (сокращенно ИФ) используется градиент концентрации ионов, который влияет на заряд разделяемых компонентов, например H^+ и комплексобразующих ионов. Самый обычный пример — ИФ амфотерных макромолекул, главным образом белков при градиентном изменении pH. Белки значительно отличаются по своим изоэлектрическим точкам, т. е. по значению pH, при которых они имеют нулевой заряд. При pH меньше, чем изоэлектрическая точка, белок приобретает положительный заряд, и поэтому движется в электрическом поле как катион. При наличии градиента pH, который увеличивается от анода к катоду, ион движется к точке, у которой он потеряет свой положительный заряд или станет полностью электрически нейтральным. Такой градиент pH можно создать с помощью системы буферных растворов. Однако описанный метод не нашел широкого применения. Свенсон [95] теоретически обосновал и подтвердил практические преимущества применения устойчивого естественного градиента pH. Градиент такого типа наблюдается при электроизомиазе смеси амфотерных веществ. Стационарное состояние устанавливается в том случае, когда амфолиты располагаются в порядке увеличения изоэлектрической точки pI от самого низкого значения (близи анода) до самого высокого (близи катода).

Практическое использование этого метода возможно при подборе подходящей смеси амфолитов-носителей. Амфолиты должны

ны отвечать следующим требованиям: 1) отсутствие взаимодействия с белками, 2) низкая молекулярная масса, 3) наименьшее возможное различие между pK и pI , 4) хорошая электропроводность, 5) наименьшее возможное поглощение света в области УФ-поглощения белков, 6) равномерное распределение зон pI амфолитов, 7) максимальное количество различных значений pI . Сначала в качестве амфолитов использовались лишь вещества, химически близкие белкам, т. е. различные типы частично расщепленных белков: гидролизаты гемоглобина, обессоленные препараты пептона или, что более удобно, гидролизаты казеина и лактальбумина. Эти смеси можно применять в тех случаях, когда определению не мешает их пигментная природа. Когда требуется более тонкое изменение pI и более близкий к линейному градиент, следует применять электролиты-носители, предложенные Вестербергом [103]. Это гетерогенные синтетические материалы, выпускаемые фирмой LKB под названием амфолиновые электролиты («Ampholine electrolyte»), с известным диапазоном pI . Амфолиновые электролиты представляют собой смесь алифатических полiamинополикарбоновых соединений с молекулярной массой 300—1000 и pI от 3 до 10; диапазон pI может быть и более узким.

Миграция амфотерных соединений в условиях ИФ до такого положения, в котором молекула имеет нулевой суммарный заряд, конкурирует с тенденцией зон расширяться вследствие диффузии. Увеличение градиента напряжения усиливает фокусирующий эффект до тех пор, пока Джоулево тепло не вызывает смещения зон под действием тепловой диффузии и конвекции или не приведет к денатурации природных амфотерных макромолекул. Теория этого процесса была разработана Свенсоном [96]. И буферная емкость, и необходимая электропроводность амфолитов увеличиваются по мере уменьшения разности между pI и pK . Когда эта разность становится равной единице, сохраняется 25% максимальной буферной емкости, но при разности, близкой к 2, остается только 3% буферной емкости. Величина разности в 1,5—2 ед. pH является пределом, до которого амфолиты используются в качестве среды для изоэлектрического фракционирования.

12.4.2. ИЗОЭЛЕКТРИЧЕСКОЕ ФРАКЦИОНИРОВАНИЕ В ЖИДКОЙ СРЕДЕ

Изоэлектрическое фракционирование можно проводить в такой среде, в которой осаждению зон макромолекул препятствует резкий градиент плотности среды. Большое число фракций можно получить просто за счет вытекания их из прибора. Другое преимущество метода — возможность точного измерения гра-

Напряжение, рекомендуемое для изоэлектрического фокусирования [37]	Напряжение на стартре, В	Ток, мА	Продолжитель- ность эксперимента, сут
3—10	300	0,30	2—3
3—5	450	2,45	1—2
5—7	600	0,40	1—2
7—9	600	0,50	4
7—10	400	0,65	5—6

^aРазделение проводилось на колонке объемом 110 мл, заполненной амфолином (LKB-Produkter, Бромма 1, Швеция), при 10 °С; для получения градиента плотности при менялась сахараоза.

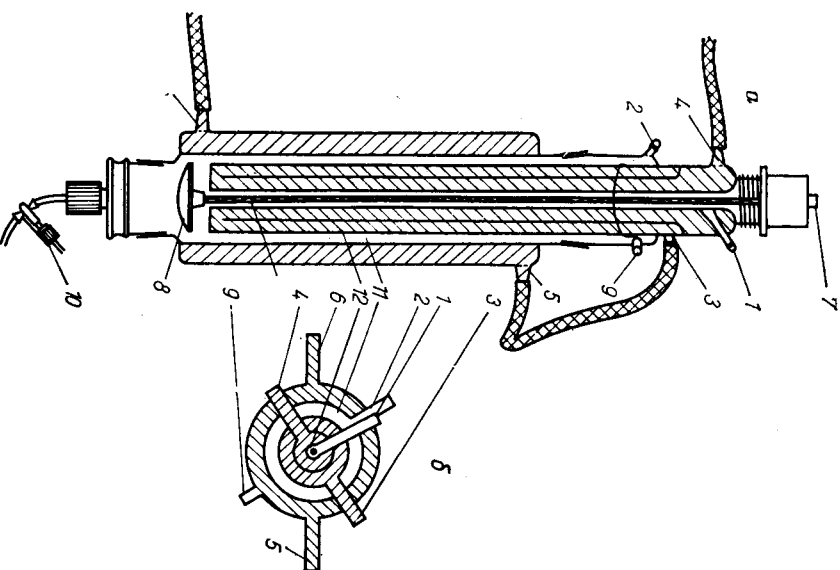


Рис. 12.15. Схема прибора (фирма LKB) для изоэлектрического фокусирования со стабилизацией зон при градиенте плотности.

a — продольный разрез; *b* — поперечный разрез; 1, 2 — ввод электродных растворов; 3 — ввод охлаждающего раствора прибора; 4 — вывод охлаждающего раствора прибора; 5 — выход охлаждающего раствора из внешней части прибора; 6 — ввод охлаждающего раствора из внешней части прибора; 7 — вывод продукта к центральному электроду и затвор внутренней части электрода; 8 — затвор пространства внутреннего электрода, соединенный с телефонным стержнем, вокруг которого намотана платиновая проволока, служащая внутренним электродом; 9 — контакт, соединенный с внешним электродом платиновой проволокой; 10 — затвор внешнего отверстия для фракций, который используется также для непрерывного заполнения аппарата электролитом-носителем из градиентного смесителя; 11 — пространство для разделения при градиенте плотности; 12 — емкость для центрального электролитического раствора (с разрешения фирмы LKB Produkter, Бромма, Швеция).

лиента pH во фракциях и возможность непрерывного измерения УФ-поглощения при использовании проточной кюветы. Емкость применяемых колонок составляет около 10 мл образца. Для создания градиента плотности удобно пользоваться сахарозой. Емкость типичного прибора, выпускаемого фирмой LKB, составляет 110 мл для аналитического и 440 мл для полупре-

паративного разделения белков. Чтобы уменьшить влияние выделяющегося тепла, применяют стеклянные приборы, имеющие форму коаксиальных цилиндров, с центральным и периферическим охлаждением. Процесс ИФ протекает в кольцевом зазоре. В верху зазора расположается электрод, а внизу — механический затвор и выход. Разделение ведется при открытом механическом затворе, так что кольцевой зазор в это время гидравлически и электрически связан с центральной трубкой, в которой помещается второй электрод. Схема конструкции прибора LKB 8100-10 представлена на рис. 12.15. В приборах колоночного типа процесс изоэлектрического фракционирования продолжается от 24 до 72 ч в зависимости от диапазона значений pI амфолитов-носителей. Чем выше разрешающая способность, тем медленнее наступает стационарное состояние, так как небольшое различие между pH среды и pI фокусируемого белка, свидетельствующее о низком заряде макромолекулы, обуславливает медленное перемещение в положение, где $pI = pH$. В установку для ИФ колоночного типа входят: 1) перистальтический насос со скоростью подачи 1—5 мл/мин; 2) pH-метр с точностью $\pm 0,01$ pH; 3) источник напряжения, допускающий напряжение до 1200 В — 20 Вт (лучше со стабилизацией выхода или тока); 4) коллектор фракций; 5) УФ-спектрофотометр с проточной ячейкой для измерения поглощения при 280 или 210 нм и самописцем. Если прибор используется часто, необходим градиентный смеситель для получения непрерывного градиента. Если необходимо выделять фракции, комплект образования должен включать прибор для гель-хроматографии. Для терmostатирования можно применять криостат с насосом для подачи охлаждающей смеси, особенно это необходимо, если работа ведется при темпе-

ратуре около 0°C . Для точного измерения pI обязательно термостатирование фракций. В табл. 12.11 приводятся рекомендованные значения напряжения для различных интервалов градиент-

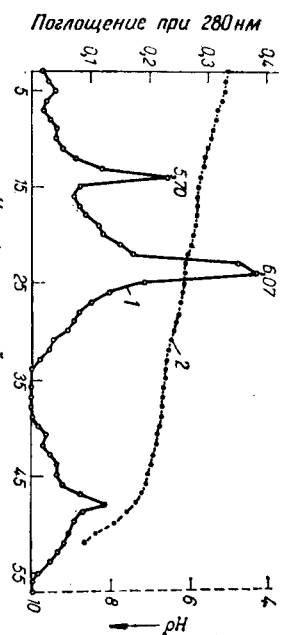


Рис. 12.16. Выделение компонентов бычьего α -кристаллина методом изоэлектрического фракционирования при градиенте плотности [5].

Аппарат фирмы LKB объемом 110 мл [104]; линейный градиент концентрации сахара в 1% -том растворе амфолина LKB, $\text{pH } 5-8$ в присутствии 6 М мочевины; образец — 25 мг обессоленного препарата в 56 мл раствора, не содержащего сахара; условия разделения: 2 ч при 2,8 В, начальный ток 2,8 мА, конечный — 1,8 мА; температура -20°C , объем отбираемых фракций примерно 30 капель. 1 — изоэлектрические точки фракций с максимумом поглощения при 280 нм; 2 — градиент pH .

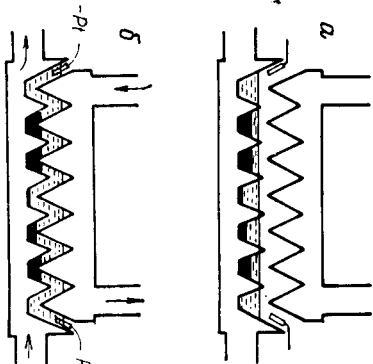


Рис. 12.17. Аппарат для препаративного изоэлектрического фракционирования с охлаждением [102].

a — аппарат со снятой верхней частью — состояние до и после разделения; *b* — собранный аппарат с закрытым и соединенным гидравлически и электрически сосудом с коническими углублениями; темные участки — это раствор, содержащий фракции белка, осадок изображен на дне центрального сегмента сосуда. Стрелки указывают направление потока охлаждающего раствора.

та pH на колонке объемом 110 мл (фирма LKB) при концентрации амфолина 1%. Для заполнения электродных камер применяются электролитные разбавленные кислоты, например для заполнения анодной камеры 1—5%-ная H_3PO_4 , а для заполнения катодной камеры — разбавленные основания, например этилен-

диамин такой же концентрации. Для создания градиента плотности во всем диапазоне pH , вплоть до $\text{pH } 10$, можно использовать сахарозу. При более высоких pH градиент может быть образован с помощью этилентгликоля или глицерина. На рис. 12.16 показано разделение α -кристаллина. Недостаток метода — низкая растворимость некоторых белков при значениях pH , близких или равных их pI . Растворимость можно до некоторой степени увеличить, добавляя амфолин до концентрации выше 1%. В ряде случаев, чтобы избежать осаждения белков, изоэлектрическое фракционирование ведут в геле. В предложенном Вальтером [102] методике решены и проблема осаждения, и проблема сбора фракций. Градиент плотности в этом случае необязательен, а емкость прибора, если необходимо, можно увеличить, увеличивая размеры охлаждаемого сосуда с конусными углублениями. Принцип метода иллюстрирует рис. 12.17. Осаждавшиеся белки остаются на дне отдельных сегментов, где белки располагаются в соответствии с их pI .

12.4.3. ИЗОЭЛЕКТРИЧЕСКОЕ ФОКУСИРОВАНИЕ В ПОЛИАКРИЛАМИДНОМ ГЕЛЕ

Изоэлектрическое фокусирование в геле имеет определенные преимущества по сравнению с ИФ в среде со стабилизованным градиентом плотности. Эти преимущества состоят в следующем: 1) сокращается длительность разделения; 2) полностью подавляется термическая конвекция; 3) применяется простое оборудование для ИФ; 4) возможно одновременное разделение нескольких образцов; 5) возможно обнаружение с помощью различных красителей и различных методик; 6) возможно объединение ИФ и зонного электрофореза в двухмерном варианте; 7) достаточно небольшого количества образца; 8) возможно обнаружение белков методом иммунонодиффузии. Однако при применении геля возникают проблемы, связанные с молекулярно-ситовым эффектом, который имеет место в основном при разделении больших молекул. Другой недостаток метода — это низкая точность определения pH в зонах. В настоящее время этот метод (сокращенное обозначение ИФПАА или ПАГИФ) является общепринятым и широко используется. В отдельных случаях, согласно данным [73], при проведении дискретного трубчатого электрофореза в поликариламидном геле допускается окрашивание. Для снижения молекулярно-ситового эффекта рекомендуется [23] концентрация геля 3,7%. Типичный градиент напряжения для 8-часового разделения составляет 200 В на 60 мм. Если тепло отводится, то напряжение можно увеличить и соответственно сократить длительность разделения. Градиент pH можно измерить после разрезания столбиков с гелем и последующего элюирования сегментов небольшим коли-

чеством воды. Кроме того, pH можно измерить непосредственно в геле с помощью стеклянных микроЭлектродов. Профиль концентрации в гелях можно непосредственно определить с помощью регистрирующего спектрофотометра. Методы, в которых используются плоские слои гелей, пригодны для сравнения нескольких образцов.

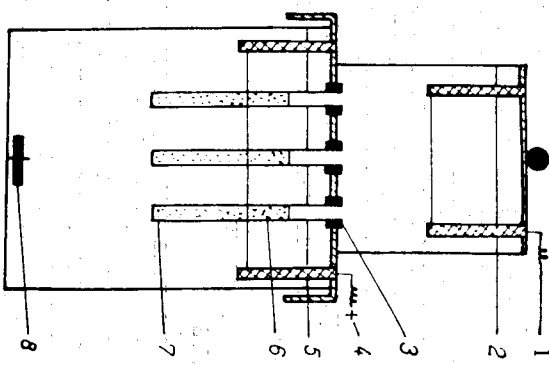


Рис. 12.18. Схема прибора фирмы Shandon для дискретного электрофореза в поликариламидном геле.
1 — катод; 2 — уровень буферного раствора; 3 — резиновая пробка; 4 — анод; 5 — уровень буферного раствора; 6 — поликариламидный гель; 7 — стеклянная трубка; 8 — магнитная мешалка. Полярность электродов может быть обратной. Благодаря возможности охлаждения аппарат можно также использовать для ионозависимого фокусирования в поликариламидном геле.

На рис. 12.18 показана схема основного прибора для ИФ, проводимого в трубках. Способ получения геля и методика разделения описываются в разд. 12.7.

12.5. ИСТОЧНИКИ ПИТАНИЯ

Для электрического питания электрофоретических приборов обычно применяют различные нестабилизированные источники питания, напряжение в которых выбирается в соответствии с возможностью отвода тепла из прибора. Пульсирующие источники постоянного тока дают такое же хорошее разделение, как и источники обычных типов с RC- или LC-выпрямителем. Эти источники наиболее безопасны, так как напряжение в них после выключения питания сразу же падает до нуля. Вследствие более высокого максимального напряжения пульсирующего источника прибор должен быть настроен на необходимое напряжение. Для более точного и безопасного контроля разделений можно использовать источник стабилизированного тока (проточный электрофорез, зональный электрофорез с носителем, гель-электрофорез,

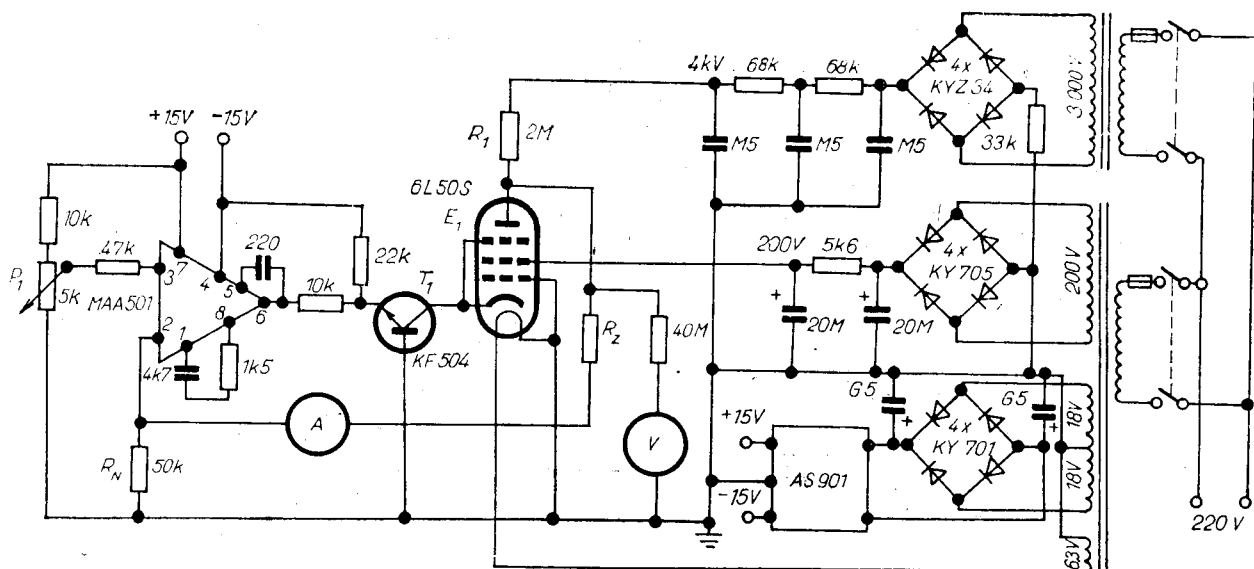


Рис. 12.19. Источник стабилизированного тока для капиллярного противоточного изотахофореза [101].

Источник дает 100 мА при 4,5 кВ; сопротивление R — капиллярная система аппарата; значение стабилизированного тока устанавливается на потенциометре P_1 ; детали, использованные в схеме, выпускает фирма Tesla (ЧССР). AS 901 — источник стабилизированного тока (+15 В) той же фирмы. Чтобы повысить напряжение до 20 кВ, электронную лампу 60L50S заменяют на лампу типа 7234 фирмы Victoreen, (США) и одновременно увеличивают напряжение высоковольтного трансформатора. Более высокое напряжение необходимо для изотахофореза медленно движущихся ионов, например белков.

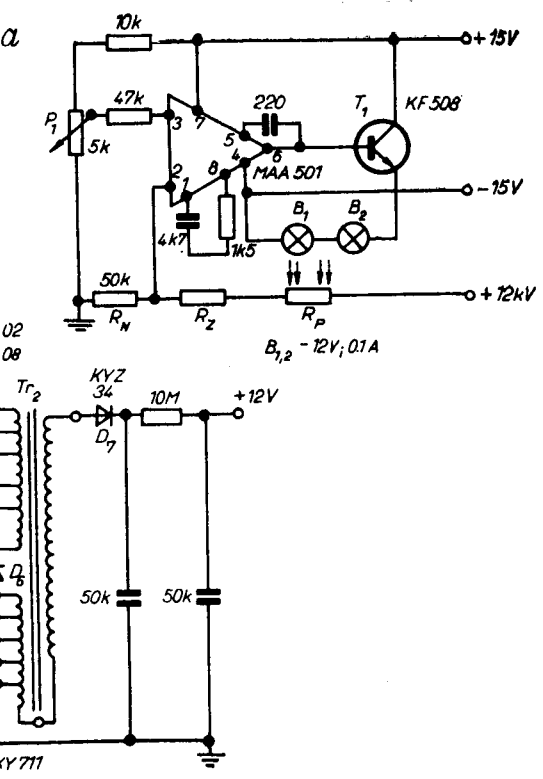
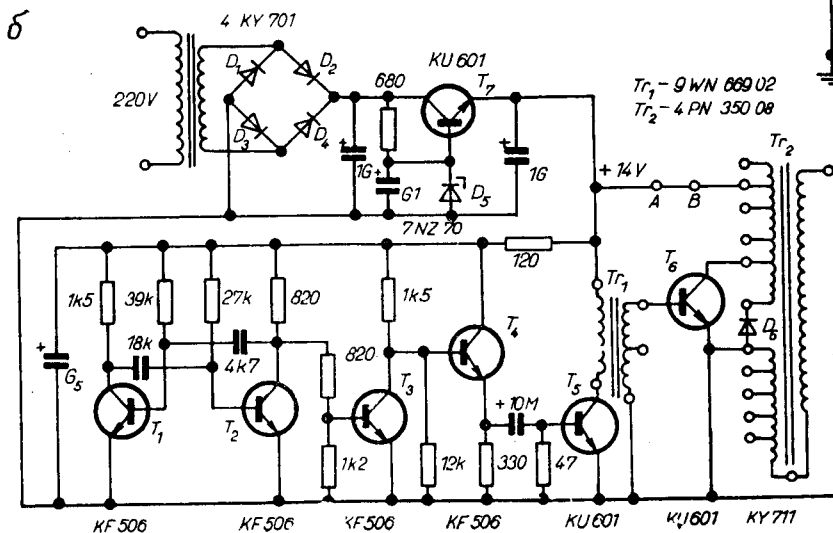


Рис. 12.20. Источник питания для капиллярного изотахофореза [101].
а — схема контрольного блока стабилизированного источника тока до 100 мА с напряжением до 12 кВ. Ток регулируется в результате уменьшения напряжения на CdS фотодиодах R_p . За исключением фотодиодов, все остальные детали схемы изготовлены фирмой Tesla (Чехословакия). Операционный усилитель МАА 01 можно заменить на эквивалентный усилитель фирмы Fairchild. Для контроля пригодны CdS фотодиоды, соединенные последовательно. Фотодиоды контролируются лампами B_1 и B_2 ; б — источник напряжения 12 кВ, максимальный ток 150 мА, нерегулируемая часть.



рез в поликарбонатном геле), а также стабилизацию тока, которая является совершенно необходимой для количественного капиллярного изотахофореза. Очень хорошее разделение получается с помощью новых стабилизованных источников питания [44], дающих максимальный градиент напряжения, согласующийся с максимально допустимой скоростью нагревания. Эти источники позволяют максимально использовать аппарат без риска перегрева носителя. Электрические схемы источников тока для капиллярного изотахофореза изображены на рис. 12.19 и 12.20. Для обеспечивания гелей используется тот же источник питания, что и для электрофореза, а для быстрого обеспечения напряжение прикладывается перпендикулярно более длинной оси геля с помощью источника нестабилизированного постоянного тока около 0,5 А и напряжением до 50 В.

12.6. ТЕХНИКА БЕЗОПАСНОСТИ

Электрофоретическое оборудование обычно работает во влажной атмосфере, причем величины напряжения и силы тока, как правило, превышают безопасные пределы. Неправильное обращение с приборами уже привело к нескольким несчастным случаям со смертельным исходом. Омическое сопротивление человека, обычно составляющее 10^3 — 10^4 Ом, существенно зависит от физиологического состояния человека и влажности кожи. Для человека опасен даже ток силой 10 мА, так как при поражении током пострадавший обычно не может сам отсоединиться от проводника. Ток силой более 25 мА вызывает серьезные повреждения в организме — остановку сердца, паралич дыхательных мышц, ожоги и т. д., которые могут привести к смерти. Учитывая, что сопротивление тела 10^3 Ом, напряжение всего лишь в 100 В способно привести к несчастному случаю; в результате уменьшения сопротивления вследствие шока, сопровождающегося потоотделением и (или) повреждением кожи, опасно даже меньшее напряжение. Таким образом, приборы для электрофореза и изоэлектрического фокусирования, являющиеся источниками электрического тока, могут представлять опасность для жизни. Если источники питания стабилизованы, то опасность возрастает, так как напряжение во время разъединения проводов или разрыва проводящих соединений в электрофоретической камере увеличивается. При работе на приборе для дискретного электрофореза в поликарбонатном геле, который обычно снабжен стабилизованным источником питания, риск часто недооценивают.

По этим причинам следует учитывать следующие рекомендации:

- Источник питания во время работы с электродными сосудами должен быть отключен.
- Прежде чем проводить какие-либо операции, следует проверить, установлен ли на нуль источник тока и напряжения. Не следует недооценивать остаточный заряд на конденсаторе приемника постоянного напряжения.
- Следует проверить состояние кабелей, соединителей и волонтерпроницаемость электрофоретической камеры и электродных сосудов. Прежде чем подсоединить источник питания, следует исключить возможность попадания влаги в аппарат.

4. Предпочтение следует отдавать приборам, имеющим защищенные схемы для блокирования высокого напряжения во время работы. Обычно применяют защитные приспособления с блокирующими и закорачивающими соединениями. Металлические блоки заземляют (см. например, рис. 12.24, где изображено защищное приспособление «Savant High Voltage Enclosure», производится фирмой Savant (США)).

12.7. ПРИМЕРЫ ПРИМЕНЕНИЯ ЭЛЕКТРОФОРЕЗА

12.7.1. ЗОННЫЙ ЭЛЕКТРОФОРЕЗ НЕОРГАНИЧЕСКИХ ИОНОВ В ЛИГАНДНЫХ БУФЕРНЫХ РАСТВОРАХ

Неорганические вещества часто имеют близкие электрофоретические свойства, поэтому их разделение в обычных электролитах не дает хороших результатов. Однако образование ионных комплексов часто приводит к изменению электрофоретических свойств центральных ионов, что позволяет провести их разделение. Так, например, согласно данным Джокла [45] и Джокла, Андайча и Майера [47], путем правильного подбора лиганда и pH методом зонного электрофореза в лигандном буферном растворе удалось разделить такие близкие ионы, как катионыредкоземельных элементов. Примеры разделения в лигандных буферных растворах и составы этих растворов приведены в табл. 12.12 и на рис. 12.21. Применяемые лиганы — это анионы неорганических и органических кислот. Простейшим комплексобразующим агентом является HCl , дающая целый ряд подходящих хлоро-комплексов, например хлоро-комплексы $\text{Hg}^{(II)}$, $\text{Pd}^{(II)}$, $\text{Pt}^{(IV)}$, $\text{Au}^{(III)}$, $\text{Bi}^{(III)}$, $\text{Sb}^{(III)}$, $\text{Cd}^{(II)}$, $\text{Cu}^{(II)}$. Hg , Bi , Cd , Pd и Cu можно разделить в 1—5 М HCl [59]. Уксусную кислоту можно использовать для отделения урана от сопутствующих элементов. Шавелевая кислота применяется для разделения Th , U и Ra , а гликолевая — разделения лантанидов, Th , U , Zr , обычных катионов и редкоземельных элементов. Дикарбоновые и замещенные карбоновые кислоты, способные образовывать

Рис. 12.21. Зонный электрофорез редкоземельных элементов в Zn-ЭДТА лигандных буферных растворах [46].

Использовались три типа основных электролитов A , B , C , которые состояли из концентрической лиганды. Составы буферов A , B и C приведены в табл. 12.12. Бумага ватман № 2, аппарат с охлаждаемой пластиной ОЕ 205 фирмы Labor MM (Будапешт), температура 20 °C. Градиент напряжения 30 В/см. Время разделения 90 мин. Для одного разделения используют 10 мкл образца с 0,01 Н. концентрации каждого компонента. Детектирование электрофореата проявляется через насыщенный спиртовой раствор ализарина 0,1 М по HCl и высушивается в атмосфере аммиака.

α	δ	β	γ
Ce^{La} Pr^{La} Nd^{La}	Sm^{La} Eu^{La} Gd^{La}	Dy^{La} Tb^{La} Y^{La}	Ho^{La} Er^{La} Dy^{La}
O^{La} M^{La} Dy^{La}	O^{La} Sm^{La} Eu^{La}	O^{La} Tb^{La} Y^{La}	O^{La} Ho^{La} Er^{La}
O^{La} Pr^{La} Nd^{La}	O^{La} Sm^{La} Eu^{La}	O^{La} Tb^{La} Y^{La}	O^{La} Ho^{La} Er^{La}

Лигандные буферные растворы для электрофоретического разделения редкоземельных элементов

Таблица 12.12

рН б	Объем раствора I, мл	Объем раствора II, мл	Обнаружение в
17,5	10	10	a
18,1	10	25	5
18,5	10	50	6

^а Основной электролит, состоящий из растворов I+II, доводят до pH 2,0 в. HNO_3 , ^б затем доливают воду до 100 мл. Раствор I — 0,1 М NaEDTA ; раствор II — 0,02 М $\text{Zn}(\text{NO}_3)_2$.

^аСогласно данным Джокла и Пикулович [46] и Джокла и Валашковой [47].

См. рис. 12.21.

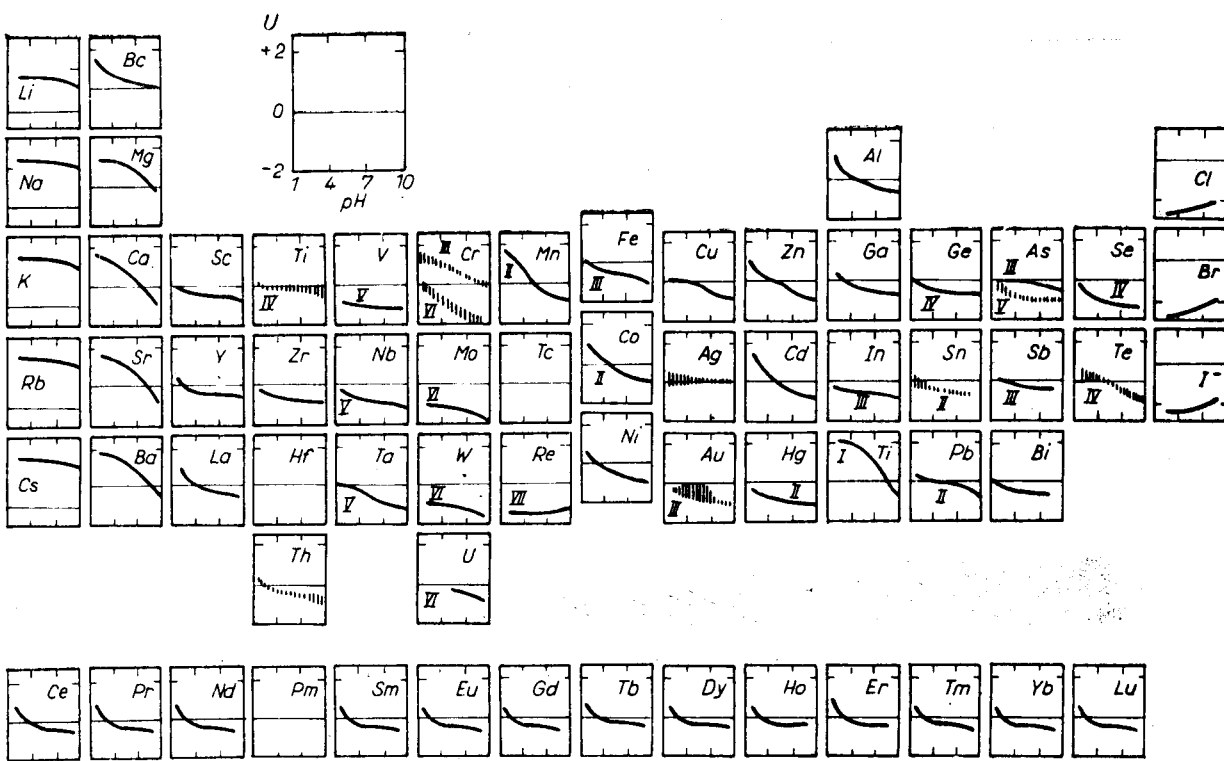


Рис. 12.22. Зависимость относительной электрофоретической подвижности от pH лигандных буферных растворов [47].

По ординате отложена относительная подвижность μ (подвижность тетраметиламмония принята за единицу), по абсциссе pH. Бумага ватман № 1, основной электролит 0,05 М оксиэтилиминодиуксусной кислоты, градиент напряжения 15 В/см, температура 20 °С, время разделения 90 мин.

вижности получены в разбавленной лимонной кислоте, которая в кислой среде образует стабильные анионные хелаты. Наряду с этим она пригодна и в широком буферном диапазоне, например для разделения обычных катионов, редкоземельных элементов, продуктов расщепления урана или тяжелых металлов при анализе золы растений [49]. Для непрерывного электрофореза катионов предложен буфер, содержащий яблочную кислоту [68]. Аминокислоты или пептиды образуют с двухвалентной медью очень устойчивые и легко обнаруживаемые комплексы [11]. Основной электролит, содержащий этилендиаминтетрауксусную кислоту (ЭДТА), в нейтральной среде пригоден для разделения катионов щелочноzemельных металлов, которые образуют анионные комплексы [19]. В ЭДТА в щелочной среде удается разделять все шесть металлов платиновой группы. Аналитическая группа цинка может быть разделена в растворе KCN [61]. Металлы платиновой группы и щелочноzemельные металлы также разделяют в растворе хлорида аммония. Редкоземельные элементы лучше всего разделять в среде, содержащей оксикислоты, например молочную, винную и лимонную. Группы Dy—Y, Eu—Ce, Pr—Sc—Sm, Ce—Y—La, Yb—Dy и La—Nd—Sm были разделены в 1%-ной лимонной кислоте [58]. Продукты радиоактивного распада урана разделяют в среде винной кислоты при pH 2,6—3. На рис. 12.22 приведены подвижности катионов в 0,05 М оксиэтилиминодиуксусной кислоте в зависимости от pH.

12.7.2. ЭЛЕКТРОФОРЕЗ АМИНОКИСЛОТ И ПЕПТИДОВ

Бумажный электрофорез является простейшим методом разделения аминокислот и олигопептидов с молекулярной массой до 2000—4000. При низких градиентах потенциала хорошие результаты дает нисходящий электрофорез (до 1500 В) при pH 5,6,

Пиридинсульфатные буферные растворы для электрофореза на бумаге при pH 3,5—6,5 (по данным Сарджента [86])

Таблица 12.13

Пиридин, мл	Уксусная кистота, мл	Вода, мл	pH
20	200	1780	3,5
20	10	2470	4,4
200	80	1720	5,3
250	10	2250	6,5

■ Буферные растворы легучи, и поэтому после высыпания обнаружение может проползти без ограничений.

описанный в разд. 12.2.3 (см. рис. 12.4). Он пригоден для фракционирования ряда кислотных и основных аминокислот и пептидов. Нейтральные аминокислоты и пептиды с помощью этого метода не разделяются, но их можно разделить в протонировании.

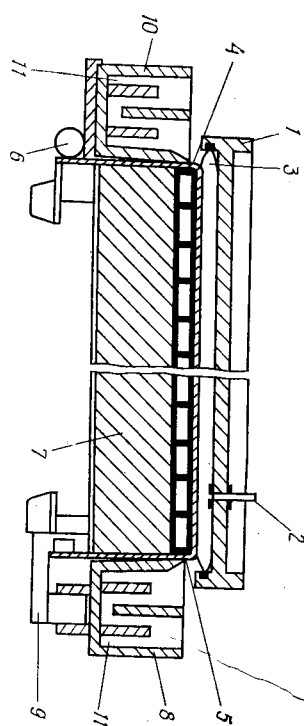


Рис. 12.23. Продольный разрез прибора для высоковольтного бумажного электрофореза с твердым теплообменником [82].

1 — крышка; 2 — ввод для сжатого воздуха или подключение к вакууму; 3 — полизтиленовая пленка; 4 — система охлаждения с медной пластиной; 5 — пристыковывание изолирующая пленки; 6 — пристыковывание к протяжке пленки; 7 — теплоизолирующая стойка для электродной камеры; 10 — электродная камера с низким напряжением относительно Земли; 11 — Pt проводящие электроды.

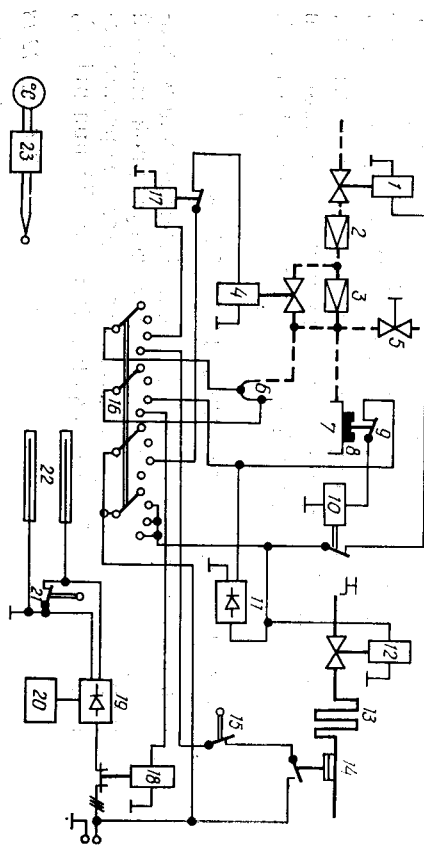
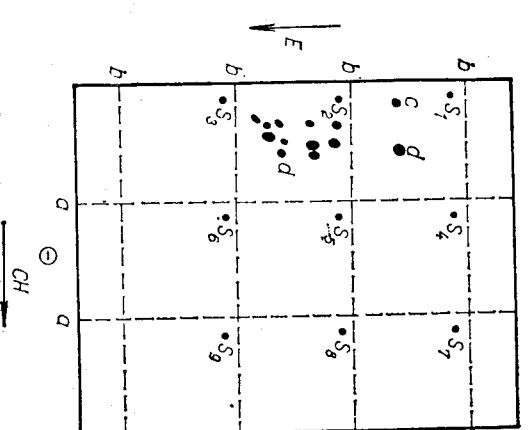


Рис. 12.24. Схема соединений высоковольтного охлаждаемого электрофореза на носителе с блокирующей цепью, увеличивающей безопасность работы [82].

1 — электромагнитный выпускной клапан для воздуха; 2 — клапан, снижающий давление воздуха, 0,1 кПа/см²; 3 — клапан, снижающий давление промыслового полизтиленового мешка, ручной воздушный клапан, контактирующий с манометром на 0—50 мм рт. ст.; 4 — полизтиленовый мешок; 5 — постоянный магнит, установленный на крышке; 6 — электромагнитное реле, управляемое магнитом 8 для контроля затворения крышки; 8 — электромагнитное реле; 9 — источник постоянного тока (24 В); 10 — регулируемый вольтметр электромагнитного соленоидного клапана; 11 — система охлаждения прибора; 12 — жидкостный контактный термостат; 13 — микровыключатель заземленной крышки; 14 — переключатель определения; 15 — электромагнитное реле для быстрого заполнения полизтиленового мешка; 16 — высоковольтный контактор; 17 — источник высокого напряжения; 18 — контроллерная схема высокого напряжения; 19 — закорачивающий переключатель высоковольтной схемы; 20 — электронные камеры; 21 — контролирующий термистор, термометр для измерения температур электрофоретического носителя.



ваний форме в кислой среде при pH 1,6—2,6 методом электрофореза с охлаждением (рис. 12.23 и 12.24).

Электрофорез аминокислот и пептидов на бумаге проводили методом Михля с охлаждением инертными жидкостями [69], который может быть успешно использован даже для получения пептидных карт. Примеры разделения пептидов приведены на рис. 12.25, а состав буферов для разделения — в табл. 12.13. Аминокислоты и пептиды разделяли также методом электрофореза в тонком слое целлюлозы [28] и силикагеля [42]. В этом методе хроматография (в основном ТСХ) предшествует электрофорезу, который применяется для анализа во втором направлении (см. табл. 12.5).

АМИНОКИСЛОТНЫЕ И ПЕПТИДНЫЕ КАРТЫ

Принцип метода состоит в последовательном разделении смесей с помощью электрофореза, а затем хроматографирования разделенных компонентов в другом направлении. Этот метод также называют методом «отпечатков пальцев» [43]. В зависимости от применяемого типа электрофореза в качестве первого метода анализа могут быть выбраны электрофорез или хроматография. Если используется электрофорез с постоянным

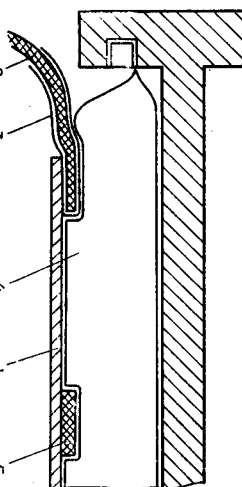


Рис. 12.26. Способ переноса образца при двухмерном разделении методом высоковольтного зонного электрофореза на бумаге [82].

¹ — электрофоретический носитель (бумага); ² — бумажная полоска (проводники для подвода тока от электрической камеры); ³ — полуторацветная оберточная проводника из мембранных для диализа; ⁴ — полизиэтиловый мешок с сжатым воздухом; ⁵ — бумажная полоска с разделенными образцами после разделения в первом направлении.

отводом тепла, то сначала предпочтительно проводить электрофоретическое разделение.

Методика Прусика и Штепанека [82]. На бумаге ватман № 3 или 3 ММ размером 460×570 мм симметрично наносят девять квадратов размером 150×150 мм. Таким образом мы получим квадрат размером 450×450 мм, куда можно нанести 9 образцов, и свободные края для анода и катода (рис. 12.25). Линию старта проводят на расстоянии 25 мм от анодного края каждого квадрата. Бумагу помешают на холодную пластину для горизонтального электрофореза и смачивают буферным раствором (150 мл уксусной кислоты + 50 мл 98%-ной муравьиной кислоты Н + дистиллированная вода до 1 л). Избыток буферного раствора промокают сухой фильтровальной бумагой и влажную хроматограмму покрывают листом фильтровальной бумаги. Затем эту бумагу прижимают к нижней бумаге фотографической бумаги не стягивая равномерно белой. Фильтровальную бумагу меняют несколько раз — обычно достаточно двух или трех листов. Для снижения давления паров электролита необходимо включить охлаждение, но температура должна быть выше точек росы, чтобы предотвратить избыточную конденсацию на буферных паров воды из воздуха. Затем на линии старта наносят

растворы образцов (см. также рис. 12.26) и добавляют к смеси водный раствор желтого индикатора миграции моно(динитрофенил) этилендиамина. Бумажные проводники, подводящие ток от электродной камеры, прижимают к краям носителя. Проводники, сделанные из прочной хроматографической бумаги, заворачивают в мембранные для диализа размером 20×20 мм (тип «Kalle»), предохраняющие проводники от персышения электрофоретическим носителем. Проводники и носитель (бумагу) прижимают полизиэтиловым мешком со сжатым воздухом при давлении 0,05 кг/см² и соединяют электроды с источником питания на 5000 В. Через 12 мин, т. е. когда желтый индикатор отходит примерно на 60 мм от старта, питание отключают и вынимают электрофореграмму. После высушивания в токе теплого воздуха при 30—50°C для полного удаления кислот (не менее чем в течение часа) большую часть катодного и анодного краев отрезают, а квадрат с образцами разрезают параллельно направлению электрофореза на 3 полоски, каждая из которых состоит из трех квадратов. Полоски сворачивают в цилиндры и подвергают восходящей хроматографии в системе бутанол — пиридин — уксусная кислота — вода (90 : 60 : 18 : 72). Положение индикатора не идентично положению аминокислот. Примерно через 2 ч хроматографию заканчивают, бумажные цилиндры разворачивают и полоски высушивают в токе воздуха. Затем полоски протягивают через 0,2—1%-ный раствор нинидрина в ацетоне. Отметив карандашом положение индикатора, полученную окраску стабилизируют путем протягивания полосок через 1%-ный раствор нитрата меди(II). Можно также обнаруживать отдельные квадраты в маленьких хроматографических камерах и провести различные обнаружения на разных количествах образца, например хлорированием по Рейнду и Хотке [83]. Этот тест более чувствителен на пептиды, но дает менее стабильную окраску и может быть использован после того, как «отпечатки пальцев» обнаружены нинидрином.

ЗОННЫЙ ЭЛЕКТРОФОРЕЗ ДИМЕТИЛАМИНОНАФТИЛСУЛЬФОНИЛНЫХ (DNS) ПРОИЗВОДНЫХ АМИНОКИСЛОТ

Для разделения DNS-производных аминокислот обычно применяют двухмерную хроматографию, однако при наличии больших количеств побочных продуктов замещения ее проведение затягивается на трудности, особенно в процессе определения DNS-производных основных аминокислот и o-DNS-производных тирозина. Основные аминокислоты хорошо разделяются электрофоретически на пластинах («Polyamide Layer») размером 150×150 мм, покрытых слоем полиамида фирмы «Cheng Chin

Trading Co. Ltd.» №. 75, Sec. 1, Hankow St. Taipei (б. Тайвань).

Методика. От тонкослойного полиамида листа отрезают полоску 50×150 мм. На расстоянии 30 мм от анодного края полоски острым карандашом осторожно отмечают старт. Полоску погружают на 10 мин в 16%-ный водный раствор муравьиной кислоты и затем влажную полоску помещают на охлаждаемую пластину электрофоретического прибора (например, типа «Pherograph», согласно Виланду и Пфлейдереру [107]) или в прибор для тонкослойного электрофореза фирмы CAMAG (1432 Muttenz, Швейцария). Температуру поддерживают при 12°C. Мягким нажатием фильтровальной бумаги высушивают полоску, так чтобы выдавить наружу избыток жидкости между подложкой и пластиной и удалить влагу, находящуюся в верхнем слое полоски. После того как фильтровальная бумага перестанет поглощать влагу, из пипетки «Microsaps» объемом 25 мкл (фирма Driptmond) наносят точно отмеренные образцы объемом 0,5—1 мкл. При ширине полоски 50 мм можно нанести до 6 образцов. На расстоянии около 5 мм от края полоски помещают проводники из бумаги, завернутые в мембрану для диализа и затем все помещают под полиуретановый амортизатор, завернутый в полистилен. Амортизатор прижимают стеклянной пластиной и включают электрический ток. Время разделения 20 мин при 8°C и градиенте напряжения 55 В/см.

Таблица 12.14
Относительная электрофоретическая подвижность в 16%-ной муравьиной кислоте

Производное	Подвижность	Производное	Подвижность
Phe	0,29	Glu	0,67
Pro	0,46	Thr	0,73
Leu	0,48	Ser	0,83
Ala	0,48	di-Tyr	0,88
Ile	0,48	NH ₂	1,00
Met	0,53	O-Tyr	1,20
Gly	0,56	ε-Lys	1,48
Val	0,59	Arg	1,57
Asp	0,67	α-His	1,69

В процессе разделения начальный ток в 3 мА/см вследствие электротросмоса уменьшается до 2 мА/см. После высушивания в потоке теплого воздуха полоску можно обнаруживать в УФ-свете, где DNS-производные флуоресцируют. Количества, рекомендуемые для нанесения, составляют 8·10⁻⁵—2·10⁻⁴ мкмоль. Использованные полоски сразу после обнаружения можно регенерировать путем элюирования 16%-ной муравьиной кислотой и высушивания. Относительные подвижности не меняются даже на повторно используемых полосках. В качестве стандартного вещества применяют DNS-NH₂. В табл. 12.14 приведены относительные подвижности DNS-аминокислот, причем подвижность DNS-NH₂ принята за единицу.

РАЗДЕЛЕНИЕ АМИНОКИСЛОТ МЕТОДОМ КАПИЛЯРНОГО ИЗОТАХОФОРЕЗА

Готовят стандартную смесь, содержащую 10 нмоль каждой аминокислоты. В систему ввода прибора [например, «Isotachophoretic» фирмы LKB (Бромма)], снабженного термическим и УФ-детектором, вводят 1—10 мкл раствора. Нейтральные и кислотные аминокислоты в щелочной среде разделяются в виде отрицательных ионов. Лизин и аргинин в системе, содержащей Ba²⁺ в качестве ведущего иона, разделяются в виде катионов. Длина

Таблица 12.15
Примеры подбора системы электролитов для количественного определения пептидов и аминокислот в пептидах после гидролиза 6 н. HCl^a

Образец	Завод разделение макроионов	Электролит		Ток во время детектирования, мА
		ведущий	замыкающий	
Ala, Asp, Glu, Gly, Leu, Val, Thr [55]	—	0,01 M HCl 0,02 M аммединол ^b 0,5% метилцетил-β-аланин, лоза, pH 8,9	0,01 M Ba(OH) ₂ pH 10	50
Lys, Arg [55]	+	0,005 M Ba(OH) ₂ 0,015 M валин, рН 9,9	0,02 M три-буфер 0,005 M HCl, pH 8	90
Продукты синтеза по Мери菲尔ду Ундекапептидные и декапептидные фрагменты фибринина [56]	—	0,005 M HCl 0,006 M три-буфер 0,5% Метилцел-лоза, pH 7,2	0,01 M валин, Ba(OH) ₂ pH 9	40

^a По данным Колвиллема с сотр. [55, 56].

^b Аммединол — 2-амино-2-метилпропионилол; 1,3.

водная термического сигнала. По точности определения индивидуальных аминокислот этот метод аналогичен автоматическому анализу. Анализ методом изотахофореза проводят в калийре диаметром 0,5 мм при постоянной температуре в 20°C, а УФ-

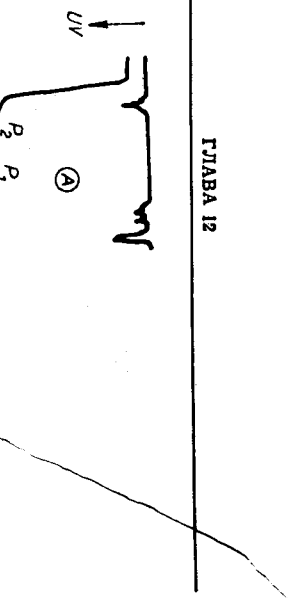


Рис. 12.28. Разделение легких цепей свиного иммуноглобулина методом электрофореза в поликарбамидном геле (по данным Франтека и Зорина [25]).

Электрофорез двух фракций легких цепей свиного иммуноглобулина был проведен с помощью горизонтального метода по Франтеку. На рисунке start указан нейтральной линии около катода. Старт крахмального геля толщиной 2 мм содержит 0,035 М глициновый буферный раствор с pH 8,8 в 3 М мочевине (по данным Коэна и Портса [13]). В электродных камерах находятся [13]. В электродных камерах находятся раствор с pH 8,2 и 0,3 М по борной кислоте и 0,06 М по NaOH.

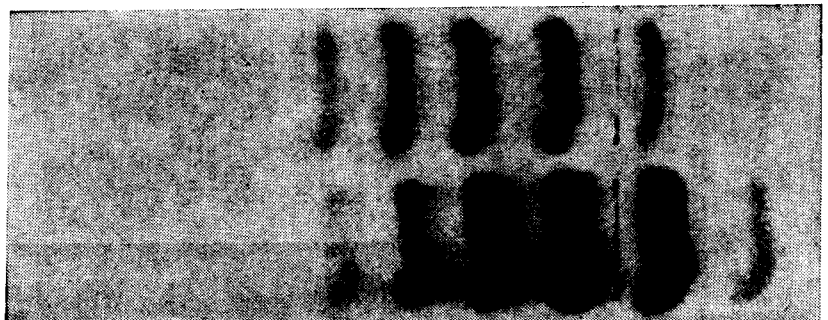


Рис. 12.27. Определение чистоты пептидных фрагментов фиброна, синтезированных твердофазным методом, с помощью капиллярного анионного изотахофореза с термическим детектированием (по данным Колвиллема с сотр. [56]).
A-F — отдельные фракции пептидов, полученные гель-фильтрацией и ионообменной хроматографией. Во фракции A пептиды P_1 и P_2 присутствуют в приблизительно эквимолярном соотношении, фракции B и C содержат только присмеч. Фракция D содержит преимущественно побочный продукт (87% P_1), фракции E и F — главный продукт P_2 (83% P_2 , во фракции E). Данные о составе электропротивных продуктов приведены в табл. 12.15. Время анализа одной фракции 10 мин, скорость бумаги 12 см/мин. Проявленный состав фракции можно рассчитать из относительной длины зон по калибровкам стандартных добавок. Запись позволяет также определять содержание адегат-ионов, которые перемещаются в зоне между ведущим Cl⁻-ионом и первой УФ-поглощающей присмечью (наприимер, фракция F содержит 4% уксусной кислоты); на рисунке показана только часть зоны P_1 . Стрелка t указывает направление оси времени, стрелка T — направление увеличения термического сигнала, а стрелка УФ — направление увеличения УФ-поглощения при 254 нм.

зон является мерой количественного содержания индивидуальных аминокислот. При определении анионно мигрирующих аминокислот в качестве индикаторов, очерчивающих границы зоны аминокислот, добавляют УФ-поглощающие вещества в метилцеллозе и β -аланин. В процессе разделения основных аминокислот для точного определения ширины зоны используется произ-

виде катионов в системе с калием в качестве ведущего иона в электролите агтат калия — уксусная кислота при pH 4,3 и с замыкающим электролитом β-аланин — уксусная кислота при pH 4,3. Концентрации ведущего и замыкающего ионов составляют 0,01 М или менее.

12.7.3. ЭЛЕКТРОФОРЭЗ БЕЛКОВ

Белки отличаются друг от друга по молекулярной массе, форме молекул, заряду и изоэлектрической точке, что позволяет разделять их в электрическом поле. Электрофорез белков был

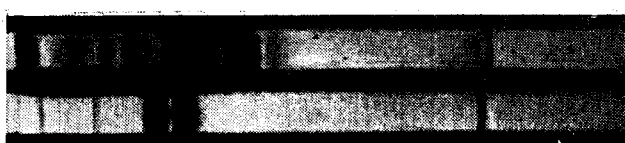


Рис. 12.29. Аналитическое разделение белков и полипептидов методом дискретного электрофореза в колонках с поликарбонатом гелем.

Состав образцов: справа — 0,1 мг смеси ингибиторов протеаз, выделенных из картофеля (Solupunt tuberosum L.), слева — 0,1 мг концентрированной Е. курицы. Электрофорез в 7,5%-ном разделяющем геле при pH 8,9 (см. табл. 12.6). Пробы помещены в гель образца, полимеризованного кагаллизированы прибором (состав геля соответствует фокусирующему гелю из табл. 12.8). Зоны детектируют окрашиванием 1%-ным раствором амидного черного (Амидощвар, 10 В, Мерк, Дармштадт).

С того времени как Дуррум [18] предложил электрофорез белков на бумаге, описано большое число примеров разделения сывороточных белков, ферментов и других растворимых белков. В настоящее время бумага в качестве электрофоретического носителя для разделения белков вытеснена, например агтатом целлюлозы. Тем не менее бумага все еще используется, поскольку это дешевый, удобный в обращении материал, который легко хранить. Недостатком бумаги является ее сродство к белкам, например к сывороточному альбумину и гликопротеинам, сорбция которых в процессе разделения приводит к образованию удаленных пяты.

В простейшем приборе для низковольтного электрофореза белков на бумаге (см. рис. 12.5) оба конца полоски бумаги погружены в электролит, находящийся в электродных камерах. Во время электрофореза электролит движется к центру бумаги за счет капиллярных сил, и влажность, уменьшающаяся в результате испарения, восстанавливается. Электролит, кроме того, движется к катоду вследствие электроосмоса. Если нужно узнать заряд разделяемых веществ, то на старт следует нанести незаряженное соединение, например глюкозу. Ее положение после электрофореза указывает на место фактического старта. Градиент напряжения обычно составляет от 5 до 15 В/см. Для аналитических целей используют более тонкую бумагу, например ватман № 1, а для микропрепартивного разделения более подходит ватман № 3.

Показано, что для разделения сывороточных белков удобны буферы с pH 8,6—9. Для полосок шириной 6 см и длиной 30 см рекомендуется плотность тока 1 мА на 1 см ширины полоски при ионной силе $\mu = 0,075$ и времени разделения 16 ч. При плотности тока 2 мА/см для разделения в барбитуратном буферном растворе с ионной силой $\mu = 0,05$ достаточно 7 ч [86]. Барбитуратный буферный раствор ($\mu = 0,075$, pH 0,6) можно приготовить путем растворения 2,76 г диэтилбарбитуровой кислоты и 15,45 г диэтилбарбитурата натрия в 1 л воды. Боратный буферный раствор с pH 9,0 готовят путем растворения 8,8 г буры и 0,62 г борной кислоты в 1 л воды. Голоску влажной бумаги промокают между листами фильтровальной бумаги и затем на две трети расстояния от анода до катода наносят образец из расчета около 4 мкл на 1 см ширины. В качестве индикатора миграции можно использовать сывороточный альбумин, окрашенный небольшим количеством бромфенолового синего. После высушивания в терmostате при 100°C электрофорерамму окрашивают, погружая на 10 мин в 1%-ный раствор бромфенолового синего

одной из первых разработанных областей применения этого метода, в связи с чем по разделению белков и продуктов их деградации имеется большое число публикаций. Электрофорез белков проводят при низких потенциалах, так как расширение зон за счет диффузии для больших молекул белка относительно невозможно. Простота оборудования и его доступность послужили причиной создания большого числа приборов (см. табл. 12.16 и примеры на рис. 12.28 и 12.29).

Некоторые выпускаемые промышленностью приборы для электрофореза белков

Таблица 12.16

Фирма	Среда для стабилизации	Применение	Торговая марка
Buchler Instruments Division, Fortlee, New Jersey, USA	ПАА ^a -гель ПАА-гель Гель крахмала	Аналитическое Препаративное Аналитическое	Polyanalyst Polyprep 100 или 200 Starch Gel Vertical Electrophoresis Apparatus
Camag, Mützenz, CAM ^b Switzerland		Микроанализ	Schnell Electrophorese GE 66
E-S. Apparatus St.	Агар, агароза	Иммуноэлектрофорез, аналитическое	Immunoelectrophoresis cell EC 640
Petersburg, Florida USA	Гель крахмала (блок) ПАА-гель (блок)	Препаративное Препаративное до 100 мг или аналитическое (30 образцов)	EC 400 Vertical Gel Cell EC 470, 490
Hoefer Scientific	ПАА-гель (блок)	Препаративное или аналитическое до 20 образцов	Slab Unit All S
Inst., San Francisco, California, USA	ПАА-гель	Аналитическое (8 образцов)	Gel Tube Unit DE 108
Labor MIM-Budapest, Budapest, Hungary	Гель агара Бумага	Иммуноэлектрофорез, аналитическое Аналитическое, макроиммуноэлектрофорез	Agar-Gel Electrophoresis Apparatus OE-103 OE-206

LKB-Produkter, Bromma, Sweden	ПАА-гель	Препаративное	Uniphor 7900 Column Electrophoresis System
Mikrochemical Sp. Co. Berk., California, USA	Бумага	Аналитическое	Gordon-Misco Multiple-Cell Paper Electrophoresis Apparatus
Pharmacia, Uppsala, Sweden	ПАА-гель (блок)	Аналитическое	Gel Electrophoresis Ge-4
Quickfit Inst., Stone, Staffordshire, England	ПАА-гель	Препаративное до 200 мг Аналитическое (16 колонок)	Prep-PAGE Module 345 PF Standard Model 16 PE 34
	CAM	Микроанализ	PAC/5
Savant Inst., Hicksville, N. Y., USA	ПАА-гель	Аналитическое (20 колонок)	Acrylamide Gel Cell DEC 12-20
Shandon Scient. Co., London, England	CAM	Микроанализ	Electrophoresis Tank (after Kohn)
Wissenschaftlich.-Technische Werk. GMBH, OB, BRD	ПАА-гель	Препаративный анализ количество-	Discophor Automat Modell EA 100

^aПАА — полиакриламидный гель.

^bCAM — ацетатцеллюлозная пленка.

в 95%-ном этаноле, насыщенном HgCl_2 . Полоски затем промывают 1%-ной уксусной кислотой. После обесцвечивания полоски дважды промывают метанолом и высушивают на воздухе.

ОПРЕДЕЛЕНИЕ МОЛЕКУЛЯРНОЙ МАССЫ БЕЛКОВ МЕТОДОМ ЭЛЕКТРОФОРезА В ПОЛИАКРИЛАМИДНОМ ГЕЛЕ В ПРИСУСТВИИ ДОДЕЦИЛСУЛЬФАТА

В присутствии долецисульфата натрия (SDS) белки образуют комплексы анионного характера. Если концентрация SDS выше $8 \cdot 10^{-4} M$, то количество SDS, связанного с единицей массы белков, постоянно и составляет 1,4 г SDS на 1 г белка. Это

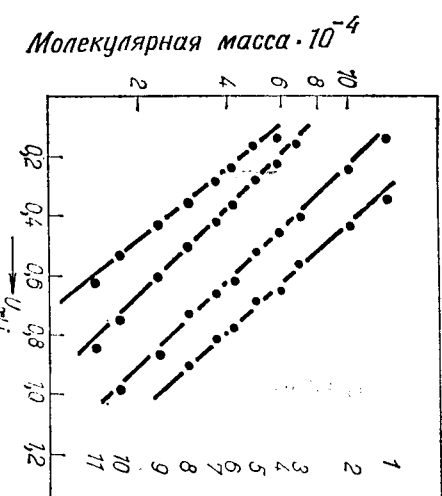


Рис. 12.30. Графическое определение молекулярной массы белков методом электрофореза в поликарбамидном геле в среде долецисульфата (по данным Вебера с сотр. [105]).

Графическое изображение линейной зависимости между $\log M_w$ и $\log i$, где i — поливинилы белка относительно подвижности бромфенолового синего. На приемных линиях a , b , c , d (концентрации поликарбамидного геля 15%, 10%, 7,5% и 5% при постоянном соотношении акриламида + метиленбисакриламида 37:1) приведены относительные подвижности рекомендованных стандартных белков, белки обозначены цифрами от 1 до 11, а их молекуларные массы (в тысячах) даны в скобках: 1 — β -галактозидаза из $E. coli$ (13), 2 — фосфорилаза из мыши (100), 3 — сывороточный альбумин (68), 4 — катализаза из печени (58), 5 — фумаратаза из мыши (49), 6 — альбумин из мыши (40), 7 — дегидрогеназа глицеральдехида (17,2), 8 — азотидаза угольной кислоты (28), 9 — трипсин (23,3), 10 — миоглобин (17,2), 11 — эпичный лизоцим (4,3). Сывороточный альбумин связывает аномально большое количество SDS, если он сильно не восстановлен, перед определением трипсина следует провести антипротеолитической активности.

соотношение применимо к простым пептидным цепям, в которых отсутствуют стерические препятствия образованию связей с SDS. Однако неприменимо, например, к гликопротеинам и пептидным цепям, имеющим лисульфидные мостики. Примерно одна молекула связывается с леумум аминокислотными остат-

ками. Величина отрицательного заряда пропорциональна длине пептидной цепи. Заряд пептидной цепи незначителен по сравнению с зарядом комплекса SDS — пептид. Следовательно, электрофоретическая подвижность пропорциональна логарифму молекулярной массы полипептидной цепи. Молекулярную массу неизвестного белка находят из графика зависимости относительной электрофоретической подвижности белковых стандартов известной молекулярной массы от логарифма их молекулярной массы (рис. 12.30). В случае нелинейности кривой следует обратиться к работе [105].

Методика Вебера с сотр. [105]. Невзвешенный белок и стандартный белок в предполагаемом диапазоне молекулярных масс восстанавливают путем инкубирования в 1%-ных растворах SDS и меркаптоэтанола при 100°C в течение 3 мин, чтобы исключить влияние S—S-связей и протеолитической активности. Для одной колонки в небольшой пробирке смешивают с гелем 5 мкл 0,05%-ного раствора бромфенолового синего (наприимер, натриевая соль бромфенолового синего, Serva, Гейдельберг) в 0,01 М фосфатном буферном растворе с pH 7,0, одну каплю глиперина и 5 мкл меркаптоэтанола и добавляют 1—20 мкл полипептида, инкубированного при 100°C в восстановительной среде (как указано выше). Общий объем доводят до 50 или до 150 мкл буферным раствором образца (0,01 М фосфат, доведенный с помощью NaOH до pH 7,2 и содержащий 0,1% меркаптоэтанола и 0,1% SDS). Раствор из пастеровской пипетки вводят в верхнюю часть колонки с поликарбамидным гелем, находящейся в приборе.

Для приготовления геля необходимы следующие реагенты:

- I) Буферный раствор для геля: 7,8 г $\text{NaH}_2\text{PO}_4 \cdot \text{H}_2\text{O}$ + 38,6 г $\text{Na}_2\text{HPO}_4 \cdot 7\text{H}_2\text{O}$ + 2,0 г SDS доливают водой до 1 л; SDS можно кристаллизовать из этанола; II) 22,2 г акриламида + 0,6 г метиленбисакриламида + вода до 100 мл; III) 44,4 г акриламида + 1,2 г метиленбисакриламида + вода до 100 мл; IV) 1,5%-ный водный раствор персульфата аммония, приготовленный непосредственно перед использованием; V) $\text{N},\text{N},\text{N}',\text{N}'$ -тетраметилэтилендиамин (TEMED), который хранят в темной склянке при 4°C.

Стеклянные трубы длиной 100 или 200 мм и диаметром 5 мм обрабатывают горячей азотной кислотой или хромовой смесью, затем тщательно промывают водой и высушивают в сушильном шкафу. На трубках делают отметку на расстоянии 30 см от одного конца, устанавливают их вертикально, заполняют до отметки полимеризационной смесью, приготовленной в соответствии с табл. 12.17, и обезгаживают содержимое трубок под действием вакуума. Нижние концы трубок закрывают резиновыми крышками от склянок для сыворотки. Оптимальная концентра-

Таблица 12.17
Состав гелей для электрофореза в поликариламидном геле с SDS^a для определения молекулярной массы пептидов и белков [105]

Концентрация акриламида в геле, %	3,3	5	7,5	10	15	20
Компоненты смеси	Объем, мл					
I	15	15	15	15	15	15
II	4,5	6,75	10,1	13,5	10,1	13,5
III					1,5	1,5
IV	1,5	1,5	1,5	1,5	0,45	0,45
V	0,45	0,45	0,45	0,45		
H ₂ O	9,0	6,75	3,4		3,4	
Примерный диапазон молекулярных масс	<10 ⁶	>2,5·10 ⁴	>1,2·10 ⁴	<10 ⁵	>7·10 ⁴	<5·10 ⁴
						<1,5·10 ⁴

Состав растворов I—V приведен в тексте. Приведенные объемы конечных растворов достаточны для приготовления 16 столбиков геля размером 0,5×7 см.

^a SDS — додецилсульфат натрия.

и белков [105].

Зоны окрашиваются так же, как описано для

электрофореза в поликариламидном геле. Наиболее чувствительным является обнаружение с помощью кумасси синего R 250 (Serva, Гейдельберг): 1,25 г этого красителя растворяют в 227 мл метанола и добавляют 46 мл уксусной кислоты. Раствор разбавляют водой до 500 мл и фильтруют. Гели высушивают в течение 2—12 ч. Обесцвечивание проводят в растворе, содержащем 50 мл метанола и 75 мл уксусной кислоты в 1000 мл воды, путем диялиза или электрофореза (см. выше).

После того как трубку вынимают из аппарата, измеряют длину геля *A* и расстояние *B*, которое прошел окрашенный индикатор. Затем гель обнаруживают и измеряют длину геля после окрашивания *C*, а также расстояние зон белков от старта *D*. Относительную подвижность приводят к единице подвижности индикатора и выражают в виде $U_{rel, i} = AD_i/BC$. Если положение красителя обнаружено, можно использовать отношение $U_{rel, i} = D'_i/B'$, где *B'* — расстояние центра окрашенной зоны индикатора от старта после окрашивания.

ОПРЕДЕЛЕНИЕ МОЛЕКУЛЯРНОЙ МАССЫ БЕЛКОВ С ПОМОЩЬЮ ЭЛЕКТРОФОРЕЗА В ПОЛИАКРИЛАМИДНОМ ГЕЛЕ В ЛИНЕЙНОМ ГРАДИЕНТЕ КОНЦЕНТРАЦИИ [90]

Линейный градиент ПАА геля можно приготовить путем смешивания растворов, содержащих 5 и 30% акриламида и 5% бис (N,N'-метиленбисакриламида) (Бис). Можно использовать продажную смесь акриламида и Бис, под названием Cyalogel 41 (Canal Ind. Corp., Rockville, Maryland, США). 1) 5%-ный гель: 5 г Cyalogel 41 (или приготовленной смеси акриламида и Бис) + 2,86 мл буферного раствора (в 33 раза более концентрированного, чем электродный буферный раствор соответствующего состава) + 0,085 мл диметиламинопропионитрила (DMAPN) + 0,85 мл 10%-ного раствора персульфата аммония разбавляют дистиллированной водой до 100 мл. 2) 30%-ный гель: 36 г Cyalogel 41 (или соответствующей смеси акриламида и 5%

диаметром 5 мм проводят при токе 3 мА, а остальное время его ведут при токе 5—5,5 мА. Электрофорез следует осуществлять при комнатной температуре. Когда окрашенный индикатор доходит до нижнего конца геля, электрофорез заканчивают. Затем между гелем и стеклянной трубкой вводят тонкую иглу шприца и передвигают ее вдоль внутренней стенки трубы, одновременно нажимая на поршень шприца. Очень плотные гели

вынимают, разбив стеклянную трубку. Центр зоны индикатора обычно отмечают накалыванием, например с помощью тонкой медной проволоки.

Зоны окрашиваются так же, как описано для дискретного электрофореза в поликариламидном геле. Наиболее чувствительным является обнаружение с помощью кумасси синего R 250 (Serva, Гейдельберг): 1,25 г этого красителя растворяют в 227 мл метанола и добавляют 46 мл уксусной кислоты. Раствор разбавляют водой до 500 мл и фильтруют. Гели высушивают в течение 2—12 ч. Обесцвечивание проводят в растворе, содержащем 50 мл метанола и 75 мл уксусной кислоты в 1000 мл воды, путем диялиза или электрофореза (см. выше).

После того как трубку вынимают из аппарата, измеряют длину геля *A* и расстояние *B*, которое прошел окрашенный индикатор. Затем гель обнаруживают и измеряют длину геля после окрашивания *C*, а также расстояние зон белков от старта *D*. Относительную подвижность приводят к единице подвижности индикатора и выражают в виде $U_{rel, i} = AD_i/BC$. Если положение красителя обнаружено, можно использовать отношение $U_{rel, i} = D'_i/B'$, где *B'* — расстояние центра окрашенной зоны индикатора от старта после окрашивания.

Линейный градиент ПАА геля можно приготовить путем смешивания растворов, содержащих 5 и 30% акриламида и 5% бис (N,N'-метиленбисакриламида) (Бис). Можно использовать продажную смесь акриламида и Бис, под названием Cyalogel 41 (Canal Ind. Corp., Rockville, Maryland, США). 1) 5%-ный гель: 5 г Cyalogel 41 (или приготовленной смеси акриламида и Бис) + 2,86 мл буферного раствора (в 33 раза более концентрированного, чем электродный буферный раствор соответствующего состава) + 0,085 мл диметиламинопропионитрила (DMAPN) + 0,85 мл 10%-ного раствора персульфата аммония разбавляют дистиллированной водой до 100 мл. 2) 30%-ный гель: 36 г Cyalogel 41 (или соответствующей смеси акриламида и 5%

Бис) + 2,52 мл буферного раствора (в 33 раза более концентрированного, чем электродный буферный раствор) + 0,60 мл 10%-ного раствора персульфата аммония разбавляют дистиллированной водой до 120 мл.

Оба раствора обезжаживают вакуумированием и охлаждают при -5°C в течение 20 мин перед наложением градиента. Затем 75 мл 5%-ного раствора акриламида помещают в цилиндр диаметром 4,5 см, снабженный магнитной мешалкой, а другой

сосуд заполняют 75 мл 30%-ного раствора. После этого смесь медленно поступает снизу в сосуд для полимеризации, в котором на расстоянии 3 мм друг от друга помещены две стеклянные пластиинки размером $200 \times 200 \times 1$ мм. Пластиинки по краям разделены пластиковыми прокладками толщиной 3 мм (в форме прямоугольных треугольников со сторонами 10 и 200 мм). Окончательная форма геля — это трапеция высотой 200 мм с нижним основанием длиной 180 мм и верхним основанием 200 мм. При использовании трафарета в геле во время полимеризации образуется небольшой желобок объемом 50 мкл. Электрофорез проводят при 4°C ; при 350—410 В время разделения около 40 ч. Для определения молекулярной массы белков, наиболее подходящим является произведение времени на напряжение от 18 000 до 26 000 В·ч, так как именно в этом диапазоне при линейном градиенте концентрации поликарбамиды соблюдаются соотношение $\log (\text{мол. массы}) = C - k \log D$, где D — постоянные зоны от старта (см). По данным Слейтера $k = 1,75$ и $C = 6,57$. После удаления стеклянных пластинок зоны проявляют обычным способом путем окрашивания амидовым черным 10 В (1 г в 100 мл 7%-ной уксусной кислоты). Наносимый образец состоит добавлением сахарозы (20 мкл сыворотки и 20 мкл 20%-ного раствора сахарозы). Пример такого разделения приведен на рис. 12.8.

ПРЕПАРАТИВНЫЙ ИЗОТАХОФОРЭЗ ГЕМОГЛОБИНА ЧЕЛОВЕКА [93]

Препаративный ИТФ в поликарбамидном геле можно выполнять на приборе для препаративного электрофореза в поликарбамидном геле. В связи со значительным увеличением объема поликарбамидного геля во время прохождения зон, поверхность геля становится выпуклой, если гель прилипает к стенкам прибора. По этой причине прибор, изготовленный из плексигласа, к которому поликарбамидный гель не прилипает, лучше, чем стеклянный прибор. Экспериментальные условия следующие: площадь сечения геля 5,3 см², длина трубки 20 см, толщина стенки 0,2 см, скорость элюирования 28 мл/ч, стабилизированный ток 10 мА, температура охлаждающей воды 10°C .

Состав исходных растворов для приготовления геля приведен в табл. 12.18. Смесь для полимеризации приготавливают путем смешения следующих растворов: 10 мл *a*, разбавленного в 10 раз водой, 10 мл *b*, 5 мл *c*, 5—10 мл *e* и воды до 100 мл.

Раствор *e* добавляют только в том случае, если фотополимеризация происходит слишком медленно. Растворы следует готовить при температуре, не превышающей 10°C . Раствор-инициатор

и дополнительный раствор-инициатор следует готовить непосредственно перед употреблением. Фотополимеризация ускоряется при облучении флуоресцентной лампой и лампой дневного света; трубку для разделения помещают между 14-ваттной лампой дневного света *Daylight* фирмы «Canalco» (Canal Ind. Corp. Maryland, США) и белой отражающей поверхностью.

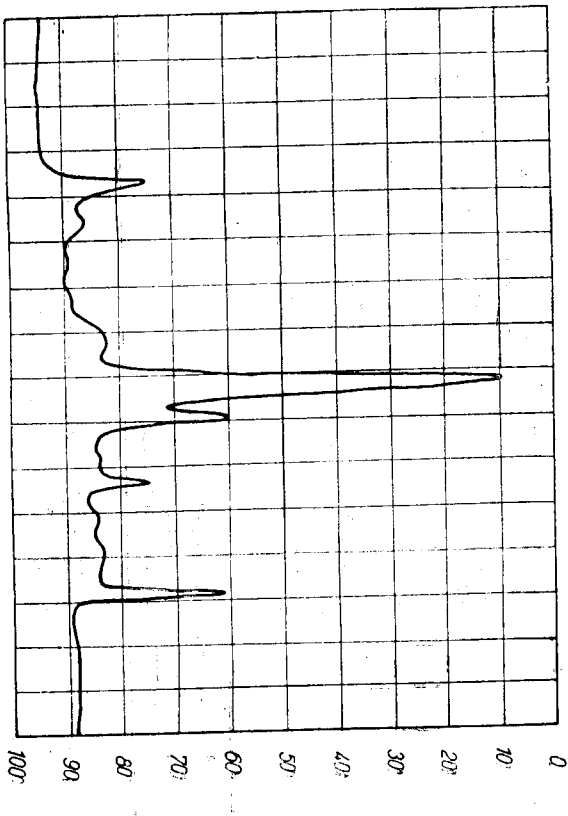


Рис. 12.31. Препаративный изотахофорез компонентов гемоглобина человека в поликарбамидном геле (по данным Свенделена [93]). УФ-поглощение элюированных фракций при 254 нм регистрируют на проточном абсорбционном метре Unicord 4701 A (Фирма LKB, Венгия). Скорость смыча 1 см/ч, направление оси смыча направо. Условия разделения приведены в тексте и в табл. 12.18.

Этот метод используется для фракционирования компонентов гемоглобина человека. Смешивают 0,3 мл 10% ного (масса/объем) раствора гемоглобина человека с 1,6 мл Ampholine, pH 6—8 (LKB Producter AB, Венгия 1, Швеция) и 30 мл карбонатного буферного раствора *e* (табл. 12.18) и осторожно заливают эту смесь в трубку для разделения поверх геля. После подключения системы охлаждения и насоса для элюента включают постоянный ток 10 мА. Зоны детектируют визуально или путем записи профиля элюирования по УФ-потолению. Для этого используют проточный УФ-абсорбционный метр, LKB Unicord

Таблица 12.18

Основные исходные растворы для препаративного изотахофореза в поликариламидном геле [93]

a)	Буферы рН 6,2: MES ^a TEMED ^b Трис ^c	для геля с 7,3 г 0,3 мл 2,0 г	г) Додополнительный раствор персульфат аммо- ния H ₂ O лист. до 100 мл	100 мг 100 мл
b)	Раствор для получения геля: акриламид H ₂ O лист. до	33 г 100 мл	e) Замыкающий катодный буферный раствор с рН 8,9: ε-аминоакроновая кислота триц	60 г 3 г H ₂ O лист. до 2000 мл

^aMES — морфолинизостансульфонксилоген.
^bTEMED — тетраметиэтиленимин.
^cТрис — три(оксигенметил)аминометан.

(Воттма), тип 4701, работающий при 254 нм при скорости потока ленты 10 мм/ч. Результаты разделения представлены на рис. 12.31.

12.7.4. ЭЛЕКТРОФОРЕТИЧЕСКОЕ РАЗДЕЛЕНИЕ НУКЛЕИНОВЫХ КИСЛОТ И ИХ ФРАГМЕНТОВ

Нуклеиновые кислоты характеризуются отчетливым отрицательным зарядом и очень высокой молекулярной массой. Поэтому нейтральные гомогенные гели с достаточно большими порами обеспечивают хорошее разделение этих соединений. Размер субъединиц, можно определить методом гель-электрофореза при градиенте концентрации, как для белков (см. табл. 12.6). Если механические свойства неплотного поликариламидного геля не пригодны, можно использовать смешанный гель, содержащий 2,5% поликариламида и 0,5% агарозы. При анализе субъединиц более низкой молекулярной массы концентрацию поликариламида увеличивают до 3% при 0,5%-ной концентрации агарозы в

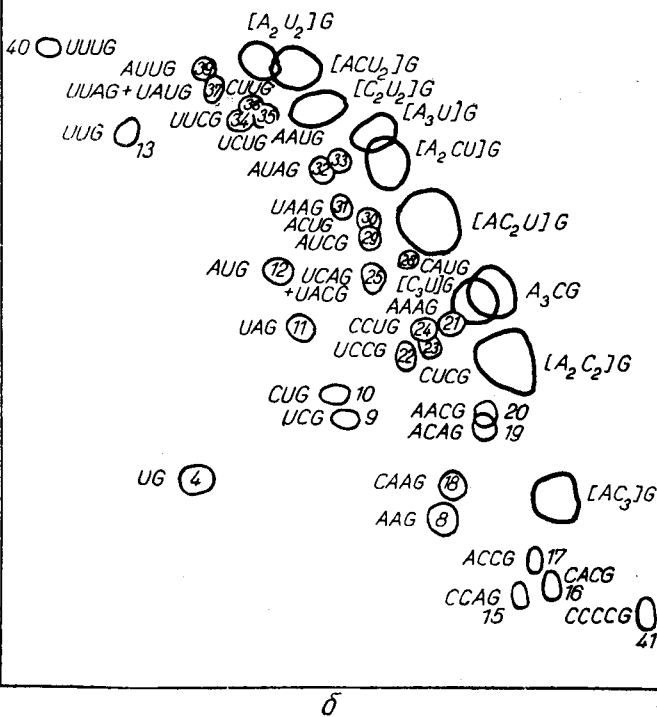
геле. Сложные смеси нуклеиновых кислот и их фрагментов исследуют методом двухмерного гель-электрофореза (см., например, [15]). Наряду с этим был разработан метод разделения олигонуклеотидов на бумаге, а также двухмерный электрофорез на ацетиллюлозной пленке с последующим разделением на ионообменной бумаге (по данным Сангера с сотр. [85]). Применение электрофореза в этой области иллюстрируется следующим примером.

ДВУХМЕРНОЕ РАЗДЕЛЕНИЕ НУКЛЕОТИДОВ

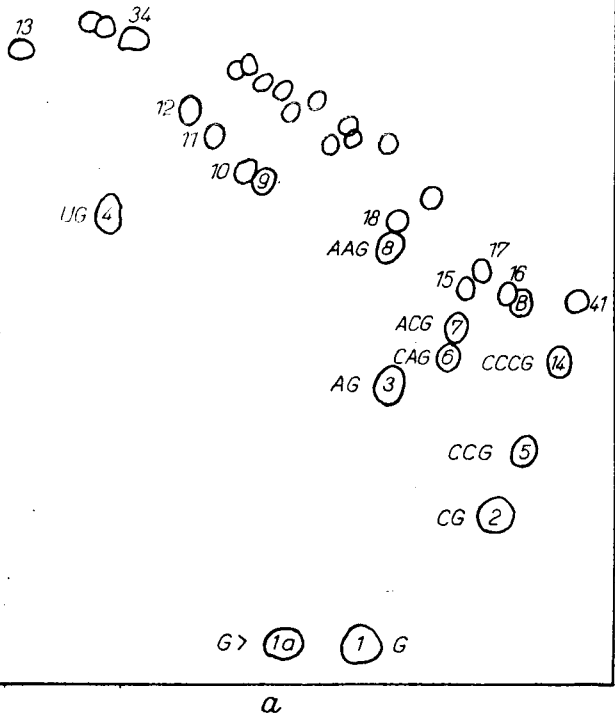
Гидролизат РНК, содержащий около 0,1 мг нуклеотидов в 10 мкл, наносят на расстоянии 100 мм от катода на полоску ацетата целлюлозы шириной 30 мм и длиной до 600 мм. Полоску насыщают буферным раствором с pH 3,5, содержанием 0,5% трибифлавинофосфат 8 мг 1 М H₂SO₄ 121 мл триц H₂O лист. до 4000 мл в охлаждаемый жидкостью прибор, например в прибор, предложенный Михлем [69]. Электрофорез продолжается в течение 2 ч при напряжении в 3000 В. Нуклеотиды всегда движутся между медленным синим и быстрым розовым индикаторами. Появление интенсивных полос на бумаге свидетельствует для того, что остались остатки охлаждающей жидкости (например, уайт-спирита 100, Esso Petroleum Company). Все еще влажную полоску ацетата целлюлозы помещают на лист DEAE-бумаги размером 470×560 мм на расстоянии около 100 мм от одной из ее меньших сторон. На полоску ацетата целлюлозы помещаются 4 слоя смоченных водой полосок размером 460×20 мм из бумаги ватман № 3 ММ и затем прижимают их стеклянной пластиной так, чтобы нагрузка равномерно распределялась по всем слоям. Вода, проходящая через ацетатную пленку, элюирует нуклеотиды, которые затем связываются ионообменной бумагой. DEAE-бумагу высушивают теплым воздухом, затем увлажняют 7%-ной муравьиной кислотой и помещают в электрофоретическую камеру. В связи с хрупкостью влажной ионообменной бумаги рекомендуется работать на приборе, снабженном подложкой (см., например, [98]) для электрофореза стеклянного носителя Нафтона и Хаготяна [71]. Электрофорез при 1500 В продолжается 4—16 ч. Для анализа во втором направлении используется бумага ватман хромедия DE 81, смоченная 7%-ной муравьиной кислотой [9]. Пример разделения этого типа представлен на рис. 12.32.

Б

0



a



23—13

- Рис. 12.32. Двухмерный электрофорез олигонуклеотидов (по данным Браунли, Сангер с сотр. [85]).
- Bächmann K., Görisch H., J. Chromatog. **23**, 336 (1966).
 - Barrollet J., Warzke E., Gibian H., Z. Naturforsch. **13b**, 754 (1958).
 - Beckers J., Thesis, Eindhoven University of Technology (1973).
 - Beckers J. L., Everaerts P. M., J. Chromatog. **51**, 339 (1970).
 - Bloemendaal H., Schoenmakers J., Sci. Tools **15**, 6 (1968).
 - Boček P., Demi M., Janák J., J. Chromatog. **91**, 829 (1974).
 - Brattsten I., Syngle R., Watt W., Biochem. J. **97**, 678 (1965).
 - Brautzier G., Hobom G., Hanig K., Z. Physiol. Chem. **338**, 276 (1964).
 - Brownlee G. G., Sanger F., J. Mol. Biol. **23**, 337 (1967).
 - Buchta K., Alzemmüller K., J. Radioanal. Chem. **1**, 225 (1968).
 - Carnegie P., Syngle R., Biochem. J. **78**, 692 (1961).
 - Chrambach A., Reisfeld R., Wykoff M., Zuchart J., Anal. Biochem. **20**, 150 (1967).
 - Cohen S., Porter R., Biochem. J. **90**, 278 (1964).
 - Cremer H., Tiselius A., Biochem. Z. **320**, 273 (1950).
 - Dahlberg A., Dingeman C., Peacock A., J. Mol. Biol. **41**, 139 (1969).
 - Davis B. J., Ann. N. Y. Acad. Sci. **121**, 404 (1964).
 - Duijmel W., Cox R., Sci. Tools **18**, 10 (1971).
 - Durrum E., J. Am. Chem. Soc. **72**, 2943 (1950).
 - Evans G., Strain H., Anal. Chem. **28**, 1560 (1966).
 - Everaerts F., Thesis, Eindhoven University of Technology (1968).
 - Everaerts F., Mulder A., Verheggen T., Zuska J., J. Chromatog. **60**, 397 (1974).
 - Fridlyson G. R., Chrambach A., Anal. Biochem. **40**, 292 (1971).
 - Flynn F., de Mayo F., Lancet **261**, 235 (1951).
 - Franek F., Zorina O., Collection Czech. Chem. Commun. **32**, 3229 (1967).
 - Föhlich Ch., Klin. Wochenschr. **45**, 461 (1967).
 - Gabriel O., in Methods in Enzymology (Jakoby W. B., Ed.), Vol. XXII, Academic Press, New York (1971), p. 565—575.
 - Gedday C., Robins E., Gosselin-Rey C., J. Chromatog. **38**, 408 (1968).
 - Goodwin L., Jones C., Richards W., Kohn J., Brit. J. Exp. Path. **44**, 551 (1963).
 - Gordon A., Keil B., Sobesta K., Nature **164**, 498 (1949).
 - Grabar P., Williams C., Biochim. Biophys. Acta **10**, 193 (1953).
 - Graham J., Greenbaum B., Am. J. Clin. Pathol. **39**, 567 (1963).
 - Grassmann W., Hannig K., Z. Physiol. Chem. **290**, 1 (1952).
 - Gross D., J. Chromatog. **5**, 194 (1961).
 - Guest J., Yanofsky C., J. Biol. Chem. **240**, 679 (1965).
 - Haglund H., Isoelectric Focusing in pH Gradients, LKB-Produkter AB. Methods of Biochemical Analysis, Vol. 19, Stockholm.

Олигонуклеотиды из рибосомной мембранный РНК, гидролизованной рибонуклеазой T, разделяют на антипротеинозидные компоненты в пиридин-декатоатом буферном растворе при pH 3,5 (см. выше) в направлении стрелки A. Зона DE 81 н. подвергают электрофорезу при pH 1,9 (2,5%ная муравьиная кислота и 8,7%ная уксусная кислота по объему), в направлении стрелки B. Разделение на рисунке A проводят для анализа быстрых компонентов в течение более короткого промежутка времени, составляющего половину полного времени электрофоретической миграции по радиографии. Зона B, в кружке, соответствует положению снимка индикатора миграции ксилентионила FF (George T. Gurr Ltd., London). Более подробное описание разделения дано в тексте, где указывается состав электролита в направлении B.

37. Haglund H., Sci. Tools **17**, 1 (1970).
38. Hannig K., in *Methods in Microbiology* (Norris J. and Ribbons D., Eds.), Vol. 5B, Academic Press, New York (1971), p. 512.
39. Hannig K., Z. Anal. Chem. **181**, 244 (1960).
40. Hannig K., *Compta J.* Compt. Rend. **256**, 1855 (1963).
41. Hierten S., Thesis, Uppsala (1967).
42. Honegger C. C., Helv. Chim. Acta **44**, 173 (1961).
43. Ingram V., Biochim. Biophys. Acta **28**, 539 (1958).
44. Johnson E., Schaffter H., Anal. Biochem. **51**, 577 (1973).
45. Jokl V., J. Chromatog. **71**, 523 (1972).
46. Jokl V., Puklikova Z., J. Chromatog. **74**, 325 (1972).
47. Jokl V., Undeutsch M., Maier J., J. Chromatog. **26**, 208 (1967).
- 47a. Jokl V., Valdškouř I., J. Chromatog. **72**, 373 (1972).
48. Jovin T. M., Ann. N. Y. Acad. Sci. **209**, 477 (1973).
49. Kaminski B., Dytkowska O., Acta Polon. Pharm. **20**, 237 (1963).
50. Keck K., Hagen U., Biochim. Biophys. Acta **87**, 685 (1964).
51. Kohn J., Biochem. J. **65**, 9 (1957).
52. Kohn J., Feinberg J., Shandon Instrument Applications No. 11, July 1965.
53. Kolin A., Cox P., Proc. Natl. Acad. Sci. US **52**, 19 (1964).
54. Konstantinou B. P., Oshurkova O. B., Dokl. Akad. Nauk SSSR **148**, 1110 (1963).
55. Kopwillem A., Lundin H., LKB Application Notes No. 183.
56. Kopwillem A., Moberg U., Westin-Sjödahl G., Lundin R., Sievertsson H., LKB Application Notes No. 184.
57. Laurell C., Anal. Biochem. **15**, 45 (1966).
58. Lederer M., J. Chromatog. **1**, 86 (1958).
59. Lederer M., Ward F., Anal. Chim. Acta **6**, 355 (1952).
60. Macheboue M., Rebeyrolle P., Dubert H., Brunerie M., Bull. Soc. Chim. Biol. **35**, 334 (1953).
61. Majumdar A., Singi B., Anal. Chim. Acta **19**, 520 (1958).
62. Marin-Bettolo G. B., Gogh Frugoni J. A., J. Chromatog. **1**, 182 (1958).
63. Markham R., Smith J., Biochem. J. **52**, 552 (1952).
64. Martin A., Everaerts F., Proc. Roy. Soc. London **316**, 493 (1970).
65. Mashburn T., Hoffman P., Anal. Biochem. **16**, 267 (1966).
66. Matthaei J., Voigt H., Heller G., Neff R., Schöch G., Kübler H., Amelungen F., Sander G., Parmeggiani A., Cold Spring Harb. Symp. Quant. Biol. The Genetic Code, June 25 (1966).
67. Mehl E., Jatzkowitz Z., Physiol. Chem. **339**, 260 (1964).
68. Meier H., Zimmerhackl E., Abrecht W., Bosche D., Microchim. Acta **86**, 22, 831 (1970).
69. Mikes O., Chem. Listy **51**, 138 (1957); Collection Czech. Chem. Commun. **22**, 831 (1957).
70. Mikes O., Chem. Listy **51**, 138 (1957); Collection Czech. Chem. Commun. **22**, 831 (1957).
71. Naughton M., Haggopian H., Anal. Biochem. **3**, 276 (1962).
72. Offord R. E., Nature **211**, 581 (1966).
73. Ornstein L., Ann. N. Y. Acad. Sci. **121**, 321 (1964).
74. Pastuska G., Krüger R., Fourth Chromatography Symposium, Brussels (1966).
75. Pastuska G., Trinks H., Chemiker Ztg. **85**, 535 (1961).
76. Patchett G. N., Automatic Voltage Regulators and Stabilizers, Pitman, London (1954).
77. Poulik M. D., Nature **180**, 1477 (1957).
- 77a. Preetz W., Wannemacher U., Datta S., Z. Anal. Chem. **257**, 97 (1971).
78. Prusik Z., J. Chromatog. **32**, 191 (1968).
79. Prusik Z., J. Chromatog. **91**, 867 (1974).
80. Prusik Z., Keil B., Collection Czech. Chem. Commun. **25**, 2049 (1960).
81. Prusik Z., Sedláčková E., Barth T., Z. Physiol. Chem. **353**, 1837 (1972).
82. Prusik Z., Štěpánek J., J. Chromatog. **87**, 73 (1973).
83. Reindl F., Hoppe W., Ber. **87**, 11 (1954).
84. Routs R., Thesis, Eindhoven (1971).
85. Sanger F., Brownie G., Barrell B. C. J. Mol. Biol. **13**, 373 (1965).
86. Sargent J., Methods in Zone Electrophoresis, 2nd Ed., BDH Chemicals, Poole, England (1969), p. 12.
87. Surker S., Naturforsch. **21b**, 1202 (1966).
88. Sayre F., Lee R., Sandman R., Perez-Mendez G., Arch. Biochem. Biophys. **118**, 58 (1967).
89. Schweiger A., Hannig K., Z. Physiol. Chem. **349**, 943 (1968).
90. Slater G. G., Anal. Chem. **41**, 1039 (1969).
91. Smithies O., Biochem. J. **61**, 629 (1955).
92. Sukowit E., Laskowski M., Sr., Anal. Biochem. **20**, 94 (1967).
93. Svendsen P., Sci. Tools **20**, 1 (1973).
94. Svendsen P., Rose C., Sci. Tools **17**, 13 (1970).
95. Svensson H., Acta Chem. Scand. **15**, 425 (1961).
96. Svensson H., Acta Chem. Scand. **16**, 456 (1962).
97. Svensson H., in *Analytical Methods of Protein Chemistry* (Alexander P., Block R., Eds.), Pergamon Press, London (1960), p. 195.
98. Turba F., Peizer H., Schuster H., Z. Physiol. Chem. **296**, 97 (1954).
99. Vacik J., Zuska J., Chem. Listy **66**, 416 (1972).
100. Vacik J., Zuska J., J. Chromatog. **91**, 795 (1974).
101. Vacik J., Zuska J., Everaerts F., Verheggen T., Chem. Listy **66**, 647 (1972).
102. Valmet E., Protides Biol. Fluids Proc. Colloq. **17**, 401 (1969).
103. Vesterberg O., British Patent No. 1106818, 17 July 1968.
104. Vesterberg O., Wadström T., Vesterberg K., Svensson H., Malmgren B., Biochem. Biophys. Acta **133**, 435 (1967).
105. Weber R., Pringle J., Osorn M., in *Methods in Enzymology XXVI*, (Hirs C., Timasheff S., Eds.), Academic Press, New York (1972), p. 3.
106. Wieland T., Fischer M., Naturwiss. **35**, 29 (1948).
107. Wieland T., Pfeiffer G., Angew. Chem. **67**, 257 (1955).
108. Williams F., Pickels E., Durran E., Science **121**, 829 (1955).
109. Woeller E., Anal. Biochem. **2**, 508 (1961).
110. Yagi Y., Maier P., Pressman D. J., Immunol. **89**, 763 (1962).
111. Zeiller K., Löser R., Pascher G., Hannig K., Z. Physiol. Chem. **356**, 1225 (1975).

Глава 13. Обзор литературы

О. МИКЕШ

13.2. ПЕРИОДИЧЕСКИЕ ИЗДАНИЯ

13.1. ВВЕДЕНИЕ

В этой главе* приведен список монографий по хроматографии, электрофорезу и противоточному распределению, опубликованных с 1962 по середину 1978 г., и периодических изданий по хроматографии. Более двухсот монографий, посвященных этим вопросам, можно найти в «Chemical Abstracts» с 1962 по 1972 г. Вначале приводятся только те книги, в которых рассматривается лабораторное применение методов, а затем приводятся монографии, в которых обсуждается более широкий круг вопросов. В список не включены узкоспециализированные монографии, посвященные анализу какой-либо одной группы соединений, например аминокислот, антибиотиков, белков, стероидов и т. п., собирачики хроматографических данных, а также некоторые руководства, написанные в учебных целях. Среди монографий по ионному обмену указаны только книги, посвященные методом разделения.

В разделе А указаны монографии общего характера, в которых излагаются ряд хроматографических методов, а также некоторые специальные работы. Специализированные книги по двум или нескольким методам указаны полностью только в одном из разделов (в первом в соответствии с заголовком книги); в последующих разделах дается только краткая ссылка. Если монография выходила в нескольких изданиях, то указывается только последнее; то же относится и к переводам. Заголовки книги даются на языке оригинала.

-
- A. ХРОМАТОГРАФИЯ
- Abbott D., Andrews R. S.*, An Introduction to Chromatography (Concepts in Chemistry). Houghton Mifflin, Boston, 1969.
- Abbott D., Andrews R. S.*, Chemie für Labor und Betrieb. Berufskundliche Reihe, Bd. 17. Chromatographische Methoden. Umschau Verlag, Frankfurt, 1973.
- Allsop R. T., Healey J. A. D.* Chemical Analysis, Chromatography and Ion Exchange. Heinemann, London, 1974.
- Angelle H. P.* (Edt.), Four-Language Technical Dictionary of Chromatography. Pergamon Press, New York, 1970.
- Fifth International Symposium on Chromatography and Electrophoresis. Ann Arbor Sci. Publ., Ann Arbor, Mich., USA, 1968.
- Recent Progress in Chromatography. Fourth International Symposium on Chromatography and Electrophoresis. Brussels, 1966. Ann Arbor Sci. Publ., Ann Arbor, Mich., USA, 1968.
- Bobbit J. B., Schartner A. E., Griffee R. J.*, Introduction to Chromatography. Reinhold, New York, 1968.
- Browning D. R.* (Edt.), Chromatography (Instrumental Methods Series). McGraw-Hill, London, 1969.
- Browning D. R.*, Chromatography. The Chemical Detective. Harrap, London, 1973.
- Чмутов К. В., Молекулярная хроматография. Наука, Москва, 1964.

* Этот список является продолжением списка, составленного Прохазкой к монографии Микеша, опубликованной в 1960—1962 гг.

- Cohenov D. G., Kocou N. K., Khromatografija. Rukovodstvo. Nauka i Izkustvo, Sofie, 1971.*
- Aibaзов Б. В., Практическое руководство по хроматографии. Наука, Москва, 1968.*
- Daecke H., Laborlütcher Chemie Reihe. Chromatographie. Diesterweg, Saele, Frankfurt, 1971.*
- Dean J. A., Chemical Separation Methods. Van Nostrand, New York, 1969.*
- Deyl Z., Rosmus J., Jurićová M., Kopecký J., Bibliography of Column Chromatography 1967–1970 and Survey of Applications. Elsevier, Amsterdam, 1973.*
- Edwards D. J., Chromatography: Principles and Techniques (Laboratory Aids Series). Butterworths, London, 1970.*
- Epton R. (Edit.), Chromatography of Synthetic and Biological Polymers. Vol. 1. Column packings, GPC, GF and gradient elution. Vol. 2: Hydrophobic Ion-exchange and Affinity Methods. Horwood, Chichester (England), 1978.*
- Giddings J. C., Dynamics of Chromatography, Part 1, Principles and Theory. Gerritsen T. (Edit.), Modern Separation Methods of Macromolecules and Particles (Vol. 2, Progress in Separation and Purification). J. Wiley-Interscience, New York, 1969.*
- Giddings J. C., Bonded Stationary Phases in Chromatography. Ann Arbor Sci. Publ. Sci. Publ., Ann Arbor, Mich., USA, 1974.*
- Heftmann E. (Edit.), Chromatography, 3rd Ed. Reinhold, New York, 1975.*
- Gordon A. H., Eastoe J. E., Practical Chromatographic Techniques. Newest science. M. Dekker, New York, 1970.*
- Grushka E. (Edit.), Chromatography. Methoden der Analyse in der Chemie. No 6. Akademische Verlagsgesellschaft, Frankfurt a. M., 1972.*
- Helfferich F., Klein G., Multicomponent Chromatography; Theory of Interactions. M. Dekker, New York, 1964.*
- Hesse G., Cinematographisches Praktikum. Methoden der Analyse in der Chemie. No 6. Akademische Verlagsgesellschaft, Frankfurt a. M., 1972.*
- Hrapia H., Einführung in die Chromatographie. Akademie Verlag, Berlin, 1965.*
- Янин Я. И., Физико-химические основы хроматографического разделения. Химия, Москва, 1976.*
- Lederer E. (Edit.), Chromatographie en chimie organique et biologique (Vol. 1. Généralités; Applications en chimie organique; Vol. 2. Applications en chimie biologique). Masson, Paris, 1959, 1960.*
- Lederer E., Recent Progress in Chromatography. Fourth International Symposium on Chromatography and Electrophoresis, Brussels, 1966. Ann Arbor Sci. Publ., Ann Arbor, Mich., 1968.*
- Lederer M., Michel H., Schlägl K., Siegel A., Anorganische Chromatographie und Electrophorese, Bd. III, Handbuch der Mikrochemischen Methoden (Hecht F., Zächerl M. K., Edits.). Springer-Verlag, Berlin, 1961.*
- Лурье А. А., Сорбенты и хроматографические поиски. Справочник. Химия, Москва, 1972.*
- Magee R. J. (Edit.), Selected Readings in Chromatography (The Commercial and International Library). Pergamon Press, New York, 1970.*
- Mickel J., Chromatografie v anorganicke analyse. SNTL, Praha, 1970; перевод на англ. Inorganic Chromatographic Analysis. Van Nostrand, New York, 1974.*
- Mikeš O. (Edit.), Příručka laboratorních chromatografických metod. SNTL, Praha 1961; перевод на англ. Laboratory Handbook of Chromatographic Methods. Van Nostrand, London, 1964.*
- Морозов А. А., Хроматография в неорганическом анализе. Высшая школа, Москва, 1970.*

- Морозов А. А., Кисель Н. А., Оленович Н. Л., Практическое руководство по хроматографическому анализу. Изд. Одесского Гос. университета, Одесса, 1961.*
- Morris C. J. O. R., Morris P., Separation Methods in Biochemistry. Pitman, London, 1964.*
- Munier R. L., Principes des méthodes chromatographiques. Azoulay, Pariz, 1972.*
- Ольшанская К. Н., Конькова В. Н., Морозова Н. М., Осадочная хроматография, Изд. АН СССР, Москва, 1963.*
- Parissatis G. (Edit.), Chromatography and Methods of Immediate Separation. Union Greek Chemists, Athens, 1966.*
- Peesok R. L. (Edit.), Experiments in Modern Methods of Chemical Analysis. J. Wiley, New York, 1968.*
- Perkovic J., Perpar M., Khromatografija. Univ. Fak. Narav. Technol., Ljubljana, 1969.*
- Рачинский В. В., Введение в общую теорию динамики сорбции и хроматографии. Наука, Москва, 1964.*
- Roberts T. R., Radiochromatography. The Chromatography and Electrophoresis of Radiolabelled Compounds. Elsevier, Amsterdam 1978. Робертс Т., Радиохроматография. «Мир», Москва, 1981.*
- Savvidis L., Chromatography. Iliffe, London, 1966.*
- Smith J., Chromatographic and Electrophoretic Techniques. (Vol. 1. Chromatography). Heineman, London, 1969.*
- Stensjo K. E., Ekedahl G., Kromatografi och Elektroforese. Norstedt, Stockholm, 1969.*
- Stock R., Rice C. B. F., Chromatographic Methods, 3rd Ed. Halsted, New York, 1974.*
- Tanase J., Tehnica chromatografica, aminoacizi, proteine, acizi nucleici. Ed. Technica, Bucurest, 1967.*
- Wilson C. L., Wilson D. W. (Edits.), Comprehensive Analytical Chemistry, Vol. IIB. Physical Separation Methods. Elsevier, Amsterdam, 1968.*
- Wolf F. J., Separation Methods in Organic Chemistry and Biochemistry. Academic Press, New York, 1969.*
- Zweig G., Sherma J. (Edits.), Handbook of Chromatography. Blackwell Sci. Publ., Oxford, 1972.*
- Zweig G. (Edit.), Handbook of Chromatography. Blackwell Sci. Publ., Cleveland, USA, 1972.*
- Б. БУМАЖНАЯ И РАСПРЕДЕЛИТЕЛЬНАЯ ХРОМАТОГРАФИЯ**
- Блок Р., Лестранж Р., Цвейг Г., Бумажная хроматография, ИЛ, Москва, 1964.*
- Eschrich H., Drent W., Bibliography on Application of Reversed-Phase Partition Chromatography to Inorganic Chemistry and Analysis. European Co. Chem. Processing of Irradiated Fuels, Mol, Belgia, 1967.*
- Gasparik J., Charáczek J., Laboratory Handbook of Paper and Thin-Layer Chromatography. Ellis Horwood, Chichester, England, 1978.*
- Xotic И. М., Мацеек К., Хроматография на бумаге. ИЛ, Москва, 1962.*
- Hais I. M., Mažeck K. (Edits.), Some General Problems of Paper Chromatography (Report of Symposium at Liblice, Czechoslovakia, 1961). NCSAV, Praha, 1962.*
- Linskens H. F., Strange L., Praktikum der Papierchromatographie. Springer-Verlag, Berlin, 1961.*
- Mažeck K., Hais L. M., Stationary Phase in Paper and Thin-Layer Chromatography. Elsevier, Amsterdam, 1965.*

- Macek K., Hais J. M., Gacpariš K., Kopecký J., Rabek V.*, Bibliography of Paper Chromatography, III (1957–1960) and Survey of Applications. NČSAV, Praha, 1962.
- Macek K., Hais J. M., Kopecký J., Gasparič J.*, Bibliography of Paper and Thin-Layer Chromatography 1961–1965. Elsevier, Amsterdam, 1968.
- Macek K., Hais J. M., Kopecký J., Gasparič J., Rabek V., Churáček J.*, Bibliography of Paper and Thin-Layer Chromatography 1966–1969 and Survey of Applications. Vol. 2. Elsevier, Amsterdam, 1972.
- Macek K., Hais J. M., Kopecký J., Schwarz V., Gasparič J., Churáček J.*, Bibliography of Paper and Thin-Layer Chromatography 1970–1973 and Survey of Applications. Elsevier, Amsterdam, 1976.
- Nascutin T.*, Chromatografia pe hirtie a substantelor anorganice (Papirova chromatografie anorganickych látok). Academic Republicii Române, București, 1961.
- Pollard F. H., McOmie J. F. W.*, Chromatographic Methods of Inorganic Analysis with special Reference to Paper Chromatography. Butterworths, London, 1953.
- Sherma J., Zweig G., Beuverne A.*, Paper Chromatography and Electrophoresis. Vol. 2, Paper Chromatography. Academic Press, New York, 1971.
- Smith I., Seakins J. W. T.*, Chromatographic and Electrophoretic Techniques. Vol. 1. Paper and Thin-Layer Chromatography. 4th Ed., Heinemann, London, 1976.
- В. ЖИДКОСТНАЯ ХРОМАТОГРАФИЯ**
- Bristow P. A.*, Liquid Chromatography in Practice. HETP, Handforth, England, 1976.
- Brown P. R.*, High Pressure Liquid Chromatography. Biochemical and Biomedical Applications. Academic Press, New York, 1973.
- Deyl Z., Kopecký J.* (Edits.), Bibliography of Liquid Column Chromatography 1971–1973 and Survey of Applications. Elsevier, Amsterdam, 1976.
- Жидкостная колоночная хроматография. Пол. пер. З. Дейла, К. Машека, Я. Янака. т. 1–3. Мир, Москва, 1978.
- Done J. N., Knox J. H., Lohr J.*, Applications of High-Speed Liquid Chromatography. J. Wiley-Interscience, New York, 1974.
- Huber J. F. K.* (Edt.), Instrumentation for High Performance Liquid Chromatography (J. Chromatogr. Library, Vol. 13). Elsevier, Amsterdam and New York, 1978.
- Kirkland J. J.*, Chromatographie en phase liquide. Gauthier-Villars, Paris, 1973.
- Kirkland J. J.*, Modern Practice of Liquid Chromatography. J. Wiley-Interscience, New York, 1971.
- Lawrence J. F., Frei R. W.*, Chemical Derivatization in Liquid Chromatography. Elsevier, Amsterdam, 1976.
- Litcanu C., Gocan S.*, Gradient Liquid Chromatography. Horwood, Chichester, 1974.
- Litcanu C., Gocan S., Hodisan T., Nascu H.*, Chromatografia de Licilde Ed. Stiint., București, 1974.
- Parris N. A.*, Instrumental Liquid Chromatographic Methods. Elsevier, Amsterdam, 1975.
- Porter C.*, Chromatographie en Phase Liquide. CNSSR, Paris, 1970.
- Racsanyi P. M., Racsanyi E.*, High-Speed Liquid Chromatography. Vol. 6. M. Dekker, New York, 1975.
- Rosset R., Caude M., Jardy A.*, Manuel pratique de chromatographie en phase liquide. Varian S.A., Orsay, France, 1975.
- Scott R. P. W., Kutter P.*, Liquid Chromatography Detectors. Elsevier, Amsterdam, 1977.

Scott R. P. W., Techniques of Chemistry, Vol. II. Contemporary Liquid Chromatography. J. Wiley, New York, 1976.

Snyder R. L., Kirkland J. J., Introduction to Modern Liquid Chromatography. J. Wiley-Interscience, New York, 1974.

Г. АДСОРБЦИОННАЯ ХРОМАТОГРАФИЯ

- Snyder K. R.*, Principles of Adsorption Chromatography: The Separation of Non-Ionic Organic Compounds (Chromatographic Science. Vol. 3.). M. Dekker, New York, 1968.
- Арипов Е. А.*, Природные минеральные сорбенты, их активирование и модификация. ФАН, Ташкент, 1970.
- Vamos E.*, Irány adszorpcios kromatográfia. Müszaki Könyvkiadó, Budapest, 1964.
- Токаккина Н. А., Литвиненко В. И., Шостаковский Н. Ф.*, Хроматография на поламильных сорбентах в органической химии. Наука, Новосибирск, 1973.
- Д. ИОНООБМЕННАЯ ХРОМАТОГРАФИЯ**
- Амфилег Ч.* Неорганические ионы. «Мир», Москва, 1966.
- Boross L.*, Ionenaustausch chromatografie a szerves biokemiatan. (Ionove výmenná chromatografie v organické chemii a biochemii) Müszaki Könyvkiadó, Budapest, 1968.
- Челищев Ю. П.*, Ионообменные свойства минералов. Наука, Москва, 1973.
- Даванков А. В.*, Ионы (Новое в жизни, науке и технике), серия Химия, вып. 8, Знание, Москва, 1980.
- Dorfner K.*, Ionenaustauschchromatographie. Academicie-Verlag, Berlin, 1963.
- Dorfner K.*, Ionenaustauscher. Eigenschaften und Anwendungen. De Gruyter, Berlin, 1968.
- Гельферих Ф.*, Ионы, ИЛ, Москва, 1962.
- Hering R.*, Ciełakbildende Ionenaustauscher. Academia-Verlag, Berlin, 1967.
- Inzecdy J.*, Analytical Applications of Ion Exchangers. Pergamon Press, New York, 1966.
- Ionescu T. D.*, Schimbatori de ioni. Tipuri Schimbui ionic aplicatii. 2nd Ed., Technica, București, 1964.
- Ермоленко Г. Ф.*, Комаров В. С., Ионный обмен и сорбция из растворов. Изд-во АН БССР, Минск, 1963.
- Marcus A., Kertes A. S.*, Ion Exchange and Solvent Extraction of Metal Complexes. J. Wiley, New York, 1969.
- Мархол М.*, Měněće ionů v chemii a radiochemii. Academia, Praha, 1976.
- Martinky J. A.*, Ion Exchange. M. Dekker, New York, 1969.
- Ионный обмен и хроматография. Пол. пер. В. Г. Мелешко. Изд-во Боровежского госуниверситета, Боровеж, 1971.
- Ольшанова К. И.*, Поглощена М. А., Копылова В. Д., Морозова Н. М., Руководство по ионообменной, распределительной и осадочной хроматографии. Химия, Москва, 1965.
- Осборн І.*, Синтетические ионообменники. «Мир», Москва, 1963.
- Osborn G. H.*, Synthetic Ion Exchangers. 2nd Ed. Chapman and Hall, London, 1961.
- Peterson R.*, An Introduction to Ion Exchange. Heyden & Son Ltd., London, Sadler Research Laboratories, Philadelphia, 1970.
- Peterson E. A.*, Cellulosic Ion Exchangers. Elsevier, Amsterdam, 1970.
- Teoria ионного обмена и хроматографии. Пол. пер. В. В. Рачинского. Хайка, Москва, 1968.
- Reuter H.*, Kunstharzenaustauscher (Symposiumbericht). Akademie-Verlag, Berlin, 1970.

- Риман В., Уолтон Г., Ионообменная хроматография в аналитической химии.* Мир, Москва, 1973.
- Рябчиков Д. И., Читович И. К., Ионообменные смолы и их применение.* Изд-во АН СССР, Москва, 1962.
- Саладзе К. М., Пашков А. С., Титов В. С., Ионообменные молекулярные соединения. Госхимиздат, Москва, 1960.*
- Ионный обмен и иониты. Пол ред. Г. В. Самсонова, Н. И. Никитина. Наука, Ленинград, 1970.*
- Самсонов Г. В., Тростянская Е. Б., Елькин Г. Э., Ионный обмен. Сорбция органических веществ. Наука, Ленинград, 1969.*
- Самуэльсон О., Ионообменное разделение в аналитической химии. Химия, Москва, Ленинград, 1966.*
- Stamberg I., Radl V., Ionexy. SNTL, Praha, 1962.*
- Walton H. F., Ion-Exchange Chromatography. Halsted Press, Stroudsburg, USA, 1976.*
- Зверева М. Н., Применение ионитов в аналитической химии. Изд-во Ленинградского отделения общества по распространению политических и научных знаний, Знание, Ленинград, 1963.*

Е. СИТОВАЯ ХРОМАТОГРАФИЯ

- Bombaugh K. J., Maley L. E., Denenberg B. A., Gel Permeation Chromatography: New Applications and Techniques. (Duchem Monogr. 62; 1102). Waters Assoc., Framingham, Mass. USA, 1968.*
- Determann H., Gelchromatographie, Gelfiltration, Gelpermeation, Molekülseibe. Springer-Verlag, Berlin, 1967.*
- Fischer L., An Introduction to Gel Chromatography. North-Holland Publ., Amsterdam, 1969.*
- Flodin P., Dextran Gels and Their Application in Gel-Filtration. Pharmacia A. B., Uppsala, 1962.*
- Johsson J. F., Porter R. S., Analytical Gel Permeation Chromatography. J. Wiley-Interscience, New York, 1968.*
- Kremmer T., Boros L., Gelkromatografia. Müszaki Könyvkiadó, Budapest, 1974.*
- Uglea C. V., Chromatografia pe gel permeabil. Noi domenii de aplicare. Ed. Acad. Rep. Soc. Rom., Bucuresti, 1976.*
- Детерман Г., Гель-хроматография. Мир, Москва, 1970.*

Ж. АФФИННАЯ ХРОМАТОГРАФИЯ

- Dunlap R. B. (Edit.), Immobilized Biochemicals and Affinity Chromatography. Plenum Press, New York, 1974.*
- Egly J.-M. (Edit.), Affinity Chromatography and Molecular Interactions. Inst. Nat. de la sante et de la recherche medic, Paris, 1979.*
- Hoffmann-Ostenhof et al. (Edits.), Affinity Chromatography. Pergamon Press, New York, 1978.*
- Jakoby W. B., Wilchek M. (Edits.), Affinity Technique. Methods in Enzymology. Vol. 34. Academic Press, New York, 1974.*
- Lowe C. R., An Introduction to Affinity Chromatography. North-Holland Publ. Co., Amsterdam, 1979.*
- Lowe C. R., Dean P. D. G., Affinity Chromatography. J. Wiley, New York, 1974.*
- Sundaram P. V., Eckstein F. (Edits.), Theory and Practice in Affinity Techniques. Academic Press, London, 1978.*
- Tyrroso Я., Аффинная хроматография. Мир, Москва, 1980.*

3. ТОНКОСЛОЙНАЯ ХРОМАТОГРАФИЯ

- Axrem A. A., Кузнецова А. И. Тонкослойная хроматография. Наука, Москва, 1964.*
- Bobbitt J. M., Thin-Layer Chromatography. Reinhold, New York, 1963.*
- Geiss F., Die Parameter der Dünnschichtchromatographie; eine moderne Einführung in Grundlagen und Praxis. Monographie für das analytische Laboratorium und die Lehre. Vieweg. Brunswick, 1972.*
- Janchen D. (Edit.), Thin-Layer Chromatography. Cumulative Bibliography 1964–1968. Camag, Muttenz, 1967.*
- Lübler L., Schwarz V. (Edits.), Chromatografie na tenke vrstve. NCSAV, Praha, 1965.*
- Macek K. (Edit.), Pharmaceutical Application of Thin-Layer Chromatography. Elsevier, Amsterdam, 1972.*
- Martin-Bettolo G. B., Thin-Layer Chromatography. Elsevier, Amsterdam, 1964.*
- Nichols B. W., Thin and Spread Layer Chromatography. Van Nostrand, London.*
- Opiencka-Blauth J., Kraczkowski H., Bruszkiewicz H., Zarys chromatografii cienkowarstwowej. 2. vyd. Wyd. rolnicze lesne. Warszawa, 1971.*
- Pelloni-Tamas V., Johan F., Cromatografia in Strat Subtile. Tehnica, Bukarest, 1971.*
- Randerath K., Dünnsschicht-Chromatographie, 2nd Ed., Verlag Chemie, Weinheim, 1965.*
- Smith I., Seakins J. W. T., Tenkovska chromatografie — Truter E. V., Thin Film Chromatography, Cleaver-Hume, London, 1963.*
- Tyňák E. (Edit.), Reťazková chromatografia iráckej A biokémia modern modzerej. Vysokoefektívna tonkoslojna chromatografia. Budapešť, 1965.*
- I. Mogy Kémikusok Egyesülete, Budapest, 1965.*
- Высокоэффективная тонкослойная хроматография. Пол ред. А. Златкина и Р. Кайзера. Мир, Москва, 1979.*
- И. ГАЗОВАЯ ХРОМАТОГРАФИЯ*
- Ambrose D., Gas Chromatography, 2nd Ed., Butterworths, London, 1971.*
- Bayer E., Gas Chromatographie. 2nd Ed., Springer-Verlag, Berlin, 1962.*
- Байер Э., Хроматография газов. ИЛ, Москва, 1961.*
- Березкин В. Г., Анишев В. Р., Немировская И. Б., Газовая хроматография в химии полимеров. Наука, Москва, 1972.*
- Березкин В. Г., Аналитическая реакционная газовая хроматография. Наука, Москва, 1966.*
- Brenner N., Gallen J. E., Weissnagelukk M. D. (Edits.), Gas Chromatography (Symposium). Academic Press, New York, 1962.*
- Croppc J., Газовая хроматография в биохимии. Мир, Москва, 1961.*
- Buzon J., Guichard N., Guiotchon G. et al., Manuel Practique de Chromatographie en Phase Gazosa. Masson, Paris, 1964.*
- Cirola R., Introdução a Cromatografia em Fase Gasosa. Assoc. Brasileira Quím., Curitiba, Brazil, 1969.*
- Dabrio B. M. V., Farre R. F., Garcia D. J. A., Gassiot M. M., Martinez U. R., Chromatografía de Gases. Vol. 1. Alhambra, Madrid, 1971.*
- Dabrio M. V., Chromatografia de Gases, Vol. 2, Alhambra, Madrid, 1973.*
- Даиц Ногае C., Дажер P. C., Газо-жидкостная хроматография. Недра, Москва, 1962.*
- Dimitrov Ch., Petsov N., Gazova Chromatografija. Nauka Izkustv., Sofia, 1974.*
- Ette L. S., Zlatkis A. (Edits.), The Practice of Gas Chromatography. J. Wiley-Interscience, New York, 1967.*

- Ette L. S.*, Open Tubular in Gas Chromatography. Plenum Press, New York, 1965.
- Fowler L.* (Edit.), Gas Chromatography (Symposium). Academic Press, New York, 1963.
- Gasco L.*, Teoria y Practica de la Cromatografia en Fase Gaseosa. Ediciones J. E. N., Madrid, 1969.
- J. Goldup A.* (Edit.), Gas Chromatography 1964. The Inst. of Petroleum, London, 1965.
- Grant D. W.*, Gas-Liquid Chromatography. Van Nostrand, Reinhold, New York, 1971.
- Gupta P. L.*, *Mallik K. L.*, Gas Chromatography Manual. Indian Inst. of Petroleum, Dehra Dun, Indie, 1968.
- Джиффери II. Кумана II.*, Анализ газов методом газовой хроматографии. Мир, Москва, 1976.
- Jeitsch D.*, Gas Chromatographie. Grundlagen, Anwendungen, Methoden. 3rd Ed., Franckh, Stuttgart, 1975.
- Kaiser R. A.*, An Introduction to Gas-Liquid Chromatography. Academic Press, New York, 1970.
- Kaiser R.*, Gas-Chromatographie. 2nd Ed., Akademische Verlagsgesellschaft, Berlin, 1962.
- Kaiser R.*, Bibliographisches Institut Hochschultaschenbücher, Bd. 22. Chromatographie in der Gasphase, Bd. 1. Gaschromatographie, 2nd Ed., Bibl. Inst. Mannheim, 1973.
- Kuceteev A. B.*, *Яшин Я. И.*, Газо-адсорбционная хроматография. Наука, Москва, 1967.
- Knox J. H.*, Gas Chromatography. J. Wiley, New York, 1962.
- Kochev H.*, Справочник по газовой хроматографии. Мир, Москва, 1976.
- Kruges J.* (Edit.), Instrumentation in Gas Chromatography. Centrex Publ. Corp., Findhoven, 1968.
- Кулаков М. Б.*, *Шкагов Е. Ф.*, *Ханберг В. А.*, Газовые хроматографы. Энергия, Москва, 1968.
- Lavigne G.*, La chromatographie en phase gazeuse et ses applications. Maloine, Paris, 1976.
- Руководство по газовой хроматографии. Пол. ред. X. Г. Штруппе. Мир, Москва, 1971.
- Littlewood A. B.* (Edit.), Gas Chromatography 1966. Inst. of Petroleum, London, 1967.
- Газовая хроматография. Бюлл. указатель отечественной и зарубежной литературы. Составитель Е. М. Литвинова. Пол. ред. Е. Ф. Литвина. 1972, 1974, 1978.
- Matick L. R.*, Lectures on Gas Chromatography. Plenum Press, New York, 1967.
- Miller J. M.*, Experimental Gas Chromatography. 2nd Ed., Gow-Mac Instrument Co., Madison, USA, 1965.
- Hosak I.*, Количественный анализ методом газовой хроматографии. Москва, 1978.
- Paolacci A.*, Guida Alla Gas-Cromatografia. Assissi, Porziuncola, Italia, 1973.
- Paryczak T.*, Chromatografia gazowa w badaniach adsorpcji i katalizy. Panstw. wyd. nauk, Warszawa, 1975.
- Pattison J. B.*, A Programmed Introduction to Gas-Liquid Chromatography, 2nd Ed., Sadler Res. Lab. Inc., Philadelphia, 1973.
- Piringer O.*, *Tataru E.*, Cromatografia in Faza Gazoasa. Technica, Bucuresti, 1969.
- Purnell J. H.*, Gas Chromatography. J. Wiley, New York, 1962.
- Purnell H.*, New Developments in Gas Chromatography. (Advances in Analytical Chemistry, Vol. II). J. Wiley, New York, 1973.

- Rowland F. W.*, The practice of Gas Chromatography. Hewlett Packard, Avondale, USA, 1973.
- Газовая хроматография. Вып. 13. Пол. ред. К. И. Сакольского. НИИНефтехим, Москва, 1970.
- Scorr R. P. W.* (Edit.), Gas Chromatography. Butterworths, London, 1960.
- Schöter M.*, *Metzner K.* (Edits.), Gas-Chromatographie, 1961 (Symposium). Akademie-Verlag, Berlin, 1962.
- Siguer A. V.*, Guide to Gas Chromatography Literature, Vol. 3. Plenum Press, New York, 1974.
- Sikorski Z. E.*, Chromatografia gazowa. Wydawn. Naukowo-Techn., Warszawa, 1962.
- Simpson C. F.*, Gas Chromatography (Laboratory Instruments and Techniques Series). Kogan Page, London; Barnes and Noble, New York, 1970.
- Staszewski R.*, Podstawowy kurs chromatografii gazowej. Zaklad narodowy im. Ossolinskich, Warszawa, 1972.
- Столяров Б. В.*, *Савинов И. М.*, *Биренберг А. Г.*, Руководство к практическим работам по газовой хроматографии. Изд-во Ленинградского университета, Ленинград, 1973.
- Storch de Gracia J. M.*, Fundamentos de la Chromatografia de Gasas (Zaklad plynove chromatografie). Althambra, Madrid, 1975.
- Swaidy M.* (Edit.), Gas Chromatography 1961 (Symposium). Butterworths, London, 1962.
- Szepesy L.*, Gazchromatografia. Müszaki Könyvkiado, Budapest, 1963.
- Szymansky H. A.*, Lectures on Gas Chromatography 1962. Plenum Press, New York, 1962.
- Шильдэр М.*, Газовая хроматография в практике. Химия, Москва, 1964.
- Takayama Y.*, Gas Kuromatogurafi No Tehodoki, Nankodo, Tokyo, 1971.
- Takeuchi T.*, *Takayama Y.*, Nyumon Gas Kuromatogurafi. Nankodo, Tokyo, 1971.
- Taramasso M.*, Gas Chromatografia. Angelini, Milan, 1968.
- Tranchant J.* (Edit.), Manual de Chromatographie en Phase Gazeuse, 2. ed. Masson, Paris, 1968.
- Выдерганд М. С.*, *Измайлов Р. И.*, Применение газовой хроматографии для определения физико-химических свойств веществ. Наука, Москва, 1970.
- Жуховицкий А. А.*, *Туркельштуб H. M.*, Газовая хроматография. Гостиздат, Москва, 1962.
- К. ЭКСТРАКЦИОННАЯ ХРОМАТОГРАФИЯ**
- Экстракционная хроматография. Пол. ред. Г. Брауна и Г. Герсими. Мир, Москва, 1978.
- Hecker E.*, Verteilungsverfahren im Laboratorium. Verlag Chemie, Weinheim, 1955.
- Л. ЭЛЕКТРОФОРЭЗ**
- Arbuthnott J. P.*, *Beeley J. A.* (Edits.), Isoelectric Focussing. Butterworths, London, 1975.
- Bier M.* (Edit.), Electrophoresis, Vol. 2. Academic Press, New York, 1967.
- Bloemberg H.*, Zone Electrophoresis in Block and Columns. Elsevier, Amsterdam, 1963.
- Clothen R.*, *Clothen A.*, Hochspannungselektrophorese. Thime-Verlag, Stuttgart, 1962.
- Dittmer A.* (Edit.), Paperelektrophorese. Grundlagen, Methodik, Klinik. Fischer, Jena, 1961.
- Deyl Z.*, *Kopecký J.*, *Davidek J.*, *Juricova M.*, *Helm R.*, Bibliography of Electrophoresis 1968–1972. A Survey of Applications. Elsevier, Amsterdam, 1975.

Послесловие редактора перевода

- Everaerts F. M., Beckers J. L., Verheggen Th. P. E. M., Isotachophoresis. Theory, Instrumentation and Applications.* Elsevier, Amsterdam, 1976.
- Grabar P., Burlin P., Immuno-Electrophoretic Analysis.* Elsevier, New York, 1964.
- Kiso Yoshiyuki, Kagaku no Ryoiki Sonshu. 3: Zon Denki Oyogido; Ionikusu po Ataraskii Kokoroni.* Nankodo, Tokyo, 1972.
- Lloyd P. H.*, Monographs on Physical Biochemistry: Optical Methods in Ultracentrifugation, Electrophoresis and Diffusion with a Guide to the Interpretation of Records. Oxford Univ. Press, Oxford, 1974.
- Michalec C., Korinek J., Musil J., Rizicka J.*, Elektroforeza na papire a jiných nosicích, NCSAV, Praha, 1959.
- Moody G. J., Thomas J. D. R.*, Practical Electrophoresis. Merrow, Watford, England, 1975.
- Nerenberg S. T.*, Electrophoresis: A Practical Laboratory Manual, 2nd Ed., Blackwell, Oxford, 1972.
- Nerenberg S. T.*, Medical Technology Series: Electrophoretic Screening Procedures. Lea and Febiger, Philadelphia, 1973.
- Radola B. J., Graesslin (Edits.)*, Electrofocussing and Isotachophoresis. Waller de Gruyter, Berlin, 1977.
- Righetti P. G. (Edit.)*, Progress in Isoelectric Focussing and Isotachophoresis. Proceedings of the Third International Symposium Held at the Department of Biochemistry, University of Milan (Italy), September 2–5, 1974. North-Holland, Amsterdam, 1975.
- Sargent J. R., George S. G.*, Methods in Zone Electrophoresis, 3rd Ed., British Drug House Chemicals, Poole, England, 1975.
- Shaw D. J.*, Electrophoresis. Academic Press, New York, 1969.
- Scheffarth F., Berg G., Goetz H.*, Papierelektrophorese in Klinik und Praxis, B. H. Blackwell, Oxford, 1963.
- Smith J., Seakins J. W. T.*, Chromatographic and Electrophoretic Techniques. Vol. II. Zone Electrophoresis, 4th Ed., Heinemann, London, 1976.
- Vamos L.*, Electrophorese auf Papier und anderen Trägern. Akademie-Verlag, Berlin, 1972.
- Whittaker J. R.*, Paper Chromatography and Electrophoresis. Vol. 1. Electrophoresis in Stabilizing Media. Academic Press, New York, 1967.
- Wieme R. J.*, Agar Gel Electrophoresis. Elsevier, New York, 1965.
- Wunderly Ch.*, Principles and Applications of Paper Electrophoresis. Elsevier, Amsterdam, 1961.

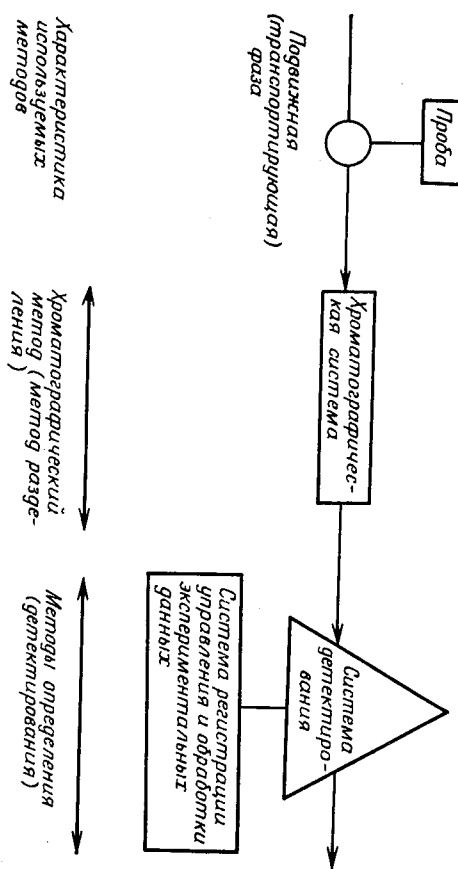
С точки зрения аналитика, все, что нас окружает, — воздух, вода, почва, минералы и т. д., — представляет собой многокомпонентную смесь соединений и элементов, поэтому одной из типичных задач исследователя является определение состава такой смеси. В настоящее время наиболее распространеными аналитическими методами можно считать газовую, жидкостную, колоночную и тонкослойную хроматографию. Несомненным признаком большого научного значения хроматографических методов явилось присуждение Нобелевской премии в 1948 г. А. Тизелюсу за исследование электрофореза и адсорбционного анализа (т. е. в области жидкотвердофазной хроматографии) и в 1956 г. — А. Мартину и Р. Синг за открытие распределительной хроматографии. Следует указать также, что хроматографические методы сыграли важную роль и в других исследованиях, отмеченных Нобелевской премией (см. таблицу).

В настоящее время с расширением круга анализируемых объектов и усложнением аналитических задач все более необходимыми становятся высокоселективные и высокочувствительные методы определения. Идеальным аналитическим методом был бы высокоселективный метод, позволяющий избирательно и с высокой чувствительностью выявлять все компоненты смеси. Однако, к сожалению, известные в настоящее время высокоселективные методы не относятся к числу универсальных; они применяемы, как правило, для селективного определения только отдельных групп соединений или элементов, детектирование же соединений внутри одной группы, в частности органических соединений, обычно не является селективным. С целью увеличения селективности определения в аналитической практике очень широко пользуются комбинированными, или гибридными, методами, в которых сочетается несколько аналитических методик. Особую и, по-видимому, наиболее важную группу составляют хроматогибридные методы, в которых хроматографические методы анализа объединены с химическими или физическими. Анализ многокомпонентных смесей начинается с разделения их на отдельные компоненты (или группы), после чего проводится идентификация этих компонентов и определяется их содержание. Предварительное хроматографическое разделение смесей позволяет значительно увеличить селективность определения, проводимого с помощью любого, даже малоселективного детектора, поэтому хроматогибридные методы популярны в современной аналитической химии.

В этой связи становится очевидной актуальность книги под ред. О. Микеша, в которой рассматриваются хроматографические и смежные методы анализа.

Это лабораторное пособие, написанное группой авторов из ЧССР, занимающей ведущее место в разработке теории и практических применений хроматографических методов, фактически представляет собой небольшую энциклопедию по хроматографии, адресованную прежде всего начинающим хроматографистам. В ней достаточно подробно рассмотрены все основные хромато-

Схема хроматографического метода



графические методы, что особенно важно для решения задач, в которых свойства анализируемых компонентов изменяются в очень широких пределах (например, при исследовании смесей газообразных и твердых соединений или соединений с молекуларной массой от 10^2 до 10^6 и т. д.); достаточно просто изложены теория методов и техника их осуществления; тщательно отобраны примеры и рационально составлены библиографические списки. По нашему мнению, должного отражения в книге не нашли лишь два направления — реакционная газовая хроматография и капиллярная хроматография*.

Мы надеемся, что перевод данной книги будет способствовать более широкому применению хроматографических методов в исследовательских работах и промышленности.

* Эти хроматографические методы более подробно рассматриваются в перечисленных ниже книгах.

1. Рогинский С. З. Яловский М. И., Березин А. Д. Основы применения хроматографии в катализе. — М.: Наука, 1972.
2. Березин В. Г. Химические методы в газовой хроматографии. — М.: Химия, 1980.
3. Руденко Б. А. Капиллярная хроматография. — М.: Наука, 1978.
4. Дженнингс В. Газовая хроматография на стеклянных капиллярных колонках: Пер. с англ. — М.: Мир, 1980.

Удостоенные Нобелевской премии исследования, в которых применение хроматографических методов сыграло важную роль*

Год	Область	Авторы	Тема
1937	Химия	П. Каррер	Химия каротиноидов, в частности витамина А и витамина Е
1938	Химия	К. Кун	Химия каротиноидов и витаминов
1939	Химия	Л. Ружинка А. Бутенандт	Химия полименилонов и высших терпеноидов, химия и выделение половых гормонов
1950	Физиология и медицина	Г. Рейхштейн Р. Хенц Е. Кендель Е. Мак-Миллан В. Ди-Биньо	Открытие трансуранных элементов
1951	Химия	Г. Сиборг	Работы по гипофизным гормонам и первые синтезы полипептидных гормонов
1955	Химия	Ф. Сэнгер М. Келвин	Установление химических реакций, протекающих при фотосинтезе
1958	Химия	Л. Лелар	Открытие сахарных нуклеотидов и их роли в биосинтезе карбонидратов
1961	Химия	Б. Катц У. фон Эйлер Дж. Аксельрод К. Анфинсен С. Мур	Изучение медиаторных веществ при нервном синаптике
1970	Физиология и медицина	Г. Стенн Р. Поргер Г. Эдельман	Исследования в области химической структуры рибонуклеазы
1972	Физиология и медицина		Исследования по выяснению структуры антител

* По данным работы Ette L. S., in «High-Performance Liquid Chromatography». Vol. 1. Ed. C. S. Nowath. Academic Press, New York, 1980, p. 4.

Предметный указатель

ПРЕДМЕТНЫЙ УКАЗАТЕЛЬ

молекулярная масса 744
 ображение 725
 разделение 480, 530, 689, 707, 719–23
 рециркуляция 407
 связывание 428, 429
 функции 317
 электротерм 740 и сл.
 Бензидинацетат 104
 трихлорэтан 104
 Евобел в хроматографии 356
 Биотели в хроматографии 509
 размеры частиц 352
 сортов 352, 421
 характеристики 344, 348, 352, 408, 413,
 414
 Биополимеры амфотерные 251
 Электрофорез 683
 Биотин, идентификация 138
 Бифлавоны, разделение 211–212
 Биметиловая кислота в хроматографии 105
 Бромпрезоловая зелень I, II, 539
 Бромфениловый синий в хроматографии 539
 синий 105, 743
 Бумана хроматографическая 59, 60, 142
 ацетилирование 61
 в электрофорезе 689
 гидрофобизация 61
 из стекловолокна 61
 ионобменная 146

В
 Валин, идентификация 122
 Ванилин в хроматографии 211
 Винкелекобаситин, идентификация 538–
 539
 Вирусы, разделение 20
 Виомукоровая кислота в хроматографии 144
 Витамины, анализ 137 и сл., 218, 325, 482
 гидрофильные 137
 липофильные 137
 Вода, деминерализация 283
 Водород, ионы 13
 Воск, разделение 88
 Время удерживания 44, 46, 199, 556

Г
 Газ-носитель 22
 источники 565
 очистка 562
 разделение 53
 Г-Галактозидаза, выделение 408, 410
 Галлония кислота, идентификация 111
 Гаптаны, связывание 20
 Гексаметилизлан 590
 Гекситолы, сложир, липофильность 100
 Гексозамины, разделение 109
 Гексозы, липофильность 100
 Гексусовая кислота, разделение 104
 Гепарин 347 и сл.
 Гель в электрофорезе 698 и сл., 745
 выбор 366–367
 гидрофильные 26
 десквамативные 509
 инфильтрирование 376
 матрица 307
 оксиксановые метакрилатные 352, 424–426
 поликарбонатные 351, 421, 439, 509,
 659, 701, 727, 744, 747
 поливинилщетчатые 360 и сл.
 полистирольные 356, 338–339

полиглицилковые 360 и сл.
 проницаемость 366
 размыкание 367
 хранение 375
 Гамогобин, анализ 314
 изогахфорез 748
 Гестагены, разделение 533–534
 Гетероракусин, идентификация 132
 Гидразинамина гидроксил 106
 Гидрофильность 100
 Гидроксигамма карбоксил 208
 Гидроксиды карбонатные 122, 126
 Гистидин, идентификация 122, 208
 Гликокаликс кистоса в хроматографии 728
 Гликопротеин, связывание 425
 Глицин, идентификация 122
 Глютамин, идентификация 306
 Глютаминовая кислота, идентификация 122
 Глютатион аллилгид в хроматографии 424
 Глютуронид, анализ 119
 Гормоны, выделение 407
 Градиент, концентрации 280
 Грамин, идентификация 132

Д
 Дегидроиниостерон, гидроксилированный 674
 11-Дезоксикортикостерон, идентификация 119
 Денокиназия 13
 Денситометрия 99
 Десорбция 13
 Динамическая 627
 Избирательная 26, 244
 Крина, 625
 На ионных 279
 Детекторы 182, 467 и сл.; 562
 веса *Margina* 576–577
 гелиевые 579
 дифференциальные 570
 емкостные 473
 интегральные 570
 неселективного действия 467
 плавленно-ионизационные 473–4,577—
 8,008
 по теплопроводности 573–574, 712
 рефрактометрические 464
 селективные 605 и сл., 635
 спектрофотометрические 467, 610
 с первичной линией волны 199, 468
 термометрические 473
 УФ 218, 467, 470, 712
 чувствительность 571, 634
 электронного захвата 606
 эффективность 474
 1,6-Диметиоксан, связывание 421
 О-Диминазинина фосfat 104
 П-Натоглюкозные эфемы 589
 П-Нитрохалоксены, Идентификация 116
 N-Диметиламинобензоалеидин 544
 П-лучение 102–103
 П-метилсульфонид в хроматографии 134
 П-метилсульфонидамина гидроксил 105
 П-диметиляформамид в хроматографии 91
 П-диметиламинобензоалеидин 544
 П-лучение 101, 118
 3-4-Диметибензональная кислота, восстановление 105

Овощуконд куриный 433—434
 17-Оксикортикостерон, идентификация 119
 8-Оксииндолин в хроматографии 125, 144—
 145
 Олеиновая кислота, идентификация 113
 Олигонуклеотиды, разделение 527
 Олигосахариды, электрфорез 751—752
 Олигопептиды, разделение 368
 Орины в хроматографии 104
 Олиски в хроматографических определениях 614 и сл.

Паратеновая кислота, анализ 137, 138
 Парасфиноловое масло в хроматографии 119, 137

Парасфинолы, разделение 88
 Партриджка смесь 117

Пенциклины, разделение 140, 566, 671
 Пептиды

амфогерность 241
 анализы 120, 125—126, 210, 305, 312, 366, 387, 412, 481, 529, 689
 восстановление 677
 молекулярные массы 746

Перенос массы 43

Пигменты, анализ 119

Пиретрины, разделение 482

Прилина производные, анализ 134

Приодоксин, анализ 137, 138

Протогаммы 630
 полимеров 630, 633

тепиатурический интервал 632

Протопласта 629—632

Протоплазматические сыворотки 132

Пластинки в ТСХ 406 и сл.

Поверхность ультрана 628

Полижамиды в хроматографии 49

Полиамиды в хроматографии 171 и сл. 303

Полиэлектролиты в хроматографии 223, 225, 506

Полиинуэтоксилы, связывание 428, 440

Полисахариды, анализ 322, 387

Полиэтилендиамины, разделение 289

Полиэтилены, разделение 303

Поратины в хроматографии 356

Порфирины, разделение 170, 210, 214

Прогестерон, идентификация 119

Продолин, анализ 322, 312

Пропилянтилоксикон в хроматографии 91

Простагландины, разделение 119

Протеазы, выделение 442

Радиоактивные изотопы, разделение 13, 281

Радиоактивные изотопы, разделение 13, 281

Радиоактивное хроматографическое автоматическое 453 и сл.

аминокислот 58, 680

в интегральной атмосфере 402

высокомолекулярное 478

групповое 381 и сл.

изотопов 13

каротиноидов 15

катехиноидов 61

металлов 11, 21, 23, 37, 55, 666 и сл.

на гелях 26, 381 и сл.

нейтральное 673

- индолитов 132
кумаринов 115
рибофлавина 138
стерионидов 117
флавонидов 115
Фокажант 229—230
Фомиевская кислота, идентификация 138
Формальдегид, конденсация с кислотами 13
Формамид в хроматографии 91, 94, 119,
129, 134
Фосфорониклин, анализа 322
Фрактограммы в хроматографии 360
Фракционирование изоэлектрическое 718—
720
Фталевая кислота 104
- Х**алькон, идентификация 213
Химотрипсин 47, 407, 427, 439—440, 503 и сл., 749
выделение 431 и сл.
ингибиторы 435
производные 418
расщепление ферментов 318
Хинины 119, 171
разделение 533—536
Хлорамфеникол, идентификация 140
Хлорформ в хроматографии 140
Холевая кислота, идентификация 117
Холин, идентификация 133, 138
Хроматографирование 104
воздушное 62
двухстороннее 64
Хроматография 15, 39, 45
адсорбционная 12, 22, 36, 59, 152 и сл.,
322
аналитическая 37, 59
аэрофика 12, 19, 22, 26, 36, 55, 317, 385,
405 и сл.
суммарная 12, 18, 34, 58, 79, 92, 327
количественная 98
препартивная 97
в интернете атмосфере 201
возвращенная 636
высокого давления 153, 177, 189, 197, 216
высокоскоростная 158, 578
вытеснительная 16, 29, 243, 244, 275, 298
газо-засорбционная 554
газовая 12, 18, 298, 553 и сл.
газо-жидкостная 18, 35, 54
газо-твёрдофазная 18, 35
гель 19, 22, 26, 36, 54, 55, 322, 339, 446
восходящая 373 и сл.
гидрофобная 36
диагональная 124
жидко-жидкостная 12, 35, 36, 54, 445
жидко-газообразная 12, 13, 19, 22, 24, 36, 59,
222 и сл., 296, 305, 317, 322, 327
капиллярная 34
сухая 34, 56, 148, 154, 195, 521, 524.
611, 660
крупная 34, 59, 64, 93, 144, 145
на клиновидных полюсах 34
на крахмале 34
на серебросодержащих сорбентах 159
обращенно-фазная 24, 36, 55, 500
окислительно-восстановительная 27
плоскостная 37, 59, 190, 216, 513, 521
- Ш**абазит 229

- Ч**еллутоза в хроматографии 18, 20, 24, 59,
470, 497, 499—500, 503 и сл., 749
ацилированная 505
ионообменная 61, 210, 223, 234, 251, 266,
272, 313, 316
микрокристаллическая 504
производные 234, 427
Цеолиты 229
- Ц**иклокеттиры, разделение 510
Цистиновая кислота, идентификация 122
Цистин, разделение 121, 433
Цирконий фосфат 230
- Ш**абазит 229

- Э**люенты 193, 446, 510
47, 407, 427, 439—440, 503 и сл., 749
акрилонито-акрилоновые 89
коррозионно-активные 446
реакционная 28
рециклирующая 377—379
связывания в соли 27
сополимеризационная 27
токосязотная 18, 34, 58, 117, 189, 327,
485 и сл., 515
фронтальная 243
центрифугальная 34, 59, 94, 145
эксклюзионная 341
- Х**роматомасс-спектрометрия 611—13
Хроматоцентрифуга 34
- проявительная 16, 31, 39, 59, 243, 665
радикальная 34
растягивательная 16, 17, 22, 23, 36, 58,
80, 89, 172, 625 и сл.
реакционная 28
рециклирующая 377—379
связывания в соли 27
сополимеризационная 27
токосязотная 18, 34, 58, 117, 189, 327,
485 и сл., 515
фронтальная 243
центрифугальная 34, 59, 94, 145
эксклюзионная 341
- Ф**ронтальная 243
двуихмерное 516
избирательное 27, 171
методы 515
многократное 93
николаевское 64, 92, 143, 492
николаевское 64, 92, 143, 492
простое 31, 578

- проточное 517, 525
пяты 70, 89, 94, 112
скорость 279—280
специфическое 317
ступенчатое 32, 124, 578
условия 412
- Ц**иклокеттиры 72
гравитационное 16, 32, 196, 199—200, 243,
277, 279—280, 292, 453 и сл.
гуськовидное 516
избирательное 27, 171
методы 515
многократное 93
николаевское 64, 92, 143, 492
проточное 517, 525
пяты 70, 89, 94, 112
скорость 279—280
специфическое 317
ступенчатое 32, 124, 578
условия 412
- Э**люоресценция 72
аффинное 317
бензолом 72
микрокристаллическая 504
производные 234, 427
Цеолиты 229
- Ц**иклокеттиры, разделение 510
Цистин, разделение 121, 433
Цирконий фосфат 230
- простое 31, 578

Я д. кобри, анализ 319

Глава 7. Аффинная хроматография. Я. ТУРКОВА	
7.1. Введение	405
7.1.1. Выбор нерастворимого носителя	405
7.1.2. Выбор и связывание аффинного лиганда	407
7.1.3. Условия сорбции и элюирования	409
7.2. Нерастворимые носители для аффинной хроматографии	410
7.2.1. Полидекстроновые носители и их производные	412
Обзор производных и их характеристика	413
Химия связывания	413
Устойчивость агарозных гелей и работа с ними	414
7.2.2. Методики связывания аффинанта с агарозой и ее модификациями	416
Связывание аффинного лиганда с сефарозой, активированной бромцианом	416
Триазиновый метод связывания аффинанта с агарозой	416
Модифицированные производные агарозы	417
Промышленные реагенты — CNBr-активированная сефароза 4B, АН-сепароза 4B и СН-сепароза 4B	418
7.2.3. Полиакриламидный и оксиакриламидный гели	419
Полиакриламидные производные	421
Методы получения производных акриламидных гелей и присоединения к ним аффинных лигандов	421
Стабильность полиакриламидных гелей и их производных	422
Оксидникилметакрилатные гели	424
7.2.4. Целлулоза и ее производные	427
Химические реакции при связывании аффинных лигандов	427
7.2.5. Другие носители	428
7.3. Промышленные аффинные лиганды, связанные с нерастворимым носителем	431
7.4. Применение	433
7.4.1. Аффинная хроматография на производных агарозы	433
Выделение куриного овоглибинатора методом аффинной хроматографии на сефарозе, связанной с химотрипсином	433
Выделение химотрипсина методом аффинной хроматографии на сефарозе, ковалентно связанной с метиловым эфиром ϵ -аминокапропил-Д-триптрафена	435
Дополнительные примеры применения агарозы и ее производных наногелем	438
7.4.3. Аффинная хроматография на производных целлюлозы	438
Очистка антигена с помощью иммуносорбентов, полученных с применением бромасцепленной целлюлозы (ВАС)	439
Обзор применения производных целлюлозы	440
Литература	442

Глава 8. Автоматизация работы колонок в жидкостной хроматографии. Б. МЕЛОУН	
8.1. Введение	445
8.2. Резервуары для элюента и гидравлические соединения	445
8.3. Краны и насосы	446
8.3.1. Краны	448
8.3.2. Насосы	448
8.4. Системы программирования и формирования градиента	449
8.4.1. Системы формирования градиента	453
8.4.2. Полное программирование	453
8.5. Аппаратура для ввода образца, шприцы и хроматографические колонки	460
8.5.1. Системы вывода образца и шприцы	461
8.5.2. Типы современных хроматографических колонок	461
8.5.3. Упаковка хроматографических колонок	464
8.6. Детекторы	466
8.7. Регистрация и обработка результатов	467
8.8. Расходомеры и коллекторы фракций	473
8.9. Более сложные системы и примеры комплексной автоматизации	478
Список иностранных фирм, выпускающих хроматографы	480
Литература	482
Глава 9. Тонкослойная хроматография. О. МОТЛ, Л. НОВОТНЫЙ	
9.1. Введение	485
9.2. Аппаратура для ТСХ	485
9.2.1. Пластиинки, приспособления для нанесения сорбентов, способы приготовления тонких слоев	486
9.2.2. Хроматографические камеры и камеры для отрываивания	492
9.3. Твердые фазы для ТСХ	497
9.3.1. Силикагель	497
9.3.2. Оксид алюминия	502
9.3.3. Силикат магния	503
9.3.4. Глиномиды	503
9.3.5. Целлюлоза	504
Ацетилированные целлюлозы	505
9.3.6. Ионобменники	506
9.3.7. Материалы для гель-хроматографии	509
9.3.8. Другие сорбенты	509
9.4. Элюенты для ТСХ	510
9.5. Методика ТСХ	512
9.5.1. Нанесение проб	512
9.5.2. Выбор элюирующих систем и методы элюирования	513
Специальные методы элюирования	515
9.5.3. Обнаружение	515
Физические методы обнаружения	517
Химические методы обнаружения	517
Биологические методы обнаружения	518
Комбинированные методы обнаружения	518
9.6. Количественное определение	
9.7. Препартивная тонкослойная хроматография	519
9.7.1. Приготовление слоев	521
9.7.2. Нанесение проб	522
9.7.3. Элюирование хроматограмм	523
9.7.4. Обнаружение	523
9.7.5. Выделение соединений	524

9.7.6. Преимущества препаративной ТСХ	524
9.7.7. Сухая колоночная хроматография	524
Заполнение колонок	524
9.7.8. Перенос условий ТСХ на колоночную хроматографию	525
9.8. Примеры применения ТСХ	527
9.8.1. Разделение олефинов на силикагеле, пропитанном солями серебра	527
9.8.2. Разделение и количественный анализ триглицеридов пальмового масла	528
9.8.3. Одноременное разделение смеси шестнадцати аминокислот на пленках с ионобменным слоем	529
9.8.4. Определение молекулярной массы гель-хроматографией	530
9.8.5. Разделение антибиотиков типа тетрагликлина	532
9.8.6. Разделение геттатенов	533
9.8.7. Разделение неорганических анионов на слоях оксида алюминия	534
9.8.8. Неразрушающее визуальное обнаружение изопреновых хинонов после разделения методом обращенно-фазой ТСХ	535
9.8.9. Разделениеmono- и олигосахаридов на тонких слоях целлюлозы	536
9.8.10. Разделение пенициллинов с очень близкими структурами методом распределительной ТСХ	536
9.8.11. Количественный анализ токоферолов	538
9.8.12. Разделение винилейкобластина, лейкокристина, лейрозина и лейрозидина методом ТСХ	538
9.9. Основные обнаруживающие реагенты для БХ и ТСХ	
А. Нестехнические обнаруживающие реагенты	539
Б. Групповые обнаруживающие реагенты	543
Спирты	543
Алкалоиды	543
Аминокислоты, алифатические и ароматические амины	544
Сахара	546
Фенолы	547
Соединения фосфора	547
Гетероциклические соединения	547
Нитросоединения	548
Органические кислоты	548
Карбонильные соединения	548
Серусодержащие соединения	548
Стероиды	549
Терпены	549
Список иностранных фирм, выпускающих хроматографы	550
Литература	550
Глава 10. Газовая хроматография. Р. КОМЕРС, М. КРЕЙЦИ	
Список обозначений	553
10.1. Введение	553
10.1.1. Основы теории газовой хроматографии	554
Основные соотношения, характеризующие удерживание	554
Размывание хроматографических зон	556
10.2. Приборы	565
•10.2.1. Газ-носитель	567
•10.2.2. Возд. образца	568
•10.2.3. Хроматографические колонки	569
•10.2.4. Термостат	570
Глава 11. Противоточное распределение. З. ПРОХАЗКА	
11.1. Введение	652
11.1.1. Экстракция в системах жидкость — жидкость	652
11.1.2. Принципы противоточного распределения	653
11.1.3. Состава раствора распределения	654
11.2. Периодическое противоточное распределение (метод Крейга)	655
11.2.1. Основная методика (методика Крейга)	656
10.2.5. Детекторы	570
•Детектор по теплопроводности (катарометр)	573
Весы Мартина	576
Ионизационные детекторы	577
•Пламенно-ионизационный детектор	578
Гелиевый детектор	579
•10.2.6. Хроматографические самописцы	580
•10.3. Предварительная подготовка	580
10.3.1. Неподвижная фаза	580
10.3.2. Твердые носители для неподвижной фазы	587
10.3.3. Приготовление колонок	591
10.3.4. Нанесение неподвижной жидкой фазы (НЖФ) на внутреннюю поверхность капиллярных колонок	592
10.3.5. Подготовка образца	594
10.4. Качественный анализ	596
10.4.1. Идентификация компонентов смеси по характеристикам Удержания	596
10.4.2. Относительное Удержание и индексы Удержания	601
10.4.3. Селективные детекторы	605
Электронно-захватный детектор	606
Пламенно-ионизационный детектор со щелочным металлом	608
Другие селективные детекторы	610
10.4.4. Газохроматографический анализ в сочетании с масс-спектрометрическим и другие специальные методы	611
10.5. Количественный анализ	613
10.5.1. Временные источники олибок	613
10.5.2. Оценка хроматографических кривых	614
10.5.3. Определение не полностью разделенных пиков	617
10.5.4. Количественная оценка хроматограмм	618
10.6. Программирование температуры	622
10.6.1. Причины использования	622
10.6.2. Методики и применение	623
10.7. Другие примеры применения газовой хроматографии	625
10.7.1. Измерение изотерм адсорбции	625
10.7.2. Определение теплоты адсорбции	626
10.7.3. Измерение удельной поверхности адсорбента	627
10.7.4. Хроматография продуктов пиролиза	629
Техника пиролиза	631
Факторы, влияющие на пиролиз	632
Основные области использования	633
•10.7.5. Анализ следов методом газовой хроматографии	633
Непосредственные методы	634
Обогатительные методы	635
10.8. Примеры использования	637
10.8.1. Анализ газов и некоторых соединений, играющих важную роль в окружающей среде	637
10.8.2. Анализы органических и биологически важных соединений	643
Литература	643

11.2.2. Характеристики противоточного распределения	657	12.7.1. Зонный электрофорез неорганических ионов в лигандных буферных растворах	728
11.2.3. Аппарат	661	12.7.2. Электрофорез аминокислот и пептидов	731
11.3. Варианты методов противоточного распределения	663	Аминокислотные и пептидные карты	734
11.3.1. Способ рехроматографирования	665	Зонный электрофорез диметиламинонафтильонильных (DNS) производных аминокислот	735
11.3.2. Способ однократного извлечения	665	Разделение аминокислот методом капillaryного изотахофореза	737
11.3.3. «Жесткий» способ разделения	666	Электрофорез белков на бумаге	740
11.3.4. Метод двойного извлечения	666	Определение молекулярной массы белков методом электрофореза в поликариламидном геле в присутствии додецилсульфата натрия [90]	741
11.3.5. Метод ОКИФА [7, 14]	668	Определение молекулярной массы белков с помощью электрофореза в поликариламидном геле в линейном градиенте компонента Препараторный изотахофорез гемоглобина человека	744
11.3.6. Способ Ватанабэ — Морикавы [22]	670	12.7.4. Электрофоретическое разделение нуклеиновых кислот и их фрагментов	747
11.4. Факторы, влияющие на противоточное распределение	670	Двумерное разделение нуклеотидов	750
11.5. Аналитическое применение противоточного распределения	672	Литература	751
11.6. Препараторное применение метода	673		753
11.7. Непрерывные методы	674		
11.8. Примеры методик противоточного распределения	674		
11.8.1. Обогатительное выделение одного компонента из сложной реакционной смеси в аппарате с 20 проириками	676		
Выделение чистого ^{12}O -метилтиозид-кситозина (метил-окситодин фосфора) с помощью полностью автоматизированного аппарата для противоточного распределения [10]	676		
Литература	678		
Глава 12. Электромиграционные методы. З. ПРУСИК	679		
12.1. Введение	679		
12.2. Электрофорез	683		
12.2.1. Теория миграции ионов в условиях зонного электрофореза и электрофореза с подвижной границей	683		
12.2.2. Непрерывный электрофорез в свободном потоке	685		
12.2.3. Зонный электрофорез на бумаге	689		
12.2.4. Зонный электрофорез на ацетатполизонной мембране	693		
Приборы для зонного электрофореза на ацетатполизонных мембранных	694		
12.2.5. Тонкослойный электрофорез	696		
12.2.6. Гель-электрофорез	698		
12.2.7. Гель-электрофорез при градиенте концентрации поликарбополиамидной (ПГЭ)	699		
12.2.8. Дискретный электрофорез в поликариламидном геле	700		
Основы метода	700		
Методика аналитического дискретного электрофореза в поликариламидном геле	702		
Обнаружение с помощью окрашивания поликариламидного геля	707		
Обесцвечивание геля после дискретного электрофореза в поликариламидном геле			
Методика обесцвечивания с помощью прибора конструкции Прусика	708		
12.3. Изотахофорез			
12.3.1. Теория миграции ионов в условиях изотахофореза	710		
12.3.2. Капillaryный изотахофорез	712		
Качественный анализ	714		
12.3.3. Препараторный изотахофорез	715		
12.4. Изоэлектрическое фракционирование (фокусирование)	717		
12.4.1. Теория изоэлектрического фракционирования	718		
12.4.2. Изоэлектрическое фракционирование в жидкой среде	719		
12.4.3. Изоэлектрическое фокусирование в поликариламидном геле	723		
12.5. Источник питания			
12.6. Техника безопасности			
12.7. Примеры применения электрофореза	724		
	727		
	728		
Глава 13. Обзор литературы. О. МИКЕШ	756		
13.1. Введение	756		
13.2. Периодические издания	757		
13.3. Монографии	757		
А. Хроматография	757		
Б. Бумажная и распределительная хроматография	759		
В. Жидкостная хроматография	760		
Г. Аскорбиновая хроматография	761		
Д. Ионообменная хроматография	761		
Е. Ситовая хроматография	762		
Ж. Аффинная хроматография	762		
З. Тонкослойная хроматография	763		
И. Газовая хроматография	763		
К. Экстракционная хроматография	765		
Л. Электрофорез	765		
Послесловие редактора перевода			
Предметный указатель	770		

УВАЖАЕМЫЙ ЧИТАТЕЛЬ!

Ваше замечания о содержании книги, ее оформлении, качестве перевода и другие просим присыпать по адресу: 129820, Москва, И-110, ГСП, 1-й Рижский пер., д. 2, издательство «Мир».

ЛАБОРАТОРНОЕ РУКОВОДСТВО

**ПО ХРОМАТОГРАФИЧЕСКИМ
И СМЕЖНЫМ МЕТОДАМ**

Редактор Оракар Никеш

часть 2

Научный редактор Р. И. Краснова

Мл. научный редактор И. С. Ермилова

Художник Ю. С. Урманчев

Художественный редактор М. Н. Кузьмина

Технический редактор Т. А. Максимова

Корректор К. Л. Волинская

Сдано в набор 18.02.82. Подписано к печати 15.06.82.

Формат 60×90^{1/16}. Бумага типографская № 1.
Гарнитура литературная. Печать высокая. Объем: 12,00 бум. л.

Усл. л. 24,00. Усл. кр.-отт. 24,00. Уч.-изд. л. 25,24.

Изд. № 3/1986. Тираж 9300 экз. Зак. 13. Цена 1 р. 60 к.

ИЗДАТЕЛЬСТВО «МИР»

Москва, 1-й Рижский пер., 2.

Московская типография № 11 Союзполиграфпрома
при Государственном комитете СССР по делам издательства,
полиграфии и книжной торговли. Москва, 113105.

Нагатинская ул., д. 1.